

# International Nonproprietary Names for Pharmaceutical Substances (INN)

Notice is hereby given that, in accordance with article 3 of the Procedure for the Selection of Recommended International Nonproprietary Names for Pharmaceutical Substances, the names given in the list on the following pages are under consideration by the World Health Organization as Proposed International Nonproprietary Names. The inclusion of a name in the lists of Proposed International Nonproprietary Names does not imply any recommendation of the use of the substance in medicine or pharmacy.

Lists of Proposed (1–117) and Recommended (1–78) International Nonproprietary Names can be found in *Cumulative List No. 17, 2017* (available in CD-ROM only). The statements indicating action and use are based largely on information supplied by the manufacturer. **This information is merely meant to provide an indication of the potential use of new substances at the time they are accorded Proposed International Nonproprietary Names.** WHO is not in a position either to uphold these statements or to comment on the efficacy of the action claimed. Because of their provisional nature, these descriptors will neither be revised **nor included in the Cumulative Lists of INNs.**

## Dénominations communes internationales des Substances pharmaceutiques (DCI)

Il est notifié que, conformément aux dispositions de l'article 3 de la Procédure à suivre en vue du choix de Dénominations communes internationales recommandées pour les Substances pharmaceutiques les dénominations ci-dessous sont mises à l'étude par l'Organisation mondiale de la Santé en tant que dénominations communes internationales proposées. L'inclusion d'une dénomination dans les listes de DCI proposées n'implique aucune recommandation en vue de l'utilisation de la substance correspondante en médecine ou en pharmacie.

On trouvera d'autres listes de Dénominations communes internationales proposées (1–117) et recommandées (1–78) dans la *Liste récapitulative No. 17, 2017* (disponible sur CD-ROM seulement). Les mentions indiquant les propriétés et les indications des substances sont fondées sur les renseignements communiqués par le fabricant. **Elles ne visent qu'à donner une idée de l'utilisation potentielle des nouvelles substances au moment où elles sont l'objet de propositions de DCI.** L'OMS n'est pas en mesure de confirmer ces déclarations ni de faire de commentaires sur l'efficacité du mode d'action ainsi décrit. En raison de leur caractère provisoire, ces informations **ne figureront pas dans les listes récapitulatives de DCI.**

## Denominaciones Comunes Internacionales para las Sustancias Farmacéuticas (DCI)

De conformidad con lo que dispone el párrafo 3 del "Procedimiento de Selección de Denominaciones Comunes Internacionales Recomendadas para las Sustancias Farmacéuticas", se comunica por el presente anuncio que las denominaciones detalladas en las páginas siguientes están sometidas a estudio por la Organización Mundial de La Salud como Denominaciones Comunes Internacionales Propuestas. La inclusión de una denominación en las listas de las DCI

Propuestas no supone recomendación alguna en favor del empleo de la sustancia respectiva en medicina o en farmacia.

Las listas de Denominaciones Comunes Internacionales Propuestas (1–117) y Recomendadas (1–78) se encuentran reunidas en *Cumulative List No. 17, 2017* (disponible sólo en CD-ROM). Las indicaciones sobre acción y uso que aparecen se basan principalmente en la información facilitada por los fabricantes. **Esta información tiene por objeto dar una idea únicamente de las posibilidades de aplicación de las nuevas sustancias a las que se asigna una DCI Propuesta.** La OMS no está facultada para respaldar esas indicaciones ni para formular comentarios sobre la eficacia de la acción que se atribuye al producto. Debido a su carácter provisional, esos datos descriptivos **no deben incluirse en las listas recapitulativas de DCI.**

## Proposed International Nonproprietary Names: List 126

Comments on, or formal objections to, the proposed names may be forwarded by any person to the INN Programme of the World Health Organization within four months of the date of their publication in *WHO Drug Information*, i.e., for **List 126 of Proposed INN not later than 27 May 2022. Publication date:** 28.01.2022

## Dénominations communes internationales proposées: Liste 126

Des observations ou des objections formelles à l'égard des dénominations proposées peuvent être adressées par toute personne au Programme des Dénominations communes internationales de l'Organisation mondiale de la Santé dans un délai de quatre mois à compter de la date de leur publication dans *WHO Drug Information*, c'est à dire pour la **Liste 126 de DCI Proposées le 27 mai 2022 au plus tard. Date de publication :** 28.01.2022

## Denominaciones Comunes Internacionales Propuestas: Lista 126

Cualquier persona puede dirigir observaciones u objeciones respecto de las denominaciones propuestas, al Programa de Comunes Internacionales de la Organización Mundial de la Salud, en un plazo de cuatro meses, contados desde la fecha de su publicación en *WHO Drug Information*, es decir, para **la Lista 126 de DCI Propuestas el 27 de Mayo de 2022 a más tardar. Fecha de publicación:** 28.01.2022

<i>Proposed INN</i> (Latin, English, French, Spanish)	<i>Chemical name or description: Action and use: Molecular formula</i> <i>Chemical Abstracts Service (CAS) registry number:</i> <i>Graphic formula</i>
<i>DCI Proposée</i>	<i>Nom chimique ou description: Propriétés et indications: Formule brute</i> <i>Numéro dans le registre du CAS: Formule développée</i>
<i>DCI Propuesta</i>	<i>Nombre químico o descripción: Acción y uso: Fórmula molecular</i> <i>Número de registro del CAS: Fórmula desarrollada</i>

**acidum icomidocholicum**  
icomidocholic acid

7 $\alpha$ ,12 $\alpha$ -dihydroxy-3 $\beta$ -icosanamido-5 $\beta$ -cholan-24-oic acid  
*stearoyl-CoA desaturase 1 (SCD1) expression down-regulator*

acide icomidocholique

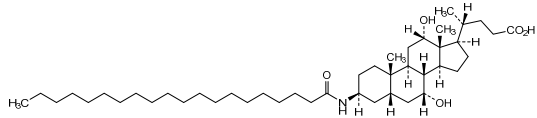
acide 7 $\alpha$ ,12 $\alpha$ -dihydroxy-3 $\beta$ -icosanamido-5 $\beta$ -cholan-24-oïque  
*régulation négative de l'expression de la stéaroyl-CoA-désaturase 1 (SCD1)*

ácido icomidocólico

ácido 7 $\alpha$ ,12 $\alpha$ -dihidroxi-3 $\beta$ -icosanamido-5 $\beta$ -colan-24-oico  
*regulación descendente de la expresión de estearoil-CoA-desaturasa 1 (SCD1)*

C<sub>44</sub>H<sub>79</sub>NO<sub>5</sub>

246529-22-6



**acrixolimabum #**  
 acrixolimab

immunoglobulin G4-kappa, anti-[*Homo sapiens* PDCD1 (programmed cell death 1, PD-1, PD1, CD279)], *Homo sapiens* monoclonal antibody; gamma4 heavy chain *Homo sapiens* (1-441) [VH (*Homo sapiens* IGHV3-30\*01 (95.8%) -(IGHD) - IGHJ5\*01 (100%), CDR-IMGT [8.8.7] (26-33.51-58.97-103)) (1-114)-*Homo sapiens* IGHG4\*01, G4v5 h P10 (CH1 (115-212), hinge 1-12 S10>P (222) (213-224), CH2 (225-334), CH3 (335-439), CHS (440-441)) (115-441)], (128-220')-disulfide with kappa light chain *Homo sapiens* (1'-220') [V-KAPPA (*Homo sapiens* IGKV2-40\*01 (94.1%) -IGKJ3\*01 (91.7%) P120>Q (106), CDR-IMGT [12.3.9] (27-38.56-58.95-103)) (1'-113') - *Homo sapiens* IGKC\*01 (100%), Km3 A45.1 (159), V101 (197) (114'-220')]; dimer (220-220'':223-223'')-bisdisulfide, produced in Chinese hamster ovary (CHO) cells, cell line CHO-DG44, glycoform alfa *immunomodulator, antineoplastic*

acrixolimab

immunoglobuline G4-kappa, anti-[*Homo sapiens* PDCD1 (protéine 1 de mort cellulaire programmée, PD-1, PD1, CD279)], anticorps monoclonal *Homo sapiens*;  
 chaîne lourde gamma4 *Homo sapiens* (1-441) [VH (*Homo sapiens* IGHV3-30\*01 (95.8%) -(IGHD) - IGHJ5\*01 (100%), CDR-IMGT [8.8.7] (26-33.51-58.97-103)) (1-114)-*Homo sapiens* IGHG4\*01, G4v5 h P10 (CH1 (115-212), charnière 1-12 S10>P (222) (213-224), CH2 (225-334), CH3 (335-439), CHS (440-441)) (115-441)], (128-220')-disulfure avec la chaîne légère kappa *Homo sapiens* (1'-220') [V-KAPPA (*Homo sapiens* IGKV2-40\*01 (94.1%) -IGKJ3\*01 (91.7%) P120>Q (106), CDR-IMGT [12.3.9] (27-38.56-58.95-103)) (1'-113') -*Homo sapiens* IGKC\*01 (100%), Km3 A45.1 (159), V101 (197) (114'-220')]; dimère (220-220'':223-223'')-bisdisulfure, produit dans des cellules ovariennes de hamster chinois (CHO), lignée cellulaire CHO-DG44, glycoforme alfa *immunomodulateur, antinéoplasique*

acrixolimab

immunoglobulina G4-kappa, anti-[*Homo sapiens* PDCD1 (proteína 1 de muerte celular programada, PD-1, PD1, CD279)], anticuerpo monoclonal *Homo sapiens*;

cadena pesada gamma4 *Homo sapiens* (1-441) [VH (*Homo sapiens* IGHV3-30\*01 (95.8%) -(IGHD) -IGHJ5\*01 (100%), CDR-IMGT [8.8.7] (26-33.51-58.97-103)) (1-114) -*Homo sapiens* IGHG4\*01, G4v5 h P10 (CH1 (115-212), bisagra 1-12 S10>P (222) (213-224), CH2 (225-334), CH3 (335-439), CHS (440-441)) (115-441)], (128-220')-disulfuro con la cadena ligera kappa *Homo sapiens* (1'-220') [V-KAPPA (*Homo sapiens* IGKV2-40\*01 (94.1%) -IGKJ3\*01 (91.7%) P120>Q (106), CDR-IMGT [12.3.9] (27-38.56-58.95-103)) (1'-113') -*Homo sapiens* IGKC\*01 (100%), Km3 A45.1 (159), V101 (197) (114'-220')]; dímero (220-220":223-223")-bisdisulfuro, producido en las células ováricas de hámster chino (CHO), línea celular CHO-DG44, forma glicosilada alfa  
*inmunomodulador, antineoplásico*

2506324-29-2

## Heavy chain / Chaîne lourde / Cadena pesada

```

QVQLVESGGG VVQPGRLRL SCAASGFTFL RYAMHWVRQA PGKGLEWVAV 50
ISYDGRYKYY ADSVGRFTTI SRDNSKNTLY LQMNSLRRAED TAVYCYCTTTT 100
FDSWGGQGLV TVSSASTKGF SVFPLAPCSR STSESTAALG CLVKDYFPEP 150
VTVSWNSGAL TSGVHTFFAV LQSSGLYSLV SVVTVPSSSL GTKTYTCNVD 200
HKPSNTKVDK RVESKYGPPC PPCPAPEFLG GPSVLEFPFK PKDTLMISRT 250
PEVTCVVVDV SQEDPEVQFN WYDVGVEVHN AKTKFREEQF NSTYRVVSVL 300
TVLHQDWLNG KEYKCKVSNK GLPSSIEKTI SKAKGQPREP QVYTLPPSQE 350
EMTKNQVSLT CLVKGFYPSD IAVVESNGQ PENNYKTTTP VLDSDGSPFL 400
YSRLTVDKSR WQEGNVFSCS VMHEALHNYH TQKLSLSLIG K 441

```

## Light chain / Chaîne légère / Cadena ligera

```

DIVMTQTPLS LPVTPGEEAS ISCRSSQSLL DSEGDNTYLD WYLKQPGQSP 50
QLLIYTLNHR ASGVDPDRFSG SSGSDFTLE ISRVEAEDVG VYVCMQRRDF 100
PFTFGGQTKV DIKRTVAAPS VFIFPPSDEQ LKSGTASVVC LLNNFYPREA 150
KVQWKVDNAL QSGNSQESVT EQDSKSTYS LSSTLTLSKA DYERKRVYAC 200
EVTHQGLSSP VTRKSFNRGEC 220

```

## Post-translational modifications

Disulfide bridges location / Position des ponts disulfure / Posiciones de los puentes disulfuro

Intra-H (C23-C104) 22-96 141-197 255-315 361-419  
22"-96" 141"-197" 255"-315" 361"-419"

Intra-L (C23-C104) 23'-94' 140"-200"  
23"-94'" 140"-200"

Inter-H-L (CH1 10-CL 126) 128-220' 128"-220"

Inter-H-H (h 8, h 11) 220-220" 223-223"

N-terminal glutaminyl cyclization / Cyclisation du glutaminyle N-terminal / Ciclación del glutaminilo N-terminal

H VH Q1&gt; pyroglutamyl (pE, 5-oxoprollyl): 1, 1"

N-glycosylation sites / Sites de N-glycosylation / Posiciones de N-glicosilación

H CH2 N84.4: 291, 291"

Fucosylated complex bi-antennary CHO-type glycans / glycanes de type CHO bi-antennaires complexes fucosylés / glicanos de tipo CHO biantenarios complejos fucosilados.

C-terminal lysine clipping / Coupure de la lysine C-terminale / Recorte de lisina C-terminal  
H CHS K2: 441, 441"

**aguracingenum cadoparvovecum #**  
aguracingene cadoparvovec

recombinant, non-replicating adeno-associated virus serotype 8 (rAAV8) vector encoding codon-optimized human retinal cone cyclic nucleotide-gated cation channel  $\alpha 3$  (CNGA3), under control of a synthetic promoter, derived from the human opsin locus control region and the human green-sensitive opsin gene promoter, terminated with the simian virus 40 (SV40) polyadenylation (polyA) sequence, and flanked by AAV2 inverted terminal repeats (ITRs).  
*gene therapy (achromatopsia)*

aguracingène cadoparvec

vecteur recombinant, non répliquant, du virus adéno-associé de sérotype 8 (rAAV8) codant le canal cationique  $\alpha 3$  des cônes de la rétine humaine dépendant des nucléotides cycliques (CNGA3), sous le contrôle d'un promoteur synthétique, dérivé de la région de contrôle du locus de l'opsine humaine et du promoteur du gène de l'opsine humaine sensible au vert, terminé par la séquence polyadénylation (polyA) du virus simien 40 (SV40), et flanqué de répétitions terminales inversées (ITR) de l'AAV2.  
*thérapie génique (achromatopsie)*

aguracingén cadoparvec

vector de virus adenoasociado recombinante de serotipo 8 (rAAV8) no replicativo que codifica para el canal catiónico modulado por nucleótidos cíclicos  $\alpha 3$  (CNGA3) de los conos retinales humanos, bajo el control de un promotor sintético derivado de la región de control del locus de la opsina humana y del promotor del gen de la opsina sensible al verde humana, terminado con la secuencia poliadenilación (polyA) del virus simio 40 (SV40), y flanqueado por las repeticiones terminales invertidas (ITRs) del AAV2.  
*terapia génica (acromatopsia)*

2417550-70-8

**amredobresibum**

amredobresib

6-[1-benzyl-6-(4-methylpiperazin-1-yl)-1H-benzimidazol-2-yl]-N,3-dimethyl[1,2,4]triazolo[4,3-a]pyrazin-8-amine  
*antineoplastic*

amrédobrésib

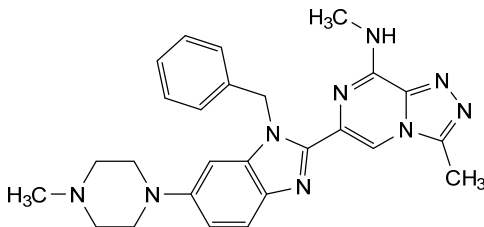
6-[1-benzyl-6-(4-méthylpipérazin-1-yl)-1H-benzimidazol-2-yl]-N,3-diméthyl[1,2,4]triazolo[4,3-a]pyrazin-8-amine  
*antinéoplasique*

amredobresib

6-[1-bencil-6-(4-metilpiperazin-1-il)-1H-benzimidazol-2-il]-N,3-dimetil[1,2,4]triazolo[4,3-a]pirazin-8-amina  
*antineoplásico*

C<sub>26</sub>H<sub>29</sub>N<sub>9</sub>

1610044-98-8

**anivovetmabum #**

anivovetmab

immunoglobulin G2-kappa, anti-[canine (*Canis lupus familiaris*) parvovirus major capsid protein VP2)], chimeric monoclonal antibody;

- gamma2 heavy chain chimeric (1-457) [VH Ratnor/Canlupfam (*Rattus norvegicus* IGHV2-32\*01 (92.8%) -(IGHD) -IGHJ3\*01 (92.9%)/*Canis lupus familiaris* IGHV4-1\*01 (60.2%) -(IGHD) -IGHJ5\*01 (92.9%), CDR-IMGT [8.7.16] (26-33.51-57.96-111)) (1-122) -*Canis lupus familiaris* IGHG2\*02 (100%) (CH1 (123-219), hinge 1-19 (220-238), CH2 (239-348), CH3 (349-455), CHS (456-457)) (123-457)], (137-213')-disulfide with kappa light chain chimeric (1'-217') [V-KAPPA Ratnor/Canlupfam (*Rattus norvegicus* IGKV6S10\*01 (93.7%) -IGKJ5\*01 (100%)/*Canis lupus familiaris* IGKV3-18\*01 (65.6%) -IGKJ3\*01 (83.3%), CDR-IMGT [6.3.9] (27-32.50-52.89-97)) (1'-107') -*Canis lupus familiaris* IGKC\*01 (100%) (108'-217')]; dimer (234-234":237-237")-bisdisulfide, produced in Chinese hamster ovary (CHO) cells, cell line CHO-K1, glycoform alfa  
*antiviral (veterinary use)*
- anivovetmab immunoglobuline G2-kappa, anti-[protéine de capsid majeure VP2 du parvovirus canin (*Canis lupus familiaris*)], anticorps monoclonal chimérique; chaîne lourde gamma2 chimérique (1-457) [VH Ratnor/Canlupfam (*Rattus norvegicus* IGHV2-32\*01 (92.8%) -(IGHD) -IGHJ3\*01 (92.9%)/*Canis lupus familiaris* IGHV4-1\*01 (60.2%) -(IGHD) -IGHJ5\*01 (92.9%), CDR-IMGT [8.7.16] (26-33.51-57.96-111)) (1-122) -*Canis lupus familiaris* IGHG2\*02 (100%) (CH1 (123-219), charnière 1-19 (220-238), CH2 (239-348), CH3 (349-455), CHS (456-457)) (123-457)], (137-213')-disulfure avec la chaîne légère kappa chimérique (1'-217') [V-KAPPA Ratnor/Canlupfam (*Rattus norvegicus* IGKV6S10\*01 (93.7%) -IGKJ5\*01 (100%)/*Canis lupus familiaris* IGKV3-18\*01 (65.6%) -IGKJ3\*01 (83.3%), CDR-IMGT [6.3.9] (27-32.50-52.89-97)) (1'-107') -*Canis lupus familiaris* IGKC\*01 (100%) (108'-217')]; dimère (234-234":237-237")-bisdisulfure, produit dans des cellules ovariennes de hamster chinois (CHO), lignée cellulaire CHO-K1, glycoforme alfa  
*antiviral (usage vétérinaire)*
- anivovetmab inmunoglobulina G2-kappa, anti-[proteína de cápsida mayor VP2 del parvovirus canino (*Canis lupus familiaris*)], anticuerpo monoclonal quimérico; cadena pesada gamma2 quimérica (1-457) [VH Ratnor/Canlupfam (*Rattus norvegicus* IGHV2-32\*01 (92.8%) -(IGHD) -IGHJ3\*01 (92.9%)/*Canis lupus familiaris* IGHV4-1\*01 (60.2%) -(IGHD) -IGHJ5\*01 (92.9%), CDR-IMGT [8.7.16] (26-33.51-57.96-111)) (1-122) -*Canis lupus familiaris* IGHG2\*02 (100%) (CH1 (123-219), bisagra 1-19 (220-238), CH2 (239-348), CH3 (349-455), CHS (456-457)) (123-457)], (137-213')-disulfuro con la cadena ligera kappa quimérica (1'-217') [V-KAPPA Ratnor/Canlupfam (*Rattus norvegicus* IGKV6S10\*01 (93.7%) -IGKJ5\*01 (100%)/*Canis lupus familiaris* IGKV3-18\*01 (65.6%) -IGKJ3\*01 (83.3%), CDR-IMGT [6.3.9] (27-32.50-52.89-97)) (1'-107') -*Canis lupus familiaris* IGKC\*01 (100%) (108'-217')]; dímero (234-234":237-237")-bisdisulfuro, producido en las células ováricas de hámster chino (CHO), línea celular CHO-K1, forma glicosilada alfa  
*antiviral (uso veterinario)*

2370896-63-0

## Heavy chain / Chaîne lourde / Cadena pesada

QVQLKESGPG LVAPSQTLQL TCTVSGFSLG SYVHVWVROP PGKGLEWLVG 50  
 MKNDDGDTSYN LALNSRLSIS RDTSKSQVFF KMSSLQTEDT ATYYCARPEL 100  
 PGLTYGVWFP YWGGQTLVTV SAASTTAPSV FPLAFSCGST SGGTVALACL 150  
 VSGYFPEPVT VSNMNSGLTS GVHTFPVSLQ SSGLYSLSSM VTPVSSRWFS 200  
 ETFTCNVAHP ASKTKVDKPV PKRENGRVRP PPDCEKCPAP EMLGGPSVFI 250  
 FFPKPKDPLL IARTPEVTCV VVDLDEPDEP VQISWVFDGK QMQTAKTQPR 300  
 EEQFNQTYRV VSVLPIGHQD WLKKGQFTCK VNNKALFSP I ERTISKARGQ 350  
 AHQFSVYVLP FSRRELSKNT VSLTCLIKDF FPFDDIVWQ SNGQQEPESK 400  
 YRTTFFQLDE DGSYFLYSKL SVDKSRWQRG DTFICAVMHE ALHNHYTQES 450  
 LSHSPGK 457

## Light chain / Chaîne légère / Cadena ligera

DIVMTQTPAS MSISVGDRTV MNCKASQNV D SNVDWYQQKT GQSPNLLIYK 50  
 ASNRNTGVDP RFTGSGSGTD FTFTISNMQA EDLAVYYCMQ STSYPLTFGS 100  
 GTKLEIKRND AQPAVYLFQF SPDQLHTGSA SVVCLLNSFY PKDINVKWKV 150  
 DGVLIQDTGIQ ESVTEQDKDS TYSLSLSTLM SSTEYLSHEL YSCEITHKSL 200  
 PSTLIKSFQR SECQRVD 217

## Post-translational modifications

Disulfide bridges location / Position des ponts disulfure / Posiciones de los puentes disulfuro

Intra-H (C23-C104) 22°-95' 149°-205' 269°-329' 375°-435'  
 22°-95" 149°-205" 269°-329" 375°-435"

Intra-L (C23-C104) 23°-88' 134°-193'  
 23°-88" 134°-193"

Inter-H-L (CH1 11-CL 126) 137°-213' 137°-213"

Inter-H-H (h 15, h 19) 234°-234" 237°-237"

N-terminal glutaminyl cyclization / Cyclisation du glutaminyle N-terminal / Ciclación del glutaminilo N-terminal

H VH Q1 > pyroglutamyl (pE, 5-oxopropyl): 1, 1"

N-glycosylation sites / Sites de N-glycosylation / Posiciones de N-glicosilación

H CH2 N84.4: 305, 305"

Fucosylated complex bi-antennary CHO-type glycans / glycanes de type CHO bi-antennaires complexes fucosylés / glicanos de tipo CHO biantenarijos complejos fucosilados.

C-terminal lysine clipping / Coupure de la lysine C-terminale / Recorte de lisina C-terminal

H CHS K2: 457, 457"

**atinvicitinibum**

atinvicitinib

1-[(3*R*,4*S*)-4-cyanooxan-3-yl]-3-[(2-fluoro-6-methoxy-pyridin-4-yl)amino]-1*H*-pyrazole-4-carboxamide

*Janus kinase inhibitor (veterinary use)*

atinvicitinib

1-[(3*R*,4*S*)-4-cyanooxan-3-yl]-3-[(2-fluoro-6-méthoxy-pyridin-4-yl)amino]-1*H*-pyrazole-4-carboxamide

*inhibiteur de la kinase de Janus (usage vétérinaire)*

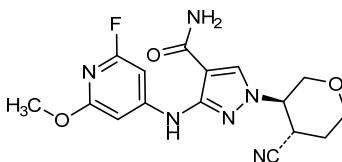
atinvicitinib

1-[(3*R*,4*S*)-4-cianooxan-3-il]-3-[(2-fluoro-6-metoxipiridin-4-il)amino]-1*H*-pirazol-4-carboxamida

*inhibidor de la kinasa de Janus (uso veterinario)*

C<sub>16</sub>H<sub>17</sub>FN<sub>6</sub>O<sub>3</sub>

2169273-59-8

**avutometinibum**

avutometinib

*N*-[3-fluoro-4-({4-methyl-2-oxo-7-[(pyrimidin-2-yl)oxy]-2*H*-1-benzopyran-3-yl)methyl}pyridin-2-yl]-*N'*-methylsulfuric diamide

*tyrosine kinase inhibitor, antineoplastic*

avutométinib

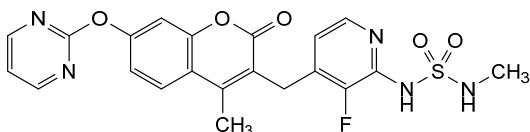
*N*-[3-fluoro-4-({4-méthyl-2-oxo-7-[(pyrimidin-2-yl)oxy]-2*H*-1-benzopyran-3-yl)méthyl}pyridin-2-yl]-*N'*-méthyldiamide sulfurique  
*inhibiteur de la tyrosine kinase, antinéoplasique*

avutometinib

*N*-[3-fluoro-4-({4-metil-2-oxo-7-[(pirimidin-2-il)oxi]-2*H*-1-benzopiran-3-il)metil}piridin-2-il]-*N'*-metildiamida sulfúrico  
*inhibidor de la tirosina kinasa, antineoplásico*

C<sub>21</sub>H<sub>18</sub>FN<sub>5</sub>O<sub>5</sub>S

946128-88-7

**azilsartanum mepixetilum**

azilsartan mepixetil

*rac*-(1*R*)-1-({(3,5,6-triméthylpyrazin-2-yl)méthoxy}carbonyl)oxyéthyl 2-éthoxy-1-{{2'-(5-oxo-2,5-dihydro-1,2,4-oxadiazol-3-yl)[1,1'-biphényl]-4-yl)méthyl}-1*H*-benzimidazole-7-carboxylate  
*angiotensin II receptor antagonist*

azilsartan mépixétil

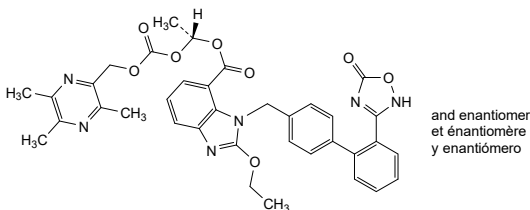
*rac*-2-éthoxy-1-{{2'-(5-oxo-2,5-dihydro-1,2,4-oxadiazol-3-yl)[1,1'-biphényl]-4-yl)méthyl}-1*H*-benzimidazole-7-carboxylate de (1*R*)-1-({(3,5,6-triméthylpyrazin-2-yl)méthoxy}carbonyl)oxyéthyle  
*antagoniste du récepteur de l'angiotensine II*

azilsartán mepixetil

*rac*-2-etoxi-1-{{2'-(5-oxo-2,5-dihydro-1,2,4-oxadiazol-3-il)[1,1'-bifenil]-4-il)metil}-1*H*-benzimidazol-7-carboxilato de (1*R*)-1-({(3,5,6-trimetilpirazin-2-il)metoxi}carbonil)oxi)etililo  
*antagonista del receptor de la angiotensina II*

C<sub>36</sub>H<sub>34</sub>N<sub>6</sub>O<sub>8</sub>

1596357-16-2



and enantiomer  
et énantiomère  
y enantiómero

**azilsartanum mopivabilum**

azilsartan mopivabil

{4-[(2,2-diméthylpropanoyl)oxy]-3-méthoxyphényl)méthyl 2-éthoxy-1-{{2'-(5-oxo-2,5-dihydro-1,2,4-oxadiazol-3-yl)[1,1'-biphényl]-4-yl)méthyl}-1*H*-benzimidazole-7-carboxylate  
*angiotensin II receptor antagonist*



azilsartan mopivabil

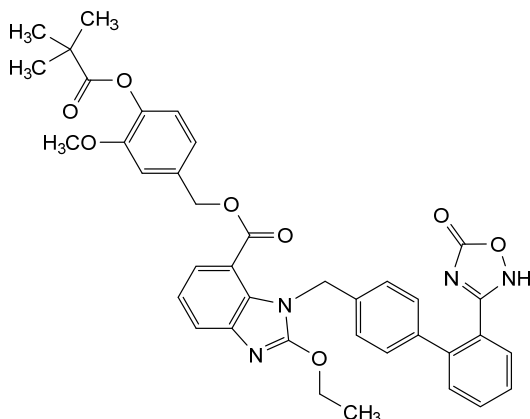
2-éthoxy-1-[[2'-(5-oxo-2,5-dihydro-1,2,4-oxadiazol-3-yl)[1,1'-biphényl]-4-yl]méthyl]-1H-benzimidazole-7-carboxylate de {4-[(2,2-diméthylpropanoïl)oxy]-3-méthoxyphényl}méthyle  
*antagoniste du récepteur de l'angiotensine II*

azilsartán mopivabilo

2-etoxi-1-[[2'-(5-oxo-2,5-dihidro-1,2,4-oxadiazol-3-il)[1,1'-bifenil]-4-il]metil]-1H-benzimidazol-7-carboxilato de {4-[(2,2-dimetilpropanoil)oxi]-3-metoxifenil}metilo  
*antagonista del receptor de la angiotensina II*

C<sub>38</sub>H<sub>36</sub>N<sub>4</sub>O<sub>8</sub>

2271428-31-8

**bafrekalantum**

bafrekalant

(3-chloro-6-méthoxypyridin-2-yl)[3-({2-[4-(propan-2-yl)phényl]imidazo[1,2-a]pyrimidin-3-yl}méthyl)-3,8-diazabicyclo[3.2.1]octan-8-yl]méthanone  
*potassium channel blocker*

bafrékalant

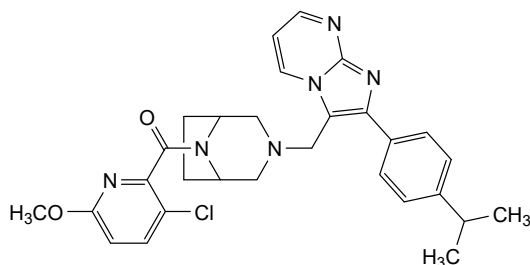
(3-chloro-6-méthoxypyridin-2-yl)[3-({2-[4-(propan-2-yl)phényl]imidazo[1,2-a]pyrimidin-3-yl}méthyl)-3,8-diazabicyclo[3.2.1]octan-8-yl]méthanone  
*bloqueur des canaux potassiques*

bafrekalant

(3-cloro-6-metoxipiridin-2-il)[3-({2-[4-(propan-2-il)fenil]imidazo[1,2-a]pirimidin-3-il}metil)-3,8-diazabicyclo[3.2.1]octan-8-il]metanona  
*bloqueante de los canales de potasio*

C<sub>29</sub>H<sub>31</sub>ClN<sub>6</sub>O<sub>2</sub>

2256770-44-0



**balcinrenonum**

balcinrenone

2-[(3*S*)-7-fluoro-4-(3-oxo-3,4-dihydro-2*H*-1,4-benzoxazine-6-carbonyl)-3,4-dihydro-2*H*-1,4-benzoxazin-3-yl]-*N*-methylacetamide  
*non-steroidal mineralocorticoid receptor partial antagonist*

balcinrénone

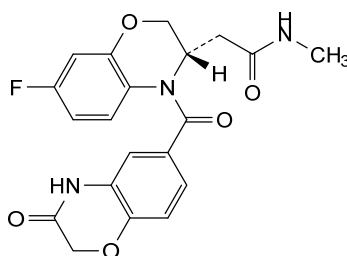
2-[(3*S*)-7-fluoro-4-(3-oxo-3,4-dihydro-2*H*-1,4-benzoxazine-6-carbonyl)-3,4-dihydro-2*H*-1,4-benzoxazin-3-yl]-*N*-méthylacétamide  
*antagoniste partiel non-stéroïdien des récepteurs des minéralocorticoïdes*

balcinrenona

2-[(3*S*)-7-fluoro-4-(3-oxo-3,4-dihidro-2*H*-1,4-benzoxazina-6-carbonil)-3,4-dihidro-2*H*-1,4-benzoxazin-3-il]-*N*-metilacetamida  
*antagonista parcial no esteroideo de los receptores de los mineralocorticoïdes*

C<sub>20</sub>H<sub>18</sub>FN<sub>3</sub>O<sub>5</sub>

1850385-64-6

**benzgalantaminum**

benzgalantamine

(4*aS*,6*R*,8*aS*)-3-methoxy-11-methyl-4*a*,5,9,10,11,12-hexahydro-6*H*-[1]benzofuro[3*a*,3,2-*ef*][2]benzazepin-6-yl benzoate;  
3-*O*-benzoylgalanthamine  
*cholinergic agent*

benzgalantamine

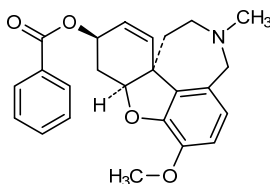
benzoate de (4*aS*,6*R*,8*aS*)-3-méthoxy-11-méthyl-4*a*,5,9,10,11,12-hexahydro-6*H*-[1]benzofuro[3*a*,3,2-*ef*][2]benzazépin-6-yle;  
3-*O*-benzoylgalanthamine  
*agent cholinergique*

benzgalantamina

benzoato de (4*aS*,6*R*,8*aS*)-11-metil-3-metoxi-4*a*,5,9,10,11,12-hexahidro-6*H*-[1]benzofuro[3*a*,3,2-*ef*][2]benzazepin-6-ilo;  
3-*O*-benzoilgalantamina  
*colinérgico*

C<sub>24</sub>H<sub>25</sub>NO<sub>4</sub>

224169-27-1



**bersiporocinum**

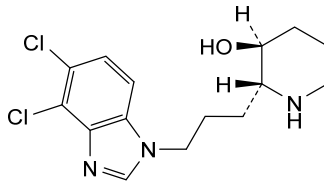
bersiporocin (2*R*,3*S*)-2-[3-(4,5-dichloro-1*H*-benzimidazol-1-yl)propyl]piperidin-3-ol  
*prolyl-tRNA synthetase inhibitor, antifibrotic*

bersiporocine (2*R*,3*S*)-2-[3-(4,5-dichloro-1*H*-benzimidazol-1-yl)propyl]pipéridin-3-ol  
*inhibiteur de la prolyl-ARNt-synthétase, antifibrotique*

bersiporocina (2*R*,3*S*)-2-[3-(4,5-dicloro-1*H*-benzimidazol-1-il)propil]piperidin-3-ol  
*inhibidor de la proliil-tRNA sintetasa, antifibrótico*

C<sub>15</sub>H<sub>19</sub>Cl<sub>2</sub>N<sub>3</sub>O

2241808-52-4

**betifisolimabum #**

betifisolimab

immunoglobulin G1-kappa, anti-[*Homo sapiens* CD274 (programmed death ligand 1, PDL1, PD-L1, B7 homolog 1, B7H1)], monoclonal antibody;  
gamma1 heavy chain (1-449) [VH Musmus/Homsap (*Mus musculus* IGHV1-64\*01 (84.7%) -(IGHD) -IGHJ2\*01 (93.3%) T122>S (113)/*Homo sapiens* IGHV1-2\*02 (79.6%) -(IGHD) -IGHJ4\*01 (80.0%) T122>S (113), L123>T (114), V124>L (115), CDR-IMGT [8.8.12] (26-33.51-58.97-108))] (1-119) -*Homo sapiens* IGHG1\*01, G1m17,1, G1v29 CH2 N84.4>A (CH1 K120 (216) (120-217), hinge 1-15 (218-232), CH2 N84.4>A (299) (233-342), CH3 D12 (358), L14 (360) (343-447), CHS (448-449)) (120-449)], (222-218')-disulfide with kappa light chain (1'-218') [V-KAPPA Musmus/Homsap (*Mus musculus* IGKV3-5\*01 (93.9%) -IGKJ2\*01 (100%)/*Homo sapiens* IGKV4-1\*01 (65.3%) -IGKJ2\*01 (91.7%) Q120>G (104), CDR-IMGT [10.3.9] (27-36.54-56.93-101)) (1'-111') -*Homo sapiens* IGKC\*01 (100%), Km3 A45.1 (157), V101 (195) (112'-218')]; dimer (228-228":231-231")-bisdisulfide, produced in Chinese hamster ovary (CHO) cells, cell line CHO-K1, non-glycosylated  
*immunomodulator, antineoplastic*

bétifisolimab

immunoglobuline G1-kappa, anti-[*Homo sapiens* CD274 (ligand 1 de mort programmée, PDL1, PD-L1, homologue 1 de B7, B7H1)], anticorps monoclonal;  
chaîne lourde gamma1 (1-449) [VH Musmus/Homsap (*Mus musculus* IGHV1-64\*01 (84.7%) -(IGHD) -IGHJ2\*01 (93.3%) T122>S (113)/*Homo sapiens* IGHV1-2\*02 (79.6%) -(IGHD) -IGHJ4\*01 (80.0%) T122>S (113), L123>T (114), V124>L (115), CDR-IMGT [8.8.12] (26-33.51-58.97-108))] (1-119) -*Homo sapiens* IGHG1\*01, G1m17,1, G1v29 CH2 N84.4>A (CH1 K120 (216) (120-217), charnière 1-15 (218-232), CH2 N84.4>A (299) (233-342), CH3 D12 (358), L14 (360) (343-447), CHS (448-449)) (120-449)], (222-218')-disulfure avec la chaîne légère kappa (1'-218') [V-KAPPA Musmus/Homsap (*Mus musculus* IGKV3-5\*01 (93.9%) -IGKJ2\*01 (100%)/*Homo sapiens* IGKV4-1\*01 (65.3%) -IGKJ2\*01 (91.7%) Q120>G (104), CDR-IMGT [10.3.9] (27-36.54-56.93-101)) (1'-111') -*Homo sapiens* IGKC\*01 (100%), Km3 A45.1 (157), V101 (195) (112'-218')]; dimère (228-228":231-231")-bisdisulfure, produit dans des cellules ovariennes de hamster chinois (CHO), lignée cellulaire CHO-K1, non-glycosylé  
*immunomodulateur, antinéoplasique*

betifisolimab

inmunoglobulina G1-kappa, anti-[*Homo sapiens* CD274 (ligando 1 de muerte programada, PDL1, PD-L1, homólogo 1 de B7, B7H1)], anticuerpo monoclonal; cadena pesada gamma1 (1-449) [VH Musmus/Homsap (*Mus musculus* IGHV1-64\*01 (84.7%) -(IGHD) -IGHJ2\*01 (93.3%) T122>S (113)/*Homo sapiens* IGHV1-2\*02 (79.6%) -(IGHD) -IGHJ4\*01 (80.0%) T122>S (113), L123>T (114), V124>L (115), CDR-IMGT [8.8.12] (26-33.51-58.97-108)) (1-119) -*Homo sapiens* IGHG1\*01, G1m17,1, G1v29 CH2 N84.4>A (CH1 K120 (216) (120-217), bisagra 1-15 (218-232), CH2 N84.4>A (299) (233-342), CH3 D12 (358), L14 (360) (343-447), CHS (448-449)) (120-449)], (222-218')-disulfuro con la cadena ligera kappa (1'-218') [V-KAPPA Musmus/Homsap (*Mus musculus* IGKV3-5\*01 (93.9%) -IGKJ2\*01 (100%)/*Homo sapiens* IGKV4-1\*01 (65.3%) -IGKJ2\*01 (91.7%) Q120>G (104), CDR-IMGT [10.3.9] (27-36.54-56.93-101)) (1'-111') -*Homo sapiens* IGKC\*01 (100%), Km3 A45.1 (157), V101 (195) (112'-218')]; dímero (228-228":231-231")-bisulfuro, producido en las células ováricas de hámster chino (CHO), línea celular CHO-K1, no glicosilado  
*inmunomodulador, antineoplásico*

2460539-60-8

Heavy chain / Chaîne lourde / Cadena pesada

QVQLVQSGAE VKKPGASVKL SCKASGYIFT TYMHMVKQR PQGLEWIGM 50  
IQPNSGGTKY NEKFKKKAIL TVDKSISTAY MELSRILSDD TAVYYCARGA 100  
GTVDYFDYWG QGSTLTVSSA STKGPSVFLP AFSSKSTSGG TAALGCLVKD 150  
YFPEPVTYSW NSGALTSQVH TFFPAVLQSSG LYSLSVTVV PSSSLGTQTY 200  
ICNVNHKFSN TKVDKKEPKK SCDKHTCTPP CPAPELLGGP SVFLFPPKPK 250  
DTLMIKRTPE VTCVVVDVSH EDPEVKFNMY VDGVEVHNAK TKPREBQYAS 300  
TYRVVSVLTV LHQDMLNGKE YKCKVSNKAL PAPIEKTISK ARGQPREPQV 350  
YTLPPSRDEL TKNQVSLTCL VKGIFYPSDIA VEWESNGQPE NNYKTTPEVL 400  
DSDGFFFLYS KLTVDKSRWQ QGNVFCSCVM HEALHNHYTQ KSLSLSPGK 449

Light chain / Chaîne légère / Cadena ligera

DIVLTQSPAS LAVSVGQRAT ITCRASESVD IYGNFHMHW QKQPGQPPKL 50  
LIYRASNLSE GIPARFSGSG SRTDFTLTIN PVEAQTATY YCQSTEDPY 100  
TFGGGTKLEI KRTVAAPSVF IFFPSDEQLK SGTASVCLL NNFYPREAKV 150  
QWKVDNALQS GNSQESVTEQ DSKDSTYSLS STLTLSKADY EKHKVYACEV 200  
THQGLSSPVT KSNFRGEC 218

**Post-translational modifications**

Disulfide bridges location / Position des ponts disulfure / Posiciones de los puentes disulfuro

Intra-H (C23-C104) 22-96 146-202 263-323 369-427  
22"-96" 146"-202" 263"-323" 369"-427"

Intra-L (C23-C104) 23"-92" 138"-198"  
23"-92" 138"-198"

Inter-H-L (h 5-CL 126) 222-218' 222"-218"

Inter-H-H (h 11, h 14) 228-228" 231-231"

N-terminal glutaminyl cyclization / Cyclisation du glutaminyle N-terminal / Ciclación del glutamínilo N-terminal

H V H Q1 &gt; pyroglutamyI (pE, 5-oxoprolyl): 1, 1"

No N-glycosylation site / pas de site de N-glycosylation / ningún posición de N-glicosilación

H CH2 N84.4>A (G1v29): 299, 299"  
Aglycosylated / aglycosylé / aglicósilado

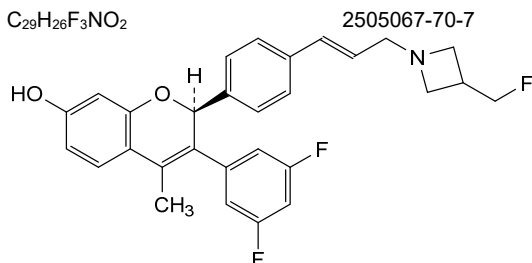
C-terminal lysine clipping / Coupure de la lysine C-terminale / Recorte de lisina C-terminal  
H CHS K2: 449, 449"

**bexirestrantum**  
bexirestrant

(2<sup>2</sup>S,4E)-1<sup>3</sup>,1<sup>5</sup>-difluoro-7<sup>3</sup>-(fluoromethyl)-2<sup>4</sup>-methyl-2<sup>2</sup>H-7(1)-azetidina-2(3,2)-[1]benzopyrana-1(1),3(1,4)-dibenzenaheptaphan-4-en-2<sup>7</sup>-ol  
*antiestrogen, antineoplásico*

béxirestrant (2<sup>2</sup>S,4E)-1<sup>3</sup>,1<sup>5</sup>-difluoro-7<sup>3</sup>-(fluorométhyl)-2<sup>4</sup>-méthyl-2<sup>2</sup>H-7(1)-azétidina-2(3,2)-[1]benzopyrana-1(1),3(1,4)-dibenzénaheptaphan-4-én-2<sup>7</sup>-ol  
*anti-œstrogène, antinéoplasique*

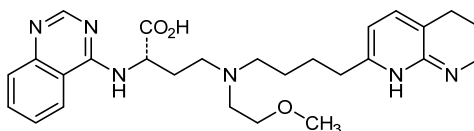
bexirestrant (2<sup>2</sup>S,4E)-1<sup>3</sup>,1<sup>5</sup>-difluoro-7<sup>3</sup>-(fluorometil)-2<sup>4</sup>-metil-2<sup>2</sup>H-7(1)-azetidina-2(3,2)-[1]benzopirana-1(1),3(1,4)-dibencenaheptafan-4-en-2<sup>7</sup>-ol  
*antiestrógeno, antineoplásico*

**bexotegrastum**

bexotegrast (2S)-4-((2-methoxyethyl)[4-(5,6,7,8-tetrahydro-1,8-naphthyridin-2-yl)butyl]amino)-2-[(quinazolin-4-yl)amino]butanoic acid  
*non-steroidal anti-inflammatory*

béxotégrast acide (2S)-4-((2-méthoxyéthyl)[4-(5,6,7,8-tétrahydro-1,8-naphtyridin-2-yl)butyl]amino)-2-[(quinazolin-4-yl)amino]butanoïque  
*anti-inflammatoire non-stéroïdien*

bexotegrast ácido (2S)-4-((2-metoxietil)[4-(5,6,7,8-tetrahydro-1,8-naftiridin-2-il)butil]amino)-2-[(quinazolin-4-il)amino]butanoico  
*antiinflamatorio no esteroide*

**bezuclastinibum**

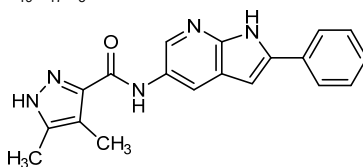
bezuclastinib 4,5-dimethyl-N-(2-phenyl-1H-pyrrolo[2,3-b]pyridin-5-yl)-1H-pyrazole-3-carboxamide  
*tyrosine kinase inhibitor*

bézuclastinib 4,5-diméthyl-N-(2-phényl-1H-pyrrolo[2,3-b]pyridin-5-yl)-1H-pyrazole-3-carboxamide  
*inhibiteur de la tyrosine kinase*

bezuclastinib N-(2-fenil-1H-pirrolo[2,3-b]piridin-5-il)-4,5-dimetil-1H-pirazol-3-carboxamida  
*inhibidor de la tirosina kinasa*

C<sub>19</sub>H<sub>17</sub>N<sub>5</sub>O

1616385-51-3



**bliretriginum**  
bliretrigine

(2S)-2-((1-ethyl-6-(4-methylphenoxy)-1H-benzimidazol-2-yl)methyl)amino)propanamide  
*sodium channel blocker, analgesic*

blirétrigine

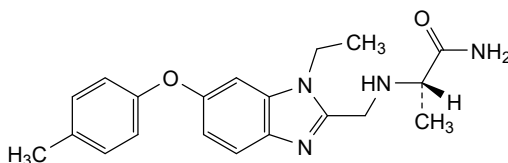
(2S)-2-((1-éthyl-6-(4-méthylphénoxy)-1H-benzimidazol-2-yl)méthyl)amino)propanamide  
*bloqueur des canaux sodiques, analgésique*

bliretrigina

(2S)-2-((1-etil-6-(4-metilfenoxi)-1H-benzimidazol-2-il)metil)amino)propanamida  
*bloqueante de los canales del sodio, analgésico*

C<sub>20</sub>H<sub>24</sub>N<sub>4</sub>O<sub>2</sub>

1233229-75-8



**bocidelparum**  
bocidelpar

(3R)-3-methyl-6-[2-((5-methyl-2-[4-(trifluoromethyl)phenyl]-1H-imidazol-1-yl)methyl)phenoxy]hexanoic acid  
*peroxisome proliferator-activated receptor (PPAR) delta agonist*

bocidelpar

acide (3R)-3-méthyl-6-[2-((5-méthyl-2-[4-(trifluorométhyl)phényl]-1H-imidazol-1-yl)méthyl)phénoxy]hexanoïque  
*agoniste des récepteurs delta activés par les proliférateurs de peroxysomes (PPAR)*

bocidelpar

ácido (3R)-3-metil-6-[2-((5-metil-2-[4-(trifluorometil)fenil]-1H-imidazol-1-il)metil)fenoxi]hexanoico  
*agonista de los receptores delta activados por los factores de proliferación de peroxisomas (PPAR)*



**briquilimabum #**  
briquilimab

immunoglobulin G1-kappa, anti-[*Homo sapiens* KIT (KIT proto-oncogene, receptor tyrosine kinase, C-Kit, c-kit, SCFR, CD117)], monoclonal antibody;  
gamma1 heavy chain (1-447) [VH (*Homo sapiens* IGHV1-3\*01 (87.8%) -(IGHD) -IGHJ6\*01 (90.9%) T123>L (112), CDR-IMGT [8.8.10] (26-33.51-58.97-106))] (1-117) -*Homo sapiens* IGHG1\*01, G1m17,1, G1v36 CH2 N84.4>Q (CH1 K120 (214) (118-215), hinge 1-15 (216-230), CH2 N84.4>Q (297) (231-340), CH3 D12 (356), L14 (358) (341-445), CHS (446-447)) (118-447)], (220-218')-disulfide with kappa light chain (1'-218') [V-KAPPA Musmus/Homsap (*Mus musculus* IGKV3-10\*01 (84.8%) -IGKJ2\*01 (91.7%) L124>V (108)]/*Homo sapiens* IGKV4-1\*01 (80.2%) -IGKJ4\*01 (100%), CDR-IMGT [10.3.9] (27-36.54-56.93-101)) (1'-111') -*Homo sapiens* IGKC\*01 (100%), Km3 A45.1 (157), V101 (195) (112'-218')]; dimer (226-226":229-229")-bisdisulfide, produced in Chinese hamster ovary (CHO) cells, non-glycosylated  
*immunomodulator*

## briquilimab

immunoglobuline G1-kappa, anti-[*Homo sapiens* KIT (proto-oncogène KIT, récepteur tyrosine kinase, CD117, SCFR, C-Kit)], anticorps monoclonal;  
chaîne lourde gamma1 (1-447) [VH (*Homo sapiens* IGHV1-3\*01 (87.8%) -(IGHD) -IGHJ6\*01 (90.9%) T123>L (112), CDR-IMGT [8.8.10] (26-33.51-58.97-106))] (1-117) -*Homo sapiens* IGHG1\*01, G1m17,1, G1v36 CH2 N84.4>Q (CH1 K120 (214) (118-215), charnière 1-15 (216-230), CH2 N84.4>Q (297) (231-340), CH3 D12 (356), L14 (358) (341-445), CHS (446-447)) (118-447)], (220-218')-disulfure avec la chaîne légère kappa (1'-218') [V-KAPPA Musmus/Homsap (*Mus musculus* IGKV3-10\*01 (84.8%) -IGKJ2\*01 (91.7%) L124>V (108)]/*Homo sapiens* IGKV4-1\*01 (80.2%) -IGKJ4\*01 (100%), CDR-IMGT [10.3.9] (27-36.54-56.93-101)) (1'-111') -*Homo sapiens* IGKC\*01 (100%), Km3 A45.1 (157), V101 (195) (112'-218')]; dimère (226-226":229-229")-bisdisulfure, produit dans des cellules ovariennes de hamster chinois (CHO), non-glycosylé  
*immunomodulateur*

## briquilimab

immunoglobulina G1-kappa, anti-[*Homo sapiens* KIT (proto-oncogén KIT, receptor tirosina kinasa, CD117, SCFR, C-Kit)], anticuerpo monoclonal;  
cadena pesada gamma1 (1-447) [VH (*Homo sapiens* IGHV1-3\*01 (87.8%) -(IGHD) -IGHJ6\*01 (90.9%) T123>L (112), CDR-IMGT [8.8.10] (26-33.51-58.97-106))] (1-117) -*Homo sapiens* IGHG1\*01, G1m17,1, G1v36 CH2 N84.4>Q (CH1 K120 (214) (118-215), bisagra 1-15 (216-230), CH2 N84.4>Q (297) (231-340), CH3 D12 (356), L14 (358) (341-445), CHS (446-447)) (118-447)], (220-218')-disulfuro con la cadena ligera kappa (1'-218') [V-KAPPA Musmus/Homsap (*Mus musculus* IGKV3-10\*01 (84.8%) -IGKJ2\*01 (91.7%) L124>V (108)]/*Homo sapiens* IGKV4-1\*01 (80.2%) -IGKJ4\*01 (100%), CDR-IMGT [10.3.9] (27-36.54-56.93-101)) (1'-111') -*Homo sapiens* IGKC\*01 (100%), Km3 A45.1 (157), V101 (195) (112'-218')]; dímero (226-226":229-229")-bisdisulfuro, producido en las células ováricas de hámster chino (CHO), no glicosilado  
*immunomodulador*



2574591-89-0

Heavy chain / Chaîne lourde / Cadena pesada  
 QVQLVQSGAE VKKPGASVKV SCKASGYFTT SYNHWVVRQA PGQGLEWGMV 50  
 IYSGNGDTSY NQKFKGRVTI TADKSTSTAY MELSSLRSED TAVYYCARER 100  
 DTRFGNWQQG TLVTVSSAST KGPSVFPLAP SSKSTSGGTA ALGCLVKDYF 150  
 PEPVTVSWNS GALTSGVHFT PAVLQSSGLY SLSSVVTVPV SSLGTQTYIC 200  
 NVNHHKPSNTK VDKKVEPKSC DKTHTCPCCP APELLGGPSV FLPPKPKDT 250  
 LMI SRTPEVT CVVVDVSHED PEVKFNWYVD GVEVHNAKTK FREEQYQSTY 300  
 RVVSVLTVLH QDWLNGKEYK CKVSNKALPA FIEKTIKAK GQFPREPQVYT 350  
 LPFSRDELTK NQVSLTCLVK GFYPSDIAVE WESNGQPENN YKTTFPVLDL 400  
 DGSFFLYSKL TVDKSRWQQG NVFSCSVME ALHNHYTQKS LLSLSPGK 447

Light chain / Chaîne légère / Cadena ligera  
 DIVMTQSPDS LAVSLGERAT INCREASEVD IYGNFMHWY QQKPGQPPKL 50  
 LIYLANLES GVPDRFSGSG SGTDFTLTIS SLQAEDVAVY YCQQNEDPY 100  
 TFGGKTKVEI KRTVAAPSVF IFPPSDEQLK SGTASVCLL NNFYPREAKV 150  
 QWKVDNALQS GNSQESVTEQ DSKDSTYSLS STLTLKADY EKHKVYACEV 200  
 THQGLSSPVT KSFNRGEC 218

**Post-translational modifications**

Disulfide bridges location / Position des ponts disulfure / Posiciones de los puentes disulfuro

Intra-H (C23-C104) 22-96 144-200 261-321 367-425  
 22"-96" 144"-200" 261"-321" 367"-425"

Intra-L (C23-C104) 23'-92' 138'-198'  
 23'''-92''' 138'''-198'''

Inter-H-L (h 5-CL 126) 220-218' 220"-218"

Inter-H-H (h 11, h 14) 226-226" 229-229"

N-terminal glutaminyl cyclization / Cyclisation du glutaminyle N-terminal / Ciclación del

glutaminilo N-terminal

H VH Q1 > pyroglutamyl (pE, 5-oxoprolyl): I, I<sup>a</sup>

No N-glycosylation site / pas de site de N-glycosylation / ningún posición de N-glicosilación

H CH2 N84.4-Q (G1v36): 297, 297<sup>a</sup>

Aglycosylated / aglycosylé / aglicosilado

C-terminal lysine clipping / Coupure de la lysine C-terminale / Recorte de lisina C-terminal

H CHS K2: 447, 447<sup>a</sup>**burfiralimab #**  
burfiralimab

immunoglobulin G4-kappa, anti-[*Homo sapiens* VIM (vimentin)], humanized monoclonal antibody;  
 gamma4 heavy chain humanized (1-445) [VH (*Homo sapiens* IGHV1-2\*06 (86.7%) -(IGHD)-IGHJ4\*01 (100%), CDR-IMGT [8.8.11] (26-33.51-58.97-107)) (1-118)-*Homo sapiens* IGHG4\*01 (100%) (CH1 (119-216), hinge 1-12 (217-228), CH2 (229-338), CH3 (339-443), CHS (444-445)) (119-445)], (132-214')-disulfide with kappa light chain humanized (1'-214') [V-KAPPA (*Homo sapiens* IGKV1-39\*01 (85.3%) -IGKJ4\*01 (100%), CDR-IMGT [6.3.9] (27-32.50-52.89-97)) (1'-107') -*Homo sapiens* IGKC\*01 (100%), Km3 A45.1 (153), V101 (191) (108'-214')]; dimer (224-224":227-227")-bisdisulfide, produced in Chinese hamster ovary (CHO) cells, cell line CHO-K1SV lacking the glutamine synthetase (GS-KO) gene, glycoform alfa *immunomodulator*

## burfiralimab

immunoglobuline G4-kappa, anti-[*Homo sapiens* VIM (vimentine)], anticorps monoclonal humanisé;  
 chaîne lourde gamma4 humanisée (1-445) [VH (*Homo sapiens* IGHV1-2\*06 (86.7%) -(IGHD)-IGHJ4\*01 (100%), CDR-IMGT [8.8.11] (26-33.51-58.97-107)) (1-118)-*Homo sapiens* IGHG4\*01 (100%) (CH1 (119-216), charnière 1-12 (217-228), CH2 (229-338), CH3 (339-443), CHS (444-445)) (119-445)], (132-214')-disulfure avec la chaîne légère kappa humanisée (1'-214') [V-KAPPA (*Homo sapiens* IGKV1-39\*01 (85.3%) -IGKJ4\*01 (100%), CDR-IMGT [6.3.9] (27-32.50-52.89-97)) (1'-107') -*Homo sapiens* IGKC\*01 (100%), Km3 A45.1 (153), V101 (191) (108'-214')]; dimère (224-224":227-227")-bisdisulfure, produit dans des cellules ovariennes de hamster chinois (CHO), lignée cellulaire CHO-K1SV ne présentant pas le gène de la glutamine synthétase (GS-KO), glycoforme alfa *immunomodulateur*

burfiralimab

immunoglobulina G4-kappa, anti-[*Homo sapiens* VIM (vimentina)], anticuerpo monoclonal humanizado; cadena pesada gamma4 humanizada (1-445) [VH (*Homo sapiens* IGHV1-2\*06 (86.7%) -(IGHD) - IGHJ4\*01 (100%), CDR-IMGT [8.8.11] (26-33.51-58.97-107)) (1-118)-*Homo sapiens* IGHG4\*01 (100%) (CH1 (119-216), bisagra 1-12 (217-228), CH2 (229-338), CH3 (339-443), CHS (444-445)) (119-445)], (132-214)-disulfuro con la cadena ligera kappa humanizada (1'-214') [V-KAPPA (*Homo sapiens* IGKV1-39\*01 (85.3%) -IGKJ4\*01 (100%), CDR-IMGT [6.3.9] (27-32.50-52.89-97)) (1'-107') -*Homo sapiens* IGKC\*01 (100%), Km3 A45.1 (153), V101 (191) (108'-214')]; dímero (224-224":227-227")-bisdisulfuro, producido en las células ováricas de hámster chino (CHO), línea celular CHO-K1SV en ausencia del gen glutamina sintetasa (GS-KO), forma glicosilada alfa *immunomodulador*

2460809-80-5

Heavy chain / Chaîne lourde / Cadena pesada

```
EVQLVQSGAE VKKPGASVKV SCRASGYTFT GYNMNVWRQA PGKGLEWMGN 50
IDPYYGSDTY AQKFQGRVTM TVDKSISTAY MELSLRSDDD TAVYVCARET 100
GTRAMDYNGQ GTLVTVSSAS TKGSPVFLPA PCSRSTSEST AALGCLVKDY 150
FFEPVTVSWN SGALTSVGHHT FPAVLQSSGL YLSLSVVTVP SSSLGKTKYT 200
CNVDHFKPNT KVDKRRESKY GPPCPSCPAP EFLGGPSVFL FPPKPKDTLM 250
ISRTPEVTCV VVDVSGEDPE VQFNWYVDGV EVHNAKTKPR EEQFNSTYRV 300
VSVLTVLHQD MINGKEYKCK VSNKGLPSSI EKTISKAKGQ PREPQVYITLP 350
PSQEEMTKMQ VSLTCLVKGK YPSDIAVEWE SNGQPFENYK TTPPVLDSDG 400
SFFLYSRLTV DKSRWQEGNV FSCVSMHEAL HNHYTQKSLK LSLGK 445
```

Light chain / Chaîne légère / Cadena ligera

```
DIQMTQSPSS LSASVGDRTV ITCRASENIY SNLAWYQQKPK GKAPKLLIYV 50
ADNLADGVPS RFGSGSGSDT FTLTISLQPF EDFATYYCQH FYGSPRTFGG 100
GTRKVEIKRVT AAPSVFIFPP SDEQLKSGTA SVVCLLNIFY PREAKVQWKV 150
DNALQSGNSQ ESVTEQDSKD STYLSLSTLT LSKADYEHKK VYACEVTHQG 200
LSSFPVTKSFN RGEC 214
```

Post-translational modifications

Disulfide bridges location / Position des ponts disulfure / Posiciones de los puentes disulfuro

Intra-H (C23-C104) 22"-96" 145"-201" 259"-319" 365"-423"  
22"-96" 145"-201" 259"-319" 365"-423"

Intra-L (C23-C104) 23"-88" 134"-194"  
23"-88" 134"-194"

Inter-H-L (CH1 10-CL 126) 132"-214" 132"-214"  
Inter-H-H (h 8, h 11) 224"-224" 227"-227"

N-glycosylation sites / Sites de N-glycosylation / Posiciones de N-glicosilación

H CH2 N84.4: 295, 295"

Fucosylated complex bi-antennary CHO-type glycans / glycanes de type CHO bi-antennaires complexes fucosylés / glicanos de tipo CHO biantenarios complejos fucosilados.

C-terminal lysine clipping / Coupure de la lysine C-terminale / Recorte de lisina C-terminal  
H CHS K2: 445, 445"

cabamiquinum

cabamiquine

6-fluoro-2-{4-[(morpholin-4-yl)methyl]phenyl}-N-[2-(pyrrolidin-1-yl)ethyl]quinoline-4-carboxamide  
*antimalaria*

cabamiquine

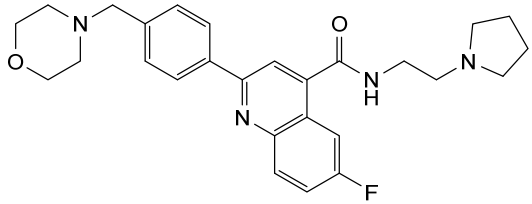
6-fluoro-2-{4-[(morpholin-4-yl)méthyl]phényl}-N-[2-(pyrrolidin-1-yl)éthyl]quinoléine-4-carboxamide  
*antipaludique*

cabamiquina

6-fluoro-2-{4-[(morfolin-4-il)metil]fenil}-N-[2-(pirrolidin-1-il)etil]quinoleína-4-carboxamida  
*antipalúdico*

C<sub>27</sub>H<sub>31</sub>FN<sub>4</sub>O<sub>2</sub>

1469439-69-7



**camoteskimabum #**  
camoteskimab

immunoglobulin G1-kappa, anti-[*Homo sapiens* IL18 (interleukin 18, IL-18, interferon gamma-inducing factor, IGIF, interleukin-1 gamma, IL-1 $\gamma$ , IL1F4)], *Homo sapiens* monoclonal antibody; gamma1 heavy chain *Homo sapiens* (1-455) [VH (*Homo sapiens* IGHV4-39\*01 (91.9%) -(IGHD) - IGHJ2\*01 (86.7%), CDR-IMGT [10.7.17] (26-35.53-59.98-114)) (1-125) -*Homo sapiens* IGHG1\*03, G1m3, nG1m1, G1v39 CH2 F1.3, E1.2, S116 (CH1 A1.4>S (127), S1.3>T (128), T1.2>K (129), K1.1>C (130), G1>L (131), R120 (222) (126-223), hinge 1-15 (224-238), CH2 L1.3>F (242), L1.2>E (243), P116>S (339) (239-348), CH3 E12 (364), M14 (366) (349-453), CHS (454-455)) (126-455)], (228-214')-disulfide with kappa light chain *Homo sapiens* (1'-214') [V-KAPPA (*Homo sapiens* IGKV1-5\*03 (96.7%) -IGKJ2\*02 (100%), CDR-IMGT [6.3.9] (27-32.50-52.89-97)) (1'-107') -*Homo sapiens* IGKC\*01 (100%), Km3 A45.1 (153), V101 (191) (108'-214')]; dimer (234-234":237-237")-bisdisulfide, produced in Chinese hamster ovary (CHO) cells, cell line CHO-K1SV, glycoform alfa *immunomodulator, antineoplastic*

camoteskimab

immunoglobuline G1-kappa, anti-[*Homo sapiens* IL18 (interleukine 18, IL-18, facteur induisant l'interféron gamma, IGIF, interleukine-1 gamma, IL-1 $\gamma$ , IL1F4)], anticorps monoclonal *Homo sapiens*; chaîne lourde gamma1 *Homo sapiens* (1-455) [VH (*Homo sapiens* IGHV4-39\*01 (91.9%) -(IGHD) - IGHJ2\*01 (86.7%), CDR-IMGT [10.7.17] (26-35.53-59.98-114)) (1-125) -*Homo sapiens* IGHG1\*03, G1m3, nG1m1, G1v39 CH2 F1.3, E1.2, S116 (CH1 A1.4>S (127), S1.3>T (128), T1.2>K (129), K1.1>C (130), G1>L (131), R120 (222) (126-223), charnière 1-15 (224-238), CH2 L1.3>F (242), L1.2>E (243), P116>S (339) (239-348), CH3 E12 (364), M14 (366) (349-453), CHS (454-455)) (126-455)], (228-214')-disulfure avec la chaîne légère kappa *Homo sapiens* (1'-214') [V-KAPPA (*Homo sapiens* IGKV1-5\*03 (96.7%) - IGKJ2\*02 (100%), CDR-IMGT [6.3.9] (27-32.50-52.89-97)) (1'-107') -*Homo sapiens* IGKC\*01 (100%), Km3 A45.1 (153), V101 (191) (108'-214')]; dimère (234-234":237-237")-bisdisulfure, produit dans des cellules ovariennes de hamster chinois (CHO), lignée cellulaire CHO-K1SV, glycoforme alfa *immunomodulateur, antinéoplasique*

camoteskimab

inmunoglobulina G1-kappa, anti-[*Homo sapiens* IL18 (interleukina 18, IL-18, factor inductor del interferón gamma, IGIF, interleukina-1 gamma, IL-1 $\gamma$ , IL1F4)], anticuerpo monoclonal *Homo sapiens*; cadena pesada gamma1 *Homo sapiens* (1-455) [VH (*Homo sapiens* IGHV4-39\*01 (91.9%) -(IGHD) -IGHJ2\*01 (86.7%), CDR-IMGT [10.7.17] (26-35.53-59.98-114)) (1-125) -*Homo sapiens* IGHG1\*03, G1m3, nG1m1, G1v39 CH2 F1.3, E1.2, S116 (CH1 A1.4>S (127), S1.3>T (128), T1.2>K (129), K1.1>C (130), G1>L (131), R120 (222) (126-223), bisagra 1-15 (224-238), CH2 L1.3>F (242), L1.2>E (243), P116>S (339) (239-348), CH3 E12 (364), M14 (366) (349-453), CHS (454-455)) (126-455)], (228-214')-disulfuro con la cadena ligera kappa *Homo sapiens* (1'-214') [V-KAPPA (*Homo sapiens* IGKV1-5\*03 (96.7%) -IGKJ2\*02 (100%), CDR-IMGT [6.3.9] (27-32.50-52.89-97)) (1'-107') -*Homo sapiens* IGKC\*01 (100%), Km3 A45.1 (153), V101 (191) (108'-214')]; dímero (234-234':237-237'')-bisdisulfuro, producido en las células ováricas de hámster chino (CHO), línea celular CHO-K1SV, forma glicosilada alfa *immunomodulador, antineoplásico*

2492472-82-7

## Heavy chain / Chaîne lourde / Cadena pesada

QVQLQESGPG LVKPSSETLSL TCTVSGGIS ADGYYSWIR QPPGKLEWI 50  
 GSLYYSGSTY YNPSLKGRTV ISGDTSKNQF SLKLSVSTA DTAVYYCART 100  
 PAYFGQDRTD FFDVWGRGTL VTVSSASTKG PSVFFLAPSS KTSGGTAAL 150  
 GCLVKDYFPE PVTVSWNSGA LTVSGVHTFPA VLQSSGLYSL SSVVTVPSSS 200  
 LGTQTYICNV NHKPSNTKVD KRVEPKSCDK THTCPPCPAP EFGGSPVFL 250  
 FPPKPKDTLM ISRTPEVTCV VVDVSHEDPE VKFNWYVDG EVHNAKTKPR 300  
 EEQYNTYRV VSVLTVLHQD WLNKGEYKCK VSNKALPASI EKTISKAKGQ 350  
 PREPQVYTLF PSREEMTKNQ VSLTCLVKG F YPSDIAVEWE SNGQPENNYK 400  
 TTPPEVLDSDG SFFLYSKLTV DKSRWQQGNV FSCSVMEAL HNHYTQKSL 450  
 LSPGK 455

## Light chain / Chaîne légère / Cadena ligera

DIQMTQSPST LSASVGDRTV ITCRASQGIS SWLAWYQQKPK GKAPKVLIIK 50  
 ASTLESQVPS RFSGSGSTE FTLTISLQF DDFATYYCQQ SHPPWTFGQ 100  
 GTKLEIKRTV AAPSVEIFPP SDEQLKSGTA SVVCLLNIFY BREAKVQMKV 150  
 DNALQSGNSQ ESVTEQDSK STYLSLSTLT LSKADYEKHK VYACEVTHQG 200  
 LSSPFTKSFN RGEK 214

## Post-translational modifications

Disulfide bridges location / Position des ponts disulfure / Posiciones de los puentes disulfuro  
 Intra-H (C23-C104) 22-97 152-208 269-329 375-433  
 22"-97" 152"-208" 269"-329" 375"-433"

Intra-L (C23-C104) 23"-88" 134"-194"  
 23"-88" 134"-194"

Inter-H-L (h 5-CL 126) 228-214' 228"-214"

Inter-H-H (h 11, h 14) 234-234" 237-237"

N-terminal glutaminyl cyclization / Cyclisation du glutaminyle N-terminal / Ciclación del glutaminilo N-terminal

H VH Q1 > pyroglutamy (pE, 5-oxopropyl): 1, 1"

N-glycosylation sites / Sites de N-glycosylation / Posiciones de N-glicosilación  
 H CH2 N84.4: 305, 305"

Fucosylated complex bi-antennary CHO-type glycans / glycanes de type CHO bi-antennaires complexes fucosylés / glicanos de tipo CHO biantenarios complejos fucosilados.

C-terminal lysine clipping / Coupeure de la lysine C-terminale / Recorte de lisina C-terminal  
 H CHS K2: 455, 455"

**cemdomespibum**  
 cemdomespib

*N*-(2-{5-[(6-deoxy-5-*C*-methyl-4-*O*-methyl- $\alpha$ -*L*-lyxo-hexopyranosyl)oxy]-3'-fluoro[1,1'-biphenyl]-2-yl)ethyl)acetamide  
*heat shock protein 90 (HSP90) inhibitor*

cemdomespib

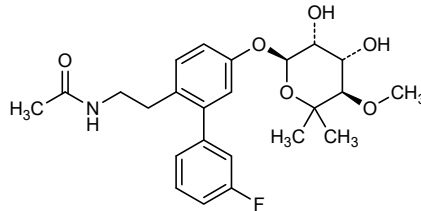
*N*-(2-[5-[(6-désoxy-5-*C*-méthyl-4-*O*-méthyl- $\alpha$ -*L*-lyxo-hexopyranosyl)oxy]-3'-fluoro[1,1'-biphényl]-2-yl]éthyl)acétamide  
*inhibiteur de la protéine de choc thermique 90 (HSP90)*

cemdomespib

*N*-(2-[5-[(6-desoxi-5-*C*-metil-4-*O*-metil- $\alpha$ -*L*-lixo-hexopiranosil)oxi]-3'-fluoro[1,1'-bifenil]-2-il]etil)acetamida  
*inhibidor de la proteina de choque térmico 90 (HSP90)*

C<sub>24</sub>H<sub>30</sub>FNO<sub>6</sub>

1450642-92-8

**cifurtilimabum #**

cifurtilimab

immunoglobulin G1-kappa, anti-[*Homo sapiens* CD40 (tumor necrosis factor receptor superfamily member 5, TNFRSF5)], monoclonal antibody; gamma1 heavy chain (1-444) [VH (*Homo sapiens* IGHV3-66\*01 (77.6%) -(IGHD) -IGHJ1\*01 (100%), CDR-IMGT [8.8.7] (26-33.51-58.97-103)) (1-114) -*Homo sapiens* IGHG1\*03v, G1m3>G1m17, nG1m1 (CH1 R120>K (211) (115-212), hinge 1-15 (213-227), CH2 (228-337), CH3 E12 (353), M14 (355) (338-442), CHS (443-444)) (115-444)], (217-219')-disulfide with kappa light chain (1'-219') [V-KAPPA (*Homo sapiens* IGKV1-39\*01 (78.0%) -IGKJ1\*01 (100%), CDR-IMGT [11.3.9] (27-37.55-57.94-102)) (1'-112') -*Homo sapiens* IGKC\*01 (100%), Km3 A45.1 (158), V101 (196) (113'-219')]; dimer (223-223":226-226")-bisdisulfide, produced in Chinese hamster ovary (CHO) cells, cell line CHO-DXB11, glycoform alfa  
*immunomodulator, antineoplastique*

cifurtilimab

immunoglobuline G1-kappa, anti-[*Homo sapiens* CD40 (membre 5 de la superfamille des récepteurs du TNF, TNFRSF5)], anticorps monoclonal; chaîne lourde gamma1 (1-444) [VH (*Homo sapiens* IGHV3-66\*01 (77.6%) -(IGHD) -IGHJ1\*01 (100%), CDR-IMGT [8.8.7] (26-33.51-58.97-103)) (1-114) -*Homo sapiens* IGHG1\*03v, G1m3>G1m17, nG1m1 (CH1 R120>K (211) (115-212), charnière 1-15 (213-227), CH2 (228-337), CH3 E12 (353), M14 (355) (338-442), CHS (443-444)) (115-444)], (217-219')-disulfure avec la chaîne légère kappa (1'-219') [V-KAPPA (*Homo sapiens* IGKV1-39\*01 (78.0%) -IGKJ1\*01 (100%), CDR-IMGT [11.3.9] (27-37.55-57.94-102)) (1'-112') -*Homo sapiens* IGKC\*01 (100%), Km3 A45.1 (158), V101 (196) (113'-219')]; dimère (223-223":226-226")-bisdisulfure, produit dans des cellules ovariennes de hamster chinois (CHO), lignée cellulaire CHO-DXB11, glycoforme alfa  
*immunomodulateur, antinéoplasique*

cifurtilimab

inmunoglobulina G1-kappa, anti-[*Homo sapiens* CD40 (miembro 5 de la superfamilia de los receptores del TNF, TNFRSF5)], anticuerpo monoclonal;

cadena pesada gamma1 (1-444) [VH (*Homo sapiens* IGHV3-66\*01 (77.6%) -(IGHD)-IGHJ1\*01 (100%), CDR-IMGT [8.8.7] (26-33.51-58.97-103)) (1-114) -*Homo sapiens* IGHG1\*03v, G1m3>G1m17, nG1m1 (CH1 R120>K (211) (115-212), bisagra 1-15 (213-227), CH2 (228-337), CH3 E12 (353), M14 (355) (338-442), CHS (443-444)) (115-444)], (217-219')-disulfuro con la cadena ligera kappa (1'-219') [V-KAPPA (*Homo sapiens* IGKV1-39\*01 (78.0%) -IGKJ1\*01 (100%), CDR-IMGT [11.3.9] (27-37.55-57.94-102)) (1'-112') -*Homo sapiens* IGKC\*01 (100%), Km3 A45.1 (158), V101 (196) (113'-219')]; dímero (223-223":226-226")-bisdisulfuro, producido en las células ováricas de hámster chino (CHO), línea celular CHO-DXB11, forma glicosilada alfa

*inmunomodulador, antineoplásico*

1629760-27-5

Heavy chain / Chaîne lourde / Cadena pesada

```
EVQLVESGGG LVQPGGSLRL SCAASGYSFT GYYIHVWRQA PGKGLEWVAR 50
VIPNAGGTSY NQKFKGRFTL SVDNSKNTAY LQMNLSRAED TAVYYCAREG 100
IYWGGQGLTV TVSSASTKGF SVFPLAPSSK STSGGTAALG CLVKDYFPEP 150
VTVSWNSGAL TSGVHTFPAV LQSSGLYSLV SVVTVPSSSL GTQYICNVN 200
HKPSTNKVDK KVEPKSCDKT HTPCPCPAPE LLGGPSVFLF PPKFKDTLMI 250
SRTPEVTCVV VDVSHEDPEV KFNWYVDGVE VHNAKTKPRE EQYNSTYRVV 300
SVLTVLHQDW LNKGEYKCKV SNKALPAPIE KTISKAKGQP REPQVYTLPP 350
SREEMTKNQV SLTCLVKGFY PSDIAVEWES NGQPENNYKT TTPVLDSDGS 400
FFLYSKLTVD KSRWQQGNVF SCSVMHEALH NHYTQKSLSL SPGK 444
```

Light chain / Chaîne légère / Cadena ligera

```
DIQMTQSPSS LSASVGRVIT ITCRSSQSLV HSNNGTFLHW YQQKPGKAPK 50
LLIYTVSNRF SGVPSRFSGS GSGTDFTLTI SSLQPEDFAT YFCSQTHHP 100
WTFGGQTKVE IKRTVAAPSV FIFPPSDEQL KSGTASVIVCL LNFYIPREAK 150
VQWIKVDNALQ SGNSQESVTE QDSKDYSL SSSLTLTKAD YEKHKVYACE 200
VTHQGLSSPV TKSFNREGC 219
```

**Post-translational modifications**

Disulfide bridges location / Position des ponts disulfure / Posiciones de los puentes disulfuro

Intra-H (C23-C104) 22-96 141-197 258-318 364-422

22"-96" 141"-197" 258"-318" 364"-422"

Intra-L (C23-C104)

23"-93" 139"-199"

23"-93" 139"-199"

Inter-H-L (h 5-CL 126) 217-219' 217"-219"

Inter-H-H (h 11, h 14) 223-223" 226-226"

N-glycosylation sites / Sites de N-glycosylation / Posiciones de N-glicosilación

H CH2 N84.4: 294, 294"

Afucoylated complex bi-antennary CHO-type glycans / glycanes de type CHO bi-antennaires

complexes afucosylés / glicanos de tipo CHO biantennarios complejos afucosilados

C-terminal lysine clipping / Coupure de la lysine C-terminale / Recorte de lisina C-terminal

HCHS K2: 444, 444"

cipepofolum

cipepofol

2-[(1*R*)-1-cyclopropylethyl]-6-(propan-2-yl)phenol  
*general anaesthetic*

cipépofof

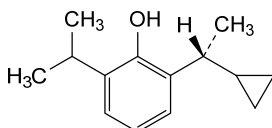
2-[(1*R*)-1-cyclopropyléthyl]-6-(propan-2-yl)phénol  
*anesthésique général*

cipepofol

2-[(1*R*)-1-ciclopropiletil]-6-(propan-2-il)fenol  
*anestésico general*

C<sub>14</sub>H<sub>20</sub>O

1637741-58-2



**cirevetmabum #**

cirevetmab

immunoglobulin G2-kappa, anti-[*Canis lupus familiaris* TGFB1 (transforming growth factor beta1, TGF beta)], caninized monoclonal antibody; gamma2 heavy chain caninized (1-452) [VH (*Canis lupus familiaris* IGHV1-30\*01 (88.8%) -(IGHD) -IGHJ4\*01 (100%), CDR-IMGT [8.8.10] (26-33.51-58.97-106))] (1-117) -*Canis lupus familiaris* IGHG2\*01, G2v1 A1.3, A1.2, A1 (CH1 (118-214), hinge 1-19 (215-233), CH2 M1.3>A (237), L1.2>A (238), G1>A (240) (234-343), CH3 (344-450), CHS (451-452)) (118-452)], (132-213')-disulfide with kappa light chain caninized (1'-213') [V-KAPPA (*Canis lupus familiaris* IGKV3-18\*02 (83.5%) -IGKJ3\*01 (91.7%), CDR-IMGT [6.3.9] (27-32.50-52.89-97)) (1'-107') -*Canis lupus familiaris* IGKC\*01 (100%) (108'-213')]; dimer (229-229":232-232")-bisdisulfide, produced in Chinese hamster ovary (CHO) cells, cell line CHO-K1SV lacking the glutamine synthetase (GS-KO) gene, glycoform alfa  
*immunomodulator (veterinary use)*

cirévetmab

immunoglobuline G2-kappa, anti-[*Canis lupus familiaris* TGFB1 (facteur de croissance transformant bêta1, TGF beta)], anticorps monoclonal caninisé; chaîne lourde gamma2 caninisée (1-452) [VH (*Canis lupus familiaris* IGHV1-30\*01 (88.8%) -(IGHD) -IGHJ4\*01 (100%), CDR-IMGT [8.8.10] (26-33.51-58.97-106))] (1-117) -*Canis lupus familiaris* IGHG2\*01, G2v1 A1.3, A1.2, A1(CH1 (118-214), charnière 1-19 (215-233), CH2 M1.3>A (237), L1.2>A (238), G1>A (240) (234-343), CH3 (344-450), CHS (451-452)) (118-452)], (132-213')-disulfure avec la chaîne légère kappa caninisée (1'-213') [V-KAPPA (*Canis lupus familiaris* IGKV3-18\*02 (83.5%) -IGKJ3\*01 (91.7%), CDR-IMGT [6.3.9] (27-32.50-52.89-97)) (1'-107') -*Canis lupus familiaris* IGKC\*01 (100%) (108'-213')]; dimère (229-229":232-232")-bisdisulfure, produit dans des cellules ovariennes de hamster chinois (CHO), lignée cellulaire CHO-K1SV ne présentant pas le gène de la glutamine synthétase (GS-KO), glycoforme alfa  
*immunomodulateur (usage vétérinaire)*

cirevetmab

immunoglobulina G2-kappa, anti-[*Canis lupus familiaris* TGFB1 (factor de crecimiento transformante beta1, TGF beta)], anticuerpo monoclonal caninizado; cadena pesada gamma2 caninizada (1-452) [VH (*Canis lupus familiaris* IGHV1-30\*01 (88.8%) -(IGHD) -IGHJ4\*01 (100%), CDR-IMGT [8.8.10] (26-33.51-58.97-106))] (1-117) -*Canis lupus familiaris* IGHG2\*01, G2v1 A1.3, A1.2, A1 (CH1 (118-214), bisagra 1-19 (215-233), CH2 M1.3>A (237), L1.2>A (238), G1>A (240) (234-343), CH3 (344-450), CHS (451-452)) (118-452)], (132-213')-disulfuro con la cadena ligera kappa caninizada (1'-213') [V-KAPPA (*Canis lupus familiaris* IGKV3-18\*02 (83.5%) -IGKJ3\*01 (91.7%), CDR-IMGT [6.3.9] (27-32.50-52.89-97)) (1'-107') -*Canis lupus familiaris* IGKC\*01 (100%) (108'-213')]; dimero (229-229":232-232")-bisdisulfuro, producido en las células ováricas de hámster chino (CHO), línea celular CHO-K1SV en ausencia del gen glutamina sintetasa (GS-KO), forma glicosilada alfa  
*immunomodulador (uso veterinario)*

2473240-98-9

## Heavy chain / Chaîne lourde / Cadena pesada

EVQLVQSGAE VKKPGASVKV SCKTSGYTFI SSWMNWVRQA PGAGLDWMGQ 50  
 IYPGDGDTNY NGKFKGRVTL TADTSTSTAY MELSSSLRAGD IAVVYCARHY 100  
 DGSTDYWGQG TLVTVSSAST TAPSVFPLAP SCGSTSGSTV ALACLVSQYF 150  
 PEPVTVSWNS GSLTSGVHTF PVLQSSGLY SLSSMVTVPF SRWPSEPTFC 200  
 NVAHPASKTK VDKPVPKREN GRVPRPPDCP KCPAPEAAGA PSVFIFPPKP 250  
 KDTLLIARTP EVTCVVVDLD PEDPEVQISW FVDGKQMOTA KTQPREEQFN 300  
 GTYRVSVLP IGHQDWLKGK QFTCKVNKA LPSPERTIS KARGQAHQPS 350  
 VYVLPSPREE LSKNTVSLTC LKDFPPDI DVEWQSNQGG EPESKYRTTP 400  
 PQLDEGDSYF LYSKLSVDSK RWQRGDTFIC AVMHHEALHNN YTQESLSHSP 450  
 GK 452

## Light chain / Chaîne légère / Cadena ligera

ELVMTQSPAS LSLSQGEKVT ITCRASENIY SNLAWYQRP GQAPKLLIYA 50  
 ATNLADGVPF RFSGSGSGTD FSLTISLSELP EDVAVVYCOH FWGTPYTFPGQ 100  
 GTKLEIKRND AQPAVYLFQF SPDQLHTGSA SVVCLLNSFY PKDINVKMKV 150  
 DGVIQDTGIQ ESVTEQDKDS TYSLSSTLTM SSTEYLSHEL YSCBITHKSL 200  
 PSTLIKSFQR SEC 213

## Post-translational modifications

Disulfide bridges location / Position des ponts disulfure / Posiciones de los puentes disulfuro

Intra-H (C23-C104) 22°-96° 144°-200° 264°-324° 370°-430°  
 22°-96° 144°-200° 264°-324° 370°-430°

Intra-L (C23-C104) 23°-88° 134°-193°  
 23°-88° 134°-193°

Inter-H-L (CHI 11-CL 126) 132°-213° 132°-213°

Inter-H-H (h 15, h 19) 229°-229° 232°-232°

N-glycosylation sites / Sites de N-glycosylation / Posiciones de N-glicosilación

H CH2 N84.4: 300, 300"

Fucosylated complex bi-antennary CHO-type glycans / glycanes de type CHO bi-antennaires complexes fucosylés / glicanos de tipo CHO biantenaricos complejos fucosilados.

C-terminal lysine clipping / Coupure de la lysine C-terminale / Recorte de lisina C-terminal  
HCHS K2: 452, 452"**claficapavirum**

claficapavir

3-[(5Z)-5-[[5-(4-chlorophenyl)furan-2-yl]methylidene]-4-oxo-2-sulfanylidene-1,3-thiazolidin-3-yl]propanoic acid

*antiviral*

claficapavir

acide 3-[(5Z)-5-[[5-(4-chlorophényl)furan-2-yl]méthylidène)-4-oxo-2-sulfanylidène-1,3-thiazolidin-3-yl]propanoïque

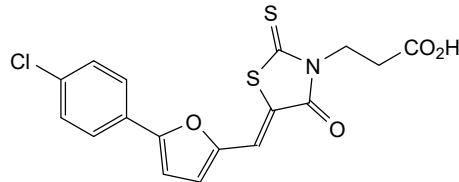
*antiviral*

claficapavir

ácido 3-[(5Z)-5-[[5-(4-clorofenil)furan-2-il]metilideno]-4-oxo-2-sulfanilideno-1,3-tiazolidin-3-il]propanoico

*antiviral*C<sub>17</sub>H<sub>12</sub>ClNO<sub>4</sub>S<sub>2</sub>

2055732-24-4

**clesrovimabum #**

clesrovimab

immunoglobulin G1-kappa, anti-[human respiratory virus (RSV) fusion glycoprotein F site IV], monoclonal antibody;



	<p>gamma1 heavy chain (1-457) [VH (<i>Homo sapiens</i> IGHV3-49*04 (89.0%) -(IGHD) -IGHJ6*01 (94.4%), CDR-IMGT [8.10.18] (26-33.51-60.99-116)) (1-127) - <i>Homo sapiens</i> IGHG1*01 G1m17,1, G1v21 CH2 Y15.1, T16, E18 (CH1 K120 (224) (128-225), hinge 1-15 (226-240), CH2 M15.1&gt;Y (262), S16&gt;T (264), T18&gt;E (266) (241-350), CH3 D12 (366), L14 (368) (351-455), CHS (456-457)) (128-457)], (230-214')-disulfide with kappa light chain (1'-214') [V-KAPPA (<i>Homo sapiens</i> IGKV1D-13*01 (86.2%) -IGKJ5*01 (100%), CDR-IMGT [6.3.9] (27-32.50-52.89-97)) (1'-107') -<i>Homo sapiens</i> IGKC*01 (100%), Km3 A45.1 (153), V101 (191) (108'-214')]; dimer (236-236":239-239")-bisdisulfide, produced in Chinese hamster ovary (CHO) cells, cell line CHO-K1SV, glycoform alfa <i>antiviral</i></p>
clesrovimab	<p>immunoglobuline G1-kappa, anti-[site IV de la glycoprotéine de fusion F du virus respiratoire syncytial (VRS) humain], anticorps monoclonal; chaîne lourde gamma1 (1-457) [VH (<i>Homo sapiens</i> IGHV3-49*04 (89.0%) -(IGHD) -IGHJ6*01 (94.4%), CDR-IMGT [8.10.18] (26-33.51-60.99-116)) (1-127) - <i>Homo sapiens</i> IGHG1*01 G1m17,1, G1v21 CH2 Y15.1, T16, E18 (CH1 K120 (224) (128-225), charnière 1-15 (226-240), CH2 M15.1&gt;Y (262), S16&gt;T (264), T18&gt;E (266) (241-350), CH3 D12 (366), L14 (368) (351-455), CHS (456-457)) (128-457)], (230-214')-disulfure avec la chaîne légère kappa (1'-214') [V-KAPPA (<i>Homo sapiens</i> IGKV1D-13*01 (86.2%) -IGKJ5*01 (100%), CDR-IMGT [6.3.9] (27-32.50-52.89-97)) (1'-107') -<i>Homo sapiens</i> IGKC*01 (100%), Km3 A45.1 (153), V101 (191) (108'-214')]; dimère (236-236":239-239")-bisdisulfure, produit dans des cellules ovariennes de hamster chinois (CHO), lignée cellulaire CHO-K1SV, glycoforme alfa <i>antiviral</i></p>
clesrovimab	<p>immunoglobulina G1-kappa, anti-[lugar IV de la glicoproteína de fusión F del virus respiratorio sincitial (VRS) humano], anticuerpo monoclonal; cadena pesada gamma1 (1-457) [VH (<i>Homo sapiens</i> IGHV3-49*04 (89.0%) -(IGHD) -IGHJ6*01 (94.4%), CDR-IMGT [8.10.18] (26-33.51-60.99-116)) (1-127) - <i>Homo sapiens</i> IGHG1*01 G1m17,1, G1v21 CH2 Y15.1, T16, E18 (CH1 K120 (224) (128-225), bisagra 1-15 (226-240), CH2 M15.1&gt;Y (262), S16&gt;T (264), T18&gt;E (266) (241-350), CH3 D12 (366), L14 (368) (351-455), CHS (456-457)) (128-457)], (230-214')-disulfuro con la cadena ligera kappa (1'-214') [V-KAPPA (<i>Homo sapiens</i> IGKV1D-13*01 (86.2%) -IGKJ5*01 (100%), CDR-IMGT [6.3.9] (27-32.50-52.89-97)) (1'-107') -<i>Homo sapiens</i> IGKC*01 (100%), Km3 A45.1 (153), V101 (191) (108'-214')]; dímero (236-236":239-239")-bisdisulfuro, producido en las células ováricas de hámster chino (CHO), línea celular CHO-K1SV, forma glicosilada alfa <i>antiviral</i></p>

2429913-18-6

Heavy chain / Chaîne lourde / Cadena pesada  
 EVQLVESGGG LVRPGRSLRL SCTVSGFSFD DSAMSWVRQA PGKGLEWISF 50  
 IKSKEYGKTK EYAASVKGRF TISRDDSKNI AYLQMSLKT EDTAVYYCTR 100  
 GAFYGGNSDY YYGLDVWQGG TTVTVSSAST KGPSVFFLAP SSKSTSGGTA 150  
 ALGCLVKDYF PEPVTVSWNS GALTSGVHTF PAVLQSSGLY SLSVTVTPS 200  
 SSSLGTQTYIC NVNHRKPSNTK VDKKVEPKSC DRHTTCPDPC APELLGGPSV 250  
 FLFFPKPKDT LYITREPEVT CVVVDVSHED PEVFNWYVD GVEVHNATK 300  
 FREQINSTY RVVSVLTVLH QDWLNGKEYK CKVSNKALPA PIEKTSKAK 350  
 GQPREPQVYI LPPSRDELTK NQVSLTCLVK GFYPSDIAVE WESNGQPENN 400  
 YKTTTFFVLDL DGSFFLYSKL TVDKSRWQQG NVFSCSVMHE ALHNHYTQKS 450  
 LSLSPGK 457

Light chain / Chaîne légère / Cadena ligera  
 DIQMTQSPSS LSASVGDRTV ITCRTSQDVR GALAWYQQKPK GKAPKLLIFD 50  
 ASSLETGVPS RFGSGSGGTV FTLTISLQOP EDFAAIYCCQ FLDFPFTFGK 100  
 GTRLEIKRNTV AAPSVFIFPP SDEQLKSGTA SVVCLLNIFY BREAKVQWKV 150  
 DNALQSGNSQ ESVTEQDSKD STYLSLSTLT LSKADYEKHK VYACEVTHQG 200  
 LSSFVTKSFN RGEC 214

**Post-translational modifications**

Disulfide bridges location / Position des ponts disulfure / Posiciones de los puentes disulfuro

Intra-H (C23-C104) 22-98 154-210 271-331 377-435  
 22"-98" 154"-210" 271"-331" 377"-435"

Intra-L (C23-C104) 23"-88" 134"-194"  
 23"-88" 134"-194"

Inter-H-L (h 5-CL 126) 230-214" 230"-214"

Inter-H-H (h 11, h 14) 236-236" 239-239"

N-glycosylation sites / Sites de N-glycosylation / Posiciones de N-glicosilación

H CH2 N84.4: 307, 307"

Fucosylated complex bi-antennary CHO-type glycans / glycanes de type CHO bi-antennaires complexes fucosylés / glicanos de tipo CHO biantennarios complejos fucosilados.

C-terminal lysine clipping / Coupure de la lysine C-terminale / Recorte de lisina C-terminal  
 H CHS K2: 457, 457"

**crefmirlimabum #**  
 crefmirlimab

immunoglobulin scFv-kappa-heavy-G1h-CH3-CHS dimer, anti-[*Homo sapiens* CD8A (CD8a molecule, CD8)], monoclonal antibody;  
 scFv-kappa-heavy-G1h-linker-CH3-CHS chain (1-376) [V-KAPPA (*Homo sapiens* IGKV1-27\*01 (87.4%) -IGKJ4\*01 (100%), CDR-IMGT [6.3.9] (27-32.50-52.89-97)) (1-107) -18-mer glycyL-seryl-threonyL-tris(seryl-triglycyL)-glycyL-diseryl linker (108-125) -VH Musmus/Homsap (*Mus musculus* IGHV14-3\*02 (73.5%) -(IGHD) -IGHJ3\*01 (84.6%)/*Homo sapiens* IGHV3-66\*01 (71.4%) -(IGHD) -IGHJ1\*01 (92.3%), CDR-IMGT [8.8.11] (151-158.176-183.222-232)) (126-243) -*Homo sapiens* IGHG1\*03 hinge 1-17 (244-260), 10-mer triglycyL-diseryl-triglycyL-seryl-glycyL linker (261-270), *Homo sapiens* IGHG1\*03 nG1m1 CH3-CHS (CH3 E12 (286), M14 (288) (271-375), CHS K2>del (376)) (271-376)]; dimer (254-254":257-257":260-260")-trisdisulfide, produced in Chinese hamster ovary (CHO) cells, non-glycosylated  
 diagnostic imaging agent

## crefmirlimab

immunoglobuline scFv-kappa-heavy-G1h-CH3-CHS dimère, anti-[*Homo sapiens* CD8A (molécule CD8a, CD8)], anticorps monoclonal;  
 chaîne scFv-kappa-heavy-G1h-linker-CH3-CHS (1-376) [V-KAPPA (*Homo sapiens* IGKV1-27\*01 (87.4%) -IGKJ4\*01 (100%), CDR-IMGT [6.3.9] (27-32.50-52.89-97)) (1-107) -18-mer glycyL-séryL-thréonyL-tris(séryL-triglycyL)-glycyL-diséryL linker (108-125) -VH Musmus/Homsap (*Mus musculus* IGHV14-3\*02 (73.5%) -(IGHD) -IGHJ3\*01 (84.6%)/*Homo sapiens*

IGHV3-66\*01 (71.4%) -(IGHD) -IGHJ1\*01 (92.3%), CDR-IMGT [8.8.11] (151-158.176-183.222-232)) (126-243) *-Homo sapiens* IGHG1\*03 charnière 1-17 (244-260), 10-mer triglycyl-diséryl-triglycyl-séryl-glycyl linker (261-270), *Homo sapiens* IGHG1\*03 nG1m1 CH3-CHS (CH3 E12 (286), M14 (288) (271-375), CHS K2>del (376)) (271-376)); dimère (254-254":257-257":260-260")-trisdisulfure, produit dans des cellules ovariennes de hamster chinois (CHO), non-glycosylé *agent de diagnostique*

crefmirlimab

immunoglobulina scFv-kappa-pesada-G1h-CH3-CHS dímero, anti-*[Homo sapiens* CD8A (molécula CD8a, CD8)], anticuerpo monoclonal; cadena scFv-kappa-pesada-G1-h-linker-CH3-CHS (1-376) [V-KAPPA (*Homo sapiens* IGKV1-27\*01 (87.4%) -IGKJ4\*01 (100%), CDR-IMGT [6.3.9] (27-32.50-52.89-97)) (1-107) -18-mer glicil-seril-treonil-tris(seril-triglicil)-glicil-diseril linker (108-125) -VH Musmus/Homsap (*Mus musculus* IGHV14-3\*02 (73.5%) -(IGHD) -IGHJ3\*01 (84.6%)/*Homo sapiens* IGHV3-66\*01 (71.4%) -(IGHD) -IGHJ1\*01 (92.3%), CDR-IMGT [8.8.11] (151-158.176-183.222-232)) (126-243) *-Homo sapiens* IGHG1\*03 bisagra 1-17 (244-260), 10-mer triglicil-diseril-triglicil-seril-glicil linker (261-270), *Homo sapiens* IGHG1\*03 nG1m1 CH3-CHS (CH3 E12 (286), M14 (288) (271-375), CHS K2>del (376)) (271-376)]; dímero (254-254":257-257":260-260")-trisdisulfuro, producido en las células ováricas de hámster chino (CHO), no glicosilado *agente de diagnóstico*

2611099-93-3

Sequence / Séquence / Secuencia

```
DVQITQSPSS LSASVGDRTV ITCRTSRSS QYLAWYQQKPKVPLKLLIYS 50
GSTLQSGVPS RFGSGSGSDT FTLTISLQPE EDVATYYCQQ HNENPLTFGG 100
GTVKVEIKGST SGGSGGGSGG GGGSSSEVLV ESGGGLVQPG GSLRLSCAAS 150
GFNIKDTYIHFVRQAPGKGL EWIGRIDPAN DNTLYASKPK GRATISADTS 200
KNTAYLQMNLSRAEDTAVYY CGRGYGYVDFHWGQGLVT VSSEPKSSDK 250
THTCPPCPPC GGGSGGGSGG GQPREPQVYTPPPSREEMTKNQVSLTCLVK 300
GFYFSDIAVE WESNGQPENNYKTTTPPVLDSDGSFFLYSKL TVDKSRWQQG 350
NVFSCSVME ALHHNHYTKS LSLSPG 376
```

Post-translational modifications

Disulfide bridges location / Position des ponts disulfure / Posiciones de los puentes disulfuro  
 Intra-H (C23-C104) 23-88 147-221 297-355  
 23"-88" 147"-221" 297"-355"  
 Inter-H-H (h 11, h 14, h 17) 254-254" 257-257" 260-260"

No N-glycosylation site / pas de site de N-glycosylation / ningún posición de N-glicosilación  
 Aglycosylated / aglycosylé / aglicosilado

**cutetaxestatum**  
cutetaxestat

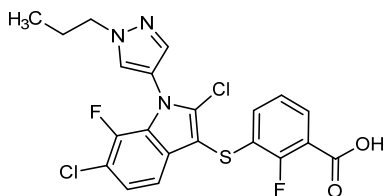
3-[[2,6-dichloro-7-fluoro-1-(1-propyl-1H-pyrazol-4-yl)-1H-indol-3-yl]sulfanyl]-2-fluorobenzoic acid  
*autotoxin inhibitor*

cutétaxestat

acide 3-[[2,6-dichloro-7-fluoro-1-(1-propyl-1H-pyrazol-4-yl)-1H-indol-3-yl]sulfanyl]-2-fluorobenzoïque  
*inhibiteur de l'autotaxine*

cutetaxestat

ácido 3-[[2,6-dicloro-7-fluoro-1-(1-propil-1H-pirazol-4-il)-1H-indol-3-il]sulfanil]-2-fluorobenzoico  
*inhibitor de autotaxina*

**dalucabtagenium autoleucelum #**

dalucabtagene autoleucel

autologous T cells obtained from peripheral blood mononuclear cells by leukapheresis, transduced with a replication incompetent Moloney murine leukemia virus (MoMLV)-based retroviral vector, encoding two T cell chimeric antigen receptors (CARs) targeting CD19 and CD22, separated by a 2A self-cleaving peptide derived from the *Thosea asigna* virus capsid protein, under control of a MoMLV-based promoter. The construct is flanked by 5' and 3' long terminal repeats (LTRs), and contains a  $\psi$  packaging signal and the scaffold/matrix attachment region (S/MAR) from the human  $\beta$  interferon gene.

The cells are activated using an anti-CD3/CD28 reagent in medium supplemented with human AB serum, interleukin 7 (IL-7) and 15 (IL-15). Activated cells are incubated with the vector before further culture expansion. The CAR positive T cells are predominantly CD4/CD8, and secrete granzyme B, interferon gamma, tumour necrosis factor alpha (TNF- $\alpha$ ) and interleukin-2 (IL-2) after co-culture with a cell line expressing the CD19 and CD22 antigen.

*cell-based gene therapy (antineoplastic)*

dalucabtagène autoleucel

lymphocytes T autologues obtenus à partir de cellules mononucléaires de sang périphérique par leucaphérèse, transduits avec un vecteur rétroviral incompétent à la réplication basé sur le virus de la leucémie murine de Moloney (MoMLV), codant deux récepteurs antigéniques chimériques (CAR) des lymphocytes T ciblant CD19 et CD22, séparés par un peptide 2A auto-clivant dérivé de la protéine de capsid du virus *Thosea asigna*, sous le contrôle d'un promoteur basé sur MoMLV. La construction est flanquée de longues répétitions terminales (LTR) en 5' et 3', et contient un signal d'encapsulation  $\psi$  et la région structure/matrice d'attachement (S/MAR) du gène de l'interféron  $\beta$  humain.

Les cellules sont activées à l'aide d'un réactif anti-CD3/CD28 dans un milieu complété de sérum AB humain, d'interleukine 7 (IL-7) et 15 (IL-15). Les cellules activées sont incubées avec le vecteur avant une nouvelle expansion de la culture. Les lymphocytes T CAR-positifs sont principalement CD4/CD8, et sécrètent du granzyme B, de l'interféron gamma, du

facteur de nécrose tumorale alpha (TNF- $\alpha$ ) et de l'interleukine-2 (IL-2) après co-culture avec une lignée cellulaire exprimant les antigènes CD19 et CD22.

*thérapie génique à base de cellules (antineoplasique)*

dalucabtagén autoleucel

linfocitos T autólogos obtenidos a partir de células mononucleares de sangre periférica por leucoaféresis, transducidos con un vector retroviral incompetente de replicación basado en el virus de la leucemia murina de Moloney (MoMLV) que codifica para dos receptores de antígeno quiméricos (CARs) de linfocitos T dirigidos a CD19 y CD22, separados por un péptido 2A de autoescisión derivado de la proteína de la cápsida del virus Thosea asigna, bajo el control de un promotor basado en el MoMLV. El constructo está flanqueado por repeticiones terminales largas (LTRs) en 5' y 3' y contiene una señal de empaquetamiento  $\psi$  y la región de andamiaje/fijación de la matriz (S/MAR) del gen del interferon  $\beta$  humano.

Las células se activan usando un reactivo anti-CD3/CD28 en medio suplementado con suero AB humano e interleukinas 7 (IL-7) y 15 (IL-15). Las células activadas se incuban con el vector antes de una expansión adicional en cultivo.

Los linfocitos T positivos para el CAR son predominantemente CD4/CD8 y secretan granzima B, interferon gamma, factor de necrosis tumoral alfa (TNF- $\alpha$ ) e interleukina 2 (IL-2) tras el cocultivo con una línea celular que expresa los antígenos CD19 y CD22.

*terapia génica basada en células (antineoplásico)*

**deucricitbantum**

deucricitbant

*N*-{[(1*S*)-1-[3-cloro-5-fluoro-2-({[2-metil-4-(1-metil-1*H*-1,2,4-triazol-5-yl)quinolin-8-yl]oxy)methyl]phenyl][(1-<sup>2</sup>H)ethyl]-2-(difluorometoxy)acetamide  
*bradykinin receptor antagonist*

deucricitbant

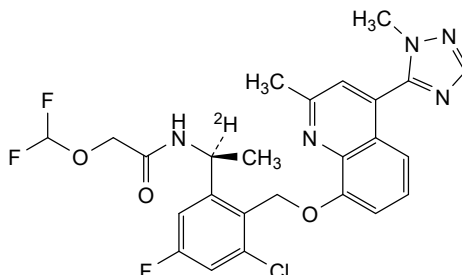
*N*-{[(1*S*)-1-[3-cloro-5-fluoro-2-({[2-méthyl-4-(1-méthyl-1*H*-1,2,4-triazol-5-yl)quinoléin-8-yl]oxy)méthyl]phényl][(1-<sup>2</sup>H)éthyl]-2-(difluorométhoxy)acétamide  
*antagoniste du récepteur de bradykinine*

deucricitbant

*N*-{[(1*S*)-1-[3-cloro-5-fluoro-2-({[2-metil-4-(1-metil-1*H*-1,2,4-triazol-5-il)quinolein-8-il]oxi)metil]fenil][(1-<sup>2</sup>H)etil]-2-(difluorometoxi)acetamida  
*antagonista del receptor de la bradiquinina*

C<sub>25</sub>H<sub>22</sub><sup>2</sup>HClF<sub>3</sub>N<sub>5</sub>O<sub>3</sub>

2340111-58-0



**deutenzalutamidum**

deutenzalutamide

4-{3-[4-cyano-3-(trifluoromethyl)phenyl]-5,5-dimethyl-4-oxo-2-sulfanylideneimidazolidin-1-yl}-2-fluoro-*N*-(<sup>2</sup>H<sub>3</sub>)methylbenzamide  
*antiandrogen, antineoplastic*

deutenzalutamide

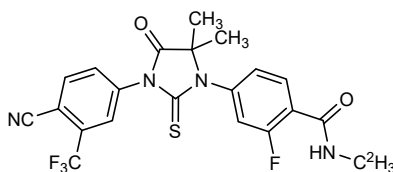
4-{3-[4-cyano-3-(trifluorométhyl)phényl]-5,5-diméthyl-4-oxo-2-sulfanylidèneimidazolidin-1-yl}-2-fluoro-*N*-(<sup>2</sup>H<sub>3</sub>)méthylbenzamide  
*antiandrogène, antinéoplasique*

deutenzalutamida

4-{3-[4-ciano-3-(trifluorometil)fenil]-5,5-dimetil-4-oxo-2-sulfanilidenoimidazolidin-1-il}-2-fluoro-*N*-(<sup>2</sup>H<sub>3</sub>)metilbenzamida  
*antiandrógeno, antineoplásico*

C<sub>21</sub>H<sub>13</sub><sup>2</sup>H<sub>3</sub>F<sub>4</sub>N<sub>4</sub>O<sub>2</sub>S

1443331-82-5

**dexfadrostatum**

dexfadrostat

4-[(5*R*)-5,6,7,8-tetrahydroimidazo[1,5-*a*]pyridin-5-yl]benzonitrile  
*aldosterone synthase (CYP 11B2) inhibitor*

dexfadrostat

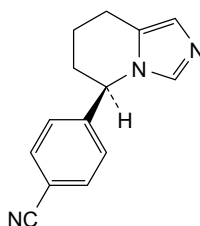
4-[(5*R*)-5,6,7,8-tétrahydroimidazo[1,5-*a*]pyridin-5-yl]benzonitrile  
*inhibiteur de l'aldostérone synthase (CYP 11B2)*

dexfadrostat

4-[(5*R*)-5,6,7,8-tetrahydroimidazo[1,5-*a*]piridin-5-il]benzonitrilo  
*inhibidor de la aldosterona sintasa (CYP 11B2)*

C<sub>14</sub>H<sub>13</sub>N<sub>3</sub>

102676-87-9

**eciruciclibum**

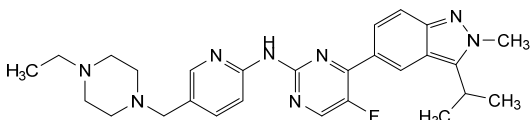
eciruciclib

*N*-{5-[(4-ethylpiperazin-1-yl)methyl]pyridin-2-yl}-5-fluoro-4-[2-methyl-3-(propan-2-yl)-2*H*-indazol-5-yl]pyrimidin-2-amine  
*cyclin dependent kinase inhibitor, antineoplastic*

- éciruciclib *N*-{5-[(4-éthylpipérazin-1-yl)méthyl]pyridin-2-yl}-5-fluoro-4-[2-méthyl-3-(propan-2-yl)-2*H*-indazol-5-yl]pyrimidin-2-amine  
*inhibiteur des kinases dépendantes des cyclines, antinéoplasique*
- eciruciclib *N*-[5-[(4-ethylpiperazin-1-yl)méthyl]pyridin-2-yl]-5-fluoro-4-[2-méthyl-3-(propan-2-yl)-2*H*-indazol-5-yl]pyrimidin-2-amine  
*inhibidor de las kinasas dependientes de las ciclinas, antineoplásico*

C<sub>27</sub>H<sub>33</sub>FN<sub>8</sub>

1868086-40-1



**ecnoglutidum**  
ecnoglutide

*N*<sup>6,24</sup>-[(2*S*)-22,40-dicarboxy-10,19,24-trioxa-3,6,12,15-tetraoxa-9,18,23-triazatetracontan-1-oyl]-[Ala<sup>8</sup>>Val<sup>2</sup>, Gly<sup>22</sup>>Glu<sup>16</sup>, Lys<sup>26</sup>>Arg<sup>20</sup>, Ala<sup>30</sup>>Lys<sup>24</sup>, Lys<sup>34</sup>>Arg<sup>28</sup>]-human glucagon-like peptide 1 (GLP-1) (7-37)-peptide (1-31);

L-histidyl-L-valyl-L-α-glutamylglycyl-L-thréonyle-L-phénylalanyle-L-thréonyle-L-séryle-L-α-aspartyle-L-valyle-L-séryle-L-séryle-L-tyrosyle-L-leucyle-L-α-glutamyle-L-α-glutamyle-L-glutaminyle-L-alanyle-L-alanyle-L-arginyle-L-α-glutamyle-L-phénylalanyle-L-isoleucyle-*N*<sup>6</sup>-[(2*S*)-22,40-dicarboxy-10,19,24-trioxa-3,6,12,15-tetraoxa-9,18,23-triazatetracontan-1-oyl]-L-lysyle-L-tryptophyle-L-leucyle-L-valyle-L-arginyle-L-arginylglycine  
*glucagon-like peptide 1 (GLP-1) receptor agonist*

ecnoglutide

*N*<sup>6,24</sup>-[(2*S*)-22,40-dicarboxy-10,19,24-trioxa-3,6,12,15-tétraoxa-9,18,23-triazatétracoctan-1-oyl]-[Ala<sup>8</sup>>Val<sup>2</sup>, Gly<sup>22</sup>>Glu<sup>16</sup>, Lys<sup>26</sup>>Arg<sup>20</sup>, Ala<sup>30</sup>>Lys<sup>24</sup>, Lys<sup>34</sup>>Arg<sup>28</sup>]-peptide-1 semblable au glucagon humain (GLP-1) (7-37)-peptide (1-31);

L-histidyle-L-valyle-L-α-glutamyle-L-thréonyle-L-phénylalanyle-L-thréonyle-L-séryle-L-α-aspartyle-L-valyle-L-séryle-L-séryle-L-tyrosyle-L-leucyle-L-α-glutamyle-L-α-glutamyle-L-glutaminyle-L-alanyle-L-alanyle-L-arginyle-L-α-glutamyle-L-phénylalanyle-L-isoleucyle-*N*<sup>6</sup>-[(2*S*)-22,40-dicarboxy-10,19,24-trioxa-3,6,12,15-tétraoxa-9,18,23-triazatétracoctan-1-oyl]-L-lysyle-L-tryptophyle-L-leucyle-L-valyle-L-arginyle-L-arginylglycine  
*agoniste du récepteur au peptide-1 d'action type glucagon (GLP-1)*

ecnoglutida

*N*<sup>6,24</sup>-[(2*S*)-22,40-dicarboxy-10,19,24-trioxa-3,6,12,15-tetraoxa-9,18,23-triazatetracontan-1-oyl]-[Ala<sup>8</sup>>Val<sup>2</sup>, Gli<sup>22</sup>>Glu<sup>16</sup>, Lis<sup>26</sup>>Arg<sup>20</sup>, Ala<sup>30</sup>>Lis<sup>24</sup>, Lis<sup>34</sup>>Arg<sup>28</sup>]-péptido similar al glucagón tipo 1 humano (GLP-1) (7-37)-péptido (1-31);

L-histidil-L-valil-L- $\alpha$ -glutamylglycil-L-treonil-L-fenilalanil-L-treonil-L-seril-L- $\alpha$ -aspartil-L-valil-L-seril-L-seril-L-tirosil-L-leucil-L- $\alpha$ -glutamil-L- $\alpha$ -glutamil-L-glutaminil-L-alanil-L-alanil-L-arginil-L- $\alpha$ -glutamil-L-fenilalanil-L-isoleucil-*N*<sup>6</sup>-[(22*S*)-22,40-dicarboxi-10,19,24-trioxa-3,6,12,15-tetraoxa-9,18,23-triazatetracontan-1-oi]-L-lisil-L-triptofil-L-leucil-L-valil-L-arginilglycil-L-arginilglycina *agonista del receptor del péptido similar al glucagón (GLP-1)*

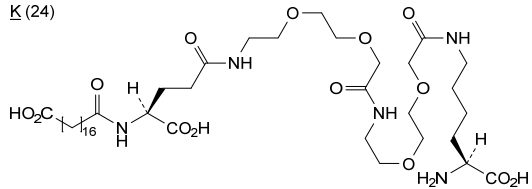
C<sub>194</sub>H<sub>304</sub>N<sub>48</sub>O<sub>61</sub>

2459531-73-6

HVEGTF<sup>1</sup>TS<sup>2</sup>SDV SSYLEEQ<sup>3</sup>AA<sup>4</sup>R EFIK<sup>5</sup>WLVRGR G 31

Modified residues / Résidus modifiés / Restos modificados

K (24)



**efocipegtrutidum #**  
efocipegtrutide

chimeric triple receptor agonist peptide (1<sup>st</sup>-40<sup>th</sup>), sharing balanced sequence homology with glucagon, glucagon-like peptide 1 (GLP1) and gastric inhibitory polypeptide (GIP, glucose-dependent insulinotropic polypeptide, incretin hormone), produced by chemical synthesis, conjugated at the S atom of the C-terminal cysteinamide 40<sup>th</sup> via a polyethylene glycol linker (~10 kDa) to the N atom of one N-terminal proline residue of the dimer (3-3')-disulfide of an immunoglobulin G4 (IgG4) heavy chain constant fragment (Fc, C-terminal 221-peptide, produced in *Escherichia coli*, not glycosylated):

*N*<sup>1-1</sup>-(3-( $\alpha$ -[3-(3-((3*RS*)-3-[16,20-anhydro(L-tyrosyl-2-methylalanyl-L-glutaminy]glycyl-L-threonyl-L-phenylalanyl-L-threonyl-L-seryl-L- $\alpha$ -aspartyl-L-tyrosyl-L-seryl-L-lysyl-L-tyrosyl-L-leucyl-L- $\alpha$ -aspartyl-L- $\alpha$ -glutamyl-L-lysyl-L-arginyl-L-alanyl-L-lysyl-L- $\alpha$ -glutamyl-L-phenylalanyl-L-valyl-L-glutaminy]L-tryptophyl-L-leucyl-L-leucyl-L- $\alpha$ -aspartyl-L-histidyl-L-histidyl-L-prolyl-L-seryl-L-seryl]glycyl-L-glutaminy]L-prolyl-L-prolyl-L-prolyl-L-seryl-L-cysteinamide)-S<sup>3,40</sup>-yl]-2,5-dioxopyrrolidin-1-yl]propanamido)propyl]poly(oxyethylene)- $\omega$ -oxy}propyl)(IgG4 Fc (*Homo sapiens* IGHG4\*01 (hinge (1-4, N-terminal hinge residues ESKYGPPC deleted), CH2 (5-114), CH3 (115-219), CHS (220-221))(1-221) dimer (3-3')-disulfide)

*glucagon, gastric inhibitory polypeptide (GIP) and glucagon-like peptide 1 (GLP-1) receptors agonist*



éfocipégtrutide

peptide chimérique agoniste de trois récepteurs (1"-40"), partageant une homologie équilibrée de séquence avec le glucagon, le glucagon-like peptide 1 (GLP1) et le polypeptide inhibiteur gastrique (GIP, polypeptide insulino-trope glucose-dépendant, hormone incrétine), produit par synthèse chimique, conjugué à l'atome S du cystéinamide C-terminal 40" via un lieu polyéthylène glycol (~10 kDa) à l'atome N d'un résidu proline N-terminal du dimère (3-3')-disulfure d'un fragment constant de la chaîne lourde d'immunoglobuline G4 (IgG4) (Fc, 221-peptide C-terminal, produit par *Escherichia coli*, non glycosylé):  
 $N^{1-1}-(3-\{\alpha-[3-(3\text{RS})-3-[16,20\text{-anhydro(L-tyrosyl-2-méthylalanyl-L-glutaminyglycyl-L-thréonyl-L-phénylalanil-L-thréonyl-L-séryl-L-}\alpha\text{-aspartyl-L-tyrosyl-L-séryl-L-lysyl-L-tyrosyl-L-leucyl-L-}\alpha\text{-aspartyl-L-}\alpha\text{-glutamyl-L-lysyl-L-arginyl-L-alanyl-L-lysyl-L-}\alpha\text{-glutamyl-L-phénylalanil-L-valyl-L-glutaminy-L-tryptophyl-L-leucyl-L-leucyl-L-}\alpha\text{-aspartyl-L-histidyl-L-histidyl-L-prolyl-L-séryl-L-sérylglycyl-L-glutaminy-L-prolyl-L-prolyl-L-prolyl-L-séryl-L-cystéinamide)-S}^{3,40}\text{-yl}]-2,5\text{-dioxopyrrolidin-1-yl}]\text{propanamido}]\text{propyl}]\text{poly}(\text{oxyéthylène})\text{-}\omega\text{-oxy}\}\text{propyl})(\text{IgG4 Fc (Homo sapiens IGHG4*01 (charnière (1-4, résidus ESKYGPPC N-terminaux de la charnière supprimés), CH2 (5-114), CH3 (115-219), CHS (220-221)))(1-221) dimère (3-3')-disulfure) agoniste des récepteurs au glucagon, au peptide insulino-trope dépendant du glucose (GIP) et au peptide-1 d'action type glucagon (GLP-1)})$

efocipegtrutida

péptido quimérico agonista de tres receptores (1"-40"), que comparte homología equilibrada de secuencia con glucagón, péptido similar al glucagón tipo 1 (GLP1) y polipéptido inhibidor gástrico (GIP, polipéptido insulino-trópico dependiente de glucosa, hormona incretina), producido por síntesis química, conjugado en el átomo S de la cisteinamida C-terminal 40" a través de un enlacede polietilenglicol (~10 kDa) al átomo N de un residuo de prolina N-terminal del dímero (3-3')-disulfuro de un fragmento constante de la cadena pesada de inmunoglobulina G4 (IgG4) (Fc, 221-péptido C-terminal, producido en *Escherichia coli*, no glicosilado):  
 $N^{1-1}-(3-\{\alpha-[3-(3\text{RS})-3-[16,20\text{-anhidro(L-tirosil-2-metilalanil-L-glutaminilglicil-L-treonil-L-fenilalanil-L-treonil-L-seril-L-}\alpha\text{-aspartil-L-tirosil-L-seril-L-lisil-L-tirosil-L-leucil-L-}\alpha\text{-aspartil-L-}\alpha\text{-glutamil-L-lisil-L-arginil-L-alanil-L-lisil-L-}\alpha\text{-glutamil-L-fenilalanil-L-valil-L-glutaminil-L-triptofil-L-leucil-L-leucil-L-}\alpha\text{-aspartil-L-histidil-L-histidil-L-proliil-L-seril-L-serilglicil-L-glutaminil-L-proliil-L-proliil-L-proliil-L-seril-L-cisteinamida)-S}^{3,40}\text{-il}]-2,5\text{-dioxopirrolidin-1-il}]\text{propanamido}]\text{propil}]\text{poli}(\text{oxietileno})\text{-}\omega\text{-oxi}\}\text{propil})(\text{IgG4 Fc(Homo sapiens IGHG4*01 (bisagra (1-4, residuos ESKYGPPC N-terminales de la bisagra suprimidos), CH2 (5-114), CH3 (115-219), CHS (220-221)))(1-221) dímero (3-3')-disulfuro) agonista de los receptores del glucagón, del péptido insulino-trópico dependiente de la glucosa y del péptido similar al glucagón (GLP-1)})$

2513399-19-2

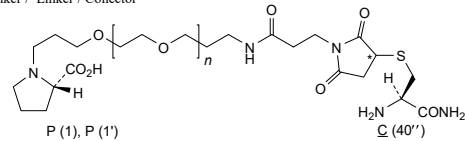
Conjugated peptide / peptide conjugué / péptido conjugado

YXQGTFTSDY SKYLDEKRAK EFVQWLLDHH PSSGQPPSPC 40'\*

Monomer / Monomère / Monómero IgG4 Fc

PSCFAPEFLG GPSVFLFPPK PKDTLMISRT PEVTCVVVDV SQEDPEVQFN 50  
 WYVDGVEVHN AKTKPREEQF NSTYRVVSVL TVLHQDWLNG KEYKCKVSNK 100  
 GLPSSIEKTI SKAKGQPREP QVYTLPPSQE EMTKNQVSLT CLVKGFPYSD 150  
 IAVWEESNGQ PENNYKTTTP VLDSGDSFFL YSRLTVDKSR WQEGNVFSCS 200  
 VMHEALHNNHY TQKSLSLSLG K 221

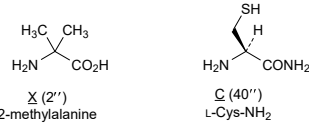
Linker / Linker / Conector



Conjugation sites / Sites de conjugaison / Posiciones de conjugación

1-40\* (Pro<sup>1-1</sup>-Cys<sup>3,40\*</sup>) 1'-40\* (Pro<sup>1-1</sup>-Cys<sup>3,40\*</sup>)

Modified residues / Résidus modifiés / Restos modificados



Amide bridge location / Position du pont amide / Posición del puente amido

16''-20'' (Glu<sup>5,16''</sup>-Lys<sup>6,20''</sup>)

Disulfide bridges location / Position des ponts disulfure / Posiciones de los puentes disulfuro

intra-chain: 35-95 141-199 35'-95' 141'-199'

inter-chain: 3-3'

### elapomestrocelum elapomestrocel

autologous mesenchymal progenitor cells derived from bone marrow fluid. The cells are culture expanded in standard culture media supplemented with autologous serum. The cells express mesenchymal progenitor cell marker CD73, CD90, and CD105 (>90%) and do not express CD34 and CD45 (<5%). The cells secrete neurotrophic factors (brain-derived neurotrophic factor (BDNF), vascular endothelial growth factor (VEGF), placental growth factor (PGF), and hepatocyte growth factor (HGF)). The cells are capable to differentiate into osteoblasts, adipocytes and chondrocytes under standard *in vitro* tissue culture-differentiating conditions.

*cell therapy (spinal cord injuries)*

### élapomestrocel

cellules progénitrices mésenchymateuses autologues dérivées du liquide de la moelle osseuse. Les cellules sont mises en culture dans un milieu de culture standard complétement avec du sérum autologue. Les cellules expriment les marqueurs de cellules progénitrices mésenchymateuses CD73, CD90 et CD105 (>90%) et n'expriment pas les marqueurs CD34 et CD45 (<5%). Les cellules sécrètent des

	<p>facteurs neurotrophiques (facteur neurotrophique dérivé du cerveau (BDNF), facteur de croissance endothélial vasculaire (VEGF), facteur de croissance placentaire (PGF) et facteur de croissance hépatocytaire (HGF)). Les cellules sont capables de se différencier en ostéoblastes, en adipocytes et en chondrocytes dans des conditions standard de différenciation de culture tissulaire <i>in vitro</i>. <i>thérapie cellulaire (lésions de la moelle épinière)</i></p>
<p>elapomestrocel</p>	<p>células progenitoras mesenquimales autólogas derivadas del fluido de médula ósea. Las células se expanden en medio de cultivo estándar suplementado con suero autólogo. Las células expresan los marcadores de células progenitoras mesenquimales CD73, CD90 y CD105 (&gt;90%) y no expresan CD34 ni CD45 (&lt;5%). Las células secretan factores neurotróficos (factor neurotrófico derivado de cerebro (BDNF), factor de crecimiento del endotelio vascular (VEGF), factor de crecimiento placentario (PGF) y factor de crecimiento de hepatocitos (HGF)). Las células son capaces de diferenciarse a osteoblastos, adipocitos y condrocitos bajo condiciones de diferenciación estándar en cultivo <i>in vitro</i>. <i>terapia celular (lesiones de la médula espinal)</i></p>
<p><b>elarekibepum #</b> elarekibep</p>	<p>engineered human lipocalin-1 binding protein (tear lipocalin, tear prealbumin, von Ebner gland protein) (1-154) variant (REF&gt;<sup>22</sup>SRC<sup>24</sup>, EMNLE&gt;<sup>26</sup>RAVYN<sup>30</sup>, V&gt;F<sup>49</sup>, MLIS&gt;<sup>51</sup>AQRK<sup>54</sup>, C&gt;W<sup>57</sup>, EV&gt;<sup>59</sup>KY<sup>60</sup>, A&gt;L<sup>62</sup>, D&gt;S<sup>76</sup>, K&gt;R<sup>79</sup>, YC&gt;<sup>96</sup>HS<sup>97</sup>, ELH&gt;<sup>100</sup>LCP<sup>102</sup>, K&gt;Q<sup>104</sup>, R&gt;P<sup>107</sup>, K&gt;W<sup>110</sup>, C&gt;S<sup>149</sup>) anti-(human interleukin 4 receptor subunit alpha (IL4R<math>\alpha</math>)), non-glycosylated, produced in <i>Corynebacterium glutamicum</i>; human lipocalin-1 (LCN1, tear lipocalin, Tlc, von Ebner gland protein, vEG protein, VEGP, tear prealbumin, TP), des-(1-22) pre-protein (1-154), [<sup>22</sup>REF<sup>24</sup>&gt;SRC, <sup>26</sup>EMNLE<sup>30</sup>&gt;RAVYN, V<sup>49</sup>&gt;F, <sup>51</sup>MLIS<sup>54</sup>&gt;AQRK, C<sup>57</sup>&gt;W, <sup>59</sup>EV<sup>60</sup>&gt;KY, A<sup>62</sup>&gt;L, D<sup>76</sup>&gt;S, K<sup>79</sup>&gt;R, <sup>96</sup>YC<sup>97</sup>&gt;HS, <sup>100</sup>ELH<sup>102</sup>&gt;LCP, K<sup>104</sup>&gt;Q, R<sup>107</sup>&gt;P, K<sup>110</sup>&gt;W, C<sup>149</sup>&gt;S]-mutant engineered for binding to the human interleukin 4 receptor subunit alpha (IL4R<math>\alpha</math>), non-glycosylated, produced in <i>Corynebacterium glutamicum</i> <i>immunomodulator</i></p>
<p>élarékibep</p>	<p>protéine de liaison de la lipocaline-1 humaine modifiée (lipocaline lacrymale, préalbumine lacrymale, protéine de la glande de von Ebner) (1-154) variant (REF&gt;<sup>22</sup>SRC<sup>24</sup>, EMNLE&gt;<sup>26</sup>RAVYN<sup>30</sup>, V&gt;F<sup>49</sup>, MLIS&gt;<sup>51</sup>AQRK<sup>54</sup>, C&gt;W<sup>57</sup>, EV&gt;<sup>59</sup>KY<sup>60</sup>, A&gt;L<sup>62</sup>, D&gt;S<sup>76</sup>, K&gt;R<sup>79</sup>, YC&gt;<sup>96</sup>HS<sup>97</sup>, ELH&gt;<sup>100</sup>LCP<sup>102</sup>, K&gt;Q<sup>104</sup>, R&gt;P<sup>107</sup>, K&gt;W<sup>110</sup>, C&gt;S<sup>149</sup>) anti-(sous-unité alpha du récepteur humain de l'interleukine 4 (IL4R<math>\alpha</math>)), non glycosylée, produite dans <i>Corynebacterium glutamicum</i>;</p>

lipocaline-1 humaine (LCN1, lipocaline lacrymale, Tlc, protéine de la glande de von Ebner, protéine vEG, VEGP, préalbumine lacrymale humaine, TP), des-(1-22) pré-protéine (1-154), mutant [22REF24>SRC, 26EMNLE30>RAVYN, V49>F, 51MLIS54>AQRK, C57>W, 59EV60>KY, A62>L, D76>S, K79>R, 96YC97>HS, 100ELH102>LCP, K104>Q, R107>P, K110>W, C149>S] conçue pour se lier à la sous-unité alpha du récepteur de l'interleukine 4 (IL4Rα), non glycosylée, produite dans *Corynebacterium glutamicum* immunomodulateur

elarekibep

proteína humana modificada de unión a la lipocalina-1 (lipocalina lagrimal, prealbúmina lagrimal, proteína de la glándula von Ebner) (1-154) variante (REF>22SRC24, EMNLE>26RAVYN30, V>F49, MLIS>51AQRK54, C>W57, EV>59KY60, A>L62, D>S76, K>R79, YC>96HS97, ELH>100LCP102, K>Q104, R>P107, K>W110, C>S149) anti-(interleukina humana 4 receptor subunidad alfa (IL4Rα)), no glicosilada, producida en *Corynebacterium glutamicum*; lipocalina-1 humana (LCN1, lipocalina lagrimal, Tlc, proteína de la glándula de von Ebner, proteína vEG, VEGP, prealbúmina lagrimal humana, TP), des-(1-22) pre-proteína (1-154), mutante [22REF24>SRC, 26EMNLE30>RAVYN, V49>F, 51MLIS54>AQRK, C57>W, 59EV60>KY, A62>L, D76>S, K79>R, 96YC97>HS, 100ELH102>LCP, K104>Q, R107>P, K110>W, C149>S] diseñada para unirse a la subunidad alfa del receptor de interleukina 4 humano (IL4Rα), no glicosilada, producida en *Corynebacterium glutamicum* inmunomodulador

2485020-60-6

Sequence / Séquence / Secuencia

ASDEEIQDVS GTWYLKAMTV ~~LSRC~~RAVYN SVTPTMLTTL EGGNLEAK~~FT~~ 50  
**AQRKGF**W**KY** K**L**/LEK**T**DEP G**KY**F**A**S**C**R**H** VAYIIRSHVK DHYI**F**H**S**E**G**L 100  
**CF**S**Q**~~P~~**VG**W**V** LVGRDPKNNL EALED**F**E**K**AA GARG**L**STESI LIP**R**Q**S**E**T****S** 150  
 PGSD 154

Mutation / Mutación / Mutación

R22> **S**, E23> **R**, F24> **C**, E26> **R**, M27> **A**, N28> **V**, L29> **Y**,  
 E30> **N**, V49> **F**, M51> **A**, L52> **Q**, I53> **R**, S54> **K**, C57> **W**,  
 E59> **K**, V60> **Y**, A62> **L**, D76> **S**, K79> **R**, Y96> **H**, C97> **S**,  
 E100> **L**, L101> **C**, H102> **E**, K104> **Q**, R107> **P**, K110> **W**, C149> **S**

Post-translational modifications

Disulfide bridge location / Position du pont disulfure / Posición del puente disulfuro  
 24-101

Glycosylation sites / Sites de glycosylation / Posiciones de glicosilación  
 none / aucun / ninguna

elcubragistatum  
 elcubragistat

1,1,1,3,3,3-hexafluoropropan-2-yl 4-[[2-(pyrrolidin-1-yl)-4-(trifluoromethyl)phenyl]methyl]piperazine-1-carboxylate  
*monoacylglycerol lipase inhibitor*

elcubragistat

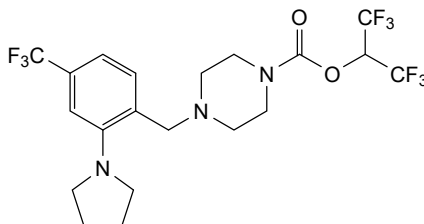
4-[[2-(pyrrolidin-1-yl)-4-(trifluorométhyl)phényl]méthyl]pipérazine-1-carboxylate de 1,1,1,3,3,3-hexafluoropropan-2-yle  
*inhibiteur de la monoacylglycérol lipase*

elcubragistat

4-[[2-(pirrolidin-1-il)-4-(trifluorometil)fenil]metil]piperazina-1-carboxilato de 1,1,1,3,3,3-hexafluoropropan-2-ilo  
*inhibidor de la monoacilglicerol lipasa*

C<sub>20</sub>H<sub>22</sub>F<sub>9</sub>N<sub>3</sub>O<sub>2</sub>

1446817-84-0

**elzovantinibum**

elzovantinib

(6*S*)-1<sup>2</sup>-amino-2-ethyl-4<sup>5</sup>-fluoro-6-methyl-9-oxo-5-oxa-2,8-diaza-1(5,3)-pirazolo[1,5-*a*]pirimidina-4(1,2)-benzenacyclononaphane-4<sup>6</sup>-carbonitrile  
*tyrosine kinase inhibitor, antineoplastic*

elzovantinib

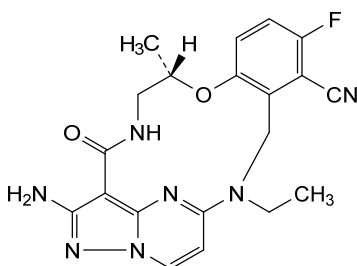
(6*S*)-1<sup>2</sup>-amino-2-éthyl-4<sup>5</sup>-fluoro-6-méthyl-9-oxo-5-oxa-2,8-diaza-1(5,3)-pirazolo[1,5-*a*]pyrimidina-4(1,2)-benzénacyclononaphane-4<sup>6</sup>-carbonitrile  
*inhibiteur de la tyrosine kinase, antinéoplasique*

elzovantinib

(6*S*)-1<sup>2</sup>-amino-2-etil-4<sup>5</sup>-fluoro-6-metil-9-oxo-5-oxa-2,8-diaza-1(5,3)-pirazolo[1,5-*a*]pirimidina-4(1,2)-bencenaciclónonafano-4<sup>6</sup>-carbonitrilo  
*inhibidor de la tirosina kinasa, antineoplásico*

C<sub>20</sub>H<sub>20</sub>FN<sub>7</sub>O<sub>2</sub>

2271119-26-5

**emfizatamabum #**

emfizatamab

immunoglobulin scFv-G1-scFv-scFv\_L-kappa, anti-[*Homo sapiens* CD3E (CD3 epsilon, Leu-4)], anti-[*Homo sapiens* CD19 (B lymphocyte surface antigen B4, Leu-12)], anti-[*Homo sapiens* CD274 (programmed death ligand 1, PDL1, PD-L1, B7 homolog 1, B7H1)] and anti-[*Homo sapiens* TNFRSF9 (tumor necrosis factor receptor (TNFR) superfamily member 9, 4-1BB, CD137)], *Homo sapiens* and humanized monoclonal antibody, tetraspecific;

scFv-G1-scFv-scFv fused heavy chain *Homo sapiens* and humanized (1-1230) [scFv kappa-heavy anti-CD3E humanized (1-252) [V-KAPPA (*Homo sapiens* IGKV1-5\*01 (90.1%) -IGKJ4\*01 (90.9%), CDR-IMGT [6.3.14] (27-32.50-52.89-102)) (1-112) -20-mer tétrakis(tétraglycyl-séryl) linker (113-132) -VH (*Homo sapiens* IGHV3-66\*01 (86.6%) -(IGHD) -IGHJ1\*01 (100%), CDR-IMGT [8.7.14] (158-165.183-189.228-241)) (133-252)] -10-mer bis(tétraglycyl-séryl) linker (253-262) -gamma-1 heavy chain anti-CD19 *Homo sapiens* (263-712) [VH (*Homo sapiens* IGHV5-51\*01 (94.9%) -(IGHD) -IGHJ1\*01 (100%), CDR-IMGT [8.8.14] (288-295.313-320.359-372)) (263-383) -*Homo sapiens* IGHG1\*03, G1m3, nG1m1, G1v14 CH2 A1.3, A1.2, G1v20 CH2 A105 (CH1 R120 (480) (384-481), hinge 1-15 (482-496), CH2 L1.3>A (500), L1.2>A (501), G1>A (503), K105>A (588) (497-606), CH3 D12 (622), L14 (624) (607-711), CHS K2>del (712)) (384-712)] -10-mer bis(tétraglycyl-séryl) linker (713-722) -scFv heavy-kappa anti-CD274 humanized (723-974) [VH (*Homo sapiens* IGHV3-23\*01 (84.0%) -(IGHD) -IGHJ1\*01 (100%), CDR-IMGT [9.8.13] (748-756.774-781.821-833)) (723-844) -20-mer tétrakis(tétraglycyl-séryl) linker (845-864) -V-KAPPA (*Homo sapiens* IGKV1-5\*03 (91.5%) -IGKJ4\*01 (100%), CDR-IMGT [6.3.12] (891-896.914-916.953-964)) (865-974)] -10-mer bis(tétraglycyl-séryl) linker (975-984) -scFv heavy-kappa anti-TNFRSF9 humanized (985-1230) [VH (*Homo sapiens* IGHV3-64\*04 (82.1%) -(IGHD) -IGHJ1\*01 (100%), CDR-IMGT [8.7.10] (1009-1016.1034-1040.1079-1088)) (985-1099) -20-mer tétrakis(tétraglycyl-séryl) linker (1100-1119) -V-KAPPA (*Homo sapiens* IGKV1-12\*01 (83.1%) -IGKJ4\*01 (100%), CDR-IMGT [6.3.13] (1146-1151.1169-1171.1208-1220)) (1120-1230)]; (486-214')-disulfide with kappa light chain anti-CD19 *Homo sapiens* (1'-214') [V-KAPPA (*Homo sapiens* IGKV1-13\*02 (100%) -IGKJ3\*01 (100%), CDR-IMGT [6.3.9] (27-32.50-52.89-97)) (1'-107') -*Homo sapiens* IGKC\*01 (100%), Km3 A45.1 (153), V101 (191) (108'-214')]; dimer (492-492":495-495")-bisdisulfide, produced in Chinese hamster ovary (CHO) cells, glycoform alfa immunomodulator, antineoplastic

## emfizatamab

immunoglobuline scFv-G1-scFv-scFv\_L-kappa, anti-[*Homo sapiens* CD3E (CD3 epsilon, Leu-4)], anti-[*Homo sapiens* CD19 (antigène de surface B4 des lymphocytes B, Leu-12)], anti-[*Homo sapiens* CD274 (ligand 1 de mort programmée, PDL1, PD-L1, homologue 1 de B7, B7H1)] et anti-[*Homo sapiens* TNFRSF9 (membre 9 de la superfamille des récepteurs du facteur de nécrose tumorale, 4-1BB, CD137)], anticorps monoclonal *Homo sapiens* et humanisé, tétraspécifique; chaîne lourde fusionnée scFv-G1-scFv-scFv *Homo sapiens* et humanisée (1-1230) [scFv kappa-lourd anti-CD3E humanisé (1-252) [V-KAPPA (*Homo sapiens* IGKV1-5\*01 (90.1%) -IGKJ4\*01 (90.9%), CDR-IMGT [6.3.14] (27-32.50-52.89-102)) (1-112) -20-mer tétrakis(tétraglycyl-séryl) linker (113-132) -VH (*Homo sapiens* IGHV3-66\*01 (86.6%) -(IGHD) -IGHJ1\*01 (100%), CDR-IMGT [8.7.14] (158-165.183-189.228-241)) (133-252)] -10-mer bis(tétraglycyl-séryl) linker (253-262) -chaîne lourde gamma-1 anti-CD19 *Homo sapiens* (263-712) [VH (*Homo sapiens* IGHV5-51\*01 (94.9%) -(IGHD) -IGHJ1\*01 (100%), CDR-IMGT [8.8.14] (288-295.313-320.359-372)) (263-383) -*Homo sapiens* IGHG1\*03, G1m3, nG1m1, G1v14 CH2 A1.3, A1.2, G1v20 CH2 A105 (CH1 R120 (480) (384-481), charnière 1-15 (482-496), CH2 L1.3>A (500), L1.2>A (501), G1>A (503), K105>A (588) (497-606), CH3 D12 (622), L14 (624) (607-711), CHS K2>del (712)) (384-712)] -10-mer bis(tétraglycyl-séryl) linker (713-722) -scFv lourd-kappa anti-CD274 humanisé (723-974) [VH (*Homo sapiens* IGHV3-23\*01 (84.0%) -(IGHD) -IGHJ1\*01 (100%), CDR-IMGT [9.8.13] (748-756.774-781.821-833)) (723-844) -20-mer

tétrakis(tétraglicyl-séryl) linker (845-864) -V-KAPPA (*Homo sapiens* IGKV1-5\*03 (91.5%) -IGKJ4\*01 (100%), CDR-IMGT [6.3.12] (891-896.914-916.953-964)) (865-974)] -10-mer bis(tétraglicyl-séryl) linker (975-984) -scFv lourd-kappa anti-TNFRSF9 humanisé (985-1230) [VH (*Homo sapiens* IGHV3-64\*04 (82.1%) -(IGHD) -IGHJ1\*01 (100%), CDR-IMGT [8.7.10] (1009-1016.1034-1040.1079-1088)) (985-1099) -20-mer tétrakis(tétraglicyl-séryl) linker (1100-1119) -V-KAPPA (*Homo sapiens* IGKV1-12\*01 (83.1%) -IGKJ4\*01 (100%), CDR-IMGT [6.3.13] (1146-1151.1169-1171.1208-1220)) (1120-1230)]; (486-214')-disulfure avec la chaîne légère kappa anti-CD19 *Homo sapiens* (1'-214') [V-KAPPA (*Homo sapiens* IGKV1-13\*02 (100%) -IGKJ3\*01 (100%), CDR-IMGT [6.3.9] (27-32.50-52.89-97)) (1'-107') -*Homo sapiens* IGKC\*01 (100%), Km3 A45.1 (153), V101 (191) (108'-214')]; dimère (492-492":495-495")-bisdisulfure, produit dans des cellules ovariennes de hamster chinois (CHO), glycoforme alfa  
*immunomodulateur, antinéoplasique*

## emfizataamab

immunoglobulina scFv-G1-scFv-scFv\_L-kappa, anti-[*Homo sapiens* CD3E (CD3 épsilon, Leu-4)], anti-[*Homo sapiens* CD19 (antígeno de superficie B4 de los linfocitos B, Leu-12)], anti-[*Homo sapiens* CD274 (ligando 1 de muerte programada, PDL1, PD-L1, homólogo 1 de B7, B7H1)] y anti-[*Homo sapiens* TNFRSF9 (miembro 9 de la superfamilia de los receptores del factor de necrosis tumoral, 4-1BB, CD137)], anticuerpo monoclonal *Homo sapiens* y humanizado, tetraespecífico; cadena pesada fusionada scFv-G1-scFv-scFv *Homo sapiens* y humanizada (1-1230) [scFv kappa-pesado anti-CD3E humanizado (1-252) [V-KAPPA (*Homo sapiens* IGKV1-5\*01 (90.1%) -IGKJ4\*01 (90.9%), CDR-IMGT [6.3.14] (27-32.50-52.89-102)) (1-112) -20-mer tetrakis(tetraglicil-seril) linker (113-132) -VH (*Homo sapiens* IGHV3-66\*01 (86.6%) -(IGHD) -IGHJ1\*01 (100%), CDR-IMGT [8.7.14] (158-165.183-189.228-241)) (133-252)] -10-mer bis(tetraglicil-seril) linker (253-262) -cadena pesada gamma-1 anti-CD19 *Homo sapiens* (263-712) [VH (*Homo sapiens* IGHV5-51\*01 (94.9%) -(IGHD) -IGHJ1\*01 (100%), CDR-IMGT [8.8.14] (288-295.313-320.359-372)) (263-383) -*Homo sapiens* IGHG1\*03, G1m3, nG1m1, G1v14 CH2 A1.3, A1.2, G1v20 CH2 A105 (CH1 R120 (480) (384-481), bisagra 1-15 (482-496), CH2 L1.3>A (500), L1.2>A (501), G1>A (503), K105>A (588) (497-606), CH3 D12 (622), L14 (624) (607-711), CHS K2>del (712)) (384-712)] -10-mer bis(tetraglicil-seril) linker (713-722) -scFv pesado-kappa anti-CD274 humanizado (723-974) [VH (*Homo sapiens* IGHV3-23\*01 (84.0%) -(IGHD) -IGHJ1\*01 (100%), CDR-IMGT [9.8.13] (748-756.774-781.821-833)) (723-844) -20-mer tetrakis(tetraglicil-seril) linker (845-864) -V-KAPPA (*Homo sapiens* IGKV1-5\*03 (91.5%) -IGKJ4\*01 (100%), CDR-IMGT [6.3.12] (891-896.914-916.953-964)) (865-974)] -10-mer bis(tetraglicil-seril) linker (975-984) -scFv pesado-kappa anti-TNFRSF9 humanizado (985-1230) [VH (*Homo sapiens* IGHV3-64\*04 (82.1%) -(IGHD) -IGHJ1\*01 (100%), CDR-IMGT [8.7.10] (1009-1016.1034-1040.1079-1088)) (985-1099) -20-mer tetrakis(tetraglicil-seril) linker (1100-1119) -V-KAPPA (*Homo sapiens* IGKV1-12\*01 (83.1%) -IGKJ4\*01 (100%), CDR-IMGT [6.3.13] (1146-1151.1169-1171.1208-1220)) (1120-1230)]; (486-214')-disulfuro con la cadena ligera kappa anti-CD19 *Homo sapiens* (1'-214') [V-KAPPA (*Homo sapiens* IGKV1-13\*02 (100%) -IGKJ3\*01 (100%), CDR-IMGT [6.3.9] (27-32.50-52.89-97)) (1'-107') -*Homo sapiens* IGKC\*01 (100%), Km3 A45.1 (153), V101 (191) (108'-214')]; dímero (492-492":495-495")-bisdisulfuro, producido en las células ováricas de hámster chino (CHO), forma glicosilada alfa  
*immunomodulador, antineoplásico*

Heavy chain / Chaîne lourde / Cadena pesada [scFv (anti-CD3E)-G1 (anti-CD19)-scFv (anti-CD274)-scFv (anti-TNFRSF9)]

DVVMTQSPST	LSASVGDVRT	INCQASESIS	SWLAWYQQPK	GKAPKLLIYE	50
ASKLASGVPS	RFGSGSGGTE	FTLTISLQF	DDFATYYCQG	YFYFISRITYV	100
NSFGGGTKVE	IKGGGGSGGG	GSGGGSGGG	GSEVQLVESG	GGLVQPGGSL	150
RLSCAASGFT	ISTNAMSWR	QAPKGLEWI	GVITGRDITY	YASWAKGRFT	200
ISRDNSKNTL	YLQMNLSRAE	DTAVYYCARD	GGSSAITSN	IWQGTLLTVT	250
SSGGGGSGGG	GSEVQLVQSG	AEVKKPGESL	KISCKGSGYS	FSSSWIGWR	300
QAPKGLEWM	GIYPPDSDT	RYSPSFQQV	TISADKSIRT	AYLQWSLKA	350
SDTAMYCAR	HVTMINGVII	DFWQGTLLV	VSSASTKGPS	VFPLAPSSKS	400
TSGGTAALGC	LVKDYFPEPV	TVSWNSGALT	SGVHTFPAVL	QSSGLYSLSS	450
VTVVPSSSLG	TQTYICNVNH	KPSNTKVDKR	VEPKSCDKTH	TCPPCPAPEA	500
AGAPSVFLFP	PKPKDTLMIS	RTPEVTCVVV	DVSHEDPEVK	FNWYVDGVEV	550
HNAKTKPREE	QYNSTYRVVS	VLTVLHQDWL	NGKEYKCAVS	NKALPAPIEK	600
TISKAKGQPR	EPQVYTLPPS	RDELTKNQVS	LTCLVKGFYP	SDIAVENESN	650
GQPENNYKTT	PPVLDSDGSP	FLYSKLTVDK	SRWQQGNVPS	CSVMHEALHN	700
HYTQKLSLS	PGGGGGSGGG	GSEVQLLES	GGLVQPGGSL	RLSCAASGFS	750
FSSGYDMCWV	RQAPKGLEW	IACIAAGSAG	ITYDANWAKG	RFTISRDNKSK	800
NTRYLQMNLS	RAEDTAVYYC	ARSAFSDYA	MDLWGQGTLLV	TVSSGGGGSG	850
GGGGGGGGSG	GGGSDIQMTQ	SPSTLSASVG	DRVTITCQAS	QSISSHLNMY	900
QKPKGKAPKL	LIYKASTLAS	GVPSRFGSGG	SGTEFTLTIS	SLQPDDFATY	950
YCCQGYSWGN	VDNVFGGGTR	VEIKGGGGSG	GGGSRSLVES	GGGLVQPGGS	1000
LRLSCTASGF	TISSYHMQWV	RQAPKGLEY	IGTISGGNV	YYASSARGRF	1050
TISRFPSSKNT	VDLQMNLSRA	EDTAVYYCAR	DSGYSDPMWG	QGTLLVTVSSG	1100
GGGGGGGGSG	GGGGGGGSD	VVMTQSPSSV	SASVGDVRTI	TCQASQNIPT	1150
YLSWYQQKPK	KAPKLLIYAA	ANLASGVPSR	FSGSGSGGTF	TLTISDLEPG	1200
DAATYYCQST	YLGTDYVGA	FGGGTKVEIK			1230

Light chain / Chaîne légère / Cadena ligera (anti-CD19)

AIQLTQSPSS	LSASVGDVRT	ITCRASQGIS	SALAWYQQPK	GKAPKLLIYD	50
ASSLESGVPS	RFGSGSGGTD	FTLTISLQF	EDFATYYCQG	FNSYFPTFGP	100
GTKVDIKRVT	AAPSVFIFPP	SDEQLKSGTA	SVVCLLNNEY	PREAKVQWQV	150
DNALQSGNSQ	ESVTEQDSKD	STYLSSTLT	LSKADYEKHK	VYACEVTHQG	200
LSSPVTKSFN	RGEC				214

#### Post-translational modifications

Disulfide bridges location / Position des ponts disulfure / Posiciones de los puentes disulfuro

Intra-H (C23-C104)	23-88	154-227	284-358	410-466	527-587
	23"-88"	154"-227"	284"-358"	410"-466"	527"-587"
	633-691	744-820	887-952	1005-1078	1142-1207
	633"-691"	744"-820"	887"-952"	1005"-1078"	1142"-1207"
Intra-H (VH 40-55)	758-773	758"-773"			
Intra-L (C23-C104)	23'-88'	134'-194'			
	23"-88"	134"-194"			
Inter-H-L (h 5-CL 126)	486-214'	486"-214"			
Inter-H-H (h 11, h 14)	492-492"	495-495"			

N-glycosylation sites / Sites de N-glycosylation / Posiciones de N-glicosilación

H CH2 N84.4: 563, 563"

Fucosylated complex bi-antennary CHO-type glycans / glycanes de type CHO bi-antennaires complexes fucosylés / glicanos de tipo CHO biantennarios complejos fucosilados.

### emilimogenum sigilactibacum #

emilimogene sigilactibac

recombinant live *Limosilactobacillus reuteri* bacteria (previously known as *Lactobacillus reuteri*), strain R2LC, transformed with a plasmid expressing a codon-optimised human C-X-C motif chemokine ligand 12 isoform alpha (CXCL12-1 $\alpha$ ; also known as stromal cell-derived factor 1 isoform alpha) with the native secretion signal replaced with the secretion signal of the *L. reuteri* collagen-binding protein, under control of the inducible promoter P<sub>orfX</sub> (part of a peptide-based quorum-sensing system).  
*genetically modified bacteria, immunomodulator*

émilimogène sigilactibac

bactéries vivantes recombinantes *Limosilactobacillus reuteri* (précédemment connues sous le nom de *Lactobacillus reuteri*), souche R2LC, transformées avec un plasmide exprimant l'isoforme alpha du ligand 12 de la chimiokine humaine à motif C-X-C (CXCL12-1 $\alpha$ ; également connue sous le nom d'isoforme alpha du facteur 1 dérivé des cellules stromales) aux codons optimisés, le signal de sécrétion natif remplacé par le signal de sécrétion de la protéine de liaison au collagène de *L. reuteri*, sous le contrôle du promoteur inductible P<sub>orfX</sub> (qui fait partie d'un système peptidique de détection du quorum).  
*bactérie génétiquement modifiée, immunomodulateur*



emilimogén sigulactibac

bacteria viva recombinante *Limosilactobacillus reuteri* (antes conocida como *Lactobacillus reuteri*), cepa R2LC, transformada con un plásmido que expresa la isoforma alfa del ligando 12 de la quimoquina con motivo C-X-C humana (CXCL12-1 $\alpha$ ; también conocida como isoforma alfa del factor derivado de células estromales 1), con codones optimizados, con la señal de secreción nativa reemplazada con la señal de secreción de la proteína de unión a colágeno de *L. reuteri*, bajo el control del promotor inducible P<sub>orfX</sub> (parte del sistema de percepción de cuórum (quorum sensing) basado en péptidos).  
*bacteria modificada genéticamente, inmunomodulador*

**emirodatamabum #**

emirodatamab

immunoglobulin scFv-scFv-scFc, anti-[*Homo sapiens* FLT3 (fms related receptor tyrosine kinase 3, STK1, FLK2, CD135)] and anti-[*Homo sapiens* CD3E (CD3e, CD3 epsilon)], single chain monoclonal antibody, bispecific;  
scFv-scFv-scFc fused single chain (1-989) [scFv heavy-kappa anti-FLT3 (1-246) [VH (*Homo sapiens* IGHV2-26\*03 (92.0%) -(IGHD) -IGHJ4\*01 (93.3%), CDR-IMGT [10.7.16] (26-35.53-59.98-113)) (1-124) -15-mer tris(tetraglycyl-seryl) linker (125-139) -V-KAPPA (*Homo sapiens* IGKV1-17\*01 (98.9%) -IGKJ4\*01 (91.7%) G120>C (239), CDR-IMGT [6.3.9] (166-171.189-191.228-236)) (140-246)] -6-mer seryl-tetraglycyl-seryl linker (247-252) -scFv heavy-lambda anti-CD3E (253-501) [VH Musmus/Homsap (*Mus musculus* IGHV10-1\*02 (91.9%) -(IGHD) -IGHJ3\*01 (92.9%)/*Homo sapiens* IGHV3-73\*01 (87.0%) -(IGHD) -IGHJ5\*01 (100%), CDR-IMGT [8.10.16] (278-285.303-312.351-366)) (253-377) -15-mer tris(tetraglycyl-seryl) linker (378-392) -V-LAMBDA (*Homo sapiens* IGLV7-43\*01 (85.1%) -IGLJ3\*02 (100%), CDR-IMGT [9.3.9] (418-426.444-446.483-491)) (393-501)] -4-mer tetraglycyl linker (502-505) -scFc gamma1 (h-CH2-CH3)-(h-CH2-CH3) (506-989) [*Homo sapiens* IGHG1\*03 h-CH2-CH3, nG1m1, G1v30 CH2 N84.4>G (hinge 6-15 (506-515), CH2 R83>C (577), N84.4>G (582), V85>C (587) (516-625), CH3 E12 (641), M14 (643) (626-730), CHS (731-732)) (506-732)] -30-mer hexakis(tetraglycyl-seryl) linker (733-762) -*Homo sapiens* IGHG1\*03 h-CH2-CH3, nG1m1, G1v30 CH2 N84.4>G (hinge 6-15 (763-772), CH2 R83>C (834), N84.4>G (839), V85>C (844) (773-882), CH3 E12 (898), M14 (900) (883-987), CHS (988-989)]], produced in Chinese hamster ovary (CHO) cells, non-glycosylated  
*immunomodulator, antineoplastic*

émirodatamab

immunoglobuline scFv-scFv-scFc, anti-[*Homo sapiens* FLT3 (récepteur tyrosine kinase 3 lié à fms, STK1, FLK2, CD135)] et anti-[*Homo sapiens* CD3E (CD3e, CD3 epsilon)], anticorps monoclonal à chaîne unique, bispécifique;

chaîne unique fusionnée scFv-scFv-scFc (1-989) [scFv heavy-kappa anti-FLT3 (1-246) [VH (*Homo sapiens* IGHV2-26\*03 (92.0%) -(IGHD) -IGHJ4\*01 (93.3%), CDR-IMGT [10.7.16] (26-35.53-59.98-113)) (1-124) -15-mer tris(tétraglycyl-séryl) linker (125-139) -V-KAPPA (*Homo sapiens* IGKV1-17\*01 (98.9%) -IGKJ4\*01 (91.7%) G120>C (239), CDR-IMGT [6.3.9] (166-171.189-191.228-236)) (140-246)] -6-mer séryl-tétraglycyl-séryl linker (247-252) -scFv heavy-lambda anti-CD3E (253-501) [VH Musmus/Homsap (*Mus musculus* IGHV10-1\*02 (91.9%) -(IGHD) -IGHJ3\*01 (92.9%)/*Homo sapiens* IGHV3-73\*01 (87.0%) -(IGHD) -IGHJ5\*01 (100%), CDR-IMGT [8.10.16] (278-285.303-312.351-366)) (253-377) -15-mer tris(tétraglycyl-séryl) linker (378-392) -V-LAMBDA (*Homo sapiens* IGLV7-43\*01 (85.1%) -IGLJ3\*02 (100%), CDR-IMGT [9.3.9] (418-426.444-446.483-491)) (393-501)] -4-mer tétraglycyl linker (502-505) -scFc gamma1 (h-CH2-CH3)-(h-CH2-CH3) (506-989) [*Homo sapiens* IGHG1\*03 h-CH2-CH3, nG1m1, G1v30 CH2 N84.4>G (charnière 6-15 (506-515), CH2 R83>C (577), N84.4>G (582), V85>C (587) (516-625), CH3 E12 (641), M14 (643) (626-730), CHS (731-732)) (506-732)] -30-mer hexakis(tétraglycyl-séryl) linker (733-762) - [*Homo sapiens* IGHG1\*03 h-CH2-CH3, nG1m1, G1v30 CH2 N84.4>G (charnière 6-15 (763-772), CH2 R83>C (834), N84.4>G (839), V85>C (844) (773-882), CH3 E12 (898), M14 (900) (883-987), CHS (988-989)]], produit dans des cellules ovariennes de hamster chinois (CHO), non-glycosylé  
*immunomodulateur, antinéoplasique*

emirodatamab

inmunoglobulina scFv-scFv-scFc, anti-[*Homo sapiens* FLT3 (receptor tirosina kinasa 3 relacionado con fms, STK1, FLK2, CD135)] y anti-[*Homo sapiens* CD3E (CD3e, CD3 épsilon)], anticuerpo monoclonal con cadena única, biespecífico; cadena única fusionada scFv-scFv-scFc (1-989) [scFv pesada-kappa anti-FLT3 (1-246) [VH (*Homo sapiens* IGHV2-26\*03 (92.0%) -(IGHD) -IGHJ4\*01 (93.3%), CDR-IMGT [10.7.16] (26-35.53-59.98-113)) (1-124) -15-mer tris(tetraglicil-seril) linker (125-139) -V-KAPPA (*Homo sapiens* IGKV1-17\*01 (98.9%) -IGKJ4\*01 (91.7%) G120>C (239), CDR-IMGT [6.3.9] (166-171.189-191.228-236)) (140-246)] -6-mer seril-tetraglicil-seril linker (247-252) -scFv pesado-lambda anti-CD3E (253-501) [VH Musmus/Homsap (*Mus musculus* IGHV10-1\*02 (91.9%) -(IGHD) -IGHJ3\*01 (92.9%)/*Homo sapiens* IGHV3-73\*01 (87.0%) -(IGHD) -IGHJ5\*01 (100%), CDR-IMGT [8.10.16] (278-285.303-312.351-366)) (253-377) -15-mer tris(tetraglicil-seril) linker (378-392) -V-LAMBDA (*Homo sapiens* IGLV7-43\*01 (85.1%) -IGLJ3\*02 (100%), CDR-IMGT [9.3.9] (418-426.444-446.483-491)) (393-501)] -4-mer tetraglicil linker (502-505) -scFc gamma1 (h-CH2-CH3)-(h-CH2-CH3) (506-989) [*Homo sapiens* IGHG1\*03 h-CH2-CH3, nG1m1, G1v30 CH2 N84.4>G (bisagra 6-15 (506-515), CH2 R83>C (577), N84.4>G (582), V85>C (587) (516-625), CH3 E12 (641), M14 (643) (626-730), CHS (731-732)) (506-732)] -30-mer hexakis(tetraglicil-seril) linker (733-762) - [*Homo sapiens* IGHG1\*03 h-CH2-CH3, nG1m1, G1v30 CH2 N84.4>G (bisagra 6-15 (763-772), CH2 R83>C (834), N84.4>G (839), V85>C (844) (773-882), CH3 E12 (898), M14 (900) (883-987), CHS (988-989)]], producido en las células ováricas de hámster chino (CHO), no glicosilado  
*inmunomodulador, antineoplásico*

2449199-61-3

Sequene / Séquence / Secuencia  
 QVTLKESGPT LVKPTETLTL TCTLSGFSLN NARMGVSWIR QPPGKLEWL 50  
 AHIFSNDEKS YSTSLKNRLT ISKDSKQTQV VLTMTNVDV DTATYYCART 100  
 VGYGSGWYFV FDYWGQGLTV TVSSGGGGSG GGGGGGGSD IQMTQSPSL 150  
 SASVGDVRTI TCRASQGIRN DLGWYQKQFG KAPKRLIYAA STLQSGVPSR 200  
 FSGGSGGTEF TLTISSLQPE DPATYYCLQH NSYPLTFGGG TKVEIKSGGG 250  
 GSEVQLVESG GGLVQPGSL KLSCAASGFT FNKYAMNWRV QAPKGLWV 300  
 ARIRSKYNNV ATYVADSVKD RFTISRDDSK NTAYLQMNNL KTEDTAVVYC 350  
 VRHGNFGMSY ISYWAYWGQG TLTVVSSGGG GSGGGGGGGG GSQTVVVTF 400  
 SLTVSFGSTV TLTCSSTGA VTSNGYFNWV QQKPGQAPRG LIIGTKFLAP 450  
 GTPAREFSSL LGGKAALTLG GVQFEDEAEY YCVLWYSNRW VFGGKTLTV 500  
 LGGGGDKTHT CPPCPAPELL GGPVFLFPPF KFKDTLMSR TPEVTCVVVD 550  
 VSHEDPEVKE NWYVDGVEVH NAKTKPCEEQ YGSTRCVSV LTVLHQDWLN 600  
 GKEYKCKVSN KALPAPIERT ISKAKGQPRE PQVYTLPPSR EEMTRNQVSL 650  
 TCLVKGFPYS DIAVEWESNG QPENNYKTTP PVLDSGSGFF LYSKLTVDKS 700  
 RWQQGNVFC SVMEALHNLH YTKSLSLSP GKGGGGGGGG GSGGGGGGG 750  
 GSGGGGGGG GSDKTHTCPP CPAPPELLGGP SVFLFPPKPK DTLMISRTP 800  
 VTCVVVDVSH EDPEVKFNWY VDGVEVHNAK TKPCEEQYGS TYRCVSVLT 850  
 LHQDWLNGKE YKCKVSNKAL PAPIERTISK AKGQPREPQV YTLPPSREEM 900  
 TKNQVSLTCL VKGFYPSDIA VEWESNGQPE NNYKTPPVL DSDGSPFLYS 950  
 KLTVDKSRWQ QGNVFCVSM HEALHNYHTQ KSLSLSPGK 989

**Post-translational modifications**  
 Disulfide bridges location / Position des ponts disulfure / Posiciones de los puentes disulfuro  
 Intra-domain (C23 C104) 22-97 162-227 274-350 414-482  
 546-606 652-710 803-863 909-967  
 Inter-V (49-120) 46-239  
 Inter-h (h11),(h14) 511-768 514-771  
 Inter-CH2 (83),(85) 577-587 834-844

N-terminal glutaminyl cyclization / Cyclisation du glutaminyle N-terminal / Ciclación del glutamínilo N-terminal  
 H VH Q1 > pyroglutanyl (pE, 5-oxopropyl): 1

No N-glycosylation sites / pas de sites de N-glycosylation / ningún posición de N-glicosilación  
 CH2 N84.4-G (G1v30): 582, 839  
 Aglycosylated / aglycosylé / aglycosilado

C-terminal lysine clipping / Coupeure de la lysine C-terminale / Recorte de lisina C-terminal  
 H CHS K2: 989

**emprumapimodum**  
 emprumapimod

*N*-[(2*S*)-1-amino-4-(dimethylamino)-1-oxobutan-2-yl]-5-(2,4-difluorophenoxy)-1-(2-methylpropyl)-1*H*-indazole-6-carboxamide  
*immunomodulator*

emprumapimod

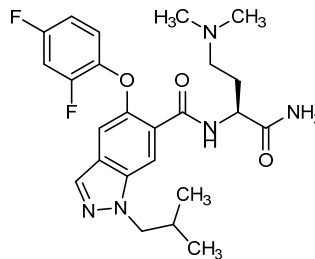
*N*-[(2*S*)-1-amino-4-(diméthylamino)-1-oxobutan-2-yl]-5-(2,4-difluorophénoxy)-1-(2-méthylpropyl)-1*H*-indazole-6-carboxamide  
*immunomodulateur*

emprumapimod

*N*-[(2*S*)-1-amino-4-(dimetilamino)-1-oxobutan-2-il]-5-(2,4-difluorofenoxi)-1-(2-metilpropil)-1*H*-indazol-6-carboxamida  
*immunomodulador*

C<sub>24</sub>H<sub>29</sub>F<sub>2</sub>N<sub>5</sub>O<sub>3</sub>

765914-60-1



**emrusolminum**

emrusolmin

3-(2*H*-1,3-benzodioxol-5-yl)-5-(3-bromophenyl)-1*H*-pyrazole  
*alpha*-synuclein oligomerization inhibitor

emrusolmine

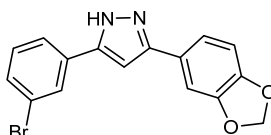
3-(2*H*-1,3-benzodioxol-5-yl)-5-(3-bromophényl)-1*H*-pyrazole  
*inhibiteur de l'oligomérisation de l'alpha-synucléine*

emrusolmina

3-(2*H*-1,3-benzodioxol-5-il)-5-(3-bromofenil)-1*H*-pirazol  
*inhibidor de la oligomerización de la alfa-sinucléina*

C<sub>16</sub>H<sub>11</sub>BrN<sub>2</sub>O<sub>2</sub>

882697-00-9

**enbezotininum**

enbezotininib

(1<sup>5a</sup>*R*, 1<sup>8a</sup>*S*, 5*S*)-3<sup>5</sup>-fluoro-5-méthyl-1<sup>5a</sup>, 1<sup>7</sup>, 1<sup>8</sup>, 1<sup>8a</sup>-tetrahydro-1<sup>6</sup>*H*-4-oxa-7-aza-1(5,3)-cyclopenta[*b*]pyrazolo[1',5':1,2]pyrimido[4,5-*e*][1,4]oxazina-3(3,2)-pyridinacyclooctaphan-8-one  
*tyrosine kinase inhibitor, antineoplastic*

enbézotininib

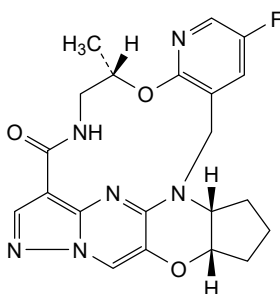
(1<sup>5a</sup>*R*, 1<sup>8a</sup>*S*, 5*S*)-3<sup>5</sup>-fluoro-5-méthyl-1<sup>5a</sup>, 1<sup>7</sup>, 1<sup>8</sup>, 1<sup>8a</sup>-tétrahydro-1<sup>6</sup>*H*-4-oxa-7-aza-1(5,3)-cyclopenta[*b*]pyrazolo[1',5':1,2]pyrimido[4,5-*e*][1,4]oxazina-3(3,2)-pyridinacyclooctaphan-8-one  
*inhibiteur de la tyrosine kinase, antinéoplasique*

enbezotininib

(1<sup>5a</sup>*R*, 1<sup>8a</sup>*S*, 5*S*)-3<sup>5</sup>-fluoro-5-metil-1<sup>5a</sup>, 1<sup>7</sup>, 1<sup>8</sup>, 1<sup>8a</sup>-tetrahydro-1<sup>6</sup>*H*-4-oxa-7-aza-1(5,3)-ciclopenta[*b*]pirazolo[1',5':1,2]pirimido[4,5-*e*][1,4]oxazina-3(3,2)-piridinaciclooctafan-8-ona  
*inhibidor de la tirosina kinasa, antineoplásico*

C<sub>21</sub>H<sub>21</sub>FN<sub>6</sub>O<sub>3</sub>

2359649-81-1

**encukalnerum**

encukalner

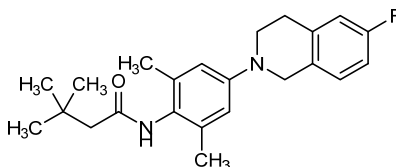
*N*-[4-(6-fluoro-3,4-dihydroisoquinolin-2(1*H*)-yl)-2,6-dimethylphenyl]-3,3-dimethylbutanamide  
*calcium-activated potassium channel positive allosteric modulator*

encukalner *N*-[4-(6-fluoro-3,4-dihydroisoquinoléin-2(1*H*)-yl)-2,6-diméthylphényl]-3,3-diméthylbutanamide  
*modulateur allostérique positif des canaux potassiques activés par le calcium*

encukalner *N*-[4-(6-fluoro-3,4-dihydroisoquinoléin-2(1*H*)-il)-2,6-diméthylfenil]-3,3-diméthylbutanamida  
*modulador alostérico positivo de los canales de potasio activados por calcio*

C<sub>23</sub>H<sub>29</sub>FN<sub>2</sub>O

1009344-33-5

**engabexagenum cincesparvovecum #**

engabexagene cincesparvovec

recombinant, non-replicating adeno-associated virus serotype 9 (rAAV9) vector, encoding codon-optimised human  $\beta$ -hexosaminidase subunits  $\beta$  and  $\alpha$ , joined by a porcine teschovirus 2A peptide linker, under control of a synthetic promoter (cytomegalovirus (CMV) enhancer, chicken  $\beta$ -actin promoter and  $\beta$ -actin intron) and terminated with the simian virus 40 (SV40) polyadenylation (polyA) signal, flanked by adeno-associated virus serotype 2 (AAV2) inverted terminal repeats (ITRs).

*gene therapy (GM2 gangliosidosis)*

engabexagène cincesparvovec

vecteur recombinant et non répliquant du virus adéno-associé de sérotype 9 (rAAV9) codant les sous-unités  $\beta$  et  $\alpha$  de la  $\beta$ -hexosaminidase humaine aux codons optimisés, reliées par une liaison peptidique du teschovirus 2A porcin, sous le contrôle d'un promoteur synthétique (amplificateur du cytomégalovirus (CMV), promoteur et intron de la  $\beta$ -actine de poulet) et terminé par le signal de polyadénylation (polyA) du virus simien 40 (SV40), flanqué de répétitions terminales inversées (ITR) du virus adéno-associé de sérotype 2 (AAV2).

*thérapie génique (gangliosidose à GM2)*

engabexagén cincesparvovec

vector de virus adenoasociado recombinante de serotipo 9 (rAAV9) no replicativo que codifica para las subunidades  $\beta$  y  $\alpha$  de la  $\beta$ -hexosaminidasa humana, con codones optimizados, unidas por un péptido conector 2A del teschovirus porcino, bajo el control de un promotor sintético (potenciador de citomegalovirus (CMV), promotor de la  $\beta$ -actina de pollo y un intrón de la  $\beta$ -actina) y terminado con la señal de poliadenilación (polyA) del virus simio 40 (SV40), flanqueado por las repeticiones terminales invertidas (ITRs) del virus adenoasociado de serotipo 2 (AAV2).

*terapia génica (gangliosidosis GM2)*

2567881-77-8

**enitociclibum**

enitociclib

(S)-[(2-[[[5-fluoro-4-(4-fluoro-2-methoxyphenyl)pyridin-2-yl]amino]pyridin-4-yl)méthyl](imino)(méthyl)-λ<sup>6</sup>-sulfanone  
*cyclin-dependent kinase inhibitor, antineoplastic*

énitociclib

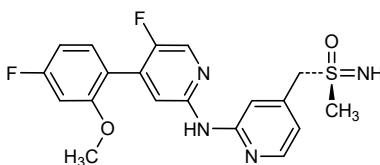
(S)-[(2-[[[5-fluoro-4-(4-fluoro-2-méthoxyphényl)pyridin-2-yl]amino]pyridin-4-yl)méthyl](imino)(méthyl)-λ<sup>6</sup>-sulfanone  
*inhibiteur des kinases dépendantes des cyclines, antinéoplasique*

enitociclib

(S)-[(2-[[[5-fluoro-4-(4-fluoro-2-metoxifenil)piridin-2-il]amino]piridin-4-il]metil](imino)(metil)-λ<sup>6</sup>-sulfanona  
*inhibidor de las kinasas dependientes de las ciclinas, antineoplásico*

C<sub>19</sub>H<sub>18</sub>F<sub>2</sub>N<sub>4</sub>O<sub>2</sub>S

1610408-97-3

**envonalkibum**

envonalkib

5-[(1R)-1-(2,6-dichloro-3-fluorophényl)éthoxy]-4'-méthoxy-6'-[(2S)-2-méthylpipérazin-1-yl][3,3'-bipyridin]-6-amine  
*tyrosine kinase inhibitor, antineoplastic*

envonalkib

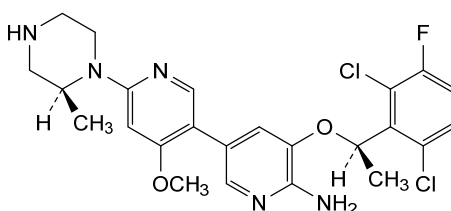
5-[(1R)-1-(2,6-dichloro-3-fluorophényl)éthoxy]-4'-méthoxy-6'-[(2S)-2-méthylpipérazin-1-yl][3,3'-bipyridin]-6-amine  
*inhibiteur de la tyrosine kinase, antinéoplasique*

envonalkib

5-[(1R)-1-(2,6-dicloro-3-fluorofenil)etoxi]-6'-[(2S)-2-metilpipérazin-1-il]-4'-metoxi[3,3'-bipiridin]-6-amina  
*inhibidor de la tirosina kinasa, antineoplásico*

C<sub>24</sub>H<sub>26</sub>Cl<sub>2</sub>FN<sub>5</sub>O<sub>2</sub>

1621519-26-3

**esmethadonum**

esmethadone

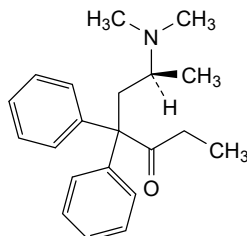
(6S)-6-(diméthylamino)-4,4-diphénylheptan-3-one  
*antidépresseur*

esméthadone (6*S*)-6-(diméthylamino)-4,4-diphénylheptan-3-one  
*antidépresseur*

esmetadona (6*S*)-6-(dimetilamino)-4,4-difenilheptan-3-ona  
*antidepressivo*

C<sub>21</sub>H<sub>27</sub>NO

5653-80-5



**evencaleucelum**  
evencaleucel

autologous lymphocytes enriched in activated natural killer cells (NK), derived from peripheral blood mononuclear cells (PBMCs). The cells are cultured in medium supplemented with human serum and interleukin 2 (IL-2), and activated by addition of the anti-CD3 antibody *muromonab-CD3*. At least 10% of the cells are NK cells (CD3-CD56+), but the substance also contains T cells (CD3+CD56-) and NK-like T cells (CD3+CD56+). At least 30% of the NK cells show cytotoxic activity and respond in a functional test against the leukemia cell line K562 with surface expression of lysosomal-associated membrane protein 1 (LAMP-1, CD107a).  
*cell therapy (antineoplastic)*

évencaleucel

lymphocytes autologues enrichis en cellules tueuses naturelles (NK) activées, dérivés de cellules mononucléaires de sang périphérique (PBMNC). Les cellules sont cultivées dans un milieu complété de sérum humain et d'interleukine 2 (IL-2), et activées par l'ajout d'anticorps anti-CD3 *muromonab-CD3*. Au moins 10% des cellules sont des lymphocytes NK (CD3-CD56+), mais la substance contient également des lymphocytes T (CD3+CD56-) et des lymphocytes T de type NK (CD3+CD56+). Au moins 30% des lymphocytes NK présentent une activité cytotoxique et répondent, dans un test fonctionnel, contre la lignée cellulaire leucémique K562 avec une expression de surface de protéines de membrane associées aux lysosomes 1 (LAMP-1, CD107a).  
*thérapie cellulaire (antinéoplasique)*

evencaleucel

linfocitos autólogos enriquecidos en células natural killer (NK) activadas, derivados de células mononucleares de sangre periférica (PBMCs). Las células se cultivan en medio suplementado con suero humano e interleukina 2 (IL-2), y se activan añadiendo el anticuerpo anti-CD3 *muromonab-CD3*. Al menos el 10% de las células son linfocitos NK (CD3-CD56+), pero la substancia también contiene linfocitos T (CD3+CD56-) y linfocitos T similares a NK (CD3+CD56+). Al menos el 30% de las linfocitos NK muestran actividad citotóxica y responden en un test funcional contra la línea celular leucémica K562 con la expresión en la superficie de la proteína de membrana asociada al lisosoma 1 (LAMP-1, CD107a).  
*terapia celular (antineoplásico)*

**evorpaceptum #**

## evorpacept

human signal-regulatory protein alpha (Sirp- $\alpha$ , tyrosine-protein phosphatase non-receptor type substrate 1, inhibitory receptor SHPS-1) N-terminal fragment (1-119) variant (V>I<sup>6</sup>, A>I<sup>27</sup>, I>F<sup>31</sup>, K>R<sup>53</sup>, H>P<sup>56</sup>, L>T<sup>66</sup>, N>A<sup>80</sup>) fused to a human immunoglobulin G1 C-terminal Fc fragment (120-345) (L>A<sup>133</sup>, L>A<sup>134</sup>, G>A<sup>136</sup>, N>A<sup>196</sup>, C-terminal K<sup>346</sup> deleted), covalent disulfide bridged dimer, produced in Chinese hamster ovary (CHO) cells, glycoform alfa;

human signal-regulatory protein alpha (SIRP $\alpha$ , tyrosine-protein phosphatase non-receptor type substrate 1, inhibitory receptor SHPS-1) [V<sup>6</sup>>I, A<sup>27</sup>>I, I<sup>31</sup>>F, K<sup>53</sup>>R, H<sup>56</sup>>P, L<sup>66</sup>>T, N<sup>80</sup>>A]-mutant, N-terminal (1-119)-fragment [binding domain for CD47 (inhibitor of phagocytosis by macrophages)], fused to a human immunoglobulin G1 C-terminal Fc fragment (CH2-CH3-CHS domains) [*Homo sapiens* IGHG1\*03 (hinge (120-129, N-terminal hinge residues EPKSC deleted), CH2 L<sup>133</sup>>A, L<sup>134</sup>>A, G<sup>136</sup>>A, N<sup>196</sup>>A (130-239), CH3 (240-344), CHS K<sup>346</sup>>del (345))] (120-345), dimer (125-125':128-128')-bisdisulfide, produced in Chinese hamster ovary (CHO) cells, glycoform alfa

*immunomodulator, antineoplastic*

## évorpacept

fragment N-terminal (1-119) de la protéine humaine de régulation du signal alpha (Sirp- $\alpha$ , substrat 1 de la tyrosine-protéine-phosphatase de type non-récepteur, récepteur inhibiteur SHPS-1) variant (V>I<sup>6</sup>, A>I<sup>27</sup>, I>F<sup>31</sup>, K>R<sup>53</sup>, H>P<sup>56</sup>, L>T<sup>66</sup>, N>A<sup>80</sup>) fusionné à un fragment Fc C-terminal de l'immunoglobuline G1 humaine (120-345) (L>A<sup>133</sup>, L>A<sup>134</sup>, G>A<sup>136</sup>, N>A<sup>196</sup>, C-terminal K<sup>346</sup> supprimé), dimère covalent à pont disulfure, produit dans des cellules ovariennes de hamster chinois (CHO), glycoforme alfa;

protéine humaine de régulation de signal alpha (SIRP $\alpha$ , substrat 1 de type non-récepteur de la tyrosine-protéine phosphatase, récepteur inhibiteur SHPS-1), [V<sup>6</sup>>I, A<sup>27</sup>>I, I<sup>31</sup>>F, K<sup>53</sup>>R, H<sup>56</sup>>P, L<sup>66</sup>>T, N<sup>80</sup>>A]-mutant, fragment N-terminal (1-119) [domaine se liant au CD47 (inhibiteur de la phagocytose par les macrophages)], fusionnée au fragment Fc C-terminal de l'immunoglobuline G1 (domaines CH2-CH3-CHS) [*Homo sapiens* IGHG1\*03 (charnière (120-129, sans les résidus N-terminaux EPKSC), CH2 L<sup>133</sup>>A, L<sup>134</sup>>A, G<sup>136</sup>>A, N<sup>196</sup>>A (130-239), CH3 (240-344), CHS K<sup>346</sup>>del (345))] (120-345), dimère (125-125':128-128')-bisdisulfure, produit dans des cellules ovariennes de hamster chinois (CHO), glycoforme alfa

*immunomodulateur, antinéoplasique*

## evorpacept

proteína reguladora de señal alfa humana (Sirp- $\alpha$ , sustrato 1 de tipo no-receptor de la tirosina-proteína fosfatasa, receptor inhibidor SHPS-1) fragmento terminal N (1-119) variante (V>I<sup>6</sup>, A>I<sup>27</sup>, I>F<sup>31</sup>, K>R<sup>53</sup>, H>P<sup>56</sup>, L>T<sup>66</sup>, N>A<sup>80</sup>) fusionada con el fragmento Fc del terminal C de la inmunoglobulina humana G1 (120-345) (L>A<sup>133</sup>, L>A<sup>134</sup>, G>A<sup>136</sup>, N>A<sup>196</sup>, terminal C K<sup>346</sup> eliminado), dímero covalente acortado disulfuro, producido en células ováricas de hámster chino (CHO), glicofoma alfa;

proteína reguladora de señal alfa, humana (SIRP $\alpha$ , sustrato 1 de tipo no-receptor de la tirosina-proteína fosfatasa, receptor inhibidor SHPS-1), [V<sup>6</sup>>I, A<sup>27</sup>>I, I<sup>31</sup>>F, K<sup>53</sup>>R, H<sup>56</sup>>P, L<sup>66</sup>>T, N<sup>80</sup>>A]-mutante, fragmento N-terminal (1-119) [dominio unido al CD47 (inhibidor de la fagocitosis por los macrófagos)], fusionada con el fragmento Fc C-terminal de la inmunoglobulina G1 (dominios CH2-CH3-CHS) [*Homo sapiens* IGHG1\*03 (bisagra (120-129, sin residuos N-terminales EPKSC), CH2 L<sup>133</sup>>A, L<sup>134</sup>>A, G<sup>136</sup>>A, N<sup>196</sup>>A (130-239), CH3 (240-344), CHS K<sup>346</sup>>del (345))] (120-345), dímero (125-125':128-128')-bisdisulfuro, producido en las células ováricas de hámster chino (CHO), glicofoma alfa

*immunomodulador, antineoplásico*



2484949-51-9

Sequence / Séquence / Secuencia  
 EEELQIIQPD KSVLVAAGET ATLRCRTI~~T~~SL ~~F~~PVPGIQWFR GAGPGRELIY 50  
 NQR~~E~~G~~P~~FRV TTVSD~~T~~TKRN NMFDSIRIG~~A~~ TTPADAGTYY CVKFRKGS~~P~~D 100  
 DVEFKSGAGT ELSVRAKPSD KTHTCPPCPA ~~PEAA~~G~~A~~PSVF LFFPKPKDTL 150  
 MISRTPEVTC VVVDVSHEDP EVKFNWYVDG VEVHNAKTKF RBEQ~~V~~A~~S~~TYR 200  
 VVSVLTVLHQ DWLNGKEYKC KVSNKALPAP I~~E~~KTISKAKG ~~Q~~PREFQVYTL 250  
 PFSREEMTKN QVSLTCLVKG FYPFDIAVEW ESN~~G~~QFENNY K~~T~~TPFVLDSD 300  
 GSFFLYSKLT VDKSRWQGN VFSCSVMHEA L~~N~~H~~Y~~TQKSL SLSPG 345

Mutation / Mutation / Mutación  
 V6, 6' > **I**, A27, 27' > **I**, I31, 31' > **E**, K53, 53' > **R**, H56, 56' > **E**,  
 L66, 66' > **T**, N80, 80' > **A**; L133, 133' > **A**, L134, 134' > **A**, G136, 136' > **A**,  
 N196, 196' > **A**, R346, 346' > del

**Post-translational modifications**

Disulfide bridges location / Position des ponts disulfure / Posiciones de los puentes disulfuro

Intra-chain 25-91 160-220 266-324  
 25-91' 160'-220' 266'-324'

Inter-chain 125-125' 128-128'

N-glycosylation sites / Sites de N-glycosylation / Posiciones de N-glicosilación  
 none / aucun / ninguna (N196,196'-A)

O-glycosylation sites / Sites de O-glycosylation / Posiciones de O-glicosilación  
 S119, S119' (GalNAc, HexNAc-Hex-NeuAc)

**fasedienolum**

fasedienol

androsta-4,16-dien-3β-ol  
*anxiolytic*

fasédiénol

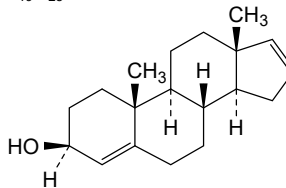
androsta-4,16-dién-3β-ol  
*anxiolytique*

fasedienol

androsta-4,16-dien-3β-ol  
*ansiolítico*

C<sub>19</sub>H<sub>28</sub>O

23062-06-8

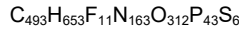


**fazirsiranum**

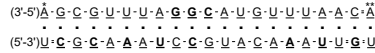
fazirsiran

*all-P-ambo-O-[(2R,3S)-2-(hydroxymethyl)oxolan-3-yl]hydrogen 5'-O-{{{(2R,3S)-3-{{{(cis-4-{{(3S,8S)-17-[[2-acetamido-2-deoxy-β-D-galactopyranosyl]oxy]-3,8-bis[[2-{2-[[2-acetamido-2-deoxy-β-D-galactopyranosyl]oxy]ethoxy]ethyl]carbamoyle]-6,11-dioxo-15-oxa-2,7,12-triazaheptadecan-1-oyl}cyclohexyl)oxy]hydroxyphosphorothioyl}oxy)oxolan-2-yl]methoxy}hydroxyphosphorothioyl)-2'-O-methyladenyl-yl-(3'→5')-2'-O-methylguanylyl-(3'→5')-2'-O-methylcytidyl-yl-(3'→5')-2'-O-methylguanylyl-(3'→5')-2'-O-methyluridylyl-(3'→5')-2'-O-methyluridylyl-(3'→5')-2'-O-methyladenyl-yl-(3'→5')-2'-deoxy-2'-fluoroguanlyl-yl-(3'→5')-2'-deoxy-2'-fluoroguanlyl-yl-(3'→5')-2'-deoxy-2'-fluorocytidylyl-yl-(3'→5')-2'-O-methyladenyl-yl-(3'→5')-2'-O-methyluridylyl-(3'→5')-2'-O-methylguanylyl-(3'→5')-2'-O-methyluridylyl-(3'→5')-2'-O-methyluridylyl-(3'→5')-2'-O-methyluridylyl-(3'→5')-2'-O-methyladenyl-yl-(3'→5')-2'-O-methyladenyl-yl-(3'→5')-2'-O-methyladenyl-yl-(3'→5')-2'-O-methylcytidyl-yl-(3'→5')-2'-O-methyl-*P*-thio-3'-adenylate,*

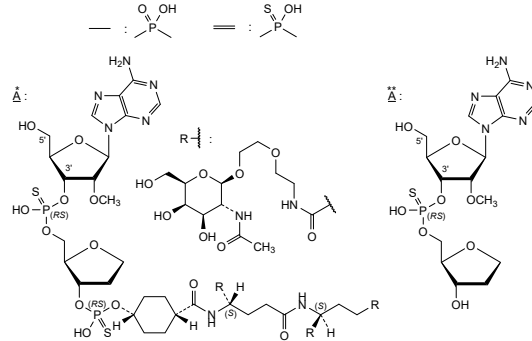




2175009-08-0



N : nucleoside / nucléoside / nucleósido  
 $\overset{\Delta}{\text{N}}$  : 2'-deoxy-2'-fluoro-N / 2'-désoxy-2'-fluoro-N / 2'-desoxy-2'-fluoro-N  
 $\overset{\Delta}{\text{N}}$  : 2'-O-methyl-N / 2'-O-méthyl-N / 2'-O-metil-N



**fazpilodemabum #**  
 fazpilodemab

immunoglobulin G1-kappa, anti-[*Homo sapiens* KLB (klotho beta, b-Klotho)] and anti-[*Homo sapiens* FGFR1 (fibroblast growth factor receptor 1, FLT2, KAL2)], monoclonal antibody, bispecific;  
 gamma1 heavy chain anti-KLB (1-450) [VH (*Homo sapiens* IGHV3-66\*01 (77.3%) -(IGHD)-IGHJ4\*01 (100%), CDR-IMGT [8.8.14] (26-33.51-58.96-109)) (1-120) -*Homo sapiens* IGHG1\*03v, G1m3>G1m17, nG1m1, G1v30 CH2 N84.4>G, G1v33 CH3 S22, A24, V86 (CH1 R120>K (217) (121-218), hinge 1-15 (219-233), CH2 N84.4>G (300) (234-343), CH3 E12 (359), M14 (361), T22>S (369), L24>A (371), Y86>V (410) (344-448), CHS (449-450)) (121-450)], (223-218')-disulfide with kappa light chain anti-KLB (1'-218') [V-KAPPA Musmus/Homsap (*Mus musculus* IGKV3-5\*01 (81.8%) -IGKJ1\*01 (83.3%) G120>Q (104), L124>V (108)]/*Homo sapiens* IGKV4-1\*01 (79.2%) -IGKJ1\*01 (100%), CDR-IMGT [10.3.9] (27-36.54-56.93-101)) (1'-111') -*Homo sapiens* IGKC\*01 (100%), Km3 A45.1 (157), V101 (195) (112'-218')];  
 gamma1 heavy chain anti-FGFR1 (1"-446") [VH (*Homo sapiens* IGHV3-66\*01 (86.6%) -(IGHD)-IGHJ4\*01 (100%), CDR-IMGT [8.8.9] (26-33.51-58.97-105)) (1"-116") -*Homo sapiens* IGHG1\*03v, G1m3>G1m17, nG1m1, G1v30 CH2 N84.4>G, G1v32 CH3 W22 (CH1 R120>K (213) (117"-214"), hinge 1-15 (215"-229"), CH2 N84.4>G (296) (230"-339"), CH3 E12 (355), M14 (357), T22>W (365) (340"-444"), CHS (445"-446")) (117"-446")], (219"-214'")-disulfide with kappa light chain anti-FGFR1 (1'"-214'") [V-KAPPA (*Homo sapiens* IGKV1-39\*01 (89.5%) -IGKJ1\*01 (100%), CDR-IMGT [6.3.9] (27-32.50-52.89-97)) (1'"-107'") -*Homo sapiens* IGKC\*01 (100%), Km3 A45.1 (153), V101 (191) (108'"-214'")]; dimer (229-225'':232-228'')-bisdisulfide, produced in Chinese hamster ovary (CHO) cells, cell line CHO-K1, non-glycosylated  
*hypoglycaemic*

- fazpilodémab immunoglobuline G1-kappa, anti-[*Homo sapiens* KLB (klotho bêta, b-Klotho)] et anti-[*Homo sapiens* FGFR1 (récepteur 1 du facteur de croissance des fibroblastes, FLT2, KAL2)], anticorps monoclonal, bispécifique;  
chaîne lourde gamma1 anti-KLB (1-450) [VH (*Homo sapiens* IGHV3-66\*01 (77.3%) -(IGHD) -IGHJ4\*01 (100%), CDR-IMGT [8.8.14] (26-33.51-58.96-109)) (1-120) -*Homo sapiens* IGHG1\*03v, G1m3>G1m17, nG1m1, G1v30 CH2 N84.4>G, G1v33 CH3 S22, A24, V86 (CH1 R120>K (217) (121-218), charnière 1-15 (219-233), CH2 N84.4>G (300) (234-343), CH3 E12 (359), M14 (361), T22>S (369), L24>A (371), Y86>V (410) (344-448), CHS (449-450)) (121-450)], (223-218')-disulfure avec la chaîne légère kappa anti-KLB (1'-218') [V-KAPPA Musmus/Homsap (*Mus musculus* IGKV3-5\*01 (81.8%) -IGKJ1\*01 (83.3%) G120>Q (104), L124>V (108)/*Homo sapiens* IGKV4-1\*01 (79.2%) -IGKJ1\*01 (100%), CDR-IMGT [10.3.9] (27-36.54-56.93-101)) (1'-111') -*Homo sapiens* IGKC\*01 (100%), Km3 A45.1 (157), V101 (195) (112'-218')]; chaîne lourde gamma1 anti-FGFR1 (1"-446") [VH (*Homo sapiens* IGHV3-66\*01 (86.6%) -(IGHD) -IGHJ4\*01 (100%), CDR-IMGT [8.8.9] (26-33.51-58.97-105)) (1"-116") -*Homo sapiens* IGHG1\*03v, G1m3>G1m17, nG1m1, G1v30 CH2 N84.4>G, G1v32 CH3 W22 (CH1 R120>K (213) (117"-214"), charnière 1-15 (215"-229"), CH2 N84.4>G (296) (230"-339"), CH3 E12 (355), M14 (357), T22>W (365) (340"-444"), CHS (445"-446")) (117"-446"), (219"-214'")-disulfure avec la chaîne légère kappa anti-FGFR1 (1'"-214'") [V-KAPPA (*Homo sapiens* IGKV1-39\*01 (89.5%) -IGKJ1\*01 (100%), CDR-IMGT [6.3.9] (27-32.50-52.89-97)) (1'"-107'") -*Homo sapiens* IGKC\*01 (100%), Km3 A45.1 (153), V101 (191) (108'"-214'"); dimère (229-225":232-228'")-bisdisulfure, produit dans des cellules ovariennes de hamster chinois (CHO), lignée cellulaire CHO-K1, non-glycosylé  
*hypoglycémiant*
- fazpilodemab immunoglobulina G1-kappa, anti-[*Homo sapiens* KLB (klotho beta, b-Klotho)] y anti-[*Homo sapiens* FGFR1 (receptor 1 del factor de crecimiento de los fibroblastos, FLT2, KAL2)], anticuerpo monoclonal, biespecifico;  
cadena pesada gamma1 anti-KLB (1-450) [VH (*Homo sapiens* IGHV3-66\*01 (77.3%) -(IGHD) -IGHJ4\*01 (100%), CDR-IMGT [8.8.14] (26-33.51-58.96-109)) (1-120) -*Homo sapiens* IGHG1\*03v, G1m3>G1m17, nG1m1, G1v30 CH2 N84.4>G, G1v33 CH3 S22, A24, V86 (CH1 R120>K (217) (121-218), bisagra 1-15 (219-233), CH2 N84.4>G (300) (234-343), CH3 E12 (359), M14 (361), T22>S (369), L24>A (371), Y86>V (410) (344-448), CHS (449-450)) (121-450)], (223-218')-disulfuro con la cadena ligera kappa anti-KLB (1'-218') [V-KAPPA Musmus/Homsap (*Mus musculus* IGKV3-5\*01 (81.8%) -IGKJ1\*01 (83.3%) G120>Q (104), L124>V (108)/*Homo sapiens* IGKV4-1\*01 (79.2%) -IGKJ1\*01 (100%), CDR-IMGT [10.3.9] (27-36.54-56.93-101)) (1'-111') -*Homo sapiens* IGKC\*01 (100%), Km3 A45.1 (157), V101 (195) (112'-218')]; cadena pesada gamma1 anti-FGFR1 (1"-446") [VH (*Homo sapiens* IGHV3-66\*01 (86.6%) -(IGHD) -IGHJ4\*01 (100%), CDR-IMGT [8.8.9] (26-33.51-58.97-105)) (1"-116") -*Homo sapiens* IGHG1\*03v, G1m3>G1m17, nG1m1, G1v30 CH2 N84.4>G, G1v32 CH3 W22 (CH1 R120>K (213) (117"-214"), bisagra 1-15 (215"-229"), CH2 N84.4>G (296) (230"-339"), CH3 E12 (355), M14 (357), T22>W (365) (340"-444"), CHS (445"-446")) (117"-446"), (219"-214'")-disulfuro con la cadena ligera kappa anti-FGFR1 (1'"-214'") [V-KAPPA (*Homo sapiens* IGKV1-39\*01 (89.5%) -IGKJ1\*01 (100%), CDR-IMGT [6.3.9] (27-32.50-52.89-97)) (1'"-107'") -*Homo sapiens* IGKC\*01 (100%), Km3 A45.1 (153), V101 (191) (108'"-214'"); dimère (229-225":232-228'")-bisdisulfuro, producido en las células ováricas de hámster chino (CHO), línea celular CHO-K1, no glicosilado  
*hipoglucemiante*

2517935-02-1

Heavy chain / Chaîne lourde / Cadena pesada (anti-KLB)

EVQLVESGGG LVQPGGSLRL SCAASDFSLT TYGVHWVRQA PGKGLEWLVG 50  
 IWSGGSDTYN AAFISRLTIS KDNSKNTVYL QMNSLRAEDT AVYYCARDYG 100  
 STYDAIDYDYG GQGLTVTVSS ASTKGPSVFP LAPSSKSTSG GTAALGCLVK 150  
 DYFPEPVTVS WNSGALTSKV HTFPAVLQSS GLYSLSVSTV VPSSSLGTQT 200  
 YICNVNHPKS NTKVDKKEVEP KSCDKHTCP PCPAPELLGG PSVFLFPPKP 250  
 KDTLMISRTF EIVTCVVVDVH HEDFEVFNW YVDGVEVHNA KTKPREEQIG 300  
 STYRVVSVLT VLNQDNLNGK EYKCKVSNKA LPAPIERTIS KAKGQPREPQ 350  
 VYTLPPSREE MTKNQVSLSC AVKGFYPSDI AVEVESNGQP ENNYKTPPV 400  
 LLDSDGSFFLV SKLTVDKSRW QQGNVFSQSV MHEALNHYT QKSLSLSPGK 450

Heavy chain / Chaîne lourde / Cadena pesada (anti-FGR1)

EVQLVESGGG LVQPGGSLRL SCAASGFTFT SNYISWVRQA PGKGLEWVGE 50  
 IDPYDGDITY ADSDVGRFTI SADTSKNTAY LQMNSLRAEDT TAVYYCATGT 100  
 DVMVDYWGQGT LVTVSSASTK GPSVFPLAPS SKSTSGGTAA LGCLVKDYFP 150  
 EPVTVSWNSG ALTSVGVTFP AVLQSSGLYS LSSVTVVPSL SLGQTYICN 200  
 VNHKPSNTKV DKKVEPKSCD KHTCCPCPA PELLGGPSVF LFPPPKDITL 250  
 MISRTPEVTC VVVDSHEDP EVKFNWYVDG VEVHNAKTFP REEQYGSTYR 300  
 VVSVLTVLHQ DNLNGKEYKC KVSNAKLPAP IEKTIKAKG QPREPQVYTL 350  
 PPSREEMTKN QVSLWCLVKG FYPSTIAVEW ESNQGPNENY KTTTPVLDSD 400  
 GSFFLYSKLT VDKSRWQQGN VFSQSVMHEA LNHNYTKQLS SLSPGK 446

Light chain / Chaîne légère / Cadena ligera (anti-KLB)

DIVLTQSPDS LAVSLGERAT INCREASESVE SYGNRYMTWY QQKPGQPPKL 50  
 LIYRAANLQS GVPDRFSGSG SGTDFTLTIS SLQAEDVAVY YCQQSNEDPW 100  
 TFGQGTKEVI KRTVAAPSVF IFPPSDEQLK SGTASVCLL NNFYPREAKV 150  
 QWKVDNALQS GNSQESVTEQ DSKDSTYSLT STLTLKADY EKHKVYACEV 200  
 THQGLSSFTV KSFNRGEC 218

Light chain / Chaîne légère / Cadena ligera (anti-FGR1)

DIQMTQSPSS LSASVGRDVT ITCRASQDVS TAVAWYQQKPK GKAPKLLIYS 50  
 ASFLYSGVPS RFSGSGSGTD FTLTISLQPE EDFATYYCQQ SYTTPPTFGQ 100  
 GTKVEIKRTV AAPSVFIFPP SDEQLKSGTA SVVCLLNNEY PREAKVQWVK 150  
 DNALQSGNSQ ESVTEQDSKD STYLSLSTLT LSKADYEKHK VYACEVTHQG 200  
 LSSPFTKSFN RGEK 214

Post-translational modifications

Disulfide bridges location / Position des ponts disulfure / Posiciones de los puentes disulfuro

Intra-H (C23-C104) 22-95 147-203 264-324 370-428  
 22"-96" 143"-199" 260"-320" 366"-424"

Intra-L (C23-C104) 23"-92" 138"-198"  
 23"-88" 134"-194"

Inter-H-L (h 5-CL 126) 223-218" 219"-214"

Inter-H-H (h 11, h 14) 229-225" 232-228"

N-glycosylation sites / Sites de N-glycosylation / Posiciones de N-glicosilación

H CH2 N84.4-G (G130): 300, 296"

Aglycosylated / aglycosylé / aglicosilado

C-terminal lysine clipping / Coupeure de la lysine C-terminale / Recorte de lisina C-terminal

H CHS K2: 450, 446"

**feniralstatum**

feniralstat

*N*-[3-(3-fluoro-4-methoxypyridin-2-yl)methyl]-1-({4-[(5-fluoro-2-oxopyridin-1(2*H*)-yl)methyl]phenyl)methyl}-3-(methoxymethyl)-1*H*-pyrazole-4-carboxamide  
*kallikrein inhibitor*

féniralstat

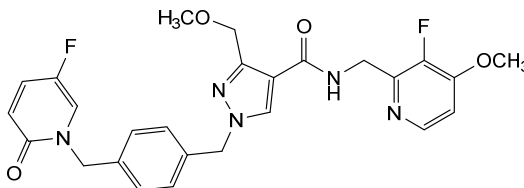
*N*-[3-(3-fluoro-4-méthoxypyridin-2-yl)méthyl]-1-({4-[(5-fluoro-2-oxopyridin-1(2*H*)-yl)méthyl]phényl)méthyl}-3-(méthoxyméthyl)-1*H*-pyrazole-4-carboxamide  
*inhibiteur de la kallibréine*

feniralstat

*N*-[3-(3-fluoro-4-metoxipiridin-2-il)metil]-1-({4-[(5-fluoro-2-oxopiridin-1(2*H*)-il)metil]fenil}metil)-3-(metoximetil)-1*H*-pirazol-4-carboxamida  
*inhibidor de la calicreína*

C<sub>26</sub>H<sub>25</sub>F<sub>2</sub>N<sub>5</sub>O<sub>4</sub>

2166320-76-7



**fidrisertibum**

fidrisertib

(3*R*)-oxolan-3-yl 4-(6-{5-[4-ethoxy-1-(propan-2-yl)piperidin-4-yl]pyridin-2-yl}pyrrolo[1,2-*b*]pyridazin-4-yl)piperazine-1-carboxylate  
*serine/ threonine kinase inhibitor*

fidrisertib

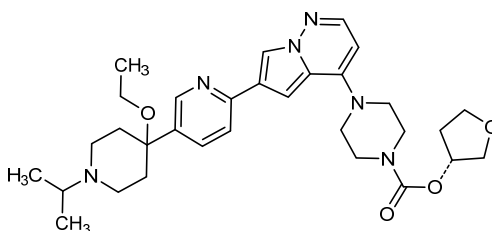
4-(6-{5-[4-éthoxy-1-(propan-2-yl)pipéridin-4-yl]pyridin-2-yl}pyrrolo[1,2-*b*]pyridazin-4-yl)pipérazine-1-carboxylate de (3*R*)-oxolan-3-yle  
*inhibiteur de sérine/ thréonine kinase*

fidrisertib

4-(6-{5-[4-etoxi-1-(propan-2-il)piperidin-4-il]piridin-2-il}pirrolo[1,2-*b*]piridazin-4-il)piperazina-1-carboxilato de (3*R*)-oxolan-3-ilo  
*inhibidor de serina/ treonina kinasa*

C<sub>31</sub>H<sub>42</sub>N<sub>6</sub>O<sub>4</sub>

2141955-96-4

**fipaxalparantum**

fipaxalparant

2-{4-methoxy-3-[2-(3-methylphenyl)ethoxy]benzamido}-2,3-dihydro-1*H*-indene-2-carboxylic acid  
*lysophosphatidic acid receptor 1 (LPA1) antagonist*

fipaxalparant

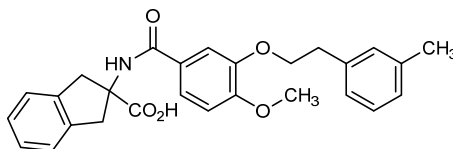
acide 2-{4-méthoxy-3-[2-(3-méthylphényl)éthoxy]benzamido}-2,3-dihydro-1*H*-indène-2-carboxylique  
*antagoniste des récepteurs de l'acide lysophosphatidique 1 (LPA1)*

fipaxalparant

ácido 2-{3-[2-(3-metilfenil)etoxi]-4-metoxibenzamido}-2,3-dihidro-1*H*-indeno-2-carboxílico  
*antagonista de los receptores 1 del ácido lisofosfatídico (LPA1)*

C<sub>27</sub>H<sub>27</sub>NO<sub>5</sub>

1195941-38-8



**fipraviratum**  
fipravirimat

(1*R*)-4-[17-[[2-(1,1-dioxo-1λ<sup>6</sup>-thiomorpholin-4-yl)éthyl]amino]-28-norlupa-2,20(29)-dién-3-yl]-1-(fluorométhyl)cyclohex-3-ène-1-carboxylique  
*antiviral*

fipravirimat

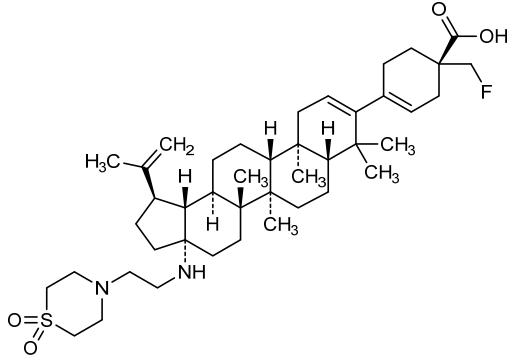
acide (1*R*)-4-[17-[[2-(1,1-dioxo-1λ<sup>6</sup>-thiomorpholin-4-yl)éthyl]amino]-28-norlupa-2,20(29)-dién-3-yl]-1-(fluorométhyl)cyclohex-3-ène-1-carboxylique  
*antiviral*

fipravirimat

ácido (1*R*)-4-[17-[[2-(1,1-dioxo-1λ<sup>6</sup>-tiomorfolin-4-il)etil]amino]-28-norlupa-2,20(29)-dién-3-il]-1-(fluorometil)ciclohex-3-eno-1-carboxílico  
*antiviral*

C<sub>43</sub>H<sub>67</sub>FN<sub>2</sub>O<sub>4</sub>S

1818867-24-1

**fiztasovimabum #**  
fiztasovimab

immunoglobulin G1-lambda2, anti-[human betaherpesvirus 5 (HHV-5, human cytomegalovirus, HCMV) envelope glycoprotein B (gB) domain 1 (AD-1)], *Homo sapiens* monoclonal antibody; gamma1 heavy chain *Homo sapiens* (1-454) [VH (*Homo sapiens* IGHV4-34\*01 (93.8%) -(IGHD) - IGHJ6\*04 (93.8%), CDR-IMGT [8.7.18] (26-33.51-57.96-113)) (1-124) -*Homo sapiens* IGHG1\*07p (100%), G1m17,1,2 (CH1 K120 (221) (125-222), hinge 1-15 (223-237), CH2 (238-347), CH3 D12 (363), L14 (365), G110 (438) (348-452), CHS (453-454)) (125-454)], (227-215')-disulfide with lambda2 light chain *Homo sapiens* (1'-216') [V-LAMBDA (*Homo sapiens* IGLV1-47\*01 (93.9%) -IGLJ1\*01 (100%), CDR-IMGT [8.3.11] (26-33.51-53.90-100)) (1'-110') -*Homo sapiens* IGLC2\*01 (100%) (111'-216')]; dimer (233-233'':236-236'')-bisdisulfide, produced in Chinese hamster ovary (CHO) cells, cell line CHO-K1SV, glycoform alfa  
*antiviral*

fiztasovimab

immunoglobuline G1-lambda2, anti-[domaine 1 (AD-1) de la glycoprotéine d'enveloppe B (gB) du bêtaherpèsvirus humain 5 (HHV-5, cytomégalovirus humain, HCMV)], anticorps monoclonal *Homo sapiens*;

chaîne lourde gamma1 *Homo sapiens* (1-454) [VH (*Homo sapiens* IGHV4-34\*01 (93.8%) -(IGHD) -IGHJ6\*04 (93.8%), CDR-IMGT [8.7.18] (26-33.51-57.96-113)) (1-124) -*Homo sapiens* IGHG1\*07p (100%), G1m17,1,2 (CH1 K120 (221) (125-222), charnière 1-15 (223-237), CH2 (238-347), CH3 D12 (363), L14 (365), G110 (438) (348-452), CHS (453-454)) (125-454)], (227-215')-disulfure avec la chaîne légère lambda2 *Homo sapiens* (1'-216') [V-LAMBDA (*Homo sapiens* IGLV1-47\*01 (93.9%) -IGLJ1\*01 (100%), CDR-IMGT [8.3.11] (26-33.51-53.90-100)) (1'-110') -*Homo sapiens* IGLC2\*01 (100%) (111'-216')]; dimère (233-233":236-236")-bisdisulfure, produit dans des cellules ovariennes de hamster chinois (CHO), lignée cellulaire CHO-K1SV, glycoforme alfa  
**antiviral**

fiztasovimab

immunoglobulina G1-lambda2, anti-[dominio 1 (AD-1) de la glicoproteína de cubierta B (gB) del betaherpesvirus humano 5 (HHV-5, citomegalovirus humano, HCMV)], anticuerpo monoclonal *Homo sapiens*;  
cadena pesada gamma1 *Homo sapiens* (1-454) [VH (*Homo sapiens* IGHV4-34\*01 (93.8%) -(IGHD) -IGHJ6\*04 (93.8%), CDR-IMGT [8.7.18] (26-33.51-57.96-113)) (1-124) -*Homo sapiens* IGHG1\*07p (100%), G1m17,1,2 (CH1 K120 (221) (125-222), bisagra 1-15 (223-237), CH2 (238-347), CH3 D12 (363), L14 (365), G110 (438) (348-452), CHS (453-454)) (125-454)], (227-215')-disulfuro con la cadena ligera lambda2 *Homo sapiens* (1'-216') [V-LAMBDA (*Homo sapiens* IGLV1-47\*01 (93.9%) -IGLJ1\*01 (100%), CDR-IMGT [8.3.11] (26-33.51-53.90-100)) (1'-110') -*Homo sapiens* IGLC2\*01 (100%) (111'-216')]; dímero (233-233":236-236")-bisdisulfuro, producido en las células ováricas de hámster chino (CHO), línea celular CHO-K1SV, forma glicosilada alfa  
**antiviral**

2467411-25-0

## Heavy chain / Chaîne lourde / Cadena pesada

QVQLQQWAG LLKPSSETLSL TCAVYGGSF S GYYWGIRQP PGKLEWIGE 50  
 INHSGSANS PSLKSRVTMS VDTSKNQFSL KVSVTAADT AVYFCARVTR 100  
 DLEWIGDYD MDVWGKGTTV TVSSASTKGP SVFPLAPSSK STSGGTAALG 150  
 CLVKDYFPEP VTVSWNSGAL TSGVHTFPAV LQSSGLYSLS SVTVVPSSSL 200  
 GTQTYICNVN HKPSNTKVDK KVEPKSCDKT HTCPCCPAPE LLGGPVSFLF 250  
 PPKPDTLMI SRTPVETCVV VDVSHEDPEV KFNWYDVGE VHNAKTKPER 300  
 EQYNSTYRVV SVLTVLHQDW LNKKEYKCKV SNKALPAPIE KTIISKAGQP 350  
 REPQVYTLPP SRDELTKNQV SLTCLVKGFY PSDIAVENES NGQPENNYKT 400  
 TFPVLDSDGS FFLYSKLTVD KSRWQQGNV SCSDMHEGLH NHYTQRKLSL 454  
 SPGK 454

## Light chain / Chaîne légère / Cadena ligera

QSVLTQPPSA SGTFGQRVSI SCSGSLSNIG TNYVYVYQL PGTAPKLLIF 50  
 KNNQRPSGVP DRFSGSKSGT SASLAISGLR SEDEADYYCA AWDDSLNGYV 100  
 FGTGRTKVTVL GQPKANPTVT LFPPSSEELQ ANKATLVCLI SDFYPGAVTV 150  
 AWKADGSPVK AGVETTKPSK QSNNKYAASS YLSLTPQWKR SHRSYSQCVT 200  
 HEGSTVEKTV APTECS 216

## Post-translational modifications

## Disulfide bridges location / Position des ponts disulfure / Posiciones de los puentes disulfuro

Intra-H (C23-C104) 22"-95" 151"-207" 268"-328" 374"-432"  
 22"-95" 151"-207" 268"-328" 374"-432"  
 Intra-L (C23-C104) 22"-89" 138"-197"  
 22"-89" 138"-197"  
 Inter-H-L (h 5-CL 126) 227"-215" 227"-215"  
 Inter-H-H (h 11, h 14) 233"-233" 236"-236"

## N-terminal glutaminyl cyclization / Cyclisation du glutaminyle N-terminal / Ciclación del glutaminilo N-terminal

Q > pyroglutamyl (pE, 5-oxoprolyl)  
 H VH Q1: 1, 1"  
 L VL Q1: 1, 1"

## N-glycosylation sites / Sites de N-glycosylation / Posiciones de N-glicosilación

H CH2 N84.4: 304, 304"  
 Fucosylated complex bi-antennary CHO-type glycans / glycanes de type CHO bi-antennaires complexes fucosylés / glicanos de tipo CHO biantennarios complejos fucosilados.

## C-terminal lysine clipping / Coupure de la lysine C-terminale / Recorte de lisina C-terminal

H CHS K2: 454, 454"



**florquinitaum (<sup>18</sup>F)**

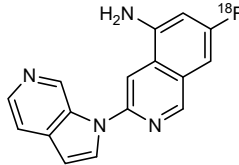
florquinitau (<sup>18</sup>F) 6-(<sup>18</sup>F)fluoro-3-(1*H*-pyrrolo[2,3-*c*]pyridin-1-yl)isoquinolin-5-amine  
*diagnostic imaging agent*

florquinitau (<sup>18</sup>F) 6-(<sup>18</sup>F)fluoro-3-(1*H*-pyrrolo[2,3-*c*]pyridin-1-yl)isoquinoléin-5-amine  
*agent de diagnostic*

florquinitau (<sup>18</sup>F) 6-(<sup>18</sup>F)fluoro-3-(1*H*-pirrolo[2,3-*c*]piridin-1-il)isoquinolein-5-amina  
*agente de diagnóstico*

C<sub>16</sub>H<sub>11</sub><sup>18</sup>FN<sub>4</sub>

1841444-25-4

**frexalimabum #**

frexalimab

immunoglobulin G1-kappa, anti-[*Homo sapiens* CD40LG (CD40 ligand, CD40L, tumor necrosis factor ligand superfamily member 5, TNFSF5, tumor necrosis factor related activation protein, TRAP, CD154)], monoclonal antibody;  
gamma1 heavy chain (1-450) [VH Musmus/Homsap (*Mus musculus*IGHV3-8\*02 (82.3%) -(IGHD) -IGHJ2\*01 (100%)/*Homo sapiens*IGHV4-59\*11 (81.2%) -(IGHD) -IGHJ4\*01 (86.7%) L123>T (115), V124>L (116), CDR-IMGT [8.7.14] (26-33.51-57.96-109)) (1-120) -*Homo sapiens*IGHG1\*01, G1m17,1, G1v20 CH2 A105 (CH1 K120 (217) (121-218), hinge 1-15 (219-233), CH2 E31>R (272), K105>A (325) (234-343), CH3 D12 (359), L14 (361) (344-448), CHS (449-450)) (121-450)], (223-214')-disulfide with kappa light chain (1'-214') [V-KAPPA Musmus/Homsap (*Mus musculus*IGKV6-13\*01 (83.2%) -IGKJ2\*01 (100%)/*Homo sapiens*IGKV1-33\*01 (76.8%) -IGKJ2\*01 (91.7%) Q120>G (100), CDR-IMGT [6.3.9] (27-32.50-52.89-97)) (1'-107') -*Homo sapiens*IGKC\*01 (100%), Km3 A45.1 (153), V101 (191) (108'-214')]; dimer (229-229"-232-232")-bisdisulfide, produced in Chinese hamster ovary (CHO) cells, derived from the cell line CHO-DXB11, glycoform alfa  
*immunomodulator*

frexalimab

immunoglobuline G1-kappa, anti-[*Homo sapiens* CD40LG (CD40 ligand, CD40L, membre 5 de la superfamille des ligands facteurs de nécrose tumorale, TNFSF5, protéine d'activation apparentée au facteur de nécrose tumorale, TRAP, CD154)], anticorps monoclonal;  
chaîne lourde gamma1 (1-450) [VH Musmus/Homsap (*Mus musculus*IGHV3-8\*02 (82.3%) -(IGHD) -IGHJ2\*01 (100%)/*Homo sapiens*IGHV4-59\*11 (81.2%) -(IGHD) -IGHJ4\*01 (86.7%) L123>T (115), V124>L (116), CDR-IMGT [8.7.14] (26-33.51-57.96-109)) (1-120) -*Homo sapiens*IGHG1\*01, G1m17,1, G1v20 CH2 A105 (CH1 K120 (217) (121-218), charnière 1-15 (219-233), CH2 E31>R (272), K105>A (325) (234-343), CH3 D12 (359), L14 (361) (344-448), CHS (449-450)) (121-450)], (223-214')-disulfure avec la chaîne

## frexalimab

légère kappa (1'-214') [V-KAPPA Musmus/Homsap (*Mus musculus* IGKV6-13\*01 (83.2%) -IGKJ2\*01 (100%)/*Homo sapiens* IGKV1-33\*01 (76.8%) -IGKJ2\*01 (91.7%) Q120>G (100), CDR-IMGT [6.3.9] (27-32.50-52.89-97)) (1'-107') -*Homo sapiens* IGKC\*01 (100%), Km3 A45.1 (153), V101 (191) (108'-214')]; dimère (229-229":232-232")-bisdisulfure, produit dans des cellules ovariennes de hamster chinois (CHO), dérivant de la lignée cellulaire CHO-DXB11, glycoforme alfa *immunomodulateur*

inmunoglobulina G1-kappa, anti-[*Homo sapiens* CD40LG (CD40 ligando, CD40L, miembro 5 de la superfamilia de los ligandos factores de necrosis tumoral, TNFSF5, proteína de activación relacionada con el factor de necrosis tumoral, TRAP, CD154)], anticuerpo monoclonal;

cadena pesada gamma1 (1-450) [VH Musmus/Homsap (*Mus musculus* IGHV3-8\*02 (82.3%) -(IGHD) -IGHJ2\*01 (100%)/*Homo sapiens* IGHV4-59\*11 (81.2%) -(IGHD) -IGHJ4\*01 (86.7%) L123>T (115), V124>L (116), CDR-IMGT [8.7.14] (26-33.51-57.96-109)) (1-120) -*Homo sapiens* IGHG1\*01, G1m17,1, G1v20 CH2 A105 (CH1 K120 (217) (121-218), bisagra 1-15 (219-233), CH2 E31>R (272), K105>A (325) (234-343), CH3 D12 (359), L14 (361) (344-448), CHS (449-450)) (121-450)], (223-214')-disulfuro con la cadena ligera kappa (1'-214') [V-KAPPA Musmus/Homsap (*Mus musculus* IGKV6-13\*01 (83.2%) -IGKJ2\*01 (100%)/*Homo sapiens* IGKV1-33\*01 (76.8%) -IGKJ2\*01 (91.7%) Q120>G (100), CDR-IMGT [6.3.9] (27-32.50-52.89-97)) (1'-107') -*Homo sapiens* IGKC\*01 (100%), Km3 A45.1 (153), V101 (191) (108'-214')]; dímero (229-229":232-232")-bisdisulfuro, producido en las células ováricas de hámster chino (CHO), línea celular derivada de CHO-DXB11, forma glicosilada alfa *immunomodulador*

2515463-86-0

## Heavy chain / Chaîne lourde / Cadena pesada

```

EVQLQESGPG LVKPSSETLSL TCTVSGDSIT NGFWIWRKP PGNKLEYVMGY 50
ISYSGSTYYN PSLKSRISIS RDTSKNQFSL KLSVTAADT GVYVCAYRSY 100
GRTPYFYDYW GQGTTLTVSS ASTKGPSVFP LAPSSKSTSG GTAALGLCLVK 150
DYFPEPVTVS WNSGALTSKV HTPFAVLQSS GLYSLSSVVT VPSSSLGTQT 200
YICNVNHKPS NTKVDDKAEP KSCDRKTHCP PCFAPPELLGG PSVFLFPPPK 250
KDTLMISRTPEVTCVVVDVSHRDPEVKFNW YVDGVEVHNA KTKPREEQYN 300
STYRVVSVLT VLRQDNLNGK EYKCAVSNKA LPAPIEKTIS KAKGQPREPQ 350
VYTLPPSRDE LTRNQVSLTLC LVKGFYPSDI AVEWESNGQP ENNYKTTTPV 400
LDSGSGFFLY SKLTVDKSRW QQGNVFCSCV MHEALHNHYT QKLSLSLSPGK 450

```

## Light chain / Chaîne légère / Cadena ligera

```

DIVMTQSPSF LSASVSGDRVT ITCKASSNLG HAVAWYQQKPK GKSPKLLIYS 50
ASNRYTGVPD RFGSGSGSDT FTLTISLQPF EDFADYFCQQ YDDYPTFGG 100
GTKLEIKRTV AAPSVEFIFPP SDEQLKSGTA SVVCLLNNFY PREAKVQWQV 150
DNALQSGNSQ ESVTEQDSKD STYLSLSTLT LSKADYEKHK VYACEVTHQG 200
LSSPVTKSFN RGEK 214

```

## Post-translational modifications

Disulfide bridges location / Position des ponts disulfure / Posiciones de los puentes disulfuro

Intra-H (C23-C104) 22-95 147-203 264-324 370-428  
 22"-95" 147"-203" 264"-324" 370"-428"

Intra-L (C23-C104) 23"-88" 134"-194"  
 23"-88" 134"-194"

Inter-H-L (h 5-CL 126) 223-214" 223"-214"

Inter-H-H (h 11, h 14) 229-229" 232-232"

N-glycosylation sites / Sites de N-glycosylation / Posiciones de N-glicosilación

H CH2 N84:4; 300, 300"

Fucosylated complex bi-antennary CHO-type glycans / glycanes de type CHO bi-antennaires complexes fucosylés / glicanos de tipo CHO biantennarios complejos fucosilados.

C-terminal lysine clipping / Coupure de la lysine C-terminale / Recorte de lisina C-terminal  
 H CHS K2: 450, 450"

**gallium (<sup>68</sup>Ga) boclatixafortidum**gallium (<sup>68</sup>Ga) boclatixafortide

(1,5-anhydro{3-(naphthalen-2-yl)-L-alanyl}glycyl-D-tyrosyl-N<sup>2</sup>-methyl-N<sup>5</sup>-[4-({2-[4,7,10-tris(carboxylato-κO-methyl)-1,4,7,10-tetraazacyclododecan-1-yl-κ<sup>4</sup>N<sup>1</sup>,N<sup>4</sup>,N<sup>7</sup>,N<sup>10</sup>]acetamido-κO)methyl}benzoyl]-D-ornithyl-L-arginine})(<sup>68</sup>Ga)gallium  
*diagnostic imaging agent*

gallium (<sup>68</sup>Ga) boclatixafortide

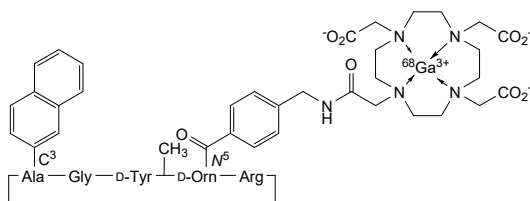
(1,5-anhydro{3-(naphthalén-2-yl)-L-alanyl}glycyl-D-tyrosyl-N<sup>2</sup>-méthyl-N<sup>5</sup>-[4-({2-[4,7,10-tris(carboxylato-κO-méthyl)-1,4,7,10-tétraazacyclododécane-1-yl-κ<sup>4</sup>N<sup>1</sup>,N<sup>4</sup>,N<sup>7</sup>,N<sup>10</sup>]acétamido-κO)méthyl}benzoyl]-D-ornithyl-L-arginine})(<sup>68</sup>Ga)gallium  
*agent de diagnostic*

galio (<sup>68</sup>Ga) boclatixafortida

(1,5-anhidro{3-(naftalen-2-il)-L-alanil}glicil-D-tirosil-N<sup>2</sup>-metil-N<sup>5</sup>-[4-({2-[4,7,10-tris(carboxilato-κO-metil)-1,4,7,10-tetraazaciclododecan-1-il-κ<sup>4</sup>N<sup>1</sup>,N<sup>4</sup>,N<sup>7</sup>,N<sup>10</sup>]acetamido-κO)metil}benzoil]-D-ornitil-L-arginina})(<sup>68</sup>Ga)galio  
*agente de diagnóstico*

C<sub>60</sub>H<sub>77</sub><sup>68</sup>GaN<sub>14</sub>O<sub>14</sub>

1345698-96-5

**garsorasibum**

garsorasib

7-(2-amino-6-fluorophenyl)-1-(4,6-dicyclopropylpyrimidin-5-yl)-4-[(2S,5R)-2,5-dimethyl-4-(prop-2-enoyl)piperazin-1-yl]-6-fluoropyrido[2,3-d]pyrimidin-2(1H)-one  
*rat sarcoma viral oncogene homolog (KRAS) inhibitor, antineoplastic*

garsorasib

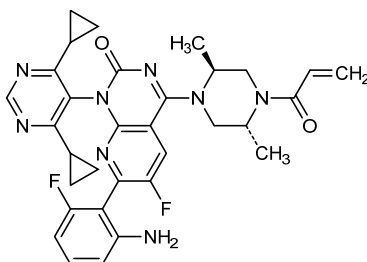
7-(2-amino-6-fluorophényl)-1-(4,6-dicyclopropylpyrimidin-5-yl)-4-[(2S,5R)-2,5-diméthyl-4-(prop-2-énoyl)pipérazin-1-yl]-6-fluoropyrido[2,3-d]pyrimidin-2(1H)-one  
*inhibiteur de l'homologue de l'oncogène du virus du sarcome du rat (KRAS), antinéoplasique*

garsorasib

7-(2-amino-6-fluorofenil)-1-(4,6-diciclopropilpirimidin-5-il)-4-[(2S,5R)-2,5-dimetil-4-(prop-2-enoil)piperazin-1-il]-6-fluoropirido[2,3-d]pirimidin-2(1H)-ona  
*inhibidor homólogo del oncogén del virus del sarcoma de rata (KRAS), antineoplásico*

C<sub>32</sub>H<sub>32</sub>F<sub>2</sub>N<sub>8</sub>O<sub>2</sub>

2559761-14-5



**gebasaxturevum #**  
gebasaxturev

oncolytic genetically unmodified human  
Coxsackievirus A21 (CVA21)  
*virus-based therapy (antineoplastic)*

gébasaxturev

virus Coxsackie A21 (CVA21) humain oncolytique  
génétiquement non modifié  
*thérapie à base de virus (antineoplasique)*

gebasaxturev

virus Coxsackie A21 (CVA21) oncolítico humano sin  
ninguna modificación genética.  
*terapia basada en virus (antineoplásico)*

2122169-83-7

**gefurulimabum #**  
gefurulimab

immunoglobulin single chain VH-VH', anti-[*Homo sapiens* C5 (complement C5, CPAMD4, C5a, C5b)] and anti-[*Homo sapiens* ALB (albumin, human serum albumin, HAS)], humanized monoclonal antibody single chain, bispecific;  
IG single chain VH-VH' anti-ALB and anti-C5 chimeric (1-264) [VH anti-ALB Vicpac/Homsap (*Vicugna pacos* IGHV3-3\*01 (80.6%) -(IGHD) -IGHJ3\*01 (92.3%)/*Homo sapiens* IGHV3-23\*04 (79.4%) -(IGHD) -IGHJ4\*01 (92.9%), CDR-IMGT [8.8.17] (26-33.51-58.96-112)) (1-123) -15-mer bis(tetraglycyl-alanyl)-tetraglycyl-seryl linker (124-138) -VH' anti-C5 Vicpac/Homsap (*Vicugna pacos* IGHV3-3\*01 (82.7%) -(IGHD) -IGHJ4\*01 (92.9%) Q123>L (259)/*Homo sapiens* IGHV3-23\*04 (81.4%) -(IGHD) -IGHJ4\*01 (92.9%), CDR-IMGT [8.8.19] (164-171.189-196.235-253)) (139-264)], produced in Chinese hamster ovary (CHO) cells, non-glycosylated  
*immunomodulator*

géfurulimab

immunoglobuline à chaîne unique VH-VH', anti-[*Homo sapiens* C5 (C5 complément, CPAMD4, C5a, C5b)] et anti-[*Homo sapiens* ALB (albumine, sérum albumine humaine, SAH)], anticorps monoclonal à chaîne unique humanisé, bispécifique;

gefurulumab

IG à chaîne unique VH-VH' anti-ALB et anti-C5 chimérique (1-264) [VH anti-ALB Vicpac/Homsap (*Vicugna pacos*IGHV3-3\*01 (80.6%) -(IGHD) -IGHJ3\*01 (92.3%)/*Homo sapiens*IGHV3-23\*04 (79.4%) -(IGHD) -IGHJ4\*01 (92.9%), CDR-IMGT [8.8.17] (26-33.51-58.96-112)) (1-123) -15-mer bis(tétraglycyl-alanyl)-tétraglycyl-séryl linker (124-138) -VH' anti-C5 Vicpac/Homsap (*Vicugna pacos*IGHV3-3\*01 (82.7%) -(IGHD) -IGHJ4\*01 (92.9%) Q123>L (259)/*Homo sapiens*IGHV3-23\*04 (81.4%) -(IGHD) -IGHJ4\*01 (92.9%), CDR-IMGT [8.8.19] (164-171.189-196.235-253)) (139-264)], produit dans des cellules ovariennes de hamster chinois (CHO), non-glycosylé *immunomodulateur*

immunoglobulina con una cadena única VH-VH', anti-[*Homo sapiens* C5 (C5 complemento, CPAMD4, C5a, C5b)] y anti-[*Homo sapiens* ALB (albúmina, albúmina sérica humana, SAH)], anticuerpo monoclonal con cadena única humanizada, biespecífica ; IG con cadena única VH-VH' anti-ALB y anti-C5 quimérica (1-264) [VH anti-ALB Vicpac/Homsap (*Vicugna pacos*IGHV3-3\*01 (80.6%) -(IGHD) -IGHJ3\*01 (92.3%)/*Homo sapiens*IGHV3-23\*04 (79.4%) -(IGHD) -IGHJ4\*01 (92.9%), CDR-IMGT [8.8.17] (26-33.51-58.96-112)) (1-123) -15-mer bis(tetraglicil-alanil)-tetraglicil-seril linker (124-138) -VH' anti-C5 Vicpac/Homsap (*Vicugna pacos*IGHV3-3\*01 (82.7%) -(IGHD) -IGHJ4\*01 (92.9%) Q123>L (259)/*Homo sapiens*IGHV3-23\*04 (81.4%) -(IGHD) -IGHJ4\*01 (92.9%), CDR-IMGT [8.8.19] (164-171.189-196.235-253)) (139-264)], producido en las células ováricas de hámster chino (CHO), no glicosilado *immunomodulador*

2456407-94-4

## Sequence / Séquence / Secuencia

```
EVQLVESGGG LVKPGGSLRL SCAASGRPVS NYAAAMFRQA PKKEREVLSA 50
INRQKTATYA DSVKGRFTIS RDNAKNSLYL QMNSLRAEDT AVYYCAAVFR 100
VVAARKTQVDY DYWGQGTTLV VSSGGGGAGG GGAGGGGSEV QLVESGGGLV 150
QFGGSLRLSC AASGRAHSDY AMANFRQAPG QEREVAVIGI WSGGDTLYAD 200
SVRGRFTNSR DNSKNTLYLQ MNSLRAEDTA VYYCAARQQQ YIYSSMRSDS 250
YDYWGQGTLLV TVSS 264
```

## Post-translational modifications

Disulfide bridges location / Position des ponts disulfure / Posiciones de los puentes disulfuro  
Intra-chain (C23 C104) 22-95 160-234

No N-glycosylation sites / pas de sites de N-glycosylation / ningum posición de N-glycosilación  
Aglycosylated / aglycosylé / aglicosilado

gersizangitidum  
gersizangitide

collagen alpha-5(IV) chain (human collagen IV  $\alpha$ -5 chain, COL4A5) (1484-1503)-peptide (1-20), [M<sup>1490</sup>>A<sup>7</sup>, M<sup>1493</sup>>A<sup>10</sup>, C<sup>1495</sup>>I<sup>12</sup>, N<sup>1496</sup>>D<sup>13</sup>, N<sup>1499</sup>>D<sup>16</sup>, C<sup>1501</sup>>I<sup>18</sup>]-modified, 20-amide;  
L-leucyl-L-arginyl-L-arginyl-L-phenylalanyl-L-seryl-L-threonyl-L-alanyl-L-prolyl-L-phenylalanyl-L-alanyl-L-phenylalanyl-L-isoleucyl-L- $\alpha$ -aspartyl-L-isoleucyl-L-asparaginy-L- $\alpha$ -aspartyl-L-valyl-L-isoleucyl-L-asparaginy-L-phenylalaninamide  
*angiogenesis inhibitor*

gersizangitide

chaîne alpha-5(IV) de collagène (chaîne  $\alpha$ -5 de collagène IV humain, COL4A5), peptide 1484-1503 (1-20), [M<sup>1490</sup>>A<sup>7</sup>, M<sup>1493</sup>>A<sup>10</sup>, C<sup>1495</sup>>I<sup>12</sup>, N<sup>1496</sup>>D<sup>13</sup>, N<sup>1499</sup>>D<sup>16</sup>, C<sup>1501</sup>>I<sup>18</sup>]-modifié, 20-amide;  
L-leucyl-L-arginyl-L-arginyl-L-phénylalanyl-L-seryl-L-thréonyl-L-alanyl-L-prolyl-L-phénylalanyl-L-alanyl-L-phénylalanyl-L-isoleucyl-L- $\alpha$ -aspartyl-L-isoleucyl-L-asparaginyL-L- $\alpha$ -aspartyl-L-valyl-L-isoleucyl-L-asparaginyL-L-phénylalaninamide  
*inhibiteur de l'angiogénèse*

gersizangitida

cadena alfa-5(IV) de colágeno (cadena  $\alpha$ -5 de colágeno IV humano, COL4A5), péptido 1484-1503 (1-20), [M<sup>1490</sup>>A<sup>7</sup>, M<sup>1493</sup>>A<sup>10</sup>, C<sup>1495</sup>>I<sup>12</sup>, N<sup>1496</sup>>D<sup>13</sup>, N<sup>1499</sup>>D<sup>16</sup>, C<sup>1501</sup>>I<sup>18</sup>]-modificado, 20-amida;  
L-leucil-L-arginil-L-arginil-L-fenilalanil-L-seril-L-treonil-L-alanil-L-proil-L-fenilalanil-L-alanil-L-fenilalanil-L-isoleucil-L- $\alpha$ -aspartil-L-isoleucil-L-asparaginil-L- $\alpha$ -aspartil-L-valil-L-isoleucil-L-asparaginil-L-fenilalaninamida  
*inhibidor de la angiogénesis*

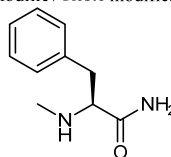
C<sub>111</sub>H<sub>167</sub>N<sub>29</sub>O<sub>28</sub>

2417491-82-6

Sequence / Séquence / Secuencia  
LRRFSTAPFA FIDINDVINE 20

Modified residue / Résidu modifié / Resto modificado

E  
20  
L-Phenylalaninamide

gilmelisibum  
gilmelisib

2-chloro-*N*-(5-{3-[2-(diméthylamino)éthoxy]-4-oxo-4*H*-pyrido[1,2-*a*]pyrimidin-7-yl]-2-méthoxy-pyridin-3-yl)-4-fluorobenzène-1-sulfonamide  
*antineoplastique*

gilmélisib

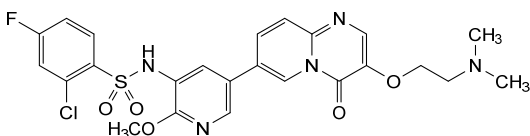
2-chloro-*N*-(5-{3-[2-(diméthylamino)éthoxy]-4-oxo-4*H*-pyrido[1,2-*a*]pyrimidin-7-yl]-2-méthoxy-pyridin-3-yl)-4-fluorobenzène-1-sulfonamide  
*antineoplastique*

gilmelisib

2-cloro-*N*-(5-{3-[2-(dimetilamino)etoxi]-4-oxo-4*H*-pirido[1,2-*a*]pirimidin-7-il]-2-metoxipiridin-3-il)-4-fluorobenceno-1-sulfonamida  
*antineoplásico*

C<sub>24</sub>H<sub>23</sub>ClFN<sub>5</sub>O<sub>5</sub>S

1845777-61-8



**golocdacimabum #**  
golocdacimab

immunoglobulin G1-lambda2, anti-[*Homo sapiens* OLR1 (oxidized low density lipoprotein receptor 1, LOX-1, SCARE1, CLEC8A)], *Homo sapiens* monoclonal antibody;  
 gamma1 heavy chain *Homo sapiens* (1-459) [VH (*Homo sapiens* IGHV1-24\*01 (93.8%) -(IGHD) - IGHJ6\*01 (100%), CDR-IMGT [8.8.22] (26-33.51-58.97-118)) (1-129) -*Homo sapiens* IGHG1\*03, G1m3, nG1m1, G1v39 CH2 F1.3, E1.2, S116 (CH1 R120 (226) (130-227), hinge 1-15 (228-242), CH2 L1.3>F (246), L1.2>E (247), P116>S (343) (243-352), CH3 E12 (368), M14 (370) (353-457), CHS (458-459)) (130-459)], (232-216')-disulfide with lambda2 light chain *Homo sapiens* (1'-217') [V-LAMBDA (*Homo sapiens* IGLV1-40\*02 (100%) -IGLJ3\*02 (100%), CDR-IMGT [9.3.11] (26-34.52-54.91-101)) (1'-111') -*Homo sapiens* IGLC2\*01 (100%) (112'-217')]; dimer (238-238":241-241")-bisdisulfide, produced in Chinese hamster ovary (CHO) cells, glycoform alfa  
*anti-inflammatory, cardiovascular*

## golocdacimab

immunoglobuline G1-lambda2, anti-[*Homo sapiens* OLR1 (récepteur 1 de lipoprotéines de basse densité oxydées, LOX-1, SCARE1, CLEC8A)], anticorps monoclonal *Homo sapiens*;  
 chaîne lourde gamma1 *Homo sapiens* (1-459) [VH (*Homo sapiens* IGHV1-24\*01 (93.8%) -(IGHD) - IGHJ6\*01 (100%), CDR-IMGT [8.8.22] (26-33.51-58.97-118)) (1-129) -*Homo sapiens* IGHG1\*03, G1m3, nG1m1, G1v39 CH2 F1.3, E1.2, S116 (CH1 R120 (226) (130-227), charnière 1-15 (228-242), CH2 L1.3>F (246), L1.2>E (247), P116>S (343) (243-352), CH3 E12 (368), M14 (370) (353-457), CHS (458-459)) (130-459)], (232-216')-disulfure avec la chaîne légère lambda2 *Homo sapiens* (1'-217') [V-LAMBDA (*Homo sapiens* IGLV1-40\*02 (100%) -IGLJ3\*02 (100%), CDR-IMGT [9.3.11] (26-34.52-54.91-101)) (1'-111') -*Homo sapiens* IGLC2\*01 (100%) (112'-217')]; dimère (238-238":241-241")-bisdisulfure, produit dans des cellules ovariennes de hamster chinois (CHO), glycoforme alfa  
*anti-inflammatoire, cardiovasculaire*

## golocdacimab

immunoglobulina G1-lambda2, anti-[*Homo sapiens* OLR1 (receptor 1 de lipoproteínas de baja densidad oxidadas, LOX-1, SCARE1, CLEC8A)], anticuerpo monoclonal *Homo sapiens*;  
 cadena pesada gamma1 *Homo sapiens* (1-459) [VH (*Homo sapiens* IGHV1-24\*01 (93.8%) -(IGHD) - IGHJ6\*01 (100%), CDR-IMGT [8.8.22] (26-33.51-58.97-118)) (1-129) -*Homo sapiens* IGHG1\*03, G1m3, nG1m1, G1v39 CH2 F1.3, E1.2, S116 (CH1 R120 (226) (130-227), bisagra 1-15 (228-242), CH2 L1.3>F (246), L1.2>E (247), P116>S (343) (243-352), CH3 E12 (368), M14 (370) (353-457), CHS (458-459)) (130-459)], (232-216')-disulfuro con la cadena ligera lambda2 *Homo sapiens* (1'-217') [V-LAMBDA (*Homo sapiens* IGLV1-40\*02 (100%) -IGLJ3\*02 (100%), CDR-IMGT [9.3.11] (26-34.52-54.91-101)) (1'-111') -*Homo sapiens* IGLC2\*01 (100%) (112'-217')]; dímero (238-238":241-241")-bisdisulfuro, producido en las células ováricas de hámster chino (CHO), forma glicosilada alfa  
*antiinflamatorio, cardiovascular*

2418540-63-1

## Heavy chain / Chaîne lourde / Cadena pesada

QVQLVQSGAE VKKPGASVKV SKVSGYTLT ELSMHWVRQA PGKGLEWGG 50  
 FDPEDFKYHT HQKFKGRVTM TEDITDITAY MELSSLRSED TAVYICALVW 100  
 GTQGGKVRGW DYYGMDVWG QCTTIVTSSA STKGFVFPFL APSSKSTSGG 150  
 TAALGGLVKD YFPEPVTWSW NSGALTSQVH TFFAVLQSSG LYSLSVVTV 200  
 PSSSLGTQTY ICNVNHRKFS TKVDRKVEPK SCDKTHTCPP CPAPEFEGGP 250  
 SVFLFPPKPK DTLMTSRPTE VTCVUVDSH EDPVKFNWY VDGVEVHNAK 300  
 TKPREGQNS TYRUVSVLTV LHQDNLNGKE YKCKVSNKAL PASIEKTISK 350  
 AKGQPREPQV YTLPPSREEM TKMQVSLTCL VKGFFPSDIA VEWESNGQPE 400  
 NNYKTTFPVL DSDGSEFLYS KLTVDKSRWQ QGNVFCSCVM HEALHNHYTQ 450  
 KSLSLSPGK 459

## Light chain / Chaîne légère / Cadena ligera

QSVVTQPPSV SGAPGQRVTI SCTGSSSNIG AGYDVHWYQQ LPGTAPKLLI 50  
 YGNSNRPSGV PDRFSGSKSG TSASLAITGL QAEDEADYYC QSYDSSLGSG 100  
 VFGGGTKLTV LGQPKAAPSV TLFPPSSEEL QANKATLVCL ISDFYPGAFT 150  
 VAWKADSSPV KAGVETTPS KQSNKKAAS SYLSLTPEQW KSHRSYSCQV 200  
 THEGSTVEKT VAPTECS 217

## Post-translational modifications

Disulfide bridges location / Position des ponts disulfure / Posiciones de los puentes disulfuro

Intra-H (C23-C104) 22°-96 156°-212 273°-333 379°-437  
 22°-96" 156°-212" 273°-333" 379°-437"  
 Intra-L (C23-C104) 22°-90° 139°-198°  
 22°-90" 139°-198"  
 Inter-H-L (h 5-CL 126) 232°-216° 232°-216°  
 Inter-H-H (h 11, h 14) 238°-238° 241°-241°

N-terminal glutaminyl cyclization / Cyclisation du glutaminyle N-terminal / Ciclación del glutamínilo N-terminal

Q<sup>2</sup> pyroglutamyl (pE, 5-oxoprolyl)  
 HVHQ1: 1, 1"  
 L VL Q1: 1, 1"

N-glycosylation sites / Sites de N-glycosylation / Posiciones de N-glicosilación

H CH2 N84.4: 309, 309°  
 Fucosylated complex bi-antennary CHO-type glycans / glycanes de type CHO bi-antennaires complexes fucosylés / glicanos de tipo CHO biantenaríos complejos fucosilados.

C-terminal lysine clipping / Coupure de la lysine C-terminale / Recorte de lisina C-terminal

H CHS K2: 459, 459°

**hemoglobinum sucistilum (bovinum) #**

hemoglobin sucistil (bovine)

hemoglobin (*Bos taurus*) ( $\alpha_2\beta_2$  tetramer) with about 95% of the  $\beta$  subunits covalently linked via L-cystein-S-ylsuccinyl bridges connecting either  $N M\beta_1^1 - N^6 K\beta_2^{81}$  or  $N^6 K\beta_1^{81} - N M\beta_2^1$  or  $N^6 K\beta_1^{81} - N^6 K\beta_2^{81}$ ,  $N^{\beta 1}, N^{6, \beta 81}, N^{6, \beta 81}, N^{\beta 1}$  and  $N^{6, \beta 81}, N^{6, \beta 81} - [(2RS) - 2 - (L - cystein - S - yl)butanedioyl]hemoglobin (*Bos taurus*,  $\alpha_2\beta_2$  tetramer)$

oxygen carrier

hémoglobine sucistil (bovine)

hémoglobine (*Bos taurus*) ( $\alpha_2\beta_2$  tétramère) avec environ 95% des sous-unités  $\beta$  liées de manière covalente par des ponts L-cystéine-S-ylsuccinyle connectant soit  $N M\beta_1^1 - N^6 K\beta_2^{81}$  ou  $N^6 K\beta_1^{81} - N M\beta_2^1$  ou  $N^6 K\beta_1^{81} - N^6 K\beta_2^{81}$ ,  $N^{\beta 1}, N^{6, \beta 81}, N^{6, \beta 81}, N^{\beta 1}$  et  $N^{6, \beta 81}, N^{6, \beta 81} - [(2RS) - 2 - (L - cystéin - S - yl)butanedioyl]hémoglobine (*Bos taurus*, tétramère  $\alpha_2\beta_2$ )$

transporteur d'oxygène

hemoglobina sucistilo (bovina)

hemoglobina (*Bos taurus*) ( $\alpha_2\beta_2$  tetrámero) con un 95% de subunidades  $\beta$  covalentemente unidas a través de puentes de L-cisteína-S-ylsuccinil conectando cualquier  $N M\beta_1^1 - N^6 K\beta_2^{81}$  o  $N^6 K\beta_1^{81} - N M\beta_2^1$  o  $N^6 K\beta_1^{81} - N^6 K\beta_2^{81}$ ,  $N^{\beta 1}, N^{6, \beta 81}, N^{6, \beta 81}, N^{\beta 1}$  y  $N^{6, \beta 81}, N^{6, \beta 81} - [(2RS) - 2 - (L - cistein - S - il)butanodioil]hemoglobina (*Bos taurus*, tetrámero  $\alpha_2\beta_2$ )$

transportador de oxígeno



2427417-84-1

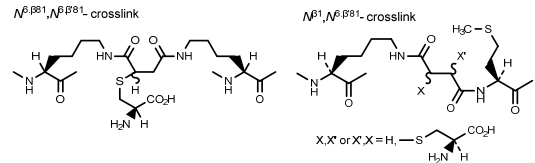
alpha and alpha' chains / chaînes alpha et alpha' / cadenas alfa y alfa'

VLSAADKGNV	KAAWGKVGGH	AAEYGAEL	RMFLSFFPTTK	TYFFHFDLSH	50
GSAQVKGHGA	KVAALTKAV	EHLDDLPGAL	SELSDLHAHK	LRVDPVNFKL	100
LSHSLLVTLA	SHLPSDFTPA	VHASLDRKFLA	NVSTVLTISKY	R	150

beta and beta' chains / chaînes bêta et bêta' / cadenas beta y beta'

<del>M</del> LTAEEKAAV	TAFWGKVKVD	EVGGEALGRL	LVVYPWTQRF	FESFGDLSTA	50
DAYMNNPKVK	AHGKVLDSF	SNGMKHLDDL	KGTFAALSEL	HCDKLHVDEP	100
NFKLLGNVLV	VVLARNFEGE	FTFVLQADFQ	KVVAGVANAL	AHRYH	150

Crosslinks: ~95% of the  $\alpha_2\beta_2$  tetramers with one crosslink each, mainly either  $N^6(K\beta 81)-N^6(K\beta' 81)$  or  $N^2(M\beta 1)-N^6(K\beta' 81)$



**ifinatumab #**  
ifinatumab

immunoglobulin G1-kappa, anti-[*Homo sapiens* CD276 (B7H3, B7-H3, B7-related protein 2, B7RP2, B7RP-2, B7 homolog 3, B7 homologue 3)], humanized monoclonal antibody;  
gamma1 heavy chain humanized (1-452) [VH (*Homo sapiens* IGHV1-3\*01 (83.7%) -(IGHD) -IGHJ4\*01 (100%), CDR-IMGT [8.8.15] (26-33.51-58.97-111)) (1-122) -*Homo sapiens* IGHG1\*03 (100%), G1m3, nG1m1 (CH1 R120 (219) (123-220), hinge 1-15 (221-235), CH2 (236-345), CH3 E12 (361), M14 (363) (346-450), CHS (451-452)) (123-452)], (225-213')-disulfide with kappa light chain humanized (1'-213') [V-KAPPA (*Homo sapiens* IGKV3D-11\*02 (85.6%) -IGKJ1\*01 (100%), CDR-IMGT [5.3.9] (27-31.49-51.88-96)) (1'-106') -*Homo sapiens* IGKC\*01 (100%), Km3 A45.1 (152), V101 (190) (107'-213')]; dimer (231-231":234-234")-bisdisulfide, produced in Chinese hamster ovary (CHO) cells, cell line CHO-K1SV, glycoform alfa *immunomodulator, antineoplastic*

ifinatumab

immunoglobuline G1-kappa, anti-[*Homo sapiens* CD276 (B7H3, B7-H3, protéine 2 liée à B7, B7RP2, B7RP-2, B7 homologue 3, B7 homologue 3)], anticorps monoclonal humanisé;  
chaîne lourde gamma1 humanisée (1-452) [VH (*Homo sapiens* IGHV1-3\*01 (83.7%) -(IGHD) -IGHJ4\*01 (100%), CDR-IMGT [8.8.15] (26-33.51-58.97-111)) (1-122) -*Homo sapiens* IGHG1\*03 (100%), G1m3, nG1m1 (CH1 R120 (219) (123-220), charnière 1-15 (221-235), CH2 (236-345), CH3 E12 (361), M14 (363) (346-450), CHS (451-452)) (123-452)], (225-213')-disulfure avec la chaîne légère kappa humanisée (1'-213') [V-KAPPA (*Homo sapiens* IGKV3D-11\*02 (85.6%) -IGKJ1\*01 (100%), CDR-IMGT [5.3.9] (27-31.49-51.88-96)) (1'-106') -*Homo sapiens* IGKC\*01 (100%), Km3 A45.1 (152), V101 (190) (107'-213')]; dimère (231-231":234-234")-bisdisulfure, produit dans des cellules ovariennes de hamster chinois (CHO), lignée cellulaire CHO-K1SV, glycoforme alfa *immunomodulateur, antinéoplasique*

ifinamab

inmunoglobulina G1-kappa, anti-[*Homo sapiens* CD276 (B7H3, B7-H3, proteína 2 relacionada con B7, B7RP2, B7RP-2, B7 homólogo 3, B7 homólogo 3)], anticuerpo monoclonal humanizado; cadena pesada gamma1 humanizada (1-452) [VH (*Homo sapiens* IGHV1-3\*01 (83.7%) -(IGHD) -IGHJ4\*01 (100%), CDR-IMGT [8.8.15] (26-33.51-58.97-111)) (1-122) -*Homo sapiens* IGHG1\*03 (100%), G1m3, nG1m1 (CH1 R120 (219) (123-220), bisagra 1-15 (221-235), CH2 (236-345), CH3 E12 (361), M14 (363) (346-450), CHS (451-452)) (123-452)], (225-213')-disulfuro con la cadena ligera kappa humanizada (1'-213') [V-KAPPA (*Homo sapiens* IGKV3D-11\*02 (85.6%) -IGKJ1\*01 (100%), CDR-IMGT [5.3.9] (27-31.49-51.88-96)) (1'-106') -*Homo sapiens* IGKC\*01 (100%), Km3 A45.1 (152), V101 (190) (107'-213')]; dímero (231-231''-234-234'')-bisdisulfuro, producido en las células ováricas de hámster chino (CHO), línea celular CHO-K1SV, forma glicosilada alfa *immunomodulador, antineoplásico*

2484870-90-6

## Heavy chain / Chaîne lourde / Cadena pesada

```

QVQLVQSGAE VKKPGSSVKV SKRASGYTFT NYVMHWVRQA FGGGLEWMMGY 50
INFYNDDEVKY NEKFKRGRVIT TADESTSTAY MELSSLRSED TAVYYCARWG 100
YYGSPFLYFDF YWGGQGLTWTY SSASTKGFPSV FPLAPSSKST SGGTAALGCL 150
VKDYFPEPVFT VSWNSGALTS GVHTFPAVLQ SSGLYSLSSV VTPVSSSLGT 200
QTYICNVNHK PSNTKVDKRV EPKSCDRTHT CPFCPAPELL GGPSVLFEPF 250
KPKDTLMISR TPEVTCVVVD VSHEDPEVFK NWYVDGVEVH NAKTKPREEQ 300
YNSTYRVVSV LTVLHQDWLNL GKEYKCKVSN KALPAPIEKT ISKAKGQPRE 350
FQVYTLPPSR EEMTKNQVSL TCLLVKGFYPS DIAVEWESNG QFENNYKTFP 400
FVLDSDGSFF LYSKLTVDKLS RWQQGNVFCF SVMHEALHMH YTKSLSLSP 450
GK 452

```

## Light chain / Chaîne légère / Cadena ligera

```

EIVLTQSPAT LSLSPGERAT LSCRASSRLI YMHVYQQKPG QAPRPLIYAT 50
SNLASGIFAR FSGSGSGTDF TLTISSELEP DFAVYYQQQW NSNPPTFGQG 100
TKVEIKRTVA APSVFIFFPS DEQLKSGTAS VVCLLNHFYP REAKVQWQVD 150
NALQSGNSQE SVTEQDSKDS TYSLSSTLTL SKADYEKHKV YACEVTHQGL 200
SSPVTKSFNR GEC 213

```

## Post-translational modifications

Disulfide bridges location / Position des ponts disulfure / Posiciones de los puentes disulfuro

```

Intra-H (C23-C104) 22-96 149-205 266-326 372-430
                   22"-96" 149"-205" 266"-326" 372"-430"
Intra-L (C23-C104) 23'-87' 133'-193'
                   23"'-87"" 133"'-193""
Inter-H-L (h 5-CL 126) 225-213' 225"-213"
Inter-H-H (h 11, h 14) 231-231" 234-234"

```

N-terminal glutaminyl cyclization / Cyclisation du glutaminyle N-terminal / Ciclación del glutaminilo N-terminal

H VHQ1&gt; pyroglutamyl (pE, 5-oxopropyl): 1, 1"

N-glycosylation sites / Sites de N-glycosylation / Posiciones de N-glicosilación

H CH2 N84.4: 302, 302"

Fucosylated complex bi-antennary CHO-type glycans / glycanes de type CHO bi-antennaires complexes fucosylés / glicanos de tipo CHO biantenarijos complejos fucosilados.

C-terminal lysine clipping / Coupure de la lysine C-terminale / Recorte de lisina C-terminal  
H CHS K2: 452, 452"

**ifinamabum deruxtecanum #**  
ifinamab deruxtecan

immunoglobulin G1-kappa, anti-[*Homo sapiens* CD276 (B7H3, B7-H3, B7-related protein 2, B7RP2, B7RP-2, B7 homolog 3, B7 homologue 3)], humanized monoclonal antibody, conjugated to deruxtecan, comprising a linker and a camptothecin derivative; gamma1 heavy chain humanized (1-452) [VH (*Homo sapiens* IGHV1-3\*01 (83.7%) -(IGHD) -IGHJ4\*01

(100%), CDR-IMGT [8.8.15] (26-33.51-58.97-111)) (1-122) -*Homo sapiens* IGHG1\*03 (100%), G1m3, nG1m1 (CH1 R120 (219) (123-220), hinge 1-15 (221-235), CH2 (236-345), CH3 E12 (361), M14 (363) (346-450), CHS (451-452)) (123-452)], (225-213')-disulfide with kappa light chain humanized (1'-213') [V-KAPPA (*Homo sapiens* IGKV3D-11\*02 (85.6%) -IGKJ1\*01 (100%), CDR-IMGT [5.3.9] (27-31.49-51.88-96)) (1'-106') -*Homo sapiens* IGKC\*01 (100%), Km3 A45.1 (152), V101 (190) (107'-213'))]; dimer (231-231'':234-234'')-bisdisulfide, produced in Chinese hamster ovary (CHO) cells, cell line CHO-K1SV, glycoform alfa, conjugated, on an average of 4 cysteinyl, each via a thioether bond, to *deruxtecan*, comprising a linker and a camptothecin derivative.

For the *deruxtecan* part, please refer to the Proposed INN List 116, published in the WHO Drug Information, Vol.30, No.4, 2016.

*immunomodulator, antineoplastic*

ifinatamab déruxtécán

immunoglobuline G1-kappa, anti-[*Homo sapiens* CD276 (B7H3, B7-H3, protéine 2 liée à B7, B7RP2, B7RP-2, B7 homolog 3, B7 homologue 3)], anticorps monoclonal humanisé, conjugué au déruxtécán, qui comprend un linker et un dérivé de la camptothécine;

chaîne lourde gamma1 humanisée (1-452) [VH (*Homo sapiens* IGHV1-3\*01 (83.7%) -(IGHD) -IGHJ4\*01 (100%), CDR-IMGT [8.8.15] (26-33.51-58.97-111)) (1-122) -*Homo sapiens* IGHG1\*03 (100%), G1m3, nG1m1 (CH1 R120 (219) (123-220), charnière 1-15 (221-235), CH2 (236-345), CH3 E12 (361), M14 (363) (346-450), CHS (451-452)) (123-452)], (225-213')-disulfure avec la chaîne légère kappa humanisée (1'-213') [V-KAPPA (*Homo sapiens* IGKV3D-11\*02 (85.6%) -IGKJ1\*01 (100%), CDR-IMGT [5.3.9] (27-31.49-51.88-96)) (1'-106') -*Homo sapiens* IGKC\*01 (100%), Km3 A45.1 (152), V101 (190) (107'-213'))]; dimère (231-231'':234-234'')-bisdisulfure, produit dans des cellules ovariennes de hamster chinois (CHO), lignée cellulaire CHO-K1SV, glycoforme alfa, conjugué, sur une moyenne de 4 cystéinyl, chacune via une liaison thioéther, au *déruxtécán*, qui comprend un linker et un dérivé de la camptothécine.

Pour la partie déruxtécán, veuillez-vous référer à la Liste 116 des DCI proposées, publiée dans le WHO Drug Information, Vol.30, No.4, 2016.

*immunomodulateur, antinéoplasique*

ifinatamab deruxtecán

immunoglobulina G1-kappa, anti-[*Homo sapiens* CD276 (B7H3, B7-H3, proteína 2 relacionada con B7, B7RP2, B7RP-2, B7 homólogo 3, B7 homólogo 3)], anticuerpo monoclonal humanizado, conjugado con deruxtecán, que consta de un enlace y un derivado de la camptotecina;

cadena pesada gamma1 humanizada (1-452) [VH (*Homo sapiens* IGHV1-3\*01 (83.7%) -(IGHD) -IGHJ4\*01 (100%), CDR-IMGT [8.8.15] (26-33.51-58.97-111)) (1-122) -*Homo sapiens* IGHG1\*03 (100%), G1m3, nG1m1 (CH1 R120 (219) (123-220), bisagra 1-15 (221-235), CH2 (236-345), CH3 E12 (361), M14 (363) (346-450), CHS (451-452)) (123-452)], (225-213')-disulfuro con la cadena ligera kappa humanizada (1'-213') [V-KAPPA (*Homo sapiens* IGKV3D-11\*02 (85.6%) -IGKJ1\*01 (100%), CDR-IMGT [5.3.9] (27-31.49-51.88-96)) (1'-106') -*Homo sapiens* IGKC\*01 (100%), Km3 A45.1 (152), V101 (190) (107'-213'))]; dímero (231-231'':234-234'')-bisdisulfuro, producido en las células ováricas de hámster chino (CHO), línea celular CHO-K1SV, forma glicosilada alfa, conjugado, en 4 restos cisteinil por término medio, cada uno a través de un enlace tioéter, al *deruxtecán*, que consta de un enlace y un derivado de la camptotecina.

Para la parte deruxtecán, por favor vaya a la Lista 116 de los DCI propuestas, publicada en el WHO Drug Information, Vol.30, No.4, 2016.

*immunomodulador, antineoplásico*

2484870-92-8

## Heavy chain / Chaîne lourde / Cadena pesada

QVQLVQSGAE VKKPGSSVKV SCKASGYTFT NYVMHWVRQA PGQGLEWMGY 50  
 INFYNDVKY NEKFKGRVTI TADESTSTAY MELSSLRSED TAVYYCARWG 100  
 YYGSPLYYFD YWGGTLVTV SSASTKGPSV FPLAPSSKST SGGTAALGCL 150  
 VKDYFFPEVTV VSWNSGALTS GVHTFPAVLQ SSGLYSLSSV VTPSSSLGT 200  
 QTYICNVNHK PSNTKVDKRV EPKSCDKTHT CPFCPAPELL GGPSVFLFPP 250  
 KFKDTLMISR TPEVTCVVVD VSHEDPEVKF NWYVDGVEVH NAKTKPREEQ 300  
 YNSTYRVVSV LTVLHGDWLN GKEYKCKVSN KALPAPIEKT ISKAKGQPRE 350  
 PQVYTLPPSR EEMTKNQVSL TCLVKGFYPS DIAVEWESNG QPENNYKTPP 400  
 PVLDSGDSFF LYSKLTVDKDS RWQQGNVFSC SVMHEALHNH YTQKSLSLSP 450  
 GK 452

## Light chain / Chaîne légère / Cadena ligera

EIVLTQSPAT LSLSPGERAT LSCRASRLI YMHVYQKQPG QAPRPLIYAT 50  
 SNLASGIPAR FSGSGSSTDF TLTISSELEP DFAYVYCCQW NSNPPTFGQG 100  
 TKVEIKRTVA APSVFIFPPS DEQLKSGTAS VVCLLNHFYP REAKVQWKVD 150  
 NALQSGNSQE SVTEQDSKDS TYSLSSLTLL SKADYEKHKV YACEVTHQGL 200  
 SSPVTKSFNR GEC 213

## Post-translational modifications

Disulfide bridges location / Position des ponts disulfure / Posiciones de los puentes disulfuro

Intra-H (C23-C104) 22-96 149-205 266-326 372-430  
 22"-96" 149"-205" 266"-326" 372"-430"

Intra-L (C23-C104) 23"-87" 133"-193"  
 23"-87" 133"-193"

Inter-H-L (h 5-CL 126)\* 225-213' 225"-213"

Inter-H-H (h 11, h 14)\* 231-231' 234-234"

\*The four inter-chain disulfide bridges are not present, an average of 4 cysteinyl being conjugated each via a thioether bond to a drug linker.

\*Les quatre ponts disulfures inter-chaînes ne sont pas présents, 4 cystéinyl en moyenne étant chacun conjugué via une liaison thioéther à un linker-principe actif.

\*Faltan los cuatro puentes disulfuro inter-catenarios, una media de 4 cisteinil está conjugada a conectores de principio activo.

N-terminal glutaminyl cyclization / Cyclisation du glutaminyle N-terminal / Ciclación del glutaminilo N-terminal

H VH Q1 > pyroglutamyl (pE, 5-oxoprolyl): 1, 1"

N-glycosylation sites / Sites de N-glycosylation / Posiciones de N-glicosilación

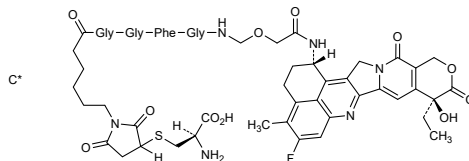
H CH2 N84.4: 302, 302"

Fucosylated complex bi-antennary CHO-type glycans / glycanes de type CHO bi-antennaires complexes fucosylés / glicanos de tipo CHO biantennarios complejos fucosilados.

C-terminal lysine clipping / Coupure de la lysine C-terminale / Recorte de lisina C-terminal

H CHS K2: 452, 452"

Potential modified residues / résidus modifiés potentiels / restos modificados potenciales



## imlunestrantum

imlunestrant

(5*R*)-5-(4-{2-[3-(fluoromethyl)azetidín-1-yl]ethoxy}fenil)-8-(trifluorometil)-5*H*-[1]benzopirano[4,3-*c*]quinolin-2-ol  
*antiestrógeno, antineoplástico*

imlunestrant

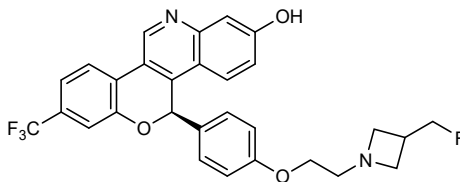
(5*R*)-5-(4-{2-[3-(fluorométil)azétidín-1-yl]éthoxy}phényl)-8-(trifluorométil)-5*H*-[1]benzopirano[4,3-*c*]quinoléin-2-ol  
*anti-œstrogène, antinéoplasique*

imlunestrant

(5*R*)-5-(4-{2-[3-(fluorometil)azetidín-1-*il*]etoxi}fenil)-8-(trifluorometil)-5*H*-[1]benzopirano[4,3-*c*]quinolein-2-ol  
*antiestrógeno, antineoplástico*

C<sub>29</sub>H<sub>24</sub>F<sub>4</sub>N<sub>2</sub>O<sub>3</sub>

2408840-26-4

**imvotamabum #**

imvotamab

immunoglobulin M-kappa cyclic pentamer bisdisulfide with a fused scFv -JCHAIN (joining chain of multimeric IgA and IgM) -ALB (albumin) chain, anti-[*Homo sapiens* MS4A1 (membrane-spanning 4-domains subfamily A member 1, CD20)] (decavalent) and anti-[*Homo sapiens* CD3E (CD3e, CD3 epsilon)] (monovalent), monoclonal antibody, bispecific; mu heavy chain anti-MS4A1 (1-575) [VH (*Homo sapiens* IGHV5-51\*01 (99.0%) -(IGHD) -IGHJ4\*01 (100%), CDR-IMGT [8.8.15] (26-33.51-58.97-111)) (1-122) -*Homo sapiens* IGHM\*03 (CH1 (123-226), CH2 (227-338), CH3 (339-444), CH4 (445-555), CH5 (556-575)) (123-575)], (136-219')-disulfide with kappa light chain anti-MS4A1 (1'-219') [V-KAPPA (*Homo sapiens* IGKV2-24\*01 (98.0%) -IGKJ4\*01 (100%), CDR-IMGT [11.3.9] (27-37.55-57.94-102)) (1'-112') -*Homo sapiens* IGKC\*01 (100%), Km3 A45.1 (158), V101 (196) (113'-219')]; dimer (336-336":413-413")-bisdisulfide, 5 [ $\mu$ \_kappa]2 dimers forming a cyclic pentamer, disulfide 4 x (574"-574), and 1x (574"-271""-325""-574)-bisdisulfide with scFv-JCHAIN-ALB (1""-993"")) [scFv heavy-kappa anti-CD3E (1""-241"")) [VH *Mus musculus*/Homsap (*Mus musculus* IGHV1-4\*01 (83.7%) -(IGHD) -IGHJ3\*01 (92.9%) A128>S (120)/*Homo sapiens* IGHV1-46\*04 (82.7%) -(IGHD) -IGHJ4\*01 (92.9%), CDR-IMGT [8.8.13] (26-33.51-58.97-109)) (1""-120"")) -15-mer tris(tetraglycyl-seryl) linker (121""-135"")) -V-KAPPA (*Homo sapiens* IGKV1-39\*01 (86.3%) -IGKJ4\*01 (100%), CDR-IMGT [5.3.9] (162-166.184-186.223-231)) (136""-241"")) -15-mer tris(tetraglycyl-seryl) linker (242""-256"")) -JCHAIN (257""-393"")) -15-mer tris(tetraglycyl-seryl) linker (394""-408"")) -*Homo sapiens* ALB (albumin) (409""-993"")], produced in Chinese hamster ovary (CHO) cells, derived from CHO-K1 cell line, lacking the glutamine synthetase (GS-KO) gene, glycoform alfa *immunomodulator, antineoplastic*

imvotamab

immunoglobuline M-kappa pentamère cyclique bisdisulfure avec une chaîne fusionnée scFv -JCHAIN (chaîne de jonction des IgA et IgM multimériques) -ALB (albumine), anti-[*Homo sapiens* MS4A1 (membre 1 de la sous-famille A à 4 domaines transmembranaires, CD20)] (décavalent) et anti-[*Homo sapiens* CD3E (CD3e, CD3 epsilon)] (monovalent), anticorps monoclonal, bispécifique;

chaîne lourde mu anti-MS4A1 (1-575) [VH (*Homo sapiens* IGHV5-51\*01 (99.0%) -(IGHD) -IGHJ4\*01 (100%), CDR-IMGT [8.8.15] (26-33.51-58.97-111)) (1-122) -*Homo sapiens*IGHM\*03 (CH1 (123-226), CH2 (227-338), CH3 (339-444), CH4 (445-555), CHS (556-575)) (123-575)], (136-219')-disulfure avec la chaîne légère kappa anti-MS4A1 (1'-219') [V-KAPPA (*Homo sapiens* IGKV2-24\*01 (98.0%) -IGKJ4\*01 (100%), CDR-IMGT [11.3.9] (27-37.55-57.94-102)) (1'-112') -*Homo sapiens* IGKC\*01 (100%), Km3 A45.1 (158), V101 (196) (113'-219')]; dimère (336-336":413-413")-bisdisulfure, 5 dimères [mu\_kappa]2 formant un pentamère cyclique disulfure 4x (574"-574) et 1x (574-271""":325""":574")-bisdisulfure avec la protéine de fusion scFv-JCHAIN-ALB (1""":993""") [scFv heavy-kappa anti-CD3E (1""":241""") [VH Musmus/Homsap (*Mus musculus* IGHV1-4\*01 (83.7%) -(IGHD) -IGHJ3\*01 (92.9%) A128>S (120)/*Homo sapiens* IGHV1-46\*04 (82.7%) -(IGHD) -IGHJ4\*01 (92.9%), CDR-IMGT [8.8.13] (26-33.51-58.97-109)) (1""":120""") -15-mer tris(tétraglycyl-séryl) linker (121""":135""") -V-KAPPA (*Homo sapiens* IGKV1-39\*01 (86.3%) -IGKJ4\*01 (100%), CDR-IMGT [5.3.9] (162-166.184-186.223-231)) (136""":241""") -15-mer tris(tétraglycyl-séryl) linker (242""":256""") -JCHAIN (257""":393""") -15-mer tris(tétraglycyl-séryl) linker (394""":408""") -*Homo sapiens* ALB (albumine) (409""":993""")], produit dans des cellules ovariennes de hamster chinois (CHO), dérivant de la lignée cellulaire CHO-K1, ne présentant pas le gène de la glutamine synthétase (GS-KO), glycoforme alfa  
*immunomodulateur, antinéoplasique*

imvotamab

inmunoglobulina M-kappa pentámero cíclico bisdisulfuro con una cadena fusionada scFv -JCHAIN (cadena de unión de las IgA e IgM multiméricas) -ALB (albúmina), anti-[*Homo sapiens* MS4A1 (miembro 1 de la subfamilia A con 4 dominios transmembranarios, CD20)] (decaivalente) y anti-[*Homo sapiens* CD3E (CD3e, CD3 épsilon)] (monovalente), anticuerpo monoclonal, biespecífico;  
cadena pesada mu anti-MS4A1 (1-575) [VH (*Homo sapiens* IGHV5-51\*01 (99.0%) -(IGHD) -IGHJ4\*01 (100%), CDR-IMGT [8.8.15] (26-33.51-58.97-111)) (1-122) -*Homo sapiens*IGHM\*03 (CH1 (123-226), CH2 (227-338), CH3 (339-444), CH4 (445-555), CHS (556-575)) (123-575)], (136-219')-disulfuro con la cadena ligera kappa anti-MS4A1 (1'-219') [V-KAPPA (*Homo sapiens* IGKV2-24\*01 (98.0%) -IGKJ4\*01 (100%), CDR-IMGT [11.3.9] (27-37.55-57.94-102)) (1'-112') -*Homo sapiens* IGKC\*01 (100%), Km3 A45.1 (158), V101 (196) (113'-219')]; dímero (336-336":413-413")-bisdisulfuro, 5 dímeros [mu\_kappa]2 formando un pentámero cíclico disulfuro 4x (574"-574) et 1x (574-271""":325""":574")-bisdisulfuro con la proteína de fusión scFv-JCHAIN-ALB (1""":993""") [scFv pesado-kappa anti-CD3E (1""":241""") [VH Musmus/Homsap (*Mus musculus* IGHV1-4\*01 (83.7%) -(IGHD) -IGHJ3\*01 (92.9%) A128>S (120)/*Homo sapiens* IGHV1-46\*04 (82.7%) -(IGHD) -IGHJ4\*01 (92.9%), CDR-IMGT [8.8.13] (26-33.51-58.97-109)) (1""":120""") -15-mer tris(tetraglicil-seril) linker (121""":135""") -V-KAPPA (*Homo sapiens* IGKV1-39\*01 (86.3%) -IGKJ4\*01 (100%), CDR-IMGT [5.3.9] (162-166.184-186.223-231)) (136""":241""") -15-mer tris(tetraglicil-seril) linker (242""":256""") -JCHAIN (257""":393""") -15-mer tris(tetraglicil-seril) linker (394""":408""") -*Homo sapiens* ALB (albúmina) (409""":993""")], producido en las células ováricas de hámster chino (CHO), línea celular derivada de CHO-K1, en ausencia del gen glutamina sintetasa (GS-KO), forma glicosilada alfa  
*immunomodulador, antineoplásico*

2573121-53-4

Heavy chain / Chaîne lourde / Cadena pesada (anti-MS4A1) (x10)

EVQLVQSGAE	VKKPGESE	LKISCK	SGSYST	SYWIGWVR	QMPGK	GLEWMI	50
IYPGDS	STRYSP	SFQQT	VIADKSI	TAYLQW	SSLKASD	TAMYCAR	100
SYGSGSP	NFDY	WGQTL	LVTVSS	SGSASAP	TLFPLV	SCENSP	150
LAQDFL	PDSIT	FSWKY	KMNSDIS	STRGFP	SLRGGK	YAAT	200
MQGTD	DEHV	CVQHP	NGNKE	KNVPL	PVIAE	LPPKVS	250
KSKLIC	QATG	FSPRQ	IQVSW	LREGK	QVSG	VTTDQ	300
TSLLTI	KESD	WLSQ	SMTFCR	VDRH	GLTFQ	NASSMC	350
PSFAS	IFLTR	STKL	TLCTVD	LTTYD	SVTIS	WTRNGE	400
NATFSA	VGAE	SICED	DWNSG	ERFCT	CVTHT	DLPS	450
PDVYLL	PPAR	EQLNL	RESAT	ITCL	VTFGSP	ADV	500
TSAPMP	EPQA	PGRY	FAHSIL	TVSE	EENW	ET	550
VDRSTG	KPTL	YNV	SLVMS	DTAG	TCY		575

Light chain / Chaîne légère / Cadena ligera (anti-MS4A1) (x10)

DIVMTQ	TPLS	SPVTL	GQPAS	ISCRSS	QSLV	YSDG	NTYLS	LQQR	PGQPP	50
LLIYKIS	SNRF	SGV	DRFSG	GAGT	DFTLKI	SRVEA	EDVGV	YVCQ	ATQFP	100
LTFGGG	TKVE	IKRT	VAAPS	FIFPP	SDEQL	KSGTAS	VVCL	LNNFY	PREAK	150
VQWKV	DNALQ	SGNS	QESVTE	QDSK	DSTYSL	SSTL	TL	TKAD	YE	200
VTHQGL	SSPV	TKS	FN	RGE	C					219

Joining chain / Chaîne de jonction / Cadena de unión scFv (anti-CD3E)-JCHAIN-ALB (x1)

QVQLVQSGAE	VKKPGAS	VKVC	SKASGY	TFISY	TMHV	WRQAP	GGLEW	MI	50
INPRSGY	THY	NQK	LKDKATL	TADK	SASTAY	MELSSL	RSE	D	100
YYDYD	GFAYW	GGT	LVTVSS	GGGG	GGGG	GGGG	SDI	QMT	150
GDRVTI	TCSA	SSSV	SYMNY	QKPK	GAPKR	LIYD	TSKLAS	GV	200
SGTDF	TLTIS	SLQ	PEDFATY	YCQ	WNSNPP	TFGG	T	250	
SGGGG	QRDE	RIVL	V	300					
NNRENI	SDPT	SPLR	TRFVYH	LS	D	350			
DSATET	CTCYT	DRNK	CYTAVV	PLV	YGG	400			
GGSGGG	S	450							
VNEVTE	FAK	CV	400						
KQEPER	NECF	LQHK	DDPNL	FR	LV	500			
ARRHP	FYAP	ELL	FAKRYK	AA	TE	600			
SAKQL	RK	650							
TECCH	GD	700							
VENDE	750								
VVLL	800								
ELFQ	850								
AKR	900								
VDE	950								
QLK	993								

Post-translational modifications

Disulfide bridges location / Position des ponts disulfure / Posiciones de los puentes disulfuro

Intra-H (C23-C104) (10x5=50)	22-96	150-210	256-319	366-425	473-535
	22"-96"	150"-210"	256"-319"	366"-425"	473"-535"
Intra-L (C23-C104) (4x5=20)	23-93'	139-199'			
	23"-93"	139"-199"			
Intra-J (C23-C104) (2)	22"-96"	158"-222"			
Intra-J (JCHAIN) (3)	269"-357"	328"-348"	365"-390"		
Intra-J (ALB) (17)	461"-470"	483"-499"	498"-509"	532"-577"	576"-585"
	608"-654"	653"-661"	673"-687"	686"-697"	724"-769"
	768"-777"	800"-846"	845"-856"	869"-885"	884"-895"
	922"-967"	966"-975"			
Inter-H-L (CH1 10-CL 126) (2x5=10)	136-219"	136-219"			
Inter-H-H (CH2 125, CH3 92) (2x5=10)	336-336"	413-413"			
Inter-H-H (CHS 147) (4)	574"-574				
Inter-H-J (CHS 147-J) (J-CHS 147) (2)	574"-271"	325"-574			
Total:	118	S-S			

N-terminal glutaminyl cyclization / Cyclisation du glutaminyle N-terminal / Ciclación del glutaminilo N-terminal  
 J scFv VH Q1 > pyroglutamyl (pE, 5-oxoprolyl): 1"

N-glycosylation sites / Sites de N-glycosylation / Posiciones de N-glicosilación  
 H CH1 N45, CH2 N120, CH3 N81 (6 per dimer): 168, 331, 394, 168", 331", 394"  
 J JCHAIN (1x): 305"

Fucosylated complex bi-antennary CHO-type glycans / glycanes de type CHO bi-antennaires complexes fucosylés / glicanos de tipo CHO biantenaricos complejos fucosilados.  
 H CH3 N84.4, CHS N135 (4 per dimer): 401, 562, 401", 562"  
 High mannose glycans / glycanes riche en mannose / glicanos ricos en manosa

inezetamabum #  
 inezetamab

immunoglobulin G1-scFv\_L-lambda2 dimer, anti-[*Homo sapiens* CD40 (tumor necrosis factor receptor superfamily member 5, TNFRSF5)] and anti-[*Homo sapiens* MSLN (mesothelin, pre-pro-megakaryocyte-potentiating factor, megakaryocyte-potentiating factor, MPF, CAK1)], *Homo sapiens* monoclonal antibody, tetravalent, bispecific;

G1-scFv fused chain *Homo sapiens* (1-698) [gamma1 heavy chain anti-CD40 *Homo sapiens* (1-448) [VH (*Homo sapiens* IGHV3-23\*01 (93.9%) -(IGHD) -IGHJ4\*01 (100%), CDR-IMGT [8.8.13] (26-33.51-58.97-109)) (1-120) -*Homo sapiens* IGHG1\*03v, G1m3>G1m17, nG1m1, G1v30 CH2 N84.4>G (CH1 R120>K (217) (121-218), hinge 1-15 (219-233), CH2 R83>C (295), N84.4>G (300), V85>C (305) (234-343), CH3 E12 (359), M14 (361) (344-448), CHS>del)] (121-448)] -10-mer bis(tetraglycyl-seryl) linker (449-458) -scFv heavy-kappa anti-MSLN *Homo sapiens* (459-698) [VH (*Homo sapiens* IGHV3-11\*01 (93.9%) G49>C -(IGHD) -IGHJ4\*01 (93.3%), CDR-IMGT [8.8.10] (484-491.509-516.555-564)) (459-575) -15-mer tris(tetraglycyl-seryl) linker (576-590) -V-KAPPA (*Homo sapiens* IGKV1-12\*01 (93.7%) -IGKJ1\*01 (90.9%) Q120>C (690), CDR-IMGT [6.3.9] (617-622.640-642.679-687)) (591-698)], (223-216')-disulfide with lambda2 light chain anti-CD40 *Homo sapiens* (1'-217') [V-LAMBDA (*Homo sapiens* IGLV2-14\*01 (90.8%) -IGLJ2\*01 (91.7%), CDR-IMGT [9.3.11] (26-34.52-54.91-101)) (1'-111') -*Homo sapiens* IGLC2\*01 (100%) (112'-217')]; dimer (229-229":232-232")-bisdisulfide, produced in Chinese hamster ovary (CHO) cells, non-glycosylated  
*immunomodulator, antineoplastic*

inézétamab

immunoglobuline G1-scFv\_L-lambda2 dimère, anti-[*Homo sapiens* CD40 (membre 5 de la superfamille des récepteurs du TNF, TNFRSF5)] and anti-[*Homo sapiens* MSLN (mésothéline, facteur de potentialisation du pré-pro-mégacaryocyte, facteur de potentialisation des mégacaryocytes, MPF, CAK1)], anticorps monoclonal *Homo sapiens*, tétravalent, bispécifique;  
chaîne lourde fusionnée G1-scFv *Homo sapiens* (1-698) [gamma1 anti-CD40 *Homo sapiens* (1-448) [VH (*Homo sapiens* IGHV3-23\*01 (93.9%) -(IGHD) -IGHJ4\*01 (100%), CDR-IMGT [8.8.13] (26-33.51-58.97-109)) (1-120) -*Homo sapiens* IGHG1\*03v, G1m3>G1m17, nG1m1, G1v30 CH2 N84.4>G (CH1 R120>K (217) (121-218), charnière 1-15 (219-233), CH2 R83>C (295), N84.4>G (300), V85>C (305) (234-343), CH3 E12 (359), M14 (361) (344-448), CHS>del)] (121-448)] -10-mer bis(tétraglycyl-séryl) linker (449-458) -scFv heavy-kappa anti-MSLN *Homo sapiens* (459-698) [VH (*Homo sapiens* IGHV3-11\*01 (93.9%) G49>C -(IGHD) -IGHJ4\*01 (93.3%), CDR-IMGT [8.8.10] (484-491.509-516.555-564)) (459-575) -15-mer tris(tétraglycyl-séryl) linker (576-590) -V-KAPPA (*Homo sapiens* IGKV1-12\*01 (93.7%) -IGKJ1\*01 (90.9%) Q120>C (690), CDR-IMGT [6.3.9] (617-622.640-642.679-687)) (591-698)], (223-216')-disulfure avec la chaîne légère lambda2 anti-CD40 *Homo sapiens* (1'-217') [V-LAMBDA (*Homo sapiens* IGLV2-14\*01 (90.8%) -IGLJ2\*01 (91.7%), CDR-IMGT [9.3.11] (26-34.52-54.91-101)) (1'-111') -*Homo sapiens* IGLC2\*01 (100%) (112'-217')]; dimère (229-229":232-232")-bisdisulfure, produit dans des cellules ovariennes de hamster chinois (CHO), non-glycosylé  
*immunomodulateur, antinéoplasique*



inezetamab

inmunoglobulina G1-scFv<sub>L</sub>-lambda2 dímero, anti-[*Homo sapiens* CD40 (miembro 5 de la superfamilia de los receptores del TNF, TNFRSF5)] y anti-[*Homo sapiens* MSLN (mesotelina, factor de potenciación del pre-pro-megacariocito, factor de potenciación de los megacariocitos, MPF, CAK1)], anticuerpo monoclonal *Homo sapiens*, tetravalente, biespecífico; cadena pesada fusionada G1-scFv *Homo sapiens* (1-698) [gamma1 anti-CD40 *Homo sapiens* (1-448) [VH (*Homo sapiens* IGHV3-23\*01 (93.9%) -(IGHD) -IGHJ4\*01 (100%), CDR-IMGT [8.8.13] (26-33.51-58.97-109)) (1-120) -*Homo sapiens* IGHG1\*03v, G1m3>G1m17, nG1m1, G1v30 CH2 N84.4>G (CH1 R120>K (217) (121-218), bisagra 1-15 (219-233), CH2 R83>C (295), N84.4>G (300), V85>C (305) (234-343), CH3 E12 (359), M14 (361) (344-448), CHS>del)] (121-448)] -10-mer bis(tetraglicil-seril) linker (449-458) -scFv pesada-kappa anti-MSLN *Homo sapiens* (459-698) [VH (*Homo sapiens* IGHV3-11\*01 (93.9%) G49>C -(IGHD) -IGHJ4\*01 (93.3%), CDR-IMGT [8.8.10] (484-491.509-516.555-564)) (459-575) -15-mer tris(tetraglicil-seril) linker (576-590) -V-KAPPA (*Homo sapiens* IGKV1-12\*01 (93.7%) -IGKJ1\*01 (90.9%) Q120>C (690), CDR-IMGT [6.3.9] (617-622.640-642.679-687)) (591-698)], (223-216')-disulfuro con la cadena ligera lambda2 anti-CD40 *Homo sapiens* (1'-217') [V-LAMBDA (*Homo sapiens* IGLV2-14\*01 (90.8%) -IGLJ2\*01 (91.7%), CDR-IMGT [9.3.11] (26-34.52-54.91-101)) (1'-111') -*Homo sapiens* IGLC2\*01 (100%) (112'-217')]; dímero (229-229":232-232")-bisdisulfuro, producido en las células ováricas de hámster chino (CHO), no glicosilado  
*inmunomodulador, antineoplásico*

2568264-76-4

Heavy chain / Chaîne lourde / Cadena pesada (anti-CD40, anti-MSLN)  
 EVQLLESGGG LVQPGGSLRL SCAASGFTFS RNAMSWVRQA PGKGLEWVSA 50  
 TGGSGISTYY ADSVKRGRFTI SRDNSKNTLY LQMNLSRAED TAVYVCARGY 100  
 SNSWVYFDYW GQGLTVTVSS ASTKGPSVFP LAPSSKSTSG GTAALGCLVK 150  
 DYDFEPVTVS WNSGALTSKV HTFPAVLQSS GLYSLSSVVT VPSSSLGQT 200  
 IYCNVNHKPS NTKVDKVEP KSCDKTHTCP PCPAPPELLGG PSVPLFPPPK 250  
 KDTLMIISRTPEVTCVVVDVSDVSDPEVFKNW YVDGVEVHNA KTKPCEEQYG 300  
 STYRCVSVLT VLRHGDWLNK EYKCKVSNKA LPAPIEKTIS KAKGQPREPQ 350  
 VYTLPPSREE MTRNQVSLTCLVKIGFVPSDI AVEWESNGQP ENNYKTTTPV 400  
 LDDSGSFFLY SKLTVDKSRW QQGNVFSCSV MHEALHNHYT QKSLSLSPGG 450  
 GGGSGGGGQVQLVESGGLV KPGGSLRLSC AASGFTFSDY YMSWIRQAPG 500  
 KCLEWISYIS SSESIIYYVD AVKGRFTISR DNANKSLYLQ MNSLRAEDTA 550  
 VYVYCARDVGS HFDYWGQGTLLVTVSSGGGGG GGGSGGGGGG DIQMTQSPFS 600  
 VASAVGDRVTITCRASQDISRWLANYQQKPKGAKPKLLISA ASRLQSGVPS 650  
 RFGSGSGRDTFTLTISSLQPEDFAIYYCQQAKSFRPTFGC GTKVEIKR 698

Light chain / Chaîne légère / Cadena ligera (anti-CD40)  
 QSALTQPASVSGSPGQSITI SCTGTSSDVG NYNLVSNVYQQ HPGKAPKLM 50  
 FEVNRQPSGVSNRFGSKSG TIASLTISGLQAAD EADYFCSSYTTSTSYV 100  
 IFGGGKTLTVLGGPKAAFSVTLFPPSSEELQANKATLVCLISDFYPGAVT 150  
 VAWKADSPV KAGVETTPSKQSNKNAAS SYLSLTPEQW KHSRYSYSCV 200  
 THEGSTVEKT VAPTECS 217

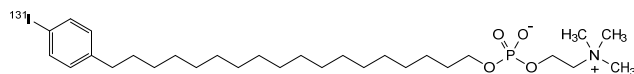
**Post-translational modifications**  
 Disulfide bridges location / Position des ponts disulfure / Posiciones de los puentes disulfuro  
 Intra-H (C23-C104) 22-96 147-203 264-324 370-428 480-554 613-678  
 22"-96" 147"-203" 264"-324" 370"-428" 480"-554" 613"-678"  
 CH2 C83-C85 295-305 295"-305"  
 scFv VH C49-VL C120 502-690 502"-690"  
 Intra-L (C23-C104) 22"-90" 139"-198"  
 22"-90" 139"-198"  
 Inter-H-L (h 5-CL 126) 223-216" 223"-216"  
 Inter-H-H (h 11, h 14) 229-229" 232-232"

N-terminal glutaminyl cyclization / Cyclisation du glutaminyle N-terminal / Ciclación del glutaminilo N-terminal  
 L VL Q1 > pyroglutamyI (pE, 5-oxopropyl): I', I"

N-glycosylation sites / Sites de N-glycosylation / Posiciones de N-glicosilación  
 H CH2 N84.4>G (G1v30): 300, 300"  
 Aglycosylated / aglycosylé / aglicosilado

**iopofosinum** (<sup>131</sup>I)iopofosine (<sup>131</sup>I)18-[4-(<sup>131</sup>I)iodophenyl]octadecyl 2-(trimethylazaniumyl)ethyl  
*antineoplastique*iopofosine (<sup>131</sup>I)phosphate de 18-[4-(<sup>131</sup>I)iodophényl]octadécyle et de  
2-(triméthylazaniumyl)éthyle  
*antineoplasique*iopofosina (<sup>131</sup>I)fosfato de 18-[4-(<sup>131</sup>I)iodofenil]octadecilo y de  
2-(trimetilazaniumil)etilo  
*antineoplásico*C<sub>29</sub>H<sub>53</sub><sup>131</sup>INO<sub>4</sub>P

873438-88-1

**iruplinalkibum**

iruplinalkib

[2-({5-chloro-2-[2-methoxy-4-(9-methyl-3,9-diazaspiro[5.5]undecan-3-yl)anilino]pyrimidin-4-yl}amino)phenyl]dimethyl-λ<sup>5</sup>-phosphanone  
*tyrosine kinase inhibitor, antineoplastique*

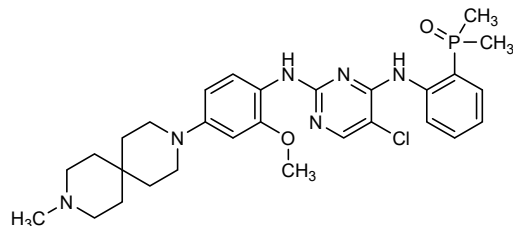
iruplinalkib

[2-({5-chloro-2-[2-méthoxy-4-(9-méthyl-3,9-diazaspiro[5.5]undécán-3-yl)anilino]pyrimidin-4-yl}amino)phényl]diméthyl-λ<sup>5</sup>-phosphanone  
*inhibiteur de la tyrosine kinase, antinéoplasique*

iruplinalkib

[2-({5-cloro-2-[4-(9-metil-3,9-diazaspiro[5.5]undecan-3-il)-2-metoxianilino]pirimidin-4-il}amino)fenil]dimetil-λ<sup>5</sup>-fosfanona  
*inhibidor de la tirosina kinasa, antineoplásico*C<sub>29</sub>H<sub>38</sub>ClN<sub>6</sub>O<sub>2</sub>P

1854943-32-0

**ispectamabum debotansinum** #

ispectamab debotansine

immunoglobulin G1-kappa, anti-[*Homo sapiens* TNFRSF17 (TNF receptor superfamily member 17, tumor necrosis factor receptor superfamily, member 17, B cell maturation antigen, BCMA, BCM, TNFRSF13A, CD269)], humanized monoclonal antibody, conjugated at C-4 of four specific phenylalanine residues with N<sup>ε</sup>-deacetylmaytansine via a noncleavable linker; gamma1 heavy chain humanized (1-453) [VH (*Homo sapiens* IGHV3-66\*01 (82.7%) -(IGHD) -IGHJ4\*01 (92.9%), CDR-IMGT [8.8.15] (27-34.52-59.98-112)) (1-123) -*Homo sapiens* IGHG1\*03v, G1m3>G1m17, nG1m1 (CH1 Y85.2>F (pAMF) (186), R120>K (220) (124-221), hinge 1-15 (222-236), CH2 (237-346), CH3 E12 (362), M14 (364), F85.2>F (pAMF) (410) (347-451), CHS (452-453)) (124-453)], (226-215')-disulfide with kappa light chain

- chain humanized (1'-215') [V-KAPPA (*Homo sapiens* IGKV1-39\*01 (84.2%) -IGKJ1\*01 (100%), CDR-IMGT [6.3.9] (28-33.51-53.90-98)) (1'-108') -*Homo sapiens* IGKC\*01 (100%), Km3 A45.1 (154), V101 (192) (109'-215'))]; dimer (232-232'':235-235'')-bisdisulfide, produced by a cell-free protein synthesis system based on *Escherichia coli* lysate, non-glycosylated, substituted at C-4 of the L-phenylalanyl residues 186, 410, 186" and 410" with {8-[(2S)-1-[[[(1<sup>4</sup>S,1<sup>6</sup>S,2R,3<sup>2</sup>S,3<sup>3</sup>S,4S,10E,12E,14R)-8<sup>6</sup>-chloro-1<sup>4</sup>-hydroxy-8<sup>5</sup>,14-dimethoxy-2,3<sup>3</sup>,7,10-tetramethyl-1<sup>2</sup>,6-dioxo-7-aza-1(6,4)-[1,3]oxazinana-3(2,3)-oxirana-8(1,3)-benzenacyclotetradecaphane-10,12-dien-4-yl]oxy]-2,3,9-trimethyl-1,4,8,24-tetraoxo-12,15,18,21-tetraoxa-3,9,25-triazaoctacosan-28-oyl]-8,9-dihydro-1*H*(or 3*H*)-dibenzo[*b,f*][1,2,3]triazolo[4,5-*d*]azocin-1(or 3)-yl]methyl (*debotansine*) groups  
*immunomodulator, antineoplastic*
- ispectamab débotansine immunoglobuline G1-kappa, anti-[*Homo sapiens* TNFRSF17 (membre 17 de la superfamille des récepteurs du TNF, membre 17 de la superfamille des récepteurs du facteur de nécrose tumorale, antigène de maturation de cellule B, BCMA, BCM, TNFRSF13A, CD269)], anticorps monoclonal humanisé, conjugué en C-4 de quatre résidus phénylalanine spécifiques avec N<sup>2</sup>-déacétylmaitansine via un linker non-clivable; chaîne lourde gamma1 humanisée (1-453) [VH (*Homo sapiens*IGHV3-66\*01 (82.7%) -(IGHD) -IGHJ4\*01 (92.9%), CDR-IMGT [8.8.15] (27-34.52-59.98-112)) (1-123) -*Homo sapiens*IGHG1\*03v, G1m3>G1m17, nG1m1 (CH1 Y85.2>F (pAMF) (186), R120>K (220) (124-221), charnière 1-15 (222-236), CH2 (237-346), CH3 E12 (362), M14 (364), F85.2>F (pAMF) (410) (347-451), CHS (452-453)) (124-453)], (226-215')-disulfure avec la chaîne légère kappa humanisée (1'-215') [V-KAPPA (*Homo sapiens* IGKV1-39\*01 (84.2%) -IGKJ1\*01 (100%), CDR-IMGT [6.3.9] (28-33.51-53.90-98)) (1'-108') -*Homo sapiens* IGKC\*01 (100%), Km3 A45.1 (154), V101 (192) (109'-215'))]; dimère (232-232'':235-235'')-bisdisulfure, produit par un système acellulaire de synthèse de protéines à base de lysat d'*Escherichia coli*, non-glycosylé, substitué en C-4 des résidus L-phénylalanyle 186, 410, 186" et 410" par des groupes {8-[(2S)-1-[[[(1<sup>4</sup>S,1<sup>6</sup>S,2R,3<sup>2</sup>S,3<sup>3</sup>S,4S,10E,12E,14R)-8<sup>6</sup>-chloro-1<sup>4</sup>-hydroxy-8<sup>5</sup>,14-diméthoxy-2,3<sup>3</sup>,7,10-tétraméthyl-1<sup>2</sup>,6-dioxo-7-aza-1(6,4)-[1,3]oxazinana-3(2,3)-oxirana-8(1,3)-benzénacyclotétradécaphane-10,12-dièn-4-yl]oxy]-2,3,9-triméthyl-1,4,8,24-tétraoxo-12,15,18,21-tétraoxa-3,9,25-triazaoctacosan-28-oyl]-8,9-dihydro-1*H*(ou 3*H*)-dibenzo[*b,f*][1,2,3]triazolo[4,5-*d*]azocin-1(or 3)-yl]méthyle (*débotansine*)  
*immunomodulateur, antinéoplasique*
- ispectamab debotansina inmunoglobulina G1-kappa, anti-[*Homo sapiens* TNFRSF17 (miembro 17 de la superfamilia de los receptores del TNF, miembro 17 de la superfamilia de los receptores del factor de necrosis tumoral, antígeno de maduración de célula B, BCMA, BCM, TNFRSF13A, CD269)], anticuerpo monoclonal humanizado, conjugado en C-4 de cuatro residuos fenilalanina específicos con N<sup>2</sup>-deacetilmaitansina a través de un enlace no escindible; cadena pesada gamma1 humanizada (1-453) [VH (*Homo sapiens*IGHV3-66\*01 (82.7%) -(IGHD) -IGHJ4\*01 (92.9%), CDR-IMGT [8.8.15] (27-34.52-59.98-112)) (1-123) -*Homo sapiens*IGHG1\*03v, G1m3>G1m17, nG1m1 (CH1 Y85.2>F (pAMF) (186), R120>K (220) (124-221), bisagra 1-15 (222-236), CH2 (237-346), CH3 E12 (362), M14 (364), F85.2>F (pAMF) (410) (347-451), CHS (452-453)) (124-453)], (226-215')-disulfuro con la cadena

ligera kappa humanizada (1'-215') [V-KAPPA (*Homo sapiens* IGKV1-39\*01 (84.2%) -IGKJ1\*01 (100%), CDR-IMGT [6.3.9] (28-33,51-53,90-98)) (1'-108') -*Homo sapiens* IGKC\*01 (100%), Km3 A45.1 (154), V101 (192) (109'-215')]; dímero (232-232":235-235")-bisdisulfuro, producido por un sistema de síntesis de proteínas sin células basado en lisado de *Escherichia coli*, no glicosilado, sustituido en C-4 de los residuos de L-fenilalanilo 186, 410, 186" y 410" con grupos {8-[(2S)-1-{{(1<sup>4</sup>S,1<sup>6</sup>S,2R,3<sup>2</sup>S,3<sup>3</sup>S,4S,10E,12E,14R)-8<sup>6</sup>-cloro-1<sup>4</sup>-hidroxi-2,3<sup>3</sup>,7,10-tetrametil-8<sup>5</sup>,14-dimetoxi-1<sup>2</sup>,6-dioxo-7-aza-1(6,4)-[1,3]oxazinana-3(2,3)-oxirana-8(1,3)-bencenociclotetradecafano-10,12-dien-4-il]oxi}-2,3,9-trimetil-1,4,8,24-tetraoxo-12,15,18,21-tetraoxa-3,9,25-triazaoctacosan-28-oi]l}-8,9-dihidro-1H(o 3H)-dibenzo[b,f][1,2,3]triazolo[4,5-d]azocin-1(o 3)-il]metil (*debotansina*)  
*inmunomodulador, antineoplásico*

2413386-21-5

Heavy chain / Chaîne lourde / Cadena pesada

MEVQLVESGG	GLVQPGGSLR	LSCAASGFNI	SAPGIHWVRQ	APGKGLEWVG	50
FINPAGGYTD	YADSVKGRFT	ISADTSKNTA	YLQMNSLRAE	DTAVVYCARD	100
YIRQYWTYVL	DYWGQGLVLT	VSSASTKGPS	VEFLAPSSKS	TSGGTAAALGC	150
LVKDYFPEPV	TVSNWNSGALT	SGVHTFPAVL	QSSGLESLSS	VVTVPSSSLG	200
TQTYICNVNH	KPSNTKVDKK	VEPKSCDRTH	TCPCFPAPEL	LGGPSVFLFP	250
FKPKDTLMIS	RTPEVTCVVV	DVSHEDPEVK	FNWYVDGVEV	HNAKTKPREE	300
QYNSTYRVVS	VLTVLHQDWL	NGKEYKCKVS	NKALPAPIEK	TISKAKGQPR	350
EPQVYTLPPS	REEMTKNQVS	LTCLVKGFYP	SDIAVEWESN	GQFPENNYKTT	400
PPVLDSDGSE	FLYSKLTVDK	SRWQQGNVFS	CSVMHEALHN	HYTQKSLSLG	450
PGK					453

Light chain / Chaîne légère / Cadena ligera

MDIQMTQSPS	SLSASVGDVR	TITCRASQDV	NTAVAWYQQK	PGKAPKLLIY	50
SASFLYSGVP	SRFSGSRSGT	DFTLTISSLQ	PEDFATYYCQ	QHYYTPPTFG	100
QGTKEIKRT	VAAPSVFIFP	PSDEQLKSGT	ASVVCLLNLF	YPREAKVQWK	150
VDNALQSGNS	QESVTEQDSK	DSTYLSSTL	TLSKADYEKH	KVYACEVTHQ	200
GLSSPVTKSF	NRGEC				215

**E** indicates non-natural amino acid *p*-azidomethyl-L-phenylalanine (pAMF)

#### Post-translational modifications

Disulfide bridges location / Position des ponts disulfure / Posiciones de los puentes disulfuro

Intra-H (C23-C104) 23-97 150-206 267-327 373-431

23"-97" 150"-206" 267"-327" 373"-431"

Intra-L (C23-C104) 24'-89' 135'-195'

24"-89" 135"-195"

Inter-H-L (h 5-CL 126) 226-215' 226"-215"

Inter-H-H (h 11, h 14) 232-232" 235-235"

N-terminal methionine / Méthionine N-terminale / Metionina N-terminal

H VH M1.1: 1, 1"

L V-KAPPA M1.1: 1', 1'''

No N-terminal methionine clipping (expressed in a cell-free expression system) / Pas de

coupage de la méthionine N-terminale (exprimé dans un système d'expression acellulaire /

Sin recorte de metionina N-terminal (expresado en un sistema de expresión libre de células)

Conjugation sites / Sites de conjugation / Posiciones de conjugación

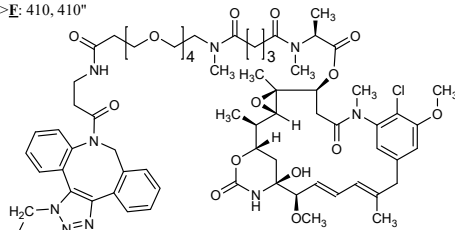
**E**: *p*-azidomethyl-L-phenylalanine (pAMF) used as conjugation specific site /

**E**: *p*-azidométhyl-L-phénylalanine (pAMF) utilisé comme site spécifique de conjugaison /

**E**: *p*-azidometil-L-fenilalanina (pAMF) utilizada como sitio específico de conjugación

H CH1 Y85.2>**E**: 186, 186"

H CH3 F85.2>**E**: 410, 410"



**itruvonum**

itruvone

pregn-4-en-20-yn-3-one  
*antidepressant*

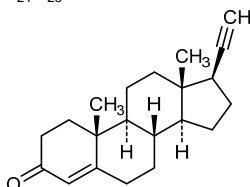
itruvone

prégn-4-én-20-yn-3-one  
*antidépresseur*

itruvona

pregn-4-en-20-in-3-ona  
*antidepressivo*C<sub>21</sub>H<sub>28</sub>O

21321-89-1

**ivarmacitinibum**

ivarmacitinib

(3a*R*,5*s*,6a*S*)-*N*-(3-methoxy-1,2,4-thiadiazol-5-yl)-5-[methyl(7*H*-pyrrolo[2,3-*d*]pyrimidin-4-yl)amino]hexahydrocyclopenta[*c*]pyrrole-2(1*H*)-carboxamide  
*Janus kinase inhibitor, anti-inflammatory*

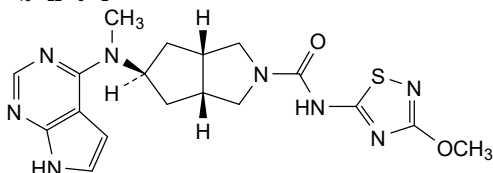
ivarmacitinib

(3a*R*,5*s*,6a*S*)-*N*-(3-méthoxy-1,2,4-thiadiazol-5-yl)-5-[méthyl(7*H*-pyrrolo[2,3-*d*]pyrimidin-4-yl)amino]hexahydrocyclopenta[*c*]pyrrole-2(1*H*)-carboxamide  
*inhibiteur de la kinase de Janus, anti-inflammatoire*

ivarmacitinib

(3a*R*,5*s*,6a*S*)-5-[metil(7*H*-pirrolo[2,3-*d*]pirimidin-4-il)amino]-*N*-(3-metoxi-1,2,4-tiadiazol-5-il)hexahidrociclopenta[*c*]pirrol-2(1*H*)-carboxamida  
*inhibidor de la kinasa de Janus, antiinflamatorio*C<sub>18</sub>H<sub>22</sub>N<sub>8</sub>O<sub>2</sub>S

1445987-21-2

**izalontamabum #**

izalontamab

immunoglobulin G1-scFv<sub>L</sub>-kappa dimer, anti-[*Homo sapiens* EGFR (epidermal growth factor receptor, receptor tyrosine-protein kinase erbB-1, ERBB1, HER1, HER-1, ERBB)] and anti-[*Homo sapiens* ERBB3 (receptor tyrosine-protein kinase erbB-3, HER3)], monoclonal antibody, tetravalent, bispecific;

- G1-scFv fused chain (1-702) [gamma1 heavy chain anti-EGFR (1-448) [VH (*Mus musculus* IGHV2-2\*03 (93.8%) - (IGHD) -IGHJ3\*01 (92.9%) A128>S (119), CDR-IMGT [8.7.13] (26-33.51-57.96-108)) (1-119) -*Homo sapiens* IGHG1\*08p (100%), G1m3,1 (CH1 I103 (201), R120 (216) (120-217), hinge 1-15 (218-232), CH2 (233-342), CH3 D12 (358), L14 (360) (343-447), CHS K2>del (448)) (120-448)] - 10-mer bis(tetraglycyl-seryl) linker (449-458) -scFv heavy-lambda anti-ERBB3 (459-702) [VH (*Homo sapiens* IGHV3-7\*01 (91.8%) - (IGHD) -IGHJ2\*01 (100%), CDR-IMGT [8.8.11] (484-491.509-516.555-565)) (459-576) -15-mer tris(tetraglycyl-seryl) linker (577-591) -V-LAMBDA (*Homo sapiens* IGLV2-14\*03 (93.9%) -IGLJ2\*01 (83.3%) L124>V (699), CDR-IMGT [9.3.11] (617-625.643-645.682-692)) (592-702)], (222-214')-disulfide with kappa light chain anti-EGFR (1'-214') [V-KAPPA (*Mus musculus* IGKV5-48\*01 (95.8%) -IGKJ5\*01 (100%), CDR-IMGT [6.3.9] (27-32.50-52.89-97)) (1'-107') -*Homo sapiens* IGKC\*01 (100%), Km3 A45.1 (153), V101 (191) (108'-214')]; dimer (228-228''-231-231'')-bisdisulfide, produced in Chinese hamster ovary (CHO) cells, glycoform alfa  
*antineoplastic*
- izalontamab immunoglobuline G1-scFv\_L-kappa dimère, anti-[*Homo sapiens* EGFR (récepteur du facteur de croissance épidermique, récepteur tyrosine-protéine kinase erb-1, ERBB1, HER1, HER-1, ERBB)], et anti-[*Homo sapiens* ERBB3 (récepteur à activité tyrosine kinase erbB-3, HER3)], anticorps monoclonal, tétravalent, bispécifique; chaîne lourde fusionnée G1-scFv (1-702) [gamma1 anti-EGFR chimérique (1-448) [VH (*Mus musculus* IGHV2-2\*03 (93.8%) - (IGHD) -IGHJ3\*01 (92.9%) A128>S (119), CDR-IMGT [8.7.13] (26-33.51-57.96-108)) (1-119) -*Homo sapiens* IGHG1\*08p (100%), G1m3,1 (CH1 I103 (201), R120 (216) (120-217), charnière 1-15 (218-232), CH2 (233-342), CH3 D12 (358), L14 (360) (343-447), CHS K2>del (448)) (120-448)] -10-mer bis(tétraglycyl-séryl) linker (449-458) -scFv lourde-lambda anti-ERBB3 (459-702) [VH (*Homo sapiens* IGHV3-7\*01 (91.8%) - (IGHD) -IGHJ2\*01 (100%), CDR-IMGT [8.8.11] (484-491.509-516.555-565)) (459-576) -15-mer tris(tétraglycyl-séryl) linker (577-591) -V-LAMBDA (*Homo sapiens* IGLV2-14\*03 (93.9%) -IGLJ2\*01 (83.3%) L124>V (699), CDR-IMGT [9.3.11] (617-625.643-645.682-692)) (592-702)], (222-214')-disulfure avec la chaîne légère kappa anti-EGFR (1'-214') [V-KAPPA (*Mus musculus* IGKV5-48\*01 (95.8%) -IGKJ5\*01 (100%), CDR-IMGT [6.3.9] (27-32.50-52.89-97)) (1'-107') -*Homo sapiens* IGKC\*01 (100%), Km3 A45.1 (153), V101 (191) (108'-214')]; dimère (228-228''-231-231'')-bisdisulfure, produit dans des cellules ovariennes de hamster chinois (CHO), glycoforme alfa  
*antinéoplasique*
- izalontamab inmunoglobulina G1-scFv\_L-kappa dímero, anti-[*Homo sapiens* EGFR (receptor del factor de crecimiento epidérmico, receptor tirosina-proteína kinasa erb-1, ERBB1, HER1, HER-1, ERBB)], y anti-[*Homo sapiens* ERBB3 (receptor con actividad tirosina kinasa erbB-3, HER3)], anticuerpo monoclonal, tetravalente, biespecifico;

izalontamab

cadena pesada fusionada G1-scFv (1-702) [gamma1 anti-EGFR (1-448) [VH (*Mus musculus* IGHV2-2\*03 (93.8%) -(IGHD) -IGHJ3\*01 (92.9%) A128>S (119), CDR-IMGT [8.7.13] (26-33.51-57.96-108)) (1-119) - *Homo sapiens* IGHG1\*08p (100%), G1m3,1 (CH1 I103 (201), R120 (216) (120-217), bisagra 1-15 (218-232), CH2 (233-342), CH3 D12 (358), L14 (360) (343-447), CHS K2>del (448)) (120-448)] -10-mer bis(tetraglicil-seril) linker (449-458) -scFv pesado-lambda anti-ERBB3 (459-702) [VH (*Homo sapiens* IGHV3-7\*01 (91.8%) -(IGHD) -IGHJ2\*01 (100%), CDR-IMGT [8.8.11] (484-491.509-516.555-565)) (459-576) -15-mer tris(tetraglicil-seril) linker (577-591) -V-LAMBDA (*Homo sapiens* IGLV2-14\*03 (93.9%) -IGLJ2\*01 (83.3%) L124>V (699), CDR-IMGT [9.3.11] (617-625.643-645.682-692)) (592-702)]], (222-214')-disulfuro con la cadena ligera kappa anti-EGFR (1'-214') [V-KAPPA (*Mus musculus* IGKV5-48\*01 (95.8%) -IGKJ5\*01 (100%), CDR-IMGT [6.3.9] (27-32.50-52.89-97)) (1'-107') -*Homo sapiens* IGKC\*01 (100%), Km3 A45.1 (153), V101 (191) (108'-214')]; dímero (228-228":231-231")-bisdisulfuro, producido en las células ováricas de hámster chino (CHO), forma glicosilada alfa antineoplásico

2559704-24-2

Heavy chain / Chaîne lourde / Cadena pesada (anti-EGFR, anti-ERBB3)

QVQLRQSGPG	LVQPSQSLSI	TCTVSGFSLT	NYGVHWRQS	PGKLEWLVG	50
IWSGGNTDYN	TPFTSRLSIN	KDNSKSVVFF	KMNSLQSDNT	AIYYCARALT	100
YYDEYFAYWG	QGTLVTVSSA	STKGPSVFFL	APSSKSTSGG	TAALGCLVKD	150
YFPEPVTVSW	NSGALTSVGH	TFPAVLQSSG	LYSLSSVVTV	PSSSLGTQTY	200
ICNVNHKPSN	TKVDRKRVPEK	SCDKTHTCCP	CPAPELLGGP	SVFLFPPKPK	250
DTLMISRTP	VTCVVVDVSH	EDPEVKFNWY	VDGVEVHNAK	TKPREQYNS	300
TYRVVSVLTV	LHQDNLNGKE	YKCKVSNKAL	PAPIEKTISK	AKGQPREPQV	350
YTLPPSRDEL	TKNQVSLTCL	VKGFPYSDIA	VEWESNGQPE	NNYKTPPVVL	400
DSGDSFFLYS	KLTVDKSRWQ	QGNVFSQVSM	HEALHNHYTQ	KSLSLSPGGG	450
GGSGGGGSGV	QLQESGGGLV	KPGGSLRLSC	AASGFTFSY	WMSWVRQAPG	500
KGLEWVANIN	RDGSASYVDV	SVKGRFTISR	DAKNSLYLQ	MNSLRAEDTA	550
VYYCARDRGG	GYFDLWGRGT	LVTVSSGGGG	SGGGSGGGG	SQSALTQPAS	600
VSGSPGGSIT	ISCTGTSSDV	GGYNEFVSWY	QHPGKAPKLM	IYVSDRPSG	650
VSDRFSGSKS	GNTASLIISG	LQADDEADY	CSSYGSSTH	VIFGGTKVT	700
VL					702

Light chain / Chaîne légère / Cadena ligera (anti-EGFR)

DILLTQSPVI	LSVSPGERVS	FSCRASQSIG	TNIHWYQRT	NGSPRLIKY	50
ASESISGIPS	RFSGSGSGTD	FTLSINSVES	EDIADYCYCQ	NNNPTTFGA	100
GTKLELKRVT	AAPSVFIFPP	SDEQLKSGTA	SUVCLLNIFY	PREAKVQMKV	150
DNALQSGNSQ	ESVTEQDSKD	STYLSLSTLT	LSKADYEKHK	VYACEVTHQG	200
LSSPVTKSFN	RGEC				214

**Post-translational modifications**

Disulfide bridges location / Position des ponts disulfure / Posiciones de los puentes disulfuro

Intra-H (C23-C104)	22-95	146-202	263-323	369-427	480-554	613-681
	22"-95"	146"-202"	263"-323"	369"-427"	480"-554"	613"-681"
Intra-L (C23-C104)	23"-88"	134"-194"				
	23"-88"	134"-194"				
Inter-H-L (h 5-CL 126)	222-214"	222"-214"				
Inter-H-H (h 11, h 14)	228-228"	231-231"				

N-terminal glutaminyl cyclization / Cyclisation du glutaminyle N-terminal / Ciclación del glutaminilo N-terminal

H VH Q1 > pyroglutamyl (pE, 5-oxopropyl): 1, 1"

N-glycosylation sites / Sites de N-glycosylation / Posiciones de N-glicosilación

H VH N97: 88, 88"

H CH2 N84.4: 299, 299"

Fucosylated complex bi-antennary CHO-type glycans / glycanes de type CHO bi-antennaires complexes fucosylés / glicanos de tipo CHO biantenaricos complejos fucosilados.

izenivetmabum #  
izenivetmab

immunoglobulin G2-kappa, anti-[*Canis lupus familiaris* NGF (nerve growth factor beta polypeptide, NGFB)], caninized monoclonal antibody; gamma2 heavy chain caninized (1-453) [VH (*Canis lupus familiaris* IGHV3-67\*01 (82.7%) -(IGHD) - IGHJ4\*01 (92.9%), CDR-IMGT [8.8.11] (26-33.51-58.97-107)) (1-118) -*Canis lupus familiaris* IGHG2\*02 (CH1 (119-215), hinge 1-19 (216-234), CH2 M1.3>A (238), L1.2>A (239), G1>A (241) (235-344), CH3 (345-451), CHS (452-453)) (119-453)], (133-213')-disulfide with kappa light chain caninized (1'-213') [V-KAPPA (*Canis lupus familiaris* IGKV3-18\*02 (85.7%) - IGKJ3\*01 (100%), CDR-IMGT [6.3.9] (27-32.50-52.89-97)) (1'-107') -*Canis lupus familiaris* IGKC\*01 (100%) (108'-213')]; dimer (230-230":233-233")-bisdisulfide, produced in Chinese hamster ovary (CHO) cells, cell line CHO-K1SV lacking the glutamine synthetase (GS-KO) gene, glycoform alfa  
*analgesic (veterinary use)*

izénivetmab

immunoglobuline G2-kappa, anti-[*Canis lupus familiaris* NGF (facteur de croissance du nerf polypeptide bêta, NGFB)], anticorps monoclonal caninisé; chaîne lourde gamma2 caninisée (1-453) [VH (*Canis lupus familiaris* IGHV3-67\*01 (82.7%) -(IGHD) - IGHJ4\*01 (92.9%), CDR-IMGT [8.8.11] (26-33.51-58.97-107)) (1-118) -*Canis lupus familiaris* IGHG2\*02 (CH1 (119-215), charnière 1-19 (216-234), CH2 M1.3>A (238), L1.2>A (239), G1>A (241) (235-344), CH3 (345-451), CHS (452-453)) (119-453)], (133-213')-disulfure avec la chaîne légère kappa caninisée (1'-213') [V-KAPPA (*Canis lupus familiaris* IGKV3-18\*02 (85.7%) -IGKJ3\*01 (100%), CDR-IMGT [6.3.9] (27-32.50-52.89-97)) (1'-107') -*Canis lupus familiaris* IGKC\*01 (100%) (108'-213')]; dimère (230-230":233-233")-bisdisulfure, produit dans des cellules ovariennes de hamster chinois (CHO), lignée cellulaire CHO-K1SV ne présentant pas le gène de la glutamine synthétase (GS-KO), glycoforme alfa  
*analgésique (usage vétérinaire)*

izenivetmab

immunoglobulina G2-kappa, anti-[*Canis lupus familiaris* NGF (factor de crecimiento del nervio polipéptido beta, NGFB)], anticuerpo monoclonal caninizado; cadena pesada gamma2 caninizada (1-453) [VH (*Canis lupus familiaris* IGHV3-67\*01 (82.7%) -(IGHD) - IGHJ4\*01 (92.9%), CDR-IMGT [8.8.11] (26-33.51-58.97-107)) (1-118) -*Canis lupus familiaris* IGHG2\*02 (CH1 (119-215), bisagra 1-19 (216-234), CH2 M1.3>A (238), L1.2>A (239), G1>A (241) (235-344), CH3 (345-451), CHS (452-453)) (119-453)], (133-213')-disulfuro con la cadena ligera kappa caninizada (1'-213') [V-KAPPA (*Canis lupus familiaris* IGKV3-18\*02 (85.7%) - IGKJ3\*01 (100%), CDR-IMGT [6.3.9] (27-32.50-52.89-97)) (1'-107') -*Canis lupus familiaris* IGKC\*01 (100%) (108'-213')]; dímero (230-230":233-233")-bisdisulfuro, producido en las células ováricas de hámster chino (CHO), línea celular CHO-K1SV en ausencia del gen glutamina sintetasa (GS-KO), forma glicosilada alfa  
*analgésico (uso veterinario)*



2447755-72-6

Heavy chain / Chaîne lourde / Cadena pesada  
 EVQLVESGGD LVKPGGSLRL SCVASGFTEF NYWMHWVRQA PGKGLQVVAR 50  
 IDPYGGGTHK NEKFKRRFTI SRDNAKNTLY LQMNSLRAED TAMYYCVRSG 100  
 YDYYFDVWVG GTLVTVSSAS TTAPSVFPLA PSCGSTSGST VALACLVSQY 150  
 FPEPVTVSWN SGLTSGVHT FPSVLQSSGL YSLSMVTFP SSRWPESETFT 200  
 CNVAHFASKT KVDKPVPKRE NGRVPRPPDC PKCPAPEAAG APSVFI FPPK 250  
 PKDILLIART PEVTCVVVDL DPEDEPVQIS WFDGKQMQT AKTQPREEQF 300  
 NGTYRVVSVL PIGHQDWLKG KQFTCKVNNK ALPSPFIERTI SKARGQAHQP 350  
 SVYVLPFSPS ELSKNTVSLT CLIKDFPPFD IDVEWQSNQ QEPESKYRRT 400  
 PPQLDEDGSY FLYSKLSVDK SRWQRGDTFI CAVMHEALHN HYTQESLSHS 450  
 PGK 453

Light chain / Chaîne légère / Cadena ligera  
 ELVMTQSPAS LSLSQEKEVT ITCRASENIY SFLAWYQQKQ GQAPKLLIYN 50  
 ANTLAEGVPS RFGSGSGGTD FSFTISSLEP EDVAVVYCOH HFGTPTTFGQ 100  
 GTKLEIKRND AQPAVYLFQP SPDQLHTGSA SVVCLLNSFY PKDINVKWKV 150  
 DGVIQDTGIQ ESVTEQDKDS TYSLSLTLM SSTEYLSHEL YSCEITHKSL 200  
 PSTLIKSFQR SEC 213

Post-translational modifications  
 Disulfide bridges location / Position des ponts disulfure / Posiciones de los puentes disulfuro  
 Intra-H (C23-C104) 22°-96' 145°-201' 265°-325' 371°-431'  
 22°-96" 145°-201" 265°-325" 371°-431"  
 Intra-L (C23-C104) 23°-88" 134°-193"  
 23°-88" 134°-193"  
 Inter-H-L (CHI 11-CL 126) 133°-213" 133°-213"  
 Inter-H-H (h 15, h 19) 230°-230" 233°-233"

N-glycosylation sites / Sites de N-glycosylation / Posiciones de N-glicosilación  
 H CH2 N84.4: 301, 301"  
 Fucosylated complex bi-antennary CHO-type glycans / glycanes de type CHO bi-antennaires complexes fucosylés / glicanos de tipo CHO biantenaricos complejos fucosilados.  
 C-terminal lysine clipping / Coupure de la lysine C-terminale / Recorte de lisina C-terminal  
 HCHS K2: 453, 453"

izilendustatum  
 izilendustat

*tert*-butyl 4-({1-[(4-chlorophenyl)methyl]-3-hydroxy-2-oxo-1,2-dihydropyridin-4-yl)methyl}piperazine-1-carboxylate  
*hypoxia inducible factor (HIF) prolyl hydroxylase inhibitor*

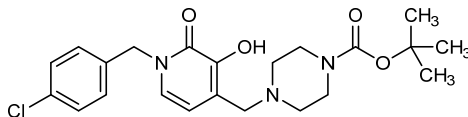
izilendustat

4-({1-[(4-chlorophényl)méthyl]-3-hydroxy-2-oxo-1,2-dihydropyridin-4-yl)méthyl}pipérazine-1-carboxylate de *tert*-butyle  
*inhibiteur de la prolyl-hydroxylase du facteur induit par l'hypoxie (FIH)*

izilendustat

4-({1-[(4-clorofenil)metil]-3-hidroxi-2-oxo-1,2-dihidropiridin-4-il)metil}piperazina-1-carboxilato de *terc*-butilo  
*inhibidor de la proil hidroxilasa del factor inducible por hipoxia (HIF)*

C<sub>22</sub>H<sub>28</sub>ClN<sub>3</sub>O<sub>4</sub> 1303512-02-8



izorlisibum  
 izorlisib

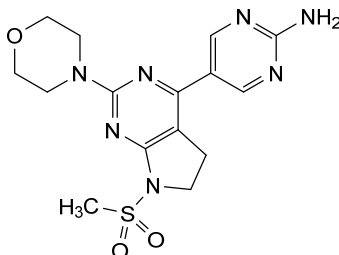
5-[7-(methanesulfonyl)-2-(morpholin-4-yl)-6,7-dihydro-5H-pyrrolo[2,3-d]pyrimidin-4-yl]pyrimidin-2-amine  
*antineoplastic*

izorlisib 5-[7-(méthanesulfonyl)-2-(morpholin-4-yl)-6,7-dihydro-5H-pyrrolo[2,3-*d*]pyrimidin-4-yl]pyrimidin-2-amine  
*antineoplasique*

izorlisib 5-[7-(metanosulfonyl)-2-(morfolin-4-il)-6,7-dihidro-5H-pirrol[2,3-*d*]pirimidin-4-il]pirimidin-2-amina  
*antineoplásico*

$C_{15}H_{19}N_7O_3S$

1007207-67-1



**lafadofensinum**

lafadofensine

(3*S*)-*N,N*-bis(4-fluorophenyl)pyrrolidin-3-amine  
*antidepressant*

lafadofensine

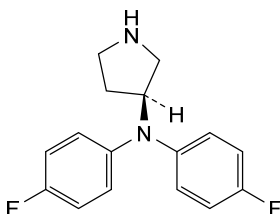
(3*S*)-*N,N*-bis(4-fluorophényl)pyrrolidin-3-amine  
*antidépresseur*

lafadofensina

(3*S*)-*N,N*-bis(4-fluorofenil)pirrolidin-3-amina  
*antidepresivo*

$C_{16}H_{16}F_2N_2$

914989-90-5



**laruparetigenum zovaparvovecum #**

laruparetigene zovaparvovec

recombinant, non-replicating adeno-associated virus serotype 2 (AAV2) vector, in which the capsid contains three tyrosine (Y) to phenylalanine (F) mutations (AAV2tYF), encoding codon-optimised human retinitis pigmentosa GTPase regulator (RPGR) isoform 6 (RPGR-ORF15), under control of the human G protein-coupled receptor kinase 1 promoter, preceded by a synthetic splice donor/splice acceptor, terminated with the simian virus 40 (SV40) polyadenylation (polyA) sequence, and flanked by AAV2 inverted terminal repeats (ITRs).

*gene therapy (X-linked retinitis pigmentosa)*

- laruparétigène zovaparvovec      vecteur recombinant et non répliquant du virus adéno-associé de sérotype 2 (AAV2), dont la capsidie présente trois mutations de la tyrosine (Y) à la phénylalanine (F) (AAV2tYF), codant pour l'isoforme 6 du régulateur de la GTPase de la rétinite pigmentaire humaine (RPGR) aux codons optimisés (RPGR-ORF15), sous le contrôle du promoteur du récepteur de la kinase 1 humain couplé à la protéine G, précédé d'un site synthétique donneur/accepteur d'épissage, terminé par la séquence polyadénylation (polyA) du virus simien 40 (SV40), et flanqué de répétitions terminales inversées (ITR) d'AAV2. *thérapie génique (rétinite pigmentaire liée à l'X)*
- laruparetigén zovaparvovec      vector de virus adenoasociado recombinante de serotipo 2 (AAV2) no replicativo, en el que la cápsida contiene tres mutaciones de tirosina (Y) a fenilalanina (F) (AAV2tYF), que codifica para la isoforma 6 del regulador GTPasa de la retinitis pigmentosa (RPGR) humana (RPGR-ORF15), con codones optimizados, bajo el control del promotor del receptor acoplado a proteína G quinasa 1 humano, precedido por un donante/aceptor de procesamiento sintéticos, terminado con la secuencia poliadenilación (polyA) del virus simio 40 (SV40) y flanqueado por las repeticiones terminales invertidas (ITRs) del AAV2. *terapia génica (retinitis pigmentosa ligada al cromosoma X)*

2425817-08-7

**latikafuspum #**  
latikafusp

human immunoglobulin G1-lambda, anti-(human programmed cell death protein 1), with one gamma1 heavy chain (1-450, variant R>C<sup>296</sup>, N>G<sup>301</sup>, V>C<sup>306</sup>, E>K<sup>360</sup>, D>K<sup>403</sup>, C-terminal K<sup>451</sup> deleted) fused at the C-terminus to a human interleukin 21 fragment (1-133, 451-583 in the current sequence) variant (R<sup>9</sup>>E<sup>459</sup>, R<sup>76</sup>>A<sup>526</sup>), disulfide bridged to gamma1 heavy chain (1-451, variant R>C<sup>296</sup>, N>G<sup>301</sup>, V>C<sup>306</sup>, K>D<sup>396</sup>, K>D<sup>413</sup>), with each gamma1 chain disulfide bridged to the same lambda light chain, non-glycosylated, produced in Chinese hamster ovary (CHO) cells;

immunoglobulin G1-lambda, anti-[*Homo sapiens* PDCD1 (programmed cell death protein 1, PD1, PD-1, CD279)], *Homo sapiens* monoclonal antibody derived from a transgenic mouse, fused at the C-terminus of one of the heavy chains to a human interleukin 21 fragment; gamma1 heavy chain *Homo sapiens* (1-451) [VH (*Homo sapiens*IGHV3-20\*04 (90.8%) -(IGHD) -IGHJ5\*02 (100%), CDR-Kabat [5.17.12] (31-35.50-66.99-110)), (1-121) -*Homo sapiens*IGHG1\*03 (CH1 R<sup>218</sup>>K (122-219), hinge (220-234), CH2 R<sup>296</sup>>C, N<sup>301</sup>>G, V<sup>306</sup>>C (235-344), CH3 E<sup>360</sup>>K, D<sup>403</sup>>K (345-449), CHS K<sup>451</sup>>del (450)) (122-450)], fused to interleukin-21 (IL-21) (451-583) [R<sup>9</sup>>E<sup>459</sup>, R<sup>76</sup>>A<sup>526</sup>]-mutant, (224-213')-disulfide with lambda light chain *Homo sapiens* (1'-214') [V-LAMBDA (*Homo sapiens* IGLV3-10\*01 (95.8%) -IGLJ2\*01 (100%), CDR-Kabat [11.7.11] (23-33.49-55.88-98)) (1'-108') -*Homo sapiens* IGLC2\*01 (100%) (109'-214')]; gamma1 heavy chain *Homo sapiens* (1''-451'') [VH (*Homo sapiens* IGHV3-20\*04 (90.8%) -(IGHD) -IGHJ5\*02 (100%),

- Homo sapiens* (1"-451") [VH (*Homo sapiens* IGHV3-20\*04 (90.8%) - (IGHD) -IGHJ5\*02 (100%), CDR-Kabat [5.17.12] (31-35.50-66.99-110)) (1"-121") -*Homo sapiens* IGHG1\*03 (CH1 R<sup>218</sup>>K (122"-219)", hinge (220"-234"), CH2 R<sup>296</sup>>C, N<sup>301</sup>>G, V<sup>306</sup>>C (235"-344"), CH3 K<sup>396</sup>>D, K<sup>413</sup>>D (345"-449"), CHS (450"-451")) (122"-451")], (224"-213")-disulfide with lambda light chain *Homo sapiens* (1"-214") [V-LAMBDA (*Homo sapiens* IGLV3-10\*01 (95.8%) -IGLJ2\*01 (100%) CDR-Kabat [11.7.11] (23-33.49-55.88-98)) (1"-108") -*Homo sapiens* IGLC2\*01 (100%) (109"-214")]; (230-230":233-233")-bisdisulfide, non-glycosylated, produced in Chinese hamster ovary (CHO) cells  
*immunomodulator, antineoplastic*
- latikafusp immunoglobuline G1-lambda humaine, anti-(protéine 1 de mort cellulaire programmée humaine), une chaîne lourde  $\gamma 1$  (1-450, variant R>C<sup>296</sup>, N>G<sup>301</sup>, V>C<sup>306</sup>, E>K<sup>360</sup>, D>K<sup>403</sup>, K<sup>451</sup> C-terminal supprimé) fusionnée au C-terminal avec un fragment d'interleukine 21 humaine (1-133, 451-583 dans la séquence actuelle) variant (R<sup>9</sup>>E<sup>459</sup>, R<sup>76</sup>>A<sup>526</sup>), attachée à la chaîne lourde  $\gamma 1$  par ponts disulfure (1-451, variant R>C<sup>296</sup>, N>G<sup>301</sup>, V>C<sup>306</sup>, K>D<sup>396</sup>, K>D<sup>413</sup>), avec chaque chaîne  $\gamma 1$  attachée à la même chaîne légère  $\lambda$  par des ponts disulfure, non glycosylée, produite dans des cellules d'ovaire de hamster chinois (CHO);  
immunoglobuline G1-lambda, anti-[*Homo sapiens* PDCD1 (mort cellulaire programmée 1, PD1, PD-1, CD279)], anticorps monoclonal d'*Homo sapiens* dérivé d'une souris transgénique, fusionné à l'extrémité C-terminale de l'une des chaînes lourdes à un fragment d'interleukine 21 humaine; chaîne lourde gamma1 d'*Homo sapiens* (1-451) [VH (*Homo sapiens* IGHV3-20\*04 (90,8%) - (IGHD) -IGHJ5\*02 (100%), CDR-Kabat [5.17.12] (31-35.50-66.99-110)), (1-121) -*Homo sapiens* IGHG1\*03 (CH1 R<sup>218</sup>>K (122-219), charnière (220-234), CH2 R<sup>296</sup>>C, N<sup>301</sup>>G, V<sup>306</sup>>C (235-344), CH3 E<sup>360</sup>>K, D<sup>403</sup>>K (345-449), CHS K<sup>451</sup>>del (450)) (122-450)], fusionné à l'interleukine-21 (IL-21) (451-583) [R<sup>9</sup>>E<sup>459</sup>, R<sup>76</sup>>A<sup>526</sup>] -mutant, (224-213')-disulfure avec la chaîne légère lambda d'*Homo sapiens* (1'-214') [V-LAMBDA (*Homo sapiens* IGLV3-10\*01 (95.8%) -IGLJ2\*01 (100%), CDR-Kabat [11.7.11] (23-33.49-55.88-98)) (1'-108') -*Homo sapiens* IGLC2\*01 (100%) (109'-214')]; chaîne lourde gamma1 d'*Homo sapiens* (1"-451") [VH (*Homo sapiens* IGHV3-20\*04 (90,8%) - (IGHD) -IGHJ5\*02 (100%), CDR-Kabat [5.17.12] (31-35.50-66.99-110)) (1"-121") -*Homo sapiens* IGHG1\*03 (CH1 R218>K (122"-219)", charnière (220"-234"), CH2 R<sup>296</sup>>C, N<sup>301</sup>>G, V<sup>306</sup>>C (235"-344"), CH3 K<sup>396</sup>>D, K<sup>413</sup>>D (345"-449"), CHS (450"-451")) (122"-451")], (224"-213")-disulfure avec la chaîne légère lambda d'*Homo sapiens* (1"-214") [V-LAMBDA (*Homo sapiens* IGLV3-10\*01 (95,8%) -IGLJ2\*01 (100%) CDR-Kabat [11.7.11] (23-33.49-55.88-98)) (1"-108") -*Homo sapiens* IGLC2\*01 (100%) (109"-214")]; (230-230":233-233")-bis-disulfure, non glycosylé, produite dans des cellules d'ovaire de hamster chinois (CHO)  
*immunomodulateur, antinéoplasique*
- latikafusp inmunoglobulina humana G1-lambda, anti-(proteína humana 1 de muerte celular programada), una cadena pesada  $\gamma 1$  (1-450, variante R>C<sup>296</sup>, N>G<sup>301</sup>, V>C<sup>306</sup>, E>K<sup>360</sup>, D>K<sup>403</sup>, terminal C K<sup>451</sup> eliminada) fusionada con el terminal C con el fragmento de una interleukina 21 (1-133, 451-583 en la secuencia actual) variante (R<sup>9</sup>>E<sup>459</sup>, R<sup>76</sup>>A<sup>526</sup>), unida al disulfuro a una cadena pesada  $\gamma 1$  (1-451, variante R>C<sup>296</sup>, N>G<sup>301</sup>, V>C<sup>306</sup>, K>D<sup>396</sup>, K>D<sup>413</sup>), con cada cadena  $\gamma 1$  unida al disulfuro a la misma cadena ligera  $\lambda$ , no glicosilada, producida en células ováricas de hamster chino (CHO);  
inmunoglobulina G1-lambda, anti-[*Homo sapiens* PDCD1 (muerte celular programada 1, PD1, PD-1, CD279)], *Homo sapiens* anticuerpo monoclonal derivado de un ratón transgénico, fusionado en el terminal de una de las cadenas pesada al fragmento humano de la interleukina 21; cadena pesada gamma1 *Homo sapiens* (1-451) [VH (*Homo sapiens*

IGHV3-20\*04 (90.8%) -(IGHD) -IGHJ5\*02 (100%), CDR-Kabat [5.17.12] (31-35.50-66.99-110)), (1-121) -*Homo sapiens* IGHG1\*03 (CH1 R<sup>218</sup>>K (122-219), bisagra (220-234), CH2 R<sup>296</sup>>C, N<sup>301</sup>>G, V<sup>306</sup>>C (235-344), CH3 E<sup>360</sup>>K, D<sup>403</sup>>K (345-449), CHS K<sup>451</sup>>del (450)) (122-450)), fusionada a la interleukina-21 (IL-21) (451-583) [R<sup>9</sup>>E<sup>459</sup>, R<sup>76</sup>>A<sup>526</sup>]-mutante, (224-213')-disulfuro con la cadena ligera lambda *Homo sapiens* (1'-214') [V-LAMBDA (*Homo sapiens* IGLV3-10\*01 (95.8%) -IGLJ2\*01 (100%), CDR-Kabat [11.7.11] (23-33.49-55.88-98))] (1'-108') -*Homo sapiens* IGLC2\*01 (100%) (109'-214'')); cadena pesada gamma1 *Homo sapiens* (1''-451'') [VH (*Homo sapiens* IGHV3-20\*04 (90.8%) -(IGHD) -IGHJ5\*02 (100%), CDR-Kabat [5.17.12] (31-35.50-66.99-110))] (1''-121'') -*Homo sapiens* IGHG1\*03 (CH1 R<sup>218</sup>>K (122''-219''), bisagra (220''-234''), CH2 R<sup>296</sup>>C, N<sup>301</sup>>G, V<sup>306</sup>>C (235''-344''), CH3 K<sup>396</sup>>D, K<sup>413</sup>>D (345''-449''), CHS (450''-451'')) (122''-451''), (224''-213'')-disulfuro con la cadena ligera lambda *Homo sapiens* (1'''-214''') [V-LAMBDA (*Homo sapiens* IGLV3-10\*01 (95.8%) -IGLJ2\*01 (100%) CDR-Kabat [11.7.11] (23-33.49-55.88-98))] (1'''-108''') -*Homo sapiens* IGLC2\*01 (100%) (109'''-214'''); (230-230'':233-233'')-bisdisulfuro, no glicosilada, producida en células ováricas de hámster chino (CHO) *inmunomodulador, antineoplásico*

2552814-07-8

Heavy chain × IL21 / Chaîne lourde × IL21 / Cadena pesada × IL21

EVQLVESGGG VVRPGGSLRL SCAASGFTVD DYSMSWRVQ PGKGLEWVSG	50
INWNAGRTRY ADAVKGRFTI SRDSAKNSLY LQMNSLRAED TALYYCAREF	100
NNFESNWFDP WGQGLTLVTVS SASTKGPSVF PLAPSKKSTS GGTAALGCLV	150
KDYFPEPPTV SWNSGALTSG VHTFFAVLQS SGLYSLSSV TVPSSSLGTQ	200
TYICNVNHKPSNTKVDK <b>K</b> VE PKSCDKTHTC PPCPAPELLG GPSVFLFFPK	250
PKDTLMISRT FEVTCVVVDV SHEDPEVKFN WYVDGVEVHN AKTKQ <b>C</b> EEQY	300
<b>G</b> STYR <b>C</b> VSVL TVLHQDWLNG KEYKCKVSNK ALPAPIEKTI SKARKQ <b>P</b> REP	350
QVYTL <b>P</b> PSR <b>K</b> EMTKNQVSLT CLVKGFPYPSD IAVEWESNGQ PENNYKT <b>T</b> TPP	400
V <b>L</b> K <b>S</b> DG <b>S</b> FFL YSKLTVDKSR WQQGNVFSCS VMHEALHNHY TQKLSLSLSPG	450
<u>QQQDRHMT<b>E</b>M RQLIDIVDQL KNYVNDLVPE FLPAPEDEVET NCEWSAFSCF</u>	500
<u>QQQLKSANT GNNERIINV SIKK<b>L</b>AK<b>R</b>PPS TNAGRQK<b>H</b>R LTCPSCDS<b>S</b>Y<b>E</b></u>	550
<u>KKPK<b>E</b>FLER FKSL<b>L</b>QRM<b>H</b> QHLSS<b>R</b>THGS <b>E</b>D<b>S</b></u>	583

Heavy chain / Chaîne lourde / Cadena pesada (\*)

EVQLVESGGG VVRPGGSLRL SCAASGFTVD DYSMSWRVQ PGKGLEWVSG	50
INWNAGRTRY ADAVKGRFTI SRDSAKNSLY LQMNSLRAED TALYYCAREF	100
NNFESNWFDP WGQGLTLVTVS SASTKGPSVF PLAPSKKSTS GGTAALGCLV	150
KDYFPEPPTV SWNSGALTSG VHTFFAVLQS SGLYSLSSV TVPSSSLGTQ	200
TYICNVNHKPSNTKVDK <b>K</b> VE PKSCDKTHTC PPCPAPELLG GPSVFLFFPK	250
PKDTLMISRT FEVTCVVVDV SHEDPEVKFN WYVDGVEVHN AKTKQ <b>C</b> EEQY	300
<b>G</b> STYR <b>C</b> VSVL TVLHQDWLNG KEYKCKVSNK ALPAPIEKTI SKARKQ <b>P</b> REP	350
QVYTL <b>P</b> PSR <b>E</b> EMTKNQVSLT CLVKGFPYPSD IAVEWESNGQ PENNY <b>D</b> T <b>T</b> TPP	400
VLDSDG <b>S</b> FFL Y <b>S</b> D <b>L</b> TVDKSR WQQGNVFSCS VMHEALHNHY TQKLSLSLSPG	450
K	451

Light chain / Chaîne légère / Cadena ligera

SYELTQPPSV SVSPGQTARI TCSGDALPKK YAYWYQQ <b>K</b> CG QAPVLVISED	50
<b>A</b> KR <b>F</b> SGIPER FSGSSSGTMA TLTISGAQVE DEADYYCYST <b>D</b> ASGNHRVFG	100
GGTKLTLVLGQ FKAAPSVTLF PPSSEELQAN KATLVCLISD FYPGA <b>V</b> TVAV	150
KADSSPVKAG VETTT <b>P</b> SKQ <b>S</b> NNKYAASSYL SLTPEQ <b>W</b> K <b>S</b> H RSYS <b>C</b> Q <b>V</b> THE	200
GSTVEK <b>T</b> VAP TECS	214

Mutation / Mutation / Mutación

R218, R218'>**K**, R296, R296'>**C**, N301, N301'>**G**, V306, V306'>**C**;  
 E360 >**K**, D403 >**K**, K451>del, **R459**>**E**, **R526**>**A**;  
 K396>**D**, K413'>**D**;  
 S39', 39''>**E**, S51', 51'''>**A**, S92', 92''>**A**

**Post-translational modifications**

Disulfide bridges location / Position des ponts disulfure / Posiciones de los puentes disulfuro

Intra-H	22-96	148-204	265-325	296-306	371-429
	22"-96"	148"-204"	265"-325"	296"-306"	371"-429"
Intra-IL21	492-543	499-546 (predicted)			
Intra-L	22'-87'	136'-195'			
	22'''-87'''	136'''-195'''			
Inter-H-L	224-213'	224"-213"			
Inter-H-H	230-230'	233-233"			

N-glycosylation sites / Sites de N-glycosylation / Posiciones de N-glicosilación  
 none / aucun / ninguna (N301, N301'>G; N518 not glycosylated)  
 C-terminal lysine clipping / Coupure de la lysine C-terminale / Recorte de lisina C-terminal  
 H CHS K2: K451"

**leclimogenum autotemcelum #**  
leclimogene autotemcel

autologous CD34+ cells obtained by apheresis from mobilised peripheral blood of patients who received a prior hematopoietic stem cell transplant, transduced *ex vivo* with a self-inactivating lentiviral vector, encoding codon-optimized human interleukin-2 receptor subunit gamma (IL2RG) also known as common gamma chain ( $\gamma_c$ ), driven by a short version of the EF1 $\alpha$  promoter. The vector contains human immunodeficiency virus (HIV) central polypurine tract sequences, the HIV Rev response element (RRE) and is flanked by HIV long terminal repeats. The vector also contains a 400 bp insulator fragment from the chicken  $\beta$ -globin locus inserted into the deleted U3 region of the HIV long terminal repeat followed by a polyadenylation sequence derived from the rabbit  $\beta$ -globin gene. The vector is pseudotyped with the envelope glycoprotein (G) of vesicular stomatitis virus (VSV). The suspension is enriched for CD34+ cells using magnetic bead separation. The cells are overnight cultured in media containing human serum albumin (1%), human stem cell factor (SCF), human thrombopoietin protein (TPO), and human Flt3 ligand (Flt3L) prior to vector transduction.  
*cell-based gene therapy (X-linked severe combined immunodeficiency)*

léclimogène autotemcel

cellules CD34+ autologues obtenues par aphérèse à partir de sang périphérique de patients ayant déjà reçu une greffe de cellules souches hématopoïétiques, transduites *ex vivo* avec un vecteur lentiviral auto-inactivant, codant la sous-unité gamma du récepteur de l'interleukine-2 (IL2RG) humaine aux codons optimisés, également connue sous le nom de chaîne gamma commune ( $\gamma_c$ ), dirigée par une version courte du promoteur EF1 $\alpha$ . Le vecteur contient des séquences du tractus polypurine central du virus de l'immunodéficience humaine (VIH), l'élément de réponse Rev (RRE) du VIH et est flanqué de longues répétitions terminales du VIH. Le vecteur contient également un fragment isolateur de 400 pb du locus de la  $\beta$ -globine de poulet inséré à la place de la région U3 supprimée de la longue répétition terminale du VIH, suivi d'une séquence de polyadénylation dérivée du gène de la  $\beta$ -globine de lapin. Le vecteur est pseudotypé avec la glycoprotéine de l'enveloppe (G) du virus de la stomatite vésiculaire (VSV). La suspension est enrichie en cellules CD34+ utilisant la séparation par billes magnétiques. Les cellules sont cultivées pendant une nuit dans du milieu contenant de l'albumine sérique humaine (1 %), du facteur de cellules souches humain (SCF), de la protéine thrombopoïétine humaine (TPO) et du ligand Flt3 humain (Flt3L) avant la transduction du vecteur.  
*thérapie génique à base de cellules (déficit immunitaire combiné sévère lié à l'X)*

leclimogén autotemcel

células CD34+ autólogas obtenidas a partir de células movilizadas en sangre periférica mediante aféresis de pacientes que recibieron previamente un trasplante de células madre hematopoyéticas, transducidas *ex vivo* con un vector lentiviral auto inactivante, que codifica para la subunidad gamma del receptor de interleukina 2 (IL2RG) humano, también conocido como la cadena gamma común ( $\gamma_c$ ), con codones optimizados, dirigido por una versión corta del promotor EF1 $\alpha$ . El vector contiene secuencias del tracto de poli-purina central del virus de la inmunodeficiencia humana (VIH), el elemento de respuesta Rev (RRE) del VIH y está flanqueado por repeticiones terminales largas del VIH. El vector también contiene un fragmento aislante de 400 pares de bases del locus de la  $\beta$ -globina de pollo insertado en la región delecionada U3 de la repetición terminal larga del VIH seguido de una secuencia de poliadenilación derivada del gen de la  $\beta$ -globina de conejo. El vector está pseudotipado con la glicoproteína de la envuelta (G) del virus de la estomatitis vesicular (VSV).

La suspensión se enriquece en células CD34+ mediante separación con bolas magnéticas. Las células se incuban una noche en medio que contiene albúmina sérica humana (1%), factor de células madre humano (SCF), proteína trombopoyetina humana (TPO) y ligando Flt3 humano (Flt3L) antes de la transducción con el vector.

*terapia génica basada en células (inmunodeficiencia combinada grave ligada al cromosoma X)*

**lesabelimabum #**  
lesabelimab

immunoglobulin G1-kappa, anti-[*Homo sapiens* CD274 (programmed death ligand 1, PDL1, PD-L1, B7 homolog 1, B7H1)], monoclonal antibody; gamma1 heavy chain (1-448) [VH (*Homo sapiens*IGHV3-66\*01 (79.8%) -(IGHD)-IGHJ4\*01 (100%), CDR-IMGT [8.7.10] (26-33.51-57.98-107)) (1-118) - *Homo sapiens*IGHG1\*01 (100%), G1m17,1 (CH1 K120 (215) (119-216), hinge 1-15 (217-231), CH2 (232-341), CH3 D12 (357), L14 (359) (342-446), CHS (447-448)) (119-448)], (221-216')-disulfide with kappa light chain (1'-216') [V-KAPPA (*Homo sapiens*IGKV1-39\*01 (92.6%) -IGKJ1\*01 (91.7%), CDR-IMGT [6.3.11] (27-32.50-52.89-99)) (1'-109') -*Homo sapiens*IGKC\*01 (100%), Km3 A45.1 (155), V101 (193) (110'-216')]; dimer (227-227":230-230")-bisdisulfide, produced in Chinese hamster ovary (CHO) cells, cell line CHO-K1, glycoform alfa  
*immunomodulator, antineoplastic*

lésabélimab

immunoglobuline G1-kappa, anti-[*Homo sapiens* CD274 (ligand 1 de mort programmée, PDL1, PD-L1, homologue 1 de B7, B7H1)], anticorps monoclonal;

lesabelimab

chaîne lourde gamma1 (1-448) [VH (*Homo sapiens* IGHV3-66\*01 (79.8%)-(IGHD)-IGHJ4\*01 (100%), CDR-IMGT [8.7.10] (26-33.51-57.98-107)) (1-118) - *Homo sapiens* IGHG1\*01 (100%), G1m17,1 (CH1 K120 (215) (119-216), charnière 1-15 (217-231), CH2 (232-341), CH3 D12 (357), L14 (359) (342-446), CHS (447-448)) (119-448)], (221-216')-disulfure avec la chaîne légère kappa (1'-216') [V-KAPPA (*Homo sapiens* IGKV1-39\*01 (92.6%)-IGKJ1\*01 (91.7%), CDR-IMGT [6.3.11] (27-32.50-52.89-99)) (1'-109') - *Homo sapiens* IGKC\*01 (100%), Km3 A45.1 (155), V101 (193) (110'-216')]; dimère (227-227'':230-230'')-bisdisulfure, produit dans des cellules ovariennes de hamster chinois (CHO), lignée cellulaire CHO-K1, glycoforme alfa  
*immunomodulateur, antinéoplasique*

immunoglobulina G1-kappa, anti-[*Homo sapiens* CD274 (ligando 1 de muerte programada, PDL1, PD-L1, homólogo 1 de B7, B7H1)], anticuerpo monoclonal; cadena pesada gamma1 (1-448) [VH (*Homo sapiens* IGHV3-66\*01 (79.8%)-(IGHD)-IGHJ4\*01 (100%), CDR-IMGT [8.7.10] (26-33.51-57.98-107)) (1-118) - *Homo sapiens* IGHG1\*01 (100%), G1m17,1 (CH1 K120 (215) (119-216), bisagra 1-15 (217-231), CH2 (232-341), CH3 D12 (357), L14 (359) (342-446), CHS (447-448)) (119-448)], (221-216')-disulfuro con la cadena ligera kappa (1'-216') [V-KAPPA (*Homo sapiens* IGKV1-39\*01 (92.6%)-IGKJ1\*01 (91.7%), CDR-IMGT [6.3.11] (27-32.50-52.89-99)) (1'-109') - *Homo sapiens* IGKC\*01 (100%), Km3 A45.1 (155), V101 (193) (110'-216')]; dímero (227-227'':230-230'')-bisdisulfuro, producido en las células ováricas de hámster chino (CHO), línea celular CHO-K1, forma glicosilada alfa  
*immunomodulador, antineoplásico*

2475402-56-1

## Heavy chain / Chaîne lourde / Cadena pesada

```
EVQLVESGGG LVQPGGSLRL SCAASGYSIS SGYYWGWIRQ APGKLEWIG 50
IIYFSGGGTN YAQKFGGRVT ISRDNKNLTL YLQLNSLRAE DTAVYYCARG 100
GGLGFDYWGQ GTLVTVSSAS TKGPSVFLPA PSKSTSGGT AALGLVKDY 150
FFPEFVTVSWN SGALTSVGHV FPAVLQSSGL YLSLSSVTVP SSSLGTQTYI 200
CNVNHKPSNT KVDKKEVFKS CDKTHTCPPC PAPELLGGPS VLFPPKPKD 250
TLMISRTPEV TCVVVDVSHS DPEVKFNWYV DGEVHNNAKT KPREEQYNST 300
YRVVSVLTVL HQDWLNGKEY KCKVSNKALP APIEKTISKA KGQPREPQVY 350
TLPPSDELDT KNQVSLTCLV KGFYPSDIAV EWESNGQPEN NYKTTTTPVLD 400
SDGSFFLYSK LTVDRSRWQQ GNVFSCVMH EALHNHYTQK SLSLSPGK 448
```

## Light chain / Chaîne légère / Cadena ligera

```
DIQLTQSPSS LSASVGRDRT ITCRASQSIP SFLNWKQKPK GKAPKLLIYA 50
ASSLQSGVPS RFSGGSGGTD FTLTISSLQP EDFATYYCQH YISWPRQPTF 100
GGGKVEIKR TVAAPSVEFV PPSDEQLKSG TASVVCLLNN FYPREKVVQW 150
KVDNALQSGN SQESVTEQDS KDSTYLSLST LTLKADYK HKVYACEVTH 200
QGLSSPVTKS FNRGEC 216
```

## Post-translational modifications

Disulfide bridges location / Position des ponts disulfure / Posiciones de los puentes disulfuro

Intra-H (C23-C104) 22-97 145-201 262-322 368-426  
22"-97" 145"-201" 262"-322" 368"-426"

Intra-L (C23-C104) 23"-88" 136"-196"  
23""-88"" 136""-196""

Inter-H-L (h 5-CL 126) 221-216' 221"-216"

Inter-H-H (h 11, h 14) 227-227" 230-230"

N-glycosylation sites / Sites de N-glycosylation / Posiciones de N-glicosilación

H CH2 N84.4: 298, 298"

Fucosylated complex bi-antennary CHO-type glycans / glycanes de type CHO bi-antennaires complexes fucosylés / glicanos de tipo CHO biantenarijos complejos fucosilados.

C-terminal lysine clipping / Coupure de la lysine C-terminale / Recorte de lisina C-terminal  
H CHS K2: 448, 448"



**linaprazani gluras**

linaprazan glurate

5-[2-(8-[[[(2,6-dimethylphenyl)methyl]amino]-2,3-dimethylimidazo[1,2-a]pyridine-6-carboxamido]ethoxy]-5-oxopentanoic acid  
*proton pump inhibitor*

glurate de linaprazan

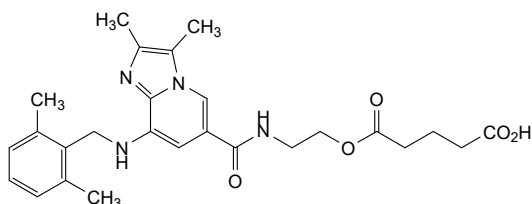
acide 5-[2-(8-[[[(2,6-diméthylphényl)méthyl]amino]-2,3-diméthylimidazo[1,2-a]pyridine-6-carboxamido]éthoxy]-5-oxopentanoïque  
*inhibiteur de la pompe à protons*

glurato de linaprazán

ácido 5-[2-(8-[[[(2,6-dimetilfenil)metil]amino]-2,3-dimetilimidazo[1,2-a]piridina-6-carboxamido]etoxi]-5-oxopentanoico  
*inhibidor de la bomba de protones*

C<sub>26</sub>H<sub>32</sub>N<sub>4</sub>O<sub>5</sub>

1228559-81-6

**linvencorvirum**

linvencorvir

3-[(8a*S*)-7-[[[(6*S*)-5-(ethoxycarbonyl)-6-(3-fluoro-2-methylphenyl)-2-(1,3-thiazol-2-yl)-1,6-dihydropyrimidin-4-yl]methyl]-3-oxohexahydroimidazo[1,5-a]pyrazin-2(3*H*)-yl]-2,2-dimethylpropanoic acid  
*antiviral*

linvencorvir

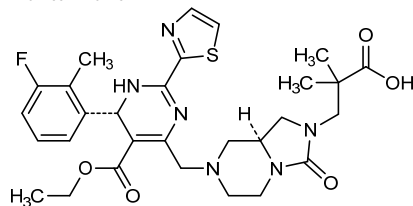
acide 3-[(8a*S*)-7-[[[(6*S*)-5-(éthoxycarbonyl)-6-(3-fluoro-2-méthylphényl)-2-(1,3-thiazol-2-yl)-1,6-dihydropyrimidin-4-yl]méthyl]-3-oxohexahydroimidazo[1,5-a]pyrazin-2(3*H*)-yl]-2,2-diméthylpropanoïque  
*antiviral*

linvencorvir

ácido 3-[(8a*S*)-7-[[[(6*S*)-5-(etoxicarbonil)-6-(3-fluoro-2-metilfenil)-2-(1,3-tiazol-2-il)-1,6-dihidropirimidin-4-il]metil]-3-oxohexahidroimidazo[1,5-a]pirazin-2(3*H*)-il]-2,2-dimetilpropanoico  
*antiviral*

C<sub>29</sub>H<sub>35</sub>FN<sub>6</sub>O<sub>5</sub>S

1808248-05-6



**linvoseltamabum #**

linvoseltamab

immunoglobulin G4-kappa, anti-[*Homo sapiens* TNFRSF17 (TNF receptor superfamily member 17, tumor necrosis factor receptor superfamily, member 17, B cell maturation antigen, BCMA, BCM, TNFRSF13A, CD269)] and anti-[*Homo sapiens* CD3E (CD3 epsilon, Leu-4)], *Homo sapiens* monoclonal antibody; gamma4 heavy chain anti-TNFRSF17 *Homo sapiens* (1-451) [VH (*Homo sapiens* IGHV3-7\*01 (93.9%) -(IGHD) -IGHJ4\*01 (100%), CDR-IMGT [8.8.18] (26-33.51-58.97-114)) (1-125)-*Homo sapiens* IGHG4\*01, G4v5 h P10, G4v7 CH2 del 1.4, P1.3, V1.2, A1.1 (G2-like) (CH1 (126-223), hinge 1-12 S10>P (233) (224-235), CH2 'E1.4,F1.3'>P1.3 (238), L1.2>V (239), G1.1>A (240) (236-344), CH3 (345-449), CHS (450-451)) (126-451)], (139-215')-disulfide with kappa light chain *Homo sapiens* (1'-215') [V-KAPPA (*Homo sapiens* IGKV1-39\*01 (100%) -IGKJ5\*01 (100%), CDR-IMGT [6.3.10] (27-32.50-52.89-98)) (1'-108') -*Homo sapiens* IGKC\*01 (100%), Km3 A45.1 (154), V101 (192) (109'-215')]; gamma4 heavy chain anti-CD3E *Homo sapiens* (1"-450") [VH (*Homo sapiens* IGHV3-9\*01 (98.0%) -(IGHD) -IGHJ1\*01 (90.9%) L123>T (119), CDR-IMGT [8.8.17] (26-33.51-58.97-113)) (1"-124") -*Homo sapiens* IGHG4\*01, G4v5 h P10, G4v8 CH3 R115, F116, P125 (CH1 (125"-222")), hinge 1-12 S10>P (232) (223"-239"), CH2 (240"-343"), CH3 H115>R (438), Y116>F (439), L125>P (448) (G3-like) (344"-448"), CHS (449"-450")) (125"-450"), (138"-215'")-disulfide with kappa light chain *Homo sapiens* (1'"-215'") [V-KAPPA (*Homo sapiens* IGKV1-39\*01 (100%) -IGKJ5\*01 (100%), CDR-IMGT [6.3.10] (27-32.50-52.89-98)) (1'"-108'") -*Homo sapiens* IGKC\*01 (100%), Km3 A45.1 (154), V101 (192) (109'"-215'"); dimer (231-230":234-233'")-bisdisulfide, produced in Chinese hamster ovary (CHO) cells, glycoform alfa immunomodulator, antineoplastic

linvoseltamab

immunoglobuline G4-kappa, anti-[*Homo sapiens* TNFRSF17 (membre 17 de la superfamille des récepteurs du TNF, membre 17 de la superfamille des récepteurs du facteur de nécrose tumorale, antigène de maturation de cellule B, BCMA, BCM, TNFRSF13A, CD269)] et anti-[*Homo sapiens* CD3E (CD3 epsilon, Leu-4)], anticorps monoclonal *Homo sapiens*; chaîne lourde gamma4 anti-TNFRSF17 *Homo sapiens* (1-451) [VH (*Homo sapiens* IGHV3-7\*01 (93.9%) -(IGHD) -IGHJ4\*01 (100%), CDR-IMGT [8.8.18] (26-33.51-58.97-114)) (1-125)-*Homo sapiens* IGHG4\*01, G4v5 h P10, G4v7 CH2 del 1.4, P1.3, V1.2, A1.1 (G2-like) (CH1 (126-223), charnière 1-12 S10>P (233) (224-235), CH2 'E1.4,F1.3'>P1.3 (238), L1.2>V (239), G1.1>A (240) (236-344), CH3 (345-449), CHS (450-451)) (126-451)], (139-215')-disulfure avec la chaîne légère kappa *Homo sapiens* (1'-215') [V-KAPPA (*Homo sapiens* IGKV1-39\*01 (100%) -IGKJ5\*01 (100%), CDR-IMGT [6.3.10] (27-32.50-52.89-98)) (1'-108') -*Homo sapiens* IGKC\*01 (100%), Km3 A45.1 (154), V101 (192) (109'-215')];

	<p>chaîne lourde gamma4 anti-CD3E <i>Homo sapiens</i> (1"-450") [VH (<i>Homo sapiens</i> IGHV3-9*01 (98.0%) -(IGHD) -IGHJ1*01 (90.9%) L123&gt;T (119), CDR-IMGT [8.8.17] (26-33.51-58.97-113)) (1"-124") -<i>Homo sapiens</i> IGHG4*01, G4v5 h P10, G4v8 CH3 R115, F116, P125 (CH1 (125"-222"), charnière 1-17 S10&gt;P (232) (223"-239"), CH2 (240"-343"), CH3 H115&gt;R (438), Y116&gt;F (439), L125&gt;P (448) (G3-like) (344"-448"), CHS (449"-450")) (125"-450")], (138"-215'")-disulfure avec la chaîne légère kappa <i>Homo sapiens</i> (1'"-215'") [V-KAPPA (<i>Homo sapiens</i> IGKV1-39*01 (100%) -IGKJ5*01 (100%), CDR-IMGT [6.3.10] (27-32.50-52.89-98)) (1'"-108'") -<i>Homo sapiens</i> IGKC*01 (100%), Km3 A45.1 (154), V101 (192) (109'"-215'")]; dimère (231-230":234-233")-bisdisulfure, produit dans des cellules ovariennes de hamster chinois (CHO), glycoforme alfa <i>immunomodulateur, antinéoplasique</i></p>
linvoseltamab	<p>inmunoglobulina G4-kappa, anti-[<i>Homo sapiens</i> TNFRSF17 (miembro 17 de la superfamilia de los receptores del TNF, miembro 17 de la superfamilia de los receptores del factor de necrosis tumoral, antígeno de maduración de célula B, BCMA, BCM, TNFRSF13A, CD269)] y anti-[<i>Homo sapiens</i> CD3E (CD3 épsilon, Leu-4)], anticuerpo monoclonal <i>Homo sapiens</i>; cadena pesada gamma4 anti-TNFRSF17 <i>Homo sapiens</i> (1-451) [VH (<i>Homo sapiens</i> IGHV3-7*01 (93.9%) -(IGHD) -IGHJ4*01 (100%), CDR-IMGT [8.8.18] (26-33.51-58.97-114)) (1-125)-<i>Homo sapiens</i> IGHG4*01, G4v5 h P10, G4v7 CH2 del 1.4, P1.3, V1.2, A1.1 (G2-like) (CH1 (126-223), bisagra 1-12 S10&gt;P (233) (224-235), CH2 'E1.4,F1.3'&gt;P1.3 (238), L1.2&gt;V (239), G1.1&gt;A (240) (236-344), CH3 (345-449), CHS (450-451)) (126-451)], (139-215')-disulfuro con la cadena ligera kappa <i>Homo sapiens</i> (1'-215') [V-KAPPA (<i>Homo sapiens</i> IGKV1-39*01 (100%) -IGKJ5*01 (100%), CDR-IMGT [6.3.10] (27-32.50-52.89-98)) (1'-108') -<i>Homo sapiens</i> IGKC*01 (100%), Km3 A45.1 (154), V101 (192) (109'-215')]; cadena pesada gamma4 anti-CD3E <i>Homo sapiens</i> (1"-450") [VH (<i>Homo sapiens</i> IGHV3-9*01 (98.0%) -(IGHD) -IGHJ1*01 (90.9%) L123&gt;T (119), CDR-IMGT [8.8.17] (26-33.51-58.97-113)) (1"-124") -<i>Homo sapiens</i> IGHG4*01, G4v5 h P10, G4v8 CH3 R115, F116, P125 (CH1 (125"-222"), bisagra 1-17 S10&gt;P (232) (223"-239"), CH2 (240"-343"), CH3 H115&gt;R (438), Y116&gt;F (439), L125&gt;P (448) (G3-like) (344"-448"), CHS (449"-450")) (125"-450")], (138"-215'")-disulfuro con la cadena ligera kappa <i>Homo sapiens</i> (1'"-215'") [V-KAPPA (<i>Homo sapiens</i> IGKV1-39*01 (100%) -IGKJ5*01 (100%), CDR-IMGT [6.3.10] (27-32.50-52.89-98)) (1'"-108'") -<i>Homo sapiens</i> IGKC*01 (100%), Km3 A45.1 (154), V101 (192) (109'"-215'")]; dímero (231-230":234-233")-bisdisulfuro, producido en las células ováricas de hámster chino (CHO), forma glicosilada alfa <i>inmunomodulador, antineoplásico</i></p>

2408319-25-3

Heavy chain / Chaîne lourde / Cadena pesada (anti-TNFRSF17)  
 EVQLVESGGG LVQPFGSLRL SCAASGFTFD NFWMTWVRQA PGKGLEWVAN 50  
 MNQDGSSEKYY VDSVKGRTTI SRDNAKNSLY LQMNSLRAED TAVYYCARDR 100  
 EYCIKSTSCYD DFQYWGQGTLL VTVSSASTKGP PSVFFLAFCR RSTSESTAAAL 150  
 GCLVKDYFPEP PVTVSWNSGA LTVSGVHTFPA VLQSSGLYSL SVVTVFSSSS 200  
 LGTKTYTCNV DHKPSNTRKVD KRVESKYGPP CPFCPPAPFVA GPSVFLFPPK 250  
 PKDTLMIKSRP PEVTCVVVDV DQEDPEVQFN YVDGVEVHNA AKTKPREEQF 300  
 NSTYRVVSVL TVLHQDWLNG KEYKCKVSNK GLPSSIEKTI SKARGQPREP 350  
 QVYTLPPSQE EMTKNQVSLT CLVKGFPSPD IAVEWESNGQ PENNYKTFPP 400  
 VLDSGGSFFL YSRLTVDKSR WQEGNVFSCS VMHEALHNHY TQKSLSLSLG 450  
 K 451

Heavy chain / Chaîne lourde / Cadena pesada (anti-CD3E)  
 EVQLVESGGG LVQPFGSLRL SCAASGFTFD DYSMHWVRQA PGKGLEWVSG 50  
 ISWNSGSKGY ADSVKGRTTI SRDNAKNSLY LQMNSLRAED TALYYCARYG 100  
 SGYKGFYHYG LDVWGQGTTV TVSSASTKGP SVFPLAPCSR STSESTAAALG 150  
 CLVKDYFPEP VTVSWNSGAL TSGVHTFPAV LQSSGLYSL SVVTVFSSSL 200  
 GTKTYTCNVD HKPSNTRKVD RVESKYGPPC PFCPPAPFVA PSVFLFPPK 250  
 KDTLMIKSRTP EVTCVVVDV DQEDPEVQFN YVDGVEVHNA KTKPREEQFN 300  
 STYRVVSVLT VLVHQDWLNGK EYKCKVSNKGLPSSIEKTI KAKGQPREPQ 350  
 VYTLPPSQEE MTRKNQVSLTCLVKGFPSPDI AVEWESNGQP ENNYKTFPPV 400  
 LDSGGSFFLY SRLTVDKSRW QEGNVFSCSV MHEALHNRF TQKSLSLSPGK 450

Light chain / Chaîne légère / Cadena ligera  
 DIQMTQSPSS LSASVGRDRTVITCRASQGIS SYLNWYQKPK GKAPKLLIYA 50  
 ASSLQSGVPS RFGSGSGTDFTLTISLSLOPEDFATYYCQQ SYSTPPITFG 100  
 QGTRLEIKRTVAAPSVFIFPPSDEQLKSGTASVVCCLNNFYPREAKVQW 150  
 VDNALQSGNSQESVTEQDSKDSYISLSSTLTLKADYIEKH KVIACEVTHQ 200  
 GLSSPVTKSFNRGEC 215

**Post-translational modifications**

Disulfide bridges location / Position des ponts disulfure / Posiciones de los puentes disulfuro

Intra-H (C23-C104) 22-96 152-208 265-325 371-429  
 22<sup>°</sup>-96<sup>°</sup> 151<sup>°</sup>-207<sup>°</sup> 264<sup>°</sup>-324<sup>°</sup> 370<sup>°</sup>-428<sup>°</sup>

(intra CDR3 111-112.1) 103-108 103<sup>°</sup>-108<sup>°</sup>

Intra-L (C23-C104) 23<sup>°</sup>-88<sup>°</sup> 135<sup>°</sup>-195<sup>°</sup>  
 23<sup>°</sup>-88<sup>°</sup> 135<sup>°</sup>-195<sup>°</sup>

Inter-H-L (CHI 10-CL 126) 139-215<sup>°</sup> 138<sup>°</sup>-215<sup>°</sup>Inter-H-H (h 8, h 11) 231-230<sup>°</sup> 234-233<sup>°</sup>

N-glycosylation sites / Sites de N-glycosylation / Posiciones de N-glicosilación

H CH2 N84.4: 301, 300<sup>a</sup>

Fucosylated complex bi-antennary CHO-type glycans / glycanes de type CHO bi-antennaires complexes fucosylés / glicanos de tipo CHO biantennarios complejos fucosilados.

C-terminal lysine clipping / Coupure de la lysine C-terminale / Recorte de lisina C-terminal  
 H CHS K2: 451, 450<sup>a</sup>

**litifilimumab#**  
 litifilimumab

immunoglobulin G1-kappa, anti-[*Homo sapiens* CLEC4C (C-type lectin domain family 4 member C, CLECSF11, CLECSF7, CD303)], humanized monoclonal antibody;  
 gamma1 heavy chain humanized (1-451) [VH (*Homo sapiens*IGHV3-21\*01 (85.7%) -(IGHD) -IGHJ5\*01 (86.7%), CDR-IMGT [8.8.14] (26-33.51-58.98-111)) (1-122) -*Homo sapiens*IGHG1\*01 (100%), G1m17,1 (CH1 K120 (219) (123-220), hinge 1-15 (221-235), CH2 (236-345), CH3 D12 (361), L14 (363) (346-450), CHS K2>del (451)) (123-451)], (225-218')-disulfide with kappa light chain humanized (1'-218') [V-KAPPA (*Homo sapiens*IGKV1-39\*01 (84.8%) -IGKJ1\*01 (100%), CDR-IMGT [10.3.9] (27-36.54-56.93-101)) (1'-111') -*Homo sapiens*IGKC\*01 (100%), Km3 A45.1 (157), V101 (195) (112'-218')]; dimer (231-231<sup>°</sup>:234-234<sup>°</sup>)-bisdisulfide, produced in Chinese hamster ovary (CHO) cells, cell line CHO-DG44, glycoform alfa *immunosuppressant*

litifilimumab

immunoglobuline G1-kappa, anti-[*Homo sapiens* CLEC4C (membre C du domaine de la famille 4 lectine de type C, CLECSF11, CLECSF7, CD303)], anticorps monoclonal humanisé;

chaîne lourde gamma1 humanisée (1-451) [VH (*Homo sapiens* IGHV3-21\*01 (85.7%) -(IGHD) -IGHJ5\*01 (86.7%), CDR-IMGT [8.8.14] (26-33.51-58.98-111)) (1-122) -*Homo sapiens* IGHG1\*01 (100%), G1m17.1 (CH1 K120 (219) (123-220), charnière 1-15 (221-235), CH2 (236-345), CH3 D12 (361), L14 (363) (346-450), CHS K2>del (451)) (123-451)], (225-218')-disulfure avec la chaîne légère kappa humanisée (1'-218') [V-KAPPA (*Homo sapiens* IGKV1-39\*01 (84.8%) -IGKJ1\*01 (100%), CDR-IMGT [10.3.9] (27-36.54-56.93-101)) (1'-111') -*Homo sapiens* IGKC\*01 (100%), Km3 A45.1 (157), V101 (195) (112'-218')]; dimère (231-231'':234-234'')-bisdisulfure, produit dans des cellules ovariennes de hamster chinois (CHO), lignée cellulaire CHO-DG44, glycoforme alfa immunosuppresseur

litifilimab

immunoglobulina G1-kappa, anti-[*Homo sapiens* CLEC4C (miembro C del dominio de la familia 4 lectina de tipo C, CLECSF11, CLECSF7, CD303)], anticuerpo monoclonal humanizado; cadena pesada gamma1 humanizada (1-451) [VH (*Homo sapiens* IGHV3-21\*01 (85.7%) -(IGHD) -IGHJ5\*01 (86.7%), CDR-IMGT [8.8.14] (26-33.51-58.98-111)) (1-122) -*Homo sapiens* IGHG1\*01 (100%), G1m17.1 (CH1 K120 (219) (123-220), bisagra 1-15 (221-235), CH2 (236-345), CH3 D12 (361), L14 (363) (346-450), CHS K2>del (451)) (123-451)], (225-218')-disulfuro con la cadena ligera kappa humanizada (1'-218') [V-KAPPA (*Homo sapiens* IGKV1-39\*01 (84.8%) -IGKJ1\*01 (100%), CDR-IMGT [10.3.9] (27-36.54-56.93-101)) (1'-111') -*Homo sapiens* IGKC\*01 (100%), Km3 A45.1 (157), V101 (195) (112'-218')]; dímero (231-231'':234-234'')-bisdisulfuro, producido en las células ováricas de hamster chino (CHO), línea celular CHO-DG44, forma glicosilada alfa immunosupresor

2407378-48-5

Heavy chain / Chaîne lourde / Cadena pesada

DVQLVESGGG	LVPKGGSLRL	SCAASGFTFS	TYTMSWRQA	PGKLEWVAT	50
ISPGDSFGYY	YFDSVQGRFT	ISRDNKNSL	YLQMSNLRAE	DTAVYYCTRD	100
IYYNYGAWFA	YWGQGLVTV	SSASTRGPSV	FPLAPSSKST	SGGTAALGCL	150
VRDYFFPEPVT	VSWSNGALTS	GVHTFFPAVLQ	SSGLYLSLV	VTVPSSSLGT	200
QTYICNVNHK	PSNTKVDKVK	EPKSCDKTHT	CPPCPAPELL	GGPVSFLFPF	250
KPKDTLMISR	TPEVTCVVVD	VSHEDPEVKF	NWYVDGVEVH	NAKTKPREEQ	300
YNSTYRVVSV	LTVLHQDMLN	GKEYCKVSN	KALPAPIEKT	ISKAKGQPRE	350
PQVYTLPPSR	DELTKNQVSL	TCLVKGFYPS	DIAVEWESNG	QPENNYKTP	400
PVLDSGSEFF	LYSKLTVDKS	RWQGNVFC	SVMHEALHNR	YTQKSLSLSP	450
G					451

Light chain / Chaîne légère / Cadena ligera

DIQLTQSPSS	LSASVGRVTV	ITCKASQSDV	YDGDSYMNWY	QQKPGKAPKL	50
LIYAASTLES	GVPSRFSGSG	SGTDFTLTIS	SLQPEDFATY	YCQQANEDPR	100
TFGQGTKVEI	KRTVAAPSVF	IFPPSDEQLK	SGTASVVCCLL	NNFYPREAKV	150
QWKVDNALQS	GNSQESVTEQ	DSKSDTYSLS	STLTLSKADY	EKKHKVYACEV	200
THQGLSSPVT	KSFNRGEC				218

Post-translational modifications

Disulfide bridges location / Position des ponts disulfure / Posiciones de los puentes disulfuro  
 Intra-H (C23-C104) 22-97 149-205 266-326 372-430  
 22"-97" 149"-205" 266"-326" 372"-430"  
 Intra-L (C23-C104) 23'-92' 138'-198'  
 23'''-92''' 138'''-198'''  
 Inter-H-L (h 5-CL 126) 225-218' 225"-218"  
 Inter-H-H (h 11, h 14) 231-231" 234-234"

N-glycosylation sites / Sites de N-glycosylation / Posiciones de N-glicosilación  
 H CH2 N84.4: 302, 302"

Fucosylated complex bi-antennary CHO-type glycans / glycanes de type CHO bi-antennaires complexes fucosylés / glicanos de tipo CHO biantennarios complejos fucosilados.

**lixmabegagenum relduparvovecum #**

lixmabegagene relduparvec

a recombinant, non-replicating adeno-associated virus serotype rh.10 (rAAVrh.10) vector encoding human  $\beta$ -galactosidase (GLB1), under control of the synthetic CAG promoter (CMV immediate-early enhancer/chicken  $\beta$ -actin (CB) promoter, chicken  $\beta$ -actin exon, chicken  $\beta$ -actin intron, rabbit  $\beta$ -globin intron, rabbit  $\beta$ -globin exon), terminated with a human growth hormone 1 (GH1) polyadenylation (polyA) sequence, and flanked by adeno-associated virus serotype 2 (AAV2) inverted terminal repeats (ITRs).  
*gene therapy (GM1 gangliosidosis)*

lixmabégagène relduparvec

un vecteur recombinant et non répliquant du virus adéno-associé de sérotype rh.10 (rAAVrh.10) codant la  $\beta$ -galactosidase humaine (GLB1), sous le contrôle du promoteur synthétique CAG (activateur immédiat précoce du CMV/promoteur de la  $\beta$ -actine de poulet (CB), exon de la  $\beta$ -actine de poulet, intron de la  $\beta$ -actine de poulet, intron de la  $\beta$ -globine de lapin, exon de la  $\beta$ -globine de lapin), terminé par une séquence polyadénylation (polyA) de l'hormone de croissance humaine 1 (GH1), et flanqué de répétitions terminales inversées (ITRs) du virus adéno-associé de sérotype 2 (AAV2).  
*thérapie génique (gangliosidose à GM1)*

lixmabegagén relduparvec

un vector de virus adenoasociado recombinante de serotipo rh.10 (rAAVrh.10) no replicativo, que codifica para la  $\beta$ -galactosidasa (GLB1) humana bajo el control del promotor sintético CAG (potenciador inmediato-temprano de CMV/promotor de la  $\beta$ -actina (CB) de pollo, exón de la  $\beta$ -actina de pollo, intrón de la  $\beta$ -actina de pollo, intrón de la  $\beta$ -globina de conejo, exón de la  $\beta$ -globina de conejo), terminado con una secuencia poliadenilación (polyA) de la hormona de crecimiento 1 (GH1) humana y flanqueado por las secuencias terminales invertidas (ITRs) del virus adenoasociado de serotipo 2 (AAV2).  
*terapia génica (gangliosidosis GM1)*

2461531-19-9

**luveltamabum tazevibulinum #**

luveltamab tazevibulin

immunoglobulin G1-kappa, anti-[*Homo sapiens* FOLR1 (folate receptor 1, folate receptor alpha, FR-alpha, adult folate-binding protein, FBP, ovarian tumor-associated antigen MOv18)], humanized monoclonal antibody, conjugated on four modified phenylalanine residues via a cleavable valyl-citrullyl linker with a hemiassterlin analogue;  
gamma1 heavy chain humanized (1-455) [VH (*Homo sapiens* IGHV3-66\*01 (79.6%) -(IGHD) -IGHJ4\*01 (93.3%), CDR-IMGT [8.8.17] (27-34.52-59.98-114))] (1-125) -*Homo sapiens* IGHG1\*03v, G1m3>G1m17, nG1m1 (CH1 Y85.2>F (pAMF) (188), R120>K (222) (126-223), hinge 1-15 (224-238), CH2 (239-348), CH3 E12 (364), M14 (366), F85.2> F (pAMF) (412) (349-453), CHS (454-455) (126-455)], (228-215')-disulfide

- with kappa light chain humanized (1'-215') [V-KAPPA (*Homo sapiens* IGKV1-39\*01 (86.3%) -IGKJ1\*01 (100%), CDR-IMGT [6.3.9] (28-33.51-53.90-98)) (1'-108') -*Homo sapiens* IGKC\*01 (100%), Km3 A45.1 (154), V101 (192) (109'-215')]; dimer (234-234":237-237")-bisdisulfide, produced by a cell-free protein synthesis system based on *Escherichia coli* lysate, non-glycosylated, conjugated at C-4 of the four L-phenylalanyl residues 188, 412, 188" and 412" with [8-(4-[[[(2S)-1-[[[(2S)-5-(carbamoylamino)-1-(4-[[[(3S)-4-[[[(2S)-1-[[[(3S,4E)-5-carboxy-2-methylhex-4-en-3-yl]](methyl)amino]-3,3-dimethyl-1-oxobutan-2-yl]amino]-2-methyl-3-(methylamino)-4-oxobutan-2-yl]phenyl]carbamoyl]oxy]methyl]anilino)-1-oxopentan-2-yl]amino]-3-methyl-1-oxobutan-2-yl]amino]-4-oxobutanoyl)-8,9-dihydro-1*H*(or 3*H*)-dibenzo[*b,f*][1,2,3]triazolo[4,5-*d*]azocin-1(or 3)-yl]methyl (*tazevibulin*) groups  
*immunomodulator, antineoplastic*
- luveltamab tazévibuline immunoglobuline G1-kappa, anti-[*Homo sapiens* FOLR1 (récepteur 1 du folate, récepteur alpha du folate, FR-alpha, protéine de l'adulte liant le folate, FBP, antigène MOV18 associé à des tumeurs ovariennes)], anticorps monoclonal humanisé, conjugué à quatre résidus pénylalanine modifiés via un linker valyl-citrullyle clivable avec un analogue de l'hémiasterline; chaîne lourde gamma1 humanisée (1-455) [VH (*Homo sapiens* IGHV3-66\*01 (79.6%) -IGHD) -IGHJ4\*01 (93.3%), CDR-IMGT [8.8.17] (27-34.52-59.98-114)) (1-125) -*Homo sapiens* IGHG1\*03v, G1m3>G1m17, nG1m1 (CH1 Y85.2>F (pAMF) (188), R120>K (222) (126-223), charnière 1-15 (224-238), CH2 (239-348), CH3 E12 (364), M14 (366), F85.2>F (pAMF) (412) (349-453), CHS (454-455)) (126-455)], (228-215')-disulfure avec la chaîne légère kappa humanisée (1'-215') [V-KAPPA (*Homo sapiens* IGKV1-39\*01 (86.3%) -IGKJ1\*01 (100%), CDR-IMGT [6.3.9] (28-33.51-53.90-98)) (1'-108') -*Homo sapiens* IGKC\*01 (100%), Km3 A45.1 (154), V101 (192) (109'-215')]; dimère (234-234":237-237")-bisdisulfure, produit par un système acellulaire de synthèse de protéines à base de lysat d'*Escherichia coli*, non-glycosylé, conjugué en C-4 des quatre résidus L-phénylalanyle 188, 412, 188" et 412" avec des groupes [8-(4-[[[(2S)-1-[[[(2S)-5-(carbamoylamino)-1-(4-[[[(3S)-4-[[[(2S)-1-[[[(3S,4E)-5-carboxy-2-méthylhex-4-én-3-yl]](méthyl)amino]-3,3-diméthyl-1-oxobutan-2-yl]amino]-2-méthyl-3-(méthylamino)-4-oxobutan-2-yl]phényl]carbamoyl]oxy]méthyl]anilino)-1-oxopentan-2-yl]amino]-3-méthyl-1-oxobutan-2-yl]amino]-4-oxobutanoyl)-8,9-dihydro-1*H*(ou 3*H*)-dibenzo[*b,f*][1,2,3]triazolo[4,5-*d*]azocin-1(or 3)-yl]méthyle (*tazévibuline*)  
*immunomodulateur, antinéoplasique*
- luveltamab tazevibulina inmunoglobulina G1-kappa, anti-[*Homo sapiens* FOLR1 (receptor 1 del folato, receptor alfa del folato, FR-alfa, proteina del adulto de unión al folato, FBP, antígeno MOV18 asociado con los tumores ováricos)], anticuerpo monoclonal humanizado, conjugado en cuatro residuos de fenilalanina modificados a través de un enlace escindible valil-citrulil con un análogo de la hemiasterlina; cadena pesada gamma1 humanizada (1-455) [VH (*Homo sapiens* IGHV3-66\*01 (79.6%) -IGHD) -IGHJ4\*01 (93.3%), CDR-IMGT [8.8.17] (27-34.52-59.98-114)) (1-125) -*Homo sapiens* IGHG1\*03v, G1m3>G1m17, nG1m1 (CH1 Y85.2>F (pAMF) (188), R120>K (222) (126-223), bisagra 1-15 (224-238), CH2 (239-348), CH3 E12 (364), M14 (366), F85.2>F (pAMF) (412) (349-453), CHS (454-455)) (126-455)], (228-215')-disulfuro con la cadena ligera kappa

humanizada (1'-215') [V-KAPPA (*Homo sapiens* IGKV1-39\*01 (86.3%) -IGKJ1\*01 (100%), CDR-IMGT [6.3.9] (28-33.51-53.90-98)) (1'-108') -*Homo sapiens* IGKC\*01 (100%), Km3 A45.1 (154), V101 (192) (109'-215')]; dímero (234-234":237-237")-bisdisulfuro, producido por un sistema de síntesis de proteínas sin células basado en lisado de *Escherichia coli*, no glicosilado, conjugado en C-4 de los cuatro residuos de L-fenilalanilo 188, 412, 188" y 412" con grupos [8-(4-[[{(2S)-1-[[{(2S)-5-(carbamoilamino)-1-(4-[[{(3S)-4-[[{(2S)-1-[[{(3S,4E)-5-carboxi-2-metilhex-4-en-3-il](metil)amino)-3,3-dimetil-1-oxobutan-2-il]amino)-2-metil-3-(metilamino)-4-oxobutan-2-il]fenil]carbamoil]oxi]metil]anilino)-1-oxopentan-2-il]amino)-3-metil-1-oxobutan-2-il]amino)-4-oxobutan-2-il]amino)-3-metil-1-oxobutan-2-il]amino)-4-oxobutan-2-il]amino)-8,9-dihidro-1*H*(o 3*H*)-dibenzo[*b,f*][1,2,3]triazolo[4,5-*d*]azocin-1(o 3)-il]metilo (*tazevibulina*)  
*inmunomodulador, antineoplásico*

2493327-62-9

## Heavy chain / Chaîne lourde / Cadena pesada

```
MEVQLVESGG GLVQPGGSLR LSCAASGFNI RTQSIHWVRQ APGKLEWIG 50
DIFPIDGTD YADSVKGRFT ISADTSKNTA YLQMNLSRAE DTAVYYCARG 100
SWSWPSGMDY YLDYWGQGTLL VTVSSASTKG FSVFPLAPSS KSTSGGTAAL 150
GCLVKDYFPE PVTVSWNSGA LTVSGVHTFPA VLQSSGLESL SSVTVVPSSS 200
LGTQYICNV NHRKPSNTKVD KRVFEPKSCDK THTCPPCPAP ELLGGPSVFL 250
FPFKPKDTLM ISRTPEVTCV VVDVSHEDPE VKFNWYVDGV EVHNAKTKPR 300
EEQYNSTYRV VSVLTVLHQD WLNKGKEYKCK VSNKALPAPI EKTISKARGQ 350
PREPQVYTLF PSREEMTKNQ VSLTCLVKG F YPSDIAVEWE SNGQPENNYG 400
TTPPVLDSDG SFLYSLKLTV DKSRWQQGNV FSCSVMHREAL HNHYTQKSL 450
LSPGK 455
```

## Light chain / Chaîne légère / Cadena ligera

```
MDIQMTQSPS SLSASVGRDV TITCRASQDV NTAVAWYQQK PGKAPKLLIY 50
SASFLYSGVP SRFSGSRSGT DFTLTISSLQ PEDFATYYCQ QHYTTPPTFG 100
QGTKVEIKRT VAAPSVFIFP PSDEQLKSGT ASVVCLLNPF YPREAKVQWK 150
VDNALQSGNS QESVTEQDSK DSTYLSLSTL TSKADYEKH KVAACEVTHQ 200
GLSSPVTKSF NRGEC 215
```

**E** indicates non-natural amino acid *p*-azidomethyl-L-phenylalanine (pAMF)

## Post-translational modifications

Disulfide bridges location / Position des ponts disulfure / Posiciones de los puentes disulfuro

Intra-H (C23-C104) 23-97 152-208 269-329 375-433  
23"-97" 152"-208" 269"-329" 375"-433"

Intra-L (C23-C104) 24"-89" 135"-195"

24"-89" 135"-195"

Inter-H-L (h 5-CL 126) 228-215" 228"-215"

Inter-H-H (h 11, h 14) 234-234" 237-237"

N-terminal methionine / Méthionine N-terminale / Metionina N-terminal

H VH M1.1: 1, 1"

L V-KAPPA M1.1: 1', 1'"

No N-terminal methionine clipping (expressed in a cell-free expression system) / Pas de

coupeure de la méthionine N-terminale (exprimé dans un système d'expression acellulaire /

Sin recorte de metionina N-terminal (expresado en un sistema de expresión libre de células)

Conjugation sites / Sites de conjugation / Posiciones de conjugación

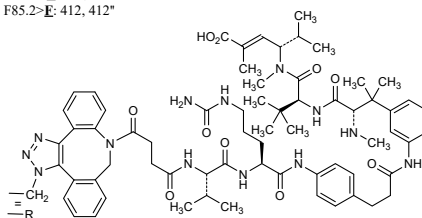
**E**: *p*-azidomethyl-L-phenylalanine (pAMF) used as conjugation specific site /

**E**: *p*-azidométhyl-L-phénylalanine (pAMF) utilisé comme site spécifique de conjugaison /

**E**: *p*-azidometil-L-fenilalanina (pAMF) utilizada como sitio específico de conjugación

H CH1 Y85.2-**E**: 188, 188"

H CH3 F85.2-**E**: 412, 412"





**luveltamabum tazidum #**

luveltamab tazide

immunoglobulin G1-kappa, anti-[*Homo sapiens* FOLR1 (folate receptor 1, folate receptor alpha, FR-alpha, adult folate-binding protein, FBP, ovarian tumor-associated antigen MOv18)], humanized monoclonal antibody, genetically modified at four specific positions with reactive 4-(azidomethyl)-L-phenylalanine residues; gamma1 heavy chain humanized (1-455) [VH (*Homo sapiens* IGHV3-66\*01 (79.6%) -(IGHD) -IGHJ4\*01 (93.3%), CDR-IMGT [8.8.17] (27-34.52-59.98-114)) (1-125) -*Homo sapiens* IGHG1\*03v, G1m3>G1m17, nG1m1 (CH1 Y85.2>F (pAMF) (188), R120>K (222) (126-223), hinge 1-15 (224-238), CH2 (239-348), CH3 E12 (364), M14 (366), F85.2>F (pAMF) (412) (349-453), CHS (454-455)) (126-455)], (228-215')-disulfide with kappa light chain humanized (1'-215') [V-KAPPA (*Homo sapiens* IGKV1-39\*01 (86.3%) -IGKJ1\*01 (100%), CDR-IMGT [6.3.9] (28-33.51-53.90-98)) (1'-108') - *Homo sapiens* IGKC\*01 (100%), Km3 A45.1 (154), V101 (192) (109'-215')]; dimer (234-234":237-237")-bisdisulfide, produced by a cell-free protein synthesis system based on *Escherichia coli* lysate, non-glycosylated; conjugated at C-4 of the four L-phenylalanyl residues 188, 412, 188" and 412" with azidomethyl (*tazide*) groups  
*immunomodulator, antineoplastic*

luveltamab tazide

immunoglobuline G1-kappa, anti-[*Homo sapiens* FOLR1 (récepteur 1 du folate, récepteur alpha du folate, FR-alpha, protéine de l'adulte liant le folate, FBP, antigène MOv18 associé à des tumeurs ovariennes)], anticorps monoclonal humanisé, génétiquement modifié sur quatre positions spécifiques avec des résidus 4-(azidométhyl)-L-phénylalanine réactifs; chaîne lourde gamma1 humanisée (1-455) [VH (*Homo sapiens* IGHV3-66\*01 (79.6%) -(IGHD) -IGHJ4\*01 (93.3%), CDR-IMGT [8.8.17] (27-34.52-59.98-114)) (1-125) -*Homo sapiens* IGHG1\*03v, G1m3>G1m17, nG1m1 (CH1 Y85.2>F (pAMF) (188), R120>K (222) (126-223), charnière 1-15 (224-238), CH2 (239-348), CH3 E12 (364), M14 (366), F85.2>F (pAMF) (412) (349-453), CHS (454-455)) (126-455)], (228-215')-disulfure avec la chaîne légère kappa humanisée (1'-215') [V-KAPPA (*Homo sapiens* IGKV1-39\*01 (86.3%) -IGKJ1\*01 (100%), CDR-IMGT [6.3.9] (28-33.51-53.90-98)) (1'-108') -*Homo sapiens* IGKC\*01 (100%), Km3 A45.1 (154), V101 (192) (109'-215')]; dimère (234-234":237-237")-bisdisulfure, produit par un système acellulaire de synthèse de protéines à base de lysat d'*Escherichia coli*, non-glycosylé; conjugué en C-4 des quatre résidus L-phénylalanyle 188, 412, 188" et 412" avec des groupes azidométhyle (*tazide*)  
*immunomodulateur, antinéoplasique*

luveltamab tazida

immunoglobulina G1-kappa, anti-[*Homo sapiens* FOLR1 (receptor 1 del folato, receptor alfa del folato, FR-alfa, proteína del adulto de unión al folato, FBP, antígeno MOv18 asociado con los tumores ováricos)], anticuerpo monoclonal humanizado, genéticamente modificado en cuatro posiciones específicas con residuos 4-(azidometil)-L-fenilalanina reactivos;

cadena pesada gamma1 humanizada (1-455) [VH (*Homo sapiens* IGHV3-66\*01 (79.6%) -(IGHD) - IGHJ4\*01 (93.3%), CDR-IMGT [8.8.17] (27-34.52-59.98-114)) (1-125) -*Homo sapiens* IGHG1\*03v, G1m3>G1m17, nG1m1 (CH1 Y85.2>F (pAMF) (188), R120>K (222) (126-223), bisagra 1-15 (224-238), CH2 (239-348), CH3 E12 (364), M14 (366), F85.2>F (pAMF) (412) (349-453), CHS (454-455)) (126-455)], (228-215')-disulfuro con la cadena ligera kappa humanizada (1'-215') [V-KAPPA (*Homo sapiens* IGKV1-39\*01 (86.3%) -IGKJ1\*01 (100%), CDR-IMGT [6.3.9] (28-33.51-53.90-98)) (1'-108') -*Homo sapiens* IGKC\*01 (100%), Km3 A45.1 (154), V101 (192) (109'-215')]; dímero (234-234":237-237")-bisdisulfuro, producido por un sistema de síntesis de proteínas sin células basado en lisado de *Escherichia coli*, no glicosilado; conjugado en C-4 de los cuatro residuos de L-fenilalanilo 188, 412, 188" y 412" con grupos azidometilo (*tazida*)  
*inmunomodulador, antineoplásico*

2493327-59-4

## Heavy chain / Chaîne lourde / Cadena pesada

```
MEVQLVESGG GLVQPGGSLR LSCAASGFNI RTQSIHWVRQ APGKLEWIG 50
DIFPIDGITD YADSVKGRFT ISADTSKNTA YLQMSLSRAE DTAVYYCARG 100
SWSWSPGMDY YLDYWGQQTLL VTVSSASTKG PSVFFLAPFS KSTSGGTAAL 150
GCLVKDIFPE EPTVSWNSGA LITSGVHTFPA VLQSSGLFSL SSVVTVFSSS 200
LGTQTYICNV NHKPSNTKVD KKVPEKSCDK THTCPPCPAP ELLGGPSVFL 250
FFPKPKDTLM ISRTPPEVTCV VVDVSHEDPE VKFNWYVDGV EVHNAKTKPR 300
EEQYNSTYRV VSVLTVLHQD WLNKREYKCK VSNKALPAPI ERTISKARGQ 350
PREPQVYTLF PSREEMTKNQ VSLTCLVKGFG YPSDIAVEWE SNGQPFENYK 400
TTPFVLDSGD SFLYSLKLTV DKSRWQQGNV FSCSVMHEAL HNHYTQKSL 450
LSPGK 455
```

## Light chain / Chaîne légère / Cadena ligera

```
MDIQMTQSPS SLSASVGDIV TITCRASQDV NTAVAWYQQK PGKAPKLLIY 50
SASFLYSGVP SRFSGSRSGT DFTLTISLQ PEDFATYYCQ QHYTTPPTFG 100
QGTKVEIKRT VAAPSVFIFP PSDEQLKSGT ASVCLLNNF YPREAKVQWK 150
VDNALQSGNS QESVTEQDSK DSTYLSLSTL TLSKADYEKH KVYACEVTHQ 200
GLSSPVTKSF NRGEC 215
```

**E** indicates non-natural amino acid *p*-azidomethyl-L-phenylalanine (pAMF)

## Post-translational modifications

Disulfide bridges location / Position des ponts disulfure / Posiciones de los puentes disulfuro

Intra-H (C23-C104) 23-97 152-208 269-329 375-433  
23"-97" 152"-208" 269"-329" 375"-433"

Intra-L (C23-C104) 24'-89' 135'-195'  
24"-89" 135"-195"

Inter-H-L (h 5-CL 126) 228-215' 228"-215"

Inter-H-H (h 11, h 14) 234-234" 237-237"

N-terminal methionine / Méthionine N-terminale / Metionina N-terminal

H VH M1.1: 1, 1"

L V-KAPPA M1.1: 1', 1"

No N-terminal methionine clipping (expressed in a cell-free expression system) / Pas de coupure de la méthionine N-terminale (exprimé dans un système d'expression acellulaire) / Sin recorte de metionina N-terminal (expresado en un sistema de expresión libre de células)

Conjugation sites / Sites de conjugation / Posiciones de conjugación

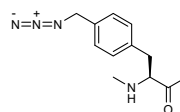
**E**: *p*-azidomethyl-L-phenylalanine (pAMF) used as conjugation specific site /

**E**: *p*-azidométhyl-L-phénylalanine (pAMF) utilisé comme site spécifique de conjugaison /

**E**: *p*-azidometil-L-fenilalanina (pAMF) utilizada como sitio específico de conjugación

H CH1 Y85.2>**E**: 188, 188"

H CH3 F85.2>**E**: 412, 412"



**mazdutidum**

mazdutide

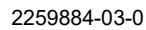
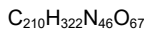
L-histidyl-2-methylalanyl-L-glutaminylglycyl-L-threonyl-L-phenylalanyl-L-threonyl-L-seryl-L- $\alpha$ -aspartyl-L-tyrosyl-L-seryl-L-lysyl-L-tyrosyl-L-leucyl-L- $\alpha$ -aspartyl-L- $\alpha$ -glutamyl-L-lysyl-L-lysyl-L-alanyl- $N^{\delta}$ -[(22S)-22,42-dicarboxy-10,19,24-trioxo-3,6,12,15-tetraoxa-9,18,23-triazadotetracontan-1-oyl]-L-lysyl-L- $\alpha$ -glutamyl-L-phenylalanyl-L-valyl-L- $\alpha$ -glutamyl-L-tryptophyl-L-leucyl-L-leucyl-L- $\alpha$ -glutamylglycylglycyl-L-prolyl-L-seryl-L-serylglycinamide  
*glucagon and glucagon-like peptide 1 (GLP-1) receptors agonist*

mazdutide

L-histidyl-2-méthylalanyl-L-glutaminylglycyl-L-thréonyl-L-phénylalanyl-L-thréonyl-L-séryl-L- $\alpha$ -aspartyl-L-tyrosyl-L-séryl-L-lysyl-L-tyrosyl-L-leucyl-L- $\alpha$ -aspartyl-L- $\alpha$ -glutamyl-L-lysyl-L-lysyl-L-alanyl- $N^{\delta}$ -[(22S)-22,42-dicarboxy-10,19,24-trioxo-3,6,12,15-tétraoxa-9,18,23-triazadotétracontan-1-oyl]-L-lysyl-L- $\alpha$ -glutamyl-L-phénylalanyl-L-valyl-L- $\alpha$ -glutamyl-L-tryptophyl-L-leucyl-L-leucyl-L- $\alpha$ -glutamylglycylglycyl-L-prolyl-L-séryl-L-sérylglycinamide  
*agoniste des récepteurs au glucagon et au peptide-1 d'action type glucagon (GLP-1)*

mazdutida

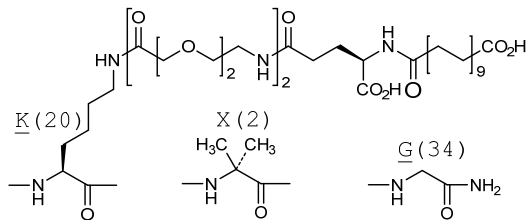
L-histidil-2-metilalanil-L-glutaminilglicil-L-treonil-L-fenilalanil-L-treonil-L-seril-L- $\alpha$ -aspartil-L-tirosil-L-seril-L-lisil-L-tirosil-L-leucil-L- $\alpha$ -aspartil-L- $\alpha$ -glutamil-L-lisil-L-lisil-L-alanil- $N^{\delta}$ -[(22S)-22,42-dicarboxi-10,19,24-trioxo-3,6,12,15-tetraoxa-9,18,23-triazadotetracontan-1-oil]-L-lisil-L- $\alpha$ -glutamil-L-fenilalanil-L-valil-L- $\alpha$ -glutamil-L-triptofil-L-leucil-L-leucil-L- $\alpha$ -glutamilglicilglicil-L-prolil-L-seril-L-serilglicinamida  
*agonista de los receptores del glucagon y del péptido similar al glucagón (GLP-1)*



Sequence / séquence / secuencia

HXQGTFTSDY SKYLDEKKA $\underline{K}$  EFVEWLLEGG PSS $\underline{G}$  34

Modified residues / résidus modifiés / restos modificados



**mecbotamabum #**  
mecbotamab

immunoglobulin G1-kappa, anti-[*Homo sapiens* AXL (AXL receptor tyrosine kinase, tyrosine-protein kinase receptor UFO)], humanized monoclonal antibody; gamma1 heavy chain humanized (1-449) [VH (*Homo sapiens* IGHV5-51\*01 (74.2%) -(IGHD) -IGHJ4\*01 (100%), CDR-IMGT [8.8.13] (26-33.51-58.97-109)) (1-120) -*Homo sapiens* IGHG1\*01 (100%), G1m17,1 (CH1 K120 (217) (121-218), hinge 1-15 (219-233), CH2 (234-343), CH3 D12 (359), L14 (361) (344-448), CHS K2 > del (449)) (121-449)], (223-214')-disulfide with kappa light chain humanized (1'-214') [V-KAPPA (*Homo sapiens* IGKV1-5\*03 (79.6%) -IGKJ1\*01 (100%), CDR-IMGT [6.3.9] (27-32.50-52.89-97)) (1'-107') -*Homo sapiens* IGKC\*01 (100%), Km3 A45.1 (153), V101 (191) (108'-214')]; dimer (229-229":232-232")-bisdisulfide, produced in Chinese hamster ovary (CHO) cells, cell line CHO-S, glycoform alfa  
*immunomodulator, antineoplastic*

mecbotamab

immunoglobuline G1-kappa, anti-[*Homo sapiens* AXL (récepteur tyrosine kinase AXL, récepteur tyrosine-protéine kinase UFO)], anticorps monoclonal humanisé;  
chaîne lourde gamma1 humanisée (1-449) [VH (*Homo sapiens* IGHV5-51\*01 (74.2%) -(IGHD) -IGHJ4\*01 (100%), CDR-IMGT [8.8.13] (26-33.51-58.97-109)) (1-120) -*Homo sapiens* IGHG1\*01 (100%), G1m17,1 (CH1 K120 (217) (121-218), charnière 1-15 (219-233), CH2 (234-343), CH3 D12 (359), L14 (361) (344-448), CHS K2 < del (449)) (121-449)], (223-214')-disulfure avec la chaîne légère kappa humanisée (1'-214') [V-KAPPA (*Homo sapiens* IGKV1-5\*03 (79.6%) -IGKJ1\*01 (100%), CDR-IMGT [6.3.9] (27-32.50-52.89-97)) (1'-107') -*Homo sapiens* IGKC\*01 (100%), Km3 A45.1 (153), V101 (191) (108'-214')]; dimère (229-229":232-232")-bisdisulfure, produit dans des cellules ovariennes de hamster chinois (CHO), lignée cellulaire CHO-S, glycoforme alfa  
*immunomodulateur, antinéoplasique*

mecbotamab

immunoglobulina G1-kappa, anti-[*Homo sapiens* AXL (receptor tirosina kinasa AXL, receptor tirosina-proteína kinasa UFO)], anticuerpo monoclonal humanizado;  
cadena pesada gamma1 humanizada (1-449) [VH (*Homo sapiens* IGHV5-51\*01 (74.2%) -(IGHD) -IGHJ4\*01 (100%), CDR-IMGT [8.8.13] (26-33.51-58.97-109)) (1-120) -*Homo sapiens* IGHG1\*01 (100%), G1m17,1 (CH1 K120 (217) (121-218), bisagra 1-15 (219-233), CH2 (234-343), CH3 D12 (359), L14 (361) (344-448), CHS K2 < del (449)) (121-449)], (223-214')-disulfuro con la cadena ligera kappa humanizada (1'-214') [V-KAPPA (*Homo sapiens* IGKV1-5\*03 (79.6%) -IGKJ1\*01 (100%), CDR-IMGT [6.3.9] (27-32.50-52.89-97)) (1'-107') -*Homo sapiens* IGKC\*01 (100%), Km3 A45.1 (153), V101 (191) (108'-214')]; dímero (229-229":232-232")-bisdisulfuro, producido en las células ováricas de hámster chino (CHO), línea celular CHO-S, forma glicosilada alfa  
*immunomodulador, antineoplásico*

2460400-28-4

Heavy chain / Chaîne lourde / Cadena pesada	
EVQLVQSGAE VKKFGATVKI	SKVSGVSYFW GATMNMIRQF PGKGLEWIGL 50
IKPSNGGTSY NQKFKGRVTI	SADKISITAY LQWSSLKASD TAMYYCAHGH 100
YESYEAMDYW GQGTLVTVSS	ASTKGPSVFP LAFSSKSTSG GTAALGCLVK 150
DYFFPEPTVS WNSGALTSGV	HTFFPAVLQSS GLYSLSLSSVVT VFSSSLGTQT 200
YICNVNHNKPS NTKVDKKEVF	KSCDKTHTCP FCPAPELLGG PSVFLFPFKP 250
KDTLMISRTF EVTCVVVDVS	HEDPEVFKFNW YVDGVEVHNA KTKPREEQYN 300
STYRVVSVLT VLRHQDWLNGK	EYKCKVSNKA LPAPIEKTIIS KAKGQPREPQ 350
VYTLPPSRDE LTRNQVSLTC	LVKGFYPSDI AVEWESNGQP ENNYKTTTPV 400
LDSDSGFFLY SKLTVDKSRW	QQGNVFSCSV MHEALHNHYT QKSLSLSPG 449
Light chain / Chaîne légère / Cadena ligera	
DIQMTQSPSS LSASVGDRTV	ITCKASQDQV SAVAWYQQKPK GQAPRLLIYW 50
QDTRHTGVPF RFGSGSGSTE	FTLTISSLQF DDFATYYCQE HFSPLPTFGQ 100
GTRKVEIKRTV AAPSVFIFPP	SDEQLKSGTA SVVCLLNIFY BREAKVQWKV 150
DNALQSGNSQ ESVTEQDSKD	STYLSLSTLT LSKADYEHKK VYACEVTHQG 200
LSSFVTKSFN RGEC	214

**Post-translational modifications**

Disulfide bridges location / Position des ponts disulfure / Posiciones de los puentes disulfuro

Intra-H (C23-C104)	22-96	147-203	264-324	370-428
	22"-96"	147"-203"	264"-324"	370"-428"
Intra-L (C23-C104)	23"-88"	134"-194"		
	23"-88"	134"-194"		
Inter-H-L (h 5-CL 126)	223-214"	223"-214"		
Inter-H-H (h 11, h 14)	229-229"	232-232"		

N-glycosylation sites / Sites de N-glycosylation / Posiciones de N-glicosilación  
 H CH2 N84.4: 300, 300"  
 Fucosylated complex bi-antennary CHO-type glycans / glycanes de type CHO bi-antennaires complexes fucosylés / glicanos de tipo CHO biantennarios complejos fucosilados.

**mecbotamabum vedotinum #**  
 mecbotamab vedotin

immunoglobulin G1-kappa, anti-[*Homo sapiens* AXL (AXL receptor tyrosine kinase, tyrosine-protein kinase receptor UFO)], humanized monoclonal antibody, conjugated to auristatin E;  
 gamma1 heavy chain humanized (1-449) [VH (*Homo sapiens* IGHV5-51\*01 (74.2%) -(IGHD) -IGHJ4\*01 (100%), CDR-IMGT [8.8.13] (26-33.51-58.97-109)) (1-120) -*Homo sapiens* IGHG1\*01 (100%), G1m17,1 (CH1 K120 (217) (121-218), hinge 1-15 (219-233), CH2 (234-343), CH3 D12 (359), L14 (361) (344-448), CHS K2>del (449)) (121-449)], (223-214')-disulfide with kappa light chain humanized (1'-214') [V-KAPPA (*Homo sapiens* IGKV1-5\*03 (79.6%) -IGKJ1\*01 (100%), CDR-IMGT [6.3.9] (27-32.50-52.89-97)) (1'-107') -*Homo sapiens* IGKC\*01 (100%), Km3 A45.1 (153), V101 (191) (108'-214')]; dimer (229-229'':232-232'')-bisdisulfide, produced in Chinese hamster ovary (CHO) cells, cell line CHO-S, glycoform alfa, conjugated, on an average of 4 cysteinyl, to monomethylauristatin E (MMAE), via a cleavable maleimidocaproyl-valyl-citrullinyl-p-aminobenzoyloxycarbonyl (mc-val-cit-PABC) type linker  
 For the vedotin part, please refer to the document "INN for pharmaceutical substances: Names for radicals, groups and others"  
 antineoplastic

mecbotamab védotine

immunoglobuline G1-kappa, anti-[*Homo sapiens* AXL (récepteur tyrosine kinase AXL, récepteur tyrosine-protéine kinase UFO)], anticorps monoclonal humanisé, conjugué à l'auristatine E;

chaîne lourde gamma1 humanisée (1-449) [VH (*Homo sapiens* IGHV5-51\*01 (74.2%) -(IGHD) -IGHJ4\*01 (100%), CDR-IMGT [8.8.13] (26-33.51-58.97-109)) (1-120) -*Homo sapiens* IGHG1\*01 (100%), G1m17,1 (CH1 K120 (217) (121-218), charnière 1-15 (219-233), CH2 (234-343), CH3 D12 (359), L14 (361) (344-448), CHS K2>del (449)) (121-449)], (223-214')-disulfure avec la chaîne légère kappa humanisée (1'-214') [V-KAPPA (*Homo sapiens* IGKV1-5\*03 (79.6%) -IGKJ1\*01 (100%), CDR-IMGT [6.3.9] (27-32.50-52.89-97)) (1'-107') -*Homo sapiens* IGKC\*01 (100%), Km3 A45.1 (153), V101 (191) (108'-214')]; dimère (229-229'':232-232'')-bisdisulfure, produit dans des cellules ovariennes de hamster chinois (CHO), lignée cellulaire CHO-S, glycoforme alfa, conjugué, sur 4 cystéinyl en moyenne, au monométhylauristatine E (MMAE), via un linker clivable de type maléimidocaproyl-valyl-citrullinyl-*p*-aminobenzoyloxycarbonyl (mc-val-cit-PABC) Pour la partie védotina, veuillez-vous référer au document "INN for pharmaceutical substances: Names for radicals, groups and others".  
**antineoplasique**

mecbotamab vedotina

immunoglobulina G1-kappa, anti-[*Homo sapiens* AXL (receptor tirosina kinasa AXL, receptor tirosina-proteína kinasa UFO)], anticuerpo monoclonal humanizado, conjugado con la auristatina E; cadena pesada gamma1 humanizada (1-449) [VH (*Homo sapiens* IGHV5-51\*01 (74.2%) -(IGHD) -IGHJ4\*01 (100%), CDR-IMGT [8.8.13] (26-33.51-58.97-109)) (1-120) -*Homo sapiens* IGHG1\*01 (100%), G1m17,1 (CH1 K120 (217) (121-218), bisagra 1-15 (219-233), CH2 (234-343), CH3 D12 (359), L14 (361) (344-448), CHS K2>del (449)) (121-449)], (223-214')-disulfuro con la cadena ligera kappa humanizada (1'-214') [V-KAPPA (*Homo sapiens* IGKV1-5\*03 (79.6%) -IGKJ1\*01 (100%), CDR-IMGT [6.3.9] (27-32.50-52.89-97)) (1'-107') -*Homo sapiens* IGKC\*01 (100%), Km3 A45.1 (153), V101 (191) (108'-214')]; dímero (229-229'':232-232'')-bisdisulfuro, producido en las células ováricas de hámster chino (CHO), línea celular CHO-S, forma glicosilada alfa, conjugado, en 4 restos cisteinil por término medio, con monometilauristatina E (MMAE), a través de un enlace escindible de tipo maleimidocaproil-valil-citrullinil-*p*-aminobenciloxicarbonil (mc-val-cit-PABC) Para la parte vedotina, por favor vaya al documento "INN for pharmaceutical substances: Names for radicals, groups and others".  
**antineoplásico**

2460400-64-8

Heavy chain / Chaîne lourde / Cadena pesada

EVQLVQSGAE	VKKPGATVKI	SCKVSGYSFW	GATMNIWIRQP	PGKGLEWIGL	50
IKPSNGGTSY	NQKFKGRVTI	SADKISITAY	LQWSSLKASD	TAMYCAHGH	100
YESYEAMDYW	GQGTLVTVSS	ASTKGPSVFP	LAFSSKSTSG	GTAALGCLVK	150
DYFPEPVTVS	WNSGALTSGV	HTFPAVLQSS	GLYSLSSVVT	VPSSSLGTQT	200
YICNVNKKPS	NTKVDKKVEP	KSCDKTHTCP	PCPAPELLGG	PSVFLFPPKP	250
KDTLMISRTP	EVTCVVVDVS	HEDPEVKFNW	YVDGVEVHNA	KTKPREEQYN	300
STRYRVSVLT	VLHQDWLNGK	EYKCKVSNKA	LPAPIEKTIS	KAKGQPREPQ	350
VYTLPPSRDE	LTRKQVSLTC	LVKGFYPSDI	AVEVESNGQP	ENNYKTTFPV	400
LDSGGSFFLY	SKLTVDKSRW	QQGNVFCSCV	MHEALHNHYT	QKSLSLSPG	449

Light chain / Chaîne légère / Cadena ligera

DIQMTQSPSS	LSASVGDRTV	ITCKASQDVV	SAVAWYQQKQ	GQAPRLLIYW	50
QDTRHTGVPS	RFGSGSGSTE	FTLTISSLQP	DDFATYYCQE	HFSPLTTPGQ	100
GTRKVEIKRTV	AAPSVFIFPP	SDEQLKSGTA	SVVCLLNIFY	PREAKVQWKV	150
DNALQSGNSQ	ESVTEQDSKD	STYLSLSTLT	LSKADYEKHK	VYACEVTHQG	200
LSSFVTKSFN	RGEC				214

**Post-translational modifications**

Disulfide bridges location / Position des ponts disulfure / Posiciones de los puentes disulfuro

Intra-H (C23-C104)	22-96	147-203	264-324	370-428
	22"-96"	147"-203"	264"-324"	370"-428"

Intra-L (C23-C104)	23"-88"	134"-194"
	23"-88"	134"-194"

Inter-H-L\* (h 5-CL 126) 223-214' 223"-214"

Inter-H-H\* (h 11, h 14) 229-229" 232-232"

\*At least two of the four inter-chain disulfide bridges are not present, an average of 4 cysteinyl being conjugated each via a thioether bond to a drug linker.

\*Au moins deux des quatre ponts disulfures inter-chaînes ne sont pas présents, 4 cystéinyl en moyenne étant chacun conjugué via une liaison thioéther à un linker-principe actif.

\*Al menos dos de los cuatro puentes disulfuro inter-catenarios no estan presentes, una media de 4 cisteinil está conjugada a conectores de principio activo.

N-glycosylation sites / Sites de N-glycosylation / Posiciones de N-glicosilación

H CH2 N84.4: 300, 300'

Fucosylated complex bi-antennary CHO-type glycans / glycanes de type CHO bi-antennaires complexes fucosylés / glicanos de tipo CHO biantennarios complejos fucosilados.

**minzasolminum**  
minzasolmin

*N*-[(2*R*)-1-(1*H*-indol-3-yl)hexan-2-yl]-2-(4-methylpiperazin-1-yl)-1,3-thiazole-5-carboxamide  
*alpha*-synuclein oligomerization inhibitor

minzasolmine

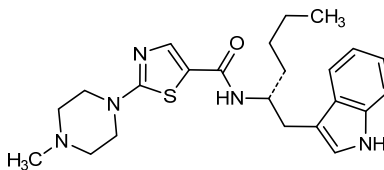
*N*-[(2*R*)-1-(1*H*-indol-3-yl)hexan-2-yl]-2-(4-méthylpipérazin-1-yl)-1,3-thiazole-5-carboxamide  
*inhibiteur de l'oligomérisation de l'alpha-synucléine*

minzasolmina

*N*-[(2*R*)-1-(1*H*-indol-3-il)hexan-2-il]-2-(4-metilpiperazin-1-il)-1,3-tiazol-5-carboxamida  
*inhibidor de la oligomerización de la alfa-sinucleína*

C<sub>23</sub>H<sub>31</sub>N<sub>5</sub>OS

1802518-92-8



**mitiperstatum**  
mitiperstat

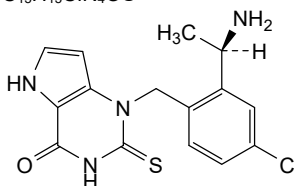
1-({2-[(1*R*)-1-aminoethyl]-4-chlorophenyl}methyl)-2-sulfanylidene-1,2,3,5-tetrahydro-4*H*-pyrrolo[3,2-*d*]pyrimidin-4-one  
*myeloperoxidase inhibitor*

mitiperstat  
1-((2-[(1*R*)-1-aminoéthyl]-4-chlorophényl)méthyl)-2-sulfanylidène-1,2,3,5-tétrahydro-4*H*-pyrrolo[3,2-*d*]pyrimidin-4-one  
*inhibiteur de la myélopéroxydase*

mitiperstat  
1-((2-[(1*R*)-1-aminoéthyl]-4-clorofenil)méthyl)-2-sulfanilideno-1,2,3,5-tétrahydro-4*H*-pirrolo[3,2-*d*]pirimidin-4-ona  
*inhibidor de la mieloperoxidasa*

C<sub>15</sub>H<sub>15</sub>ClN<sub>4</sub>OS

1933460-19-5



**motugivatrepum**  
motugivatrep

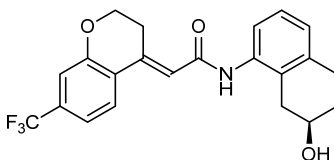
(2*E*)-*N*-[(7*R*)-7-hydroxy-5,6,7,8-tétrahydronaphthalén-1-yl]-2-[7-(trifluorométhyl)-2,3-dihydro-4*H*-1-benzopyran-4-ylidène]acétamide  
*transient receptor potential vanilloïd 1 (TRPV1) antagonist*

motugivatrep  
(2*E*)-*N*-[(7*R*)-7-hydroxy-5,6,7,8-tétrahydronaphthalén-1-yl]-2-[7-(trifluorométhyl)-2,3-dihydro-4*H*-1-benzopyran-4-ylidène]acétamide  
*antagoniste des récepteurs membranaires vanilloïdes sous-type 1 (TRPV1)*

motugivatrep  
(2*E*)-*N*-[(7*R*)-7-hidroxi-5,6,7,8-tétrahidronaftalén-1-il]-2-[7-(trifluorométhyl)-2,3-dihydro-4*H*-1-benzopiran-4-ilideno]acétamida  
*antagonista de los receptores membranarios vanilloïdes subtipo 1 (TRPV1)*

C<sub>22</sub>H<sub>20</sub>F<sub>3</sub>NO<sub>3</sub>

920332-28-1



**mufemilastum**  
mufemilast

*N*-[5-[(1*S*)-1-(3-éthoxy-4-méthoxyphényl)-2-(méthanesulfonyl)éthyl]-4,6-dioxo-5,6-dihydro-4*H*-thiéo[3,4-*c*]pyrrol-1-yl]acétamide  
*phosphodiesterase 4 (PDE4) inhibitor*

mufémilast  
*N*-[5-[(1*S*)-1-(3-éthoxy-4-méthoxyphényl)-2-(méthanesulfonyl)éthyl]-4,6-dioxo-5,6-dihydro-4*H*-thiéo[3,4-*c*]pyrrol-1-yl]acétamide  
*inhibiteur de la phosphodiesterase 4 (PDE4)*





C<sub>172</sub>H<sub>217</sub>N<sub>74</sub>O<sub>82</sub>P<sub>17</sub>S<sub>17</sub>

2576358-63-7

(3'-5')d(C=A=C=C=C=A=C=C=C=A=A=G=A=A=C=A=G=G)

d(...): *all*-2'-deoxy / *tout*-2'-désoxy / *todo*-2'-desoxi; =: -PO(SH)-**nanrilkefuspum alfa #**  
nanrilkefusp alfa

human interleukin-15 receptor subunit alpha (IL15R $\alpha$ ) fragment (31-108, 1-78 in the current sequence) fused via the peptidyl linker <sup>79</sup>GGSGGGGSGGGSGGGGSGG<sup>97</sup> to human interleukin 15 (98-211 in the current sequence), produced in Chinese hamster ovary (CHO) cells, glycoform alfa;

interleukin-15 receptor subunit alpha (human) (IL15R $\alpha$ , IL15RA), (31-108)-peptide (sushi domain 31-95 plus extension 96-108) (1-78) fused via the 19-peptide linker G<sub>2</sub>SG<sub>4</sub>SG<sub>3</sub>SG<sub>4</sub>SG<sub>2</sub> (79-97) with human interleukin 15 (98-211), produced in Chinese hamster ovary (CHO) cells, glycoform alfa

*immunomodulator, antineoplastic*

## nanrilkéfusp alfa

fragment alpha de la sous-unité du récepteur de l'interleukine-15 humaine (IL15R $\alpha$ ) (31-108, 1-78 dans la séquence actuelle) fusionné via une liaison peptidique <sup>79</sup>GGSGGGGSGGGSGGGGSGG<sup>97</sup> à l'interleukine 15 humaine (98-211 dans la séquence actuelle), produit dans des cellules ovariennes de hamster chinois (CHO), glycoforme alfa;

sous-unité alpha du récepteur de l'interleukine-15 (humaine) (IL15R $\alpha$ , IL15RA), peptide 31-108 (domaine sushi 31-95 plus extension 96-108) (1-78) fusionné via la liaison peptidique G<sub>2</sub>SG<sub>4</sub>SG<sub>3</sub>SG<sub>4</sub>SG<sub>2</sub> (79-97) avec l'interleukine humaine 15 (98-211), produit dans des cellules ovariennes de hamster chinois (CHO), glycoforme alfa

*immunomodulateur, antinéoplasique*

## nanrilkefusp alfa

receptor subunidad alfa del receptor de interleukina-15 humana (IL15R $\alpha$ ) fragmento (31-108, 1-78 en la actual secuencia) fusionado a través del enlace peptidil <sup>79</sup>GGSGGGGSGGGSGGGGSGG<sup>97</sup> a la interleukina 15 humana (98-211 en la secuencia actual), producida en células ováricas de hamster chino (CHO), glicofoma alfa;

subunidad alfa del receptor de interleucina-15 (humano) (IL15R $\alpha$ , IL15RA), péptido 31-108 (dominio sushi 31-95 más extensión 96-108) (1-78) fusionado a través de un enlace peptídico G<sub>2</sub>SG<sub>4</sub>SG<sub>3</sub>SG<sub>4</sub>SG<sub>2</sub> (79-97) con la interleucina 15 humana (98-211), producido en células ováricas de hamster chino (CHO), glicofoma alfa

*immunomodulador, antineoplásico*

1416390-27-6

## Sequence / Séquence / Secuencia

ITCPPMMSVE HADIWVKSYS LYSRERYICN SGFKRKGAGTS SLTECVLNKA	50
TNVAHWTTPS LKCIKDPALV HQRPAAPPSSG <u>SGGGGGGGG</u> <u>GGGGGG</u> NWV	100
NVISDLKKIE DLIQSMHIDA TLYTESDVHP SCKVTAMKCF LLELQVISLE	150
SGDASIHDTV ENLILANNSS LSSNGNVTES GCKECELEE KNIKEFLQSF	200
VHIVQMFINT S	211

## Peptide linker / Peptide liant / Péptido de unión

79 GGSGGGGSGGGSGGGGSGG 97 (1-19)**Post-translational modifications / Modifications post-translationnelles / Modificaciones post-transcripcionales**

Disulfide bridges location / Position des ponts disulfure / Posiciones de los puentes disulfuro

Intra-chain 3-45, 29-63, 132-182, 139-185

N-glycosylation sites / Sites de N-glycosylation / Posiciones de N-glicosilación

N168, N176

**narazaciclimum**

narazaciclub

8-cyclopentyl-2-[4-(4-methylpiperazin-1-yl)anilino]-7-oxo-7,8-dihydropyrido[2,3-*d*]pyrimidine-6-carbonitrile  
*cyclin dependent kinase inhibitor, antineoplastic*

narazaciclub

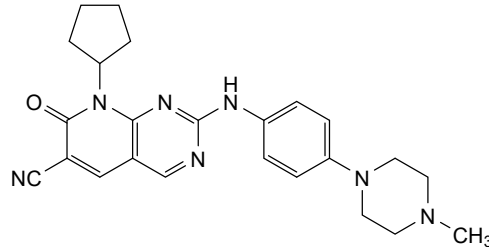
8-cyclopentyl-2-[4-(4-méthylpipérazin-1-yl)anilino]-7-oxo-7,8-dihydropyrido[2,3-*d*]pyrimidine-6-carbonitrile  
*inhibiteur des kinases dépendantes des cyclines, antinéoplasique*

narazaciclub

8-ciclopentil-2-[4-(4-metilpiperazin-1-il)anilino]-7-oxo-7,8-dihidropirido[2,3-*d*]pirimidina-6-carbonitrilo  
*inhibidor de las kinasas dependientes de las ciclinas, antineoplásico*

C<sub>24</sub>H<sub>27</sub>N<sub>7</sub>O

1357470-29-1

**navepegritidum**

navepegritide

C-type natriuretic peptide (CNP), human, (89-126)-fragment (1-38) (CNP-38), conjugated at N<sup>6</sup> of Lys26 with four O-methylpoly(ethylene glycol) chains (approx. 10 kDa each) via a cleavable tetraantennary linker;

L-leucyl-L-glutaminy-L-α-glutamyl-L-histidyl-L-prolyl-L-asparaginy-L-alanyl-L-arginyl-L-lysyl-L-tyrosyl-L-lysylglycyl-L-alanyl-L-asparaginy-L-lysyl-L-lysylglycyl-L-leucyl-L-seryl-L-lysylglycyl-L-cysteinyl-L-phenylalanylglycyl-L-leucyl-N<sup>6</sup>-{N<sup>2</sup>-[N<sup>6</sup>-bis(6-[(3RS)-1-{3-[(2RS)-2,3-bis[α-methylpoly(oxyethylene)-ω-oxy]propoxy]propyl)amino]-3-oxopropyl]-2,5-dioxopyrrolidin-3-yl)sulfanyl}hexanoyl)-L-lysyl]-N<sup>2</sup>-methyl-N<sup>1</sup>-[2-(methylamino)ethyl]-L-isoasparaginy]-L-lysyl-L-leucyl-L-α-aspartyl-L-arginyl-L-isoleucylglycyl-L-seryl-L-methionyl-L-serylglycyl-L-leucylglycyl-L-cysteine (22-38)-disulfide  
*natriuretic*

navépégritide

fragment 89-126 du peptide natriurétique de type C (CNP) humaine (CNP-38) (1-38), conjugué à N<sup>6</sup> de Lys26 avec quatre chaînes O-méthylpoly(éthylène glycol) (environ 10 kDa chacune) via un linker tétraantennaire clivable;

L-leucyl-L-glutaminy-L-α-glutamyl-L-histidyl-L-prolyl-L-asparaginy-L-alanyl-L-arginyl-L-lysyl-L-tyrosyl-L-lysylglycyl-L-alanyl-L-asparaginy-L-lysyl-L-lysylglycyl-L-leucyl-L-séryl-L-lysylglycyl-L-cystéinyl-L-phénylalanylglycyl-L-leucyl-N<sup>6</sup>-{N<sup>2</sup>-[N<sup>6</sup>-bis(6-[(3RS)-1-{3-[(2RS)-2,3-bis[α-méthylpoly(oxyéthylène)-ω-oxy]propoxy]propyl)amino]-3-oxopropyl]-2,5-dioxopyrrolidin-3-yl)sulfanyl}hexanoyl)-L-lysyl]-N<sup>2</sup>-méthyl-N<sup>1</sup>-[2-(méthylamino)éthyl]-L-isoasparaginy]-L-lysyl-L-leucyl-L-α-aspartyl-L-arginyl-L-isoleucylglycyl-L-séryl-L-méthionyl-L-sérylglycyl-L-leucylglycyl-L-cystéine (22-38)-disulfure  
*natriurétique*



**nomlabofuspum #**

nomlabofusp

cell-penetrating peptide TAT-cpp (1-12), derived from the human immunodeficiency virus 1 (HIV-1) HIV-TAT nuclear trans-activator, fused via peptidyl linker <sup>13</sup>GG<sup>14</sup> to the human isoform 1 precursor of mitochondrial frataxin (Friedreich ataxia protein) (15-224), non-glycosylated, produced in *Escherichia coli*;

cell-penetrating peptide TAT-cpp (1-12), derived from the trans-activator of transcription HIV-TAT of the human immunodeficiency virus 1 (HIV-1), fused via a glycyglycyl linker (13-14) with the human isoform 1 precursor of mitochondrial frataxin (Friedreich ataxia protein, FXN, EC:1.16.3.1) (15-224), non-glycosylated, produced in *Escherichia coli*  
*frataxin replacement therapy*

nomlabofusp

peptide de pénétration cellulaire TAT-cpp (1-12), dérivé du transactivateur nucléaire du virus de l'immunodéficience humaine 1 (VIH-1) VIH-TAT, fusionné par l'intermédiaire de la liaison peptidique <sup>13</sup>GG<sup>14</sup> au précurseur de l'isoforme 1 humaine de la frataxine mitochondriale (protéine de l'ataxie de Friedreich) (15-224), non glycosylé, produit dans *Escherichia coli*;

peptide de pénétration cellulaire TAT-cpp (1-12), dérivé du trans-activateur de transcription VIH-TAT du virus de l'immunodéficience humaine 1 (VIH-1), fusionné via une liaison peptidique glycyglycyle (13-14) avec l'isoforme 1 humaine du précurseur de la frataxine mitochondriale (protéine d'ataxie de Friedreich, FXN, EC:1.16.3.1) (15-224), non glycosylé, produit dans *Escherichia coli*  
*traitement substitutif de la frataxine*

nomlabofusp

péptido de penetración celular TAT-cpp (1-12), derivado del virus de la inmunodeficiencia humana 1 (VIH-1) VIH-TAT nuclear trans-activador, fusionado a través de un enlace peptidil <sup>13</sup>GG<sup>14</sup> a la isoforma humana 1 precursor de la frataxina mitocondrial (proteína de ataxia de Friedreich) (15-224), no glicosilado, producido en *Escherichia coli*;

péptido de penetración celular TAT-cpp (1-12), derivado del trans-activador de la transcripción genética VIH-TAT del virus de inmunodeficiencia humana 1 (VIH-1), fusionado a través de un enlace de glicilglicilo (13-14) con la isoforma 1 humana del precursor de la frataxina mitocondrial (proteína de ataxia de Friedreich, FXN, EC:1.16.3.1) (15-224), no glicosilado, producido en *Escherichia coli*  
*tratamiento de sustitución de la frataxina*

2548202-05-5

Sequence / Séquence / Secuencia

MYGRKKRRQR RRG <sup>13</sup> WTLGR RAVAGLLASP SPAQAQTLTR VPRFAELAPL	50
CGRRGLRTDI DATCTPRRAS SNQRGLNQIW NVKKQSVYLM NLRKSGTLGH	100
FGSLDETTYE RLAEETLDSL AEFFEDLADK PYTFEDYDVS FGSGLTVKVL	150
GGDLGTYVIN KQTPNKQIWL SSPSSGPKRY DWTGKNWVYS HDGVSLEHELL	200
AAELTKALKT KLDLSSLAYS GKDA	224

Peptide linker / Peptide liant / Péptido de unión : 13 GG 14 (1-2)

Post-translational modifications / Modifications post-translacionnelles / Modificaciones post-translacionales

Disulfide bridge location / Position du pont disulfure / Posición del puente disulfuro  
51-64

**nulabeglogenum autogedtemcelum #**

nulabeglogene autogedtemcel

autologous CD34+ hematopoietic stem and progenitor cells (HSPCs) obtained by apheresis from sickle cell patients, genetically modified *ex vivo* by CRISPR/Cas9 (clustered regularly interspaced short palindromic repeats/CRISPR-associated protein 9) mediated gene editing consisting of a single guide RNA (sgRNA) targeting the first exon of the human  $\beta$ -globin (HBB) gene, and using a homology-directed repair mechanism to correct the glutamic acid to valine mutation at position 6 in the HBB gene via an adeno-associated virus serotype 6 (AAV6) vector in which the sgRNA targeting sequence is located between two HBB homology arms. Following genetic modification, each cell can have one of six combinations of HBB allele (WT/WT, INDEL/WT, INDEL/INDEL, INDEL/HR, WT/HR, HR/HR, where WT refers to the wild type sickle cell disease allele, INDEL refers to an insertion/deletion event but no correction of the HBB gene, and HR refers to a corrected HBB allele). On average 56% of the cells have at least one corrected HBB allele (HR). The cell suspension is enriched for CD34+ cells using magnetic bead separation. The substance consists of cells with the CD45+ and CD34+ phenotype, with  $\geq 70\%$  CD34 purity. The functional characterization of the cells is based on the ability to form erythroid and myeloid colonies on semisolid methylcellulose-based medium.

*cell-based gene therapy (sickle cell disease)*

nulabéglogène autogedtemcel

cellules souches et progénitrices hématopoïétiques CD34+ autologues (HSPC) obtenues par aphérese à partir de patients atteints de drépanocytose, génétiquement modifiées *ex vivo* par édition génique médiée par CRISPR/Cas9 (courtes répétitions palindromiques groupées et régulièrement espacées / protéine 9 associée à CRISPR) consistant d'un ARN guide unique (sgRNA) ciblant le premier exon du gène de la  $\beta$ -globine humaine (HBB), et l'utilisation d'un mécanisme de réparation dirigé par homologie pour corriger la mutation de l'acide glutamique en valine en position 6 dans le gène HBB via un vecteur du virus adéno-associé de sérotype 6 (AAV6) dans lequel la séquence de ciblage de l'ARNg est située entre deux bras d'homologie HBB. Après modification génétique, chaque cellule peut présenter l'une des six combinaisons de l'allèle HBB (WT/WT, INDEL/WT, INDEL/INDEL, INDEL/HR, WT/HR, HR/HR, où WT désigne l'allèle sauvage de la drépanocytose, INDEL désigne un événement d'insertion/délétion mais sans correction du gène HBB, et HR désigne un allèle HBB corrigé). En moyenne, 56 % des cellules présentent au moins un allèle HBB corrigé (HR). La suspension cellulaire est enrichie en cellules CD34+ utilisant la séparation par billes magnétiques. La substance est constituée de cellules présentant les phénotypes CD45+ et CD34+, avec une pureté CD34  $\geq 70\%$ . La caractérisation fonctionnelle des cellules est basée sur la capacité à former des colonies érythroïdes et myéloïdes sur un milieu semi-solide à base de méthylcellulose.

*thérapie génique à base de cellules (drépanocytose)*

nulabeglogén autogedtemcel

células madre y progenitoras hematopoyéticas (HSPCs) autólogas CD34+ obtenidas por aféresis de pacientes con anemia falciforme, modificadas genéticamente *ex vivo* mediante edición génica mediada por CRISPR/Cas9 (repeticiones palindrómicas cortas agrupadas y espaciadas regularmente /proteína asociada a CRISPR 9) consistente en un único RNA guía (sgRNA) dirigido al primer exón del gen de la  $\beta$ -globina humana (HBB) y usando un mecanismo de reparación dirigida por homología para corregir la mutación de ácido glutámico a valina en la posición 6 del gen HBB por medio de un vector de virus adenoasociado de serotipo 6 (AAV6) en el que la secuencia a la que se dirige el sgRNA se localiza entre dos brazos de homología en el HBB. Tras la modificación genética, cada célula puede tener una de seis combinaciones de alelos HBB (WT/WT, INDEL/WT, INDEL/INDEL, INDEL/HR, WT/HR, HR/HR, donde WT se refiere al alelo del tipo silvestre de la anemia falciforme, INDEL se refiere a un evento de inserción/delección, pero no corrección, del gen HBB, y HR se refiere a un alelo de HBB corregido). De media, el 56% de las células tienen al menos un alelo HBB corregido (HR). La suspensión celular se enriquece en células CD34+ usando una separación con bolas magnéticas. La sustancia consiste en células con el fenotipo CD45+ y CD34+, con  $\geq 70\%$  de pureza. La caracterización funcional de las células se basa en la capacidad de formar colonias eritroides y mieloides en medio semisólido basado en metilcelulosa.  
*terapia génica basada en células (anemia de células falciformes)*

obeversenum

obeversen

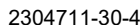
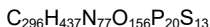
*all-P-ambo-5'-O-(28-[(2-acetamido-2-deoxy- $\beta$ -D-galactopyranosyl)oxy]-16,16-bis[[3-({6-[(2-acetamido-2-deoxy- $\beta$ -D-galactopyranosyl)oxy]hexyl)amino]-3-oxopropoxy]methyl]-1-hydroxy-1,10,14,21-tetraoxo-2,18-dioxo-9,15,22-triaza-1 $\lambda^5$ -phosphaoctacosan-1-yl)-2'-O-(2-methoxyethyl)-5-methyl-P-thiouridylyl-(3'→5')-2'-O-(2-methoxyethyl)guanylyl-(3'→5')-2'-O-(2-methoxyethyl)-5-methylcytidylyl-(3'→5')-2'-O-(2-methoxyethyl)-5-methylcytidylyl-(3'→5')-2'-O-(2-methoxyethyl)adenylyl-(3'→5')-P-thiothymidylyl-(3'→5')-P-thiothymidylyl-(3'→5')-P-thiothymidylyl-(3'→5')-2'-deoxy-P-thioadenylyl-(3'→5')-2'-deoxy-P-thioadenylyl-(3'→5')-P-thiothymidylyl-(3'→5')-2'-deoxy-P-thioadenylyl-(3'→5')-2'-deoxy-P-thioadenylyl-(3'→5')-2'-deoxy-P-thioadenylyl-(3'→5')-2'-deoxy-5-methyl-P-thiocytidylyl-(3'→5')-2'-O-(2-methoxyethyl)-5-methyluridylyl-(3'→5')-2'-O-(2-methoxyethyl)-5-methyluridylyl-(3'→5')-2'-O-(2-methoxyethyl)-5-methyl-P-thiocytidylyl-(3'→5')-2'-O-(2-methoxyethyl)-P-thioadenylyl-(3'→5')-2'-O-(2-methoxyethyl)-5-methylcytidine  
*diacylglycerol O-acyltransferase 2 (DGAT-2) synthesis reducer**

obéversen

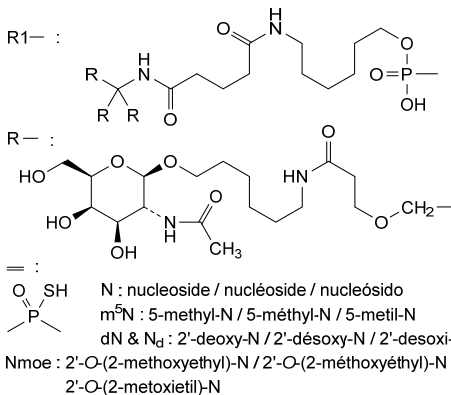
*tout-P-ambo-5'-O-(28-[(2-acétamido-2-désoxy-β-D-galactopyranosyl)oxy]-16,16-bis[[3-({6-[(2-acétamido-2-désoxy-β-D-galactopyranosyl)oxy]hexil)amino]-3-oxopropoxy]méthyl)-1-hydroxy-1,10,14,21-tétraoxo-2,18-dioxa-9,15,22-triaza-1λ<sup>5</sup>-phosphaoctacosan-1-yl)-2'-O-(2-méthoxyéthyl)-5-méthyl-P-thiouridylyl-(3'→5')-2'-O-(2-méthoxyéthyl)guanylyl-(3'→5')-2'-O-(2-méthoxyéthyl)-5-méthylcytidylyl-(3'→5')-2'-O-(2-méthoxyéthyl)-5-méthylcytidylyl-(3'→5')-2'-O-(2-méthoxyéthyl)adénylyl-(3'→5')-P-thiothymidylyl-(3'→5')-P-thiothymidylyl-(3'→5')-P-thiothymidylyl-(3'→5')-2'-désoxy-P-thioadénylyl-(3'→5')-2'-désoxy-P-thioadénylyl-(3'→5')-P-thiothymidylyl-(3'→5')-2'-désoxy-P-thioguanilyl-(3'→5')-2'-désoxy-P-thioadénylyl-(3'→5')-2'-désoxy-P-thioguanilyl-(3'→5')-2'-désoxy-5-méthyl-P-thiocytidylyl-(3'→5')-2'-O-(2-méthoxyéthyl)-5-méthyluridylyl-(3'→5')-2'-O-(2-méthoxyéthyl)-5-méthyluridylyl-(3'→5')-2'-O-(2-méthoxyéthyl)-5-méthyl-P-thiocytidylyl-(3'→5')-2'-O-(2-méthoxyéthyl)-P-thioadénylyl-(3'→5')-2'-O-(2-méthoxyéthyl)-5-méthylcytidine*  
*réducteur de la synthèse de la diacylglycérol O-acyltransférase 2 (DGAT-2)*

obeversén

*todo-P-ambo-5'-O-(28-[(2-acetamido-2-desoxi-β-D-galactopiranosil)oxi]-16,16-bis[[3-({6-[(2-acetamido-2-desoxi-β-D-galactopiranosil)oxi]hexil)amino]-3-oxopropoxi]metil)-1-hidroxi-1,10,14,21-tetraoxo-2,18-dioxa-9,15,22-triaza-1λ<sup>5</sup>-fosfaoctacosan-1-il)-5-metil-2'-O-(2-metoxietil)-P-tiouridilil-(3'→5')-2'-O-(2-metoxietil)guanilil-(3'→5')-5-metil-2'-O-(2-metoxietil)citidilil-(3'→5')-5-metil-2'-O-(2-metoxietil)citidilil-(3'→5')-2'-O-(2-metoxietil)adenilil-(3'→5')-P-tiotimidilil-(3'→5')-P-tiotimidilil-(3'→5')-P-tiotimidilil-(3'→5')-2'-desoxi-P-tioadenilil-(3'→5')-2'-desoxi-P-tioadenilil-(3'→5')-P-tiotimidilil-(3'→5')-2'-desoxi-P-tioguanilil-(3'→5')-2'-desoxi-P-tioadenilil-(3'→5')-2'-desoxi-P-tioguanilil-(3'→5')-2'-desoxi-5-metil-P-tiocitidilil-(3'→5')-5-metil-2'-O-(2-metoxietil)uridilil-(3'→5')-5-metil-2'-O-(2-metoxietil)uridilil-(3'→5')-5-metil-2'-O-(2-metoxietil)-P-tiocitidilil-(3'→5')-2'-O-(2-metoxietil)-P-tioadenilil-(3'→5')-5-metil-2'-O-(2-metoxietil)citidina*  
*reductor de la síntesis de la diacilglicerol O-aciltransferasa 2 (DGAT-2)*



R1-m<sup>5</sup>Umoe=Gmoe-m<sup>5</sup>Cmoe-m<sup>5</sup>Cmoe-Amoe-dT=dT=dA=dA=  
 dT=dG=dA=dG=m<sup>5</sup>C<sub>d</sub>=m<sup>5</sup>Umoe-m<sup>5</sup>Umoe-m<sup>5</sup>Cmoe=Amoe=m<sup>5</sup>Cmoe





**olitigaltinum**

olitigaltin

3-deoxy-3-[4-(3-fluorophenyl)-1H-1,2,3-triazol-1-yl]-β-D-galactopyranosyl 3-deoxy-3-[4-(3-fluorophenyl)-1H-1,2,3-triazol-1-yl]-1-thio-β-D-galactopyranoside  
*galectin-3 inhibitor*

olitigaltine

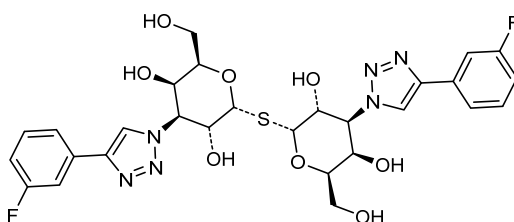
3-désoxy-3-[4-(3-fluorophényl)-1H-1,2,3-triazol-1-yl]-1-thio-β-D-galactopyranoside de 3-désoxy-3-[4-(3-fluorophényl)-1H-1,2,3-triazol-1-yl]-β-D-galactopyranosyle  
*inhibiteur de la galectine-3*

olitigaltina

3-desoxi-3-[4-(3-fluorofenil)-1H-1,2,3-triazol-1-il]-1-thio-β-D-galactopiranosido de 3-desoxi-3-[4-(3-fluorofenil)-1H-1,2,3-triazol-1-il]-β-D-galactopiranosilo  
*inhibidor de la galectina-3*

C<sub>28</sub>H<sub>30</sub>F<sub>2</sub>N<sub>6</sub>O<sub>8</sub>S

1450824-22-2

**onfasprodilum**

onfasprodil

6-((1S)-2-[(3aR,5R,6aS)-5-(2-fluorophenoxy)hexahydrocyclopenta[c]pyrrol-2(1H)-yl]-1-hydroxyethyl)pyridin-3-ol  
*N-methyl-D-aspartate (NMDA) receptor antagonist*

onfasprodil

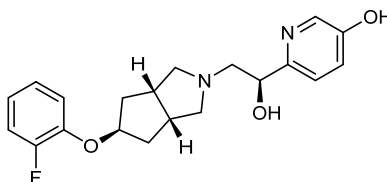
6-((1S)-2-[(3aR,5R,6aS)-5-(2-fluorophénoxy)hexahydrocyclopenta[c]pyrrol-2(1H)-yl]-1-hydroxyéthyl)pyridin-3-ol  
*antagoniste des récepteurs du N-méthyl-D-aspartate (NMDA)*

onfasprodil

6-((1S)-2-[(3aR,5R,6aS)-5-(2-fluorofenoxi)hexahidrociclopenta[c]pirrol-2(1H)-il]-1-hidroxietil)piridin-3-ol  
*antagonista del receptor de N-metil-D-aspartato (NMDA)*

C<sub>20</sub>H<sub>23</sub>FN<sub>2</sub>O<sub>3</sub>

1892581-29-1



**onradivirum**

onradivir

(2*S*,3*S*)-3-[[6-cyclopropyl-5-fluoro-2-(5-fluoro-1*H*-pyrazolo[3,4-*b*]pyridin-3-yl)pyrimidin-4-yl]amino]bicyclo[2.2.2]octane-2-carboxylic acid  
*antiviral*

onradivir

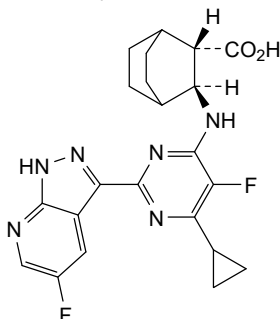
acide (2*S*,3*S*)-3-[[6-cyclopropyl-5-fluoro-2-(5-fluoro-1*H*-pyrazolo[3,4-*b*]pyridin-3-yl)pyrimidin-4-yl]amino]bicyclo[2.2.2]octane-2-carboxylique  
*antiviral*

onradivir

ácido (2*S*,3*S*)-3-[[6-ciclopropil-5-fluoro-2-(5-fluoro-1*H*-pirazolo[3,4-*b*]piridin-3-il)pirimidin-4-il]amino]bicyclo[2.2.2]octano-2-carboxílico  
*antiviral*

C<sub>22</sub>H<sub>22</sub>F<sub>2</sub>N<sub>6</sub>O<sub>2</sub>

2200336-20-3

**opilrelagenum atradenorepvecum #**

opilrelagenum atradenorepvec

recombinant replication-competent oncolytic adenovirus type 5 (Ad5), with the original promoter of E1A replaced with two consecutive human telomerase reverse transcriptase (TERT) promoters, with E1B-19kDa inactivated (by deletion of the start codon and the adjacent insertion of a stop codon), and with E3 deleted and replaced with the human relaxin 1 gene whose expression is under control of a cytomegalovirus (CMV) promoter.  
*gene therapy (antineoplastic)*

opilrelagène atradénorepvec

adénovirus de type 5 (Ad5) recombinant oncolytique, capable de réplication, dont le promoteur original E1A a été remplacé par deux promoteurs consécutifs de la transcriptase inverse de la télomérase humaine (TERT), dont E1B-19kDa a été inactivé (par délétion du codon d'initiation et insertion adjacente d'un codon stop), et dont E3 a été supprimé et remplacé par le gène de la relaxine 1 humaine dont l'expression est sous le contrôle du promoteur du cytomégalo virus (CMV).  
*thérapie génique (antinéoplasique)*

opilrelagén atradenorepvec

adenovirus tipo 5 (Ad5) oncolítico, recombinante y competente para replicación, con el promotor original de E1A reemplazado por dos promotores consecutivos de la telomerasa transcriptasa inversa (TERT)

humana, con el gen E1B-19kDa inactivado (mediante deleción del codón de iniciación y la inserción adyacente de un codón de terminación) y con el gen E3 deleciónado y reemplazado por el gen de la relaxina 1 humana cuya expresión está bajo el control de un promotor de citomegalovirus (CMV).  
*terapia génica (antineoplásico)*

2413849-94-0

**osemitamabum #**  
osemitamab

immunoglobulin G1-kappa, anti-[*Homo sapiens* CLDN18 (SFTPJ, surfactant associated protein J) isoform 2, extracellular domain 1 (EC1)], humanized monoclonal antibody;  
gamma1 heavy chain humanized (1-448) [VH (*Homo sapiens* IGHV1-46\*01 (87.8%) -(IGHD) -IGHJ4\*01 (92.9%) L123>T (113), CDR-IMGT [8.8.11] (26-33.51-58.97-107)) (1-118) -*Homo sapiens* IGHG1\*01 (100%), G1m17,1 (CH1 K120 (215) (119-216), hinge 1-15 (217-231), CH2 (232-341), CH3 D12 (357), L14 (359) (342-446), CHS (447-448)) (119-448)], (221-220')-disulfide with kappa light chain humanized (1'-220') [V-KAPPA (*Homo sapiens* IGKV4-1\*01 (91.1%) -IGKJ4\*01 (100%), CDR-IMGT [12.3.9] (27-38.56-58.95-103)) (1'-113') -*Homo sapiens* IGKC\*01 (100%), Km3 A45.1 (159), V101 (197) (114'-220')]; dimer (227-227":230-230")-bisdisulfide, produced in Chinese hamster ovary (CHO) cells, cell line CHO-K1 lacking the glutamine synthetase (GS-KO) gene, glycoform alfa  
*antineoplastic*

osémitamab

immunoglobuline G1-kappa, anti-[*Homo sapiens* CLDN18 (SFTPJ, surfactant associé à la protéine J) isoforme 2, domaine extracellulaire 1 (EC1)], anticorps monoclonal humanisé;  
chaîne lourde gamma1 humanisée (1-448) [VH (*Homo sapiens* IGHV1-46\*01 (87.8%) -(IGHD) -IGHJ4\*01 (92.9%) L123>T (113), CDR-IMGT [8.8.11] (26-33.51-58.97-107)) (1-118) -*Homo sapiens* IGHG1\*01 (100%), G1m17,1 (CH1 K120 (215) (119-216), charnière 1-15 (217-231), CH2 (232-341), CH3 D12 (357), L14 (359) (342-446), CHS (447-448)) (119-448)], (221-220')-disulfure avec la chaîne légère kappa humanisée (1'-220') [V-KAPPA (*Homo sapiens* IGKV4-1\*01 (91.1%) -IGKJ4\*01 (100%), CDR-IMGT [12.3.9] (27-38.56-58.95-103)) (1'-113') -*Homo sapiens* IGKC\*01 (100%), Km3 A45.1 (159), V101 (197) (114'-220')]; dimère (227-227":230-230")-bisdisulfure, produit dans des cellules ovariennes de hamster chinois (CHO), lignée cellulaire CHO-K1 ne présentant pas le gène de la glutamine synthétase (GS-KO), glycoforme alfa  
*antinéoplasique*

osemitamab

immunoglobulina G1-kappa, anti-[*Homo sapiens* CLDN18 (SFTPJ, surfactante asociado a la proteína J) isoforma 2, dominio extracelular 1 (EC1)], anticuerpo monoclonal humanizado;

cadena pesada gamma1 humanizada (1-448) [VH (*Homo sapiens* IGHV1-46\*01 (87.8%) -(IGHD) -IGHJ4\*01 (92.9%) L123>T (113), CDR-IMGT [8.8.11] (26-33.51-58.97-107)) (1-118) -*Homo sapiens* IGHG1\*01 (100%), G1m17.1 (CH1 K120 (215) (119-216), bisagra 1-15 (217-231), CH2 (232-341), CH3 D12 (357), L14 (359) (342-446), CHS (447-448)) (119-448)], (221-220')-disulfuro con la cadena ligera kappa humanizada (1'-220') [V-KAPPA (*Homo sapiens* IGKV4-1\*01 (91.1%) -IGKJ4\*01 (100%), CDR-IMGT [12.3.9] (27-38.56-58.95-103)) (1'-113') -*Homo sapiens* IGKC\*01 (100%), Km3 A45.1 (159), V101 (197) (114'-220')]; dímero (227-227'':230-230'')-bisdisulfuro, producido en las células ováricas de hámster chino (CHO), línea celular CHO-K1 en ausencia del gen glutamina sintetasa (GS-KO), forma glicosilada alfa  
*antineoplásico*

2460539-61-9

Heavy chain / Chaîne lourde / Cadena pesada  
 QVQLVQSGAE VKKPGASVKV SCKASGYTF GYNNMWRQA PQGLEMMGN 50  
 IDPYYGGTSY NQKFKGRVTM TIDKSTSTVY MELSSLSRSD TAVYYCARMY 100  
 HGNAFDIWQ GTTVTVSSAS TKGPSVFPLA FSSKSTSGT AALGCLVKDY 150  
 FPEFVTVSWN SGALTSGVHT FPAVLQSSGL YSLSSVVTVP SSSLGTQTYI 200  
 CNVNHKPSNT KVDKRVFKS CDKTHCTPCP PAFELLGGPS VLFPPKPKD 250  
 TLMISRTPEV TCVVVDVSHS DPEVKFNWVY DGEVHNART KPREEQYNST 300  
 YRVVSVLTVL HQDNLNGKEY KCKVSNKALP APIEKTISKA KGQPREPQVY 350  
 TLPPSRDEL TKNQVSLTCLV KGFYPSDIAV EWESNGQPEN NYKTTTPPVL 400  
 SDGSFFLYSK LTVDKSRWQQ GNVFSCVMH EALHNHYTQK SLSLSPGK 448

Light chain / Chaîne légère / Cadena ligera  
 DIVMTQSPDS LAVSLGERAT INCKSSQSL NSGNLKNYLT WYQQKPGQPP 50  
 KLLIYWASTR KSGVDFRFSG SSGTDFTLT ISSLQAEDVA VYQCNDYSY 100  
 PLTFGGGKTKV EIKRTVAAPS VFIFPPSDEQ LKSGTASVVC LLNFFYPREA 150  
 KVQWKVDNAL QSGNSQESVT EQDKSDSTYS LSSTLTLSKA DYEKHKVYAC 200  
 EVTHQGLSSP VTKSFNRGEC 220

**Post-translational modifications**

Disulfide bridges location / Position des ponts disulfure / Posiciones de los puentes disulfuro

Intra-H (C23-C104) 22-96 145-201 262-322 368-426  
 22"-96" 145"-201" 262"-322" 368"-426"

Intra-L (C23-C104) 23'-94' 140'-200'

23"-94" 140"-200"

Inter-H-L (h 5-CL 126) 221-220' 221"-220"

Inter-H-H (h 11, h 14) 227-227" 230-230"

N-terminal glutaminyl cyclization / Cyclisation du glutaminyle N-terminal / Ciclación del glutaminilo N-terminal

H VH Q1 > pyroglutamy (pE, 5-oxoprolyl): 1, 1"

N-glycosylation sites / Sites de N-glycosylation / Posiciones de N-glicosilación

H CH2 N84.4: 298, 298"

Fucosylated complex bi-antennary CHO-type glycans / glycanes de type CHO bi-antennaires complexes fucosylés / glicanos de tipo CHO biantenarijos complejos fucosilados.

C-terminal lysine clipping / Coupure de la lysine C-terminale / Recorte de lisina C-terminal

H CHS K2: 448, 448"

## ozuriftamabum # ozuriftamab

immunoglobulin G1-kappa, anti-[*Homo sapiens* ROR2 (receptor tyrosine kinase like orphan receptor 2, NTRKR2)], monoclonal antibody; gamma1 heavy chain (1-451) [VH (*Homo sapiens* IGHV5-10-1\*04 (79.4%) -(IGHD) -IGHJ4\*01 (100%), CDR-IMGT [8.8.15] (26-33.51-58.97-111)) (1-122) -*Homo sapiens* IGHG1\*01 (100%), G1m17.1 (CH1 K120 (219) (123-220), hinge 1-15 (221-235), CH2 (236-345), CH3 D12 (361), L14 (363) (346-450), CHS K2>del (451)) (123-451)], (225-213')-disulfide with kappa light chain (1'-213') [V-KAPPA Musmus/Homsap (*Mus musculus* IGKV4-57\*01 (75.3%) -IGKJ4\*01 (83.3%) S120>Q (99), L124>V (103)]/*Homo sapiens* IGKV1-13\*02 (70.5%) -IGKJ1\*01 (91.7%), CDR-IMGT [5.3.9] (27-31.49-51.88-96)) (1'-106') -*Homo sapiens* IGKC\*01 (100%), Km3 A45.1 (152), V101 (190) (107'-213')]; dimer (231-231'':234-234'')-bisdisulfide, produced in Chinese hamster ovary (CHO) cells, cell line CHO-K1, glycoform alfa  
*antineoplástico*

ozuriftamab

immunoglobuline G1-kappa, anti-[*Homo sapiens* ROR2 (récepteur orphelin 2 de type récepteur tyrosine kinase, NTRKR2)], anticorps monoclonal;  
 chaîne lourde gamma1 (1-451) [VH (*Homo sapiens* IGHV5-10-1\*04 (79.4%) -(IGHD)-IGHJ4\*01 (100%), CDR-IMGT [8.8.15] (26-33.51-58.97-111)) (1-122) -*Homo sapiens* IGHG1\*01 (100%), G1m17,1 (CH1 K120 (219) (123-220), charnière 1-15 (221-235), CH2 (236-345), CH3 D12 (361), L14 (363) (346-450), CHS K2>del (451)) (123-451)], (225-213')-disulfure avec la chaîne légère kappa (1'-213') [V-KAPPA Musmus/Homsap (*Mus musculus* IGKV4-57\*01 (75.3%) -IGKJ4\*01 (83.3%) S120>Q (99), L124>V (103)/*Homo sapiens* IGKV1-13\*02 (70.5%) -IGKJ1\*01 (91.7%), CDR-IMGT [5.3.9] (27-31.49-51.88-96)) (1'-106') -*Homo sapiens* IGKC\*01 (100%), Km3 A45.1 (152), V101 (190) (107'-213)]; dimère (231-231":234-234")-bisdisulfure, produit dans des cellules ovariennes de hamster chinois (CHO), lignée cellulaire CHO-K1, glycoforme alfa  
**antineoplastique**

ozuriftamab

inmunoglobulina G1-kappa, anti-[*Homo sapiens* ROR2 (receptor huérfano 2 de tipo receptor tirosina kinasa, NTRKR2)], anticuerpo monoclonal;  
 cadena pesada gamma1 (1-451) [VH (*Homo sapiens* IGHV5-10-1\*04 (79.4%) -(IGHD)-IGHJ4\*01 (100%), CDR-IMGT [8.8.15] (26-33.51-58.97-111)) (1-122) -*Homo sapiens* IGHG1\*01 (100%), G1m17,1 (CH1 K120 (219) (123-220), bisagra 1-15 (221-235), CH2 (236-345), CH3 D12 (361), L14 (363) (346-450), CHS K2>del (451)) (123-451)], (225-213')-disulfuro con la cadena ligera kappa (1'-213') [V-KAPPA Musmus/Homsap (*Mus musculus* IGKV4-57\*01 (75.3%) -IGKJ4\*01 (83.3%) S120>Q (99), L124>V (103)/*Homo sapiens* IGKV1-13\*02 (70.5%) -IGKJ1\*01 (91.7%), CDR-IMGT [5.3.9] (27-31.49-51.88-96)) (1'-106') -*Homo sapiens* IGKC\*01 (100%), Km3 A45.1 (152), V101 (190) (107'-213)]; dímero (231-231":234-234")-bisdisulfuro, producido en las células ováricas de hamster chino (CHO), línea celular CHO-K1, forma glicosilada alfa  
**antineoplásico**

2460399-44-2

Heavy chain/ Chaîne lourde/ Cadena pesada

```
EVQLVQSGAE VKKPGESLRI SCKSGSYTFT EYTMHWVRQA PGQGLEWMMGG 50
INTNNGSTGY NQKFKGRVTI SADKISISTAY LQWSSLKASD TAMYYCAHGS 100
LYSYGNSYFD YWQQGTLVTV SSASTRGPVS FFLAPSSKST SGGTAALGCL 150
VKDYFPEPVT VSWNSGALTS GVHTFFPAVLQ SSGLYSLSSV VTFVSSSLGT 200
QTYICNVNPK PSNTRKVDKVK EPKSCDKTHT CPCCPAPELL GGPVSVLFPP 250
KPKDTLMISR TPEVTCVVVD VSHEDPEVKF NNYVDGVEVH NARTKPREEQ 300
YNSTYRVSVS LTVLHQDWLW GKEYKCKVSN KALPAPIEKT LSKAKGQPRE 350
PQVYTLPPSR DELTKNQSLS TCLVKGFPYS DIAVENESNG QPENNYKTP 400
PVLDSGSEFF LYSKLTVDKS RQQQGNVFC SVMHHEALHNH YTKKSLSLSP 450
G 451
```

Light chain/ Chaîne légère/ Cadena ligera

```
AIQLTQSPSS LSASVGRDRT ITCSATSSVS YMHNYLQKPG QSPQLLIYGT 50
SNLASGVFDR FSGSGSGTDF TLKISRVEAE DVGYYCQQR SSYPFTFGQG 100
TKVEIKRTVA AFSVFIPPPS DEQLKSGTAS VVCLLNFFYP REAKVQWKVD 150
NALQSGNSQE SVTEQDSKDS TYSLSSTLTL SKADYEKHKV YACEVTHQGL 200
SSPVTKSFNR GEC 213
```

Post-translational modifications

Disulfide bridges location / Position des ponts disulfure / Posiciones de los puentes disulfuro

Intra-H (C23-C104) 22-96 149-205 266-326 372-430  
 22"-96" 149"-205" 266"-326" 372"-430"  
 Intra-L (C23-C104) 23'-87' 133'-193'  
 23"'-87"' 133"'-193"  
 Inter-H-L (h 5-CL 126) 225-213' 225'-213"  
 Inter-H-H (h 11, h 14) 231-231" 234-234"

N-glycosylation sites / Sites de N-glycosylation / Posiciones de N-glicosilación  
 H CH2 N84.4:302,302"

Fucosylated complex bi-antennary CHO-type glycans / glycanes de type CHO bi-antennaires complexes fucosylés / glicanos de tipo CHO biantenaricos complejos fucosilados.

**ozuriftamabum vedotinum #**  
ozuriftamab vedotin

immunoglobulin G1-kappa, anti-[*Homo sapiens* ROR2 (receptor tyrosine kinase-like orphan receptor 2, NTRKR2)], monoclonal antibody, conjugated to auristatin E;  
gamma1 heavy chain (1-451) [VH (*Homo sapiens* IGHV5-10-1\*04 (79.4%) -(IGHD) -IGHJ4\*01 (100%), CDR-IMGT [8.8.15] (26-33.51-58.97-111)) (1-122) - *Homo sapiens* IGHG1\*01 (100%), G1m17,1 (CH1 K120 (219) (123-220), hinge 1-15 (221-235), CH2 (236-345), CH3 D12 (361), L14 (363) (346-450), CHS K2>del (451)) (123-451)], (225-213')-disulfide with kappa light chain (1'-213') [V-KAPPA Musmus/Homsap (*Mus musculus* IGKV4-57\*01 (75.3%) -IGKJ4\*01 (83.3%) S120>Q (99), L124>V (103)/*Homo sapiens* IGKV1-13\*02 (70.5%) -IGKJ1\*01 (91.7%), CDR-IMGT [5.3.9] (27-31.49-51.88-96)) (1'-106') -*Homo sapiens* IGKC\*01 (100%), Km3 A45.1 (152), V101 (190) (107'-213')]; dimer (231-231":234-234")-bisdisulfide, produced in Chinese hamster ovary (CHO) cells, cell line CHO-K1, glycoform alfa, conjugated, on an average of 4 cysteinyl, to monomethylauristatin E (MMAE), via a cleavable maleimidocaproyl-valyl-citrullinyl-*p*-aminobenzyloxycarbonyl (mc-val-cit-PABC) type linker

*For the vedotin part, please refer to the document "INN for pharmaceutical substances: Names for radicals, groups and others".  
antineoplastic*

ozuriftamab védotina

immunoglobuline G1-kappa, anti-[*Homo sapiens* ROR2 (récepteur orphelin 2 de type récepteur tyrosine kinase, NTRKR2)], anticorps monoclonal, conjugué à l'auristatine E;

chaîne lourde gamma1 (1-451) [VH (*Homo sapiens* IGHV5-10-1\*04 (79.4%) -(IGHD) -IGHJ4\*01 (100%), CDR-IMGT [8.8.15] (26-33.51-58.97-111)) (1-122) - *Homo sapiens* IGHG1\*01 (100%), G1m17,1 (CH1 K120 (219) (123-220), charnière 1-15 (221-235), CH2 (236-345), CH3 D12 (361), L14 (363) (346-450), CHS K2>del (451)) (123-451)], (225-213')-disulfure avec la chaîne légère kappa (1'-213') [V-KAPPA Musmus/Homsap (*Mus musculus* IGKV4-57\*01 (75.3%) -IGKJ4\*01 (83.3%) S120>Q (99), L124>V (103)/*Homo sapiens* IGKV1-13\*02 (70.5%) -IGKJ1\*01 (91.7%), CDR-IMGT [5.3.9] (27-31.49-51.88-96)) (1'-106') -*Homo sapiens* IGKC\*01 (100%), Km3 A45.1 (152), V101 (190) (107'-213')]; dimère (231-231":234-234")-bisdisulfure, produit dans des cellules ovariennes de hamster chinois (CHO), lignée cellulaire CHO-K1, glycoforme alfa, conjugué, sur 4 cystéinyl en moyenne, au monométhylauristatine E (MMAE), via un linker clivable de type maléimidocaproyl-valyl-citrullinyl-*p*-aminobenzyloxycarbonyl (mc-val-cit-PABC)  
*Pour la partie védotina, veuillez-vous référer au document "INN for pharmaceutical substances: Names for radicals, groups and others".  
antineoplasique*

ozuriftamab vedotina

immunoglobulina G1-kappa, anti-[*Homo sapiens* ROR2 (receptor huérfano 2 de tipo receptor tirosina kinasa, NTRKR2)], anticuerpo monoclonal, conjugado con la auristatina E;

cadena pesada gamma1 (1-451) [VH (*Homo sapiens* IGHV5-10-1\*04 (79.4%) -(IGHD) -IGHJ4\*01 (100%), CDR-IMGT [8.8.15] (26-33.51-58.97-111)) (1-122) - *Homo sapiens* IGHG1\*01 (100%), G1m17,1 (CH1 K120 (219) (123-220), bisagra 1-15 (221-235), CH2 (236-345), CH3 D12 (361), L14 (363) (346-450), CHS K2>del (451)) (123-451)], (225-213')-disulfuro con la cadena ligera kappa (1'-213') [V-KAPPA Musmus/Homsap (*Mus musculus* IGV4-57\*01 (75.3%) -IGKJ4\*01 (83.3%) S120>Q (99), L124>V (103)/*Homo sapiens* IGKV1-13\*02 (70.5%) -IGKJ1\*01 (91.7%), CDR-IMGT [5.3.9] (27-31.49-51.88-96)) (1'-106') -*Homo sapiens* IGKC\*01 (100%), Km3 A45.1 (152), V101 (190) (107'-213')]; dimère (231-231":234-234")-bisdisulfuro, producido en las células ováricas de hámster chino (CHO), línea celular CHO-K1, forma glicosilada alfa, conjugado, en 4 restos cisteinil por término medio, con monometilauristatina E (MMAE), a través de un enlace escindible de tipo maleimidocaproil-valil-citrulinil-*p*-aminobenciloxicarbonil (mc-val-cit-PABC)  
 Para la parte vedotina, por favor vaya al documento "INN for pharmaceutical substances: Names for radicals, groups and others".  
 antineoplásico

2460400-11-5

## Heavy chain / Chaîne lourde / Cadena pesada

```
EVQLVQSGAE VKKPGESLRI SCKGSGYTF EYTMHWVRQA PGQGLEWMGG 50
INTNNGGTY NQRKFRGRVTI SADKSI STAY LQWSSLKASD TAMYYCAHGS 100
LYSYGNSYFD YWQGGLTVTV SSASTKGPV FPLAPSSKST SGGTAALGCL 150
VKDYFPEPVT VSWNSGALTS GVHTFPAVLQ SGLYSLSSV VTPVSSSLGT 200
QTYICNVNHK PSNTRVDRV EPKSCDKTHT CPFCPAPELL GGPVFLFPP 250
KPKDTLMISR TPEVTCVVVD VSHEDPEVKF NMYVDGVEVH NAKTKPREEQ 300
YNSTYRVVSV LTVLHQDWLNL GKEYKCKVSN KALPAPIEKT ISKAKGQPRE 350
PQVYTLPPSR DELTKNQVSL TCLVKGFYPS DIAVEWESNG QPENNYKTP 400
PVLDSGDSFF LYSKLTVDKIS RWQQGNVFSC SVMHEALHNN YTQKSLSLSP 450
G
```

## Light chain / Chaîne légère / Cadena ligera

```
AIQLTQSPSS LSASVGRVIT ITCSATSSVS YMHWYLQKPG QSPQLLIYGT 50
SNLASGVDR FSGSGSGTDF TLKISRVEAE DVGYYVYQQR SSYPFTFGQG 100
TKVEIKRTVA APSVFIKPPS DEQLKSGTAS VVCLLNFPY REAKVQMKVD 150
NALQSGNSQE SVTEQDSKDS TYSLSSTLTL SKADYERHKV YACEVTHQGL 200
SSPVTKSFNR GEC
```

## Post-translational modifications

Disulfide bridges location / Position des ponts disulfure / Posiciones de los puentes disulfuro

Intra-H (C23-C104) 22-96 149-205 266-326 372-430  
 22"-96" 149"-205" 266"-326" 372"-430"

Intra-L (C23-C104) 23'-87' 133'-193'  
 23"-87'" 133"-193"

Inter-H-L\* (h 5-CL 126) 225-213" 225"-213"

Inter-H-H\* (h 11, h 14) 231-231" 234-234"

\*At least two of the four inter-chain disulfide bridges are not present, an average of 4 cysteinyl being conjugated each via a thioether bond to a drug linker.

\*Au moins deux des quatre ponts disulfures inter-chaînes ne sont pas présents, 4 cystéinyl en moyenne étant chacun conjugué via une liaison thioéther à un linker-principe actif.

\*Al menos dos de los cuatro puentes disulfuro inter-catenarios no estan presentes, una media de 4 cisteinil está conjugada a conectores de principio activo.

N-glycosylation sites / Sites de N-glycosylation / Posiciones de N-glicosilación

H CH2 N84.4: 302, 302"

Fucosylated complex bi-antennary CHO-type glycans / glycanes de type CHO bi-antennaires complexes fucosylés / glicanos de tipo CHO biantenarios complejos fucosilados.

**paclitaxeli obaluronas**  
 paclitaxel obaluronate

hyaluronic acid partly esterified (0.08-0.12) with 4-  
 {[[(1*S*,2*R*)-1-benzamido-3-[[[4,10β-bis(acetyloxy)-2α-(benzoyloxy)-5β,20-epoxy-1,7β-dihydroxy-9-oxotax-11-en-13α-yl]oxy]-3-oxo-1-phenylpropan-2-yl]oxy]-4-oxobutyl groups  
 microtubule stabilizing agent, antineoplastic

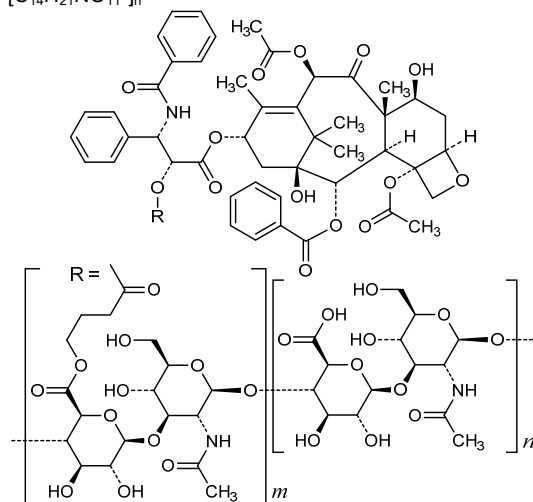
obaluronate de paclitaxel

acide hyaluronique estérifié partiellement (0.08-0.12)  
avec des groupes 4-[[[(1S,2R)-1-benzamido-3-[[[4,10β-  
bis(acétyloxy)-2α-(benzoyloxy)-5β,20-époxy-1,7β-  
dihydroxy-9-oxotax-11-én-13α-yl]oxy]-3-oxo-1-  
phénylpropan-2-yl]oxy]-4-oxobutyle  
*stabilisateur des microtubules, antinéoplasique*

obaluronato de paclitaxel

ácido hialurónico esterificado parcialmente (0.08-0.12)  
con grupos 4-[[[(1S,2R)-1-benzamido-3-[[[4,10β-  
bis(acetiloxi)-2α-(benzoiloxi)-5β,20-epoxi-1,7β-  
dihidroxi-9-oxotax-11-en-13α-il]oxi]-3-oxo-1-  
fenilpropan-2-il]oxi]-4-oxobutilo  
*estabilizador de los microtúbulos, antineoplásico*

$C_{47}H_{50}NO_{14}^-$ ,  $[C_{18}H_{26}NO_{12}^-]_m$ , 1192491-85-2  
 $[C_{14}H_{21}NO_{11}^-]_n$



**padnarsertibum**  
padnarsertib

(2E)-3-(6-aminopyridin-3-yl)-N-({5-[4-(4,4-  
difluoropiperidine-1-carbonyl)phenyl]-7-(4-  
fluorophenyl)-1-benzofuran-2-yl)methyl}prop-2-  
enamide  
*serine/ threonine kinase inhibitor, antineoplastic*

padnarsertib

(2E)-3-(6-aminopyridin-3-yl)-N-({5-[4-(4,4-  
difluoropiperidine-1-carbonyl)phényl]-7-(4-  
fluorophényl)-1-benzofuran-2-yl)méthyl}prop-2-  
énamide  
*inhibiteur de sérine/ thréonine kinase, antinéoplasique*

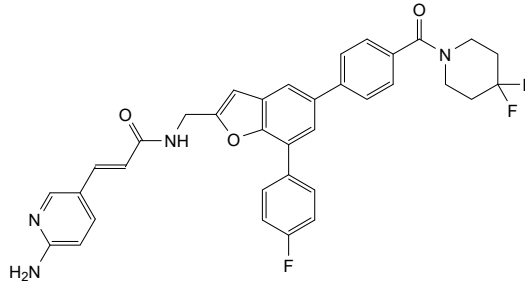
padnarsertib

(2E)-3-(6-aminopiridin-3-il)-N-({5-[4-(4,4-  
difluoropiperidina-1-carbonil)fenil]-7-(4-fluorofenil)-1-  
benzofuran-2-il}metil}prop-2-enamida  
*inhibidor de serina/ treonina kinasa, antineoplásico*



C<sub>35</sub>H<sub>29</sub>F<sub>3</sub>N<sub>4</sub>O<sub>3</sub>

1643913-93-2

**palsucibepum pegolum #**

palsucibep pegol

engineered human lipocalin-2 binding protein (LCN2, neutrophil gelatinase-associated lipocalin, NGAL, siderocalin, oncogene 24p3) variant (N-terminal M added, Q>H<sup>28</sup>, A>E<sup>40</sup>, I>V<sup>41</sup>, Q>M<sup>49</sup>, Y>W<sup>52</sup>, K>E<sup>59</sup>, S>I<sup>68</sup>, L>M<sup>70</sup>, F>P<sup>71</sup>, R>L<sup>72</sup>, K>A<sup>73</sup>, K>E<sup>74</sup>, D>E<sup>77</sup>, W>L<sup>79</sup>, I>F<sup>80</sup>, R>Q<sup>81</sup>, N>G<sup>96</sup>, Y>G<sup>100</sup>, L>R<sup>103</sup>, Y>G<sup>106</sup>, K>V<sup>125</sup>, S><sup>127</sup>W, Y>V<sup>132</sup>, K>W<sup>134</sup>, I>V<sup>135</sup>), anti-[human hepcidin (human liver-expressed antimicrobial peptide 1, LEAP-1, HAMP, putative liver tumor regressor, PLTR)], non-glycosylated, produced by *Escherichia coli*, conjugated at the S atom of C87 with PEG (~30 kDa);

artificial recombinant protein, derived from human lipocalin-2 (LCN2, neutrophil gelatinase-associated lipocalin, NGAL, siderocalin, oncogene 24p3), designed for binding to hepcidin (human liver-expressed antimicrobial peptide 1, LEAP-1, HAMP, putative liver tumor regressor, PLTR) by exchanging 25 residues; L-methionyl-[Q<sup>28</sup>H, A<sup>40</sup>E, I<sup>41</sup>V, Q<sup>49</sup>M, Y<sup>52</sup>W, K<sup>59</sup>E, S<sup>68</sup>I, L<sup>70</sup>M, F<sup>71</sup>P, R<sup>72</sup>L, K<sup>73</sup>A, K<sup>74</sup>E, D<sup>77</sup>E, W<sup>79</sup>L, I<sup>80</sup>F, R<sup>81</sup>Q, N<sup>96</sup>G, Y<sup>100</sup>G, L<sup>103</sup>R, Y<sup>106</sup>G, K<sup>125</sup>V, S<sup>127</sup>W, Y<sup>132</sup>V, K<sup>134</sup>W, I<sup>135</sup>V]-lipocalin-2, non-glycosylated, produced by *Escherichia coli*, conjugated at the S atom of Cys87 with a (3RS)-1-(3-{3-[α-methylpoly(oxyethylene)-ω-amino]propyl}-3-oxopropyl)-2,5-dioxopyrrolidin-3-yl group (~30 kDa) *antianaemic*

palsucibep pégol

protéine de liaison de la lipocaline-2 humaine modifiée (LCN2, lipocaline associée à la gélatinase des neutrophiles, NGAL, sidérocaline, oncogène 24p3) variante (addition M au N-terminal, Q>H<sup>28</sup>, A>E<sup>40</sup>, I>V<sup>41</sup>, Q>M<sup>49</sup>, Y>W<sup>52</sup>, K>E<sup>59</sup>, S>I<sup>68</sup>, L>M<sup>70</sup>, F>P<sup>71</sup>, R>L<sup>72</sup>, K>A<sup>73</sup>, K>E<sup>74</sup>, D>E<sup>77</sup>, W>L<sup>79</sup>, I>F<sup>80</sup>, R>Q<sup>81</sup>, N>G<sup>96</sup>, Y>G<sup>100</sup>, L>R<sup>103</sup>, Y>G<sup>106</sup>, K>V<sup>125</sup>, S><sup>127</sup>W, Y>V<sup>132</sup>, K>W<sup>134</sup>, I>V<sup>135</sup>), anti-[hepcidine humaine (peptide antimicrobien exprimé par le foie humain 1, LEAP-1, HAMP, régresseur de tumeur hépatique putatif, PLTR)], non glycosylée, produite dans *Escherichia coli*, conjuguée à l'atome S de C87 avec PEG (~30 kDa); protéine artificielle recombinante, dérivée de la lipocaline-2 humaine (LCN2, lipocaline associée à la gélatinase des neutrophiles, NGAL, sidérocaline, oncogène 24p3), conçue pour se lier à l'hepcidine (peptide antimicrobien 1 exprimé dans le foie humain, LEAP-1, HAMP, régresseur de tumeur hépatique putatif, PLTR) grâce à l'échange de 25 résidus d'acides aminés; L-méthionyl-[Q<sup>28</sup>H, A<sup>40</sup>E, I<sup>41</sup>V, Q<sup>49</sup>M, Y<sup>52</sup>W, K<sup>59</sup>E, S<sup>68</sup>I, L<sup>70</sup>M, F<sup>71</sup>P, R<sup>72</sup>L, K<sup>73</sup>A, K<sup>74</sup>E, D<sup>77</sup>E, W<sup>79</sup>L, I<sup>80</sup>F, R<sup>81</sup>Q, N<sup>96</sup>G, Y<sup>100</sup>G, L<sup>103</sup>R, Y<sup>106</sup>G, K<sup>125</sup>V, S<sup>127</sup>W, Y<sup>132</sup>V, K<sup>134</sup>W, I<sup>135</sup>V]-lipocaline-2, non glycosylée, produite dans *Escherichia coli*, conjuguée à l'atome S de Cys87 avec un groupe (3RS)-1-(3-{3-[α-méthylpoly(oxyéthylène)-ω-amino]propyl}-3-oxopropyl)-2,5-dioxopyrrolidine-3-yle (~30 kDa) *antianémique*

palsucibep pegol

proteína diseñada de unión a la lipocalina-2 humana (LCN2, lipocalina asociada a la gelatinasa de neutrófilos, NGAL, siderocalina, oncogén 24p3) variante (terminal N añadido M, Q>H<sup>28</sup>, A>E<sup>40</sup>, I>V<sup>41</sup>, Q>M<sup>49</sup>, Y>W<sup>52</sup>, K>E<sup>59</sup>, S>I<sup>68</sup>, L>M<sup>70</sup>, F>P<sup>71</sup>, R>L<sup>72</sup>, K>A<sup>73</sup>, K>E<sup>74</sup>, D>E<sup>77</sup>, W>L<sup>79</sup>, I>F<sup>80</sup>, R>Q<sup>81</sup>, N>G<sup>96</sup>, Y>G<sup>100</sup>, L>R<sup>103</sup>, Y>G<sup>106</sup>, K>V<sup>125</sup>, S><sup>127</sup>W, Y>V<sup>132</sup>, K>W<sup>134</sup>, I>V<sup>135</sup>), anti-[hepcidina humana (péptido antimicrobiano 1 expresado en hígado humano, LEAP-1, HAMP, regresor de tumor hepático putativo, PLTR)], no glicosilada, producida por *Escherichia coli*, conjugada en el átomo de S de C87 con PEG (~30 kDa); proteína artificial recombinante, derivada de la lipocalina-2 humana (LCN2, lipocalina asociada a la gelatinasa de neutrófilos, NGAL, siderocalina, oncogén 24p3), diseñada para unirse a la hepcidina (péptido antimicrobiano 1 expresado en hígado humano, LEAP-1, HAMP, regresor de tumor hepático putativo, PLTR) por intercambio de 25 residuos de aminoácidos; L-metionil-[Q<sup>28</sup>H, A<sup>40</sup>E, I<sup>41</sup>V, Q<sup>49</sup>M, Y<sup>52</sup>W, K<sup>59</sup>E, S<sup>68</sup>I, L<sup>70</sup>M, F<sup>71</sup>P, R<sup>72</sup>L, K<sup>73</sup>A, K<sup>74</sup>E, D<sup>77</sup>E, W<sup>79</sup>L, I<sup>80</sup>F, R<sup>81</sup>Q, N<sup>96</sup>G, Y<sup>100</sup>G, L<sup>103</sup>R, Y<sup>106</sup>G, K<sup>125</sup>V, S<sup>127</sup>W, Y<sup>132</sup>V, K<sup>134</sup>W, I<sup>135</sup>V]-lipocalina-2, no glicosilada, producida por *Escherichia coli*, conjugada en el átomo de S de Cys87 con un grupo (3RS)-1-(3-{[α-metilpoli(oxietileno)-ω-amino]propil}-3-oxopropil)-2,5-dioxopirrolidin-3-ilo (~30 kDa) **antianémico**

2218524-43-5

Sequence / Séquence / Secuencia

M	0
QDSTSDLIPA PPLSKVPLQQ NFDNQF <b>H</b> GK WYVVGLAGN <b>E</b> VLREDKDF <b>M</b> K	50
<b>M</b> WATLYEL <b>E</b> E DKSYNVT <b>I</b> V <b>M</b> <b>P</b> LA <b>E</b> K <b>C</b> E <b>V</b> L <b>F</b> <b>Q</b> TFVPG <b>Q</b> PG EFTL <b>G</b> G <b>I</b> K <b>S</b> <b>G</b>	100
<b>P</b> C <b>R</b> T <b>S</b> <b>G</b> L <b>V</b> R <b>V</b> VSTN <b>Y</b> N <b>Q</b> H <b>A</b> M VFF <b>K</b> V <b>V</b> <b>W</b> <b>Q</b> <b>N</b> R <b>E</b> V <b>F</b> <b>W</b> <b>V</b> <b>L</b> <b>Y</b> <b>G</b> R T <b>K</b> E <b>L</b> T <b>S</b> <b>E</b> L <b>K</b> E	150
N <b>F</b> I <b>R</b> F <b>S</b> <b>K</b> S <b>L</b> G L <b>P</b> E <b>N</b> H <b>I</b> V <b>F</b> P <b>V</b> P <b>I</b> D <b>Q</b> C <b>I</b> D <b>G</b>	178

Mutation / Mutation / Mutación

Q28> **H**, A40> **E**, I41> **V**, Q49> **M**, Y52> **W**, K59> **E**, S68> **I**, L70> **M**, F71> **P**, R72> **L**, K73> **A**, K74> **E**, D77> **E**, W79> **L**, I80> **F**, R81> **Q**, N96> **G**, Y100> **G**, L103> **R**, Y106> **G**, K125> **V**, S127> **W**, Y132> **V**, K134> **W**, I135> **V**

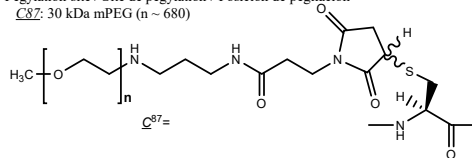
Post-translational modifications /modifications post-traductionnelles/ modificaciones postraducionnales

Disulfide bridge location / Position du pont disulfure / Posición del puente disulfuro 76-175

N-glycosylation sites / Sites de N-glycosylation / Posiciones de N-glicosilación none / aucun / ninguna

Pegylation site / Site de pégylation / Posición de pegilación

C87: 30 kDa mPEG (n ~ 680)



**paltimatrectinibum**  
paltimatrectinib

5-[(2R)-2-(2,5-difluorophenyl)pyrrolidin-1-yl]-3-[4-(trifluoromethyl)-1H-pyrazol-1-yl]pyrazolo[1,5-a]pyrimidine  
*tyrosine kinase inhibitor, antineoplastic*

paltimatrectinib

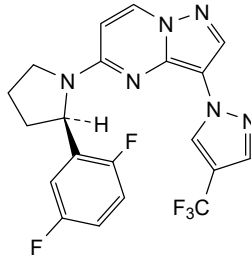
5-[(2R)-2-(2,5-difluorophényl)pyrrolidin-1-yl]-3-[4-(trifluorométhyl)-1H-pyrazol-1-yl]pyrazolo[1,5-a]pyrimidine  
*inhibiteur de la tyrosine kinase, antinéoplasique*

paltimatrectinib

5-[(2R)-2-(2,5-difluorofenil)pirrolidin-1-il]-3-[4-(trifluorometil)-1H-pirazol-1-il]pirazolo[1,5-a]pirimidina  
*inhibidor de la tirosina kinasa, antineoplásico*

C<sub>20</sub>H<sub>15</sub>F<sub>5</sub>N<sub>6</sub>

2353522-15-1

**palupiprantum**

palupiprant

4-[(1S)-1-{3-(difluorométhyl)-1-méthyl-5-[3-(trifluorométhyl)phénoxy]-1H-pyrazole-4-carboxamido}éthyl]benzoïque  
*prostaglandin receptor antagonist*

palupiprant

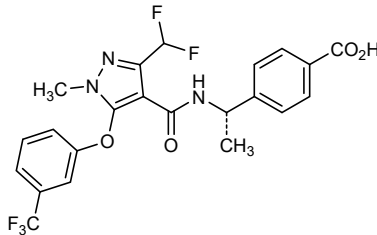
acide 4-[(1S)-1-{3-(difluorométhyl)-1-méthyl-5-[3-(trifluorométhyl)phénoxy]-1H-pyrazole-4-carboxamido}éthyl]benzoïque  
*antagoniste du récepteur des prostaglandines*

palupiprant

ácido 4-[(1S)-1-{3-(difluorometil)-1-metil-5-[3-(trifluorometil)fenoxi]-1H-pirazol-4-carboxamido}etil]benzoico  
*antagonista del receptor de las prostaglandinas*

C<sub>22</sub>H<sub>18</sub>F<sub>5</sub>N<sub>3</sub>O<sub>4</sub>

1369489-71-3

**peceleganum**

peceleganan

artificial antimicrobial cecropin A (1-10) × melittin B (3-18) hybrid (10+16)-peptide analogue;  
*N*<sup>ε</sup>-acetyl-L-lysyl-L-tryptophyl-L-lysyl-L-seryl-L-phenylalanyl-L-leucyl-L-lysyl-L-threonyl-L-phenylalanyl-L-lysyl-L-seryl-L-alanyl-L-alanyl-L-lysyl-L-threonyl-L-valyl-L-leucyl-L-histidyl-L-threonyl-L-alanyl-L-leucyl-L-lysyl-L-alanyl-L-isoleucyl-L-seryl-L-serinamide  
*antibacterial*

pécéléganan

analogue d'un peptide artificiel antimicrobien hybride (10+16) de cécropine A (1-10) × mélittine B (3-18);  
*N*<sup>ε</sup>-acétyl-L-lysyl-L-tryptophyl-L-lysyl-L-séryl-L-phénylalanyl-L-leucyl-L-lysyl-L-thréonyl-L-phénylalanyl-L-lysyl-L-séryl-L-alanyl-L-alanyl-L-lysyl-L-thréonyl-L-valyl-L-leucyl-L-histidyl-L-thréonyl-L-alanyl-L-leucyl-L-lysyl-L-alanyl-L-isoleucyl-L-séryl-L-sérinamide  
*antibactérien*

peceleganán

análogo de un péptido artificial antimicrobiano híbrido (10+16) de cecropina A (1-10) × melitina B (3-18); N<sup>2</sup>-acetil-L-lisil-L-triptofil-L-lisil-L-seril-L-fenilalanil-L-leucil-L-lisil-L-treonil-L-fenilalanil-L-lisil-L-seril-L-alanil-L-alanil-L-lisil-L-treonil-L-valil-L-leucil-L-histidil-L-treonil-L-alanil-L-leucil-L-lisil-L-alanil-L-isoleucil-L-seril-L-serinamida  
*antibacteriano*

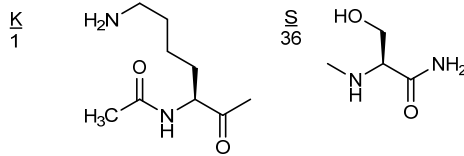
C<sub>136</sub>H<sub>226</sub>N<sub>36</sub>O<sub>34</sub>

850761-47-6

Sequence / Séquence / Secuencia

KWKSFLKTFK SAAKTVLHTA LKAISS S 36

Modified residues / Résidus modifiés / Restos modificados



**pegenzileukinum #**  
pegenzileukin

human interleukin 2 (IL2, T-cell growth factor, TCGF) (2-133) variant (A<sup>1</sup> deleted, Pro<sup>65</sup>>Lys, Cys<sup>125</sup>>Ser), non-glycosylated, produced in *Escherichia coli*, conjugated at N<sup>6</sup> of K65 with a PEG derivative (30 kDa);

[Ala<sup>1</sup>>del, Pro<sup>65</sup>>Lys, Cys<sup>125</sup>>Ser]-human interleukin 2 (IL2, T-cell growth factor, TCGF), non-glycosylated, produced in *Escherichia coli*, N<sup>6,65</sup>-(2-[8-{4-[α-methylpoly(oxyethylene)-ω-amino]-4-oxobutanoyl}-8,9-dihydro-1(or 3)-H-dibenzo[b, f][1,2,3]triazolo[4,5-d]azocin-1(or 3)-yl]ethoxy}carbonyl)-derivative  
*immunomodulator, antineoplastic*

pégenzileukine

interleukine 2 humaine (IL-2, facteur de croissance des cellules T, TCGF) (2-133) variant (A<sup>1</sup> supprimé, Pro<sup>65</sup>>Lys, Cys<sup>125</sup>>Ser), non glycosylée, produite dans *Escherichia coli*, conjuguée au N<sup>6</sup> de K65 avec un dérivé PEG (30 kDa);

[Ala<sup>1</sup>>del, Pro<sup>65</sup>>Lys, Cys<sup>125</sup>>Ser]-interleukine 2 humaine (IL-2, facteur de croissance des lymphocytes T, TCGF), non glycosylée, produite dans *Escherichia coli*, conjuguée en N<sup>6,65</sup>-(2-[8-{4-[α-méthylpoly(oxyéthylène)-ω-amino]-4-oxobutanoyl}-8,9-dihydro-1(ou 3)-H-dibenzo[b, f][1,2,3]triazolo[4,5-d]azocin-1(ou 3)-yl]éthoxy}carbonyl)  
*immunomodulateur, antinéoplasique*

pegenzileukina

interleukina 2 humana (IL-2, factor de crecimiento de células T, TCGF) (2-133) variante (A<sup>1</sup> eliminada, Pro<sup>65</sup>>Lys, Cys<sup>125</sup>>Ser), no glicosilado, producida en *Escherichia coli*, conjugada en N<sup>6</sup> del K65 con un derivado PEG (30 kDa);

Ala<sup>1</sup>>del, Pro<sup>65</sup>>Lis, Cis<sup>125</sup>>Ser]-interleukina 2 humana (IL-2, factor de crecimiento de linfocitos T, TCGF), no glicosilada, producida en *Escherichia coli*, conjugada en N<sup>6,65</sup>-({2-[8-[4-[α-metilpoli(oxitileno)-ω-amino]-4-oxobutanoil]-8,9-dihidro-1(o 3)H-dibenzo[b,f][1,2,3]triazolo[4,5-d]azocin-1(o 3)-il]etoxi}carbonilo)  
*immunomodulador, antineoplásico*

2573074-47-0

Sequence / Séquence / Secuencia

-PTSSSTKKT QLQLEHLLLD LQMILNGINN YKNPKLTRML TFKFYMPKKA 50  
TELKHLQCLE EELK<sup>K</sup>LEEVN NLAQSKNFHL RPRDLISNIN VIVLELKGSE 100  
TTFMCEYADE TATIVEFLNR WITFS<sup>S</sup>QSIIS TLT 133

Mutation / Mutation / Mutación

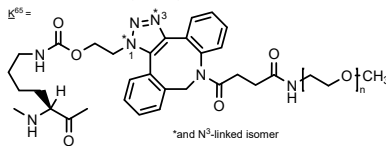
A1>del, P65><sup>K</sup>, C125><sup>S</sup>**Post-translational modifications**

Disulfide bridge location / Position du pont disulfure / Posición del puente disulfuro  
58-105

Glycosylation sites / Sites de glycosylation / Posiciones de glicosilación  
none / aucun / ninguna

Pegylation site / Site de pégylation / Posición de pegilación

<sup>K<sup>65</sup></sup>: 30 kDa mPEG (n ~ 680)



**pelgifatamabum #**  
pelgifatamab

immunoglobulin G1-kappa, anti-[*Homo sapiens* FOLH1 (folate hydrolase, prostate specific membrane antigen, PSMA)], *Homo sapiens* monoclonal antibody; gamma1 heavy chain *Homo sapiens* (1-453) [VH (*Homo sapiens* IGHV3-33\*01 (96.9%) -(IGHD) - IGHJ6\*01 (100%), CDR-IMGT [8.8.16] (26-33.51-58.97-112)) (1-123) -*Homo sapiens* IGHG1\*03 (100%), G1m3, nG1m1 (CH1 R120 (220) (124-221), hinge 1-15 (222-236), CH2 (237-346), CH3 E12 (362), M14 (364) (347-451), CHS (452-453)) (124-453)], (226-214')-disulfide with kappa light chain *Homo sapiens* (1'-214') [V-KAPPA (*Homo sapiens* IGKV1-27\*01 (94.7%) - IGKJ3\*01 (100%), CDR-IMGT [6.3.9] (27-32.50-52.89-97)) (1'-107') -*Homo sapiens* IGKC\*01 (100%), Km3 A45.1 (153), V101 (191) (108'-214')]; dimer (232-232":235-235")-bisdisulfide, produced in Chinese hamster ovary (CHO) cells, cell line CHO-K1, glycoform alfa  
*antineoplastic*

pelgifatamab

immunoglobuline G1-kappa, anti-[*Homo sapiens* FOLH1 (folate hydrolase, antigène membranaire spécifique de la prostate, PSMA)], anticorps monoclonal *Homo sapiens*; chaîne lourde gamma1 *Homo sapiens* (1-453) [VH (*Homo sapiens* IGHV3-33\*01 (96.9%) -(IGHD) - IGHJ6\*01 (100%), CDR-IMGT [8.8.16] (26-33.51-58.97-112)) (1-123) -*Homo sapiens* IGHG1\*03 (100%), G1m3, nG1m1 (CH1 R120 (220) (124-221), charnière

pelgifatamab

1-15 (222-236), CH2 (237-346), CH3 E12 (362), M14 (364) (347-451), CHS (452-453) (124-453)], (226-214')-disulfure avec la chaîne légère kappa *Homo sapiens* (1'-214') [V-KAPPA (*Homo sapiens* IGKV1-27\*01 (94.7%) -IGKJ3\*01 (100%), CDR-IMGT [6.3.9] (27-32.50-52.89-97)) (1'-107') -*Homo sapiens* IGKC\*01 (100%), Km3 A45.1 (153), V101 (191) (108'-214')]; dimère (232-232":235-235")-bisdisulfure, produit dans des cellules ovariennes de hamster chinois (CHO), lignée cellulaire CHO-K1, glycoforme alfa *antineoplasique*

inmunoglobulina G1-kappa, anti-[*Homo sapiens* FOLH1 (folato hidrolasa, antígeno membranario específico de la próstata, PSMA)], anticuerpo monoclonal *Homo sapiens*; cadena pesada gamma1 *Homo sapiens* (1-453) [VH (*Homo sapiens* IGHV3-33\*01 (96.9%) -(IGHD) -IGHJ6\*01 (100%), CDR-IMGT [8.8.16] (26-33.51-58.97-112)) (1-123) -*Homo sapiens* IGHG1\*03 (100%), G1m3, nG1m1 (CH1 R120 (220) (124-221), bisagra 1-15 (222-236), CH2 (237-346), CH3 E12 (362), M14 (364) (347-451), CHS (452-453) (124-453)], (226-214')-disulfuro con la cadena ligera kappa *Homo sapiens* (1'-214') [V-KAPPA (*Homo sapiens* IGKV1-27\*01 (94.7%) -IGKJ3\*01 (100%), CDR-IMGT [6.3.9] (27-32.50-52.89-97)) (1'-107') -*Homo sapiens* IGKC\*01 (100%), Km3 A45.1 (153), V101 (191) (108'-214')]; dímero (232-232":235-235")-bisdisulfuro, producido en las células ováricas de hámster chino (CHO), línea celular CHO-K1, forma glicosilada alfa *antineoplásico*

2414550-93-7

## Heavy chain / Chaîne lourde / Cadena pesada

QVQLVESGGG VVQVGRSLRL SCAASGFAPF RYGMHWVRQA PGKLEWVAV 50  
 IWYDGSNKYY ADSVGRFTI SRDNSKNTQY LQMNLSRAED TAVYFCARGG 100  
 DFLYYYYYGM DVWGGQTTVT VSSASTKGPS VFPLAPSSKS TSGGTAALGC 150  
 LVKDYFPEPV TVSWNSGALT SGVHTFFAVL QSSGLYSLSS VVTVPSSSLG 200  
 TQTYICNVNH KPSNTKVDKR VEPKSCDKTH TCPPCPAPEL LGGPSVFLFP 250  
 PKPKDLMIS RTPEVTCVVV DVSHEDEPKV FNWVVDGVEV HNAKTKPREE 300  
 QYNSTYRVVS VLTVLHQDWL NGKEYCKCKV NKALFAPIEK TISKAKGQPR 350  
 EPQVYTLPPS REEMTKNQVS LTCLVKGFYP SDIAVEWESN GQPENNYKTT 400  
 PAVLDSGDSF FLYSKLTVDK SRWQQGNVFS CSMHEALHN HYTKLSLSLS 450  
 PGK 453

## Light chain / Chaîne légère / Cadena ligera

DIQMTQSPSS LSASVGRDRTV ITCRASQGIS NYLAWYQQKT GKVPKFLIYE 50  
 ASTLQSGVPS RFSGGSGSDT FTLTISLQFP EDVATYYCQN YNSAPFTFGP 100  
 GTKVDIKRTV AAPSVEIFPP SDEQLKSGTA SVVCLLNIFY BREAKVQMKV 150  
 DNALQSGNSQ ESVTEQDSK STYLSISLTI LSKADYEKHK VYACEVTHQG 200  
 LSSPVTKSFN RGEK 214

## Post-translational modifications

Disulfide bridges location / Position des ponts disulfure / Posiciones de los puentes disulfuro

Intra-H (C23-C104) 22-96 150-206 267-327 373-431  
 22"-96" 150"-206" 267"-327" 373"-431"  
 Intra-L (C23-C104) 23"-88" 134-194"  
 23"-88" 134"-194"  
 Inter-H-L (h 5-CL 126) 226-214" 226"-214"  
 Inter-H-H (h 11, h 14) 232-232" 235-235"

N-terminal glutaminyl cyclization / Cyclisation du glutaminyle N-terminal / Ciclación del glutaminilo N-terminal

H VH Q1&gt; pyroglutamyI (pE, 5-oxopropyl): 1, 1"

N-glycosylation sites / Sites de N-glycosylation / Posiciones de N-glicosilación

H CH2 N84.4: 303, 303"

Fucosylated complex bi-antennary CHO-type glycans / glycanes de type CHO bi-antennaires complexes fucosylés / glicanos de tipo CHO biantenarijos complejos fucosilados.

C-terminal lysine clipping / Coupure de la lysine C-terminale / Recorte de lisina C-terminal  
 H CHS K2: 453, 453"

**pemvidutidum**  
pemvidutide

C<sup>5,16</sup>,N<sup>6,20</sup>-anhydro{L-histidyl-2-methylalanyl-L-glutaminylglycyl-L-threonyl-L-phenylalanyl-L-threonyl-L-seryl-L-α-aspartyl-L-tyrosyl-L-seryl-L-lysyl-L-tyrosyl-L-leucyl-L-α-aspartyl-L-α-glutamyl-N<sup>6</sup>-[1-O-(17-carboxyheptadecyl)-β-D-glucopyranuronoyl]-L-lysyl-L-alanyl-L-alanyl-L-lysyl-L-α-glutamyl-L-phenylalanyl-L-isoleucyl-L-glutaminyl-L-tryptophyl-L-leucyl-L-leucyl-L-glutaminyl-L-threoninamide}  
*glucagon and glucagon-like peptide 1 (GLP-1) receptors agonist*

## pemvidutide

C<sup>5,16</sup>,N<sup>6,20</sup>-anhydro{L-histidyl-2-méthylalanyl-L-glutaminylglycyl-L-thréonyl-L-phénylalanyl-L-thréonyl-L-séryl-L-α-aspartyl-L-tyrosyl-L-séryl-L-lysyl-L-tyrosyl-L-leucyl-L-α-aspartyl-L-α-glutamyl-N<sup>6</sup>-[1-O-(17-carboxyheptadécyl)-β-D-glucopyranuronoyl]-L-lysyl-L-alanyl-L-alanyl-L-lysyl-L-α-glutamyl-L-phénylalanyl-L-isoleucyl-L-glutaminyl-L-tryptophyl-L-leucyl-L-leucyl-L-glutaminyl-L-thréoninamide}  
*agoniste des récepteurs au glucagon et au peptide-1 d'action type glucagon (GLP-1)*

## pemvidutida

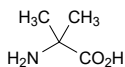
C<sup>5,16</sup>,N<sup>6,20</sup>-anhidro{L-histidil-2-metilalanil-L-glutaminilglicil-L-treonil-L-fenilalanil-L-treonil-L-seril-L-α-aspartil-L-tirosil-L-seril-L-lisil-L-tirosil-L-leucil-L-α-aspartil-L-α-glutamil-N<sup>6</sup>-[1-O-(17-carboxiheptadecil)-β-D-glucopirauronoi]-L-lisil-L-alanil-L-alanil-L-lisil-L-α-glutamil-L-fenilalanil-L-isoleucil-L-glutaminil-L-triptofil-L-leucil-L-leucil-L-glutaminil-L-treoninamida}  
*agonista de los receptores del glucagon y del péptido similar al glucagón (GLP-1)*

C<sub>182</sub>H<sub>275</sub>N<sub>39</sub>O<sub>54</sub>

2538014-94-5

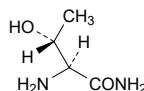
HXQGF<sup>X</sup>FTSDY SKYLDEK<sup>K</sup>AAK EFIQWLLQ<sup>T</sup> 29Amide bridge location / Position du pont amide / Posición del puente amido  
16-20 (Glu<sup>5,16</sup>-Lys<sup>6,20</sup>)

Modified residues / Résidus modifiés / Restos modificados

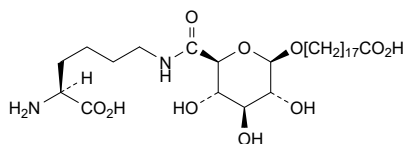


X (2)

2-methylalanine



I (29)

L-Thr-NH<sub>2</sub>

K (17)

N<sup>6</sup>-[1-O-(17-carboxyheptadecyl)-D-glucopyranuronoyl]-L-Lys

**peresolimabum #**  
peresolimab

immunoglobulin G1-kappa, anti-[*Homo sapiens* PDCD1 (programmed cell death 1, PD-1, PD1, CD279)], humanized monoclonal antibody; gamma1 heavy chain humanized (1-449) [VH (*Homo sapiens* IGHV1-24\*01 (85.7%) -(IGHD) -IGHJ5\*01 (87.5%), CDR-IMGT [8.8.13] (26-33.50-57.96-108)) (1-119) -*Homo sapiens* IGHG1\*01 (100%), G1m17.1 (CH1 K120 (216) (120-217), hinge 1-15 (218-232), CH2 (233-342), CH3 D12 (358), L14 (360) (343-447), CHS (448-449)) (120-449)], (222-217')-disulfide with kappa light chain humanized (1'-217') [V-KAPPA (*Homo sapiens* IGKV1-12\*01 (88.8%) -IGKJ4\*01 (100%), CDR-IMGT [6.3.12] (27-32.50-52.89-100)) (1'-110') -*Homo sapiens* IGKC\*01 (100%), Km3 A45.1 (156), V101 (194) (111'-217')]; dimer (228-228":231-231")-bisdisulfide, produced in Chinese hamster ovary (CHO) cells, cell line CHO-K1SV, glycoform alfa  
*immunomodulator*

pérésolimab

immunoglobuline G1-kappa, anti-[*Homo sapiens* PDCD1 (protéine 1 de mort cellulaire programmée, PD-1, PD1, CD279)], anticorps monoclonal humanisé; chaîne lourde gamma1 humanisée (1-449) [VH (*Homo sapiens* IGHV1-24\*01 (85.7%) -(IGHD) -IGHJ5\*01 (87.5%), CDR-IMGT [8.8.13] (26-33.50-57.96-108)) (1-119) -*Homo sapiens* IGHG1\*01 (100%), G1m17.1 (CH1 K120 (216) (120-217), charnière 1-15 (218-232), CH2 (233-342), CH3 D12 (358), L14 (360) (343-447), CHS (448-449)) (120-449)], (222-217')-disulfure avec la chaîne légère kappa humanisée (1'-217') [V-KAPPA (*Homo sapiens* IGKV1-12\*01 (88.8%) -IGKJ4\*01 (100%), CDR-IMGT [6.3.12] (27-32.50-52.89-100)) (1'-110') -*Homo sapiens* IGKC\*01 (100%), Km3 A45.1 (156), V101 (194) (111'-217')]; dimère (228-228":231-231")-bisdisulfure, produit dans des cellules ovariennes de hamster chinois (CHO), lignée cellulaire CHO-K1SV, glycoforme alfa  
*immunomodulateur*

peresolimab

inmunoglobulina G1-kappa, anti-[*Homo sapiens* PDCD1 (proteína 1 de muerte celular programada, PD-1, PD1, CD279)], anticuerpo monoclonal humanizado; cadena pesada gamma1 humanizada (1-449) [VH (*Homo sapiens* IGHV1-24\*01 (85.7%) -(IGHD) -IGHJ5\*01 (87.5%), CDR-IMGT [8.8.13] (26-33.50-57.96-108)) (1-119) -*Homo sapiens* IGHG1\*01 (100%), G1m17.1 (CH1 K120 (216) (120-217), bisagra 1-15 (218-232), CH2 (233-342), CH3 D12 (358), L14 (360) (343-447), CHS (448-449)) (120-449)], (222-217')-disulfuro con la cadena ligera kappa humanizada (1'-217') [V-KAPPA (*Homo sapiens* IGKV1-12\*01 (88.8%) -IGKJ4\*01 (100%), CDR-IMGT [6.3.12] (27-32.50-52.89-100)) (1'-110') -*Homo sapiens* IGKC\*01 (100%), Km3 A45.1 (156), V101 (194) (111'-217')]; dímero (228-228":231-231")-bisdisulfuro, producido en las células ováricas de hámster chino (CHO), línea celular CHO-K1SV, forma glicosilada alfa  
*immunomodulador*



2411580-63-5

Heavy chain / Chaîne lourde / Cadena pesada  
 QVQLVQSGAE VKKPGASVKV SCKVSGYSLK KYDMSWVRQA PGKGLEWMI 50  
 IYTSGYTDYA QKFGGRVTMT EDTSTDTAYM ELSLSRSEDV AVYYCATGNP 100  
 YVTNGFNWSG QGTLVTVSSA STKGPSVFLP APSSKSTSGG TAALGCLVKD 150  
 YFPFPTVSW NSGALTSGVH TTPAVLQSSG LYSLSVTVV PSSLSGTQTY 200  
 ICNWNHKFSN TKVDKVEPK SCDKTHTCP CPAPPELLGGF SVFLFPPPKK 250  
 DTLMISRTPE VTCQVVDVSH EDEPEVKFNWY VDGVEVHNAK TKPREQYNS 300  
 TYRIVSVLTV LHQDNLNGKE YKCKVSNKAL PAPIEKTISK AKGQPREPQV 350  
 YTLFPSRDEL TKNQVSLTCL VKGFYPSDIA VEWESNGQPE NNYKTTFPVL 400  
 DSDGSFFLYS KLTVDKSRWQ QGNVFCSSVM HEALHNHYTQ KSLSLSPGK 449

Light chain / Chaîne légère / Cadena ligera  
 DIQMTQSPSS LSASVGDRTV ITCCASQSPN NLLAWYQQKPK GKAPKLLIYG 50  
 ASDLPFGVPS RFGSGSGTDT FTLTISLSLOP EDFATYYCQN NYYVGPVSYA 100  
 FGGGTKVEIK RTVAAPSVPFI PFPDSDEQLK GTASVVCCLLN NEYFPAKRVQ 150  
 WKVDNALQSG NSQESVTEQD SKDSTYLSLS TLTLTKADYE KHKVYACEVT 200  
 HQGLSSPVTK SFNRGEC 217

**Post-translational modifications**

Disulfide bridges location / Position des ponts disulfure / Posiciones de los puentes disulfuro

Intra-H (C23-C104) 22-95 146-202 263-323 369-427  
 22"-95" 146"-202" 263"-323" 369"-427"

Intra-L (C23-C104) 23"-88" 137"-197"  
 23"-88" 137"-197"

Inter-H-L (h 5-CL 126) 222-217" 222"-217"

Inter-H-H (h 11, h 14) 228-228" 231-231"

N-terminal glutaminyl cyclization / Cyclisation du glutaminyle N-terminal / Ciclación del glutaminilo N-terminal

H VHQI&gt; pyroglutamyl (pE, 5-oxopropyl): 1, 1"

N-glycosylation sites / Sites de N-glycosylation / Posiciones de N-glicosilación

H CH2 N84.4: 299, 299"

Fucosylated complex bi-antennary CHO-type glycans / glycanes de type CHO bi-antennaires complexes fucosylés / glicanos de tipo CHO biantenaricos complejos fucosilados.

C-terminal lysine clipping / Coupure de la lysine C-terminale / Recorte de lisina C-terminal

H CHS K2: 449, 449"

**pertuzumabum zuvotolimodum #**  
 pertuzumab zuvotolimod

immunoglobulin G1-kappa, anti-[*Homo sapiens* ERBB2 (epidermal growth factor receptor 2, receptor tyrosine-protein kinase erbB-2, EGFR2, HER2, HER-2, p185c-erbB2, NEU, CD340)], humanized monoclonal antibody, conjugated via a cleavable linker to an analogue of *motolimod* (an agonist for the toll-like receptor 8, TLR8);

gamma1 heavy chain humanized (1-448) [VH (*Homo sapiens* IGHV3-66\*01 (78.8%) -(IGHD) -IGHJ4\*01 (100%), CDR-IMGT [8.8.12] (26-33.51-58.97-108)) (1-119) -*Homo sapiens* IGHG1\*03v, G1m3>G1m17, nG1m1 (CH1 R120>K (216) (120-217), hinge 1-15 (218-232), CH2 (233-342), CH3 E12 (358), M14 (360) (343-447), CHS K2>del (448)) (120-448)], (222-214')-disulfide with kappa light chain humanized (1'-214') [V-KAPPA (*Homo sapiens* IGKV1-NL1\*01 (84.2%) -IGKJ2\*01 (91.7%) L124>V (104), CDR-IMGT [6.3.9] (27-32.50-52.89-97)) (1'-107') -*Homo sapiens* IGKC\*01 (100%), Km3 A45.1 (153), V101 (191) (108'-214')]; dimer (228-228"-231-231")-bisdisulfide, produced in Chinese hamster ovary (CHO) cells, cell line CHO-K1, glycoform alfa, substituted at S of an average of 4 cysteinyl residues of reduced inter-chain disulfide bridges with (11S,14S,22<sup>3</sup>RS)-1<sup>2</sup>-amino-11-[3-(carbamoylamino)propyl]-1<sup>4</sup>-(dipropylcarbamoyl)-2,5,10,13,16,22<sup>2</sup>,22<sup>5</sup>-heptaoxo-14-(propan-2-yl)-4<sup>7</sup>,4<sup>8</sup>-dihydro-1<sup>3</sup>H,4<sup>5</sup>H-6-oxa-3,9,12,15-tetraaza-1(8)-[1]benzazepina-4(3,6)-[1,6]naphthyridina-22(1)-pyrrolidina-8(1,4)-benzenadocosaphan-22<sup>3</sup>-yl (*zuvotolimod*) groups

*immunomodulator, antineoplastic*

pertuzumab zuvotolimod

immunoglobuline G1-kappa, anti-[*Homo sapiens* ERBB2 (récepteur 2 du facteur de croissance épidermique, récepteur tyrosine-protéine kinase erbB-2, EGFR2, HER2, HER-2, p185c-erbB2, NEU, CD340)], anticorps monoclonal humanisé, conjugué à un analogue du *motolimod* (un agoniste du récepteur de type toll 8, TLR8), via un linker clivable;

chaîne lourde gamma1 humanisée (1-448) [VH (*Homo sapiens* IGHV3-66\*01 (78.8%) -(IGHD) -IGHJ4\*01 (100%), CDR-IMGT [8.8.12] (26-33.51-58.97-108)) (1-119) -*Homo sapiens* IGHG1\*03v, G1m3>G1m17, nG1m1 (CH1 R120>K (216) (120-217), charnière 1-15 (218-232), CH2 (233-342), CH3 E12 (358), M14 (360) (343-447), CHS K2>del (448)) (120-448)], (222-214')-disulfure avec la chaîne légère kappa humanisée (1'-214') [V-KAPPA (*Homo sapiens* IGKV1-NL1\*01 (84.2%) -IGKJ2\*01 (91.7%) L124>V (104), CDR-IMGT [6.3.9] (27-32.50-52.89-97)) (1'-107') -*Homo sapiens* IGKC\*01 (100%), Km3 A45.1 (153), V101 (191) (108'-214')]; dimère (228-228''-231-231'')-bisdisulfure, produit dans des cellules ovariennes de hamster chinois (CHO), lignée cellulaire CHO-K1, glycoforme alfa, substitué en S sur un moyenne de 4 résidus cystéinyl de ponts disulfure interchaînes réduits par des groupes (11S,14S,22<sup>3</sup>RS)-1<sup>4</sup>-amino-11-[3-(carbamoylamino)propyl]-1<sup>4</sup>-(dipropylcarbamoyl)-2,5,10,13,16,22<sup>2</sup>,22<sup>5</sup>-heptaoxo-14-(propan-2-yl)-4<sup>7</sup>,4<sup>8</sup>-dihydro-1<sup>3</sup>H,4<sup>5</sup>H-6-oxa-3,9,12,15-tétraza-1(8)-[1]benzazépina-4(3,6)-[1,6]naphtyridina-22(1)-pyrrolidina-8(1,4)-benzénadocosaphan-22<sup>3</sup>-yle (zuvotolimod)

*immunomodulateur, antinéoplasique*

pertuzumab zuvotolimod

immunoglobulina G1-kappa, anti-[*Homo sapiens* ERBB2 (receptor 2 del factor de crecimiento epidérmico, receptor tirosina-proteína kinasa erbB-2, EGFR2, HER2, HER-2, p185c-erbB2, NEU, CD340)], anticuerpo monoclonal humanizado, conjugado con un análogo de *motolimod* (un agonista del receptor de tipo toll 8, TLR8), mediante un conector escindible;

cadena pesada gamma1 humanizada (1-448) [VH (*Homo sapiens* IGHV3-66\*01 (78.8%) -(IGHD) -IGHJ4\*01 (100%), CDR-IMGT [8.8.12] (26-33.51-58.97-108)) (1-119) -*Homo sapiens* IGHG1\*03v, G1m3>G1m17, nG1m1 (CH1 R120>K (216) (120-217), bisagra 1-15 (218-232), CH2 (233-342), CH3 E12 (358), M14 (360) (343-447), CHS K2>del (448)) (120-448)], (222-214')-disulfuro con la cadena ligera kappa humanizada (1'-214') [V-KAPPA (*Homo sapiens* IGKV1-NL1\*01 (84.2%) -IGKJ2\*01 (91.7%) L124>V (104), CDR-IMGT [6.3.9] (27-32.50-52.89-97)) (1'-107') -*Homo sapiens* IGKC\*01 (100%), Km3 A45.1 (153), V101 (191) (108'-214')]; dímero (228-228''-231-231'')-bisdisulfuro, producido en las células ováricas de hámster chino (CHO), línea celular CHO-K1, forma glicosilada alfa, sustituido en S de un promedio de 4 residuos de cisteinilo de puentes disulfuro intercatenarios reducidos con grupos de (11S,14S,22<sup>3</sup>RS)-1<sup>4</sup>-amino-11-[3-(carbamoilamino)propil]-1<sup>4</sup>-(dipropilcarbamoil)-2,5,10,13,16,22<sup>2</sup>,22<sup>5</sup>-heptaoxo-14-(propan-2-il)-4<sup>7</sup>,4<sup>8</sup>-dihidro-1<sup>3</sup>H,4<sup>5</sup>H-6-oxa-3,9,12,15-tetraaza-1(8)-[1]benzazepina-4(3,6)-[1,6]naftiridina-22(1)-pirrolidina-8(1,4)-bencenadocosafan-22<sup>3</sup>-ilo (zuvotolimod)

*immunomodulador, antineoplásico*

2500674-05-3

## Heavy chain / Chaîne lourde / Cadena pesada

EVQLVESGGG LVQPFGSLRL SCAASGFTFT DYTMDWVRQA PGKGLEWVAD 50  
 VNPNSGGSIY NQRFKGRFTL SVDRSKNTLY LQMNSLRAED TAVVYCARNL 100  
 GFSFYFDYWG QGTLVTVSSA STKGPSVFPFL APSKSTSGG TALGCLVKD 150  
 YFPFPEVTSW NSGALTSGVH TFFAVLQSSG LYSLSVVTV PSSLGQTQY 200  
 ICNVNPKPSN TKVDKKEVPEK SCDKTHTCPF CPAPPELLGGP SVFLFPPKPK 250  
 DTLMI SRTPV VTCVVVDVSH EDPEVKFNWY VDGVEVHNAK TKPREEQYNS 300  
 TYRVSIVLTV LHQDMLNGKE YKCKVSKNAL PAPIEKTI SK ARGGPREPQV 350  
 YTLPPSREEM TKNQVSLTCL VKGFYPSDIA VEWESNGQPE NNYKTTFPVL 400  
 DSDGSFFLYS KLTVDKSRWQ QGNVFCSCVM HEALHNHYTQ KSLSLSPG 448

## Light chain / Chaîne légère / Cadena ligera

DIQMTQSPSS LSASVGDRTV ITCKASQDVS IGVAWYQQPK GKAPKLLIYS 50  
 ASYRYTGPVS RFGSGSGSDT FTLTISLQFP EDFATYYCQQ YYIYPTFGQ 100  
 GTRKVEIKRTV AAPSVFIFPP SDEQLKSGTA SVVCLLNIFY PREAKVQKVK 150  
 DNALQSGNSQ ESVTEQDSKD STYLSLSTLT LSKADYERHK VYACEVTHQG 200  
 LSSPVTKSFN RGEK 214

## Post-translational modifications

Disulfide bridges location / Position des ponts disulfure / Posiciones de los puentes disulfuro

Intra-H (C23-C104) 22-96 146-202 263-323 369-427  
 22"-96" 146"-202" 263"-323" 369"-427"

Intra-L (C23-C104) 23"-88" 134"-194"  
 23"-88" 134"-194"

Inter-H-L\* (h 5-CL 126) 222-214" 222"-214"

Inter-H-H\* (h 11, h 14) 228-228" 231-231"

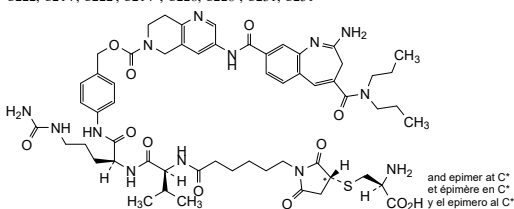
\*At least two of the four inter-chain disulfide bridges are not present, an average of 4 cysteinyl being conjugated each via a thioether bond to a drug linker.

\*Au moins deux des quatre ponts disulfures inter-chaînes ne sont pas présents, 4 cystéinyl en moyenne étant chacun conjugué via une liaison thioéther à un linker-principe actif.

\*Al menos dos de los cuatro puentes disulfuro inter-catenarios no estan presentes, una media de 4 cisteinil está conjugada a conectores de principio activo.

Potential modified residues / résidus modifiés potentiels / restos modificados potenciales

C222, C214", C222", C214", C228", C228", C231, C231"



N-glycosylation sites / Sites de N-glycosylation / Posiciones de N-glicosilación  
 H CH2 N84.4: 299, 299"

Fucosylated complex bi-antennary CHO-type glycans / glycanes de type CHO bi-antennaires complexes fucosylés / glicanos de tipo CHO biantennarios complejos fucosilados

**pesampatorium**  
 pesampator

*N*-{(3*S*,4*S*)-4-[4-(5-cyanothiophen-2-yl)phenoxy]oxolan-3-yl}propane-2-sulfonamide  
*antipsychotic*

pésampator

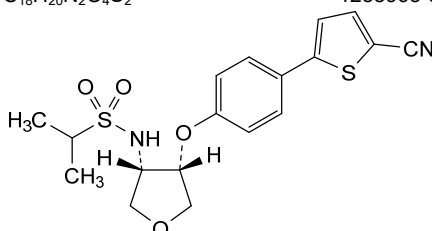
*N*-{(3*S*,4*S*)-4-[4-(5-cyanothiophén-2-yl)phénoxy]oxolan-3-yl}propane-2-sulfonamide  
*antipsychotique*

pesampator

*N*-{(3*S*,4*S*)-4-[4-(5-cianotiofen-2-il)fenoxi]oxolan-3-il}propano-2-sulfonamida  
*antipsicótico*

C<sub>18</sub>H<sub>20</sub>N<sub>2</sub>O<sub>4</sub>S<sub>2</sub>

1258963-59-5



**pezadefitidum**

pezadefitide

antifungal peptide derived from the mature N-terminal domain of a plant defensin of *Picramnia pentandra* (Florida bitterbush);

L-alanyl-L-lysyl-L-valyl-L-cysteinyl-L-threonyl-L-lysyl-L-prolyl-L-seryl-L-lysyl-L-phenylalanyl-L-phenylalanyl-L-lysylglycyl-L-leucyl-L-cysteinylglycyl-L-threonyl-L- $\alpha$ -aspartylglycyl-L-alanyl-L-cysteinyl-L-threonyl-L-threonyl-L-alanyl-L-cysteinyl-L-arginyl-L-lysyl-L- $\alpha$ -glutamylglycyl-L-leucyl-L-histidyl-L-serylglycyl-L-tyrosyl-L-cysteinyl-L-glutamyl-L-leucyl-L-lysylglycyl-L-phenylalanyl-L-leucyl-L-asparagyl-L-seryl-L-valyl-L-cysteinyl-L-valyl-L-cysteinyl-L-arginyl-L-lysyl-L-histidyl-L-cysteine, non-glycosylated, produced in *Pichia pastoris* (*Komagataella phaffii*) yeast cells  
*antifungal*

pézadefitide

peptide antifongique dérivé du domaine N-terminal mature d'une défensine végétale de *Picramnia pentandra* (buisson amer de Florida);

L-alanyl-L-lysyl-L-valyl-L-cystéinyl-L-thréonyl-L-lysyl-L-prolyl-L-séryl-L-lysyl-L-phénylalanyl-L-phénylalanyl-L-lysylglycyl-L-leucyl-L-cystéinylglycyl-L-thréonyl-L- $\alpha$ -aspartylglycyl-L-alanyl-L-cystéinyl-L-thréonyl-L-thréonyl-L-alanyl-L-cystéinyl-L-arginyl-L-lysyl-L- $\alpha$ -glutamylglycyl-L-leucyl-L-histidyl-L-sérylglycyl-L-tyrosyl-L-cystéinyl-L-glutamyl-L-leucyl-L-lysylglycyl-L-phénylalanyl-L-leucyl-L-asparagyl-L-séryl-L-valyl-L-cystéinyl-L-valyl-L-cystéinyl-L-arginyl-L-lysyl-L-histidyl-L-cystéine, non glycosylé, produit dans des cellules de levure *Pichia pastoris* (*Komagataella phaffii*)  
*antifongique*

pezadefitida

péptido antifúngico derivado del dominio N-terminal maduro de una defensina vegetal de *Picramnia pentandra* (arbusto amargo de Florida);

L-alanil-L-lisil-L-valil-L-cisteinil-L-treonil-L-lisil-L-proil-L-seril-L-lisil-L-fenilalanil-L-fenilalanil-L-lisilglicil-L-leucil-L-cisteinilglicil-L-treonil-L- $\alpha$ -aspartilglicil-L-alanil-L-cisteinil-L-treonil-L-treonil-L-alanil-L-cisteinil-L-arginil-L-lisil-L- $\alpha$ -glutamilglicil-L-leucil-L-histidil-L-serilglicil-L-tirosil-L-cisteinil-L-glutamínil-L-leucil-L-lisilglicil-L-fenilalanil-L-leucil-L-asparaginil-L-seril-L-valil-L-cisteinil-L-valil-L-cisteinil-L-arginil-L-lisil-L-histidil-L-cisteina, no glicosilada, producido en células de levadura de *Pichia pastoris* (*Komagataella phaffii*)  
*antifúngico*

C<sub>234</sub>H<sub>372</sub>N<sub>70</sub>O<sub>66</sub>S<sub>8</sub>

1907724-92-8

Sequence / Séquence / Secuencia:

AKVCTKPSKF FKGLCGTDGA CTTACRKEGL HSGYQQLKGF LNSVCVCRKH 50

C

51

Post-translational modifications / Modifications post-traduccionnelles / Modificaciones postraduccionales

Disulfide bridges location / Position des ponts disulfure / Posiciones de los puentes disulfuro  
4-51, 15-35, 21-45, 25-47Glycosylation sites / Sites de glycosylation / Posiciones de glicosilación  
none / aucun / ninguna



receptor subunit alpha (CSF2RA) signal peptide, a murine anti-CD19 single chain variable fragment (scFv) derived from mouse hybridoma FMC63, consisting of a variable light chain (VL), a 15 amino acid flexible glycine/serine spacer (G4S)3, and a variable heavy-chain (VH), followed by a short linker sequence and the invariant human CD3ε TCR subunit coding sequence, and is under control of the elongation factor 1 alpha (EF1α) promoter. The construct is flanked by 5' and 3' long terminal repeats (LTRs) and also contains a ψ packaging signal, a Rev response element (RRE), a central polypurine tract (cPPT) sequence and an optimized Woodchuck hepatitis virus posttranscriptional regulatory element (WPRE).

The leukapheresis material is enriched for CD4/CD8 T cells by positive immunoselection and then activated and expanded through CD3 and CD28 receptor stimulation. Following activation, the T cells are transduced with the vector and expanded in media supplemented with human male AB serum and cytokines. The cells comprise of >80% CD3+ cells, >70% viable total cells, >5% viable CD3+/transgene+ cells and a mixture of CD4+ and CD8+ cells.

*cell-based gene therapy (antineoplastic)*

plixacabtagène autoleucel

lymphocytes T autologues obtenus à partir de cellules mononucléaires de sang périphérique par leucaphérèse, transduits avec un vecteur lentiviral auto-inactivant et non répliquant, codant un récepteur antigénique chimérique (CAR) ciblant CD19. Le transgène exprimé comprend un peptide signal de la sous-unité alpha du récepteur du facteur de stimulation des colonies de granulocytes-macrophages (CSF2RA), un fragment variable à chaîne unique (scFv) anti-CD19 murin dérivé de l'hybridome de souris FMC63, consistant en une chaîne légère variable (VL), d'un espaceur glycine/sérine flexible de 15 acides aminés (G4S)3, et d'une chaîne lourde variable (VH), suivie d'une courte séquence de liaison et de la séquence codante invariante humaine de la sous-unité TCR CD3ε, et est sous le contrôle du promoteur du facteur d'élongation 1 alpha (EF1α). La construction est flanquée de longues répétitions terminales (LTR) en 5' et 3' et contient également un signal d'encapsulation ψ, un élément de réponse Rev (RRE), une séquence du tractus polypurine central (cPPT) et un élément régulateur post-transcriptionnel optimisé du virus de l'hépatite de marmotte (WPRE).

Le matériel de leucaphérèse est enrichi en lymphocytes T CD4/CD8 par immunosélection positive, puis activé et amplifié par stimulation des récepteurs CD3 et CD28. Après l'activation, les lymphocytes T sont transduits avec le vecteur et amplifiés avec du milieu complété par du sérum AB masculin humain et des cytokines. Les cellules sont constituées de >80% de cellules CD3+, >70% de cellules totales viables, >5% de cellules CD3+/transgène+ viables et un mélange de cellules CD4+ et CD8+.

*thérapie génique à base de cellules (antinéoplasique)*

## plixacabtagén autoleucel

linfocitos T autólogos obtenidos a partir de células mononucleares de sangre periférica mediante leucoaféresis, transducidos con un vector lentiviral auto inactivante y no replicativo, que codifica para un receptor de antígenos quimérico (CAR) dirigido a CD19. El transgén expresado consta de un péptido señal de la subunidad alfa del receptor del factor estimulante de colonias de granulocitos-macrófagos (CSF2RA), un fragmento sencillo de cadena variable (scFv) murina anti-CD19 derivado del hibridoma de ratón FMC63, que consiste en una cadena ligera variable (VL), un espaciador glicina/serina (G4S)3 flexible de 15 amino ácidos y una cadena pesada variable (VH), seguido de una secuencia conectora corta y la secuencia que codifica para la subunidad no variable CD3ε del TCR humano, y está bajo el control del promotor del factor de elongación 1 alfa (EF1a). El constructo está flanqueado por repeticiones terminales largas (LTRs) en 5' y 3', y contiene también una señal de empaquetamiento ψ, un elemento de respuesta Rev (RRE), una secuencia del tracto de poli-purina central (cPPT) y un elemento regulador post-transcripcional del virus de la hepatitis de marmota (WPRE) optimizado.

El material de leucoaféresis se enriquece para linfocitos T CD4/CD8 mediante inmunoselección positiva y después se activan y expanden por estimulación a través de los receptores CD3 y CD28. Tras la activación, los linfocitos T se transducen con el vector y se expanden en medio suplementado con suero AB humano de varones y citoquinas. Las células consisten en >80% de células CD3+, >70% de células viables totales, >5% de células viables CD3+/transgén+ y una mezcla de células CD4+ y CD8+.

*terapia génica basada en células (antineoplásico)*

**posdinemabum #**  
posdinemab

immunoglobulin G1-kappa, anti-[*Homo sapiens* MAPT (microtubule associated protein tau, tau), phosphorylated], humanized monoclonal antibody; gamma1 heavy chain humanized (1-448) [VH (*Homo sapiens*IGHV3-30\*01 (93.9%) -(IGHD)-IGHJ5\*01 (80.0%) G121>V (111), CDR-IMGT [8.7.12] (26-33.51-57.96-107))] (1-118) -*Homo sapiens*IGHG1\*03v, G1m3>G1m17, nG1m1 (CH1 R120>K (215) (119-216), hinge 1-15 (217-231), CH2 (232-341), CH3 E12 (357), M14 (359) (342-446), CHS (447-448)) (119-448)], (221-214')-disulfide with kappa light chain humanized (1'-214') [V-KAPPA (*Homo sapiens*IGKV1-16\*01 (85.3%) -IGKJ2\*01 (100%), CDR-IMGT [6.3.9] (27-32.50-52.89-97)) (1'-107') -*Homo sapiens*IGKC\*01 (100%), Km3 A45.1 (153), V101 (191) (108'-214')]; dimer (227-227":230-230")-bisdisulfide, produced in Chinese hamster ovary (CHO) cells, glycoform alfa *tau protein inhibitor*

posdinémab immunoglobuline G1-kappa, anti-[*Homo sapiens* MAPT (protéine tau associée aux microtubules, tau), phosphorylée], anticorps monoclonal humanisé;  
chaîne lourde gamma1 humanisée (1-448) [VH (*Homo sapiens* IGHV3-30\*01 (93.9%) -(IGHD) -IGHJ5\*01 (80.0%) G121>V (111), CDR-IMGT [8.7.12] (26-33.51-57.96-107)) (1-118) -*Homo sapiens* IGHG1\*03v, G1m3>G1m17, nG1m1 (CH1 R120>K (215) (119-216), charnière 1-15 (217-231), CH2 (232-341), CH3 E12 (357), M14 (359) (342-446), CHS (447-448)) (119-448)], (221-214')-disulfure avec la chaîne légère kappa humanisée (1'-214') [V-KAPPA (*Homo sapiens* IGKV1-16\*01 (85.3%) -IGKJ2\*01 (100%), CDR-IMGT [6.3.9] (27-32.50-52.89-97)) (1'-107') -*Homo sapiens* IGKC\*01 (100%), Km3 A45.1 (153), V101 (191) (108'-214')]; dimère (227-227":230-230")-bisdisulfure, produit dans des cellules ovariennes de hamster chinois (CHO), glycoforme alfa *inhibiteur de la protéine tau*

posdinemab inmunoglobulina G1-kappa, anti-[*Homo sapiens* MAPT (proteína tau asociada con los microtúbulos, tau), fosforilada], anticuerpo monoclonal humanizado;  
cadena pesada gamma1 humanizada (1-448) [VH (*Homo sapiens* IGHV3-30\*01 (93.9%) -(IGHD) -IGHJ5\*01 (80.0%) G121>V (111), CDR-IMGT [8.7.12] (26-33.51-57.96-107)) (1-118) -*Homo sapiens* IGHG1\*03v, G1m3>G1m17, nG1m1 (CH1 R120>K (215) (119-216), bisagra 1-15 (217-231), CH2 (232-341), CH3 E12 (357), M14 (359) (342-446), CHS (447-448)) (119-448)], (221-214')-disulfuro con la cadena ligera kappa humanizada (1'-214') [V-KAPPA (*Homo sapiens* IGKV1-16\*01 (85.3%) -IGKJ2\*01 (100%), CDR-IMGT [6.3.9] (27-32.50-52.89-97)) (1'-107') -*Homo sapiens* IGKC\*01 (100%), Km3 A45.1 (153), V101 (191) (108'-214')]; dímero (227-227":230-230")-bisdisulfuro, producido en las células ováricas de hámster chino (CHO), forma glicosilada alfa *inhibidor de la proteína tau*

2517973-04-3

## Heavy chain / Chaîne lourde / Cadena pesada

VVQVLESVGGG VVQVGRSLRL SCAASGFTFS SYAMSWVRQA PGKGLEWVAS 50  
ISRKGNGTYA DSVKGRFTIS RDNSKNTLYL QMNSLRAEDT AVYYCARGWG 100  
DYGWFAYWQV VTLVTVSSAS TKGSPVFLPA PSKSTSGGT AALGCLVKDY 150  
FPEFVTVSWN SGALTSVGHV FPAVLQSSGL YSLSSVVTVP SSSLGTQTYI 200  
CNVNHKPSNT KVDKKVEPKS CDKTHTCPPC PAPELLGGPS VLEFPPKPKD 250  
TLMISRTPEV TCVVVDVSH EDEVKFNWYV DGEVHNAKT KFREEQYNST 300  
YRVVSVLTVL HQDWLNGKEY KCKVSNKALP APIEKTISKA KGQPREPQVY 350  
LTPFSREEMT KNQVSLTCLV KGFYPSDIAV EWESNGQPEN NYKTTTPVLD 400  
SDGSFFLYSK LTVDKSRWQQ GNVFSCSVMH EALHNNHTQK SLSLSPGK 448

## Light chain / Chaîne légère / Cadena ligera

DIQMTQSPSS LSASVGRDRTV ITCKASQDIN RYLNWFQKPK GKAPKSLIYR 50  
ANRLDLDGVPV RFGSGSGSDT FTLTISLQPF EDFATYYCCLQ YDEFPLTPGQ 100  
GTKLEIKRTV AAPSVFIFPP SDEQLKSGTA SVVCLLNIFY PREAKVQWKV 150  
DNLALQSGNSQ ESVTEQDSKD STYLSLSTLT LSKADYEKHK VYACEVTHQG 200  
LSSPVTKSFN RGECC 214

## Post-translational modifications

Disulfide bridges location / Position des ponts disulfure / Posiciones de los puentes disulfuro

Intra-H (C23-C104) 22-95 145-201 262-322 368-426  
22"-95" 145"-201" 262"-322" 368"-426"

Intra-L (C23-C104) 23'-88" 134'-194"  
23"-88" 134"-194"

Inter-H-L (h 5-CL 126) 221-214' 221"-214"

Inter-H-H (h 11, h 14) 227-227" 230-230"

N-terminal glutaminyl cyclization / Cyclisation du glutaminyle N-terminal / Ciclación del

glutamilo N-terminal

H VH Q1 &gt; pyroglutamyl (pE, 5-oxoprollyl): 1, 1"

N-glycosylation sites / Sites de N-glycosylation / Posiciones de N-glicosilación

H CH2 N84.4: 298, 298"

Fucosylated complex bi-antennary CHO-type glycans / glycanes de type CHO bi-antennaires complexes fucosylés / glicanos de tipo CHO biantennarios complejos fucosilados.

C-terminal lysine clipping / Coupeure de la lysine C-terminale / Recorte de lisina C-terminal

H CHS K2: 448, 448"



**posovolonum**

posovolone

3 $\alpha$ -hydroxy-21-(1*H*-imidazol-1-yl)-3 $\beta$ -(methoxymethyl)-5 $\alpha$ -pregnan-20-one  
*GABA<sub>A</sub> receptor positive allosteric modulator, antidepressant*

posovolone

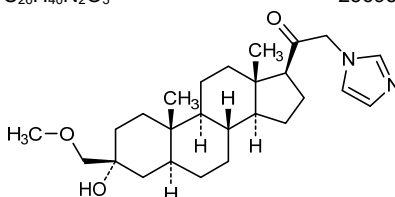
3 $\alpha$ -hydroxy-21-(1*H*-imidazol-1-yl)-3 $\beta$ -(méthoxyméthyl)-5 $\alpha$ -prégnan-20-one  
*modulateur allostérique positif du récepteur GABA<sub>A</sub>, antidépresseur*

posovolona

3 $\alpha$ -hidroxi-21-(1*H*-imidazol-1-il)-3 $\beta$ -(metoximetil)-5 $\alpha$ -pregnan-20-ona  
*modulador alostérico positivo del receptor GABA<sub>A</sub>, antidepresivo*

C<sub>26</sub>H<sub>40</sub>N<sub>2</sub>O<sub>3</sub>

256955-84-7

**povorcitinibum**

povorcitinib

4-[3-(cyanomethyl)-3-(3',5'-dimethyl-1*H*,1'*H*-[4,4'-bipyrazol]-1-yl)azetididin-1-yl]-2,5-difluoro-*N*-[(2*S*)-1,1,1-trifluoropropan-2-yl]benzamide  
*Janus kinase inhibitor, anti-inflammatory*

povorcitinib

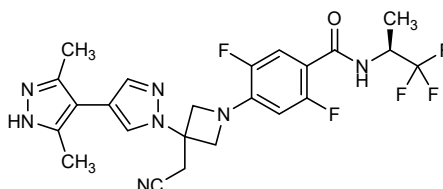
4-[3-(cyanométhyl)-3-(3',5'-diméthyl-1*H*,1'*H*-[4,4'-bipyrazol]-1-yl)azétididin-1-yl]-2,5-difluoro-*N*-[(2*S*)-1,1,1-trifluoropropan-2-yl]benzamide  
*inhibiteur de la kinase de Janus, anti-inflammatoire*

povorcitinib

4-[3-(cianometil)-3-(3',5'-dimetil-1*H*,1'*H*-[4,4'-bipirazol]-1-il)azetididin-1-il]-2,5-difluoro-*N*-[(2*S*)-1,1,1-trifluoropropan-2-il]benzamida  
*inhibidor de la kinasa de Janus, antiinflamatorio*

C<sub>23</sub>H<sub>22</sub>F<sub>5</sub>N<sub>7</sub>O

1637677-22-5

**quabodepistatum**

quabodepistat

5-[(3*R*,4*R*)-1-(4-chloro-2,6-difluorophenyl)-3,4-dihydropiperidin-4-yl]methoxy)-8-fluoro-3,4-dihydroquinolin-2(1*H*)-one  
*antibacterial*

quabodépistat

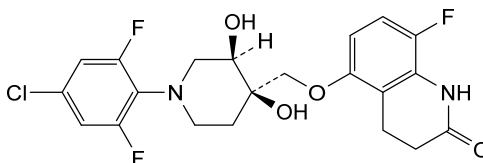
5-{{(3*R*,4*R*)-1-(4-chloro-2,6-difluorophényl)-3,4-dihydroxypipéridin-4-yl}méthoxy}-8-fluoro-3,4-dihydroquinoléin-2(1*H*)-one  
*antibactérien*

quabodepistat

5-{{(3*R*,4*R*)-1-(4-cloro-2,6-difluorofenil)-3,4-dihoxipiperidin-4-il}metoxi}-8-fluoro-3,4-dihidroquinolein-2(1*H*)-ona  
*antibacteriano*

C<sub>21</sub>H<sub>20</sub>ClF<sub>3</sub>N<sub>2</sub>O<sub>4</sub>

1883747-71-4

**rafutrombopagum**

rafutrombopag

5-(2-hydroxy-3-{{(Z)-[3-méthyl-5-oxo-1-(5,6,7,8-tétrahydronaphthalén-2-yl)-1,5-dihydro-4*H*-pyrazol-4-ylidène]hydrazinyl}phényl)furane-2-carboxylique  
*thrombopoïétin receptor agonist*

rafutrombopag

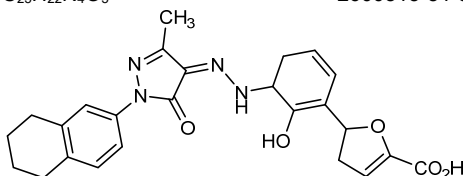
acide 5-(2-hydroxy-3-{{(Z)-[3-méthyl-5-oxo-1-(5,6,7,8-tétrahydronaphtalén-2-yl)-1,5-dihydro-4*H*-pyrazol-4-ylidène]hydrazinyl}phényl)furane-2-carboxylique  
*agoniste du récepteur de la thrombopoïétine*

rafutrombopag

ácido 5-(2-hidroxi-3-{{(Z)-[3-metil-5-oxo-1-(5,6,7,8-tetrahidronaftalen-2-il)-1,5-dihidro-4*H*-pirazol-4-ilideno]hidrazinil}fenil)furano-2-carboxílico  
*agonista del receptor de la trombopoyetina*

C<sub>25</sub>H<sub>22</sub>N<sub>4</sub>O<sub>5</sub>

2600513-51-5

**raguneprocelum**

raguneprocel

allogenic dopaminergic neural progenitor cells derived from human induced pluripotent stem cells (iPSC). The iPSC cell bank was established from peripheral blood mononuclear cells (PBMCs) isolated from a healthy human donor by episomal reprogramming with plasmid vectors expressing octamer-binding transcription factor 3/4 (OCT-3/4), SOX2, Krueppel-like factor 4 (KLF4), L-Myc, LIN28, tumor suppressor p53 (Tp53), and Epstein-Barr nuclear antigen 1 (EBNA1). The cells were initially cultivated with feeder-free stem cell culture media with interleukin-6 (IL-6), stem cell factor,

thrombopoietin, Flt-3 ligand, IL-3, and granulocyte colony-stimulating factor. Following induction, the cells were seeded on plates coated with a truncated form of laminin in the same media. Clones were chosen on the best efficiency for subsequent dopaminergic differentiation.

The iPSCs were differentiated into dopaminergic progenitor cells in media containing a SMAD inhibitor, fibroblast growth factor 8 (FGF8), a Wnt inhibitor and Sonic Hedgehog (SHH). CORIN (atrial natriuretic peptide-converting enzyme)-positive cells were then isolated by immunoselection, and further cultured under conditions that favour aggregation to promote progenitor spheres. The final cell population expresses the neuron-specific markers forkhead box protein A2 (FoxA2) and neuron-specific class III beta-tubulin (>90%) and are negative for the undifferentiated iPSC markers OCT 3/4 and alkaline phosphatase, tissue-nonspecific isozyme (TRA-2-49). Early neural progenitor cells are not present (no detectable levels of SOX1+ and PAX6+ double positive cells).

*cell therapy (dopaminergic progenitor cells)*

ragunéprocel

cellules progénitrices neurales dopaminergiques allogènes dérivées de cellules souches pluripotentes induites (iPSC) humaines. La banque de cellules iPSC a été établie à partir de cellules mononucléaires de sang périphérique (PBMC) isolées d'un donneur humain sain par reprogrammation épisomique avec des vecteurs plasmidiques exprimant le facteur de transcription de liaison à l'octamère 3/4 (OCT-3/4), SOX2, le facteur 4 de type Krueppel (KLF4), L-Myc, LIN28, le suppresseur de tumeur p53 (Tp53) et l'antigène nucléaire 1 d'Epstein-Barr (EBNA1). Les cellules ont été initialement cultivées avec un milieu de culture de cellules souches sans cellules nourricières contenant de l'interleukine-6 (IL-6), du facteur de cellules souches, de la thrombopoïétine, du ligand Flt-3, de l'IL-3 et du facteur de stimulation des colonies de granulocytes. Après induction, les cellules ont été ensemencées sur des plaques recouvertes d'une forme tronquée de laminine dans le même milieu. Les clones ont été choisis en fonction de leur meilleur rendement lors de la différenciation dopaminergique ultérieure.

Les iPSC ont été différenciées en cellules progénitrices dopaminergiques dans des milieux contenant un inhibiteur de SMAD, le facteur de croissance des fibroblastes 8 (FGF8), un inhibiteur de Wnt et Sonic Hedgehog (SHH). Les cellules positives à la CORINE (facteur natriurétique auriculaire-convertisseur d'enzyme) ont ensuite été isolées par immunosélection, puis cultivées dans des conditions qui favorisent l'agrégation pour promouvoir la formation de sphères de progéniteurs. La population cellulaire finale exprime les marqueurs spécifiques des neurones que sont la protéine de la boîte à tête de fourche (forkhead box protein) A2 (FoxA2) et la bêta-tubuline de classe III spécifique des neurones (>90%) et est négative pour les marqueurs des iPSC indifférenciées OCT 3/4 et la phosphatase alcaline et l'isozyme non spécifique des tissus (TRA-2-49). Les cellules progénitrices neurales précoces ne sont pas présentes (aucun niveau détectable de cellules doublement positives SOX1+ et PAX6+).

*thérapie cellulaire (cellules progénitrices dopaminergiques)*

raguneprocel

células progenitoras neurales dopaminérgicas alogénicas derivadas de células madre pluripotentes inducidas (iPSCs) humanas. El banco celular de iPSCs se estableció a partir de células mononucleares de sangre periférica (PBMCs) aisladas de un donante humano sano mediante reprogramación episómica con vectores plasmídicos que expresan el factor de transcripción 3/4 de unión a octámero (OCT-3/4), SOX2, el factor similar a Krueppel 4 (KLF4), L-MYC, LIN28, el supresor de tumores p53 (Tp53) y el antígeno nuclear 1 del Epstein-Barr (EBNA1). Las células se cultivaron inicialmente con un medio de cultivo de células madre sin células alimentadoras (feeder) con interleukina 6 (IL-6), factor de células madre, trombopoyetina, ligando de Flt-3, IL-3 y factor estimulador de colonias de granulocitos. Tras la inducción, las células se sembraron en placas tapizadas con una forma truncada de la laminina en el mismo medio. Los clones se eligieron en base a la mejor eficiencia para la posterior diferenciación dopaminérgica.

Las iPSCs se diferenciaron a células progenitoras dopaminérgicas en un medio que contiene un inhibidor SMAD, factor de crecimiento de fibroblastos 8 (FGF8), un inhibidor de Wnt y Sonic Hedgehog (SHH). Las células positivas para CORIN (enzima convertidora del péptido natriurético) se aislaron mediante inmunoselección y se cultivaron bajo condiciones que favorecen la agregación para promover las esferas progenitoras. La población celular final expresa los marcadores específicos de neuronas proteína A2 de la caja de forkhead (FoxA2) y beta-tubulina clase III específica de neuronas (>90%) y son negativas para los marcadores de iPSCs no diferenciadas OCT-3/4 y la fosfatasa alcalina, isocima no específica de tejido (TRA-2-49). No están presentes las células progenitoras neurales tempranas (niveles no detectables de células doble positivas para SOX1+ y PAX6+). *terapia celular (células progenitoras dopaminérgicas)*

**rapcabtagenum autoleucelum #**

rapcabtogene autoleucel

autologous T cells obtained from peripheral blood mononuclear cells by leukapheresis, transduced with a self-inactivating, non-replicating lentiviral vector, encoding a T cell chimeric antigen receptor targeting CD19. The expressed transgene comprises a CD8 $\alpha$  leader sequence, a murine anti-CD19 single chain variable fragment (scFv) derived from the mouse hybridoma FMC63, a CD8 $\alpha$  hinge and transmembrane region, and a 4-1BB (CD137) and CD3 $\zeta$  (TCR $\zeta$ ) signaling domain and is under control of the elongation factor 1 alpha (EF1 $\alpha$ ) promoter. The construct is flanked by 5' and 3' long terminal repeats (LTRs) and also contains a  $\psi$  packaging signal, a Rev response element (RRE), a central polypurine tract (cPPT) sequence and an optimized Woodchuck hepatitis virus posttranscriptional regulatory element (WPRE).

The leukapheresis material is enriched for CD4/CD8 T cells by positive immunoselection, activated by CD3 and CD28 agonists and transduced with the vector. Without further cell propagation, the T cells are washed, formulated for infusion, and cryopreserved. The substance is composed of  $\geq 80\%$  T cells and  $\leq 1\%$  B cells, with a mixture of transgene positive

(>3.4%) and negative T cells. The CD4+ and CD8+ naïve T cell subsets (CD45RA+CCR7+) present in the leukapheresis material are largely retained.  
*cell-based gene therapy (antineoplastic)*

rapcabtagène autoleucel

lymphocytes T autologues obtenus à partir de cellules mononucléaires de sang périphérique par leucaphérese, transduits avec un vecteur lentiviral auto-inactivant et non répliquant, codant un récepteur antigénique chimérique des lymphocytes T ciblant CD19. Le transgène exprimé comprend une séquence de tête CD8 $\alpha$ , un fragment variable à chaîne unique (scFv) anti-CD19 murin dérivé de l'hybridome de souris FMC63, une région transmembranaire et charnière CD8 $\alpha$ , et un domaine de signalisation 4-1BB (CD137) et CD3 $\zeta$  (TCR $\zeta$ ) et est sous le contrôle du promoteur du facteur d'élongation 1 alpha (EF1 $\alpha$ ). La construction est flanquée de longues répétitions terminales (LTR) en 5' et 3' et contient également un signal d'encapsulation  $\psi$ , un élément de réponse Rev (RRE), une séquence du tractus polypurine central (cPPT) et un élément régulateur post-transcriptionnel optimisé du virus de l'hépatite de marmotte (WPRE).

Le matériel de leucaphérese est enrichi en lymphocytes T CD4/CD8 par immunosélection positive, activé par des agonistes CD3 et CD28 et transduit avec le vecteur. Sans propagation cellulaire supplémentaire, les lymphocytes T sont lavés, formulés pour une perfusion et cryoconservés. La substance est composée de  $\geq 80\%$  de lymphocytes T et  $\leq 1\%$  de lymphocytes B, avec un mélange de lymphocytes T positifs (>3,4%) et négatifs au transgène. Les sous-types de lymphocytes T naïfs CD4+ et CD8+ (CD45RA+CCR7+) présents dans le matériel de leucaphérese sont largement conservés.

*thérapie génique à base de cellules (antineoplasique)*

rapcabtagén autoleucel

linfocitos T autólogos obtenidos a partir de células mononucleares de sangre periférica mediante leucoaféresis, transducidos con un vector lentiviral auto inactivante y no replicativo, que codifica para un receptor de antígenos de linfocitos T quimérico (CAR) dirigido a CD19. El transgén expresado consta de una secuencia líder de CD8 $\alpha$ , un fragmento sencillo de cadena variable (scFv) murina anti-CD19 derivado del hibridoma de ratón FMC63, una bisagra y una región transmembrana de CD8 $\alpha$  y los dominios de señalización de 4-1BB (CD137) y CD3 $\zeta$  (TCR $\zeta$ ) y está bajo el control del promotor del factor de elongación 1 alfa (EF1 $\alpha$ ). El constructo está flanqueado por repeticiones terminales largas (LTRs) en 5' y 3', y contiene también una señal de empaquetamiento  $\psi$ , un elemento de respuesta Rev (RRE), una secuencia del tracto de poli-purina central (cPPT) y un elemento regulador post-transcripcional del virus de la hepatitis de marmota (WPRE) optimizado.

El material de leucoaféresis se enriquece para linfocitos T CD4/CD8 mediante inmunoselección positiva, y después se activan con agonistas de CD3 y CD28 y se transducen con el vector. Sin más expansión, los linfocitos T se lavan, se formulan para infusión y se criopreservan. La substancia está compuesta por  $\geq 80\%$  de linfocitos T y  $\leq 1\%$  de linfocitos B, con una mezcla de linfocitos T positivos (>3.4%) y negativos para el transgén. Se mantienen bastante las subpoblaciones naïve de linfocitos T CD4+ y CD8+ (CD45RA+CCR7+) presentes en el material de leucoaféresis.

*terapia génica basada en células (antineoplásico)*

**remumioceleum**

## remumiocele

allogenic ventricular cardiomyocyte spheroids derived from human induced pluripotent stem cells (iPSC). The iPSC cell bank was established from peripheral blood mononuclear cells (PBMCs) isolated from a healthy human donor by episomal reprogramming with plasmid vectors expressing octamer-binding transcription factor 3/4 (OCT-3/4), SOX2, Krueppel-like factor 4 (KLF4), L-MYC, LIN28, tumor suppressor p53 (Tp53), and Epstein-Barr nuclear antigen 1 (EBNA1). The cells were initially cultivated with a feeder-free stem cell culture media with interleukin-6 (IL-6), stem cell factor, thrombopoietin, Flt-3 ligand, IL-3, and granulocyte colony-stimulating factor. Following induction, the cells were seeded on plates coated with a truncated form of laminin in the same media. Clones were chosen based on the best efficiency for subsequent cardiac differentiation. The iPSCs were differentiated into cardiomyocytes (CMs) in media containing a defined serum-free supplement lacking insulin, initially supplemented with bone morphogenetic protein 4 (BMP4) and CHIR-99021 (glycogen synthase kinase 3 (GSK-3) inhibitor), and subsequently supplemented with a tankyrase inhibitor. The cells were further culture expanded in medium containing foetal bovine serum. Undifferentiated iPSC were removed using an adhesive culture in glucose- and glutamine-depleted media supplemented with lactic acid. The harvested CMs (>98%) were subsequently cultured on plates to form cardiomyocyte spheroids. The final cells are troponin T and myosin light chain 2 ventricular isoform (MLC2v) positive, negative for the undifferentiated iPSC marker OCT-3/4 and secrete vascular endothelial growth factor (VEGF) and other growth factors.

*cell therapy (cardiovascular)*

## rémumiocele

sphéroïdes de cardiomyocytes ventriculaires allogènes dérivés de cellules souches pluripotentes induites (iPSC) humaines. La banque de cellules iPSC a été établie à partir de cellules mononucléaires de sang périphérique (PBMC) isolées d'un donneur humain sain par reprogrammation épisomique avec des vecteurs plasmidiques exprimant le facteur de transcription se liant à l'octamère 3/4 (OCT-3/4), SOX2, le facteur 4 de type Krueppel (KLF4), L-MYC, LIN28, le suppresseur de tumeur p53 (Tp53) et l'antigène nucléaire 1 d'Epstein-Barr (EBNA1). Les cellules ont été initialement cultivées avec un milieu de culture de cellules souches sans cellules nourricières contenant de l'interleukine-6 (IL-6), du facteur de cellules souches, de la thrombopoïétine, du ligand Flt-3, de l'IL-3 et du facteur de stimulation des colonies de granulocytes. Après l'induction, les cellules ont étéensemencées sur des plaques recouvertes d'une forme tronquée de laminine dans le même milieu. Les clones ont été choisis en fonction de leur meilleur rendement lors de la différenciation cardiaque ultérieure.

Les iPSC ont été différenciées en cardiomyocytes (CMs) dans un milieu contenant un supplément spécifique sans sérum et dépourvu d'insuline, initialement complémenté par la protéine morphogénétique osseuse 4 (BMP4) et le CHIR-99021 (inhibiteur de la glycogène synthase kinase 3 (GSK-3)), puis complémenté par un inhibiteur de la tankyrase. Les cellules ont été ensuite mises en culture et amplifiées dans un milieu contenant du sérum bovin fœtal. Les iPSC indifférenciées ont été éliminées par culture adhésive dans un milieu appauvri en glucose et en glutamine, complémenté avec de l'acide lactique. Les CMs récoltés (>98%) ont été ensuite cultivés sur des plaques pour former des sphéroïdes de cardiomyocytes. Les cellules finales sont positives pour la troponine T et l'isoforme ventriculaire de la chaîne légère de myosine 2 (MLC2v), négatives pour le marqueur d'iPSC indifférencié OCT-3/4 et sécrètent le facteur de croissance endothélial vasculaire (VEGF) et d'autres facteurs de croissance.

*thérapie cellulaire (cardiovasculaire)*

remumiocel

esferoides de cardiomiocitos ventriculares alogénicos derivados de células madre pluripotentes inducidas (iPSCs) humanas. El banco celular de iPSCs se estableció a partir de células mononucleares de sangre periférica (PBMCs) aisladas de un donante humano sano mediante reprogramación episómica con vectores plasmídicos que expresan el factor de transcripción 3/4 de unión a octámero (OCT-3/4), SOX2, el factor similar a Krueppel 4 (KLF4), L-MYC, LIN28, el supresor de tumores p53 (Tp53) y el antígeno nuclear 1 del Epstein-Barr (EBNA1). Las células se cultivaron inicialmente con un medio de cultivo de células madre sin células alimentadoras (feeder) con interleukina 6 (IL-6), factor de células madre, trombopoyetina, ligando de Flt-3, IL-3 y factor estimulador de colonias de granulocitos. Tras la inducción, las células se sembraron en placas tapizadas con una forma truncada de la laminina en el mismo medio. Los clones se eligieron en base a la mejor eficiencia para la posterior diferenciación cardiaca. Las iPSCs se diferenciaron a cardiomiocitos (CMs) en un medio sin suero que contiene un suplemento definido sin insulina, suplementado inicialmente con proteína morfogenética de hueso 4 (BMP4) y CHIR-99021 (inhibidor de la glicógeno sintetasa quinasa 3 (GSK-3)) y suplementado posteriormente con un inhibidor de tanquirasa. Las células se expanden en cultivo en un medio que contiene suero de ternera fetal. Las iPSCs no diferenciadas se eliminan usando un cultivo adhesivo en medio deplecionado de glucosa y glutamina y suplementado con ácido láctico. Los CMs cosechados (>98%) se cultivan posteriormente en placas hasta formar esferoides de cardiomiocitos. Las células finales son positivas para la troponina T y para la isoforma ventricular de la cadena ligera de la miosina 2 (MLC2v), negativas para el marcador de iPSCs no diferenciadas OCT-3/4 y secretan factor de crecimiento del endotelio vascular (VEGF) y otros factores de crecimiento.

*terapia celular (cardiovascular)*

**reozalimabum #**  
reozalimab

immunoglobulin G1-kappa\_G1-lambda2, anti-[*Homo sapiens* PDCD1 (programmed cell death 1, PD1, PD-1, CD279)] and anti-[*Homo sapiens* CD274 (programmed death ligand 1, PDL1, PD-L1, B7 homolog 1, B7H1)], *Homo sapiens* monoclonal antibody, bispecific;  
gamma1 heavy chain anti-PDCD1 *Homo sapiens* (1-450) [VH (*Homo sapiens* IGHV1-69\*15 (93.9%) -(IGHD) -IGHJ4\*01 (100%), CDR-IMGT [8.8.13] (26-33.51-58.97-109)) (1-120) - *Homo sapiens* IGHG1\*08p, G1m3,1, G1v44 CH1 E7, T26, E84.2, G1v14 CH2 A1.3, A1.2, G1v46 CH3 V6, L22, L79, W81 (CH1 L7>E (131), K26>T (150), Q84.2>E (178), I103 (202), R120 (217) (121-218), hinge 1-15 (219-233), CH2 L1.3>A (237), L1.2>A (238), D27>S (268) (234-343), CH3 T6>V (353), D12 (359), L14 (361), T22>L (369), K79>L (395), T81>W (397) (344-448), CHS (449-450)) (121-450)], (223-214')-disulfide with kappa light chain anti-PDCD1 *Homo sapiens* (1'-214') [V-KAPPA (*Homo sapiens* IGKV1-12\*01 (96.8%) -IGKJ4\*01 (91.7%), CDR-IMGT [6.3.9] (27-32.50-52.89-97)) (1'-107') - *Homo sapiens* IGKC\*01, Km3 S20>R (131), V22>G (133), A45.1 (153), S86>R (176), V101 (191) (108'-214')];

- gamma1 heavy chain anti-CD274 *Homo sapiens* (1"-453") [VH (*Homo sapiens* IGHV1-69\*06 (100%) - (IGHD) -IGHJ6\*01 (100%), CDR-IMGT [8.8.16] (26-33.51-58.97-112)) (1"-123") -*Homo sapiens* IGHG1\*08p, G1m3,1, G1v45 CH1 K86, G1v14 CH2 A1.3, A1.2, G1v47 CH3 V6, Y7, A85.1, V86 (CH1 S86>K (189), I103 (205), R120 (220) (124"-221"), hinge 1-15 (222"-236"), CH2 L1.3>A (240), L1.2>A (241), D27>S (271) (237"-346"), CH3 T6>V (356), L7>Y (357), D12 (362), L14 (364), F85.1>A (411), Y86>V (413) (347"-451"), CHS (452"-453")) (124"-453")], (226"-215")-disulfide with lambda2 light chain anti-CD274 *Homo sapiens* (1"-216") [V-LAMBDA (*Homo sapiens* IGLV1-44\*01 (91.8%) -IGLJ2\*01 (90.9%) T122>I (105), CDR-IMGT [8.3.11] (26-33.51-53.90-100)) (1"-110") -*Homo sapiens* IGLC2\*01, S86>E (179), Y88>E (181), T124>A (213) (111"-216")]; dimer (229-232"-232-235")-bisdisulfide, produced in Chinese hamster ovary (CHO) cells, cell line CHO-K1SV lacking the glutamine synthetase (GS-KO) gene, glycoform alfa  
*immunomodulator, antineoplastic*
- réozalimab
- immunoglobuline G1-kappa/lambda, anti-[*Homo sapiens* PDCD1 (protéine 1 de mort cellulaire programmée, PD1, PD-1, CD279)] et anti-[*Homo sapiens* CD274 (ligand 1 de mort programmée, PDL1, PD-L1, homologue 1 de B7, B7H1)], anticorps monoclonal *Homo sapiens*, bispécifique; chaîne lourde gamma1 anti-PDCD1 *Homo sapiens* (1-450) [VH (*Homo sapiens* IGHV1-69\*15 (93.9%) - (IGHD) -IGHJ4\*01 (100%), CDR-IMGT [8.8.13] (26-33.51-58.97-109)) (1-120) -*Homo sapiens* IGHG1\*08p, G1m3,1, G1v44 CH1 E7, T26, E84.2, G1v14 CH2 A1.3, A1.2, G1v46 CH3 V6, L22, L79, W81 (CH1 L7>E (131), K26>T (150), Q84.2>E (178), I103 (202), R120 (217) (121-218), charnière 1-15 (219-233), CH2 L1.3>A (237), L1.2>A (238), D27>S (268) (234-343), CH3 T6>V (353), D12 (359), L14 (361), T22>L (369), K79>L (395), T81>W (397) (344-448), CHS (449-450)) (121-450)], (223-214')-disulfure avec la chaîne légère kappa anti-PDCD1 *Homo sapiens* (1'-214') [V-KAPPA (*Homo sapiens* IGKV1-12\*01 (96.8%) -IGKJ4\*01 (91.7%), CDR-IMGT [6.3.9] (27-32.50-52.89-97)) (1'-107') -*Homo sapiens* IGKC\*01, Km3 S20>R (131), V22>G (133), A45.1 (153), S86>R (176), V101 (191) (108'-214')]; chaîne lourde gamma1 anti-CD274 *Homo sapiens* (1"-453") [VH (*Homo sapiens* IGHV1-69\*06 (100%) - (IGHD) -IGHJ6\*01 (100%), CDR-IMGT [8.8.16] (26-33.51-58.97-112)) (1"-123") -*Homo sapiens* IGHG1\*08p, G1m3,1, G1v45 CH1 K86, G1v14 CH2 A1.3, A1.2, G1v47 CH3 V6, Y7, A85.1, V86 (CH1 S86>K (189), I103 (205), R120 (220) (124"-221"), charnière 1-15 (222"-236"), CH2 L1.3>A (240), L1.2>A (241), D27>S (271) (237"-346"), CH3 T6>V (356), L7>Y (357), D12 (362), L14 (364), F85.1>A (411), Y86>V (413) (347"-451"), CHS (452"-453")) (124"-453")], (226"-215")-disulfure avec la chaîne légère



	<p>lambda2 anti-CD274 <i>Homo sapiens</i> (1<sup>'''</sup>-216<sup>'''</sup>) [V-LAMBDA (<i>Homo sapiens</i> IGLV1-44*01 (91.8%) - IGLJ2*01 (90.9%) T122&gt;I (105), CDR-IMGT [8.3.11] (26-33.51-53.90-100)) (1<sup>'''</sup>-110<sup>'''</sup>) -<i>Homo sapiens</i> IGLC2*01, S86&gt;E (179), Y88&gt;E (181), T124&gt;A (213) (111<sup>'''</sup>-216<sup>'''</sup>)); dimère (229-232<sup>'''</sup>:232-235<sup>'''</sup>)-bisulfuro, produit dans des cellules ovariennes de hamster chinois (CHO), lignée cellulaire CHO-K1SV ne présentant pas le gène de la glutamine synthétase (GS-KO), glycoforme alfa <i>immunomodulateur, antinéoplasique</i></p>
reozalimab	<p>inmunoglobulina G1-kappa/lambda, anti-[<i>Homo sapiens</i> PDCD1 (proteína 1 de muerte celular programada, PD1, PD-1, CD279)] y anti-[<i>Homo sapiens</i> CD274 (ligando 1 de muerte programada, PDL1, PD-L1, homólogo 1 de B7, B7H1)], anticuerpo monoclonal <i>Homo sapiens</i>, biespecífico; cadena pesada gamma1 anti-PDCD1 <i>Homo sapiens</i> (1-450) [VH (<i>Homo sapiens</i> IGHV1-69*15 (93.9%) - (IGHD) -IGHJ4*01 (100%), CDR-IMGT [8.8.13] (26-33.51-58.97-109)) (1-120) -<i>Homo sapiens</i> IGHG1*08p, G1m3,1, G1v44 CH1 E7, T26, E84.2, G1v14 CH2 A1.3, A1.2, G1v46 CH3 V6, L22, L79, W81 (CH1 L7&gt;E (131), K26&gt;T (150), Q84.2&gt;E (178), I103 (202), R120 (217) (121-218), bisagra 1-15 (219-233), CH2 L1.3&gt;A (237), L1.2&gt;A (238), D27&gt;S (268) (234-343), CH3 T6&gt;V (353), D12 (359), L14 (361), T22&gt;L (369), K79&gt;L (395), T81&gt;W (397) (344-448), CHS (449-450)) (121-450)], (223-214')-disulfuro con la cadena ligera kappa anti-PDCD1 <i>Homo sapiens</i> (1'-214') [V-KAPPA (<i>Homo sapiens</i> IGKV1-12*01 (96.8%) -IGKJ4*01 (91.7%), CDR-IMGT [6.3.9] (27-32.50-52.89-97)) (1'-107') -<i>Homo sapiens</i> IGKC*01, Km3 S20&gt;R (131), V22&gt;G (133), A45.1 (153), S86&gt;R (176), V101 (191) (108'-214')]; cadena pesada gamma1 anti-CD274 <i>Homo sapiens</i> (1"-453") [VH (<i>Homo sapiens</i> IGHV1-69*06 (100%) - (IGHD) -IGHJ6*01 (100%), CDR-IMGT [8.8.16] (26-33.51-58.97-112)) (1"-123") -<i>Homo sapiens</i> IGHG1*08p, G1m3,1, G1v45 CH1 K86, G1v14 CH2 A1.3, A1.2, G1v47 CH3 V6, Y7, A85.1, V86 (CH1 S86&gt;K (189), I103 (205), R120 (220) (124"-221"), bisagra 1-15 (222"-236"), CH2 L1.3&gt;A (240), L1.2&gt;A (241), D27&gt;S (271) (237"-346"), CH3 T6&gt;V (356), L7&gt;Y (357), D12 (362), L14 (364), F85.1&gt;A (411), Y86&gt;V (413) (347"-451"), CHS (452"-453")) (124"-453")], (226"-215<sup>'''</sup>)-disulfuro con la cadena ligera lambda2 anti-CD274 <i>Homo sapiens</i> (1<sup>'''</sup>-216<sup>'''</sup>) [V-LAMBDA (<i>Homo sapiens</i> IGLV1-44*01 (91.8%) - IGLJ2*01 (90.9%) T122&gt;I (105), CDR-IMGT [8.3.11] (26-33.51-53.90-100)) (1<sup>'''</sup>-110<sup>'''</sup>) -<i>Homo sapiens</i> IGLC2*01, S86&gt;E (179), Y88&gt;E (181), T124&gt;A (213) (111<sup>'''</sup>-216<sup>'''</sup>)); dímero (229-232<sup>'''</sup>:232-235<sup>'''</sup>)-bisulfuro, producido en las células ováricas de hámster chino (CHO), línea celular CHO-K1SV en ausencia del gen glutamina sintetasa (GS-KO), forma glicosilada alfa <i>immunomodulador, antineoplásico</i></p>

2445259-99-2

Heavy chain / Chaîne lourde / Cadena pesada (anti-PDCD1)

QVQLVQSGAE VKKPGSSVKV SCKASGGTFS SYAISWVRQA PGQGLEWMGL 50  
 IIPSFDTAGY AQRKQGRVAI TVDESTSTAY MELSSLRSED TAVYYCARAE 100  
 HSSTGTFFDYW GQGTTLTVSS ASTKGPSVFP EAPSSKSTSG GTAALGLVLT 150  
 DYFPEPVTVS WNSGALTSGV HTFPAVLESS GLYSLSSVVT VPSSSLGTQT 200  
 YICNVNKKPS NTKVDKRVFP KSCDKTHTCP PCPAPEAAG PSVFLFPKP 250  
 KDTLMISRTP EVTCVVVSVS HEDPEVKFNW YVDGVEVHNA KTKPREEQYN 300  
 STYRVVSVLT VLVHQLDNLGK EYKCKVSNKA LPAPIENTIS KAKGQPRFPQ 350  
 VYVLPFRSDE LTRKQVSLLC LVKGFYPSDI AVEWESNGQP ENNYLTFWPFV 400  
 LSDSGSFFLY SKLTVDKSRW QQGNVFSCSV MHEALHNHYT QKSLSLSPGK 450

Heavy chain / Chaîne lourde / Cadena pesada (anti-CD274)

QVQLVQSGAE VKKPGSSVKV SCKASGGTFS SYAISWVRQA PGQGLEWMGG 50  
 IIPIFGTANY AQRKQGRVTI TADKSTSTAY MELSSLRSED TAVYYCARSP 100  
 DYSFYYYYGM DVWVQGTTVI VSSASTKGPS VFPLAPSSKS TSGGTAALCG 150  
 LVKDYFPEPVP TVSWNSGALT SGVHTFPAVL QSSGLYSLSKS VVTVPSSSLG 200  
 TQTYICNVNH KPSNTKVDKR VEPKSCDKTH TCPCPAPEA AGGPSVFLFP 250  
 PKPKDTLMIS RTPEVTCVVV SVSHEDPEVK FNWYVDGVEV HNAKTKPREE 300  
 QYNSTYRVVS VLTVLHQDWL NGKEYKCKVS NKALPAPIEK TISKAKGQPR 350  
 EPQVYVYPPS RDELTKNQVS LTCLVKGFYP SDIAVEWESN GQPENNYKTT 400  
 PFWLSDSGSF ALVSKLTVDK SRWQQGNVFS CSMVHEALHN HYTKQKSLSL 450  
 PGK 453

Light chain / Chaîne légère / Cadena ligera (anti-PDCD1)

DIQMTQSPSS VSASVGDRTV ITCRASQGIS SWLAWYQQKPK GKAPKLLISA 50  
 ASSLSQSGVPS RFGSGSGSDT FTLTISLSLP EDFATYYCQQ ANHLPTFPFG 100  
 GTKVEIKRTV AAPSVFIFPP SDEQLKSGTA RVGCLLNFPY PREAKVQMKV 150  
 DNALQSGNSQ ESVTEQDSKD STYLSRSTLT LSKADYEKHK VYACEVTHQG 200  
 LSSPVTKSFN RGEK 214

Light chain / Chaîne légère / Cadena ligera (anti-CD274)

QSVLTQPPSA SGTFGQRTVI SCGSSSSNIG SNTVMWYQQQL PGTAPKLLIY 50  
 GNSNRPSGVP DRFSGSKSGT SASLAI SGLQ SEDEADYYCQ SYDSSLSGSV 100  
 FGGGIKLTVL GQPKAAPSVT LFFPSSEELQ ANKATLVCLII SDFIPGAVTV 150  
 AWKADSSPVK AGVETTPFSK QSNMKYAAES ELSLTPTEQWK SHRSYSCQVT 200  
 HEGSTVEKTV APAECS 216

Post-translational modifications

Disulfide bridges location / Position des ponts disulfure / Posiciones de los puentes disulfuro

Intra-H (C23-C104) 22-96 147-203 264-324 370-428  
 22"-96" 150"-206" 267"-327" 373"-431"

Intra-L (C23-C104) 23"-88" 134"-194"  
 22"-89" 138"-197"

Inter-H-L (h 5-CL 126) 223-214" 226"-215"

Inter-H-H (h 11, h 14) 229-232" 232-235"

N-terminal glutaminyl cyclization / Cyclisation du glutaminyle N-terminal / Cielación del glutaminilo N-terminal

Q > pyroglutamyl (pE, 5-oxoprolyl)

H VH Q1: 1, 1"

L VL Q1: 1"

N-glycosylation sites / Sites de N-glycosylation / Posiciones de N-glicosilación

H CH2 N84.4: 300, 303"

Fucosylated complex bi-antennary CHO-type glycans / glycanes de type CHO bi-antennaires complexes fucosylés / glicanos de tipo CHO biantennarios complejos fucosilados.

C-terminal lysine clipping / Coupure de la lysine C-terminale / Recorte de lisina C-terminal

H CHS K2: 450, 453"

retezorogantum  
 retezorogant

3-((4S)-4-[3-chloro-4-(3,3-dimethylbutyl)phenyl]-4-methyl-2-oxo-5-(propan-2-yl)-3,4-dihydropyrimidin-1(2H)-yl]propanoic acid  
*retinoid-related orphan receptor gamma (RORγ) antagonist*

rétézorogant

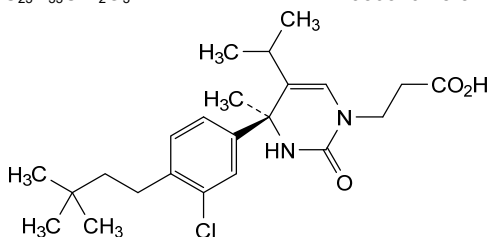
acide 3-((4S)-4-[3-chloro-4-(3,3-diméthylbutyl)phényl]-4-méthyl-2-oxo-5-(propan-2-yl)-3,4-dihydropyrimidin-1(2H)-yl]propanoïque  
*antagoniste des récepteurs gamma orphelins liés aux rétinoïdes (RORγ)*

retezorogant

ácido 3-((4S)-4-[3-cloro-4-(3,3-dimetilbutil)fenil]-4-metil-2-oxo-5-(propan-2-il)-3,4-dihidropirimidin-1(2H)-il]propanoico  
*antagonista de los receptores gamma huérfanos relacionados con los retinoides (RORγ)*

C<sub>23</sub>H<sub>33</sub>ClN<sub>2</sub>O<sub>3</sub>

1950570-48-5

**revumenibum**

revumenib

2-[[4-(7-[[*trans*-4-(ethanesulfonamido)cyclohexyl]methyl]-2,7-diazaspiro[3.5]nonan-2-yl)pyrimidin-5-yl]oxy]-*N*-ethyl-5-fluoro-*N*-(propan-2-yl)benzamide  
*antineoplastic*

révuménib

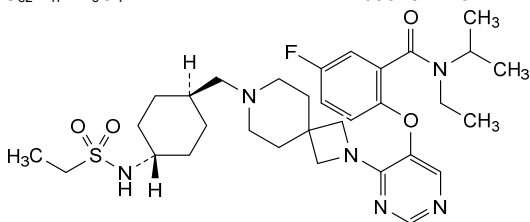
2-[[4-(7-[[*trans*-4-(éthanesulfonamido)cyclohexyl]méthyl]-2,7-diazaspiro[3.5]nonan-2-yl)pyrimidin-5-yl]oxy]-*N*-éthyl-5-fluoro-*N*-(propan-2-yl)benzamide  
*antinéoplasique*

revumenib

2-[[4-(7-[[*trans*-4-(etanosulfonamido)ciclohexil]metil]-2,7-diazaspiro[3.5]nonan-2-il)pirimidin-5-il]oxi]-*N*-etil-5-fluoro-*N*-(propan-2-il)benzamida  
*antineoplásico*

C<sub>32</sub>H<sub>47</sub>FN<sub>6</sub>O<sub>4</sub>S

2169919-21-3

**rhenium (<sup>186</sup>Re) obisbemedum**rhenium (<sup>186</sup>Re) obisbameda

[2,2'-[[2-(diethylamino)ethyl]azanediyloxy]bis(ethane-1-thiolato-κS)](2-[[2-(diethylamino)ethyl](2-sulfanylethyl)amino]ethane-1-thiolato-κS)oxido(<sup>186</sup>Re)rhenium  
*antineoplastic*

rhénium (<sup>186</sup>Re) obisbémeda

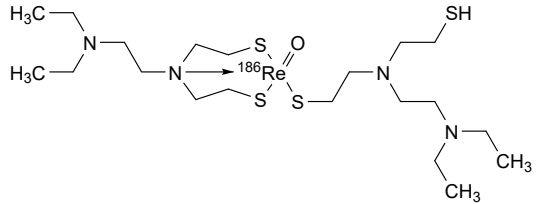
[2,2'-[[2-(diéthylamino)éthyl]azanediyloxy]bis(éthane-1-thiolato-κS)](2-[[2-(diéthylamino)éthyl](2-sulfanyléthyl)amino]éthane-1-thiolato-κS)oxido(<sup>186</sup>Re)rhénium  
*antinéoplasique*

renio (<sup>186</sup>Re) obisbameda

[2,2'-[[2-(diethylamino)etil]azanediyloxy]bis(etano-1-thiolato-κS)](2-[[2-(diethylamino)etil](2-sulfaniletilyl)amino]etano-1-thiolato-κS)óxido(<sup>186</sup>Re)renio  
*antineoplásico*

C<sub>20</sub>H<sub>45</sub>N<sub>4</sub>O<sup>186</sup>ReS<sub>4</sub>

644961-22-8

**rilunerminum alfa #**

rilunermin alfa

human tumor necrosis factor ligand superfamily member 10 (TNFSF10, TNF-related apoptosis-inducing ligand, TRAIL, apo-2 ligand, apo-2L, CD253), extracellular fragment (111-281, 1-171 in the current sequence) variant (S<sup>111</sup>>L<sup>1</sup>, P<sup>112</sup>>K<sup>2</sup>), fused via the peptidyl linker <sup>172</sup>GS<sup>173</sup> to human collagen α-1(I) chain (α-1 type I collagen, COL1A1) C-terminal fragment (1156-1464, 174-482 in the current sequence) variant (D<sup>1219</sup>>N<sup>237</sup>), covalent disulfide bridged trimer, produced in Chinese hamster ovary (CHO) cells, glycoform alfa;

human tumor necrosis factor ligand superfamily member 10 (TNFSF10, TNF-related apoptosis-inducing ligand, TRAIL, apo-2 ligand, apo-2L, CD253), extracellular (111-281)-peptide (1-171), [S<sup>111</sup>>L<sup>1</sup>, P<sup>112</sup>>K<sup>2</sup>]-variant, fused via a glycylyseryl dipeptide linker (172-173) with the C-terminal (1156-1464)-peptide (174-482) [D<sup>1219</sup>>N<sup>237</sup>]-variant of the human collagen α-1(I) chain (α-1 type I collagen, COL1A1), trimer (283-300':283'-300":283"-300)-trisulfide, produced in Chinese hamster ovary (CHO) cells, glycoform alfa  
*immunomodulator, antineoplastic*

rilunermine alfa

membre 10 de la superfamille des ligands du facteur de nécrose tumorale humain (TNFSF10, ligand induisant l'apoptose apparenté au TNF, TRAIL, ligand apo-2, apo-2L, CD253), fragment extracellulaire (S<sup>111</sup>>L<sup>1</sup>, P<sup>112</sup>>K<sup>2</sup>), fusionné via une liaison peptidique <sup>172</sup>GS<sup>173</sup> au fragment terminal C (1156-1464, 174-482 dans la séquence actuelle) de la chaîne α-1(I) du collagène humain (collagène α-1 de type I, COL1A1) variant (D<sup>1219</sup>>N<sup>237</sup>), trimère à pont disulfure covalent, produit dans des cellules ovariennes de hamster chinois (CHO), glycoforme alfa;

membre 10 de la superfamille des ligands du facteur de nécrose tumorale (humain) (TNFSF10, ligand induisant l'apoptose apparenté au TNF, TRAIL, ligand de apo-2, apo-2L, CD253), peptide 111-281 extracellulaire (1-171), variant [S<sup>111</sup>>L<sup>1</sup>, P<sup>112</sup>>K<sup>2</sup>], fusionné via un une liaison dipeptidique glycylyséryle (172-173) avec le peptide 1156-1464 C-terminal (174-482) variant [D<sup>1219</sup>>N<sup>237</sup>] de la chaîne α-1(I) du collagène humain (collagène α-1 de type I, COL1A1), trimère (283-300':283'-300":283"-300)-trisulfure, produit dans des cellules ovariennes de hamster chinois (CHO), glycoforme alfa  
*immunomodulateur, antinéoplasique*

rilunermina alfa

miembro 10 de la superfamilia de ligandos del factor de necrosis tumoral humano (TNFSF10, ligando inductor de apoptosis relacionado con TNF, TRAIL, ligando del apo-2, apo-2L, CD253), fragmento extracelular (111-281, 1-171 en la secuencia actual) variante (S<sup>111</sup>>L<sup>1</sup>, P<sup>112</sup>>K<sup>2</sup>), fusionada a través de un enlace peptidil <sup>172</sup>GS<sup>173</sup> a la cadena α-1(I) del colágeno humano (colágeno α-1 tipo I, COL1A1) fragmento terminal C (1156-1464, 174-482 en la secuencia actual) variante (D<sup>1219</sup>>N<sup>237</sup>), trímero covalente acortado disulfuro, producido en células ováricas de hámster chino (CHO), glicofoma alfa; miembro 10 de la superfamilia de ligandos del factor de necrosis tumoral (humano) (TNFSF10, ligando inductor de apoptosis relacionado con TNF, TRAIL, ligando del apo-2, apo-2L, CD253), péptido 111-281 extracelular (1-171), variante [S<sup>111</sup>>L<sup>1</sup>, P<sup>112</sup>>K<sup>2</sup>], fusionado a través de un conector dipeptidil de glicilserilo (172-173) con el péptido C-terminal 1156-1464 (174-482) variante [D<sup>1219</sup>>N<sup>237</sup>] de la cadena α-1(I) del colágeno humano (colágeno α-1 tipo I, COL1A1), trímero (283-300':283'-300":283"-300)-trisdifuro, producida en las células ováricas de hámster chino (CHO), glicofoma alfa *inmunomodulador, antineoplásico*

2254278-53-8

Sequence / Séquence / Secuencia

<b>L</b> KLVRERGPQ RVAAHITGTR GRSNTLSSPN SKNEKALGRK INSWESSRSG	50
HSFLSNLHLR NGELVIHEKG FYYIYSQTYF RFQEIHKENT KNDKQMVQYI	100
YKYTSYPDPPI LLMKSARNSC WSKDAEYGLY SIYQGGIFEL KENDRIFVSV	150
TNEHLIDMDH EASFFGAFVL <b>GS</b> NGLPGPI GPPGPRGRTG DAGPVGPPGP	200
PGPPGPPGPF SAGFDFSLP QPQEKARDG GRYYRANAN VVRDRDLEVD	250
TTLKSLSQQI ENIRSEPEGR KNPARTCRDL KMCHSDWKSQ EYWIDPNQGC	300
NLDAIKVFCN METGETCVYP TQPSVAQKNW YISKNPDKR HVWFGESMTD	350
GFQFEYGGQG SDPADVAIQL TFLRLMSTEA SQNITYHCKN SVAYMDQQTG	400
NLKKALLLQG SNEIEIRAEG NSRFTYSVTV DGCTSHTGAW GKTVIEYKTT	450
KTSRLPIIDV APLDVGADPQ EFGFDVGPVC FL	482

Peptide linker / Peptide liant / Péptido de unión

172 **GS** 173 (1-2)

Mutation / Mutation / Mutación

S1>**L**, P2>**K**, D237>**N**

Post-translational modifications

Disulfide bridges location / Position des ponts disulfure / Posiciones de los puentes disulfuro

Intra-chain 277-309, 317-480, 388-433

277-309, 317-480, 388-433"

277-309", 317"-480", 388"-433"

Inter-chain 283-300", 283'-300", 283"-300

N-glycosylation sites / Sites de N-glycosylation / Posiciones de N-glicosilación

N383, N383', N383"

Hydroxyproline (Hyp) sites / Sites de hydroxyproline (Hyp) / Posiciones de hidroxiprolina (Hip)

upto 9 undetermined P>Hyp positions within the 174-224 region in the collagen fragment

**riminkefonum**

riminkefon

4-amino-1-{N-[(2R)-2-phenylpropyl]glycyl-D-phenylalanyl-D-leucyl-D-lysyl}piperidine-4-carboxylic acid

*kappa opioid receptor agonist, analgesic*

riminkéfon

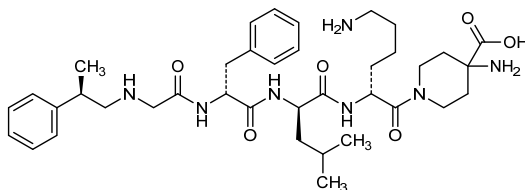
acide 4-amino-1-{N-[(2R)-2-phénylpropyl]glycyl-D-phénylalanyl-D-leucyl-D-lysyl}pipéridine-4-carboxylique

*agoniste du récepteur opioïde kappa, analgésique*

riminkefón

ácido 4-amino-1-{N-[(2R)-2-fenilpropil]glicil-D-fenilalanil-D-leucil-D-lisil}piperidina-4-carboxílico

*agonista del receptor opioide kappa, analgésico*



**rimegepant**  
rimegepant

*N*<sup>1</sup>-acetyl-(104-118)-peptide (1-15) of the human regenerating islet-derived protein 3- $\alpha$  (Reg3 $\alpha$ , RegIII $\alpha$ , hepato-intestinal pancreatic protein, HIP, human proislet peptide, pancreatitis-associated protein 1, PAP) pre-pro-protein, [T<sup>110</sup>>S<sup>7</sup>, Q<sup>111</sup>>H<sup>8</sup>, E<sup>114</sup>>L<sup>11</sup>, N<sup>116</sup>>A<sup>13</sup>, E<sup>118</sup>>S<sup>15</sup>]-variant:  
*N*-acetyl-L-isoleucylglycyl-L-leucyl-L-histidyl-L- $\alpha$ -aspartyl-L-prolyl-L-seryl-L-histidylglycyl-L-threonyl-L-leucyl-L-prolyl-L-alanyl-glycyl-L-serine  
*anti-inflammatory*

rimegepant

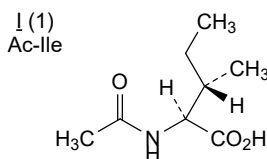
*N*<sup>1</sup>-acétyl-peptide 104-118 (1-15) de la pré-pro-protéine humaine de la protéine 3- $\alpha$  dérivée des îlots en régénération (Rég3 $\alpha$ , RégIII $\alpha$ , protéine pancréatique hépato-intestinale, HIP, peptide pro-îlot humain, protéine 1 associée à la pancréatite, PAP), variant [T<sup>110</sup>>S<sup>7</sup>, Q<sup>111</sup>>H<sup>8</sup>, E<sup>114</sup>>L<sup>11</sup>, N<sup>116</sup>>A<sup>13</sup>, E<sup>118</sup>>S<sup>15</sup>]:  
*N*-acétyl-L-isoleucylglycyl-L-leucyl-L-histidyl-L- $\alpha$ -aspartyl-L-prolyl-L-séryl-L-histidylglycyl-L-thréonyl-L-leucyl-L-prolyl-L-alanyl-glycyl-L-sérine  
*anti-inflammatoire*

rimegepant

*N*<sup>1</sup>-acetyl-peptide 104-118 (1-15) de la pre-pro-protéina humana de la proteína 3- $\alpha$  derivada de islotes en regeneración (Reg3 $\alpha$ , RegIII $\alpha$ , proteína pancreática hepato-intestinal, HIP, péptido pro-islote humano, proteína 1 asociada a pancreatitis, PAP), [T<sup>110</sup>>S<sup>7</sup>, Q<sup>111</sup>>H<sup>8</sup>, E<sup>114</sup>>L<sup>11</sup>, N<sup>116</sup>>A<sup>13</sup>, E<sup>118</sup>>S<sup>15</sup>]:  
*N*-acetyl-L-isoleucylglycyl-L-leucyl-L-histidyl-L- $\alpha$ -aspartyl-L-prolyl-L-seryl-L-histidylglycyl-L-threonyl-L-leucyl-L-prolyl-L-alanyl-glycyl-L-serine  
*antiinflammatorio*

IGLHDPSHGTL PLAGS 15

Modified residues / Résidus modifiés / Restos modificados

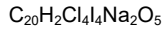


**roseum bengalense natricum**  
rose bengal sodiumdisodium 2,3,4,5-tetrachloro-6-(2,4,5,7-tetraiodo-6-oxido-3-oxo-3*H*-xanthen-9-yl)benzoate  
*oxidant*

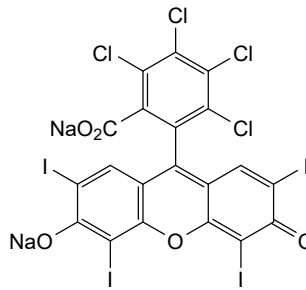
rose bengale sodique

2,3,4,5-tétrachloro-6-(2,4,5,7-tétraiodo-6-oxido-3-oxo-3*H*-xanthén-9-yl)benzoate de disodium  
*oxydant*

rosa de bengala de sodio

2,3,4,5-tetracloro-6-(2,4,5,7-tetraiodo-6-oxido-3-oxo-3*H*-xanten-9-il)benzoato de disodio  
*oxidante*

632-69-9

**rosnilimabum #**  
rosnilimabimmunoglobulin G1-kappa, anti-[*Homo sapiens* PDCD1 (programmed cell death 1, PD-1, PD1, CD279)], humanized monoclonal antibody; gamma1 heavy chain humanized (1-451) [VH (*Homo sapiens* IGHV7-4-1\*02 (87.8%) -(IGHD) -IGHJ4\*01 (92.3%) L123>T (116), CDR-IMGT [8.8.14] (26-33.51-58.97-110)) (1-121) -*Homo sapiens* IGHG1\*01 (100%), G1m17,1 (CH1 K120 (218) (122-219), hinge 1-15 (220-234), CH2 (235-344), CH3 D12 (360), L14 (362) (345-449), CHS (450-451)) (122-451)], (224-215')-disulfide with kappa light chain humanized (1'-215') [V-KAPPA (*Homo sapiens* IGKV3D-11\*02 (86.8%) -IGKJ4\*01 (100%), CDR-IMGT [7.3.9] (27-33.51-53.90-98)) (1'-108') -*Homo sapiens* IGKC\*01 (100%), Km3 A45.1 (154), V101 (192) (109'-215')]; dimer (230-230":233-233")-bisdisulfide, produced in Chinese hamster ovary (CHO) cells, cell line CHO-K1, glycoform alfa  
*immunomodulator*

rosnilimab

immunoglobuline G1-kappa, anti-[*Homo sapiens* PDCD1 (protéine 1 de mort cellulaire programmée, PD-1, PD1, CD279)], anticorps monoclonal humanisé; chaîne lourde gamma1 humanisée (1-451) [VH (*Homo sapiens* IGHV7-4-1\*02 (87.8%) -(IGHD) -IGHJ4\*01 (92.3%) L123>T (116), CDR-IMGT [8.8.14] (26-33.51-58.97-110)) (1-121) -*Homo sapiens* IGHG1\*01 (100%), G1m17,1 (CH1 K120 (218) (122-219), charnière 1-15 (220-234), CH2 (235-344), CH3 D12 (360), L14 (362) (345-449), CHS (450-451)) (122-451)], (224-215')-disulfure avec la chaîne légère kappa humanisée

rosnilimab

(1'-215') [V-KAPPA (*Homo sapiens* IGKV3D-11\*02 (86.8%) -IGKJ4\*01 (100%), CDR-IMGT [7.3.9] (27-33.51-53.90-98)) (1'-108') -*Homo sapiens* IGKC\*01 (100%), Km3 A45.1 (154), V101 (192) (109'-215')]; dimère (230-230":233-233")-bisdisulfure, produit dans des cellules ovariennes de hamster chinois (CHO), lignée cellulaire CHO-K1, glycoforme alfa *immunomodulateur*

inmunoglobulina G1-kappa, anti-[*Homo sapiens* PDCD1 (proteína 1 de muerte celular programada, PD-1, PD1, CD279)], anticuerpo monoclonal humanizado;  
cadena pesada gamma1 humanizada (1-451) [VH (*Homo sapiens* IGHV7-4-1\*02 (87.8%) -(IGHD) -IGHJ4\*01 (92.3%) L123>T (116), CDR-IMGT [8.8.14] (26-33.51-58.97-110)) (1-121) -*Homo sapiens* IGHG1\*01 (100%), G1m17,1 (CH1 K120 (218) (122-219), bisagra 1-15 (220-234), CH2 (235-344), CH3 D12 (360), L14 (362) (345-449), CHS (450-451)) (122-451)], (224-215')-disulfuro con la cadena ligera kappa humanizada (1'-215') [V-KAPPA (*Homo sapiens* IGKV3D-11\*02 (86.8%) -IGKJ4\*01 (100%), CDR-IMGT [7.3.9] (27-33.51-53.90-98)) (1'-108') -*Homo sapiens* IGKC\*01 (100%), Km3 A45.1 (154), V101 (192) (109'-215')]; dímero (230-230":233-233")-bisdisulfuro, producido en las células ováricas de hámster chino (CHO), línea celular CHO-K1, forma glicosilada alfa *immunomodulador*

2412764-40-8

## Heavy chain / Chaîne lourde / Cadena pesada

QVQLVQSGSE LKKPGASVKV SKASNYTFT DYSMHWVRQA PGQGLEWMGW 50  
 INIETYPTYT ADQFKGRFAF SLDTSVSTAY LQISSLKAED TAVYYCARDY 100  
 YGRFYAMDY WGGQTTVTVS SASTKGPSVF PLAPSSKSTS GGTAALGCLV 150  
 KDYFPEPVTV SWNSGALTSQ VHTFPAVLQS SGLYSLSSVV TTPSSSLGTQ 200  
 TYICNVNHKP SNTKVDKKEV PKSCDKTHTC PPCPAPELLG GPSVFLFPPK 250  
 PKDTLMSRT PEVTCVVDV SHEDEPKVFN WYVDGVEVHN AKTKPREEQY 300  
 NSTYRVSVL TVLHQDMLNG KEYKCKVSNK ALPARIKTI SKAKGQPREP 350  
 QVYTLPPSRD ELTKNQVSLT CLVKGFPYSD IAVENESNGQ PENNYKTTTP 400  
 VLDSGDSFFL YSKLTVDKSR WQQGQVVFSCS VMHEALHNHY TQKSLSLSPG 450  
 K 451

## Light chain / Chaîne légère / Cadena ligera

EIVLTQSPAT LSLSPGERAT LSCTASSSVV SSYFHWYQQK PGQAPRLLIY 50  
 STSNLASGIP ARFSGSGSGT DFTLTISRLE PEDFAVYICH QYHRSPITFG 100  
 GGTKVEIKRT VAAPSVFIFP FSDEQLKSGT ASVVCLLNNF YPREAKVQWK 150  
 VDNALQSGNS QESVTEQDSK DSTYLSSTL TLSKADYKHK KVIACEVTHQ 200  
 GLSSPVTKSF NRGEC 215

## Post-translational modifications

Disulfide bridges location / Position des ponts disulfure / Posiciones de los puentes disulfuro

Intra-H (C23-C104) 22-96 148-204 265-325 371-429  
 22"-96" 148"-204" 265"-325" 371"-429"

Intra-L (C23-C104) 23"-89" 135"-195"  
 23"-89" 135"-195"

Inter-H-L (h 5-CL 126) 224-215" 224"-215"

Inter-H-H (h 11, h 14) 230-230" 233-233"

N-terminal glutaminyl cyclization / Cyclisation du glutaminyle N-terminal / Ciclación del glutaminilo N-terminal

H VH Q1 > pyroglutamyl (pE, 5-oxopropyl): 1, 1"

N-glycosylation sites / Sites de N-glycosylation / Posiciones de N-glicosilación

H VH N26: 26, 26"

Glycosylated / glycosylé / glucosilado

H CH2 N84.4: 301, 301"

Fucosylated complex bi-antennary CHO-type glycans / glycanes de type CHO bi-antennaires complexes fucosylés / glicanos de tipo CHO biantenarijos complejos fucosilados.

C-terminal lysine clipping / Coupeure de la lysine C-terminale / Recorte de lisina C-terminal

H CHS K2: 451, 451"



**ruzotolimodum**

ruzotolimod

3-(5-*O*-acetyl-3,6,7-trideoxy- $\alpha$ -L-lyxo-heptofuranosyl)-5-amino[1,3]thiazolo[4,5-*d*]pyrimidin-2(3*H*)-one;  
(1*S*)-1-[(2*S*,4*R*,5*R*)-5-(5-amino-2-oxo[1,3]thiazolo[4,5-*d*]pyrimidin-3(2*H*)-yl)-4-hydroxyoxolan-2-yl]propyl acetate  
*toll-like receptor agonist*

ruzotolimod

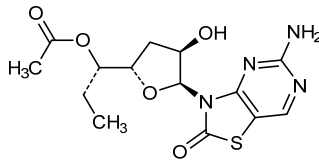
3-(5-*O*-acétyl-3,6,7-tridésoxy- $\alpha$ -L-lyxo-heptofuranosil)-5-amino[1,3]thiazolo[4,5-*d*]pyrimidin-2(3*H*)-one;  
acétate de (1*S*)-1-[(2*S*,4*R*,5*R*)-5-(5-amino-2-oxo[1,3]thiazolo[4,5-*d*]pyrimidin-3(2*H*)-yl)-4-hydroxyoxolan-2-yl]propyle  
*antagoniste des récepteurs de type toll*

ruzotolimod

3-(5-*O*-acetil-3,6,7-tridesoxi- $\alpha$ -L-lixo-heptofuranosil)-5-amino[1,3]tiazolo[4,5-*d*]pirimidin-2(3*H*)-ona;  
acetato de (1*S*)-1-[(2*S*,4*R*,5*R*)-5-(5-amino-2-oxo[1,3]tiazolo[4,5-*d*]pirimidin-3(2*H*)-il)-4-hidroxi oxolan-2-il]propilo  
*antagonista del receptor tipo toll*

C<sub>14</sub>H<sub>18</sub>N<sub>4</sub>O<sub>5</sub>S

1948241-60-8

**safimaltibum**

safimaltib

1-(1-oxo-1,2-dihydroisoquinolin-5-yl)-5-(trifluoromethyl)-*N*-[2-(trifluoromethyl)pyridin-4-yl]-1*H*-pyrazole-4-carboxamide  
*mucosa-associated lymphoid tissue lymphoma translocation protein 1 (MALT1) inhibitor, antineoplastic*

safimaltib

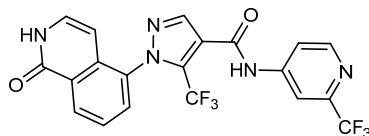
1-(1-oxo-1,2-dihydroisoquinoléin-5-yl)-5-(trifluorométhyl)-*N*-[2-(trifluorométhyl)pyridin-4-yl]-1*H*-pyrazole-4-carboxamide  
*inhibiteur de la protéine 1 de translocation du lymphome tissulaire lymphoïde associée à la muqueuse (MALT1), antinéoplasique*

safimaltib

1-(1-oxo-1,2-dihidroisoquinolein-5-il)-5-(trifluorometil)-*N*-[2-(trifluorometil)piridin-4-il]-1*H*-pirazol-4-carboxamida  
*inhibidor de la proteína 1 de translocación de linfoma de tejido linfoide asociado a mucosas (MALT1), antineoplásico*

C<sub>20</sub>H<sub>11</sub>F<sub>6</sub>N<sub>5</sub>O<sub>2</sub>

2230273-76-2

**safusidenibum**

safusidenib

(2E)-3-{1-[5-(2-fluoropropan-2-yl)-3-(2,4,6-trichlorophenyl)-1,2-oxazole-4-carbonyl]-3-méthyl-1H-indol-4-yl}prop-2-énoïque

*antineoplasique*

safusidénib

acide (2E)-3-{1-[5-(2-fluoropropan-2-yl)-3-(2,4,6-trichlorophényl)-1,2-oxazole-4-carbonyl]-3-méthyl-1H-indol-4-yl}prop-2-énoïque

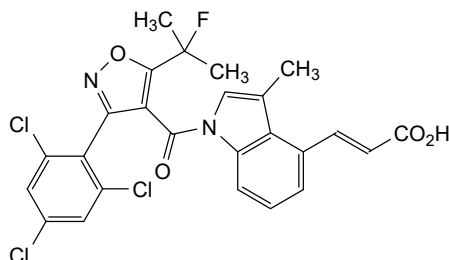
*antinéoplasique*

safusidenib

ácido (2E)-3-{1-[5-(2-fluoropropan-2-il)-3-(2,4,6-triclorofenil)-1,2-oxazol-4-carbonil]-3-metil-1H-indol-4-il}prop-2-enoico

*antineoplásico*C<sub>25</sub>H<sub>18</sub>Cl<sub>3</sub>FN<sub>2</sub>O<sub>4</sub>

1898206-17-1

**selcopintidum**

selcopintide

(344-353)-peptide (1-10) of human copine 7 (copine VII, CPNE7, epithelium-derived calcium-dependent phospholipid-binding protein);

L-lysyl-L-tyrosyl-L-lysyl-L-glutaminyL-L-lysyl-L-arginyl-L-arginyl-L-seryl-L-tyrosyl-L-lysine

*promotion of dentin production*

selcopintide

peptide 344-353 (1-10) de la copine 7 humaine (copine VII, CPNE7, protéine de liaison aux phospholipides dépendante du calcium dérivée de l'épithélium);

L-lysyl-L-tyrosyl-L-lysyl-L-glutaminyL-L-lysyl-L-arginyl-L-arginyl-L-séryL-L-tyrosyl-L-lysine

*stimulation de la synthèse de dentine*

selcopintida

peptido 344-353 (1-10) de la copina 7 humana (copina VII, CPNE7, proteína de unión a fosfolípidos dependiente de calcio derivada del epitelio);

L-lisil-L-tirosil-L-lisil-L-glutaminyL-L-lisil-L-arginil-L-arginil-L-seril-L-tirosil-L-lisina

*estimulación de la síntesis de la dentina*

$C_{62}H_{105}N_{21}O_{15}$ 

2130912-34-2

Lys – Tyr – Lys – Gln – Lys – Arg – Arg – Ser – Tyr – Lys

**semzuvolimabum #**

semzuvolimab

immunoglobulin G1-kappa, anti-[*Homo sapiens* CD4 (p55, T cell surface antigen T4/Leu-3)], monoclonal antibody;  
 gamma1 heavy chain (1-448) [VH Musmus/Homsap (*Mus musculus* IGHV1-75\*01 (78.6%) -(IGHD) -IGHJ3\*01 (100%)/*Homo sapiens* IGHV1-2\*06 (73.5%) -(IGHD) -IGHJ4\*01 (92.3%), CDR-IMGT [8.8.11] (26-33.51-58.97-107)) (1-118) -*Homo sapiens* IGHG1\*01, G1m17,1, G1v48 H84.4 (CH1 K120 (215) (119-216), hinge 1-15 (217-231), CH2 N84.4>H (298) (232-341), CH3 D12 (357), L14 (359) (342-446), CHS (447-448)) (119-448)], (221-218')-disulfide with kappa light chain (1'-218') [V-KAPPA Musmus/Homsap (*Mus musculus* IGKV3-4\*01 (93.9%) -IGKJ2\*03 (90.9%) S120>Q (104)/*Homo sapiens* IGKV4-1\*01 (68.3%) -IGKJ2\*01 (100%), CDR-IMGT [10.3.9] (27-36.54-56.93-101)) (1'-111') -*Homo sapiens* IGKC\*04 (100%), Km1,2 A45.1 (158), L101 (195) (112'-218')]; dimer (227-227":230-230")-bisdisulfide, produced in Chinese hamster ovary (CHO) cells, glycoform alfa  
*immunomodulator*

semzuvolimab

immunoglobuline G1-kappa, anti-[*Homo sapiens* CD4 (p55, antigène de surface des cellules T T4/Leu-3)], anticorps monoclonal;  
 chaîne lourde gamma1 (1-448) [VH Musmus/Homsap (*Mus musculus* IGHV1-75\*01 (78.6%) -(IGHD) -IGHJ3\*01 (100%)/*Homo sapiens* IGHV1-2\*06 (73.5%) -(IGHD) -IGHJ4\*01 (92.3%), CDR-IMGT [8.8.11] (26-33.51-58.97-107)) (1-118) -*Homo sapiens* IGHG1\*01, G1m17,1, G1v48 H84.4 (CH1 K120 (215) (119-216), charnière 1-15 (217-231), CH2 N84.4>H (298) (232-341), CH3 D12 (357), L14 (359) (342-446), CHS (447-448)) (119-448)], (221-218')-disulfure avec la chaîne légère kappa (1'-218') [V-KAPPA Musmus/Homsap (*Mus musculus* IGKV3-4\*01 (93.9%) -IGKJ2\*03 (90.9%) S120>Q (104)/*Homo sapiens* IGKV4-1\*01 (68.3%) -IGKJ2\*01 (100%), CDR-IMGT [10.3.9] (27-36.54-56.93-101)) (1'-111') -*Homo sapiens* IGKC\*04 (100%), Km1,2 A45.1 (158), L101 (195) (112'-218')]; dimère (227-227":230-230")-bisdisulfure, produit dans des cellules ovariennes de hamster chinois (CHO), glycoforme alfa  
*immunomodulateur*

semzuvolimab

inmunoglobulina G1-kappa, anti-[*Homo sapiens* CD4 (p55, antígeno de superficie de las células T T4/Leu-3)], anticuerpo monoclonal;

cadena pesada gamma1 (1-448) [VH Musmus/Homsap (*Mus musculus* IGHV1-75\*01 (78.6%) -(IGHD) -IGHJ3\*01 (100%)/*Homo sapiens* IGHV1-2\*06 (73.5%) -(IGHD) -IGHJ4\*01 (92.3%), CDR-IMGT [8.8.11] (26-33.51-58.97-107)) (1-118) - *Homo sapiens* IGHG1\*01, G1m17.1, G1v48 H84.4 (CH1 K120 (215) (119-216), bisagra 1-15 (217-231), CH2 N84.4>H (298) (232-341), CH3 D12 (357), L14 (359) (342-446), CHS (447-448)) (119-448)], (221-218')-disulfuro con la cadena ligera kappa (1'-218') [V-KAPPA Musmus/Homsap (*Mus musculus* IGKV3-4\*01 (93.9%) -IGKJ2\*03 (90.9%) S120>Q (104)/*Homo sapiens* IGKV4-1\*01 (68.3%) -IGKJ2\*01 (100%), CDR-IMGT [10.3.9] (27-36.54-56.93-101)) (1'-111') -*Homo sapiens* IGKC\*04 (100%), Km1.2 A45.1 (158), L101 (195) (112'-218'); dímero (227-227":230-230")-bisulfuro, producido en las células ováricas de hámster chino (CHO), forma glicosilada alfa *inmunomodulador*

2409099-32-5

## Heavy chain / Chaîne lourde / Cadena pesada

QVQLVQSGPE LKKPGASVKV SCKASGYTFT DYVIHWVKQA TGGLEWIGE 50  
IYPGSGSAYS NAKFRDRVTM TADKSSNTAY MELSSLTSD TAVYFCARRG 100  
NGTGFAYWQ GTLVTVSSAS TKGPSVFLA PSSKSTSGT AALGCLVRDY 150  
FPEFVTVSWN SGALTSVGHV FPAVLQSSGL YLSSVVTVP SSSLGTQTYI 200  
CNVNHKPSNT KVDKVEPKS CDKTHTCPPC PAPELLGGPS VLFPPKPKD 250  
TLMISRTPEV TCVVVDVSHS DPEVKFNWYV DGVEVHNAKT KPREEQYHST 300  
YRVVSVLTVL HQDWLNGKEY KCKVSNKALP APIEKTISKAK KGPREEQVY 350  
TLPPSRDELDT KNQVSLTCLV KGFYPSDIAV EWESNGQPEN NYKTTTPVLD 400  
SDGSFFLYSK LTVDKSRWQK GNVFSCSVMH EALHNNHYTK SLSLSPGK 448

## Light chain / Chaîne légère / Cadena ligera

DIVLTQSPAS LAVSLGQRAT ITCKAGQSV DYGDSYMNWY QQKPGQPPKL 50  
LIYVASNLES GIPARFSGSG SGTDFTLNIH PVEENDAATY YCQQSYKDPL 100  
TFGGQTKLEI KRTVAAPSVE IFPPSDEQLK SGTASVCLL NNFYPREAKV 150  
QWKVDNALQS GNSQESVTEQ DSKDSTYSLS STLTLISKADY EKHKLYACEV 200  
THQGLSSPVT KSFNRGEC 218

## Post-translational modifications

Disulfide bridges location / Position des ponts disulfure / Posiciones de los puentes disulfuro

Intra-H (C23-C104) 22-96 145-201 262-322 368-426  
22"-96" 145"-201" 262"-322" 368"-426"

Intra-L (C23-C104) 23'-92' 138"-198"  
23"-92'" 138'"-198'"

Inter-H-L (h 5-CL 126) 221-218' 221"-218"

Inter-H-H (h 11, h 14) 227-227" 230-230"

N-terminal glutaminyl cyclization / Cyclisation du glutaminyle N-terminal / Ciclación del glutaminilo N-terminal

Q &gt; pyroglutamyl (pE, 5-oxoprolyl)

H VH Q1:

1, 1"

N-glycosylation sites / Sites de N-glycosylation / Posiciones de N-glicosilación

H VH CDR3 109

101, 101"

Fucosylated complex bi-antennary CHO-type glycans / glycanes de type CHO bi-antennaires complexes fucosylés / glicanos de tipo CHO biantenariarios complejos fucosilados

H CH2 N84.4&gt;H (G1v48):

298, 298"

Aglycosylated / aglycosylé / aglicosilado

C-terminal lysine clipping / Coupure de la lysine C-terminale / Recorte de lisina C-terminal

H CHS K2:

448, 448"

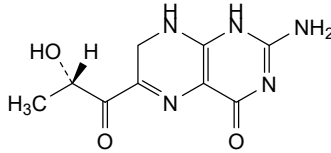
**sepiapterinum**  
sepiapterin

2-amino-6-[(2S)-2-hydroxypropanoyl]-7,8-dihydropteridin-4(1H)-one  
*tetrahydrobiopterin (BH4) precursor*

sépiaptérine  
2-amino-6-[(2S)-2-hydroxypropanoyle]-7,8-dihydroptéridin-4(1H)-one  
*précurseur de la tétrahydrobioptérine (BH4)*

sepiapterina  
2-amino-6-[(2S)-2-hidroxiopropanoil]-7,8-dihidropteridin-4(1H)-ona  
*precursor de la tetrahidrobiopterina (BH4)*

$C_9H_{11}N_5O_3$  17094-01-8



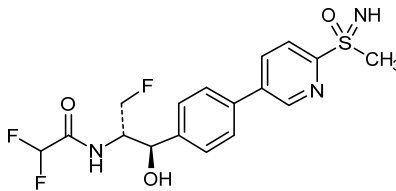
**sirpefenicolum**  
sirpefenicol

2,2-difluoro-N-[(1R,2S)-3-fluoro-1-hydroxy-1-(4-{6-[(RS)-methanesulfonylimidoyl]pyridin-3-yl}phényl)propan-2-yl]acétamide  
*antibactérien (veterinary use)*

sirpéfénicol  
2,2-difluoro-N-[(1R,2S)-3-fluoro-1-hydroxy-1-(4-{6-[(RS)-méthanesulfonylimidoyl]pyridin-3-yl}phényl)propan-2-yl]acétamide  
*antibactérien (usage vétérinaire)*

sirpefenicol  
2,2-difluoro-N-[(1R,2S)-3-fluoro-1-hidroxi-1-(4-{6-[(RS)-metanosulfonylimidoil]piridin-3-il}fenil)propan-2-il]acetamida  
*antibacteriano (uso veterinario)*

$C_{17}H_{18}F_3N_3O_3S$  1632310-24-7



**sovleplenibum**  
sovleplenib

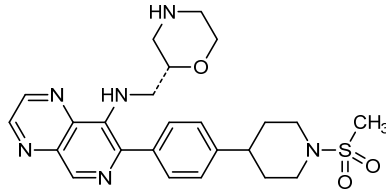
7-{4-[1-(methanesulfonyl)piperidin-4-yl]phényl}-N-[(2S)-morpholin-2-yl]méthyl}pyrido[3,4-b]pirazin-5-amine  
*tyrosine kinase inhibitor, antineoplastique*

sovleplénib  
7-{4-[1-(méthanesulfonyl)pipéridin-4-yl]phényl}-N-[(2S)-morpholin-2-yl]méthyl}pyrido[3,4-b]pirazin-5-amine  
*inhibiteur de la tyrosine kinase, antinéoplasique*

sovleplenib  
7-{4-[1-(metanosulfonyl)piperidin-4-il]fenil}-N-[(2S)-morfolin-2-il]metil}pirido[3,4-b]pirazin-5-amina  
*inhibidor de la tirosina kinasa, antineoplásico*

C<sub>24</sub>H<sub>30</sub>N<sub>6</sub>O<sub>3</sub>S

1415792-84-5



**soziniberceptum #**  
sozinibercept

human vascular endothelial growth factor receptor 3 (VEGFR3, Fms-like tyrosine kinase 4, tyrosine-protein kinase receptor FLT4) fragment (1-305, containing the immunoglobulin-like C2-type domains 1, 2 and 3) variant (N>Q<sup>80</sup>), fused to human immunoglobulin G1 C-terminal Fc fragment (306-537), disulfide bridged dimer, produced in Chinese hamster ovary (CHO) cells, glycoform alfa; [N<sup>80</sup>>Q]-human vascular endothelial growth factor receptor 3 (VEGFR3, Fms-like tyrosine kinase 4, FLT-4, tyrosine-protein kinase receptor FLT4, EC:2.7.10.1) (1-305)-peptide fragment (containing the immunoglobulin-like C2-type domains 1, 2 and 3), fused with a human immunoglobulin G1 C-terminal 232-peptide Fc fragment (CH2-CH3-CHS domains) [*Homo sapiens*IGHG1\*01 (hinge (306-320), CH2 (321-430), CH3 (431-535), CHS (536-537))] (306-537), dimer (310-310':316-316':319-319')-trisdisulfide, produced in Chinese hamster ovary (CHO) cells, glycoform alfa  
*angiogenesis inhibitor*

sozinibercept

fragment du récepteur 3 du facteur de croissance de l'endothélium vasculaire humain (VEGFR3, tyrosine kinase 4 de type Fms, récepteur tyrosine-protéine kinase FLT4) (1-305, contenant les domaines 1, 2 et 3 de type immunoglobuline C2) variant (N>Q<sup>80</sup>), fusionné au fragment Fc C-terminal de l'immunoglobuline G1 humaine (306-537), dimère à pont disulfure, produit dans des cellules ovariennes de hamster chinois (CHO), glycoforme alfa; [N<sup>80</sup>>Q]-récepteur 3 humain du facteur de croissance de l'endothélium vasculaire (VEGFR3, tyrosine kinase 4 de type Fms, FLT-4, récepteur tyrosine-protéine kinase FLT4, EC:2.7.10.1), fragment du peptide 1-305 (contenant les domaines 1, 2 et 3 de type C2 similaires aux immunoglobulines), fusionné avec un fragment Fc de peptide-232 C-terminal d'immunoglobuline G1 humaine (domaines CH2-CH3-CHS) [*Homo sapiens*IGHG1\*01 (charnière (306-320), CH2 (321-430), CH3 (431-535), CHS (536-537))] (306-537), dimère (310-310':316-316':319-319')-trisdisulfure, produit dans des cellules ovariennes de hamster chinois (CHO), glycoforme alfa  
*inhibiteur de l'angiogénèse*

sozinibercept

receptor 3 humano del factor de crecimiento endotelial vascular (VEGFR3, tirosina kinasa 4 similar a Fms, receptor tirosina-proteína kinasa FLT4) fragmento (1-305, que contiene los dominios 1, 2 y 3 de tipo C2 similares a inmunoglobulinas) variante (N>Q<sup>80</sup>), fusionado con un fragmento Fc (306-537) terminal C de inmunoglobulina G1 humana, dímero acortado disulfuro, producido en células ováricas de hámster chino (CHO), glicofoma alfa;

[N<sup>80</sup>>Q]-receptor 3 humano del factor de crecimiento endotelial vascular (VEGFR3, tirosina kinasa 4 similar a Fms, FLT-4, receptor tirosina-proteína kinasa FLT4, EC:2.7.10.1) fragmento de péptido 1-305 (que contiene los dominios 1, 2 y 3 de tipo C2 similares a inmunoglobulinas), fusionado con un fragmento Fc de 232-péptido C-terminal de inmunoglobulina G1 humana (dominios CH2-CH3-CHS [*Homo sapiens*IGHG1\*01 (bisagra (306-320), CH2 (321-430), CH3 (431-535), CHS (536-537))] (306-537), dímero (310-310':316-316':319-319')-trisdисульфuro, producida en las células ováricas de hámster chino (CHO), glicofórmula

*inhibidor de la angiogénesis*

2568358-31-4

Sequence / Séquence / Secuencia	
YSMTPTPTLNI TEESHVIDTG DLSLSISCRGQ HPLEWAWPGA QEAPATGDKD	50
SEDTGVVRDC EGTDARPYCK VLLLHEVHAQ DTGSYVCYK YIKARIEGTT	100
AASSYVFRVD FEQPFINKPD TLLVNRKRAM WVPCLVSI PG LNVTLRSQSS	150
VLWFDGQEVV WDDRRGMLVS TPLLHDALYL QCETTWGQDQ FLSNPFVLHI	200
TGNELYDIQL LPRKSLLELV GEKLVNCTV WAEFNSGVT F DWDPGKQAE	250
RGKWPERRS QQTHTELSLI LTIHNVSQHD LGSYVCKANN GIQRFRESTE	300
VIVHEEPKSC DKTHTCPCFP APELLGGPSV FLEFPKPKDT LMSRTEPVT	350
CVVVDVSHED PEVKFNWYVD GVEVHNAKT PREEQYNSTY RVVSVLTVLH	400
QDWLNGKEYK CKVSNKALPA PIEKTIKSAK GPPEPQVYT LPSPRDELTK	450
NQVSLTCLVK GFYPSDIAVE WESNGQPENN YKTTPEVLDS DGSFFLYSKL	500
TVDKSRWQQG NVFSCSVME ALHNNHTQKS LSLSPGK	537

Mutation / Mutation / Mutación  
 N80>Q, N80'>Q

**Post-translational modifications**

Disulfide bridges location / Position des ponts disulfure / Posiciones de los puentes disulfuro  
 Intra-chain 27-87 60-69 134-182 228-286 351-411 457-515  
 27-87' 60-69' 134-182' 228-286' 351-411' 457-515'  
 Inter-chain 310-310' 316-316' 319-319'  
 N-glycosylation sites / Sites de N-glycosylation / Posiciones de N-glicosilación  
 N9, N142, N227, N275, N387;  
 N9', N142', N227', N275', N387'  
 C-terminal lysine clipping / Coupure de la lysine C-terminale / Recorte de lisina C-terminal  
 H CHS K2: K537, K537'

**sudocetaxelum zendusortidum**  
 sudocetaxel zendusortide

N<sup>6,5</sup>, N<sup>6,13</sup>-bis[4-((2R,3S)-1-[[4-(acetyloxy)-2α-(benzoyloxy)-5β,20-epoxy-1,7β,10β-trihydroxy-9-oxotax-11-en-13α-y]oxy)-3-[(*tert*-butoxycarbonyl)amino]-1-oxo-3-phenylpropan-2-y]oxy)-4-oxobutanoyl][N-acetylglucyl-L-valyl-L-arginyl-L-alanyl-L-lysyl-L-alanylglucyl-L-valyl-L-arginyl-L-asparaginy-(2S)-2-aminohexanoyl-L-phenylalanyl-L-lysyl-L-seryl-L-α-glutamyl-L-seryl-L-tyrosine]  
*antineoplastic*

sudocétaxel zendusortide

N<sup>6,5</sup>, N<sup>6,13</sup>-bis[4-((2R,3S)-1-[[4-(acétyloxy)-2α-(benzoyloxy)-5β,20-époxy-1,7β,10β-trihydroxy-9-oxotax-11-én-13α-y]oxy)-3-[(*tert*-butoxycarbonyl)amino]-1-oxo-3-phénylpropan-2-y]oxy)-4-oxobutanoyl][N-acétylglucyl-L-valyl-L-arginyl-L-alanyl-L-lysyl-L-alanylglucyl-L-valyl-L-arginyl-L-asparaginy-(2S)-2-aminohexanoyl-L-phénylalanyl-L-lysyl-L-séryl-L-α-glutamyl-L-séryl-L-tyrosine]  
*antineoplasique*

sudocetaxel zendusortida

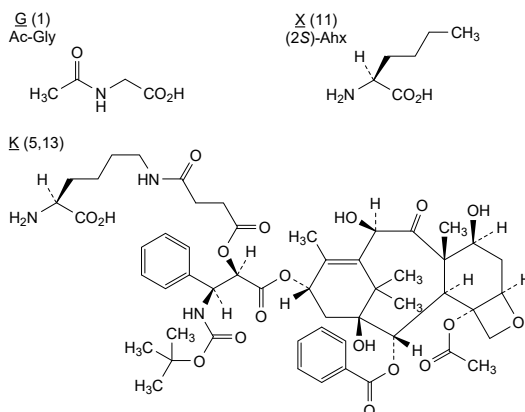
$N^{6,5}, N^{6,13}$ -bis[4-((2*R*,3*S*)-1-[[4-(acetiloxi)-2α-(benzoiloxi)-5β,20-epoxi-1,7β,10β-trihidroxi-9-oxotax-11-en-13α-il]oxi)-3-[(*tert*-butoxicarbonil)amino]-3-fenil-1-oxopropan-2-il]oxi)-4-oxobutanoil][*N*-acetilglicil-L-valil-L-arginil-L-alanil-L-lisil-L-alanilglicil-L-valil-L-arginil-L-asparaginil-(2*S*)-2-aminohexanoil-L-fenilalanil-L-lisil-L-seril-L-α-glutamil-L-seril-L-tirosina]  
*antineoplásico*

C<sub>179</sub>H<sub>248</sub>N<sub>28</sub>O<sub>57</sub>

2473125-34-5

GVRAKAGVRN XFKSESY 17

Modified residues / Résidus modifiés / Restos modificados



**tanuxiciclibum**  
tanuxiciclib

2'-amino-6-(2-amino-6-methylpyrimidin-4-yl)-3'-fluoro[2,4'-bipyridin]-5-ol  
*cyclin dependent kinase inhibitor*

tanuxiciclib

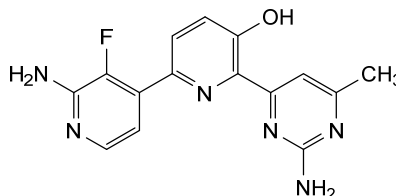
2'-amino-6-(2-amino-6-méthylpyrimidin-4-yl)-3'-fluoro[2,4'-bipyridin]-5-ol  
*inhibiteur des kinases dépendantes des cyclines*

tanuxiciclib

2'-amino-6-(2-amino-6-metilpirimidin-4-il)-3'-fluoro[2,4'-bipiridin]-5-ol  
*inhibidor de las kinasas dependientes de las ciclinas*

C<sub>15</sub>H<sub>13</sub>FN<sub>6</sub>O

1983983-64-7



**tarcocimabum tedromerum #**

tarcocimab tedromer

immunoglobulin G1-kappa, anti-[*Homo sapiens* VEGFA (vascular endothelial growth factor A, VEGF-A, VEGF)], humanized monoclonal antibody, conjugated via a linker to a nonaantennary dendrimer with phosphorylcholine polymer end groups;



- gamma1 heavy chain humanized (1-453) [VH (*Homo sapiens*IGHV3-30\*02 (75.8%) -(IGHD) -IGHJ4\*01 (93.3%), CDR-IMGT [8.8.16] (26-33.51-58.97-112)) (1-123) -*Homo sapiens*IGHG1\*03v, G1m3>G1m17, nG1m1, G1v14 CH2 A1.3, A1.2 (CH1 R120>K (220) (124-221), hinge 1-15 (222-236), CH2 L1.3>A (240), L1.2>A (241), G1>A (243) (237-346), CH3 E12 (362), M14 (364), L123>C (449) (347-451), CHS (452-453)) (124-453)], (226-214')-disulfide with kappa light chain humanized (1'-214') [V-KAPPA (*Homo sapiens*IGKV1-16\*01 (87.4%) -IGKJ1\*01 (100%), CDR-IMGT [6.3.9] (27-32.50-52.89-97)) (1'-107')] -*Homo sapiens*IGKC\*01 (100%), Km3 A45.1 (153), V101 (191) (108'-214')]; dimer (232-232":235-235")-bisdisulfide, produced in Chinese hamster ovary (CHO) cells, cell line CHO-K1SV lacking the glutamine synthetase (GS-KO) gene, glycoform alfa, substituted at an average of one S atom of cysteine residues 449 and 449" with the (3RS)-1-[1,1,1-tris({3-[2-(2,2,2-tris{[(2-{\alpha-(bromo / ethoxy / hydro / hydroxy)poly[1-(10,10-dimethyl-6-oxido-6-oxo-2,5,7-trioxa-10-aza-6\lambda^5-phosphaundecan-10-ium-1-oyl)-1-methylethane-1,2-diy]l-\omega-yl]-2-methylpropanoyl)oxy]methyl}ethoxy)acetamido]propanamido}methyl)-16,32-dioxo-3,6,9,12,19,22,25,28-octaoxa-15,31-diazatetracontan-34-yl]-2,5-dioxopyrrolidin-1-yl) (*tedromer*) group  
*angiogenesis inhibitor*
- tarcocimab tédomère immunoglobuline G1-kappa, anti-[*Homo sapiens* VEGFA (facteur de croissance A de l'endothélium vasculaire, VEGF-A, VEGF)], anticorps monoclonal humanisé, conjugué via un linker à un dendrimère nonaantennaire avec groupes terminaux de polymère phosphorylcholine;  
chaîne lourde gamma1 humanisée (1-453) [VH (*Homo sapiens*IGHV3-30\*02 (75.8%) -(IGHD) -IGHJ4\*01 (93.3%), CDR-IMGT [8.8.16] (26-33.51-58.97-112)) (1-123) -*Homo sapiens*IGHG1\*03v, G1m3>G1m17, nG1m1, G1v14 CH2 A1.3, A1.2 (CH1 R120>K (220) (124-221), charnière 1-15 (222-236), CH2 L1.3>A (240), L1.2>A (241), G1>A (243) (237-346), CH3 E12 (362), M14 (364), L123>C (449) (347-451), CHS (452-453)) (124-453)], (226-214')-disulfure avec la chaîne légère kappa humanisée (1'-214') [V-KAPPA (*Homo sapiens*IGKV1-16\*01 (87.4%) -IGKJ1\*01 (100%), CDR-IMGT [6.3.9] (27-32.50-52.89-97)) (1'-107')] -*Homo sapiens*IGKC\*01 (100%), Km3 A45.1 (153), V101 (191) (108'-214')]; dimère (232-232":235-235")-bisdisulfure, produit dans des cellules ovariennes de hamster chinois (CHO), lignée cellulaire CHO-K1SV ne présentant pas le gène de la glutamine synthétase (GS-KO), glycoforme alfa, substitué à une moyenne d'un atome S des résidus cystéine 449 et 449" par le groupe (3RS)-1-[1,1,1-tris({3-[2-(2,2,2-tris{[(2-{\alpha-(bromo / éthoxy / hydro / hydroxy)poly[1-(10,10-diméthyl-6-oxido-6-oxo-2,5,7-trioxa-10-aza-6\lambda^5-phosphaundécane-10-ium-1-oyl)-1-méthyléthane-1,2-diy]l-\omega-yl]-2-méthylpropanoyl)oxy]méthyl}éthoxy)acétamido]propanamido}méthyl)-16,32-dioxo-3,6,9,12,19,22,25,28-octaoxa-15,31-diazatétratriacontan-34-yl]-2,5-dioxopyrrolidin-1-yle (*tédromère*)  
*inhibiteur de l'angiogénèse*
- tarcocimab tédromero inmunoglobulina G1-kappa, anti-[*Homo sapiens* VEGFA (factor de crecimiento A del endotelio vascular, VEGF-A, VEGF)], anticuerpo monoclonal humanizado, conjugado a través de un enlace a un dendrímero con nueve antenas con grupos terminales de polímero fosforilcolina ;  
cadena pesada gamma1 humanizada (1-453) [VH (*Homo sapiens*IGHV3-30\*02 (75.8%) -(IGHD) -IGHJ4\*01 (93.3%), CDR-IMGT

[8.8.16] (26-33.51-58.97-112)) (1-123) -*Homo sapiens* IGHG1\*03v, G1m3>G1m17, nG1m1, G1v14 CH2 A1.3, A1.2 (CH1 R120>K (220) (124-221), bisagra 1-15 (222-236), CH2 L1.3>A (240), L1.2>A (241), G1>A (243) (237-346), CH3 E12 (362), M14 (364), L123>C (449) (347-451), CHS (452-453)) (124-453)], (226-214')-disulfuro con la cadena ligera kappa humanizada (1'-214') [V-KAPPA (*Homo sapiens* IGKV1-16\*01 (87.4%) -IGKJ1\*01 (100%), CDR-IMGT [6.3.9] (27-32.50-52.89-97)) (1'-107') -*Homo sapiens* IGKC\*01 (100%), Km3 A45.1 (153), V101 (191) (108'-214')]; dímero (232-232":235-235")-bisdisulfuro, producido en las células ováricas de hámster chino (CHO), línea celular CHO-K1SV en ausencia del gen glutamina sintetasa (GS-KO), forma glicosilada alfa, sustituido en un promedio de un átomo de S de residuos de cisteína 449 y 449" con el grupo (3RS)-1-[1,1,1-tris({3-[2-(2,2,2-tris({2-( $\alpha$ -bromo / etoxi / hidro / hidroxil)poli[1-(10,10-dimetil-6-oxido-6-oxo-2,5,7-trioxa-10-aza-6 $\lambda^5$ -fosfaundecan-10-ilo-1-olil)-1-metiletano-1,2-dilil]- $\omega$ -il]-2-metilpropanoil)oxil]metil]etoxi]acetamido]propanamido]metil)-16,32-dioxo-3,6,9,12,19,22,25,28-octaoxa-15,31-diazatetracontan-34-il]-2,5-dioxopirrolidin-1-ilo (*tetrómero*) *inhibidor de la angiogénesis*

2411896-53-0

## Heavy chain / Chaîne lourde / Cadena pesada

```

EQQLVESGGG LVQPGGSLRL SCAASGYDFT HYGMNWRVQA PGKGLWVWG 50
INTYTCPEPT AAEKRRRTF SLDTSKSTAY LQMNLSRAED TAVYYCAKYP 100
YYTCTSHWYF DWVQGCTLVT VSSASTKGPS VFPLAPSSKS TSGGTAALGC 150
LVKDYFPEPV TVSWNSGALT SGVHTFPAVL QSSGLYSLSS VVTVPSSSLG 200
TQTYICNVNH KFSNTKVDKK VEPKSCDKTH TCPPCPAPEA AGAPSVFLFP 250
PKPKDTLMIS RTPEVTCVVV DVSHEDEPEVK FMYVDGVEV HNAKTKPREE 300
QYNSTYRVVS VLTVLHQDWL NGKEYKCKVS NKALPAPIEK TISKAKGQPR 350
EPQVYTLPPS REEMTRNQVS LTCLVKGFYP SDIAVEWESN GQPENNYKTT 400
PPVLDSDGSF FLYSKLTVDK SRWQQGNVFS CSMVHEALHN HYTQKSLSCS 450
PGK 453

```

## Light chain / Chaîne légère / Cadena ligera

```

DIQLTQSPSS LSASVGRDVT ITCSASQDIS NYLWYQKPK GKAPKVIYF 50
TSSLHSGVPS RFGSGSGTD FTLTISSLQP EDFATYYCQQ YSTVPWTFGQ 100
GTKVEIKRTV AAPSVFIFPP SDEQLKSGTA SVVCLLNIFY BREAKVQMKV 150
DNALQSGNSQ ESVTEQDSKD STYLSLSLT LSKADYEKHK VYACEVTHQG 200
LSSPVTKSFN RGEK 214

```

## Post-translational modifications

Disulfide bridges location / Position des ponts disulfure / Posiciones de los puentes disulfuro

Intra-H (C23-C104) 22-96 150-206 267-327 373-431  
22"-96" 150"-206" 267"-327" 373"-431"

Intra-L (C23-C104) 23'-88' 134'-194'  
23"-88" 134"-194"

Inter-H-L (h 5-CL 126) 226-214' 226"-214"

Inter-H-H (h 11, h 14) 232-232" 235-235"

N-glycosylation sites / Sites de N-glycosylation / Posiciones de N-glicosilación

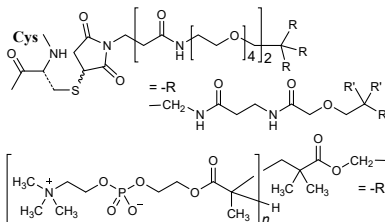
H CH2 N84.4: 303, 303"

Fucosylated complex bi-antennary CHO-type glycans / glycanes de type CHO bi-antennaires complexes fucosylés / glicanos de tipo CHO biantenaricos complejos fucosilados

C-terminal lysine clipping / Coupure de la lysine C-terminale / Recorte de lisina C-terminal  
H CHS K2: 453, 453"

Conjugation sites / Sites de conjugation / Posiciones de conjugación:

H CH3 L123&gt;C: 449, 449"



**tegileridinum**

tegileridine

(1*S*,4*S*)-4-ethoxy-*N*-{2-[(9*R*)-9-(pyridin-2-yl)-6-oxaspiro[4.5]decan-9-yl]ethyl}-1,2,3,4-tetrahydronaphthalen-1-amine  
*mu* opioid receptor agonist, analgesic

téglérídine

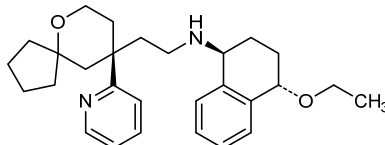
(1*S*,4*S*)-4-éthoxy-*N*-{2-[(9*R*)-9-(pyridin-2-yl)-6-oxaspiro[4.5]décan-9-yl]éthyl}-1,2,3,4-tétrahydronaphtalén-1-amine  
*agoniste du récepteur opioïde mu, analgésique*

tegileridina

(1*S*,4*S*)-4-etoxi-*N*-{2-[(9*R*)-9-(piridin-2-il)-6-oxaspiro[4.5]decan-9-il]etil}-1,2,3,4-tetrahidronaftalen-1-amina  
*agonista del receptor opioide mu, analgésico*

C<sub>28</sub>H<sub>38</sub>N<sub>2</sub>O<sub>2</sub>

2095345-66-5

**tinengotinibum**

tinengotinib

5-(2-chlorophenyl)-3-methyl-8-(morpholin-4-yl)-1,10-dihydropyrazolo[4,3-*b*]pyrido[4,3-*e*][1,4]diazepine  
*tyrosine kinase inhibitor, antineoplastic*

tinengotinib

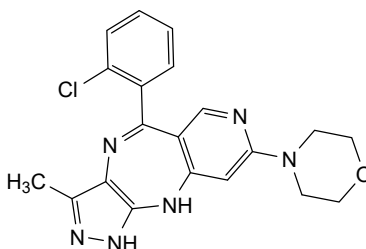
5-(2-chlorophényl)-3-méthyl-8-(morpholin-4-yl)-1,10-dihydropyrazolo[4,3-*b*]pyrido[4,3-*e*][1,4]diazépine  
*inhibiteur de la tyrosine kinase, antinéoplasique*

tinengotinib

5-(2-clorofenil)-3-metil-8-(morfolin-4-il)-1,10-dihidropirazolo[4,3-*b*]pido[4,3-*e*][1,4]diazepina  
*inhibidor de la tirosina kinasa, antineoplásico*

C<sub>20</sub>H<sub>19</sub>ClN<sub>6</sub>O

2230490-29-4

**tovorafenibum**

tovorafenib

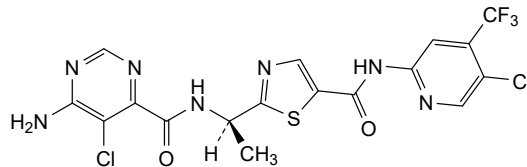
6-amino-5-chloro-*N*-[(1*R*)-1-(5-[[5-chloro-4-(trifluoromethyl)pyridin-2-yl]carbamoyl]-1,3-thiazol-2-yl)ethyl]pyrimidine-4-carboxamide  
*antineoplastic*

tovorafénib 6-amino-5-chloro-*N*-[(1*R*)-1-(5-{[5-chloro-4-(trifluorométhyl)pyridin-2-yl]carbamoil}-1,3-thiazol-2-yl)éthyl]pyrimidine-4-carboxamide  
*antineoplasique*

tovorafenib 6-amino-5-cloro-*N*-[(1*R*)-1-(5-{[5-cloro-4-(trifluorometil)piridin-2-il]carbamoil}-1,3-tiazol-2-il)etil]pirimidina-4-carboxamida  
*antineoplásico*

C<sub>17</sub>H<sub>12</sub>Cl<sub>2</sub>F<sub>3</sub>N<sub>7</sub>O<sub>2</sub>S

1096708-71-2



**trastuzumabum corixetanum #**  
trastuzumab corixetan

immunoglobulin G1-kappa, anti-[*Homo sapiens* ERBB2 (epidermal growth factor receptor 2, receptor tyrosine-protein kinase erbB-2, EGFR2, HER2, HER-2, p185c-erbB2, NEU, CD340)], humanized monoclonal antibody, conjugated to *corixetan*, comprising a linker and an octadentate chelator; gamma1 heavy chain humanized (1-449) [VH (*Homo sapiens*IGHV3-66\*01 (81.6%) -(IGHD) -IGHJ4\*01 (100%), CDR-IMGT [8.8.13] (26-33.51-58.97-109)) (1-120) -*Homo sapiens*IGHG1\*03v, G1m3>G1m17, nG1m1 (CH1 R120>K (217) (121-218), hinge 1-15 (219-233), CH2 (234-343), CH3 E12 (359), M14 (361) (344-448), CHS K2>del (449)) (121-449)], (223-214')-disulfide with kappa light chain humanized (1'-214') [V-KAPPA (*Homo sapiens*IGKV1-39\*01 (86.3%) -IGKJ1\*01 (100%), CDR-IMGT [6.3.9] (27-32.50-52.89-97)) (1'-107') -*Homo sapiens*IGKC\*01 (100%), Km3 A45.1 (153), V101 (191) (108'-214')]; dimer (229-229":232-232")-bisdisulfide, produced in Chinese hamster ovary (CHO) cells, cell line CHO-K1, glycoform alfa, conjugated to the chelator group *corixetan* on an average of 0.5 lysyl per antibody  
*For the corixetan part, please refer to the Proposed INN List 121, published in the WHO Drug Information, Vol.33, No.2, 2019.*  
*immunomodulator, antineoplastic*

trastuzumab corixétan

immunoglobuline G1-kappa, anti-[*Homo sapiens* ERBB2 (récepteur 2 du facteur de croissance épidermique, récepteur tyrosine-protéine kinase erbB-2, EGFR2, HER2, HER-2, p185c-erbB2, NEU, CD340)], anticorps monoclonal humanisé, conjugué au *corixétan*, qui comprend un linker et un chélateur octadenté;  
chaîne lourde gamma1 humanisée (1-449) [VH (*Homo sapiens*IGHV3-66\*01 (81.6%) -(IGHD) -IGHJ4\*01 (100%), CDR-IMGT [8.8.13] (26-33.51-58.97-109)) (1-120) -*Homo sapiens*IGHG1\*03v, G1m3>G1m17, nG1m1 (CH1 R120>K (217) (121-218), charnière 1-15 (219-233), CH2 (234-343), CH3 E12 (359), M14 (361) (344-448), CHS K2>del (449)) (121-449)], (223-214')-disulfure avec la chaîne légère kappa humanisée (1'-214') [V-KAPPA (*Homo sapiens*IGKV1-39\*01 (86.3%) -IGKJ1\*01 (100%), CDR-IMGT [6.3.9] (27-32.50-52.89-97)) (1'-107') -*Homo sapiens*IGKC\*01 (100%), Km3 A45.1 (153), V101 (191) (108'-214')]; dimère (229-229":232-

232")-bisdisulfure, produit dans des cellules ovariennes de hamster chinois (CHO), lignée cellulaire CHO-K1, glycoforme alfa, conjugué au groupe chélateur *corixétan* sur une moyenne de 0.5 lysyles par anticorps

*Pour la partie corixétan, veuillez-vous référer à la Liste 121 des DCI proposées, publiée dans le WHO Drug Information, Vol.33, No.2, 2019. immunomodulateur, antinéoplasique*

trastuzumab corixétán

inmunoglobulina G1-kappa, anti-[*Homo sapiens* ERBB2 (receptor 2 del factor de crecimiento epidérmico, receptor tirosina-proteína kinasa erbB-2, EGFR2, HER2, HER-2, p185c-erbB2, NEU, CD340)], anticuerpo monoclonal humanizado, conjugado con *corixétán*, que consta de un enlace y un quelante octadentado;

cadena pesada gamma1 humanizada (1-449) [VH (*Homo sapiens* IGHV3-66\*01 (81.6%) -(IGHD) -IGHJ4\*01 (100%), CDR-IMGT [8.8.13] (26-33.51-58.97-109)) (1-120) -*Homo sapiens* IGHG1\*03v, G1m3>G1m17, nG1m1 (CH1 R120>K (217) (121-218), bisagra 1-15 (219-233), CH2 (234-343), CH3 E12 (359), M14 (361) (344-448), CHS K2>del (449)) (121-449)], (223-214')-disulfuro con la cadena ligera kappa humanizada (1'-214') [V-KAPPA (*Homo sapiens* IGKV1-39\*01 (86.3%) -IGKJ1\*01 (100%), CDR-IMGT [6.3.9] (27-32.50-52.89-97)) (1'-107') -*Homo sapiens* IGKC\*01 (100%), Km3 A45.1 (153), V101 (191) (108'-214')]; dímero (229-229":232-232")-bisdisulfuro, producido en las células ováricas de hámster chino (CHO), línea celular CHO-K1, forma glicosilada alfa, conjugado en 0.5 lisilos, por término medio, con el grupo quelante *corixétán*

*Para la parte corixétán, por favor vaya a la Lista 121 de los DCI propuestas, publicada en el WHO Drug Information, Vol.33, No.2, 2019.*

*immunomodulador, antineoplásico*

2454636-31-6

Heavy chain / Chaîne lourde / Cadena pesada

```
EVQLVESGGG LVQPGGSLRL SCAASGFNIK DTYIHWVRQA PGKGLEWVAR 50
IYPTNGYTRY ADSVKGRFTI SADTSKNTAY LQMNLSRAED TAVYYCSRWG 100
GDGFYAMDYW GQGLTLVTSS ASTKGPSVFP LAPSSKSTSG GTAALGCLVK 150
DYFPEPVTVS WNSGALTSVG HTFPAVLQSS GLYSLSSVVT VPSSSLGQT 200
YICNVNHKPS NTKVDKKEVP KSCDKHTTCT PCPAPELLGG PSVFLFPPK 250
KDTLMI SRTPEVTCVVVDVS HEDPEVKFNW YVDGVEVHNA KTKPREEQYN 300
STYRVVSVLT VLHQDWLNGK EYKCKVSNKA LPAPIEKTIS KAKGQPREPQ 350
VYTLPPSREE MTKNQVSLTC LVKGFYPSDI AVEWESNGQP ENNYKTTTPV 400
LDSGDSFFLY SKLTVDKSRW QQGNVFSCSV MHEALHNHYT QRSLSLSPG 449
```

Light chain / Chaîne légère / Cadena ligera

```
DIQMTQSPSS LSASVGDRTV ITCRASQDVN TAVAWYQQKPK GKAPKLLIYS 50
ASFLYSGVPS RFSGSRSGTD FTLTISSLQPE EDFATYICQQ HYTTPPTFGQ 100
GTKVEIKRTV AAPSVFIFPP SDEQLKSGTA SVVCLLNIFY PREAKVQWVK 150
DNALQSGNSQ ESVTEQDSKD STYLSLSTLT LSKADYEKHK VYACEVTHQG 200
LSSPVTKSFN RGECC 214
```

Disulfide bridges location / Position des ponts disulfure / Posiciones de los puentes disulfuro

Intra-H	22-96	147-203	264-324	370-428
	22*-96*	147*-203*	264*-324*	370*-428*

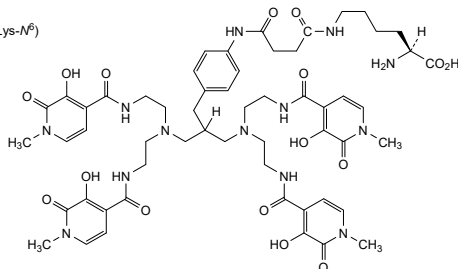
Intra-L	23-88	134-194
	23*-88*	134*-194*

Inter-H-L	223-214	223*-214*
Inter-H-H	229-229	232-232

N-glycosylation sites / Sites de N-glycosylation / Posiciones de N-glicosilación  
300, 300\*

Potential modified residues / résidus modifiés potentiels / restos modificados potenciales

K (Lys-N<sup>6</sup>)



**tridecanoïnium**

tridecanoïn

propane-1,2,3-triyl tri(decanoate)  
*peroxisome proliferator-activated receptor (PPAR) agonist*

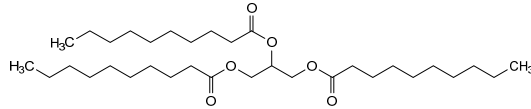
trisdécanoïne

tri(décanoate) de propane-1,2,3-triyle  
*agoniste des récepteurs activés par les proliférateurs de peroxysomes*

tridecanoína

tri(decanoato) de propano-1,2,3-triilo  
*agonista de los receptores activados por los factores de proliferación de peroxisomas*C<sub>33</sub>H<sub>62</sub>O<sub>6</sub>

621-71-6

**trontinemabum #**

trontinemab

immunoglobulin [G1-VH-Ckappa\_Vkappa-CH1]\_[G1\_kappa] with domain crossover, anti-[*Homo sapiens* APP (amyloid beta, A4 precursor protein) Abeta, conformational epitope 1-40/42]] and anti-[*Homo sapiens* TFRC (transferrin receptor, p90, CD71)], humanized monoclonal antibody, bispecific;

fused chain G1-VH-Ckappa bispecific, anti-APP A beta and anti-TFRC (1-702) [gamma1 heavy chain anti-APP Abeta (1-455) humanized [VH (*Homo sapiens* IGHV3-23\*04 (92.9%) -(IGHD) -IGHJ4\*01 (93.3%), CDR-IMGT [8.8.19] (26-33.51-58.97-115))] (1-126) -*Homo sapiens* IGHG1\*01, G1m17,1, G1v32 CH3 W22 (CH1 K26>E (156), K119>E (222), K120 (223) (127-224), hinge 1-15 (225-239), CH2 (240-349), CH3 S10>C (363), D12 (365), L14 (367), T22>W (375) (350-454), CHS K2>del (455))] (127-455)] -18-mer diglycyl-seryl-tris(tetraglycyl-seryl) linker (456-473) -VH-Ckappa chain anti-TFRC (474-702) humanized [VH (*Homo sapiens* IGHV4-31\*02 (76.0%) -(IGHD) -IGHJ5\*02 (100%), CDR-IMGT [8.7.19] (498-505.523-529.566-584)) (474-595) -alanyl-seryl (596-597) -C-KAPPA (*Homo sapiens* IGKC\*01 (100%), Km3 A45.1 (641), V101 (679) (598-702)], (229-215''')-disulfide with kappa light chain anti-APP Abeta (1'''-215''') humanized [V-KAPPA (*Homo sapiens* IGKV3D-7\*01 (89.6%) -IGKJ1\*01 (100%), CDR-IMGT [7.3.9] (27-33.51-53.90-98)) (1'''-108''') -*Homo sapiens* IGKC\*01 (100%), Km3 A45.1 (154), V101 (192), E12>R (124), Q13>K (125) (109'''-215''')], (702-215''')-disulfide with Vkappa-CH1 chain anti-TFRC (1'''-215''') humanized [V-KAPPA (*Homo sapiens* IGKV1-13\*02 (94.4%) -IGKJ4\*01 (100%), CDR-IMGT [6.3.12] (27-32.50-52.89-100)) (1'''-110''') -diseryl (111'''-112''') -CH1-hinge (*Homo sapiens* IGHG1\*01 CH1-h, G1m17 (CH1 K120 (209) (113'''-210'''), hinge 1-5 (211'''-215''') (113'''-215'''))], gamma1 heavy chain anti-APP Abeta (1''-456'') humanized [VH (*Homo sapiens* IGHV3-23\*04 (92.9%) -(IGHD) -IGHJ4\*01 (93.3%), CDR-IMGT [8.8.19] (26-33.51-58.97-115))] (1''-126'') -*Homo sapiens* IGHG1\*01, G1m17,1, G1v33 CH3 S22, A24, V86 (CH1 K26>E (156), K119>E (222), K120 (223) (127''-224''), hinge 1-15 (225''-239''), CH2 (240''-349''), CH3 Y5>C (358), D12 (365), L14 (367), T22>S (375), L24>A (377), Y86>V (416) (350''-454''), CHS (455''-456'') (127''-456'')], (229''-215''')-disulfide with kappa light chain anti-APP Abeta (1'''-215''') humanized [V-KAPPA (*Homo sapiens* IGKV3D-7\*01 (89.6%) -IGKJ1\*01 (100%), CDR-IMGT [7.3.9] (27-33.51-53.90-98)) (1'''-108''') -*Homo sapiens* IGKC\*01 (100%), Km3 A45.1 (154), V101 (192) (109'''-215''')], dimer (235-235''':238-238''':363-358'')-trisdisulfide, produced in Chinese hamster ovary (CHO) cells, glycoform alfa  
*clearance of amyloid beta*

trontinémab

immunoglobuline [G1-VH-Ckappa\_Vkappa-CH1]\_[G1\_kappa], anti-[*Homo sapiens* APP (amyloïde bêta, protéine précurseur A4) Abêta, épitope conformationnel 1-40/42] et anti-[*Homo sapiens* TFRC (récepteur de la transferrine, p90, CD71)], anticorps monoclonal humanisé, bispécifique;

chaîne lourde fusionnée G1-VH-Ckappa bispécifique, anti-APP A bêta et anti-TFRC (1-702) [gamma1 anti-APP Abêta (1-455) humanisée [VH (*Homo sapiens* IGHV3-23\*04 (92.9%) -(IGHD) -IGHJ4\*01 (93.3%), CDR-IMGT [8.8.19] (26-33.51-58.97-115)) (1-126) -*Homo sapiens* IGHG1\*01, G1m17,1, G1v32 CH3 W22 (CH1 K26>E (156), K119>E (222), K120 (223) (127-224), charnière 1-15 (225-239), CH2 (240-349), CH3 S10>C (363), D12 (365), L14 (367), T22>W (375) (350-454), CHS K2>del (455)) (127-455)] -18-mer diglycyl-séryl-tris(tétraglycyl-séryl) linker (456-473) -VH-Ckappa anti-TFRC (474-702) humanisé [VH (*Homo sapiens* IGHV4-31\*02 (76.0%) -(IGHD) -IGHJ5\*02 (100%), CDR-IMGT [8.7.19] (498-505.523-529.566-584)) (474-595) -alanyl-séryl (596-597) -C-KAPPA (*Homo sapiens* IGKC\*01 (100%), Km3 A45.1 (641), V101 (679) (598-702))], (229-215')-disulfure avec la chaîne légère kappa anti-APP Abêta(1'-215') [V-KAPPA (*Homo sapiens* IGKV3D-7\*01 (89.6%) -IGKJ1\*01 (100%), CDR-IMGT [7.3.9] (27-33.51-53.90-98)) (1'-108') -*Homo sapiens* IGKC\*01 (100%), Km3 A45.1 (154), V101 (192), E12>R (124), Q13>K (125) (109'-215')], (702-215''')-disulfure avec Vkappa-CH1 chain anti-TFRC (1'''-215''') humanisée [V-KAPPA (*Homo sapiens* IGKV1-13\*02 (94.4%) -IGKJ4\*01 (100%), CDR-IMGT [6.3.12] (27-32.50-52.89-100)) (1'''-110''') -diséryl (111'''-112''') -CH1-charnière (*Homo sapiens* IGHG1\*01 CH1-h, G1m17 (CH1 K120 (209) (113'''-210'), charnière 1-5 (211'''-215''')) (113'''-215''')], chaîne lourde gamma1 anti-APP Abêta(1''-456'') humanisée [VH (*Homo sapiens* IGHV3-23\*04 (92.9%) -(IGHD) -IGHJ4\*01 (93.3%), CDR-IMGT [8.8.19] (26-33.51-58.97-115)) (1''-126'') -*Homo sapiens* IGHG1\*01, G1m17,1, G1v33 CH3 S22, A24, V86 (CH1 K26>E (156), K119>E (222), K120 (223) (127''-224''), charnière 1-15 (225''-239''), CH2 (240''-349''), CH3 Y5>C (358), D12 (365), L14 (367), T22>S (375), L24>A (377), Y86>V (416) (350''-454''), CHS (455''-456'')) (127''-456'')], (229''-215''')-disulfure avec la chaîne légère kappa anti-APP Abêta(1'''-215''') humanisée [V-KAPPA (*Homo sapiens* IGKV3D-7\*01 (89.6%) -IGKJ1\*01 (100%), CDR-IMGT [7.3.9] (27-33.51-53.90-98)) (1'''-108''') -*Homo sapiens* IGKC\*01 (100%), Km3 A45.1 (154), V101 (192), E12>R (124), Q13>K (125) (109'''-215''')]; dimère (235-235''':238-238''':363-358''')-trisdifure, produit dans des cellules ovariennes de hamster chinois (CHO), glycoforme alfa élimination d'amyloïde bêta

trontinemab

inmunoglobulina [G1-VH-Ckappa\_Vkappa-CH1]\_[G1\_kappa], anti-[*Homo sapiens* APP (amiloide beta, proteína precursora A4) Abêta, epítipo conformacional 1-40/42] y anti-[*Homo sapiens* TFRC (receptor de la transferrina, p90, CD71)], anticuerpo monoclonal humanizado, biespecífico; cadena pesada fusionada G1-VH-Ckappa biespecífica, anti-APP A bêta y anti-TFRC (1-702) [gamma1 anti-APP Abêta (1-455) humanizada [VH (*Homo sapiens* IGHV3-23\*04 (92.9%) -(IGHD) -IGHJ4\*01 (93.3%), CDR-IMGT [8.8.19] (26-33.51-58.97-115)) (1-126) -*Homo sapiens* IGHG1\*01, G1m17,1, G1v32 CH3 W22 (CH1 K26>E (156), K119>E (222), K120 (223) (127-224), bisagra 1-15 (225-239), CH2 (240-349), CH3 S10>C (363), D12 (365), L14 (367), T22>W (375) (350-454), CHS K2>del (455)) (127-455)] -18-mer diglicil-seril-tris(tetraglicil-seril) linker (456-473) -VH-Ckappa anti-TFRC (474-702) humanizado [VH (*Homo sapiens* IGHV4-31\*02 (76.0%) -(IGHD) -IGHJ5\*02 (100%), CDR-IMGT [8.7.19] (498-505.523-529.566-584)) (474-595) -alanil-seril (596-597) -C-KAPPA (*Homo sapiens* IGKC\*01 (100%), Km3 A45.1 (641), V101 (679) (598-702)], (229-215')-disulfuro con la cadena ligera kappa anti-APP Abêta(1'-215') [V-KAPPA (*Homo sapiens* IGKV3D-7\*01 (89.6%) -IGKJ1\*01 (100%), CDR-IMGT [7.3.9] (27-33.51-53.90-98)) (1'-108') -*Homo sapiens* IGKC\*01 (100%), Km3 A45.1 (154), V101 (192), E12>R (124), Q13>K (125) (109'-215')], (702-215''')-disulfuro con cadena Vkappa-CH1 anti-TFRC (1''''-215''''') humanizada [V-KAPPA (*Homo sapiens* IGKV1-13\*02 (94.4%) -IGKJ4\*01 (100%), CDR-IMGT [6.3.12] (27-32.50-52.89-100)) (1''''-110''''') -diseril (111''''-112''''') -CH1-bisagra (*Homo sapiens* IGHG1\*01 CH1-h, G1m17 (CH1 K120 (209) (113''''-210'), bisagra 1-5 (211''''-215''''')) (113''''-215''''')], Cadena pesada gamma1 anti-APP Abêta(1''-456'') humanizada [VH (*Homo sapiens* IGHV3-23\*04 (92.9%) -(IGHD) -IGHJ4\*01 (93.3%), CDR-IMGT [8.8.19] (26-33.51-58.97-115)) (1''-126'') -*Homo sapiens* IGHG1\*01, G1m17,1, G1v33 CH3 S22, A24, V86 (CH1 K26>E (156), K119>E (222), K120 (223) (127''-224''), bisagra 1-15 (225''-239''), CH2 (240''-349''), CH3 Y5>C (358), D12 (365), L14 (367), T22>S (375), L24>A (377), Y86>V (416) (350''-454''), CHS (455''-456'') (127''-456'')], (229''-215''')-disulfuro con la cadena ligera kappa anti-APP Abêta(1''''-215''''') humanizada [V-KAPPA (*Homo sapiens* IGKV3D-7\*01 (89.6%) -IGKJ1\*01 (100%), CDR-IMGT [7.3.9] (27-33.51-53.90-98)) (1''''-108''''') -*Homo sapiens* IGKC\*01 (100%), Km3 A45.1 (154), V101 (192), E12>R (124), Q13>K (125) (109''''-215''''')]; dímero (235-235'':238-238'':363-358'')-trisdisulfuro, producido en las células ováricas de hámster chino (CHO), forma glicosilada alfa  
 eliminación del amiloide beta



2568868-35-7

Heavy chain / Chaîne lourde / Cadena pesada (anti-APP beta 1-40/42, anti-TFRC)

QVELVESGGG	LVQPGGSLRL	SCAASGFTFS	SYAMSWVRQA	PGKLEWVSA	50
INASGTRTYI	ADSVKGRFTI	SRDNSKNTLY	LQMNSLRAED	TAVYICARGK	100
GNTHKPYGYV	RYFDVWGQGT	LVTVSSASTK	GPSVFLPAPS	SKSTSGGTAA	150
LGCLVEDYFP	EPVTVSWNSG	ALTSVGVHTFP	AVLQSSGLYS	LSSVTVTPSS	200
SLGTQTYICN	VNHKPSNTRK	DEKVEPKSCD	KHTTCCPCPA	PELLGGPSVF	250
LFPFKPKDTL	MISRTPEVTC	VVDVSHEDP	EVKFNWYVDG	VEVHNAKTKP	300
REEQYNSTYR	VVSVLTVLHQ	DWLNKGEYKC	KVSNKALPAP	IEKTIKAKG	350
QPREPQVYTL	PPCRDELTKN	QVSLWCLVRG	FYPSDIAVEAV	ESNGQPENNY	400
KTTFPVLDS	GSFFLVSKLT	VDKSRWQQGN	VFSCSVMHEA	LHNHYTQKSL	450
SLSPGGGGGG	GGSGGGGGGG	GGSQMQESG	PGLVKPSQTL	SLTCTVSGFS	500
LSSYAMSWIR	QHPGKLEWII	GYIWSGGSTD	YASWAKSRVT	ISKSTTVSL	550
KLSSVTAADT	AVVYCARRYG	TSYPDYGDA	GFDPWGGTLL	VTVSSASVAA	600
PSVFIFFPSD	EQLKSGTASV	VCLLNFFYPR	EAKVQMKVDN	ALQSGNSQES	650
VTEQDSKDDT	YSLSSLTLLS	KADYEKHKVY	ACEVTHQGLS	SPVTKSFNRG	700
EC					702

Heavy chain / Chaîne lourde / Cadena pesada (anti-APP A beta 1-40/42)

QVELVESGGG	LVQPGGSLRL	SCAASGFTFS	SYAMSWVRQA	PGKLEWVSA	50
INASGTRTYI	ADSVKGRFTI	SRDNSKNTLY	LQMNSLRAED	TAVYICARGK	100
GNTHKPYGYV	RYFDVWGQGT	LVTVSSASTK	GPSVFLPAPS	SKSTSGGTAA	150
LGCLVEDYFP	EPVTVSWNSG	ALTSVGVHTFP	AVLQSSGLYS	LSSVTVTPSS	200
SLGTQTYICN	VNHKPSNTRK	DEKVEPKSCD	KHTTCCPCPA	PELLGGPSVF	250
LFPFKPKDTL	MISRTPEVTC	VVDVSHEDP	EVKFNWYVDG	VEVHNAKTKP	300
REEQYNSTYR	VVSVLTVLHQ	DWLNKGEYKC	KVSNKALPAP	IEKTIKAKG	350
QPREPQVYTL	PPSRDELTKN	QVSLSCAVKG	FYPSDIAVEAV	ESNGQPENNY	400
KTTFPVLDS	GSFFLVSKLT	VDKSRWQQGN	VFSCSVMHEA	LHNHYTQKSL	450
SLSPFGK					456

Light chain / Chaîne légère / Cadena ligera (kappa, anti-APP Abeta 140/42)

DIVLTQSFAT	LSLSPGERAT	LSCRASQSVS	SSYLAWYQKQ	PGQAPRLLIY	50
GASSRATGVP	ARFSGSGSGT	DFTLTISLSE	PEDFATYCYL	QIYNMPTIFG	100
QGTKVEIKRT	VAAPSVFIFP	PSDRKLKSGT	ASVVCLLNFF	YPREAKVQWK	150
VDNALQSGNS	QESVTEQDSK	DSTYLSLSTL	TLSKADYEEK	KVYACEVTHQ	200
GLSSPVTKSF	NRGEC				215

Light chain / Chaîne légère / Cadena ligera (Vkappa-CH1, anti-TFRC)

AIQLTQSPSS	LSASVGDRTV	ITCRASQSVS	SYLAWYQKQK	GKAPKLLIYR	50
ASTLASGVPS	RFGSGSGGTD	FTLTISSLOP	EDFATYCYCQ	NYASSNVNDT	100
FGGQTKVEIK	SSASTKGPSV	FPLAPSSKST	SGGTAALGCL	VKDYFPEPVT	150
VSMNSGALTS	GVHTFPVAVLQ	SSGLYSLSSV	VTVPSSSLGT	QTYICNVNHK	200
PSNTKVDKVK	EPKSC				215

Post-translational modifications

Disulfide bridges location / Position des ponts disulfure / Posiciones de los puentes disulfuro

Intra-H (C23-C104)	22-96	153-209	270-330	376-434	494-565	622-682
	22"-96"	153"-209"	270"-330"	376"-434"		
Intra-L (C23-C104)	23"-88"	139"-195"				
	23"-89"	135"-195"				
Inter-H-L (h 5-CL 126)	229-215"	229"-215"		(CL126-h 5)		702-215"
Inter-H-H (h 11, h 14)	235-235"	238-238"		(CH3 S10>C- CH3 Y5>C)		363-358"

N-terminal glutaminyl cyclization / Cyclisation du glutaminyle N-terminal / Ciclación del glutaminilo N-terminal

H VH Q1 > pyroglutamyl (pE, 5-oxopropyl): 1, 1"

N-glycosylation sites / Sites de N-glycosylation / Posiciones de N-glicosilación

H VH N57: 52, 52"

Glycosylated / glycosylé / glicosilado

H CH2 N84.4: 306, 306"

Fucosylated complex bi-antennary CHO-type glycans / glycanes de type CHO bi-antennaires

complexes fucosylés / glicanos de tipo CHO biantennarios complejos fucosilados.

C-terminal lysine clipping / Coupeure de la lysine C-terminale / Recorte de lisina C-terminal

H CHS K2: 456"

tulmimetostatum  
tulmimetostat

(2*R*)-7-chloro-2-[*trans*-4-(3-methoxyazetidín-1-yl)cyclohexyl]-2,4-diméthyl-*N*-[[6-méthyl-4-(méthylsulfanyl)-2-oxo-1,2-dihydropyridín-3-yl]méthyl]-2*H*-1,3-benzodioxole-5-carboxamide  
*antineoplastic*

tulmimétostat

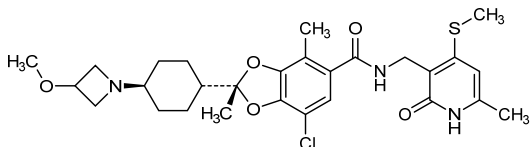
(2*R*)-7-chloro-2-[*trans*-4-(3-méthoxyazétidín-1-yl)cyclohexyl]-2,4-diméthyl-*N*-[[6-méthyl-4-(méthylsulfanyl)-2-oxo-1,2-dihydropyridín-3-yl]méthyl]-2*H*-1,3-benzodioxole-5-carboxamide  
*antineoplasique*

tulmimetostat

(2*R*)-7-cloro-2,4-dimetil-*N*-{[6-metil-4-(metilsulfanil)-2-oxo-1,2-dihidropiridin-3-il]metil}-2-[*trans*-4-(3-metoxiazetidín-1-il)ciclohexil]-2*H*-1,3-benzodioxol-5-carboxamida  
*antineoplásico*

C<sub>28</sub>H<sub>36</sub>ClN<sub>3</sub>O<sub>5</sub>S

2567686-02-4

**ulixacaltamidum**

ulixacaltamide

*N*-({1-[2-(*tert*-butylamino)-2-oxoethyl]piperidin-4-yl)methyl}-3-cloro-5-fluorobenzamide  
*voltage-dependent T-type calcium channel blocker*

ulixacaltamide

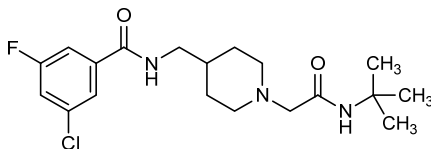
*N*-({1-[2-(*tert*-butylamino)-2-oxoéthyl]pipéridin-4-yl)méthyl}-3-chloro-5-fluorobenzamide  
*bloqueur des canaux calciques dépendants du voltage de type T*

ulixacaltamida

*N*-({1-[2-(*terc*-butilamino)-2-oxoetil]piperidin-4-il}metil)-3-cloro-5-fluorobenzamida  
*bloqueante de los canales cálcicos dependientes del voltaje tipo T*

C<sub>19</sub>H<sub>27</sub>ClFN<sub>3</sub>O<sub>2</sub>

1199236-64-0

**utatrectinibum**

utatrectinib

*N*-[(1*S*)-1-(5-fluoropyrimidin-2-yl)ethyl]-3-{5-[(propan-2-yl)oxy]-1*H*-pirazol-3-yl}-3*H*-imidazo[4,5-*b*]piridin-5-amina  
*tyrosine kinase inhibitor, anti-inflammatory*

utatrectinib

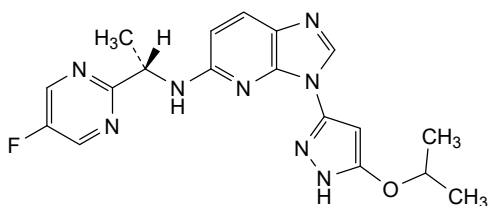
*N*-[(1*S*)-1-(5-fluoropyrimidin-2-yl)éthyl]-3-{5-[(propan-2-yl)oxy]-1*H*-pirazol-3-yl}-3*H*-imidazo[4,5-*b*]piridin-5-amina  
*inhibiteur de la tyrosine kinase, anti-inflammatoire*

utatrectinib

*N*-[(1*S*)-1-(5-fluoropirimidin-2-il)etil]-3-{5-[(propan-2-il)oxi]-1*H*-pirazol-3-il}-3*H*-imidazo[4,5-*b*]piridin-5-amina  
*inhibidor de la tirosina kinasa, antiinflamatorio*

C<sub>18</sub>H<sub>19</sub>FN<sub>6</sub>O

1079274-94-4



**utreglutidum**  
utreglutide

N<sup>6,20</sup>-[(16S)-16,34-dicarboxy-11,11-diméthyl-10,13,18-trioxa-3,6-dioxa-9,12,17-triazatétratriacontan-1-oyl]-[Ala<sup>8</sup>>Aib<sup>2</sup>, Lys<sup>34</sup>>Arg<sup>26</sup>]-glucagon-like peptide 1 (GLP-1, human) (7-37)-peptidyl-L-leucine; L-histidyl-2-méthylalanil-L-α-glutamylglycyl-L-thréonil-L-phénylalanil-L-thréonil-L-séryl-L-α-aspartyl-L-valyl-L-séryl-L-séryl-L-tyrosyl-L-leucyl-L-α-glutamylglycyl-L-glutaminy-L-alanyl-L-alanyl-N<sup>6</sup>-{N-(17-carboxyheptadécanoyl)-L-γ-glutamyl-2-méthylalanil-2-[2-(2-aminoéthoxy)éthoxy]acétyl}-L-lysyl-L-α-glutamyl-L-phénylalanil-L-isoleucyl-L-alanyl-L-tryptophyl-L-leucyl-L-valyl-L-arginylglycyl-L-arginylglycyl-L-leucine *glucagon-like peptide 1 (GLP-1) receptor agonist*

utréglutide

N<sup>6,20</sup>-[(16S)-16,34-dicarboxy-11,11-diméthyl-10,13,18-trioxa-3,6-dioxa-9,12,17-triazatétratriacontan-1-oyl]-[Ala<sup>8</sup>>Aib<sup>2</sup>, Lys<sup>34</sup>>Arg<sup>26</sup>]-peptide 1 semblable au glucagon (GLP-1, humain) (7-37)-peptidyl-L-leucine; L-histidil-2-méthylalanil-L-α-glutamylglycyl-L-thréonil-L-phénylalanil-L-thréonil-L-séryl-L-α-aspartyl-L-valyl-L-séryl-L-séryl-L-tyrosyl-L-leucyl-L-α-glutamylglycyl-L-glutaminy-L-alanyl-L-alanyl-N<sup>6</sup>-{N-(17-carboxyheptadécanoyl)-L-γ-glutamyl-2-méthylalanil-2-[2-(2-aminoéthoxy)éthoxy]acétyl}-L-lysyl-L-α-glutamyl-L-phénylalanil-L-isoleucyl-L-alanyl-L-tryptophyl-L-leucyl-L-valyl-L-arginylglycyl-L-arginylglycyl-L-leucine *agoniste du récepteur au peptide-1 d'action type glucagon (GLP-1)*

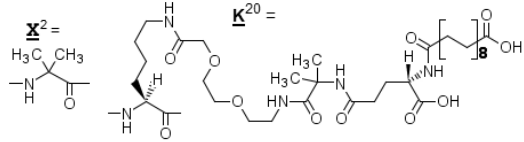
utreglutida

N<sup>6,20</sup>-[(16S)-16,34-dicarboxi-11,11-dimetil-10,13,18-trioxa-3,6-dioxa-9,12,17-triazatétratriacontan-1-oi]-[Ala<sup>8</sup>>Aib<sup>2</sup>, Lis<sup>34</sup>>Arg<sup>26</sup>]-péptido 1 semejante al glucagón (GLP-1, humano) (7-37)-peptidil-L-leucina; L-histidil-L-metilalanil-L-α-glutamilglicil-L-treonil-L-fenilalanil-L-treonil-L-seril-L-α-aspartil-L-valil-L-seril-L-seril-L-tirosil-L-leucil-L-α-glutamilglicil-L-glutaminil-L-alanil-L-alanil-N<sup>6</sup>-{N-(17-carboxiheptadecanoil)-L-γ-glutamil-2-metilalanil-2-[2-(2-aminoetoxi)etoxi]acetil}-L-lisil-L-α-glutamil-L-fenilalanil-L-isoleucil-L-alanil-L-triptofil-L-leucil-L-valil-L-arginilglicil-L-arginilglicil-L-leucina *agonista del receptor del péptido similar al glucagón (GLP-1)*

C<sub>191</sub>H<sub>298</sub>N<sub>46</sub>O<sub>58</sub>

2460862-12-6

Sequence / Séquence / Secuencia:

H~~X~~E~~G~~T~~F~~T~~S~~D~~V~~ S~~S~~Y~~L~~E~~G~~Q~~A~~A~~K~~ E~~F~~I~~A~~W~~L~~V~~R~~G~~R~~ G~~L~~ 32**valiltramiprosatum**

valiltramiprosate

3-[(2*S*)-2-amino-3-methylbutanamido]propane-1-sulfonic acid*inhibitor of amyloid beta formation*

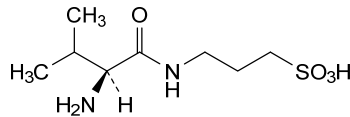
valiltramiprosate

acide 3-[(2*S*)-2-amino-3-méthylbutanamido]propane-1-sulfonique*inhibiteur de la formation d'amyloïde bêta*

valiltramiprosato

ácido 3-[(2*S*)-2-amino-3-metilbutanamido]propano-1-sulfónico*inhibidor de la formación de amiloide beta*C<sub>8</sub>H<sub>16</sub>N<sub>2</sub>O<sub>4</sub>S

1034190-08-3

**vanzacaftorum**

vanzacaftor

(1<sup>3</sup>*S*)-2<sup>6</sup>-{3-[2-(dispiro[2.0.2.1]heptan-7-yl)ethoxy]-1*H*-pyrazol-1-yl]-1<sup>5</sup>,1<sup>5</sup>-dimethyl-5λ<sup>6</sup>-thia-4,7-diaza-2(2,3),6(2,6)-dipyridina-1(1,3)-pyrrolidinacyclododecaphane-3,5,5-trione  
*cystic fibrosis transmembrane regulator (CFTR) protein modulator*

vanzacaftor

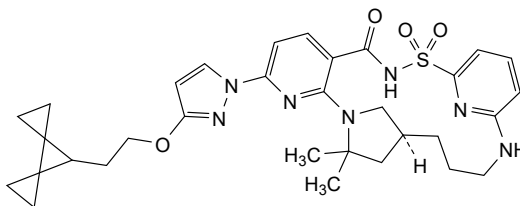
(1<sup>3</sup>*S*)-2<sup>6</sup>-{3-[2-(dispiro[2.0.2.1]heptan-7-yl)éthoxy]-1*H*-pyrazol-1-il]-1<sup>5</sup>,1<sup>5</sup>-diméthyl-5λ<sup>6</sup>-thia-4,7-diaza-2(2,3),6(2,6)-dipyridina-1(1,3)-pyrrolidinacyclodécaphane-3,5,5-trione  
*modulateur de la protéine régulatrice de la perméabilité transmembranaire impliquée dans la mucoviscidose (CFTR)*

vanzacaftor

(1<sup>3</sup>*S*)-2<sup>6</sup>-{3-[2-(dispiro[2.0.2.1]heptan-7-il)etoxi]-1*H*-pirazol-1-il]-1<sup>5</sup>,1<sup>5</sup>-dimetil-5λ<sup>6</sup>-tia-4,7-diaza-2(2,3),6(2,6)-dipiridina-1(1,3)-pirrolidinaciclododecafano-3,5,5-triona  
*modulador de la proteína reguladora de la conductancia transmembrana de la fibrosis quística (CFTR)*

C<sub>32</sub>H<sub>39</sub>N<sub>7</sub>O<sub>4</sub>S

2374124-49-7

**vicasinabinum**

vicasinabin

(3*S*)-1-[5-*tert*-butyl-3-[(1-methyl-1*H*-tetrazol-5-yl)methyl]-3*H*-[1,2,3]triazolo[4,5-*d*]pyrimidin-7-yl]pyrrolidin-3-ol  
*cannabinoid 2 (CB2) receptor agonist*

vicasinabine

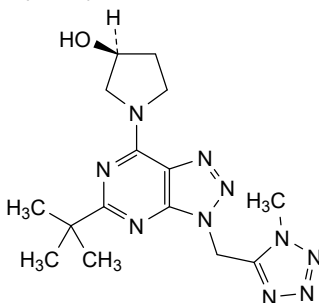
(3*S*)-1-[5-*tert*-butyl-3-[(1-méthyl-1*H*-tétrazol-5-yl)méthyl]-3*H*-[1,2,3]triazolo[4,5-*d*]pyrimidin-7-yl]pyrrolidin-3-ol  
*agoniste des récepteurs 2 aux cannabinoïdes (CB2)*

vicasinabina

(3*S*)-1-[5-*terc*-butil-3-[(1-metil-1*H*-tetrazol-5-il)metil]-3*H*-[1,2,3]triazolo[4,5-*d*]pirimidin-7-il]pirrolidin-3-ol  
*agonista del receptor 2 de cannabinoïdes (CB2)*

C<sub>15</sub>H<sub>22</sub>N<sub>10</sub>O

1433361-02-4

**visugromabum #**

visugromab

immunoglobulin G4-kappa, anti-[*Homo sapiens* GDF15 (growth differentiation factor 15, PLAB, MIC-1, PDF, MIC1, NAG-1, PTGFB)], monoclonal antibody;  
gamma4 heavy chain (1-444) [VH (*Homo sapiens* IGHV2-5\*02 (92.9%) -(IGHD) -IGHJ4\*01 (100%), CDR-IMGT [10.7.10] (26-35.53-59.98-107)) (1-118)-*Homo sapiens* IGHG4\*01, G4v5 h P10 (CH1 (119-216), hinge 1-12 S10>P (226) (217-228), CH2 (229-338), CH3 (339-443), CHS K2>del (444)) (119-444)], (201-214')-disulfide with kappa light chain (1'-214') [V-KAPPA Musmus/Homsap (*Mus musculus* IGKV6-15\*01 (82.1%) -IGKJ2\*01 (100%)/*Homo sapiens* IGKV1-9\*01 (76.8%) -IGKJ2\*01 (91.7%) Q120>G (100), CDR-IMGT [6.3.9] (27-32.50-52.89-97)) (1'-107') -*Homo sapiens* IGKC\*01 (100%), Km3 A45.1 (153), V101 (191) (108'-214')]; dimer (224-224''-227-227'')-bisdisulfide, produced in Chinese hamster ovary (CHO) cells, cell line CHO-K1SV lacking the glutamine synthetase (GS-KO) gene, glycoform alfa  
*immunomodulator, antineoplastic*

visugromab immunoglobuline G4-kappa, anti-[*Homo sapiens* GDF15 (facteur 15 de croissance et de différenciation, PLAB, MIC-1, PDF, MIC1, NAG-1, PTGFB)], anticorps monoclonal; chaîne lourde gamma4 (1-444) [VH (*Homo sapiens* IGHV2-5\*02 (92.9%) -(IGHD)-IGHJ4\*01 (100%), CDR-IMGT [10.7.10] (26-35.53-59.98-107)) (1-118)-*Homo sapiens* IGHG4\*01, G4v5 h P10 (CH1 (119-216), charnière 1-12 S10>P (226) (217-228), CH2 (229-338), CH3 (339-443), CHS K2>del (444)) (119-444)], (201-214')-disulfure avec la chaîne légère kappa (1'-214') [V-KAPPA Musmus/Homsap (*Mus musculus* IGKV6-15\*01 (82.1%) -IGKJ2\*01 (100%)/*Homo sapiens* IGKV1-9\*01 (76.8%) -IGKJ2\*01 (91.7%) Q120>G (100), CDR-IMGT [6.3.9] (27-32.50-52.89-97)) (1'-107') -*Homo sapiens* IGKC\*01 (100%), Km3 A45.1 (153), V101 (191) (108'-214')]; dimère (224-224'':227-227'')-bisdisulfure, produit dans des cellules ovariennes de hamster chinois (CHO), lignée cellulaire CHO-K1SV ne présentant pas le gène de la glutamine synthétase (GS-KO), glycoforme alfa *immunomodulateur, antinéoplasique*

visugromab inmunoglobulina G4-kappa, anti-[*Homo sapiens* GDF15 (factor 15 de crecimiento y de diferenciación, PLAB, MIC-1, PDF, MIC1, NAG-1, PTGFB)], anticuerpo monoclonal; cadena pesada gamma4 (1-444) [VH (*Homo sapiens* IGHV2-5\*02 (92.9%) -(IGHD)-IGHJ4\*01 (100%), CDR-IMGT [10.7.10] (26-35.53-59.98-107)) (1-118)-*Homo sapiens* IGHG4\*01, G4v5 h P10 (CH1 (119-216), bisagra 1-12 S10>P (226) (217-228), CH2 (229-338), CH3 (339-443), CHS K2>del (444)) (119-444)], (201-214')-disulfuro con la cadena ligera kappa (1'-214') [V-KAPPA Musmus/Homsap (*Mus musculus* IGKV6-15\*01 (82.1%) -IGKJ2\*01 (100%)/*Homo sapiens* IGKV1-9\*01 (76.8%) -IGKJ2\*01 (91.7%) Q120>G (100), CDR-IMGT [6.3.9] (27-32.50-52.89-97)) (1'-107') -*Homo sapiens* IGKC\*01 (100%), Km3 A45.1 (153), V101 (191) (108'-214')]; dímero (224-224'':227-227'')-bisdisulfuro, producido en las células ováricas de hámster chino (CHO), línea celular CHO-K1SV en ausencia del gen glutamina sintetasa (GS-KO), forma glicosilada alfa *inmunomodulador, antineoplásico*

2556646-63-8

## Heavy chain / Chaîne lourde / Cadena pesada

QITLKEGSGPT LVKPTQLTL TCTFSGFSLG TSGMGVSWIR QPPGKLEWL 50  
 AHIIYDDDKR YNPTLKSRLT ITKDFSKNQV VLTMTNNDPV DTATYYCAR 100  
 SYGAMDYWGQ GTLVTVSSAS TKGFSVFFLA PCSRSTSEST AALGCLVKDY 150  
 FPEFVTVSWN SGALTSVGHV FFAVLQSSGL YSLSSVVTPV SSSLGKTYT 200  
 CNVDHFKPNT KVDKRVESKY GPPCFPCFAP EFLGGFSVFL FPKPKDTLM 250  
 ISRTPEVTCV VVDVSDQEDPE VQFNWYVDGV EVHNAKTKFR EEQFNSTYRV 300  
 VSVLTVLHQD WLNKREYKCK VSNKGLPSSI ERTISKARGQ PREPQVYTLF 350  
 PSQEEMTKNQ VSLTCLVKGF YPSDIAVEWE SNGQPENNYK TTPPVLDSGD 400  
 SFFLYSRITV DKSRWQEGNV FSCVMHEAL HNHYTQRSLG LSLG 444

## Light chain / Chaîne légère / Cadena ligera

DIVLTQSPSF LSASVGDVVT ITCKASQNVG TNVAVFQKQP GKSPKALIYS 50  
 ASYRYSQVDP RFTGSGSGTE FTLTISLQPE EDFAAAYFCQQ YNFPYTFGG 100  
 GTKLEIKRTV AAPSFIFFPP SDEQLKSGTA SVVCLLNFFY PREAKVQWKV 150  
 DNALQSGNSQ ESVTEQDSKD STYLSSTLT LSKADYEHKK VYACEVTHQG 200  
 LSSPVTKSFN RGEC 214

## Post-translational modifications

## Disulfide bridges location / Position des ponts disulfure / Posiciones de los puentes disulfuro

Intra-H (C23-C104) 22-97 145-201 259-319 365-423  
 22"-97" 145"-201" 259"-319" 365"-423"

Intra-L (C23-C104) 23'-88" 134'-194"  
 23"-88" 134"-194"

Inter-H-L (CH1 10-CL 126) 132-214' 132"-214"

Inter-H-H (h 8, h 11) 224-224" 227-227"

## N-terminal glutaminyl cyclization / Cyclisation du glutaminyle N-terminal / Ciclación del glutamínilo N-terminal

H VHQ1 > pyroglutamyI (pE, 5-oxopropyl): 1, 1"

## N-glycosylation sites / Sites de N-glycosylation / Posiciones de N-glicosilación

H CH2 N84.4:295,295"

Fucosylated complex bi-antennary CHO-type glycans / glycanes de type CHO bi-antennaires complexes fucosylés / glicanos de tipo CHO biantenarijos complejos fucosilados.

**vobramitamabum #**

vobramitamab

immunoglobulin G1-kappa, anti-[*Homo sapiens* CD276 (B7H3, B7-H3, B7-related protein 2, B7RP2, B7RP-2, B7 homolog 3, B7 homologue 3)], humanized monoclonal antibody;  
 gamma1 heavy chain humanized (1-447) [VH (*Homo sapiens*IGHV3-7\*01 (89.8%) -(IGHD) -IGHJ6\*01 (92.9%), CDR-IMGT [8.8.10] (26-33.51-58.97-106))] (1-117) -*Homo sapiens*IGHG1\*03 (100%), G1m3, nG1m1 (CH1 R120 (214) (118-215), hinge 1-15 (216-230), CH2 (231-340), CH3 E12 (356), M14 (358) (341-445), CHS (446-447)) (118-447)], (220-215')-disulfide with kappa light chain humanized (1'-215') [V-KAPPA (*Homo sapiens*IGKV1-39\*01 (86.3%) -IGKJ5\*01 (100%), CDR-IMGT [6.3.10] (27-32.50-52.89-98))] (1'-108') -*Homo sapiens*IGKC\*01 (100%), Km3 A45.1 (154), V101 (192) (109'-215'); dimer (226-226":229-229")-bisdisulfide, produced in Chinese hamster ovary (CHO) cells, cell line CHO-S, glycoform alfa  
*immunomodulator, antineoplastic*

vobramitamab

immunoglobuline G1-kappa, anti-[*Homo sapiens* CD276 (B7H3, B7-H3, protéine 2 liée à B7, B7RP2, B7RP-2, B7 homolog 3, B7 homologue 3)], anticorps monoclonal humanisé;  
 chaîne lourde gamma1 humanisée (1-447) [VH (*Homo sapiens*IGHV3-7\*01 (89.8%) -(IGHD) -IGHJ6\*01 (92.9%), CDR-IMGT [8.8.10] (26-33.51-58.97-106))] (1-117) -*Homo sapiens*IGHG1\*03 (100%), G1m3, nG1m1 (CH1 R120 (214) (118-215), charnière 1-15 (216-230), CH2 (231-340), CH3 E12 (356), M14 (358) (341-445), CHS (446-447)) (118-447)], (220-215')-disulfure avec la chaîne légère kappa humanisée (1'-215') [V-KAPPA (*Homo sapiens*IGKV1-39\*01 (86.3%) -IGKJ5\*01 (100%), CDR-IMGT [6.3.10] (27-32.50-52.89-98))] (1'-108') -*Homo sapiens*IGKC\*01 (100%), Km3 A45.1 (154), V101 (192) (109'-215'); dimère (226-226":229-229")-bisdisulfure, produit dans des cellules ovariennes de hamster chinois (CHO), lignée cellulaire CHO-S, glycoforme alfa  
*immunomodulateur, antinéoplasique*

vobramitamab

inmunoglobulina G1-kappa, anti-[*Homo sapiens* CD276 (B7H3, B7-H3, proteína 2 de unión al B7, B7RP2, B7RP-2, B7 homólogo 3, B7 homólogo 3)], anticuerpo monoclonal humanizado;  
 cadena pesada gamma1 humanizada (1-447) [VH (*Homo sapiens*IGHV3-7\*01 (89.8%) -(IGHD) -IGHJ6\*01 (92.9%), CDR-IMGT [8.8.10] (26-33.51-58.97-106))] (1-117) -*Homo sapiens*IGHG1\*03 (100%), G1m3, nG1m1 (CH1 R120 (214) (118-215), bisagra 1-15 (216-230), CH2 (231-340), CH3 E12 (356), M14 (358) (341-445), CHS (446-447)) (118-447)], (220-215')-disulfuro con la cadena ligera kappa humanizada (1'-215') [V-KAPPA (*Homo sapiens*IGKV1-39\*01 (86.3%) -IGKJ5\*01 (100%), CDR-IMGT [6.3.10] (27-32.50-52.89-98))] (1'-108') -*Homo sapiens*IGKC\*01 (100%), Km3 A45.1 (154), V101 (192) (109'-215'); dímero (226-226":229-229")-bisdisulfuro, producido en las células ováricas de hámster chino (CHO), línea celular CHO-S, forma glicosilada alfa  
*immunomodulador, antineoplásico*

2490556-50-6

## Heavy chain / Chaîne lourde / Cadena pesada

EVQLVESGGG LVKPGGSLRL SCAASGTFES SYGMSWRQRA PGKGLEWVAT 50  
 INSGGSNTYY PDSLKGRFTI SRDNAKNSLY LQMNSLRAED TAVYYCARHD 100  
 GGANDYWGQG TTVTVSSAST KGPSVFPLAP SKSTSGGTA ALGCLVKDYF 150  
 PEPVTVSWSN GALTSGVHTF PAVLQSSGLY SLSSVTVFVS SSGTQTYIC 200  
 NVNHKPSNTR VDKRVEPKSC DKHTCPFCP APELLGGSV FLFPPKPRDT 250  
 LMI SRTPEVT CVVVDVSHED PEVKFNWYVD GVEVHNAKTK PREQYNSTY 300  
 RVVSVLTVLH QDWLNGKEYK CKVSNKALPA PIEKTIKAK GQPREPQVYT 350  
 LFPREEMTK NQVSLTCLVK GFYPSDIAVE WESNGQPENN YKTTPEVLDS 400  
 DGSFFLYSKL TVDKSRWQQG NWFSCSVMEH ALHNHYTQRS LSLSPGK 447

## Light chain / Chaîne légère / Cadena ligera

DIQMTQSPSS LSASVGDRTV ITCRASESIY SYLAWYQQKPK GKAPKLLVYN 50  
 TKTLPEGVPS RFGSGSGSDT FTLTISLQEP EDFATYYCQH HYGTPPWTFG 100  
 QGTRLEIKRT VAAPSFTFP PSDEQLKSGT ASVVCLLNLF YPREAKVQWK 150  
 VDNALQSGNS QESVTEQDSK DSTYLSSTL TLSKADYERH KVAACEVTHQ 200  
 GLSSPVTKSF NRGEC 215

## Post-translational modifications

Disulfide bridges location / Position des ponts disulfure / Posiciones de los puentes disulfuro

Intra-H (C23-C104) 22-96 144-200 261-321 367-425  
 22"-96" 144"-200" 261"-321" 367"-425"

Intra-L (C23-C104) 23"-88" 135"-195"  
 23"-88" 135"-195"

Inter-H-L (h 5-CL 126) 220-215" 220"-215"

Inter-H-H (h 11, h 14) 226-226" 229-229"

N-glycosylation sites / Sites de N-glycosylation / Posiciones de N-glicosilación

HCH2 N84.4; 297, 297"

Fucosylated complex bi-antennary CHO-type glycans / glycanes de type CHO bi-antennaires complexes fucosylés / glicanos de tipo CHO biantennarios complejos fucosilados.

C-terminal lysine clipping / Coupure de la lysine C-terminale / Recorte de lisina C-terminal  
 HCHS K2: 447, 447"

**vobramitamabum duocarmazinum #**  
 vobramitamab duocarmazine

immunoglobulin G1-kappa, anti-[*Homo sapiens* CD276 (B7H3, B7-H3, B7-related protein 2, B7RP2, B7RP-2, B7 homolog 3, B7 homologue 3)], humanized monoclonal antibody, conjugated to the pro-drug seco-duocarmycin-*p*-hydroxybenzamide-azaindole (seco-DUBA) via a linker;  
 gamma1 heavy chain humanized (1-447) [VH (*Homo sapiens*IGHV3-7\*01 (89.8%) -(IGHD) -IGHJ6\*01 (92.9%), CDR-IMGT [8.8.10] (26-33.51-58.97-106))] (1-117) -*Homo sapiens* IGHG1\*03 (100%), G1m3, nG1m1 (CH1 R120 (214) (118-215), hinge 1-15 (216-230), CH2 (231-340), CH3 E12 (356), M14 (358) (341-445), CHS (446-447)) (118-447)], (220-215')-disulfide with kappa light chain humanized (1'-215') [V-KAPPA (*Homo sapiens* IGKV1-39\*01 (86.3%) -IGKJ5\*01 (100%), CDR-IMGT [6.3.10] (27-32.50-52.89-98))] (1'-108') -*Homo sapiens* IGKC\*01 (100%), Km3 A45.1 (154), V101 (192) (109'-215')]; dimer (226-226":229-229")-bisdisulfide, produced in Chinese hamster ovary (CHO) cells, cell line CHO-S, glycoform alfa, conjugated on an average of 2.7 cysteines, to seco-DUBA via the cleavable linker N-[2-(2-maleimidoethoxy)ethoxy-carbonyl]-L-valyl-L-citrullyl-*p*-aminobenzyloxycarbonyl-N-[2-(2-hydroxyethoxy)ethyl]-N-[2-(methylamino)ethyl]carbomoyl

For the duocarmazine part, please refer to the Proposed INN List 115, published in the WHO Drug Information, Vol.30, No.2, 2016.

*immunomodulator, antineoplastic*

vobramitamab duocarmazine

immunoglobuline G1-kappa, anti-[*Homo* CD276 (B7H3, B7-H3, protéine 2 liée à B7, B7RP2, B7RP-2, B7 homolog 3, B7 homologue 3)], anticorps monoclonal humanisé, conjugué à la pro-drogue seco-duocarmycine-*p*-hydroxybenzamide-azaindole (séco-DUBA) via un linker;



chaîne lourde gamma1 humanisée (1-447) [VH (*Homo sapiens* IGHV3-7\*01 (89.8%) -(IGHD) -IGHJ6\*01 (92.9%), CDR-IMGT [8.8.10] (26-33.51-58.97-106)) (1-117) -*Homo sapiens* IGHG1\*03 (100%), G1m3, nG1m1 (CH1 R120 (214) (118-215), charnière 1-15 (216-230), CH2 (231-340), CH3 E12 (356), M14 (358) (341-445), CHS (446-447)) (118-447)], (220-215')-disulfure avec la chaîne légère kappa humanisée (1'-215') [V-KAPPA (*Homo sapiens* IGKV1-39\*01 (86.3%) -IGKJ5\*01 (100%), CDR-IMGT [6.3.10] (27-32.50-52.89-98)) (1'-108') -*Homo sapiens* IGKC\*01 (100%), Km3 A45.1 (154), V101 (192) (109'-215')]; dimère (226-226":229-229")-bisdisulfure, produit dans des cellules ovariennes de hamster chinois (CHO), lignée cellulaire CHO-S, glycoforme alfa, conjugué sur une moyenne de 2,7 cystéines au séco-DUBA via le linker clivable N-[2-(2-maléimidoéthoxy)éthoxy-carbonyl]-L-valyl-L-citrullyl-p-aminobenzoyloxycarbonyl-N-[2-(2-hydroxyéthoxy)éthyl]-N-[2-(méthylamino)éthyl]carbamoyle  
 Pour la partie duocarmazine, veuillez-vous référer à la Liste 115 des DCI proposées, publiée dans le WHO Drug Information, Vol.30, No.2, 2016.  
**immunomodulateur, antinéoplasique**

vobramitamab duocarmazina

inmunoglobulina G1-kappa, anti-[*Homo* CD276 (B7H3, B7-H3, proteína 2 de unión con B7, B7RP2, B7RP-2, B7 homólogo 3, B7 homólogo 3)], anticuerpo monoclonal humanizado, conjugado con el profármaco seco-duocarmicina-p-hidroxibenzamida-azaindol (seco-DUBA) a través de un enlace;  
 cadena pesada gamma1 humanizada (1-447) [VH (*Homo sapiens* IGHV3-7\*01 (89.8%) -(IGHD) -IGHJ6\*01 (92.9%), CDR-IMGT [8.8.10] (26-33.51-58.97-106)) (1-117) -*Homo sapiens* IGHG1\*03 (100%), G1m3, nG1m1 (CH1 R120 (214) (118-215), bisagra 1-15 (216-230), CH2 (231-340), CH3 E12 (356), M14 (358) (341-445), CHS (446-447)) (118-447)], (220-215')-disulfuro con la cadena ligera kappa humanizada (1'-215') [V-KAPPA (*Homo sapiens* IGKV1-39\*01 (86.3%) -IGKJ5\*01 (100%), CDR-IMGT [6.3.10] (27-32.50-52.89-98)) (1'-108') -*Homo sapiens* IGKC\*01 (100%), Km3 A45.1 (154), V101 (192) (109'-215')]; dímero (226-226":229-229")-bisdisulfuro, producido en las células ováricas de hámster chino (CHO), línea celular CHO-S, forma glicosilada alfa, conjugado en 2.7 cisteínas, por término medio, con seco-DUBA mediante el enlace escindible N-[2-(2-maleimidoetoxi)etoxicarbonil]-L-valil-L-citrullil-p-aminobenciloxicarbonil-N-[2-(2-hidroxi)etil]-N-[2-(metilamino)etil]carbamoilo  
 Para la parte duocarmazina, por favor vaya a la Lista 115 de los DCI propuestas, publicada en el WHO Drug Information, Vol.30, No.2, 2016.  
**immunomodulador, antineoplásico**

2490556-51-7

Heavy chain / Chaîne lourde / Cadena pesada

EVQLVESGGG	LVKPGGSLRL	SCAASGFTFS	SYGMSWVRQA	PGKGLEWVAT	50
INSGGSNTYY	PDSLKGRFTI	SRDNAKNSLY	LQMSNLRAED	TAVYYCARHD	100
GGAMDYWGQG	TTVTVSSAST	KGPSVFPLAP	SKSTSGGTA	ALGCLVKDYF	150
PEPVTYSWNS	GALTSGVHTF	PAVLQSSGLY	SLSSVVTVPS	SSLGTQTYIC	200
NVNHKPSNTR	VDKRVEPKSC	DKTHTCPPCP	APPELLGGPSV	FLFPPKPKDT	250
LMISRTPEVTV	CVVVDVSHED	FEVKFNWYVD	GVEVHNAKTK	PREEQYNSTY	300
RVVSVLTVLH	QDWLNGKEYK	CKVSNKALPA	FIKTIISKAK	GQPRPQVYT	350
LPPSREEMTK	NQVSLTCLVK	GFYPSDIAVE	WESNGQFENN	YKTPFPVLDS	400
DGSFFLYSKL	TVDKSRWQQG	NVFSCSVMHE	ALHNHYTQKS	LSSLSPGK	447

Light chain / Chaîne légère / Cadena ligera

DIQMTQSPSS	LSASVGRDRT	ITCRASESIY	SYLAWYQQK	PKAPKLLVYN	50
TKTLPEGVPS	RFGSGSGSDT	FTLTISSLQP	EDFATYYCQH	HYGTPPWFPG	100
QGTRLEIKRT	VAAAPSDFIFP	PSDEQLKSGT	ASVVCLLNFF	YPREAKVQWK	150
VDNALQSGNS	QESVTEQDSK	DSTYLSSTL	TLSKADYEK	KVYACEVTHQ	200
GLSSPVTKSF	NRGEC				215

**Post-translational modifications**

Disulfide bridges location / Position des ponts disulfure / Posiciones de los puentes disulfuro

Intra-H (C23-C104) 22-96 144-200 261-321 367-425  
 22"-96" 144"-200" 261"-321" 367"-425"

Intra-L (C23-C104) 23"-88" 135"-195"  
 23"-88" 135"-195"

Inter-H-L\* (h 5-CL 126) 220-215" 220"-215"

Inter-H-H\* (h 11, h 14) 226-226" 229-229"

\*At least two of the four inter-chain disulfide bridges are not present, an average of 2.7 cysteinyl being conjugated each via a thioether bond to a drug linker.

\*Au moins deux des quatre ponts disulfures inter-chaînes ne sont pas présents, 2,7 cystéinyl en moyenne étant chacun conjugué via une liaison thioéther à un linker-principe actif.

\*Al menos dos de los cuatro puentes disulfuro inter-catenarios no estan presentes, una media de 2.7 cisteinil está conjugada a conectores de principio activo.

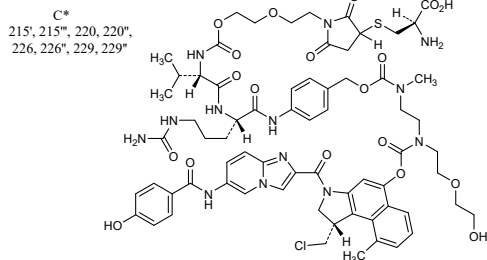
N-glycosylation sites / Sites de N-glycosylation / Posiciones de N-glicosilación

H CH2 N84.4: 297, 297"

Fucosylated complex bi-antennary CHO-type glycans / glycanes de type CHO bi-antennaires complexes fucosylés / glicanos de tipo CHO biantennarios complejos fucosilados.

C-terminal lysine clipping / Coupure de la lysine C-terminale / Recorte de lisina C-terminal

H CHS K2: 447, 447"



**volamcabtagenum durzigedleucelum**  
 volamcabtogene durzigedleuceel

allogeneic T cells obtained from peripheral blood by leukapheresis, genetically modified by CRISPR/Cas9 (clustered regularly interspaced short palindromic repeats/CRISPR-associated protein 9) mediated gene editing consisting of three guide RNAs (gRNAs) introduced transiently as Cas9-gRNA ribonucleoprotein (RNP) complex for the targeted disruption of the T cell receptor alpha chain constant (TRAC),  $\beta_2$  microglobulin (B2M) and the cluster of differentiation 70 (CD70) loci and insertion of an anti-CD70 chimeric antigen receptor (CAR) transgene into the TRAC locus via an adeno-associated virus serotype 6 (AAV6) vector. The CAR is composed of a signal peptide sequence from human CD8a, an anti-CD70 single-chain variable fragment (scFv) derived from anti-CD70 hybridoma 1F6, a CD8 hinge and transmembrane domain, and the 4-1BB and CD3 $\zeta$  co-stimulatory domains. Expression of the CAR is driven

	<p>by the elongation factor 1 alpha (EF-1<math>\alpha</math>) promoter and is terminated by a synthetic polyadenylation (polyA) sequence. The anti-CD70 CAR expression cassette is flanked by two TRAC homology arms guiding the expression cassette to the TRAC locus.</p> <p>The leukopheresis material is enriched for T cells using CD4/CD8 selection and activated with anti-CD3/CD28 antibody-coated beads. T cells are cultured in the presence of growth media containing human serum, interleukin 2 (IL-2) and 7 (IL-7). The final T cells are <math>\geq 30\%</math> CAR+ T cells, <math>\leq 0.4\%</math> TCR+, <math>\leq 2\%</math> CD70+, and <math>\leq 30\%</math> B2M+ and secrete interferon gamma (IFN<math>\gamma</math>) and IL-2 when co-cultured with CD70 expressing cells.</p> <p><i>cell-based gene therapy (antineoplastic)</i></p>
volamcabtagène durzigidleucel	<p>lymphocytes T allogéniques obtenus à partir de sang périphérique par leucaphérèse, génétiquement modifiés par édition génique médiée par CRISPR/Cas9 (courtes répétitions palindromiques groupées et régulièrement espacées / protéine 9 associée à CRISPR) consistant en trois ARN guides (ARNg) introduits de manière transitoire sous forme de complexe ribonucléoprotéique (RNP) Cas9-ARNg pour la rupture ciblée des loci de la partie constante de la chaîne alpha du récepteur des lymphocytes T (TRAC), de la <math>\beta_2</math> microglobuline (B2M) et le cluster de différenciation 70 (CD70), et l'insertion d'un transgène du récepteur antigénique chimérique (CAR) anti-CD70 dans le locus TRAC via un vecteur du virus adéno-associé de sérotype 6 (AAV6). Le CAR est composé d'une séquence peptidique signal provenant du CD8a humain, d'un fragment variable à chaîne unique (scFv) anti-CD70 dérivé de l'hybridome 1F6 anti-CD70, d'un domaine transmembranaire et charnière CD8, ainsi que les domaines costimulateurs 4-1BB et CD3<math>\zeta</math>. L'expression du CAR est dirigée par le promoteur du facteur d'élongation 1 alpha (EF-1<math>\alpha</math>) et est terminée par une séquence synthétique de polyadénylation (polyA). La cassette d'expression du CAR anti-CD70 est flanquée de deux bras d'homologie TRAC guidant la cassette d'expression vers le locus TRAC.</p> <p>Le matériel de leucophérèse est enrichi en lymphocytes T par sélection CD4/CD8 et activé par des billes recouvertes d'anticorps anti-CD3/CD28. Les lymphocytes T sont cultivés en présence de milieu de croissance contenant du sérum humain, de l'interleukine 2 (IL-2) et 7 (IL-7). Les lymphocytes T finaux sont <math>\geq 30\%</math> de lymphocytes T CAR+, <math>\leq 0,4\%</math> de TCR+, <math>\leq 2\%</math> de CD70+ et <math>\leq 30\%</math> de B2M+ et sécrètent de l'interféron gamma (IFN<math>\gamma</math>) et de l'IL-2 lorsqu'ils sont co-cultivés avec des cellules exprimant CD70.</p> <p><i>thérapie génique à base de cellules (antinéoplasique)</i></p>
volamcabtagén durzigidleucel	<p>linfocitos T alogénicos obtenidos de sangre periférica por leucoaféresis, modificados genéticamente mediante edición génica mediada por CRISPR/Cas9 (repeticiones palindrómicas cortas agrupadas y espaciadas regularmente / proteína asociada a CRISPR 9)</p>

consistente en tres RNAs guía (sgRNA) introducidos transitoriamente como un complejo de ribonucleoproteína (RNP) Cas9-gRNA para la ruptura dirigida del locus de la cadena constante alfa del receptor de linfocitos T (TRAC), el locus de la  $\beta_2$  microglobulina (B2M) y el locus del grupo de diferenciación 70 (CD70) y la inserción de un transgén de receptor de antígenos quimérico (CAR) anti-CD70 en el locus TRAC mediante un vector de virus adenoasociado de serotipo 6 (AAV6). El CAR está compuesto por una secuencia de péptido señal del CD8a humano, un fragmento variable de cadena sencilla (scFv) anti-CD70 derivado del hibridoma anti-CD70 1F6, una bisagra y un dominio transmembrana de CD8 y los dominios coestimuladores de 4-1BB y CD3 $\zeta$ . La expresión del CAR está dirigida por el promotor del factor de elongación 1 alfa (EF-1 $\alpha$ ) y terminada por una secuencia de poliadenilación (polyA) sintética. El casete de expresión del CAR anti-CD70 está flanqueado por dos brazos de homología TRAC que guían al casete de expresión al locus TRAC.

El material de leucoaféresis se enriquece para linfocitos T usando selección de CD4/CD8 y se activan con bolas forradas de anticuerpos anti-CD3/CD28. Los linfocitos T se cultivan en presencia de medio de crecimiento que contiene suero humano e interleuquinas 2 (IL-2) y 7 (IL-7). Los linfocitos T finales son  $\geq 30\%$  linfocitos T CAR+,  $\leq 0.4\%$  TCR+,  $\leq 2\%$  CD70+ y  $\leq 30\%$  B2M+, y secretan interferon gamma (IFN $\gamma$ ) e IL-2 cuando se cocultivan con células que expresan CD70.

*terapia génica basada en células (antineoplásico)*

### voxvogananum

voxxoganan

L-arginyl-2,5,7-tri-*tert*-butyl-L-tryptophyl-*N*<sup>1</sup>-(2-phenylethyl)-L-argininamide  
*antibacterial*

voxxoganan

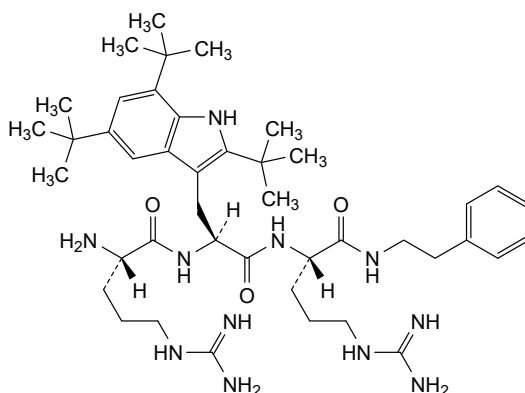
L-arginyl-2,5,7-tri-*tert*-butyl-L-tryptophyl-*N*<sup>1</sup>-(2-phényléthyl)-L-argininamide  
*antibactérien*

voxxoganá

L-arginil-2,5,7-tri-*tert*-butil-L-triptofil-*N*<sup>1</sup>-(2-feniletil)-L-argininamida  
*antibacteriano*

C<sub>43</sub>H<sub>69</sub>N<sub>11</sub>O<sub>3</sub>

1166254-80-3



**vuolenatidum #**

vuolenatide

exendin 4 (*Heloderma suspectum*, Gila monster lizard) (1-39) fused via a Gly-Gly dipeptide linker (40-41) to an artificial hydrophilic protein (864-peptide, 42-905) comprising 72 randomly repeating dodecapeptides (4 types of A<sub>1</sub>E<sub>2</sub>G<sub>2</sub>P<sub>2</sub>S<sub>3</sub>T<sub>2</sub>), produced in *Escherichia coli* *glucagon-like peptide 1 (GLP-1) receptor agonist*

vurolénatide

exendine 4 (*Heloderma suspectum*, lézard monstre de Gila) (1-39), fusionnée via un dipeptide Gly-Gly liant (40-41) à une protéine hydrophile artificielle (864-peptide, 42-905) comprenant 72 dodécapeptides à répétition aléatoire (4 types d'A<sub>1</sub>E<sub>2</sub>G<sub>2</sub>P<sub>2</sub>S<sub>3</sub>T<sub>2</sub>), produite dans *Escherichia coli* *agoniste du récepteur au peptide-1 d'action type glucagon (GLP-1)*

vuolenatida

exendina 4 (*Heloderma suspectum*, lagarto monstruo de Gila) (1-39), fusionada a través de un dipéptido de unión (40-41) a una proteína hidrófila artificial (864-peptido, 42-905) que comprende 72 dodecapéptidos que se repiten aleatoriamente (4 tipos de A<sub>1</sub>E<sub>2</sub>G<sub>2</sub>P<sub>2</sub>S<sub>3</sub>T<sub>2</sub>), producida en *Escherichia coli* *agonista del receptor del péptido 1 similar al glucagón (GLP-1)*

2434640-83-0

Sequence / Séquence / Secuencia

HGEGFTSDL SKQMEEEAVR LFIEWLNKG PSSGAPPPSG GSPAGSPTST 50  
 EEGTSESATP ESGPSTSTEP SEGSAPGSPA GSPTSTEEGT STEPSEGSAP 100  
 GTSTEPSEGS APGTSESATP ESGPGSEPAT SGSETPGSEP ATSGSETPGS 150  
 PAGSPTSTEE GTSESATPES GPGTSTEPSE GSAPGTSTEP SEGSAPGSPA 200  
 GSPTSTEEGT STEPSEGSAP GTSTEPSEGS APGTSESATP ESGGTSTEP 250  
 SEGSAPGTS SATPESGPGS EPATSGSETP GTSTEPSEGS APGTSTEPSE 300  
 GSAPGTSESA TPESGPGTSE SATPESGPGS PAGSPTSTEE GTSESATPES 350  
 GPGSEPATSG SETPGTSESA TPESGPGTST EPSEGSAPGT STEPSEGSAP 400  
 GTSTEPSEGS APGTSTEPSE GSAPGTSTEP SEGSAPGTST EPSEGSAPGS 450  
 PAGSPTSTEE GTSTEPSEGS APGTSESATP ESGPGSEPAT SGSETPGTSE 500  
 SATPESGPGS EPATSGSETP GTSESATPES GPGTSTEPSE GSAPGTSESA 550  
 TPESGPGSPA GSPTSTEEGS PAGSPTSTEE GSPAGSPTST EEGTSESATP 600  
 ESGPGTSTEP SEGSAPGTS SATPESGPGS EPATSGSETP GTSESATPES 650  
 GPGSEPATSG SETPGTSESA TPESGPGTST EPSEGSAPGS PAGSPTSTEE 700  
 GTSESATPES GPGSEPATSG SETPGTSESA TPESGPGSPA GSPTSTEEGS 750  
 PAGSPTSTEE GTSTEPSEGS APGTSESATP ESGPGTSESA TPESGPGTSE 800  
 SATPESGPGS EPATSGSETP GSEPATSGSE TPGSPAGSPT STEEGTSTEP 850  
 SEGSAPGTST EPSEGSAPGS EPATSGSETP GTSESATPES GPGTSTEPSE 900  
 GSAPG 905

**vutiglabinum**

vutiglabinum

*rac*-2-[(3*R*)-8,8-dimethyl-3,4,9,10-tetrahydro-2*H*,8*H*-benzo[1,2-*b*:3,4-*b'*]dipyran-3-yl]-5-ethoxyphenol  
*insulin sensitizer*

vutiglabinine

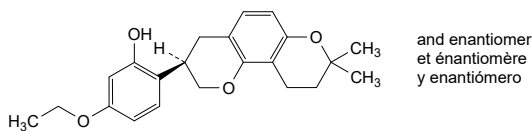
*rac*-2-[(3*R*)-8,8-diméthyl-3,4,9,10-tétrahydro-2*H*,8*H*-benzo[1,2-*b*:3,4-*b'*]dipyran-3-yl]-5-éthoxyphénol  
*sensibilisateur à l'insuline*

vutiglabinina

*rac*-2-[(3*R*)-8,8-dimetil-3,4,9,10-tetrahidro-2*H*,8*H*-benzo[1,2-*b*:3,4-*b'*]dipiran-3-il]-5-etoxifenol  
*sensibilizador de insulina*

C<sub>22</sub>H<sub>26</sub>O<sub>4</sub>

1800188-47-9

**xalnesiranum**

xalnesiran

*all-P-ambo*-2'-*O*-methyl-*P*-thioguanlyl-(3'→5')-2'-*O*-methyladenyl-(3'→5')-2'-deoxy-2'-fluorocytidyl-(3'→5')-2'-*O*-methyladenyl-(3'→5')-2'-*O*-methyladenyl-(3'→5')-2'-*O*-methyladenyl-(3'→5')-2'-deoxy-2'-fluoroadenyl-(3'→5')-2'-deoxy-2'-fluorouridyl-(3'→5')-2'-deoxy-2'-fluorocytidyl-(3'→5')-2'-*O*-methylcytidyl-(3'→5')-2'-deoxy-2'-fluorouridyl-(3'→5')-2'-deoxy-2'-fluorocytidyl-(3'→5')-2'-*O*-methyladenyl-(3'→5')-2'-deoxy-2'-fluoroadenyl-(3'→5')-2'-*O*-methyluridyl-(3'→5')-2'-*O*-methyladenyl-(3'→5')-2'-*O*-methyladenyl-(3'→5')-2'-*O*-methylguanylyl-(3'→5')-2'-*O*-methylcytidyl-(3'→5')-2'-*O*-methylguanylyl-(3'→5')-2'-*O*-methylcytidyl-(3'→5')-2'-*O*-[[2-(2-{5-[(2-acetamido-2-deoxy-β-D-galactopyranosyl)oxy]pentanamido}ethoxy)ethoxy)methyl]guanylyl-(3'→5')-2'-*O*-[[2-(2-{5-[(2-acetamido-2-deoxy-β-D-galactopyranosyl)oxy]pentanamido}ethoxy)ethoxy)methyl]adenyl-(3'→5')-2'-*O*-[[2-(2-{5-[(2-acetamido-2-deoxy-β-D-galactopyranosyl)oxy]pentanamido}ethoxy)ethoxy)methyl]adenyl-(3'→5')-2'-*O*-[[2-(2-{5-[(2-acetamido-2-deoxy-β-D-galactopyranosyl)oxy]pentanamido}ethoxy)ethoxy)methyl]adenyl-(3'→5')-2'-*O*-methylguanylyl-(3'→5')-2'-*O*-methylguanylyl-(3'→5')-2'-*O*-methylcytidyl-(3'→5')-2'-*O*-methyluridyl-(3'→5')-2'-*O*-methylguanylyl-(3'→5')-2'-*O*-methylcytidine, duplex with *all-P-ambo*-2'-*O*-methyl-*P*-thioguanlyl-(5'→3')-2'-*O*-methyl-*P*-thioguanlyl-(5'→3')-2'-*O*-methylcytidyl-(5'→3')-2'-deoxy-2'-fluorouridyl-(5'→3')-2'-*O*-methylguanylyl-(5'→3')-2'-*O*-methyluridyl-(5'→3')-2'-deoxy-2'-fluorouridyl-(5'→3')-2'-*O*-methyluridyl-(5'→3')-2'-deoxy-2'-fluorouridyl-(5'→3')-2'-*O*-methyluridyl-(5'→3')-2'-deoxy-2'-fluorouridyl-(5'→3')-2'-*O*-methylguanylyl-(5'→3')-2'-*O*-methylguanylyl-(5'→3')-2'-deoxy-2'-fluoroguanlyl-(5'→3')-2'-deoxy-2'-fluorouridyl-(5'→3')-2'-*O*-methylguanylyl-(5'→3')-2'-deoxy-2'-fluorouridyl-(5'→3')-2'-*O*-methyl-*P*-thiouridyl-(5'→3')-2'-deoxy-2'-fluoro-*P*-thioadenyl-(5'→3')-2'-deoxy-2'-fluoro-*P*-thiouridyl-(5'→3')-methyl hydrogen 2'-*O*-methyl-5'-oxa-*O*-5'-carba-5'-uridylyate  
*antiviral*

xalnésiran

*tout-P-ambo*-2'-*O*-méthyl-*P*-thioguanlyl-(3'→5')-2'-*O*-méthyladényl-(3'→5')-2'-désoxy-2'-fluorocytidyl-(3'→5')-2'-*O*-méthyladényl-(3'→5')-2'-*O*-méthyladényl-(3'→5')-2'-*O*-méthyladényl-(3'→5')-2'-désoxy-2'-fluoroadényl-(3'→5')-2'-désoxy-2'-fluorouridyl-(3'→5')-2'-désoxy-2'-fluorocytidyl-(3'→5')-2'-*O*-méthylcytidyl-(3'→5')-2'-désoxy-2'-fluorouridyl-(3'→5')-2'-désoxy-2'-fluorocytidyl-(3'→5')-2'-*O*-méthyladényl-(3'→5')-2'-*O*-méthylcytidyl-(3'→5')-2'-*O*-méthyluridyl-(3'→5')-2'-*O*-méthyladényl-(3'→5')-2'-*O*-méthyladényl-(3'→5')-2'-*O*-méthylguanylyl-(3'→5')-2'-*O*-méthylcytidyl-(3'→5')-2'-*O*-méthyladényl-(3'→5')-2'-*O*

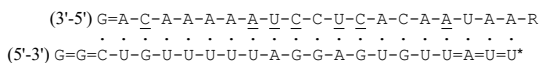
méthylguanylyl-(3'→5')-2'-O-méthylcytidyl-(3'→5')-2'-O-méthylcytidyl-(3'→5')-2'-O-[[2-(2-{5-[(2-acétamido-2-désoxy-β-D-galactopyranosyl)oxy]pentanamido}éthoxy)éthoxy]méthyl]guanylyl-(3'→5')-2'-O-[[2-(2-{5-[(2-acétamido-2-désoxy-β-D-galactopyranosyl)oxy]pentanamido}éthoxy)éthoxy]méthyl]adénylyl-(3'→5')-2'-O-[[2-(2-{5-[(2-acétamido-2-désoxy-β-D-galactopyranosyl)oxy]pentanamido}éthoxy)éthoxy]méthyl]adénylyl-(3'→5')-2'-O-[[2-(2-{5-[(2-acétamido-2-désoxy-β-D-galactopyranosyl)oxy]pentanamido}éthoxy)éthoxy]méthyl]adénylyl-(3'→5')-2'-O-méthylguanylyl-(3'→5')-2'-O-méthylguanylyl-(3'→5')-2'-O-méthylcytidyl-(3'→5')-2'-O-méthyluridyl-(3'→5')-2'-O-méthylguanylyl-(3'→5')-2'-O-méthylcytidine, duplex avec *tout-P-ambo*-2'-O-méthyl-*P*-thioguanilyl-(5'→3')-2'-O-méthyl-*P*-thioguanilyl-(5'→3')-2'-O-méthylcytidyl-(5'→3')-2'-désoxy-2'-fluorouridyl-(5'→3')-2'-O-méthylguanylyl-(5'→3')-2'-O-méthyluridyl-(5'→3')-2'-désoxy-2'-fluorouridyl-(5'→3')-2'-O-méthyluridyl-(5'→3')-2'-désoxy-2'-fluoroadénylyl-(5'→3')-2'-O-méthylguanylyl-(5'→3')-2'-désoxy-2'-fluoroguanilyl-(5'→3')-2'-O-méthyladénylyl-(5'→3')-2'-désoxy-2'-fluoroguanilyl-(5'→3')-2'-désoxy-2'-fluorouridyl-(5'→3')-2'-O-méthylguanylyl-(5'→3')-2'-désoxy-2'-fluorouridyl-(5'→3')-2'-O-méthyl-*P*-thiouridyl-(5'→3')-2'-désoxy-2'-fluoro-*P*-thioadénylyl-(5'→3')-2'-désoxy-2'-fluoro-*P*-thiouridyl-(5'→3')-hydrogène-2'-O-méthyl-5'-oxa-O-5'-carba-5'-uridylate de méthyle  
*antiviral*

xalnesirán

*todo-P-ambo*-2'-O-metil-*P*-tioguanilil-(3'→5')-2'-O-metiladenilil-(3'→5')-2'-desoxi-2'-fluorocitidilil-(3'→5')-2'-O-metiladenilil-(3'→5')-2'-O-metiladenilil-(3'→5')-2'-O-metiladenilil-(3'→5')-2'-O-metiladenilil-(3'→5')-2'-desoxi-2'-fluoroadenilil-(3'→5')-2'-desoxi-2'-fluorouridilil-(3'→5')-2'-desoxi-2'-fluorocitidilil-(3'→5')-2'-O-metilcitidilil-(3'→5')-2'-desoxi-2'-fluorouridilil-(3'→5')-2'-desoxi-2'-fluorocitidilil-(3'→5')-2'-O-metiladenilil-(3'→5')-2'-O-metilcitidilil-(3'→5')-2'-O-metiladenilil-(3'→5')-2'-desoxi-2'-fluoroadenilil-(3'→5')-2'-O-metiluridilil-(3'→5')-2'-O-metiladenilil-(3'→5')-2'-O-metiladenilil-(3'→5')-2'-O-metilguanilil-(3'→5')-2'-O-metilcitidilil-(3'→5')-2'-O-metiladenilil-(3'→5')-2'-O-metilguanilil-(3'→5')-2'-O-metilcitidilil-(3'→5')-2'-O-metilcitidilil-(3'→5')-2'-O-[[2-(2-{5-[(2-acetamido-2-desoxi-β-D-galactopiranosil)oxy]pentanamido}etoxi)etoxi]metil]guanilil-(3'→5')-2'-O-[[2-(2-{5-[(2-acetamido-2-desoxi-β-D-galactopiranosil)oxy]pentanamido}etoxi)etoxi]metil]adenilil-(3'→5')-2'-O-[[2-(2-{5-[(2-acetamido-2-desoxi-β-D-galactopiranosil)oxy]pentanamido}etoxi)etoxi]metil]adenilil-(3'→5')-2'-O-[[2-(2-{5-[(2-acetamido-2-desoxi-β-D-galactopiranosil)oxy]pentanamido}etoxi)etoxi]metil]adenilil-(3'→5')-2'-O-metilguanilil-(3'→5')-2'-O-metilguanilil-(3'→5')-2'-O-metilcitidilil-(3'→5')-2'-O-metiluridilil-(3'→5')-2'-O-metilguanilil-(3'→5')-2'-O-metilcitidine, duplex con *todo-P-ambo*-2'-O-metil-*P*-tioguanilil-(5'→3')-2'-O-metilcitidilil-(5'→3')-2'-desoxi-2'-fluorouridilil-(5'→3')-2'-O-metilguanilil-(5'→3')-2'-O-metiluridilil-(5'→3')-2'-desoxi-2'-fluorouridilil-(5'→3')-2'-O-metiluridilil-(5'→3')-2'-desoxi-2'-fluorouridilil-(5'→3')-2'-O-metiluridilil-(5'→3')-2'-desoxi-2'-fluoroadenilil-(5'→3')-2'-O-metilguanilil-(5'→3')-2'-desoxi-2'-fluoroguanilil-(5'→3')-2'-desoxi-2'-fluorouridilil-(5'→3')-2'-O-metilguanilil-(5'→3')-2'-desoxi-2'-fluorouridilil-(5'→3')-2'-O-metil-*P*-tiouridilil-(5'→3')-2'-desoxi-2'-fluoro-*P*-tioadenilil-(5'→3')-2'-desoxi-2'-fluoro-*P*-tiouridilil-(5'→3')-hidrógeno-2'-O-metil-5'-oxa-O-5'-carba-5'-uridilato de metilo  
*antiviral*

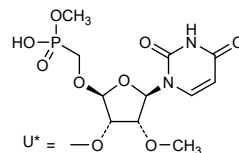
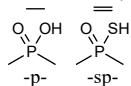
C<sub>664</sub>H<sub>871</sub>F<sub>17</sub>N<sub>231</sub>O<sub>415</sub>P<sub>57</sub>S<sub>6</sub>

2538784-48-2

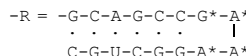
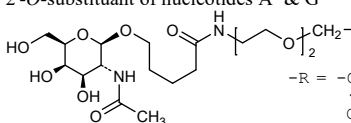
Legend

X : 2'-deoxy-2'-fluoronucleotide

X : 2'-O-methylnucleotide

U\* = —O—O—CH<sub>3</sub>

2'-O-substituant of nucleotides A\* &amp; G\*

**yttrium (<sup>90</sup>Y) anditixafortidum**yttrium (<sup>90</sup>Y) anditixafortide

(1,5-anhydro{3-(naphthalen-2-yl)-L-alanyl}glycyl-3-iodo-D-tyrosyl-N<sup>2</sup>-methyl-N<sup>6</sup>-[4-({2-[4,7,10-tris(carboxylato-κO-methyl)-1,4,7,10-tetraazadodecan-1-yl-κ<sup>4</sup>N<sup>1</sup>,N<sup>4</sup>,N<sup>7</sup>,N<sup>10</sup>]acetamido-κO}methyl)benzoyl]-D-ornithyl-L-arginine})<sup>(90</sup>Y)yttrium  
*diagnostic imaging agent*

yttrium (<sup>90</sup>Y) anditixafortide

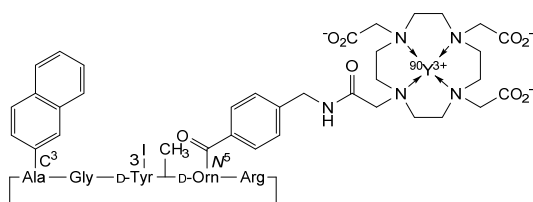
(1,5-anhydro{3-(naphtalén-2-yl)-L-alanyl}glycyl-3-iodo-D-tyrosyl-N<sup>2</sup>-méthyl-N<sup>6</sup>-[4-({2-[4,7,10-tris(carboxylato-κO-méthyl)-1,4,7,10-tétraazadodécan-1-yl-κ<sup>4</sup>N<sup>1</sup>,N<sup>4</sup>,N<sup>7</sup>,N<sup>10</sup>]acétamido-κO)méthyl)benzoyl]-D-ornithyl-L-arginine})<sup>(90</sup>Y)yttrium  
*agent de diagnostic*

yttrio (<sup>90</sup>Y) anditixafortida

(1,5-anhidro{3-(naftalen-2-il)-L-alanil}glicil-3-iodo-D-tirosil-N<sup>2</sup>-metil-N<sup>6</sup>-[4-({2-[4,7,10-tris(carboxilato-κO-metil)-1,4,7,10-tetraazadodecan-1-il-κ<sup>4</sup>N<sup>1</sup>,N<sup>4</sup>,N<sup>7</sup>,N<sup>10</sup>]acetamido-κO)metil)benzoiil]-D-ornitil-L-arginin})<sup>(90</sup>Y)yttrio  
*agente de diagnóstico*

C<sub>60</sub>H<sub>76</sub>IN<sub>14</sub>O<sub>14</sub><sup>90</sup>Y

2523043-21-0

**zaftuclenegenum piruparvovecum**

zaftuclenegenum piruparvovec

recombinant, self-complementary (dimeric), non-replicating adeno-associated virus serotype 9 (scAAV9) vector, encoding codon-optimised human palmitoyl-protein thioesterase 1 (PPT1, CLN1), under the control of a synthetic promoter consisting of a



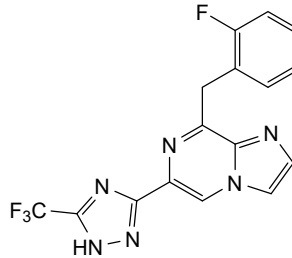
	<p>cytomegalovirus (CMV) enhancer/chicken <math>\beta</math>-actin (CBA) promoter and a hybrid intron derived from chicken <math>\beta</math>-actin and minute virus of mice (MVM) introns, followed by a Kozak sequence, and terminated by a bovine growth hormone (bGH) polyadenylation (polyA) signal; the vector genome contains a mutated adeno-associated virus serotype 2 (AAV2) inverted terminal repeat (mITR) and is flanked by AAV2 wild-type inverted terminal repeats (wtITRs). <i>gene therapy (neuronal ceroid lipofuscinosis type 1)</i></p>
zaftuclénégène piruparvec	<p>vecteur recombinant, auto-complémentaire (dimère) et non répliquant du virus adéno-associé de sérotype 9 (scAAV9) codant la palmitoylprotéine thioestérase 1 (PPT1, CLN1) humaine aux codons optimisés, sous le contrôle d'un promoteur synthétique constitué d'un amplificateur du cytomégalo-virus (CMV)/promoteur de la <math>\beta</math>-actine de poulet (CBA) et d'un intron hybride dérivé des introns de la <math>\beta</math>-actine de poulet et du virus minute de la souris (MVM), suivi d'une séquence Kozak, et terminé par le signal de polyadénylation (polyA) de l'hormone de croissance bovine (bGH); le génome du vecteur contient une répétition terminale inversée mutée (mITR) du virus adéno-associé de sérotype 2 (AAV2) et est flanqué de répétitions terminales inversées de type sauvage (wtITR) d'AAV2. <i>thérapie génique (céroïde-lipofuscinose neuronale de type 1)</i></p>
zaftuclenegén piruparvec	<p>vector de virus adenoasociado recombinante, auto complementario (dimérico) de serotipo 9 (scAAV9) no replicativo que codifica para la palmitoil-proteína tioesterasa 1 (PPT1, CLN1) humana, bajo el control de un promotor sintético consistente en un potenciador del citomegalovirus (CMV)/promotor de la <math>\beta</math>-actina (CBA) de pollo y un intrón híbrido derivado de intrones de la <math>\beta</math>-actina de pollo y del virus diminuto de ratones (MMV), seguido de una secuencia Kozak y terminado con una señal de poliadenilación (polyA) de la hormona de crecimiento bovina (bGH); el genoma del vector contiene una repetición terminal invertida mutada (mITR) del virus adenoasociado de serotipo 2 (AAV2) y está flanqueado por repeticiones terminales invertidas de tipo silvestre (wtITRs) del AAV2. <i>terapia génica (lipofuscinosis neuronal ceroidea tipo 1)</i></p>
	2567881-78-9
<b>zagociguatum</b> zagociguat	<p>8-[(2-fluorophenyl)methyl]-6-[5-(trifluoromethyl)-1H-1,2,4-triazol-3-yl]imidazo[1,2-a]pyrazine <i>guanylate cyclase activator</i></p>
zagociguat	<p>8-[(2-fluorophényl)méthyl]-6-[5-(trifluorométhyl)-1H-1,2,4-triazol-3-yl]imidazo[1,2-a]pyrazine <i>activateur de la guanylate cyclase</i></p>

zagociguat

8-[(2-fluorofenil)metil]-6-[5-(trifluorometil)-1*H*-1,2,4-triazol-3-il]imidazo[1,2-*a*]pirazina  
 activador de la guanilato ciclasa

C<sub>16</sub>H<sub>10</sub>F<sub>4</sub>N<sub>6</sub>

2201048-82-8



**zamaglutenasum #**  
 zamaglutenasase

*Alicyclobacillus sendaiensis* gliadin peptidase (kumamolysin-A.s. serine endopeptidase, UniProt Q8GB88, EC:3.4.21.B48) engineered variant (N-terminal M removed, V>D<sup>118</sup>, P>R<sup>170</sup>, H>R<sup>171</sup>, S>E<sup>261</sup>, E>T<sup>268</sup>, N>D<sup>290</sup>, D>T<sup>292</sup>, G>S<sup>318</sup>, G>M<sup>319</sup>, S>Q<sup>353</sup>, D>S<sup>357</sup>, D>H<sup>367</sup>, D>Q<sup>398</sup>, A>Q<sup>448</sup>, I>T<sup>462</sup>), non-glycosylated, produced in *Escherichia coli*;  
 gliadin peptidase (*Alicyclobacillus sendaiensis*) (kumamolysin-A.s. serine endopeptidase, UniProt Q8GB88, EC:3.4.21.B48) [M<sup>0</sup>>del, V>D<sup>118</sup>, P>R<sup>170</sup>, H>R<sup>171</sup>, S>E<sup>261</sup>, E>T<sup>268</sup>, N>D<sup>290</sup>, D>T<sup>292</sup>, G>S<sup>318</sup>, G>M<sup>319</sup>, S>Q<sup>353</sup>, D>S<sup>357</sup>, D>H<sup>367</sup>, D>Q<sup>398</sup>, A>Q<sup>448</sup>, I>T<sup>462</sup>]-mutant, non-glycosylated, produced in *Escherichia coli*  
 gliadin protease

zamagluténase

*Alicyclobacillus sendaiensis* gliadine peptidase (kumamolysine-A.s. endopeptidase à sérine, UniProt Q8GB88, EC:3.4.21.B48) variant modifié (suppression M au N-terminal, V>D<sup>118</sup>, P>R<sup>170</sup>, H>R<sup>171</sup>, S>E<sup>261</sup>, E>T<sup>268</sup>, N>D<sup>290</sup>, D>T<sup>292</sup>, G>S<sup>318</sup>, G>M<sup>319</sup>, S>Q<sup>353</sup>, D>S<sup>357</sup>, D>H<sup>367</sup>, D>Q<sup>398</sup>, A>Q<sup>448</sup>, I>T<sup>462</sup>), produite dans *Escherichia coli*;  
 gliadine peptidase (*Alicyclobacillus sendaiensis*) (kumamolysine-A.s. endopeptidase à sérine, UniProt Q8GB88, EC:3.4.21.B48), mutant [M<sup>0</sup>>del, V>D<sup>118</sup>, P>R<sup>170</sup>, H>R<sup>171</sup>, S>E<sup>261</sup>, E>T<sup>268</sup>, N>D<sup>290</sup>, D>T<sup>292</sup>, G>S<sup>318</sup>, G>M<sup>319</sup>, S>Q<sup>353</sup>, D>S<sup>357</sup>, D>H<sup>367</sup>, D>Q<sup>398</sup>, A>Q<sup>448</sup>, I>T<sup>462</sup>], non glycosylée, produite dans *Escherichia coli*  
 gliadine protéase

zamaglutenasasa

*Alicyclobacillus sendaiensis* gliadina peptidasa (kumamolisin-A.s. serina endopeptidasa, UniProt Q8GB88, EC:3.4.21.B48) variante diseñada (N-terminal M eliminado, V>D<sup>118</sup>, P>R<sup>170</sup>, H>R<sup>171</sup>, S>E<sup>261</sup>, E>T<sup>268</sup>, N>D<sup>290</sup>, D>T<sup>292</sup>, G>S<sup>318</sup>, G>M<sup>319</sup>, S>Q<sup>353</sup>, D>S<sup>357</sup>, D>H<sup>367</sup>, D>Q<sup>398</sup>, A>Q<sup>448</sup>, I>T<sup>462</sup>), no glicosilado, producido en *Escherichia coli*;

gliadina peptidasa (*Alicyclobacillus sendaiensis*) (kumamolisin-A.s. serina endopeptidasa, UniProt Q8GB88, EC:3.4.21.B48), mutante [M<sup>o</sup>>del, V>D<sup>118</sup>, P>R<sup>170</sup>, H>R<sup>171</sup>, S>E<sup>261</sup>, E>T<sup>268</sup>, N>D<sup>290</sup>, D>T<sup>292</sup>, G>S<sup>318</sup>, G>M<sup>319</sup>, S>Q<sup>353</sup>, D>S<sup>357</sup>, D>H<sup>367</sup>, D>Q<sup>398</sup>, A>Q<sup>448</sup>, I>T<sup>462</sup>], no glicosilado, producido en *Escherichia coli* proteasa de la gliadina

2542082-32-4

Sequence / Séquence / Secuencia	
SDMEKFWKEG EEARAVLQGH ARAQAPQAVD KGPVAGDERM AVTVVLRQR	50
AGELAAHVER QAAIAPHARE HLKREAFAA S HGASLDDEFAE LRRFADAHGL	100
ALDRANVAAG TAVLSGPDDA INRAFQVELR HFDHPDGSYR SYLGEVTVPA	150
SIAPMIEAVL GLDTRPVARR BFRMQRRRAEG GFEAR SQAAA PTAYT PLDVA	200
QAYQFFEGLD GQGCCIAIIE LGGGYDEASL AQYFASLGVP APQVVSVD	250
GASNQPTGDP EGPDPGEVTL D IEVAGALAPG AKFAVYFAFD TTAGFLDAIT	300
TAIHDPTLKP SVVSISSMP EDSWTSAAIA AMNRAFLDAA ALGVTVLA	350
GDQSSSTSEEQ DGLYHVHFFPA ASPYVLACGG TRLVASGGRI AQETVVMQSP	400
DGGATGGGVS RIFPLPAWQE HANVPPSANP GASSGRGVPD LAGNADPQTG	450
YEVVIDGEAT VTGGTSAVAP LFAALVARIN QKLGKAVGL NPTLYQLFAD	500
VFHDITEGNN DIANRAQIQY AGPGWDPTCT LGSPIGVRL QALLPSASQP	550
QP	552

Mutation / Mutation / Mutación  
M<sup>o</sup>>del, V118>D, P170>R, H171>R, S261>E, E268>T, N290>D, D292>T, G318>S, G319>M, S353>Q, D357>S, D367>H, D398>Q, A448>Q, I462>T

Post-translational modifications  
Disulfide bridges location / Position des ponts disulfure / Posiciones de los puentes disulfuro  
none / aucune / ninguna  
Glycosylation sites / Sites de glycosylation / Posiciones de glicosilación  
none / aucun / ninguna

zendusortidum  
zendusortide

*N*-acetylglucyl-L-valyl-L-arginyl-L-alanyl-L-lysyl-L-alanylglucyl-L-valyl-L-arginyl-L-asparaginy-(2*S*)-2-aminohexanoyl-L-phenylalanyl-L-lysyl-L-seryl-L-α-glutamyl-L-seryl-L-tyrosine  
*sorilin binding peptide*

zendusortide

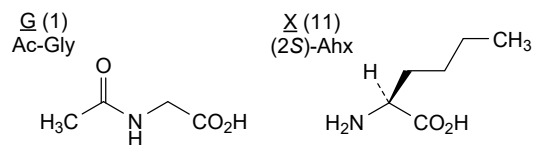
*N*-acétylglycyl-L-valyl-L-arginyl-L-alanyl-L-lysyl-L-alanylglucyl-L-valyl-L-arginyl-L-asparaginy-(2*S*)-2-aminohexanoyl-L-phénylalanyl-L-lysyl-L-séryl-L-α-glutamyl-L-séryl-L-tyrosine  
*peptide de liaison à la soriline*

zendusortida

*N*-acetilglicil-L-valil-L-arginil-L-alanil-L-lisil-L-alanilglicil-L-valil-L-arginil-L-asparaginil-(2*S*)-2-aminohexanoil-L-fenilalanil-L-lisil-L-seril-L-α-glutamil-L-seril-L-tirosina  
*peptido de unión a la sorilina*

C<sub>85</sub>H<sub>138</sub>N<sub>26</sub>O<sub>25</sub> 2098662-44-1  
GVRKAGVRN XFKSESY 17

Modified residues / Résidus modifiés / Restos modificados



**zevaquenabantum**  
zevaquenabant

(4*S*)-*N*-(1-aminoethylidene)-3-(4-chlorophenyl)-4-phenyl-*N'*-[4-(trifluoromethyl)benzene-1-sulfonyl]-4,5-dihydro-1*H*-pyrazole-1-carboximidamide  
*cannabinoid 1 (CB1) receptor antagonist*

zévaquéabant

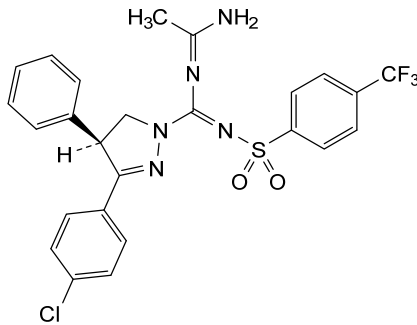
(4*S*)-*N*-(1-aminoéthylidène)-3-(4-chlorophényl)-4-phényl-*N'*-[4-(trifluorométhyl)benzène-1-sulfonyl]-4,5-dihydro-1*H*-pyrazole-1-carboximidamide  
*antagoniste des récepteurs 1 aux cannabinoïdes (CB1)*

zevaquenabant

(4*S*)-*N*-(1-aminoetilideno)-3-(4-clorofenil)-4-fenil-*N'*-[4-(trifluorometil)benzeno-1-sulfonyl]-4,5-dihidro-1*H*-pirazol-1-carboximidamida  
*antagonista del receptor 1 de cannabinoïdes (CB1)*

C<sub>25</sub>H<sub>21</sub>ClF<sub>3</sub>N<sub>5</sub>O<sub>2</sub>S

1998760-00-1



**zilganersenum**  
zilganersen

*all-P-ambo-2'-O*-(2-methoxyethyl)-5-methyl-*P*-thiocytidylyl-(3'→5')-2'-*O*-(2-methoxyethyl)adenylyl-(3'→5')-2'-*O*-(2-methoxyethyl)guanylyl-(3'→5')-2'-*O*-(2-methoxyethyl)-5-methyluridylyl-(3'→5')-2'-*O*-(2-methoxyethyl)adenylyl-(3'→5')-2'-*O*-(2-methoxyethyl)-5-methyluridylyl-(3'→5')-*P*-thiothymidylyl-(3'→5')-2'-deoxy-*P*-thioadenylyl-(3'→5')-2'-deoxy-5-methyl-*P*-thiocytidylyl-(3'→5')-2'-deoxy-5-methyl-*P*-thiocytidylyl-(3'→5')-*P*-thiothymidylyl-(3'→5')-2'-deoxy-5-methyl-*P*-thiocytidylyl-(3'→5')-*P*-thiothymidylyl-(3'→5')-2'-deoxy-5-methyl-*P*-thioadenylyl-(3'→5')-2'-deoxy-5-methyl-*P*-thiocytidylyl-(3'→5')-*P*-thiothymidylyl-(3'→5')-2'-*O*-(2-methoxyethyl)adenylyl-(3'→5')-2'-*O*-(2-methoxyethyl)-*P*-thioguanlyl-(3'→5')-2'-*O*-(2-methoxyethyl)-5-methyl-*P*-thiouridylyl-(3'→5')-2'-*O*-(2-methoxyethyl)-5-methylcytidine  
*glial fibrillary acidic protein synthesis reducer*

zilganersen

*tout-P-ambo-2'-O*-(2-méthoxyéthyl)-5-méthyl-*P*-thiocytidylyl-(3'→5')-2'-*O*-(2-méthoxyéthyl)adénylyl-(3'→5')-2'-*O*-(2-méthoxyéthyl)guanylyl-(3'→5')-2'-*O*-(2-méthoxyéthyl)-5-méthyluridylyl-(3'→5')-2'-*O*-(2-méthoxyéthyl)adénylyl-(3'→5')-2'-*O*-(2-méthoxyéthyl)-5-méthyluridylyl-(3'→5')-*P*-thiothymidylyl-(3'→5')-2'-désoxy-*P*-thioadénylyl-(3'→5')-2'-désoxy-5-méthyl-*P*-

thiocytidylyl-(3'→5')-2'-désoxy-5-méthyl-*P*-thiocytidylyl-(3'→5')-*P*-thiothymidylyl-(3'→5')-2'-désoxy-5-méthyl-*P*-thiocytidylyl-(3'→5')-*P*-thiothymidylyl-(3'→5')-2'-désoxy-*P*-thioadénylyl-(3'→5')-2'-désoxy-5-méthyl-*P*-thiocytidylyl-(3'→5')-*P*-thiothymidylyl-(3'→5')-2'-*O*-(2-méthoxyéthyl)adénylyl-(3'→5')-2'-*O*-(2-méthoxyéthyl)-*P*-thioguanilyl-(3'→5')-2'-*O*-(2-méthoxyéthyl)-5-méthyl-*P*-thiouridylyl-(3'→5')-2'-*O*-(2-méthoxyéthyl)-5-méthylcytidine  
*réducteur de la synthèse de la protéine gliofibrillaire acide*

zilganersén

*todo-P-ambo-5-metil-2'-O-(2-metoxietil)-P-tiocitidilil-(3'→5')-2'-O-(2-metoxietil)adenilil-(3'→5')-2'-O-(2-metoxietil)guanilil-(3'→5')-5-metil-2'-O-(2-metoxietil)uridilil-(3'→5')-2'-O-(2-metoxietil)adenilil-(3'→5')-5-metil-2'-O-(2-metoxietil)uridilil-(3'→5')-*P*-tiotimidilil-(3'→5')-2'-desoxi-*P*-tioadenilil-(3'→5')-2'-desoxi-5-metil-*P*-tiocitidilil-(3'→5')-2'-desoxi-5-metil-*P*-tiocitidilil-(3'→5')-*P*-tiotimidilil-(3'→5')-2'-desoxi-5-metil-*P*-tiocitidilil-(3'→5')-*P*-tiotimidilil-(3'→5')-2'-desoxi-5-metil-*P*-tioadenilil-(3'→5')-2'-desoxi-5-metil-*P*-tiocitidilil-(3'→5')-*P*-tiotimidilil-(3'→5')-2'-*O*-(2-metoxietil)adenilil-(3'→5')-2'-*O*-(2-metoxietil)-*P*-tioguanilil-(3'→5')-5-metil-2'-*O*-(2-metoxietil)-*P*-tiouridilil-(3'→5')-5-metil-2'-*O*-(2-metoxietil)citidina*  
*reductor de la síntesis de la proteína fibrilar glial ácida*

C<sub>230</sub>H<sub>320</sub>N<sub>67</sub>O<sub>127</sub>P<sub>19</sub>S<sub>13</sub>

2305355-56-8

$m^5C_{moe} = A_{moe} - G_{moe} - m^5U_{moe} - A_{moe} - m^5U_{moe} - dT = dA = m^5C_d = m^5C_d = dT = m^5C_d = dT = dA = m^5C_d = dT = A_{moe} - G_{moe} = m^5U_{moe} = m^5C_{moe}$

= :



N : nucleoside / nucléoside / nucleósido

m<sup>5</sup>N : 5-methyl-N / 5-méthyl-N / 5-metil-NdN & N<sub>d</sub> : 2'-deoxy-N / 2'-désoxy-N / 2'-desoxi-NNmoe : 2'-*O*-(2-methoxyethyl)-N / 2'-*O*-(2-méthoxyéthyl)-N / 2'-*O*-(2-metoxietil)-N**zilurgisertibum**

zilurgisertib

2-amino-*N*-(4-hydroxybicyclo[2.2.2]octan-1-yl)-5-{4-[(1*R*,5*S*)-3-(oxan-4-yl)-3-azabicyclo[3.1.0]hexan-1-yl]phényl}pyridine-3-carboxamide  
*serine/ threonine kinase inhibitor*

zilurgisertib

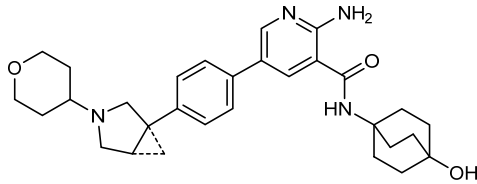
2-amino-*N*-(4-hydroxybicyclo[2.2.2]octan-1-yl)-5-{4-[(1*R*,5*S*)-3-(oxan-4-yl)-3-azabicyclo[3.1.0]hexan-1-yl]phényl}pyridine-3-carboxamide  
*inhibiteur de sérine/ thréonine kinase*

zilurgisertib

2-amino-*N*-(4-hidroxiciclo[2.2.2]octan-1-il)-5-{4-[(1*R*,5*S*)-3-(oxan-4-il)-3-azabicyclo[3.1.0]hexan-1-il]fenil}piridina-3-carboxamida  
*inhibidor de serina/ treonina kinasa*

C<sub>30</sub>H<sub>38</sub>N<sub>4</sub>O<sub>3</sub>

2173389-57-4



**zinlirvimabum #**  
zinlirvimab

immunoglobulin G1-lambda2, anti-[human immunodeficiency virus type 1 (HIV-1) gp120 envelope glycoprotein N-glycan V3 region], *Homo sapiens* monoclonal antibody;  
gamma1 heavy chain *Homo sapiens* (1-461) [VH (*Homo sapiens*IGHV4-4\*08 (79.2%) -(IGHD) -IGHJ6\*04 (85.0%), CDR-IMGT [8.7.26] (26-33.51-57.96-121)) (1-132) -*Homo sapiens*IGHG1\*01, G1m17,1, G1v24 CH3 L107, S114 (CH1 K120 (229) (133-230), hinge 1-15 (231-245), CH2 (246-355), CH3 D12 (371), L14 (373), M107>L (443), N114>S (449) (356-460), CHS K2>del (461)) (133-461)], (235-213')-disulfide withlambda2 light chain *Homo sapiens* (1'-214') [V-LAMBDA (*Homo sapiens*IGLV3-21\*01 (64.9%) -IGLJ2\*01 (80.0%) G121>A (102), K123>R (104), CDR-IMGT [6.3.12] (22-27.45-47.87-98)) (1'-108') -*Homo sapiens*IGLC2\*01 (100%) (109'-214')]; dimer (241-241":244-244")-bisdisulfide, produced in Chinese hamster ovary (CHO) cells, cell line CHO-K1SV, glycoform alfa  
*antiviral*

zinlirvimab

immunoglobuline G1-lambda2, anti-[région V3 N-glycosylée de la protéine d'enveloppe gp120 du virus de l'immunodéficience humaine de type 1 (HIV-1)], anticorps monoclonal *Homo sapiens*;  
chaîne lourde gamma1 *Homo sapiens* (1-461) [VH (*Homo sapiens*IGHV4-4\*08 (79.2%) -(IGHD) -IGHJ6\*04 (85.0%), CDR-IMGT [8.7.26] (26-33.51-57.96-121)) (1-132) -*Homo sapiens*IGHG1\*01, G1m17,1, G1v24 CH3 L107, S114 (CH1 K120 (229) (133-230), charnière 1-15 (231-245), CH2 (246-355), CH3 D12 (371), L14 (373), M107>L (443), N114>S (449) (356-460), CHS K2>del (461)) (133-461)], (235-213')-disulfure avec la chaîne légère lambda2 *Homo sapiens* (1'-214') [V-LAMBDA (*Homo sapiens*IGLV3-21\*01 (64.9%) -IGLJ2\*01 (80.0%) G121>A (102), K123>R (104), CDR-IMGT [6.3.12] (22-27.45-47.87-98)) (1'-108') -*Homo sapiens*IGLC2\*01 (100%) (109'-214')]; dimère (241-241":244-244")-bisdisulfure, produit dans des cellules ovariennes de hamster chinois (CHO), lignée cellulaire CHO-K1SV, glycoforme alfa  
*antiviral*

zinlirvimab

immunoglobulina G1-lambda2, anti-[región V3 N-glicosilada de la proteína de envoltura gp120 del virus de la inmunodeficiencia humana de tipo 1 (HIV-1)], anticuerpo monoclonal *Homo sapiens*;

cadena pesada gamma1 *Homo sapiens* (1-461) [VH (*Homo sapiens* IGHV4-4\*08 (79.2%) -(IGHD) - IGHJ6\*04 (85.0%), CDR-IMGT [8.7.26] (26-33.51-57.96-121)) (1-132) -*Homo sapiens* IGHG1\*01, G1m17,1, G1v24 CH3 L107, S114 (CH1 K120 (229) (133-230), bisagra 1-15 (231-245), CH2 (246-355), CH3 D12 (371), L14 (373), M107>L (443), N114>S (449) (356-460), CHS K2>del (461)) (133-461)], (235-213')-disulfuro con la cadena ligera lambda2 *Homo sapiens* (1'-214') [V-LAMBDA (*Homo sapiens* IGLV3-21\*01 (64.9%) -IGLJ2\*01 (80.0%) G121>A (102), K123>R (104), CDR-IMGT [6.3.12] (22-27.45-47.87-98)) (1'-108') -*Homo sapiens* IGLC2\*01 (100%) (109'-214')]; dímero (241-241"-244-244")-bisdisulfuro, producido en las células ováricas de hámster chino (CHO), línea celular CHO-K1SV, forma glicosilada alfa *antiviral*

2417213-75-1

## Heavy chain / Chaîne lourde / Cadena pesada

```

QVQLQESGPG LVKPSSETLSV TCSVSGDSMN NYYWTWIRQS PGKLEWIGY 50
ISDRSATYN PSLNSRVVIS RDTSKNQLSL KLSVTFADT AVYYCATARR 100
GQRIYGVVSV GEFFYYYSMD VWGKGTIVTV SSASTKGPSV FPLAPSKST 150
SGGTAALGCL VKDYFPEPVT VSWNSGALTS GVHTFPAVLQ SSGLYSLSSV 200
VTVPSSSLGT QTYICNVNHK PSNTKVDKVK EPKSCDKHTH CPPCPAPELL 250
GGPSVLEFPP KPKDTLMISR TPEVTCVVVD VSHEDPEVFK NNYVDGVEVH 300
NAKTKPREEQ YNSTYRVVSV LTVLHQDWLN GKKEYCKVSN KALPAPIEKT 350
ISKAKGQPRE PQVYTLPPSR DELTKNQVSL TCLVKGYPFS DIAVEWESNG 400
QFENNYKTTT PVLDSGGSFF LYSKLTVDKS RWQQGNVFSC SVLHEALHSH 450
YTQKSLSLSP G 461

```

## Light chain / Chaîne légère / Cadena ligera

```

SYVRPLSVL GETARISGR QALGSRVQW YQHRPGQAPI LLIYNNQDRP 50
SGIPERFSGT PDINFGTRAT LTISGVEAGD EADYYCHMWD SRSGFSWSFG 100
GATRLTLVLG PKAAPSVTLF PPSSEELQAN KATLVCLISD FYPGAIVTAV 150
KADSSPVKAG VETTTPSKQS NNKYAASSYL SLTPEQWKSH RYSQCQVTHE 200
GSTVEKTVAP TECS 214

```

## Post-translational modifications

Disulfide bridges location / Position des ponts disulfure / Posiciones de los puentes disulfuro

Intra-H (C23-C104) 22-95 159-215 276-336 382-440  
22"-95" 159"-215" 276"-336" 382"-440"

Intra-L (C23-C104) 18"-86" 136"-195"  
18"-86" 136"-195"

Inter-H-L (h 5-CL 126) 235-213" 235"-213"

Inter-H-H (h 11, h 14) 241-241" 244-244"

N-terminal glutaminyl cyclization / Cyclisation du glutaminyle N-terminal / Ciclación del glutaminilo N-terminal

H VH Q1 &gt; pyroglutamy (pE, 5-oxopropyl): 1, 1"

N-glycosylation sites / Sites de N-glycosylation / Posiciones de N-glicosilación

H CH2 N84.4: 312, 312"

Fucosylated complex bi-antennary CHO-type glycans / glycanes de type CHO bi-antennaires complexes fucosylés / glicanos de tipo CHO biantenarios complejos fucosilados.

**zipalertinibum**

zipalertinib

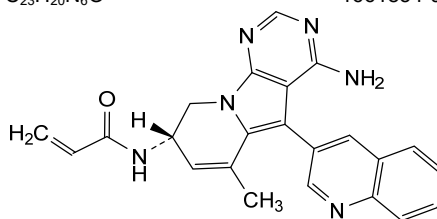
*N*-[(8*S*)-4-amino-6-methyl-5-(quinolin-3-yl)-8,9-dihydropyrimido[5,4-*b*]indolizin-8-yl]prop-2-enamide  
*tyrosine kinase inhibitor, antineoplastic*

zipalertinib

*N*-[(8*S*)-4-amino-6-méthyl-5-(quinoléin-3-yl)-8,9-dihydropyrimido[5,4-*b*]indolizin-8-yl]prop-2-énamide  
*inhibiteur de la tyrosine kinase, antinéoplasique*

zipalertinib

*N*-[(8*S*)-4-amino-6-metil-5-(quinolin-3-il)-8,9-dihidropirimido[5,4-*b*]indolizin-8-il]prop-2-enamida  
*inhibidor de la tirosina kinasa, antineoplásico*



# Electronic structure available on Mednet: <http://mednet.who.int/>

# Structure électronique disponible sur Mednet: <http://mednet.who.int/>

# Estructura electrónica disponible en Mednet: <http://mednet.who.int/>

\*[https://cdn.who.int/media/docs/default-source/international-nonproprietary-names-\(inn\)/radicalbook2015.pdf?sfvrsn=9453c2a5\\_8&download=true](https://cdn.who.int/media/docs/default-source/international-nonproprietary-names-(inn)/radicalbook2015.pdf?sfvrsn=9453c2a5_8&download=true)



**Names for chemical modifications of INN (substituent groups, counterions, adduct partners, etc.):**

Many pharmaceutical substances for which an International Nonproprietary Name (INN) has been established are used as modified derivatives (salts, esters, protein-drug conjugates, solvates, etc.). The chemical modification (including counterions) involved may be of complex nature and it is then inconvenient to use its systematic chemical name. Consequently, shorter nonproprietary names for such modifications have been devised, and these are recommended for creating modified International Nonproprietary Names (INN).

**Dénominations applicables aux modifications chimiques des DCI (groupes substituants, contre-ions, adduits, etc.) :**

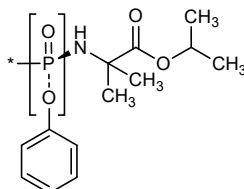
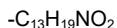
Certaines substances pour lesquelles une dénomination commune internationale proposée a été établie sont parfois utilisées comme dérivés modifiés (sels, esters, médicaments conjugués à des protéines, produits de solvatation, etc.). Les modifications chimiques (incluant les contre-ions) sont alors quelques fois si complexes qu'il est malcommode de les désigner conformément à la nomenclature chimique systématique. Des dénominations communes abrégées ont donc été formées ou choisies pour certaines d'entre elles et il est suggéré de les employer pour créer les dénominations communes internationales modifiées (DCIM).

**Denominaciones aplicables a modificaciones químicas de las DCI (grupos sustituyentes, contraiones, aductos, etc.):**

Muchas sustancias farmacéuticas para las cuales hay establecidas una denominación común internacional (DCI) pueden usarse como derivados modificados (sales, ésteres, medicamentos conjugados con proteínas, solvatos, etc.). Las modificaciones químicas (incluidos los contraiones) implicadas pueden ser de naturaleza compleja y por tanto es inapropiado utilizar su nombre químico sistemático. Como consecuencia, se han diseñado denominaciones abreviadas para estas modificaciones y se recomiendan para la creación de Denominaciones Comunes Internacionales modificadas (DCIM).

**amibufenamidum**

amibufenamide	(S)- <i>P</i> -{2-methyl-1-oxo-1-[(propan-2-yl)oxy]propan-2-yl}amide <i>P</i> -phenyl ester
amibufénamide	(S)- <i>P</i> -{2-méthyl-1-oxo-1-[(propan-2-yl)oxy]propan-2-yl}amide et ester <i>P</i> -phénylique (de)
amibufenamida	(S)- <i>P</i> -{2-metil-1-oxo-1-[(propan-2-il)oxi]propan-2-il}amido y éster <i>P</i> -fenílico (del)



**debotansinum**

debotansine

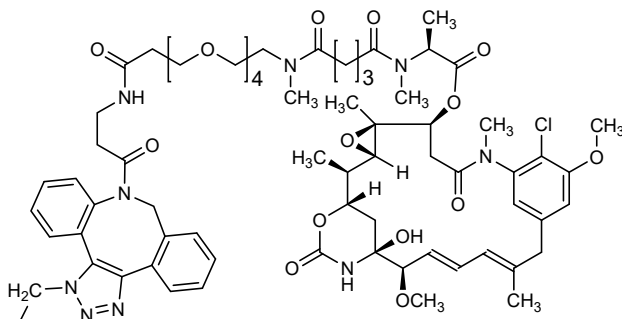
{8-[(2S)-28-[[[(1<sup>4</sup>S,1<sup>6</sup>S,2R,3<sup>2</sup>S,3<sup>3</sup>S,4S,10E,12E,14R)-8<sup>6</sup>-chloro-1<sup>4</sup>-hydroxy-8<sup>5</sup>,14-dimethoxy-2,3<sup>3</sup>,7-trimethyl-1<sup>2</sup>,6-dioxo-7-aza-1(6,4)-[1,3]oxazinana-3(2,3)-oxirana-8(1,3)-benzenacyclotetradecaphane-10,12-dien-4-yl]oxy]-2,3,9-trimethyl-1,4,8,24-tetraoxo-12,15,18,21-tetraoxa-3,9,25-triazaoctacosan-28-oyl]-8,9-dihydro-1*H*(or 3*H*)-dibenzo[*b,f*][1,2,3]triazolo[4,5-*d*]azocin-1(or 3)-yl]methyl

débotansine

{8-[(2S)-28-[[[(1<sup>4</sup>S,1<sup>6</sup>S,2R,3<sup>2</sup>S,3<sup>3</sup>S,4S,10E,12E,14R)-8<sup>6</sup>-chloro-1<sup>4</sup>-hydroxy-8<sup>5</sup>,14-diméthoxy-2,3<sup>3</sup>,7-triméthyl-1<sup>2</sup>,6-dioxo-7-aza-1(6,4)-[1,3]oxazinana-3(2,3)-oxirana-8(1,3)-benzénacyclotétradécaphane-10,12-dién-4-yl]oxy]-2,3,9-triméthyl-1,4,8,24-tetraoxo-12,15,18,21-tetraoxa-3,9,25-triazaoctacosan-28-oyl]-8,9-dihydro-1*H*(ou 3*H*)-dibenzo[*b,f*][1,2,3]triazolo[4,5-*d*]azocin-1(ou 3)-yl]méthyle

debotansina

{8-[(2S)-28-[[[(1<sup>4</sup>S,1<sup>6</sup>S,2R,3<sup>2</sup>S,3<sup>3</sup>S,4S,10E,12E,14R)-8<sup>6</sup>-cloro-1<sup>4</sup>-hidroxi-2,3<sup>3</sup>,7-trimetil-8<sup>5</sup>,14-dimetoxi-1<sup>2</sup>,6-dioxo-7-aza-1(6,4)-[1,3]oxazinana-3(2,3)-oxirana-8(1,3)-bencenacyclotetradecafano-10,12-dien-4-il]oxi]-2,3,9-trimetil-1,4,8,24-tetraoxo-12,15,18,21-tetraoxa-3,9,25-triazaoctacosan-28-oil]-8,9-dihidro-1*H*(o 3*H*)-dibenzo[*b,f*][1,2,3]triazolo[4,5-*d*]azocin-1(o 3)-il]metil

-C<sub>68</sub>H<sub>89</sub>ClN<sub>9</sub>O<sub>17</sub>**gluras**

glurate

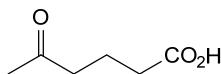
4-carboxybutanoyl (hydrogen pentanedioate ester)

glurate

4-carboxybutanoyle (ester hydrogénopentanedioïque)

glurato

4-carboxibutanoilo (éster hidrógenopentandioico)

-C<sub>5</sub>H<sub>7</sub>O<sub>3</sub>**mepixelitum**

mepixelitil

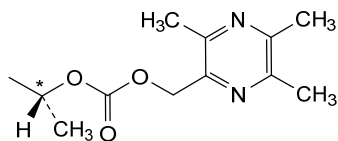
*rac*-(1*R*)-1-(((3,5,6-trimethylpyrazin-2-yl)methoxy)carbonyl)oxyethyl

mépixelít

*rac*-(1*R*)-1-(((3,5,6-triméthylpirazin-2-yl)méthoxy)carbonyl)oxyéthyle

mepixelitilo

*rac*-(1*R*)-1-(((3,5,6-trimetilpirazin-2-il)metoxi)carbonil)oxi)etilol

$-C_{11}H_{15}N_2O_3$ 

\* and enantiomer (1:1)  
 \* et énantiomère (1:1)  
 \* y enantiómero (1:1)

**mopivabilum**

mopivabil

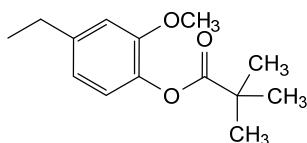
{4-[(2,2-dimethylpropanoyl)oxy]-3-methoxyphenyl)methyl

mopivabil

{4-[(2,2-diméthylpropanoyl)oxy]-3-méthoxyphényl)méthyle

mopivabilo

{4-[(2,2-dimetilpropanoil)oxi]-3-metoxifenil)metilo

 $-C_{13}H_{17}O_3$ **obaluronas**

obaluronate

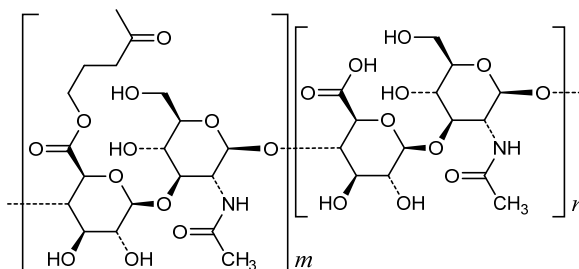
[[hyaluronic acid]polyoyl]poly[oxy(1-oxobutane-4,1-diyl)] (ester)

obaluronate

[[acide hyaluronique]polyoyl]poly[oxy(1-oxobutane-4,1-diyle)] (ester)

obaluronato

[[ácido hialurónico]polioil]poli[oxi(1-oxobutano-4,1-diilo)] (éster) –

 $[C_{18}H_{26}NO_{12} \cdots]_m, [C_{14}H_{20}NNaO_{11} \cdots]_n$ 
**obisbemedum**

obisbameda

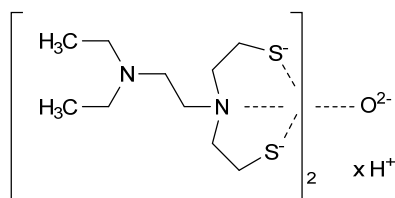
(x-hydrogen) bis[2,2'-[[2-(diethylamino)ethyl]azanediyl]bis(ethane-1-thiolate)] oxide coordination complex

obisbémeda

complexe de coordination de (x-hydrogène)bis[2,2'-[[2-(diéthylamino)éthyl]azanediyl]bis(éthane-1-thiolate)] et d'oxyde

obisbameda

complejo de coordinación de (x-hidrógeno)bis[2,2'-[[2-(diethylamino)etil]azanodiil]bis(etano-1-tiolato)] y de óxido



x depends on the valency of the metal cation.  
x dépend de la valence du cation métallique.  
x depende de la valencia del catión metálico.

**phenylbutyras**

phenylbutyrate

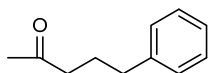
4-phenylbutanoyl (4-phenylbutanoate ester)

phénylbutyrate

4-phénylbutanoyle (ester 4-phénylbutanoïque)

fenilbutirato

4-fenilbutanoilo (éster 4-fenilbutanoico)

**sucistilum**

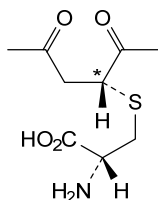
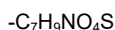
sucistil

(2*RS*)-2-(L-cystein-S-yl)butanedioyl

sucistil

(2*RS*)-2-(L-cystéin-S-yl)butanedioyle

sucistilo

(2*RS*)-2-(L-cistein-S-il)butanodioilo

and epimer at C\*  
et l'épimère en C\*  
y el epímero al C\*

**sudocetaxelum**

sudocetaxel

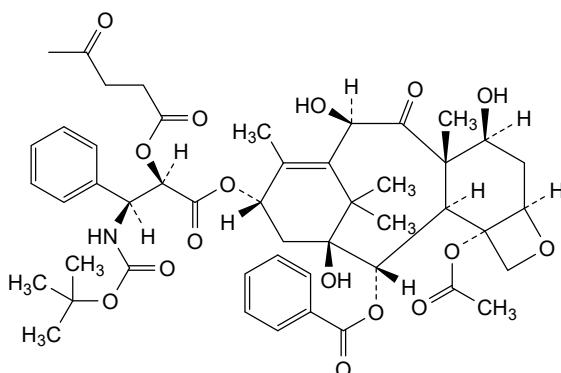
4-(((2*R*,3*S*)-1-[[4-(acetyloxy)-2α-(benzoyloxy)-5β,20-epoxy-1,7β,10β-trihydroxy-9-oxotax-11-en-13α-yl]oxy]-3-[[*tert*-butoxycarbonyl]amino]-1-oxo-3-phenylpropan-2-yl]oxy)-4-oxobutanoyl

sudocétaxel

4-(((2*R*,3*S*)-1-[[4-(acétyloxy)-2α-(benzoyloxy)-5β,20-époxy-1,7β,10β-trihydroxy-9-oxotax-11-én-13α-yl]oxy]-3-[[*tert*-butoxycarbonyl]amino]-1-oxo-3-phénylpropan-2-yl]oxy)-4-oxobutanoyle

sudocetaxel

4-(((2*R*,3*S*)-1-[[4-(acetiloxi)-2α-(benzoiloxi)-5β,20-epoxi-1,7β,10β-trihidroxi-9-oxotax-11-en-13α-il]oxi]-3-[[*terc*-butoxicarbonil]amino]-3-fenil-1-oxopropan-2-il]oxi)-4-oxobutanoilo

$-C_{47}H_{56}NO_{16}$ **tazevibulinum**

tazevibulin

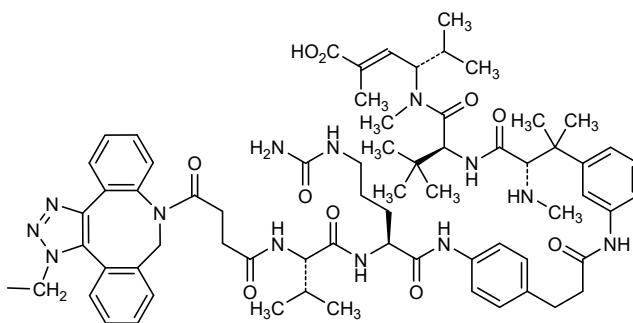
[8-(4-(((2S)-1-(((2S)-5-(carbamoylamino)-1-(4-(((3-((3S)-4-(((2S)-1-(((3S,4E)-5-carboxy-2-methylhex-4-en-3-yl)(methyl)amino)-3,3-dimethyl-1-oxobutan-2-yl)amino)-2-methyl-3-(methylamino)-4-oxobutan-2-yl)phenyl)carbamoyl)oxy)methyl)anilino)-1-oxopentan-2-yl)amino)-3-methyl-1-oxobutan-2-yl)amino)-4-oxobutanoyl)-8,9-dihydro-1*H*(or 3*H*)-dibenzo[*b,f*][1,2,3]triazolo[4,5-*d*]azocin-1(or 3)-yl)methyl

tazévibuline

[8-(4-(((2S)-1-(((2S)-5-(carbamoylamino)-1-(4-(((3-((3S)-4-(((2S)-1-(((3S,4E)-5-carboxy-2-méthylhex-4-én-3-yl)(méthyl)amino)-3,3-diméthyl-1-oxobutan-2-yl)amino)-2-méthyl-3-(méthylamino)-4-oxobutan-2-yl)phényl)carbamoyl)oxy)méthyl)anilino)-1-oxopentan-2-yl)amino)-3-méthyl-1-oxobutan-2-yl)amino)-4-oxobutanoyl)-8,9-dihydro-1*H*(ou 3*H*)-dibenzo[*b,f*][1,2,3]triazolo[4,5-*d*]azocin-1(ou 3)-yl)méthyle

tazevibulina

[8-(4-(((2S)-1-(((2S)-5-(carbamoylamino)-1-(4-(((3-((3S)-4-(((2S)-1-(((3S,4E)-5-carboxy-2-methylhex-4-en-3-yl)(methyl)amino)-3,3-dimethyl-1-oxobutan-2-yl)amino)-2-methyl-3-(methylamino)-4-oxobutan-2-yl)phenyl)carbamoyl)oxy)methyl)anilino)-1-oxopentan-2-yl)amino)-3-methyl-1-oxobutan-2-yl)amino)-4-oxobutanoyl)-8,9-dihydro-1*H*(or 3*H*)-dibenzo[*b,f*][1,2,3]triazolo[4,5-*d*]azocin-1(or 3)-yl)methyl

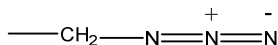
 $-C_{66}H_{86}N_{13}O_{11}$ 

**tazidum**

tazide azidomethyl

tazide azidométhyle

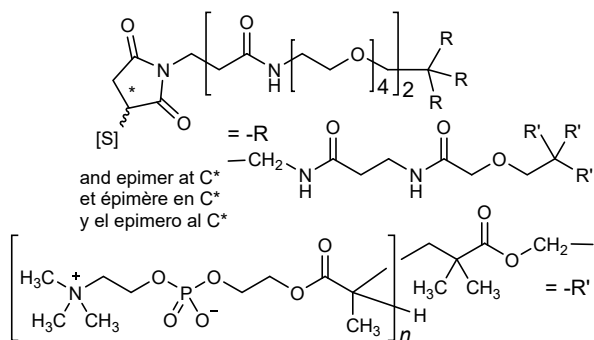
tazide azidometilo

-CH<sub>2</sub>N<sub>3</sub>**tedromerum**

tedromer (3*RS*)-1-[1,1,1-tris({3-[2-(2,2,2-tris[(2-{α-(bromo / ethoxy / hydro / hydroxy)poly[1-(10,10-dimethyl-6-oxido-6-oxo-2,5,7-trioxa-10-aza-6λ<sup>5</sup>-phosphaundecan-10-ium-1-oyl)-1-methylethane-1,2-diy]-ω-yl)-2-methylpropanoyl]oxy)methyl]ethoxy)acetamido]propanamido)methyl)-16,32-dioxo-3,6,9,12,19,22,25,28-octaoxa-15,31-diazatetatriacontan-34-yl]-2,5-dioxopyrrolidin-1-yl

tédromère (3*RS*)-1-[1,1,1-tris({3-[2-(2,2,2-tris[(2-{α-(bromo / éthoxy / hydro / hydroxy)poly[1-(10,10-diméthyl-6-oxido-6-oxo-2,5,7-trioxa-10-aza-6λ<sup>5</sup>-phosphaundécane-10-ium-1-oyl)-1-méthyléthane-1,2-diy]-ω-yl)-2-méthylpropanoyle]oxy]méthyl]éthoxy)acétamido]propanamido)méthyl)-16,32-dioxo-3,6,9,12,19,22,25,28-octaoxa-15,31-diazatétratriacontan-34-yl]-2,5-dioxopyrrolidin-1-yle

tetrómero (3*RS*)-1-[1,1,1-tris({3-[2-(2,2,2-tris[(2-{α-(bromo / etoxi / hidro / hidroxi)poli[1-(10,10-dimetil-6-oxido-6-oxo-2,5,7-trioxa-10-aza-6λ<sup>5</sup>-fosfaundecan-10-io-1-oi]-1-metiletano-1,2-diil]-ω-il)-2-metilpropanoil]oxi]metil]etoxi)acetamido]propanamido)metil)-16,32-dioxo-3,6,9,12,19,22,25,28-octaoxa-15,31-diazatettriacontan-34-il]-2,5-dioxopirrolidin-1-ilo

-(C<sub>97</sub>H<sub>155</sub>N<sub>9</sub>O<sub>39</sub>)(C<sub>11</sub>H<sub>22</sub>NO<sub>6</sub>P)<sub>n</sub>**zuvotolimodum**

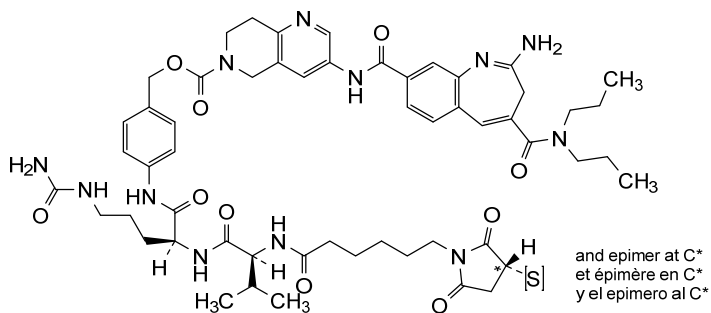
zuvotolimod

(11*S*,14*S*)-1<sup>2</sup>-amino-11-[3-(carbamoylamino)propyl]-1<sup>4</sup>-(dipropylcarbamoyl)-2,5,10,13,16,22<sup>5</sup>,22<sup>5</sup>-heptaoxa-14-(propan-2-yl)-4<sup>7</sup>,4<sup>8</sup>-dihydro-1<sup>3</sup>*H*,4<sup>5</sup>*H*-6-oxa-3,9,12,15-tetraaza-1(8)-[1]benzazepina-4(3,6)-[1,6]naphthyridina-22(1)-pyrrolidina-8(1,4)-benzenadocosaphan-22<sup>3</sup>-yl

zuvotolimod (11*S*,14*S*)-1<sup>2</sup>-amino-11-[3-(carbamoylamino)propyl]-1<sup>4</sup>-(dipropylcarbamoyl)-2,5,10,13,16,22<sup>2</sup>,22<sup>5</sup>-heptaoxo-14-(propan-2-yl)-4<sup>7</sup>,4<sup>8</sup>-dihydro-1<sup>3</sup>*H*,4<sup>5</sup>*H*-6-oxa-3,9,12,15-tétraza-1(8)-[1]benzazépina-4(3,6)-[1,6]naphthyridina-22(1)-pyrrolidina-8(1,4)-benzénadocosaphan-22<sup>3</sup>-yle

zuvotolimod (11*S*,14*S*)-1<sup>2</sup>-amino-11-[3-(carbamoylamino)propil]-1<sup>4</sup>-(dipropylcarbamoyl)-2,5,10,13,16,22<sup>2</sup>,22<sup>5</sup>-heptaoxo-14-(propan-2-il)-4<sup>7</sup>,4<sup>8</sup>-dihydro-1<sup>3</sup>*H*,4<sup>5</sup>*H*-6-oxa-3,9,12,15-tétraza-1(8)-[1]benzazépina-4(3,6)-[1,6]naphthyridina-22(1)-pyrrolidina-8(1,4)-benzenadocosafan-22<sup>3</sup>-ilo

-C<sub>55</sub>H<sub>71</sub>N<sub>12</sub>O<sub>10</sub>







## Proposed International Nonproprietary Names: List 126 – COVID-19 (special edition)

Comments on, or formal objections to, the proposed names may be forwarded by any person to the INN Programme of the World Health Organization within four months of the date of their publication in *WHO Drug Information*, i.e., for **List 126 – COVID-19 (special edition) Proposed INN not later than 27 May 2022**

**Publication date:** 28 January 2022

## Dénominations communes internationales proposées: Liste 126 – COVID-19 (édition spéciale)

Des observations ou des objections formelles à l'égard des dénominations proposées peuvent être adressées par toute personne au Programme des Dénominations communes internationales de l'Organisation mondiale de la Santé dans un délai de quatre mois à compter de la date de leur publication dans *WHO Drug Information*, c'est à dire pour la **Liste 126 – COVID-19 (édition spéciale de DCI Proposées le 27 mai 2022 au plus tard.**

**Date de publication :** 27 janvier 2022

## Denominaciones Comunes Internacionales Propuestas: Lista 126 – COVID-19 (edición especial)

Cualquier persona puede dirigir observaciones u objeciones respecto de las denominaciones propuestas, al Programa de Denominaciones Comunes Internacionales de la Organización Mundial de la Salud, en un plazo de cuatro meses, contados desde la fecha de su publicación en *WHO Drug Information*, es decir, para la **Lista 126 – COVID-19 (edición especial) de DCI Propuestas el 27 de Mayo de 2022 a más tardar.**

**Feccha de publicación:** 28 de Enero de 2022

<i>Proposed INN</i> (Latin, English, French, Spanish)	<i>Chemical name or description: Action and use: Molecular formula</i> <i>Chemical Abstracts Service (CAS) registry number: Graphic formula</i>
<i>DCI Proposée</i>	<i>Nom chimique ou description: Propriétés et indications: Formule brute : Numéro dans le registre du CAS: Formule développée</i>
<i>DCI Propuesta</i>	<i>Nombre químico o descripción: Acción y uso: Fórmula molecular</i> <i>Número de registro del CAS: Fórmula desarrollada</i>

### abimtrevirum

abimtrevir

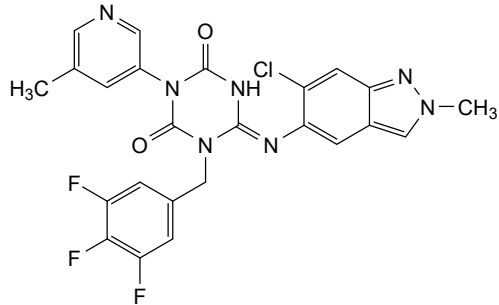
(6E)-6-[(6-chloro-2-methyl-2H-indazol-5-yl)imino]-3-(5-methylpyridin-3-yl)-1-[(3,4,5-trifluorophenyl)methyl]-1,3,5-triazinane-2,4-dione  
*antiviral*

abimtrevir

(6E)-6-[(6-chloro-2-méthyl-2H-indazol-5-yl)imino]-3-(5-méthylpyridin-3-yl)-1-[(3,4,5-trifluorophényl)méthyl]-1,3,5-triazinane-2,4-dione  
*antiviral*

abimtrevir

(6E)-6-[(6-cloro-2-metil-2H-indazol-5-il)imino]-3-(5-metilpiridin-3-il)-1-[(3,4,5-trifluorofenil)metil]-1,3,5-triazinano-2,4-diona  
*antiviral*



**bebtelovimabum #**  
bebtelovimab

immunoglobulin G1-lambda2, anti-[severe acute respiratory syndrome (human) coronavirus 2 (SARS-CoV-2) spike (S) glycoprotein, receptor binding domain (RBD)], *Homo sapiens* monoclonal antibody; gamma1 heavy chain *Homo sapiens* (1-449) [VH (*Homo sapiens* IGHV2-5\*02 (94.9%) -(IGHD) - IGHJ1\*01 (92.9%), CDR-IMGT [10.7.11] (26-35.53-59.98-108)) (1-119) -*Homo sapiens* IGHG1\*03 (100%), G1m3, nG1m1 (CH1 R120 (216) (120-217), hinge 1-15 (218-232), CH2 (233-342), CH3 E12 (358), M14 (360) (343-447), CHS (448-449)) (120-449)], (222-214')-disulfide with lambda2 light chain *Homo sapiens* (1'-215') [V-LAMBDA (*Homo sapiens* IGLV2-14\*01 (91.9%) -IGLJ2\*01 (100%), CDR-IMGT [9.3.9] (26-34.52-54.91-99)) (1'-109') -*Homo sapiens* IGLC2\*01 (100%) (110'-215')]; dimer (228-228":231-231")-bisdisulfide, produced in Chinese hamster ovary (CHO) cells, cell line CHO-K1SV lacking the glutamine synthetase (GS-KO) gene, glycoform alfa  
*antiviral*

bebtélovimab

immunoglobuline G1-lambda2, anti-[domaine de liaison au récepteur (RBD) de la glycoprotéine spike (S) du coronavirus 2 (humain) du syndrome respiratoire aigu sévère (SARS-CoV-2)], anticorps monoclonal *Homo sapiens*; chaîne lourde gamma1 *Homo sapiens* (1-449) [VH (*Homo sapiens* IGHV2-5\*02 (94.9%) -(IGHD) - IGHJ1\*01 (92.9%), CDR-IMGT [10.7.11] (26-35.53-59.98-108)) (1-119) -*Homo sapiens* IGHG1\*03 (100%), G1m3, nG1m1 (CH1 R120 (216) (120-217), charnière 1-15 (218-232), CH2 (233-342), CH3 E12 (358), M14 (360) (343-447), CHS (448-449)) (120-449)], (222-214')-disulfure avec la chaîne légère lambda2 *Homo sapiens* (1'-215') [V-LAMBDA (*Homo sapiens* IGLV2-14\*01 (91.9%) -IGLJ2\*01 (100%), CDR-IMGT [9.3.9] (26-34.52-54.91-99)) (1'-109') -*Homo sapiens* IGLC2\*01 (100%) (110'-215')]; dimère (228-228":231-231")-bisdisulfure, produit dans des cellules ovariennes de hamster chinois (CHO), lignée cellulaire CHO-K1SV ne présentant pas le gène de la glutamine synthétase (GS-KO), glycoforme alfa  
*antiviral*

**bebtelovimab**

inmunoglobulina G1-lambda2, anti-[dominio de unión al receptor (RBD) de la glicoproteína spike (S) del coronavirus 2 (humano) del síndrome respiratorio agudo severo (SARS-CoV-2)], anticuerpo monoclonal *Homo sapiens*;  
 cadena pesada gamma1 *Homo sapiens* (1-449) [VH (*Homo sapiens* IGHV2-5\*02 (94.9%) -(IGHD) -IGHJ1\*01 (92.9%), CDR-IMGT [10.7.11] (26-35.53-59.98-108)) (1-119) -*Homo sapiens* IGHG1\*03 (100%), G1m3, nG1m1 (CH1 R120 (216) (120-217), bisagra 1-15 (218-232), CH2 (233-342), CH3 E12 (358), M14 (360) (343-447), CHS (448-449)) (120-449)], (222-214')-disulfuro con la cadena ligera lambda2 *Homo sapiens* (1'-215') [V-LAMBDA (*Homo sapiens* IGLV2-14\*01 (91.9%) -IGLJ2\*01 (100%), CDR-IMGT [9.3.9] (26-34.52-54.91-99)) (1'-109') -*Homo sapiens* IGLC2\*01 (100%) (110'-215')]; dímero (228-228":231-231")-bisdisulfuro, producido en las células ováricas de hámster chino (CHO), línea celular CHO-K1SV en ausencia del gen glutamina sintetasa (GS-KO), forma glicosilada alfa  
**antiviral**

2578319-11-4

Heavy chain / Chaîne lourde / Cadena pesada

QITLKESGPT LVKPTQTLTL TCTFSGFSL S ISGVGVGWL R QPPGKALEWL 50  
 ALIYWDDDKR YSPSLKSRIT ISKDTSKNOV VLKMTNIDPV DTATYYCAHH 100  
 SISTIFDHWG QGTLVTVSSA STKGPSVFPL APSKSTSGG TAALGCLVKD 150  
 YFPEFVTVSW NSGALTSGVH TFPVAVLQSSG LYSLSVVTV PSSSLGTQTY 200  
 ICNVNHHKPSN TKVDKRVPEK SCDKTHTCP CPAPPELLGGP SVFLFPPKPK 250  
 DTLMISRTP E VTCVVVDVSH EDPEVKFNWY VDGVEVHNAK TKPREEQYNS 300  
 TYRVVSVLEV LHQDWLNGKE YKQKSVNKAL PAPIEKTISK AKGQPREPQV 350  
 YTLPPSREEM TKNQVSLTCL VKGFYPSDIA VEWESNGQPE MNYKTTTPVL 400  
 DSDGSFFLYS KLTVDKSRWQ QGNVFSCSV M HEALHNNHTQ KSLSLSPGK 449

Light chain / Chaîne légère / Cadena ligera

QSALTQPAV SGSPGQSITI SCTATSSDVG DYNVVSWYQQ HPGKAPKLM I 50  
 FEVSDRPSGI SNRFSGSKSG NTASLTISGL QAEDADYYC SSYTTSSAVF 100  
 GGGTKLTVLG QPKAAPSVTL FPPSSEELQA NKATLVCLIS DFYPGAVTVA 150  
 WKADSPVKA GVETTTPSKQ SNKYAASSY LSLTPPEQWKS HRSYSCQVTH 200  
 EGSTVERTVA PTECS 215

Post-translational modifications

Disulfide bridges location / Position des ponts disulfure / Posiciones de los puentes disulfuro  
 Intra-H (C23-C104) 22-97 146-202 263-323 369-427  
 22"-97" 146"-202" 263"-323" 369"-427"  
 Intra-L (C23-C104) 22-90" 137"-196"  
 22"-90" 137"-196"  
 Inter-H-L (h 5-CL 126) 222-214' 222"-214"  
 Inter-H-H (h 11, h 14) 228-228\* 231-231"

N-terminal glutaminyl cyclization / Cyclisation du glutaminyle N-terminal / Ciclación del glutamínilo N-terminal

Q > pyroglutamyl (pE, 5-oxoprolyl)  
 H VH Q1: 1, 1"  
 L VL Q1: 1, 1"

N-glycosylation sites / Sites de N-glycosylation / Posiciones de N-glicosilación

H CH2 N84.4:299, 299"  
 Fucosylated complex bi-antennary CHO-type glycans / glycanes de type CHO bi-antennaires complexes fucosylés / glicanos de tipo CHO biantenaricos complejos fucosilados.

**crexavibartum #**  
**crexavibart**

immunoglobulin G1-lambda2, anti-[severe acute respiratory syndrome (human) coronavirus 2 (SARS-CoV-2) spike (S) glycoprotein, receptor binding domain (RBD)], *Homo sapiens* monoclonal antibody;

- gamma1 heavy chain *Homo sapiens* (1-460) [VH (*Homo sapiens* IGHV3-53\*01 (97.9 %) -(IGHD) -IGHJ4\*01 (100%), CDR-IMGT [8.7.25] (26-33.51-57.96-120)) (1-131) -*Homo sapiens* IGHG1\*03, G1m3, nG1m1, G1v24 CH3 L107, S114 (CH1 R120 (228) (132-229), hinge 1-15 (230-244), CH2 (245-354), CH3 E12 (370), M14 (372), M107>L (442), N114>S (448) (355-459), CHS K2>del (460)) (132-460)], (234-215')-disulfide with lambda2 light chain *Homo sapiens* (1'-216') [V-LAMBDA (*Homo sapiens* IGLV2-14\*03 (100%) - IGLJ1\*01 (100%), CDR-IMGT [9.3.10] (26-34.52-54.91-100)) (1'-110') -*Homo sapiens* IGLC2\*01 (100%) (111'-216')]; dimer (240-240":243-243")-bisdisulfide, produced in Chinese hamster ovary (CHO) cells, glycoform alfa  
*antiviral*
- crexavibart immunoglobuline G1-lambda2, anti-[domaine de liaison au récepteur (RBD) de la glycoprotéine spike (S) du coronavirus 2 (humain) du syndrome respiratoire aigu sévère (SARS-CoV-2)], anticorps monoclonal *Homo sapiens*;  
chaîne lourde gamma1 *Homo sapiens* (1-460) [VH (*Homo sapiens* IGHV3-53\*01 (97.9 %) -(IGHD) -IGHJ4\*01 (100%), CDR-IMGT [8.7.25] (26-33.51-57.96-120)) (1-131) -*Homo sapiens* IGHG1\*03, G1m3, nG1m1, G1v24 CH3 L107, S114 (CH1 R120 (228) (132-229), charnière 1-15 (230-244), CH2 (245-354), CH3 E12 (370), M14 (372), M107>L (442), N114>S (448) (355-459), CHS K2>del (460)) (132-460)], (234-215')-disulfure avec la chaîne légère lambda2 *Homo sapiens* (1'-216') [V-LAMBDA (*Homo sapiens* IGLV2-14\*03 (100%) - IGLJ1\*01 (100%), CDR-IMGT [9.3.10] (26-34.52-54.91-100)) (1'-110') -*Homo sapiens* IGLC2\*01 (100%) (111'-216')]; dimère (240-240":243-243")-bisdisulfure, produit dans des cellules ovariennes de hamster chinois (CHO), glycoforme alfa  
*antiviral*
- crexavibart inmunoglobulina G1-lambda2, anti-[dominio de unión al receptor (RBD) de la glicoproteína spike (S) del coronavirus 2 (humano) del síndrome respiratorio agudo severo (SARS-CoV-2)], anticuerpo monoclonal *Homo sapiens*;  
cadena pesada gamma1 *Homo sapiens* (1-460) [VH (*Homo sapiens* IGHV3-53\*01 (97.9 %) -(IGHD) -IGHJ4\*01 (100%), CDR-IMGT [8.7.25] (26-33.51-57.96-120)) (1-131) -*Homo sapiens* IGHG1\*03, G1m3, nG1m1, G1v24 CH3 L107, S114 (CH1 R120 (228) (132-229), bisagra 1-15 (230-244), CH2 (245-354), CH3 E12 (370), M14 (372), M107>L (442), N114>S (448) (355-459), CHS K2>del (460)) (132-460)], (234-215')-disulfuro con la cadena ligera lambda2 *Homo sapiens* (1'-216') [V-LAMBDA (*Homo sapiens* IGLV2-14\*03 (100%) - IGLJ1\*01 (100%), CDR-IMGT [9.3.10] (26-34.52-54.91-100)) (1'-110') -*Homo sapiens* IGLC2\*01 (100%) (111'-216')]; dímero (240-240":243-243")-bisdisulfuro, producido en las células ováricas de hámster chino (CHO), forma glicosilada alfa  
*antiviral*

2599039-61-7

Heavy chain / Chaîne lourde / Cadena pesada  
 EVQLVESGGG LIQPGGSLRL SCAASGFTVS NNYMSWVRQA PGKGLEWVSV 50  
 IYSGGSTYYA DSVKGRFTIS RDKSKNTLYL QMNSLRAEDT AVYFCAREGE 100  
 VEGYNDVNSG YSRDRYFDY WGQGLTLVTS SASTKGFVSF PLAPSSKSTS 150  
 GGTALALGCLV KDYFPEPVTY SWNSGALTSQ VHTFFAVLQS SGLYLSLSSVV 200  
 TFPSSSLGTQ TYLCNUNHKF SNTKVKDRVE PKSCDKTHTC PPCPAPELLG 250  
 GPSVFLFPPK PKDTILMISRT FEVTCVVVDV SHEDPEVKFN WYVDGVEVHN 300  
 AKTKPREEQY NSTYRVVSVL TVLHQDWLNG KEYKCKVSNK ALPAPIEKTI 350  
 SKARGGPREP QVYTLPPSRE EMTKNQVSLT CLVKGFIYFD IAEWESNGQ 400  
 PENNYKTFPP VLDSGDGFFL YSKLTVDKSR WQQGNVFSCS VLHEALHSHY 450  
 TQRKLSLSPG 460

Light chain / Chaîne légère / Cadena ligera  
 QSALTQPASV SGSPGQSITI SCTGTSSDVG GYNVSVWYQQ HPGKAPKLMV 50  
 YDVSNRPSGV SNRFSGSKSG NTASLTISGL QAEDEADYYC SSYTSSSTRV 100  
 FGTGTVTVL GQPKAAPSVT LFPSSSEELQ ANKATLVCLV SDFYPGAVTV 150  
 AWKADSSPVK AGVETTPPSK QSNNKYAASS YLSLTPEQWK SHRSYSCQVT 200  
 HEGSTVEKTV APTKCS 216

**Post-translational modifications**  
 Disulfide bridges location / Position des ponts disulfure / Posiciones de los puentes disulfuro  
 Intra-H (C23-C104) 22-95 158-214 275-335 381-439  
 22"-95" 158"-214" 275"-335" 381"-439"  
 Intra-L (C23-C104) 22"-90" 138"-197"  
 22"-90" 138"-197"  
 Inter-H-L (h 5-CL 126) 234-215' 234"-215"  
 Inter-H-H (h 11, h 14) 240-240" 243-243"

N-terminal glutaminyl cyclization / Cyclisation du glutaminyle N-terminal / Ciclación del glutaminilo N-terminal  
 L VL Q1 > pyroglutamyl (pE, 5-oxopropyl): 1, 1"

N-glycosylation sites / Sites de N-glycosylation / Posiciones de N-glicosilación  
 H CH2 N84.4: 311, 311"  
 Fucosylated complex bi-antennary CHO-type glycans / glycanes de type CHO bi-antennaires complexes fucosylés / glicanos de tipo CHO biantennarios complejos fucosilados.

**efrilacedasum alfa #**  
 efrilacedase alfa

human angiotensin-converting enzyme 2 (ACE2, angiotensin-converting enzyme homolog, ACEH, ACE-related carboxypeptidase, metalloprotease MPROT15) fragment (1-715, containing soluble extracellular domains), fused to a human immunoglobulin G4 Fc fragment (716-944), covalent disulfide bridged dimer, produced in Chinese hamster ovary (CHO) cells, glycoform alfa;  
 human angiotensin-converting enzyme 2 (ACE2, angiotensin-converting enzyme homolog, ACEH, ACE-related carboxypeptidase, metalloprotease MPROT15, EC:3.4.17.23), [PPNQPPVS (716-723)>del]-soluble extracellular domains (1-715), fused with a C-terminal Fc fragment (229-peptide) of *Homo sapiens* immunoglobulin G4 [*Homo sapiens*IGHG4\*01 (hinge S725>P (716-727), CH2 (728-837), CH3 (838-942), CHS (943-944))](716-944), dimer (723-723':726-726')-bisdisulfide, produced in Chinese hamster ovary (CHO) cells, glycoform alfa  
*angiotensin-converting enzyme (ACE) 2 analogue*

efrilacédase alfa

fragment (1-715, contenant des domaines extracellulaires solubles) de l'enzyme humaine de conversion de l'angiotensine 2 (ACE2, homologue de l'enzyme de conversion de l'angiotensine, ACEH, carboxypeptidase de type ACE, métalloprotéase MPROT15), fusionné à un fragment Fc de l'immunoglobuline humaine G4 (716-944), dimère covalent à pont disulfure, produit dans des cellules d'ovaire de hamster chinois (CHO), glycoforme alpha; enzyme humaine de conversion de l'angiotensine 2 (ACE2, homologue de l'enzyme de conversion de l'angiotensine, ACEH, carboxypeptidase de type ACE,

métalloprotéase MPROT15, EC:3.4.17.23), [PPNQPPVS (716-723)>del] domaines extracellulaires solubles (1-715), fusionné avec un fragment Fc C-terminal (229-peptide) de l'immunoglobuline G4 d'*Homo sapiens* [Homo sapiens IGHG4\*01 (charnière S<sup>725</sup>>P (716-727), CH2 (728-837), CH3 (838-942), CHS (943-944))](716-944), dimère (723-723':726-726')-bisdisulfure, produit dans des cellules ovariennes de hamster chinois (CHO), glycoforme alfa  
*analogue de l'enzyme de conversion de l'angiotensine (ACE) 2*

efrilacedasa alfa

enzima convertidora de angiotensina humana 2 (ACE2, homólogo de la enzima convertidora de angiotensina, ACEH, carboxipeptidasa relacionada con ACE, metaloproteasa MPROT15) fragmento (1-715, que contiene dominios extracelulares solubles), fusionado al fragmento Fc de la inmunoglobulina humana G4 (716-944), dímero covalente unido al disulfuro, producido en células ováricas de hámster chino (CHO), glicofoma alfa;  
 enzima convertidora de angiotensina humana 2 (ACE2, homólogo de la enzima convertidora de angiotensina, ACEH, carboxipeptidasa relacionada con ACE, metaloproteasa MPROT15, EC:3.4.17.23), [PPNQPPVS (716-723)>del] dominios extracelulares solubles (1-715), fusionado con un fragmento Fc C-terminal (229-peptido) de inmunoglobulina G4 de *Homo sapiens* [Homo sapiens IGHG4\*01 (bisagra S<sup>725</sup>>P (716-727), CH2 (728-837), CH3 (838-942), CHS (943-944))](716-944), dímero (723-723':726-726')-bisdisulfuro, producido en las células ováricas de hámster chino (CHO), glicofoma alfa  
*análogo de la enzima conversora de la angiotensina (ECA) 2*

2642552-02-9

Sequence / Séquence / Secuencia	
QSTIEEQAKT	FLDKFNHEAE DLFYQSSLAS WNYNTNITEE NVQNMMNAGD 50
KWSAFLKEQS	TLAQMYPLQE IQNLTVKLQL QALQQNGSSV LSEDKSKRLN 100
TILNTMSTIY	STGKVCNFDN PQECLLLEPG LNEIMANSLD YNERLWAWES 150
WRSEVKGQLR	PLYEYVVLK NEMARANHYE DYGDYWRGDY EVNGVDGYDY 200
SRGQLIEDVE	HTFEEIKFLY EHLHAYVRAK LMNAYPSYIS FIGCLPAHLL 250
GDWGRFTWN	LYSLTVPFQG KPNIDVTDAM VDQAWDAQRI FKEAEKFFVS 300
VGLPNNMQGF	WENSMLTDPG NVQKAVCHPT AWDLGKGDPR ILMCTKVITMD 350
DFLTAHHEMG	HIQYDMAYAA QPFLRNGAN EGFHEAVGEI MSLSAATPKH 400
LKSIIGLLSPD	FQEDNETEIN FLLKQALTVI GTLPFTYMLE KWRWNVFKGE 450
IPDKQWKKKW	WEMKREIVGV VEPVPHDETY CDPASLFHVS NDYSFIRYTT 500
RTLTYQFQFE	ALCQAAKHEG FLHKCDISNS TEAQKLFNM LRLGKSEFWT 550
LALENVGAK	NMNVRELLNY FEPLFTWLKD QNKN5FVGS TDWSPYADQS 600
IKVRI5LKSA	LGDKAYEWN D NEMYLFSSV AYAMRQYFLK VRNQMLFGE 650
EDVRVANLKP	RISFNFFVTA PKNVSDIIPR TEVEKAI RMS RSRINDAFLR 700
NDNSLEFLGI	QPTLGESKYG PCCPCPAPE FLGGPSVFLF PPKPKDTLMI 750
SRTPEVTCVV	VDYSQEDPEV QFNWYVDGVE VHNARKTPRE EQFNSTYRVV 800
SVLTVLHQDW	LNGKEYKCKV SNRGLPSSIE KTISKARKQP REPQVYTLFP 850
SQEEMTKNOV	SLTCLVRGFY PSDIAVEWES NGQPENNYKT TPFVLDSDGS 900
FFLYSRLTVD	KSRWQEGNVF SCSVMHEALH NHYTQKLSL SLGK 944

Mutation / Mutation / Mutación  
 S725, S725>P

**Post-translational modifications**

Disulfide bridges location / Position des ponts disulfure / Posiciones de los puentes disulfuro

Intra-chain: 116-124, 327-344, 513-525, 758-818, 864-922;  
 116'-124', 327'-344', 513'-525', 758'-818', 864'-922';  
 (Cys-SH: C244, C481, C244', C481')

Inter-chain: 723-723', 726-726'

N-glycosylation sites / Sites de N-glycosylation / Posiciones de N-glicosilación

N36, N73, N86, N305, N415, N529, N673, N794;  
 N36', N73', N86', N305', N415', N529', N673', N794'

O-glycosylation sites / Sites de O-glycosylation / Posiciones de O-glicosilación

T713, T713' (very low level)

**ensitrelvirum**

ensitrelvir

(6*E*)-6-[(6-chloro-2-méthyl-2*H*-indazol-5-yl)imino]-3-[(1-méthyl-1*H*-1,2,4-triazol-3-yl)méthyl]-1-[(2,4,5-trifluorophényl)méthyl]-1,3,5-triazinane-2,4-dione  
*antiviral*

ensitrelvir

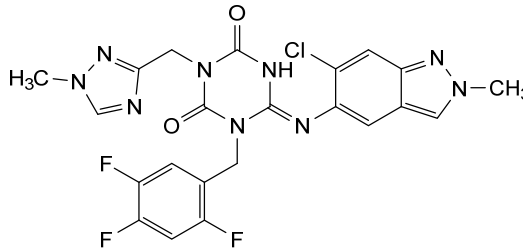
(6*E*)-6-[(6-chloro-2-méthyl-2*H*-indazol-5-yl)imino]-3-[(1-méthyl-1*H*-1,2,4-triazol-3-yl)méthyl]-1-[(2,4,5-trifluorophényl)méthyl]-1,3,5-triazinane-2,4-dione  
*antiviral*

ensitrelvir

(6*E*)-6-[(6-cloro-2-metil-2*H*-indazol-5-il)imino]-3-[(1-metil-1*H*-1,2,4-triazol-3-il)metil]-1-[(2,4,5-trifluorofenil)metil]-1,3,5-triazinano-2,4-diona  
*antiviral*

C<sub>22</sub>H<sub>17</sub>ClF<sub>3</sub>N<sub>9</sub>O<sub>2</sub>

2647530-73-0

**masavibartum #**

masavibart

immunoglobulin G1-lambda, anti-[severe acute respiratory syndrome (human) coronavirus 2 (SARS-CoV-2) spike (S) glycoprotein, receptor binding domain (RBD)], *Homo sapiens* monoclonal antibody;  
gamma1 heavy chain *Homo sapiens* (1-450) [VH (*Homo sapiens*IGHV3-30\*01 (96.9%) -(IGHD) -IGHJ4\*01 (100%), CDR-IMGT [8.8.13] (26-33.51-58.97-109)) (1-120) -*Homo sapiens*IGHG1\*03v, G1m3>G1m17, nG1m1, G1v14 CH2 A1.3, A1.2, G1v24 CH3 L107, S114 (CH1 R120>K (217) (121-218), hinge 1-15 (219-233), CH2 L1.3>A (237), L1.2>A (238), P114>G (332) (234-343), CH3 E12 (359), M14 (361), M107>L (431), N114>S (437) (344-448), CHS (449-450)) (121-450)], (223-215')-disulfide with lambda light chain *Homo sapiens* (1'-216') [V-LAMBDA (*Homo sapiens* IGLV2-14\*03 (94.9%) -IGLJ3\*02 (100%), CDR-IMGT [9.3.10] (26-34.52-54.91-100)) (1'-110') -*Homo sapiens*IGLC1\*02 (100%) (111'-216')]; dimer (229-229":232-232")-bisdisulfide, produced in Chinese hamster ovary (CHO) cells, cell line CHO-K1SV lacking the glutamine synthetase (GS-KO) gene, glycoform alfa  
*antiviral*

masavibart

immunoglobuline G1-lambda, anti-[domaine de liaison au récepteur (RBD) de la glycoprotéine spike (S) du coronavirus 2 (humain) du syndrome respiratoire aigu sévère (SARS-CoV-2)], anticorps monoclonal *Homo sapiens*;  
chaîne lourde gamma1 *Homo sapiens* (1-450) [VH (*Homo sapiens*IGHV3-30\*01 (96.9%) -(IGHD) -IGHJ4\*01 (100%), CDR-IMGT [8.8.13] (26-33.51-58.97-109)) (1-120) -*Homo sapiens*

IGHG1\*03v, G1m3>G1m17, nG1m1, G1v14 CH2 A1.3, A1.2, G1v24 CH3 L107, S114 (CH1 R120>K (217) (121-218), charnière 1-15 (219-233), CH2 L1.3>A (237), L1.2>A (238), P114>G (332) (234-343), CH3 E12 (359), M14 (361), M107>L (431), N114>S (437) (344-448), CHS (449-450)) (121-450)), (223-215')-disulfure avec la chaîne légère lambda *Homo sapiens* (1'-216') [V-LAMBDA (*Homo sapiens* IGLV2-14\*03 (94.9%) -IGLJ3\*02 (100%), CDR-IMGT [9.3.10] (26-34.52-54.91-100)) (1'-110') -*Homo sapiens* IGLC1\*02 (100%) (111'-216')]; dimère (229-229":232-232")-bisdisulfure, produit dans des cellules ovariennes de hamster chinois (CHO), lignée cellulaire CHO-K1SV ne présentant pas le gène de la glutamine synthétase (GS-KO), glycoforme alfa *antiviral*

masavibart

inmunoglobulina G1-lambda, anti-[dominio de unión al receptor (RBD) de la glicoproteína spike (S) del coronavirus 2 (humano) del síndrome respiratorio agudo severo (SARS-CoV-2)], anticuerpo monoclonal *Homo sapiens*;  
cadena pesada gamma1 *Homo sapiens* (1-450) [VH (*Homo sapiens* IGHV3-30\*01 (96.9%) -(IGHD) -IGHJ4\*01 (100%), CDR-IMGT [8.8.13] (26-33.51-58.97-109)) (1-120) -*Homo sapiens* IGHG1\*03v, G1m3>G1m17, nG1m1, G1v14 CH2 A1.3, A1.2, G1v24 CH3 L107, S114 (CH1 R120>K (217) (121-218), bisagra 1-15 (219-233), CH2 L1.3>A (237), L1.2>A (238), P114>G (332) (234-343), CH3 E12 (359), M14 (361), M107>L (431), N114>S (437) (344-448), CHS (449-450)) (121-450)], (223-215')-disulfuro con la cadena ligera lambda *Homo sapiens* (1'-216') [V-LAMBDA (*Homo sapiens* IGLV2-14\*03 (94.9%) -IGLJ3\*02 (100%), CDR-IMGT [9.3.10] (26-34.52-54.91-100)) (1'-110') -*Homo sapiens* IGLC1\*02 (100%) (111'-216')]; dímero (229-229":232-232")-bisdisulfuro, producido en las células ováricas de hamster chino (CHO), línea celular CHO-K1SV en ausencia del gen glutamina sintetasa (GS-KO), forma glicosilada alfa *antiviral*

2640223-84-1

## Heavy chain / Chaîne lourde / Cadena pesada

QVQLVDSGGG VVQPGSRSLR SCAASGFTFS NYAMYVWRQA PGKGLEWVAV 50  
 IYDSGNKYY ADSVKGRFTI SRDNSKNTLY LQMSLRTE D TAVYCASGS 100  
 DYGDYLLVYV GQGTLVTVSS ASTKGPSVFP LAPSSKSTSG GTAALGLCVL 150  
 DYFPEPVTVS WNSGALTSVG HTFPAVLQSS GLYLSVSVV VPSSSLGTQT 200  
 YICNVNKHPS NTKVDKKEP KCDKTRHTCP PCPAPFAEAGG PSVFLFPPKP 250  
 KDTLMISSRTP EVTCVVVDVS HEDPEVKFNW YVDGVEVHNA KTKPREEQYN 300  
 STYRVVSVLT VLNQDNLNGK EYCKYVSNKA LGAPIEKTI S KAKGQPREPQ 350  
 VYTLPPSRREE MTKNQVSLT LVRKGFYPSDI AVEWESNGQP ENNYKTTTPV 400  
 LDDSDGFFFLY SKLTVDKSRW QQGNVDFSCSV LHEALHSHYT QKSLSLSPGK 450

## Light chain / Chaîne légère / Cadena ligera

QSALTQFASV SGGSPGQSITI SCTGTSSDVG GYNYVSWYQQ HPGKAPKLM I 50  
 YDVSKRPSGV SNRPSGSKSG NTASLTISGL QSEDEADYYC NSLTSISTWV 100  
 FGGGKTLTVL GQPKANPTVT LFPPSSSEELQ ANKATLVCL I SDFYPGAVTV 150  
 AWKADGSPVK AGVETTRPKS QSNNKYAASS YLSLTPEQWK SHRSYSCQVT 200  
 HEGSTVEKTV APTECS 216

## Post-translational modifications

## Disulfide bridges location / Position des ponts disulfure / Posiciones de los puentes disulfuro

Intra-H (C23-C104) 22-96 147-203 264-324 370-428  
 22"-96" 147"-203" 264"-324" 370"-428"

Intra-L (C23-C104) 22'-90" 138"-197"  
 22"-90"- 138"-197"-

Inter-H-L (h 5-CL 126) 223-215" 223"-215"

Inter-H-H (h 11, h 14) 229-229" 232-232"

## N-terminal glutaminyl cyclization / Cyclisation du glutaminyle N-terminal / Ciclación del glutaminilo N-terminal

Q > pyroglutamyl (pE, 5-oxoprolyl)

H VH Q1: 1, 1"

L VL Q1: 1', 1"

## N-glycosylation sites / Sites de N-glycosylation / Posiciones de N-glicosilación

H CH2 N84.4:300, 300"

Fucosylated complex bi-antennary CHO-type glycans / glycanes de type CHO bi-antennaires complexes fucosylés / glicanos de tipo CHO biantennarios complejos fucosilados.

## C-terminal lysine clipping / Coupeure de la lysine C-terminale / Recorte de lisina C-terminal

H CHS K2: 450, 450"



**nepuvibartum #**  
nepuvibart

immunoglobulin G1-kappa, anti-[severe acute respiratory syndrome (human) coronavirus 2 (SARS-CoV-2) spike (S) glycoprotein, receptor binding domain (RBD)], *Homo sapiens* monoclonal antibody; gamma1 heavy chain *Homo sapiens* (1-450) [VH (*Homo sapiens* IGHV3-11\*01 (96.9%) -(IGHD) -IGHJ4\*01 (100%), CDR-IMGT [8.8.13] (26-33.51-58.97-109)) (1-120) -*Homo sapiens* IGHG1\*03v, G1m3>G1m17, nG1m1, G1v14 CH2 A1.3, A1.2, G1v24 CH3 L107, S114 (CH1 R120>K (217) (121-218), hinge 1-15 (219-233), CH2 L1.3>A (237), L1.2>A (238), P114>G (332) (234-343), CH3 E12 (359), M14 (361), M107>L (431), N114>S (437) (344-448), CHS (449-450)) (121-450)], (223-214')-disulfide with kappa light chain *Homo sapiens* (1'-214') [V-KAPPA (*Homo sapiens* IGKV1-33\*01 (96.8%) -IGKJ4\*01 (100%), CDR-IMGT [6.3.9] (27-32.50-52.89-97)) (1'-107') -*Homo sapiens* IGKC\*01 (100%), Km3 A45.1 (153), V101 (191) (108'-214')]; dimer (229-229'':232-232'')-bisulfide, produced in Chinese hamster ovary (CHO) cells, cell line CHO-K1SV lacking the glutamine synthetase (GS-KO) gene, glycoform alfa  
*antiviral*

## népuvibart

immunoglobuline G1-kappa, anti-[domaine de liaison au récepteur (RBD) de la glycoprotéine spike (S) du coronavirus 2 (humain) du syndrome respiratoire aigu sévère (SARS-CoV-2)], anticorps monoclonal *Homo sapiens*;  
chaîne lourde gamma1 *Homo sapiens* (1-450) [VH (*Homo sapiens* IGHV3-11\*01 (96.9%) -(IGHD) -IGHJ4\*01 (100%), CDR-IMGT [8.8.13] (26-33.51-58.97-109)) (1-120) -*Homo sapiens* IGHG1\*03v, G1m3>G1m17, nG1m1, G1v14 CH2 A1.3, A1.2, G1v24 CH3 L107, S114 (CH1 R120>K (217) (121-218), charnière 1-15 (219-233), CH2 L1.3>A (237), L1.2>A (238), P114>G (332) (234-343), CH3 E12 (359), M14 (361), M107>L (431), N114>S (437) (344-448), CHS (449-450)) (121-450)], (223-214')-disulfure avec la chaîne légère kappa *Homo sapiens* (1'-214') [V-KAPPA (*Homo sapiens* IGKV1-33\*01 (96.8%) -IGKJ4\*01 (100%), CDR-IMGT [6.3.9] (27-32.50-52.89-97)) (1'-107') -*Homo sapiens* IGKC\*01 (100%), Km3 A45.1 (153), V101 (191) (108'-214')]; dimère (229-229'':232-232'')-bisulfure, produit dans des cellules ovariennes de hamster chinois (CHO), lignée cellulaire CHO-K1SV ne présentant pas le gène de la glutamine synthétase (GS-KO), glycoforme alfa  
*antiviral*

## nepuvibart

immunoglobulina G1-kappa, anti-[dominio de unión al receptor (RBD) de la glicoproteína spike (S) del coronavirus 2 (humano) del síndrome respiratorio agudo severo (SARS-CoV-2)], anticuerpo monoclonal *Homo sapiens*;

cadena pesada gamma1 *Homo sapiens* (1-450) [VH (*Homo sapiens* IGHV3-11\*01 (96.9%) -(IGHD) - IGHJ4\*01 (100%), CDR-IMGT [8.8.13] (26-33.51-58.97-109)) (1-120) -*Homo sapiens* IGHG1\*03v, G1m3>G1m17, nG1m1, G1v14 CH2 A1.3, A1.2, G1v24 CH3 L107, S114 (CH1 R120>K (217) (121-218), bisagra 1-15 (219-233), CH2 L1.3>A (237), L1.2>A (238), P114>G (332) (234-343), CH3 E12 (359), M14 (361), M107>L (431), N114>S (437) (344-448), CHS (449-450)) (121-450)], (223-214')-disulfuro con la cadena ligera kappa *Homo sapiens* (1'-214') [V-KAPPA (*Homo sapiens* IGKV1-33\*01 (96.8%) - IGHJ4\*01 (100%), CDR-IMGT [6.3.9] (27-32.50-52.89-97)) (1'-107') -*Homo sapiens* IGKC\*01 (100%), Km3 A45.1 (153), V101 (191) (108'-214')]; dímero (229-229":232-232")-bisdisulfuro, producido en las células ováricas de hámster chino (CHO), línea celular CHO-K1SV en ausencia del gen glutamina sintetasa (GS-KO), forma glicosilada alfa

*antiviral*

2640224-48-0

Heavy chain / Chaîne lourde / Cadena pesada

QVQLVESGGG LVKPGGSLRL SCAASGFTFS DYYMSWIRQA PGKGLEWVSY 50  
 ITYSGSTIYY ADSVKGRFTI SRDIAKSSLY LQMNSLRAED TAVYYCARDR 100  
 GTTMVPPFDYW GQGTLTVTSS ASTKGPSVFP LAPSSKSTSG GTAALGCLVK 150  
 DYFPEPVTYS WNSGALTSGV HTFPAVLQSS GLYSLSSVVT VPSSSLGTQT 200  
 YICNVNHKPS NTKVDKRVPE KSCDKTHTCP PCPAPFAEAGG PSVFLPPKPK 250  
 KDTLIMISRTPEVTCVVVDVSD HEDPEVFNW YVDGVEVHNA KTKPREEQYN 300  
 STYRVVSVLT VLHQDWLNGK EYKQKVSNKA LGAPTEKTIK KAKGQPREPQ 350  
 VYTLPPSREE MTRKQVSLTC LVKGFYPSDI AVEWESNGQP ENNYKTTTTPV 400  
 LQSDGSEFFLY SKLTVDKSRW QQGNVFCSCV LHEALHSHYT QKSLSLSPGK 450

Light chain / Chaîne légère / Cadena ligera

DIQMTQSPSS LSASVGRDRT ITCCASQDIT NYLNWYQQKPK GKAPKLLIYA 50  
 ASNLEGTGVPF RFGSGSGTD FTFTISGLQP EDIATYYCQQ YDNLPLTFGG 100  
 GTRKVEIKRTV AAPSVFIFPP SDEQLKSGTA SVVCLLNIFY PREAKVQWKV 150  
 DNALQSGNSQ ESVTEQDSKDK STYLSLSTLT LSKADYERKH VYACEVTHQG 200  
 LSSPVTKSFN RGEC 214

Post-translational modifications

Disulfide bridges location / Position des ponts disulfure / Posiciones de los puentes disulfuro

Intra-H (C23-C104) 22-96 147-203 264-324 370-428  
 22"-96" 147"-203" 264"-324" 370"-428"

Intra-L (C23-C104) 23"-88" 134"-194"  
 23"-88" 134"-194"

Inter-H-L (h5-CL126) 223-214" 223"-214"

Inter-H-H (h11, h14) 229-229" 232-232"

N-terminal glutaminyl cyclization / Cyclisation du glutaminyle N-terminal / Ciclación del glutaminilo N-terminal

H V H Q 1 > pyroglutamyI (pE, 5-oxopropyl): 1, 1"

N-glycosylation sites / Sites de N-glycosylation / Posiciones de N-glicosilación

HCH2N84.4: 300, 300"

Fucosylated complex bi-antennary CHO-type glycans / glycanes de type CHO bi-antennaires complexes fucosylés / glicanos de tipo CHO biantenaricos complejos fucosilados.

C-terminal lysine clipping / Coupeure de la lysine C-terminale / Recorte de lisina C-terminal

HCHS K2: 450, 450"

**nirmatrelvirum**  
 nirmatrelvir

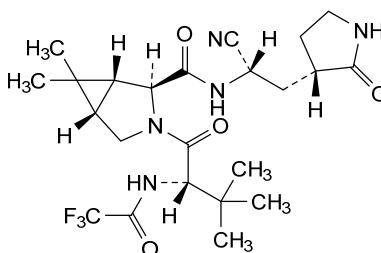
(1R,2S,5S)-N-((1S)-1-cyano-2-[(3S)-2-oxopyrrolidin-3-yl]ethyl)-3-[(2S)-3,3-dimethyl-2-(2,2,2-trifluoroacetamido)butanoyl]-6,6-dimethyl-3-azabicyclo[3.1.0]hexane-2-carboxamide  
*antiviral*

nirmatrelvir (1*R*,2*S*,5*S*)-*N*-((1*S*)-1-cyano-2-[(3*S*)-2-oxopyrrolidin-3-yl]éthyl)-3-[(2*S*)-3,3-diméthyl-2-(2,2,2-trifluoroacétamido)butanoïl]-6,6-diméthyl-3-azabicyclo[3.1.0]hexane-2-carboxamide  
*antiviral*

nirmatrelvir (1*R*,2*S*,5*S*)-*N*-((1*S*)-1-ciano-2-[(3*S*)-2-oxopirrolidin-3-il]etil)-3-[(2*S*)-3,3-dimetil-2-(2,2,2-trifluoroacetamido)butanoil]-6,6-dimetil-3-azabicclo[3.1.0]hexane-2-carboxamida  
*antiviral*

C<sub>23</sub>H<sub>32</sub>F<sub>3</sub>N<sub>5</sub>O<sub>4</sub>

2628280-40-8



ogalvibartum #  
ogalvibart

immunoglobulin G1-kappa, anti-[severe acute respiratory syndrome (human) coronavirus 2 (SARS-CoV-2) spike (S) glycoprotein, receptor binding domain (RBD)], *Homo sapiens* monoclonal antibody; gamma1 heavy chain *Homo sapiens* (1-448) [VH (*Homo sapiens*IGHV3-30\*01 (95.9%) -(IGHD) -IGHJ4\*01 (100%), CDR-IMGT [8.8.12] (26-33.51-58.97-108)) (1-119) -*Homo sapiens*IGHG1\*03, G1m3, nG1m1, G1v24 CH3 L107, S114 (CH1 R120 (216) (120-217), hinge 1-15 (218-232), CH2 (233-342), CH3 E12 (360), M14 (362), M107>L (430), N114>S (436) (343-447), CHS K2>del (448)) (120-448)], (222-214')-disulfide with kappa light chain *Homo sapiens* (1'-214') [V-KAPPA (*Homo sapiens*IGKV1-5\*01 (96.8%) -IGKJ1\*01 (100%), CDR-IMGT [6.3.9] (27-32.50-52.89-97)) (1'-107') -*Homo sapiens*IGKC\*01 (100%), Km3 A45.1 (153), V101 (191) (108'-214')]; dimer (228-228":231-231")-bisdisulfide, produced in Chinese hamster ovary (CHO) cells, glycoform alfa  
*antiviral*

ogalvibart

immunoglobuline G1-kappa, anti-[domaine de liaison au récepteur (RBD) de la glycoprotéine spike (S) du coronavirus 2 (humain) du syndrome respiratoire aigu sévère (SARS-CoV-2)], anticorps monoclonal *Homo sapiens*; chaîne lourde gamma1 *Homo sapiens* (1-448) [VH (*Homo sapiens*IGHV3-30\*01 (95.9%) -(IGHD) -IGHJ4\*01 (100%), CDR-IMGT [8.8.12] (26-33.51-58.97-108)) (1-119) -*Homo sapiens*IGHG1\*03, G1m3, nG1m1, G1v24 CH3 L107, S114 (CH1 R120 (216)

(120-217), charnière 1-15 (218-232), CH2 (233-342), CH3 E12 (360), M14 (362), M107>L (430), N114>S (436) (343-447), CHS K2>del (448)) (120-448)], (222-214')-disulfure avec la chaîne légère kappa *Homo sapiens* (1'-214') [V-KAPPA (*Homo sapiens* IGKV1-5\*01 (96.8%) -IGKJ1\*01 (100%), CDR-IMGT [6.3.9] (27-32.50-52.89-97)) (1'-107') - *Homo sapiens* IGKC\*01 (100%), Km3 A45.1 (153), V101 (191) (108'-214')]; dimère (228-228":231-231")-bisdisulfure, produit dans des cellules ovariennes de hamster chinois (CHO), glycoforme alfa  
*antiviral*

ogalvibart

inmunoglobulina G1-kappa, anti-[dominio de unión al receptor (RBD) de la glicoproteína spike (S) del coronavirus 2 (humano) del síndrome respiratorio agudo severo (SARS-CoV-2)], anticuerpo monoclonal *Homo sapiens*;

cadena pesada gamma1 *Homo sapiens* (1-448) [VH (*Homo sapiens* IGHV3-30\*01 (95.9%) -(IGHD) -IGHJ4\*01 (100%), CDR-IMGT [8.8.12] (26-33.51-58.97-108)) (1-119) -*Homo sapiens* IGHG1\*03, G1m3, nG1m1, G1v24 CH3 L107, S114 (CH1 R120 (216) (120-217), bisagra 1-15 (218-232), CH2 (233-342), CH3 E12 (360), M14 (362), M107>L (430), N114>S (436) (343-447), CHS K2>del (448)) (120-448)], (222-214')-disulfuro con la cadena ligera kappa *Homo sapiens* (1'-214') [V-KAPPA (*Homo sapiens* IGKV1-5\*01 (96.8%) -IGKJ1\*01 (100%), CDR-IMGT [6.3.9] (27-32.50-52.89-97)) (1'-107') -*Homo sapiens* IGKC\*01 (100%), Km3 A45.1 (153), V101 (191) (108'-214')]; dímero (228-228":231-231")-bisdisulfuro, producido en las células ováricas de hámster chino (CHO), forma glicosilada alfa  
*antiviral*

2599039-60-6

Heavy chain / Chaîne lourde / Cadena pesada

```

QVQLVESGGG VVQPGRLRL SCAASGFTFS SYAMHWVRQA PGKGLEWVAV 50
IPFDGRNKYY ADSVLTGRFTI SRDNSKNTLY LQMNSLRAED TAVVYCASS 100
GYLFHSDYWG QGLTVTVSSA STKGPSVPEL APSKSTSGG TALGLCLVKD 150
YFPEPVTVSW NSGALTSVGH TFPVLIQSSG LYSLSSTVTV PSSSLGTQTY 200
ICNVNHKFSN TKVDKRVPEK SCDKTHCTCP CPAPPELLGGP SVELEPPKPK 250
DTLMSIRTFE VTCVVVDVSH EDPEVKFNWY VDGVEVHNAK TKFREEQYMS 300
TYRVVSVLTV LHQDWLNGKE YKCKVSNKAL PAFIEKTIKSK AKGQPREPQV 350
YTLPPSREEM TKNQVSLTCL VKGFIYPDLA VEWESNGQPE NNYKTTPEVL 400
DSDGSPFLYS KLTVDKSRWQ QGNVFSCSVL HEALTHYHQ KSLSLSPG 448

```

Light chain / Chaîne légère / Cadena ligera

```

DIQMTQSPST LSASVGRDVT ITCRASQGIS NWLAWFQQKP GKAPKLLIYE 50
ASSLESGVPS RFGSGSGSTE FTLTISSLQP DDFATYYCQQ YNSYPWTFGQ 100
GTKVEIKRTV AAPSVFIFPP SDEQLKSGTA SVVCLLNPFY PREAKVQWQV 150
DNALQSGNSQ ESVTEQDSKD STYLSLSTLT LSKADYKHKH YACEVTHQG 200
LSSPVTKSFN RGEK 214

```

**Post-translational modifications**

Disulfide bridges location / Position des ponts disulfure / Posiciones de los puentes disulfuro

Intra-H (C23-C104) 22-96 146-202 263-323 369-427  
22"-96" 146"-202" 263"-323" 369"-427"

Intra-L (C23-C104) 23'-88' 134'-194'  
23"-88"" 134""-194""

Inter-H-L (h 5-CL 126) 222-214' 222"-214"

Inter-H-H (h 11, h 14) 228-228" 231-231"

N-terminal glutaminyl cyclization / Cyclisation du glutaminyle N-terminal / Ciclación del glutamínilo N-terminal

H VH Q1 &gt; pyroglutamyl (pE, 5-oxoprolyl); 1, 1"

N-glycosylation sites / Sites de N-glycosylation / Posiciones de N-glicosilación

H CH2 N84.4: 299, 299"

Fucosylated complex bi-antennary CHO-type glycans / glycanes de type CHO bi-antennaires complexes fucosylés / glicanos de tipo CHO biantennarios complejos fucosilados.

**paridiprubartum #**  
paridiprubart

immunoglobulin G1-kappa, anti-[*Homo sapiens* TLR4 (toll like receptor 4, toll-like receptor 4, CD284)], humanized monoclonal antibody;  
 gamma1 heavy chain humanized (1-448) [VH (*Homo sapiens* IGHV4-30-4\*07 (85.7%) -(IGHD) -IGHJ4\*01 (92.9%), CDR-IMGT [9.7.11] (26-34.52-58.97-107))] (1-118) -*Homo sapiens* IGHG1\*03, G1m3, nG1m1, G1v38 CH2 S108, F113 (CH1 R120 (215) (119-216), hinge 1-15 (217-231), CH2 N108>S (326), L113>F (329) (232-341), CH3 E12 (357), M14 (359) (342-446), CHS (447-448)) (119-448)], (221-214')-disulfide with kappa light chain humanized (1'-214') [V-KAPPA (*Homo sapiens* IGKV6-21\*02 (90.5%) -IGKJ4\*01 (100%), CDR-IMGT [6.3.9] (27-32.50-52.89-97))] (1'-107') -*Homo sapiens* IGKC\*01 (100%), Km3 A45.1 (153), V101 (191) (108'-214'); dimer (227'-227":230-230"-)bisdisulfide, produced in Chinese hamster ovary (CHO) cells, cell line CHO-K1SV, glycoform alfa  
*toll-like receptor antagonist*

## paridiprubart

immunoglobuline G1-kappa, anti-[*Homo sapiens* TLR4 (récepteur 4 de type Toll, récepteur 4 toll-like, CD284)], anticorps monoclonal humanisé;  
 chaîne lourde gamma1 humanisée (1-448) [VH (*Homo sapiens* IGHV4-30-4\*07 (85.7%) -(IGHD) -IGHJ4\*01 (92.9%), CDR-IMGT [9.7.11] (26-34.52-58.97-107))] (1-118) -*Homo sapiens* IGHG1\*03, G1m3, nG1m1, G1v38 CH2 S108, F113 (CH1 R120 (215) (119-216), charnière 1-15 (217-231), CH2 N108>S (326), L113>F (329) (232-341), CH3 E12 (357), M14 (359) (342-446), CHS (447-448)) (119-448)], (221-214')-disulfure avec la chaîne légère kappa humanisée (1'-214') [V-KAPPA (*Homo sapiens* IGKV6-21\*02 (90.5%) -IGKJ4\*01 (100%), CDR-IMGT [6.3.9] (27-32.50-52.89-97))] (1'-107') -*Homo sapiens* IGKC\*01 (100%), Km3 A45.1 (153), V101 (191) (108'-214'); dimère (227'-227":230-230"-)bisdisulfure, produit dans des cellules ovariennes de hamster chinois (CHO), lignée cellulaire CHO-K1SV, glycoforme alfa  
*antagoniste des récepteurs de type toll*

## paridiprubart

immunoglobulina G1-kappa, anti-[*Homo sapiens* TLR4 (receptor 4 de tipo Toll, receptor 4 toll-like, CD284)], anticuerpo monoclonal humanizado;  
 cadena pesada gamma1 humanizada (1-448) [VH (*Homo sapiens* IGHV4-30-4\*07 (85.7%) -(IGHD) -IGHJ4\*01 (92.9%), CDR-IMGT [9.7.11] (26-34.52-58.97-107))] (1-118) -*Homo sapiens* IGHG1\*03, G1m3, nG1m1, G1v38 CH2 S108, F113 (CH1 R120 (215) (119-216), bisagra 1-15 (217-231), CH2 N108>S (326), L113>F (329) (232-341), CH3 E12 (357), M14 (359) (342-446), CHS (447-448)) (119-448)], (221-214')-disulfuro con la cadena ligera kappa humanizada (1'-214') [V-KAPPA (*Homo sapiens* IGKV6-21\*02 (90.5%) -IGKJ4\*01 (100%), CDR-IMGT [6.3.9] (27-32.50-52.89-97))] (1'-107') -*Homo sapiens* IGKC\*01 (100%), Km3 A45.1 (153), V101 (191) (108'-214'); dímero (227'-227":230-230"-)bisdisulfuro, producido en las células ováricas de hámster chino (CHO), línea celular CHO-K1SV, forma glicosilada alfa  
*antagonista del receptor tipo toll*

2641646-59-3

## Heavy chain / Chaîne lourde / Cadena pesada

QVQLQESGPG LVKPSDITSL TCAVSGYSIT GGYSWHWIRQ PPGKLEWMMG 50  
 YIHYSYGFDF NPSLKRITIT SRDTSKNQFS LKLSSTVAVD TAVVYCARKD 100  
 PSDAFPYWQG GTLVTVSSAS TKGPSVFPLA PSSKSTSGTG AALGLVLDKY 150  
 FPEFVTVSWN SGALTSQVHT FPAVLQSSGL YLSSVTVTF SSSLGTTQTYI 200  
 CNVNHKPSNT KVDKRVKPKS CDKTHCTCPC PAPELLGGPS VFLFPPKPKD 250  
 TLMISRTPEV TCVVVDVSHS DPEVKFNWVY DGEVHNNAKT KPREEQYNST 300  
 YRVVSVLTVL HQDWLNGKEY KCKVSKKAPF APIEKTISKA KGQPREPQVY 350  
 TLPSPREEMT KNQVSLTCLV KGFYPSDIAV EWESNGQPEN NYKTTTPVLD 400  
 SDGSFFLYSK LTVDKSRWQQ GNVFSCSVMH EALHNHYTQK SLSLSPGK 448

## Light chain / Chaîne légère / Cadena ligera

EIVLTQSPDF QSVTEPEKVT ITCRASQGIS DHLHWYQQKQ DQSPKLLIKY 50  
 ASHAIQGVFV RFSGSGSGTD FTLTINSLEA EDAATYYCQ GHSPFLTFGG 100  
 GTRKVEIKRTV AAPSVFIFPP SDEQLKSGTA SVVCLLNIFY PREAKVQWKV 150  
 DNALQSGNSQ ESVTEQDSKD STYLSLSTLT LSKADYERKH VYACEVTHQG 200  
 LSSPVTKSFN RGEK 214

## Post-translational modifications

Disulfide bridges location / Position des ponts disulfure / Posiciones de los puentes disulfuro

Intra-H (C23-C104) 22-96 145-201 262-322 368-426  
 22"-96" 145"-201" 262"-322" 368"-426"

Intra-L (C23-C104) 23"-88" 134"-194"  
 23"-88" 134"-194"

Inter-H-L (h 5-CL 126) 221-214" 221"-214"

Inter-H-H (h 11, h 14) 227-227" 230-230"

N-terminal glutaminyl cyclization / Cyclisation du glutaminyle N-terminal / Ciclación del

glutaminilo N-terminal

H V H Q 1 &gt; pyroglutaminyl (pE, 5-oxoprolyl); 1, 1"

N-glycosylation sites / Sites de N-glycosylation / Posiciones de N-glicosilación

HCH2 N84.4: 298, 298"

Fucosylated complex bi-antennary CHO-type glycans / glycanes de type CHO bi-antennaires complexes fucosylés / glicanos de tipo CHO biantenaricos complejos fucosilados.

C-terminal lysine clipping / Coupeure de la lysine C-terminale / Recorte de lisina C-terminal

HCHS K2: 448, 448"

**plutavimabum #**  
 plutavimab

immunoglobulin G1-kappa, anti-[severe acute respiratory syndrome (human) coronavirus 2 (SARS-CoV-2) spike (S) glycoprotein, receptor binding domain (RBD)], *Homo sapiens* monoclonal antibody; gamma1 heavy chain *Homo sapiens* (1-447) [VH (*Homo sapiens*IGHV3-53\*01 (95.9%)-(IGHD)-IGHJ6\*01 (100%), CDR-IMGT [8.7.11] (26-33.51-57.96-106)) (1-117) -*Homo sapiens*IGHG1\*03 (100%), G1m3, nG1m1, G1v14 CH2 A1.3, A1.2(CH1 R120 (214) (118-215), hinge 1-15 (216-230), CH2 L1.3>A (234), L1.2>A (235) (231-340), CH3 E12 (356), M14 (358) (341-445), CHS (446-447)) (118-447)], (220-214')-disulfide with kappa light chain *Homo sapiens* (1'-214') [V-KAPPA (*Homo sapiens*IGKV1-12\*01 (93.7%)-IGKJ2\*01 (100%), CDR-IMGT [6.3.9] (27-32.50-52.89-97)) (1'-107') -*Homo sapiens*IGKC\*01 (100%), Km3 A45.1 (153),V101 (191) (108'-214')]; dimer (226-226":229-229")-bisdisulfide, produced in Chinese hamster ovary (CHO) cells, cell line CHO-K1, glycoform alfa  
 antiviral

## plutavimab

immunoglobuline G1-kappa, anti-[domaine de liaison au récepteur (RBD) de la glycoprotéine spike (S) du coronavirus 2 (humain) du syndrome respiratoire aigu sévère (SARS-CoV-2)], anticorps monoclonal *Homo sapiens*;  
 chaîne lourde gamma1 *Homo sapiens* (1-447) [VH (*Homo sapiens*IGHV3-53\*01 (95.9%)-(IGHD)-IGHJ6\*01 (100%), CDR-IMGT [8.7.11] (26-33.51-57.96-106)) (1-117) -*Homo sapiens*IGHG1\*03 (100%),

G1m3, nG1m1, G1v14 CH2 A1.3, A1.2 (CH1 R120 (214) (118-215), charnière 1-15 (216-230), CH2 L1.3>A (234), L1.2>A (235) (231-340), CH3 E12 (356), M14 (358) (341-445), CHS (446-447)) (118-447)], (220-214')-disulfure avec la chaîne légère kappa *Homo sapiens* (1'-214') [V-KAPPA (*Homo sapiens* IGKV1-12\*01 (93.7%) -IGKJ2\*01 (100%), CDR-IMGT [6.3.9] (27-32.50-52.89-97)) (1'-107')] -*Homo sapiens* IGKC\*01 (100%), Km3 A45.1 (153), V101 (191) (108'-214')]; dimère (226-226":229-229")-bisdisulfure, produit dans des cellules ovariennes de hamster chinois (CHO), lignée cellulaire CHO-K1, glycoforme alfa *antiviral*

plutavimab

immunoglobulina G1-kappa, anti-[dominio de unión al receptor (RBD) de la glicoproteína spike (S) del coronavirus 2 (humano) del síndrome respiratorio agudo severo (SARS-CoV-2)], anticuerpo monoclonal *Homo sapiens*; cadena pesada gamma1 *Homo sapiens* (1-447) [VH (*Homo sapiens* IGHV3-53\*01 (95.9%) -(IGHD) -IGHJ6\*01 (100%), CDR-IMGT [8.7.11] (26-33.51-57.96-106)) (1-117)] -*Homo sapiens* IGHG1\*03 (100%), G1m3, nG1m1, G1v14 CH2 A1.3, A1.2(CH1 R120 (214) (118-215), bisagra 1-15 (216-230), CH2 L1.3>A (234), L1.2>A (235) (231-340), CH3 E12 (356), M14 (358) (341-445), CHS (446-447)) (118-447)], (220-214')-disulfuro con la cadena ligera kappa *Homo sapiens* (1'-214') [V-KAPPA (*Homo sapiens* IGKV1-12\*01 (93.7%) -IGKJ2\*01 (100%), CDR-IMGT [6.3.9] (27-32.50-52.89-97)) (1'-107')] -*Homo sapiens* IGKC\*01 (100%), Km3 A45.1 (153), V101 (191) (108'-214')]; dímero (226-226":229-229")-bisdisulfuro, producido en las células ováricas de hamster chino (CHO), línea celular CHO-K1, forma glicosilada alfa *antiviral*

2529854-88-2

Heavy chain / Chaîne lourde / Cadena pesada

EVQLVESGGG	LIQPGGSLRL	SCAASGFTVS	SNYMSWRQA	PGKLEWVSI	50
IYPGGSTEYA	DSVKGFRFTIS	RDNRSNTLYL	QMSNLR AEDT	AVYYCARELG	100
YYGMDVWGQG	TVTIVSSAST	KGPSVFLPAP	SSKSTSGGTA	ALGCLVKDYF	150
PEFVTVSWNS	GALTSGVHVF	PAVLQSSGLY	SLSSVTVPS	SSLGTQTYIC	200
NVNHKPSNTK	VDRKVEPKSC	DKTHTCPPCP	APEAAGGSPV	FLFFPKPKDT	250
LMISRTPEVT	CVVVDVSHED	PEVKFNWYVD	GVEVHNAKTK	PREEQYNSTY	300
RVVSVLTVLH	QDWLNGKEYK	CKVSNKALPA	PIEKTISKAK	QGPPEQVYV	350
LPPSREEMTK	NQVSLTCLVK	GFYPSDIAVE	WESNGQPENN	YKTTTPEVLD	400
DGSFFLYSKL	TVDKSRWQQG	NVFSCSVME	ALHNHYTQKS	LSSLSPGK	447

Light chain / Chaîne légère / Cadena ligera

DIQMTQSPSS	VSASVGDRTV	ITCRASQGIS	TWLWVYQKPK	GKAPNLLIYG	50
ASSLQSGVPS	RFGSGSGGTD	FTLTISLQP	EDFATYQCQ	ANAYPYTFGQ	100
GTKLEIKRTV	AAPSVFIFPP	SDEQLKSGTA	SVVCLLNIFY	PREAKVQWKV	150
DNALQSGNSQ	ESVTEQDSKD	STYSLSTLT	LSKADYEKHK	VYACEVTHQG	200
LSSPVTKSFN	RGEC				214

Post-translational modifications

Disulfide bridges location / Position des ponts disulfure / Posiciones de los puentes disulfuro

Intra-H (C23-C104) 22-95 144-200 261-321 367-425  
 22"-95" 144"-200" 261"-321" 367"-425"

Intra-L (C23-C104) 23'-88" 134'-194"  
 23"'-88"' 134"'-194"

Inter-H-L (h 5-CL 126) 220-214' 220"-214"

Inter-H-H (h 11, h 14) 226-226' 229-229"

N-glycosylation sites / Sites de N-glycosylation / Posiciones de N-glicosilación

H CH2 N84.4: 297, 297"

Fucosylated complex bi-antennary CHO-type glycans / glycanes de type CHO bi-antennaires complexes fucosylés / glicanos de tipo CHO biantennarios complejos fucosilados.

C-terminal lysine clipping / Coupure de la lysine C-terminale / Recorte de lisina C-terminal  
 H CHS K2: 447, 447"

**polvitolimodum**

povitolimod

2-amino-9-(3-deoxy-3-fluoro-β-D-ribofuranosyl)-7-(prop-2-yn-1-yl)-7,9-dihydro-8H-purin-8-one  
*toll-like receptor agonist*

povitolimod

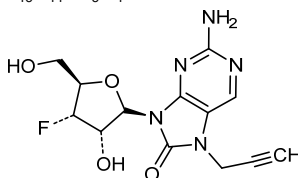
2-amino-9-(3-désoxy-3-fluoro-β-D-ribofuranosyl)-7-(prop-2-yn-1-yl)-7,9-dihydro-8H-purin-8-one  
*agoniste des récepteurs de type toll*

povitolimod

2-amino-9-(3-desoxi-3-fluoro-β-D-ribofuranosil)-7-(prop-2-in-1-il)-7,9-dihidro-8H-purin-8-ona  
*agonista del receptor tipo toll*

C<sub>13</sub>H<sub>14</sub>FN<sub>5</sub>O<sub>4</sub>

2389988-81-0

**vixicovtogenum oboplasmidum #**

vixicovtogene oboplasmid

DNA plasmid encoding a codon-optimized full-length SARS-CoV-2 (severe acute respiratory syndrome coronavirus 2) spike (S) glycoprotein (sequence based upon the SARS-CoV-2 isolate Wuhan-Hu-1 complete genome, GenBank: MN908947.3), including the S glycoprotein signal peptide, under control of the cytomegalovirus (CMV) immediate early promoter and bovine growth hormone polyadenylation (bGH polyA) signal. The plasmid also contains a pUC origin of replication and a neomycin/kanamycin antibiotic resistance gene.

*immunological agent for active immunization (anti-SARS-CoV-2)*

vixicovtogène oboplasme

plasmide d'ADN codant la séquence entière aux codons optimisés de la glycoprotéine du spicule (S) SRAS-CoV-2 (coronavirus 2 du syndrome respiratoire aigu sévère) (séquence basée sur le génome complet de l'isolat Wuhan-Hu-1 de SARS-CoV-2, GenBank: MN908947.3), y compris le peptide signal de la glycoprotéine S, sous le contrôle du promoteur précoce immédiat du cytomegalovirus (CMV) et du signal de polyadénylation de l'hormone de croissance bovine (bGH polyA). Le plasmide contient également une origine de répllication pUC et un gène de résistance aux antibiotiques néomycine/kanamycine.  
*agent immunologique d'immunisation active (anti-SARS-CoV-2)*

vixicovtogén oboplasmid

plásmido de DNA que codifica para la glicoproteína de la espícula (S) completa del SRAS-CoV-2 (coronavirus del síndrome respiratorio agudo severo 2), con codones optimizados (secuencia basada en el genoma completo del aislado de SARS-CoV-2 Wuhan-Hu-1, GenBank: MN908947.3), incluyendo el péptido señal de la glicoproteína S, bajo el control del



promotor inmediato temprano del citomegalovirus (CMV) y la señal de poliadenilación de la hormona de crecimiento bovina (bGH poli A). El plásmido también contiene un origen de replicación pUC y un gen de resistencia a los antibióticos neomicina/kanamicina. *agente inmunológico para inmunización activa (anti-SARS-CoV-2)*

2647405-07-8

**zelpultidum alfa #**

zelpultide alfa

human pulmonary surfactant-associated protein D (PSPD, surfactant protein D, SP-D, collectin-7, surfactant protein D), non-covalent quadruple trimer, produced in human myelogenous leukemia K562 cells, glycoforme alfa;  
human pulmonary surfactant protein D (PSPD, pulmonary surfactant-associated protein D, SP-D, lung surfactant protein D, collectin-7, COLEC7, SFTPD, SFTP4), non-covalent quadruple trimer, produced by recombinant human myelogenous leukemia K562 cells engineered for optimized glycosylation, glycoform alfa *pulmonary surfactant-associated protein D*

zelpultide alfa

protéine D humaine associée au surfactant pulmonaire (PSPD, protéine D du surfactant, SP-D, collectine-7, protéine D du surfactant), quadruple trimère non covalent, produite dans des cellules K562 de leucémie myéloïde humaine, glycoforme alfa;  
protéine D humaine du surfactant pulmonaire (PSPD, protéine D associée au surfactant pulmonaire, SP-D, protéine D du surfactant pulmonaire, collectine-7, COLEC7, SFTPD, SFTP4), trimère quadruple non covalent, produite par des cellules humaines recombinantes K562 de leucémie myéloïde conçues pour une glycosylation optimisée, glycoforme alfa *protéine D associée au surfactant pulmonaire*

zelpultida alfa

proteína D humana asociada a los surfactantes pulmonares (PSPD, proteína surfactante D, SP-D, colectina-7, surfactante proteína D), trímero no covalente cuádruple, producida en células humanas K562 de la leucemia mielógena, glicofoma alfa;  
proteína surfactante D humana (PSPD, proteína D asociada con surfactantes pulmonares, SP-D, proteína D del surfactante pulmonar, colectina-7, COLEC7, SFTPD, SFTP4), trímero cuádruple no covalente, producida por células humanas recombinantes K562 de la leucemia mielógena diseñadas para una glicosilación optimizada, glicofoma alfa *proteína D asociada al surfactante pulmonar*

2245003-06-7

Sequence / Séquence / Secuencia

AEMKTYSHRT	MPSACTLVMC	SSVESGLFGR	DGRDREGPR	GEKGDPLPG	50
AAGQAGMPGQ	AGPVGPKGDN	GSVGEVPGKG	DTGFSGPPGF	PGVPGPAGRE	100
GPLGKQGNIG	PQGGPKPKE	AGPKGEVGP	GMQGSAGARG	LAPKGERGV	150
PGERGVFGNT	GAAGSAGAMG	PQGSFGARGF	FGLKGDGKIP	GDKGARGESG	200
LPDVASLRQQ	VEALQQVQH	LQAAPFSQYKK	VELFPNGQSV	GEKIFKTAGF	250
VKPFTEAQLL	CTQAGGQLAS	FRSAAENAAL	QQLVVAKNEA	AFLSMTDSKT	300
EGKFITYPTGE	SLVYSNWAPG	EPNDDGGSED	CVEIFTNGKW	NDRACGEKRL	350
VVCEF					355

**Post-translational modifications**

Disulfide bridges location / Position des ponts disulfure / Posiciones de los puentes disulfuro  
261-353, 331-345

N-glycosylation sites / Sites de N-glycosylation / Posiciones de N-glicosilación  
N70

Hydroxylation (Lys-5Hyl, Pro-4Hyp) and O-glycosylation  
complete: P28, K145, K184;

partial: K43, P46, P49, P58, K67, P76, K79, P88, P91, P94, P115, K118, K124, P130,  
P151, P157, P175, P181, P190, K193, K196, P202

(highly sialylated and core-fucosylated complex glycans)

## Proposed International Nonproprietary Names: List 126 – COVID-19 (special edition) ADDENDUM

Comments on, or formal objections to, the proposed names may be forwarded by any person to the INN Programme of the World Health Organization within two weeks of the date of their publication on *WHO INN Programme website*, i.e., for **List 126 – COVID-19 (special edition) ADDENDUM of Proposed INN not later than 11 February 2022**, exceptionally for this special edition. Publication date: 28/01/2022

## Dénominations communes internationales proposées: Liste 126 - COVID-19 (édition spéciale) ADDENDUM

Des observations ou des objections formelles à l'égard des dénominations proposées peuvent être adressées par toute personne au Programme des Dénominations communes internationales de l'Organisation mondiale de la Santé dans un délai de deux semaines à compter de la date de leur publication sur le *site Internet du Programme des DCI de l'OMS*, c'est à dire pour la **Liste 126 - COVID-19 (édition spéciale) ADDENDUM de DCI Proposées le 11 février 2022 au plus tard**, exceptionnellement pour cette édition spéciale. Date de publication : 28/01/2022

## Denominaciones Comunes Internacionales Propuestas: Lista 126 - COVID-19 (edición especial) ADDENDUM

Cualquier persona puede dirigir observaciones u objeciones respecto de las denominaciones propuestas, al Programa de Comunes Internacionales de la Organización Mundial de la Salud, en un plazo de dos semanas, contados desde la fecha de su publicación en el *sitio web del Programa de las DCI de la OMS*, es decir, para la **Lista 126 - COVID-19 (edición especial) ADDENDUM de DCI Propuestas el 11 de febrero de 2022 a más tardar**, excepcionalmente para esta edición especial. Fecha de publicación: 28/01/2022

<i>Proposed INN</i> (Latin, English, French, Spanish)	<i>Chemical name or description: Action and use: Molecular formula, Chemical Abstracts Service (CAS) registry number: Graphic formula</i>
<i>DCI Proposée</i>	<i>Nom chimique ou description: Propriétés et indications: Formule brute, Numéro dans le registre du CAS: Formule développée</i>
<i>DCI Propuesta</i>	<i>Nombre químico o descripción: Acción y uso: Fórmula molecular, Número de registro del CAS: Fórmula desarrollada</i>

### riltozinameranum #

riltozinameran messenger RNA (mRNA), 5'-capped, encoding a full-length, codon-optimised pre-fusion stabilised conformation variant (K983P and V984P) of the SARS-CoV-2 (severe acute respiratory syndrome coronavirus 2; Omicron variant; B.1.1.529; hCoV-19/Botswana/R42B5\_BHP\_AAC25114/2021; GISAID: EPI\_ISL\_6752026) spike (S) glycoprotein, flanked by 5' and 3' untranslated regions and a 3' poly(A) tail; contains *N*<sup>1</sup>-methylpseudouridine instead of uridine (*all-U>m<sup>1</sup>Ψ*).  
*immunological agent for active immunization (anti-SARS-CoV-2)*

- riltozinaméran ARN messenger (ARNm), protégé en 5', codant la séquence entière d'un variant à la conformation stabilisée par pré-fusion (K983P et V984P) de la glycoprotéine de la spicule (S) du SARS-CoV-2 (coronavirus 2 du syndrome respiratoire aigu sévère; Omicron variant; B.1.1.529; hCoV-19/Botswana/R42B5\_BHP\_AAC25114/2021; GISAID: EPI\_ISL\_6752026) et aux codons optimisés, flanquée de régions non traduites en 5' et 3' et d'une queue poly(A) en 3'; contient de la N<sup>1</sup>-méthylpseudouridine au lieu de l'uridine (*touf-U>m<sup>1</sup>Ψ*).  
*agent immunologique pour immunisation active (anti-SARS-CoV-2)*
- riltozinamerán ARN mensajero (ARNm), protegido en 5', que codifica para una variante pre-fusión de conformación estabilizada (K983P y V984P) de la glicoproteína de la espícula (S) del SARS-CoV-2 (coronavirus 2 del síndrome respiratorio agudo severo; Omicron variant; B.1.1.529; hCoV-19/Botswana/R42B5\_BHP\_AAC25114/2021; GISAID: EPI\_ISL\_6752026) completa, con codones optimizados, flanqueada por regiones 5' y 3' no traducidas y una cola poly(A) en 3'; contiene N<sup>1</sup>-metilpseudouridina en lugar de uridina (*todo-U>m<sup>1</sup>Ψ*).  
*agente inmunológico para inmunización activa (anti-SARS-CoV-2)*

2749948-25-0

# Electronic structure available on Mednet: <http://mednet.who.int/>  
# Structure électronique disponible sur Mednet: <http://mednet.who.int/>  
# Estructura electrónica disponible en Mednet: <http://mednet.who.int/>

*Please note that due to exceptional pandemic circumstances, this Proposed INN is open for public consultation for a period of two weeks only (instead of four months) and the publication date to be retained is the date of web publication on the WHO INN website. The procedure "INN for Variant COVID-19 Vaccine Active Substances" can be found at <https://www.who.int/publications/i/item/inn-21-520>.*

*Veillez noter qu'en raison de circonstances pandémiques exceptionnelles, cette DCI Proposée est ouverte à la consultation publique pour une période de deux semaines seulement (au lieu de quatre mois) et la date de publication à retenir est la date de publication sur le site Internet du Programme des DCI de l'OMS. La procédure "INN for Variant COVID-19 Vaccine Active Substances" peut être trouvée à <https://www.who.int/publications/i/item/inn-21-520>.*

*Tenga en cuenta que debido a circunstancias excepcionales de la pandemia, esta DCI Propuesta está abierta a la consulta pública durante un período de sólo dos semanas (en lugar de cuatro meses) y la fecha de publicación que debe conservarse es la fecha de publicación en el sitio web del Programa de las DCI de la OMS. Se puede encontrar la procedura "INN for Variant COVID-19 Vaccine Active Substances" en nuestro sitio web <https://www.who.int/publications/i/item/inn-21-520>.*

**AMENDMENTS TO PREVIOUS LISTS  
MODIFICATIONS APPORTÉES AUX LISTES ANTÉRIEURES  
MODIFICACIONES A LAS LISTAS ANTERIORES**

**Dénominations communes internationales proposées (DCI Prop.): Liste 42  
(Chronique OMS, Vol. 33, No. 9, Septembre 1979)**

p.368	<i>supprimer</i> succimer	<i>insérer</i> succimère
-------	------------------------------	-----------------------------

**Dénominations communes internationales proposées (DCI Prop.): Liste 77  
(WHO Drug Information, Vol. 11, No. 2, 1997)**

p.101	<i>supprimer</i> sévélamer	<i>insérer</i> sévélamère
-------	-------------------------------	------------------------------

**Dénominations communes internationales proposées (DCI Prop.): Liste 88  
(WHO Drug Information, Vol. 17, No. 1, 2003)**

p.64	<i>supprimer</i> tolévamer	<i>insérer</i> tolévamère
------	-------------------------------	------------------------------

**Dénominations communes internationales proposées (DCI Prop.): Liste 89  
(WHO Drug Information, Vol. 17, No. 3, 2003)**

p.202	<i>supprimer</i> hémoglobine raffimer	<i>insérer</i> hémoglobine raffimère
-------	--	---

**Denominaciones Comunes Internacionales Propuestas (DCI Prop.): Lista 100  
(WHO Drug Information, Vol. 22, No. 4, 2008)**

p.341	<i>supprimer</i> sobetiroma	<i>insérer</i> sobetiromo
-------	--------------------------------	------------------------------

**Proposed International Nonproprietary Names (Prop. INN): List 114  
Dénominations communes internationales proposées (DCI Prop.): Liste 114  
Denominaciones Comunes Internacionales Propuestas (DCI Prop.): Lista 114  
(WHO Drug Information, Vol. 29, No. 4, 2015)**

p.529	<b>givosiranum</b> givosiran givosiran givosirán	<i>replace the structure by the following one</i> <i>remplacer la structure par la suivante</i> <i>sustitúyase la estructura por la siguiente</i>
-------	---	---

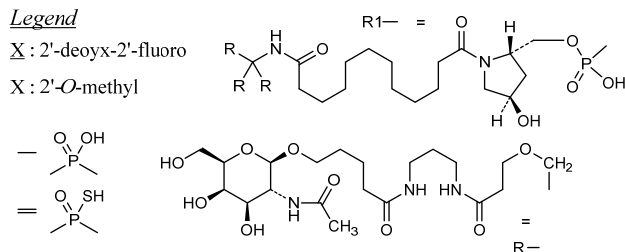
(3'-5') C=A-G-A-A-G-A-G-U-G-U-C-U-C-A-U-C-U-U-A-R1

(5'-3') U=G-G-U-C-U-U-U-C-U-C-A-G-A-G-U-A-G-A=U

Legend

X: 2'-deoxy-2'-fluoro

X: 2'-O-methyl



## Proposed International Nonproprietary Names (Prop. INN): List 123

Dénominations communes internationales proposées (DCI Prop.): Liste 123

Denominaciones Comunes Internacionales Propuestas (DCI Prop.): Lista 123

(WHO Drug Information, Vol. 34, No. 2, 2020)

p. 267 **adrenomedullinum pegolum #**

-268	adrenomedullin pegol	replace the description and the structure by the following ones
	adrénomédulline pégol	remplacer les description et structure par les suivantes
	adrenomedulina pegol	sustitúyase las descripción y estructura por las siguientes

human adrenomedullin, pegylated at O<sup>4</sup> of Y<sup>1</sup> with a [(3S)-3-amino-4-[(2R)-1-amino-3-[(3RS)-1-{3-[α-methylpoly(oxyethylene)-ω-amino]-3-oxopropyl}-2,5-dioxopyrrolidin-3-yl]sulfanyl)-1-oxopropan-2-yl]amino]-4-oxobutyl]carbamoyl group;

O<sup>4.1</sup>-[[[(3S)-3-amino-4-[(2R)-1-amino-3-[(3RS)-1-{3-[α-methylpoly(oxyethylene)-ω-amino]-3-oxopropyl}-2,5-dioxopyrrolidin-3-yl]sulfanyl)-1-oxopropan-2-yl]amino]-4-oxobutyl]carbamoyl]adrenomedullin (human)

adrénomédulline humaine, pégylée en O<sup>4</sup> de Y<sup>1</sup> avec un groupe [(3S)-3-amino-4-[(2R)-1-amino-3-[(3RS)-1-{3-[α-méthylpoly(oxyéthylène)-ω-amino]-3-oxopropyl}-2,5-dioxopyrrolidin-3-yl]sulfanyl)-1-oxopropan-2-yl]amino]-4-oxobutyl]carbamoyl;

O<sup>4.1</sup>-[[[(3S)-3-amino-4-[(2R)-1-amino-3-[(3RS)-1-{3-[α-méthylpoly(oxyéthylène)-ω-amino]-3-oxopropyl}-2,5-dioxopyrrolidin-3-yl]sulfanyl)-1-oxopropan-2-yl]amino]-4-oxobutyl]carbamoyl]adrénomédulline (humaine)

adrenomedulina humana, pegilada en O<sup>4</sup> de Y<sup>1</sup> con un grupo [(3S)-3-amino-4-[(2R)-1-amino-3-[(3RS)-1-{3-[α-metilpoli(oxietileno)-ω-amino]-3-oxopropil}-2,5-dioxopirrolidin-3-il]sulfanil}-1-oxopropan-2-il]amino]-4-oxobutil]carbamoilo;

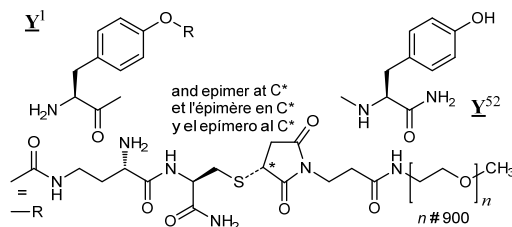
O<sup>4.1</sup>-[[[(3S)-3-amino-4-[(2R)-1-amino-3-[(3RS)-1-{3-[α-metilpoli(oxietileno)-ω-amino]-3-oxopropil}-2,5-dioxopirrolidin-3-il]sulfanil}-1-oxopropan-2-il]amino]-4-oxobutil]carbamoil]adrenomedulina (humana)

Sequence / Séquence / Secuencia

YRQSMNNFQG LRSFGCRFGT CTVQKLAHQI YQFTDKDKDN VAPRSKISPQ 50  
GY 52

Disulfide bridge location / Position du pont disulfure / Posición del puente disulfuro  
16-21

Modified residues / Résidus modifiés / Restos modificados



**Proposed International Nonproprietary Names (Prop. INN): List 124 – COVID-19 (special edition)****Dénominations communes internationales proposées (DCI Prop.): Liste 124 – COVID-19 (édition spéciale)****Denominaciones Comunes Internacionales Propuestas (DCI Prop.): Lista 124– COVID-19 (edición especial)****(WHO Drug Information, Vol. 34, No. 4, 2020)**p. 668 **molnupiravirum**

molnupiravir

*replace the description, the CASRN and the structure by the following ones*

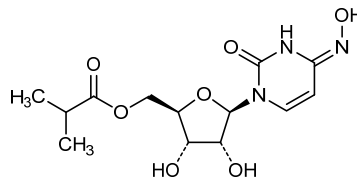
molnupiravir

*remplacer les description, numéro de registre du CAS et structure par les suivants*

molnupiravir

*sustitúyase la descripción, el número del CAS y estructura por los siguientes*(4Z)-N<sup>4</sup>-hydroxycytidine 5'-(2-methylpropanoate)5'-(2-méthylpropanoate) de (4Z)-N<sup>4</sup>-hydroxycytidine5'-(2-metilpropanoato) de (4Z)-N<sup>4</sup>-hidroxicitidina

2492423-29-5

**Proposed International Nonproprietary Names (Prop. INN): List 124****Dénominations communes internationales proposées (DCI Prop.): Liste 124****Denominaciones Comunes Internacionales Propuestas (DCI Prop.): Lista 124****(WHO Drug Information, Vol. 34, No. 4, 2020)**

p.962

*supprimer*  
édaxeterkib*insérer*  
édaxéterkib

p.965

**efruxiferminum #**  
efruxifermina*sustitúyase la descripción por la siguiente***fragmento Fc L-metionil (1-228) de la inmunoglobulina G1 humana** fusionada a través de un enlace peptídico <sup>229</sup>GGGGSGGGSGGGGS<sup>243</sup> al factor fibroblasto humano 21 (FGF-21) fragmento (29-209, 244-424 en la secuencia actual) variante (L<sup>98</sup>>R<sup>341</sup>, P<sup>171</sup>>G<sup>414</sup>, A<sup>180</sup>>E<sup>423</sup>), dímero, producido en *Escherichia coli*;L-metionil-fragmento Fc de inmunoglobulina G1 (227-péptido C-terminal de la cadena γ1 de *Homo sapiens*) (1-228) [*Homo sapiens*IGHG1\*1; bisagra 1-11; CH2 12-121; CH3 122-226; CHS 227-228] fusionado con el péptido conector (G<sub>4</sub>S)<sub>3</sub> (229-243) y [L<sup>98</sup>>R<sup>341</sup>, P<sup>171</sup>>G<sup>414</sup>, A<sup>180</sup>>E<sup>423</sup>]-factor 21 de crecimiento fibroblástico (FGF-21 de *Homo sapiens*) (244-424), dímero (7-7':10-10')-bisdisulfuro, no glicosilado, producido por *Escherichia coli*

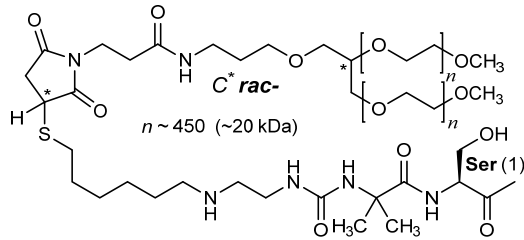
p.1018 **palopegteriparatidum**  
 palopegteriparatide  
 palopegtériparatide  
 palopegteriparatida

*replace the structure by the following one*  
*remplacer la structure par la suivante*  
*sustitúyase la estructura por la siguiente*

Sequence / Séquence / Secuencia

SVSEIQLMHN LGKHLNSMER VEWLRRKKLQD VHNF 34

Modified residue / Résidu modifié / Resto modificado

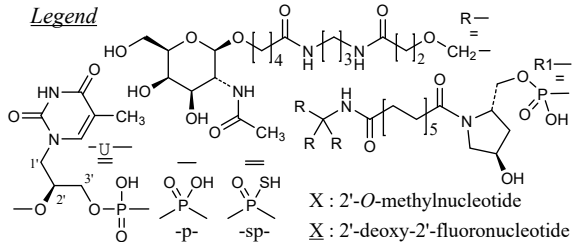


p.371 **zilebesiranum**  
 zilebesiran  
 zilébésiran  
 zilebesirán

*replace the structure by the following one*  
*remplacer la structure par la suivante*  
*sustitúyase la estructura por la siguiente*

(3'-5') G=U=C-A-U-C-C-A-C-A-A-U-G-A-G-A-G-U-A-C-A-A-R1  
 (5'-3') A=G-C-A-G-U-A-G-G-U-G-U-U-A-C-U-C-U-C-A-U=G=U

**Legend**



**Proposed International Nonproprietary Names (Prop. INN): List 125**  
**Dénominations communes internationales proposées (DCI Prop.): Liste 125**  
**Denominaciones Comunes Internacionales Propuestas (DCI Prop.): Lista 125**  
*(WHO Drug Information, Vol. 35, No. 2, 2020)*

p.371 **anselamimabum #**  
 anselamimab  
 ansélamimab  
 anselamimab

*replace the structure by the following one*  
*remplacer la structure par la suivante*  
*sustitúyase la estructura por la siguiente*



Heavy chain / Chaîne lourde / Cadena pesada  
 QVQLKESGPG LVAPSSQLSI TCTVSGFSL S YGVSWSVRQP PGKGLEWLVG 50  
 IWGDGGSNYH PNLMSRLSIS KDISKSQVLF KLNSLQTD D ATYYCVTL D Y 100  
 WGGGTSVTVS SASTKGPSVF PLAPSSKSTS GGTAALGCLV KDYFPEPVTV 150  
 SWNSGALTSG VHTFPAVLQS SGLYSLSSVV TVPSSSLGTQ TYICNVNHPK 200  
 SNTKVDKRVE PKSCDKHTC PPCAPELLG GPSVFLFPFK PKDTLMISRT 250  
 PEVTCVVVDV SHEDPEVKFN WYVDGVEVHN AKTKPREPQY NSTYRVVSVL 300  
 TVLHQDWLNG KEYKCKVSNK ALPAPIEKTI SKAKGQPREP QVYTLPPSRE 350  
 EMTKNQVSLT CLVKGFPYSD IAVEWESNGQ PENNYKTTTP VLDS DGSFFL 400  
 YSKLTVDKSR WQQGNVFCSS VMHEALHNHY TQKSLSLSPG K 441

Light chain / Chaîne légère / Cadena ligera  
 DVVMTQTPLS LPVSLGDQAS ISCRSSQSLV HRNGNTYLHW YLQKPGQSPK 50  
 LLIYKVSNNR SGVDRFSGS GSGTDFTLKI SRVEAEDLGL YFCFQTTYVP 100  
 NTFGGGKLE IKRTVAAPSV FIFPPSDEQL KSGTASVCL LNNFYPREAK 150  
 VQWIKVDNALQ SGNSQESVTE QDSKDYSTLS S TLTLSKAD YEKHKVYACE 200  
 VTHQGLSPV TKSFNREGC 219

**Post-translational modifications**  
 Disulfide bridges location / Position des ponts disulfure / Posiciones de los puentes disulfuro  
 Intra-H (C23-C104) 22-95 138-194 255-315 361-419  
 22"-95" 138"-194" 255"-315" 361"-419"  
 Intra-L (C23-C104) 23"-93" 139"-199"  
 23"-93" 139"-199"  
 Inter-H-L (h 5-CL 126) 214-219" 214"-219"  
 Inter-H-H (h 11, h 14) 220-220" 223-223"

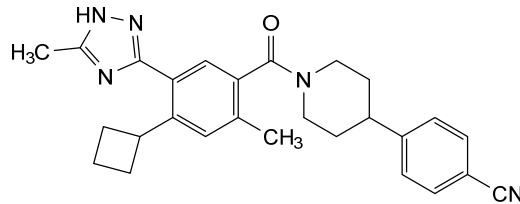
N-terminal glutaminyl cyclization / Cyclisation du glutaminyle N-terminal / Ciclación del glutamínilo N-terminal  
 H VH Q1 > pyroglutamyI (pE, 5-oxoprolyl): 1, 1"

N-glycosylation sites / Sites de N-glycosylation / Posiciones de N-glicosilación  
 H CH2 N84.4; 291, 291"  
 Fucosylated complex bi-antennary CHO-type glycans / glycanes de type CHO bi-antennaires complexes fucosylés / glicanos de tipo CHO biantenaríos complejos fucosilados.

C-terminal lysine clipping / Coupeure de la lysine C-terminale / Recorte de lisina C-terminal  
 H CHS K2: 441, 441"

p.396 **denifanstatum**  
 denifanstat  
 dénifanstat  
 denifanstat

*replace the structure by the following one*  
*remplacer la structure par la suivante*  
*sustitúyase la estructura por la siguiente*



p.477 **melredableukinum alfa #**  
 -478 melredableukin alfa  
 melrédableukine alfa  
 melredableukina alfa

*replace the description by the following one*  
*remplacer la description par la suivante*  
*sustitúyase la descripción por la siguiente*

human immunoglobulin G1 non-binding variant (heavy chain 1-444, L<sup>232</sup>>A, L<sup>233</sup>>A, P<sup>327</sup>>G) fused at the C-terminus of the heavy chain via peptidyl linker <sup>445</sup>GGGGSGGGGSGGGGS<sup>459</sup> to human interleukin 2 (1-133, 460-592 in the current sequence) variant (T<sup>3</sup>>A<sup>462</sup>, N<sup>88</sup>>D<sup>547</sup>, C<sup>125</sup>>A<sup>584</sup>), dimer, produced in Chinese hamster ovary (CHO) cells, glycoform alfa;  
 human non-binding immunoglobulin G1 kappa (IgG1-κ) fused via a peptide linker to a mutated human interleukin 2 (IL2 mutein): fusion protein combining a gamma1 heavy chain (1-444) [*Homo sapiens* IGHV3-23\*01; *Homo sapiens* IGHJ4\*01; *Homo sapiens* IGHG1\*01; VH: 1-115; CH1: 116-213; hinge: 214-228; CH2: 229-338 (L<sup>232</sup>>A, L<sup>233</sup>>A, P<sup>327</sup>>G); CH3: 339-443; CHS: 444-444 (K445del); CDR

Kabat H1: SYAMS (31-35); CDR Kabat H2: AISGSGGSTYYADSVKG (50-66); CDR Kabat H3: GSGFDY (99-104)], a (G<sub>4</sub>S)<sub>3</sub> peptide linker (445-459), and *Homo sapiens* interleukin 2 (460-592) [T<sup>3</sup>>A<sup>462</sup>, N<sup>88</sup>>D<sup>547</sup>, C<sup>125</sup>>A<sup>584</sup>]-variant, (218-215')-disulfide with kappa light chain (1'-215') [*Homo sapiens* IGKV3-20\*01; *Homo sapiens* IGKJ1\*01; *Homo sapiens* IGKC\*01; VL: 1-108; CL: 109-215; CDR Kabat L1: RASQSVSSSYLA (24-35); CDR Kabat L2: GASSRAT (51-57); CDR Kabat L3: QQYGSSPLT (90-98)]; dimer (224-224":227-227")-bisdisulfide, produced in Chinese hamster ovary (CHO) cells, glycoform alfa

variant non liant de l'immunoglobuline G1 humaine (chaîne lourde 1-444, L<sup>232</sup>>A, L<sup>233</sup>>A, P<sup>327</sup>>G) fusionné à l'extrémité C-terminale de la chaîne lourde, via une liaison peptidique <sup>445</sup>GGGGSGGGSGGGGS<sup>459</sup>, au variant (T<sup>3</sup>>A<sup>462</sup>, N<sup>88</sup>>D<sup>547</sup>, C<sup>125</sup>>A<sup>584</sup>) de l'interleukine 2 humaine (1-133, 460-592 dans la séquence actuelle), dimère, produit dans des cellules ovariennes de hamster chinois (CHO), glycoforme alfa;

immunoglobuline G1 kappa (IgG1-κ) non liante humaine, fusionnée via une liaison peptidique à une interleukine 2 humaine mutée (IL2 mutéine):

protéine de fusion combinant une chaîne lourde gamma1 (1-444) [*Homo sapiens* IGHV3-23\*01; *Homo sapiens* IGHJ4\*01; *Homo sapiens* IGHG1\*01; VH: 1-115; CH1: 116-213; charnière: 214-228; CH2: 229-338 (L<sup>232</sup>>A, L<sup>233</sup>>A, P<sup>327</sup>>G); CH3: 339-443; CHS: 444-444 (K445del)]; CDR Kabat H1: SYAMS (31-35); CDR Kabat H2: AISGSGGSTYYADSVKG (50-66); CDR Kabat H3: GSGFDY (99-104)], une liaison peptidique (G<sub>4</sub>S)<sub>3</sub> (445-459) et le variant [T<sup>3</sup>>A<sup>462</sup>, N<sup>88</sup>>D<sup>547</sup>, C<sup>125</sup>>A<sup>584</sup>] de l'interleukine 2 d'*Homo sapiens* (460-592), (218-215')-disulfure avec une chaîne légère kappa (1'-215') [*Homo sapiens* IGKV3-20\*01; *Homo sapiens* IGKJ1\*01; *Homo sapiens* IGKC\*01; VL: 1-108; CL: 109-215; CDR Kabat L1: RASQSVSSSYLA (24-35); CDR Kabat L2: GASSRAT (51-57); CDR Kabat L3: QQYGSSPLT (90-98)]; dimère (224-224":227-227")-bisdisulfure, produit dans des cellules ovariennes de hamster chinois (CHO), glycoforme alfa

variante no vinculante de inmunoglobulina humana G1 (cadena pesada 1-444, L<sup>232</sup>>A, L<sup>233</sup>>A, P<sup>327</sup>>G) fusionada a la terminal C de la cadena pesada, a través de un enlace peptidil

<sup>445</sup>GGGGSGGGSGGGGS<sup>459</sup>, a la interleukina humana 2 (1-133, 460-592 en la secuencia actual) variante (T<sup>3</sup>>A<sup>462</sup>, N<sup>88</sup>>D<sup>547</sup>, C<sup>125</sup>>A<sup>584</sup>), dímero, producida en células ováricas de hámster chino (CHO), glicoforma alfa;

inmunoglobulina G1 kappa (IgG1-κ) no ligante humana, fusionada a través de un péptido de unión a una interleukina 2 humana mutada (IL2 muteína): proteína de fusión que combina una cadena pesada gamma1 (1-444) [*Homo sapiens* IGHV3-23\*01; *Homo sapiens* IGHJ4\*01; *Homo sapiens* IGHG1\*01; VH: 1-115; CH1: 116-213; bisagra: 214-228; CH2: 229-338 (L<sup>232</sup>>A, L<sup>233</sup>>A, P<sup>327</sup>>G); CH3: 339-443; CHS: 444-444 (K445del)]; CDR Kabat H1: SYAMS (31-35); CDR Kabat H2: AISGSGGSTYYADSVKG (50-66); CDR Kabat H3: GSGFDY (99-104)], un péptido de unión (G<sub>4</sub>S)<sub>3</sub> (445-459) y la variante [T<sup>3</sup>>A<sup>462</sup>, N<sup>88</sup>>D<sup>547</sup>, C<sup>125</sup>>A<sup>584</sup>] de interleukina 2 de *Homo sapiens* (460-592), (218-215')-disulfuro con la cadena ligera kappa (1'-215') [*Homo sapiens* IGKV3-20\*01; *Homo sapiens* IGKJ1\*01; *Homo sapiens* IGKC\*01; VL: 1-108; CL: 109-215; CDR Kabat L1: RASQSVSSSYLA (24-35); CDR Kabat L2: GASSRAT (51-57); CDR Kabat L3: QQYGSSPLT (90-98)]; dímero (224-224":227-227")-bisdisulfuro, producido en células ováricas de hámster chino (CHO), glicoforma alfa

p.583  
-583**zanidatamabum zovodotinum #**

zanidatamab zovodotin *replace the description by the following one*  
 zanidatamab zovodotine *remplacer la description par la suivante*  
 zanidatamab zovodotina *sustitúyase la descripción por la siguiente*

immunoglobulin half-IG G1-kappa/scFv-h-CH2-CH3, anti-[*Homo sapiens* ERBB2 (epidermal growth factor receptor 2, receptor tyrosine protein kinase erbB-2, EGFR2, HER2, HER-2, p185c-erbB2, NEU, CD340)], humanized monoclonal antibody, biparatopic (targeting two different non-overlapping epitopes on ERBB2, on extracellular domains 2 (ECD2) and 4 (ECD4)), conjugated to a derivative of **auristatin**;  
 gamma1 heavy chain, anti-ERBB2 extracellular domain 2 (ECD2), humanized (1-449) [VH humanized (*Homo sapiens* IGHV3-66\*01 (78.8%) -(IGHD) -IGHJ4\*01 (100%)) CDR-IMGT[8.8.12] (27-34.52-59.98-109) (1-120) -*Homo sapiens* IGHG1\*01 G1m17,1 (CH1 K120 (217) (121-218), hinge 1-15 (219-233), CH2 (234-343), CH3 T6>V (353), L7>Y (354), D12 (359), L14 (361), F85.1>A (408), Y86>V (410) (344-448), CHS K2>del (449)) (121-449)], (223-215')-disulfide with kappa light chain, anti ERBB2 ECD2, humanized (1'-215') [V-KAPPA humanized (*Homo sapiens* IGKV1-16\*01 (84.2%) -IGKJ1\*01 (100%)) CDR-IMGT [6.3.9] (28-33.51-53.90-98) (1'-108') -*Homo sapiens* IGKC\*01 (100%) Km3 A45.1 (154), V101 (192) (109'-215')];  
 IG scFv-h-CH2-CH3 single chain, anti-ERBB2 extracellular domain 4 (ECD4), humanized (1'-481") [scFv V-kappa-VH anti-ERBB2 ECD4 (1'-248') [V-KAPPA humanized (*Homo sapiens* IGKV1-39\*01 (86.3%) -IGKJ1\*01 (100%)) CDR-IMGT [6.3.9] (28-33.51-53.90-98) (1'-108') -20-mer pentakis(diglycyl-seryl-glycyl) linker (109"-128") -VH humanized (*Homo sapiens* IGHV3-66\*01 (81.6%) -(IGHD) -IGHJ4\*01 (100%)) CDR-IMGT [8.8.13] (154-161.179-186.225-237) (129"-248")] -dialanyl linker (249"-250") -*Homo sapiens* IGHG1\*01 h-CH2-CH3, G1m1 (251"-481") [hinge 1-15, C5>S (255) (251-265), CH2 (266-375), CH3 T6>V (385), D12 (391), L14 (393), T22>L (401), K79>L (427), T81>W (429) (376-480), CHS K2>del (481)]];  
 dimer (229-261":232-264")-bisdisulfide, produced in Chinese hamster ovary (CHO) cells, glycoform alpha, conjugated, on an average of 2 to 3 cysteinyl, to a **sulfonamide containing auristatin derivative**, via a cleavable 1-maleimido-3,6,9-trioxadodecan-12-oyl-valyl-citrullyl linker

immunoglobuline G1-kappa, anti-[*Homo sapiens* ERBB2 (récepteur 2 du facteur de croissance épidermique, récepteur tyrosine-protéine kinase erbB-2, EGFR2, HER2, HER-2, p185c-erbB2, NEU, CD340)], anticorps monoclonal humanisé, biparatopique (ciblant deux épitopes différents non chevauchants sur ERBB2, sur les domaines extracellulaires 2 (ECD2) et 4 (ECD4)), conjugué à un dérivé de l'**auristatine**;  
 chaîne lourde gamma1 anti-ERBB2 domaine extracellulaire 2 (ECD2), humanisée (1-449) [VH humanisé (*Homo sapiens* IGHV3-66\*01 (78.8%) - (IGHD) -IGHJ4\*01 (100%)) CDR-IMGT [8.8.12] (27-34.52-59.98-109) (1-120) -*Homo sapiens* IGHG1\*01 G1m17,1 (CH1 K120 (217) (121-218), charnière 1-15 (219-233), CH2 (234-343), CH3 T6>V (353), L7>Y (354), D12 (359), L14 (361), F85.1>A (408), Y86>V (410) (344-448), CHS K2>del (449)) (121-449)], (223-215')-disulfure avec la chaîne légère kappa, anti ERBB2 ECD2, humanisée (1'-215') [V-KAPPA humanisé (*Homo sapiens* IGKV1-16\*01 (84.2%) -IGKJ1\*01 (100%)) CDR-IMGT [6.3.9] (28-33.51-53.90-98) (1'-108') -*Homo sapiens* IGKC\*01 (100%) Km3 A45.1 (154), V101 (192) (109'-215')];  
 IG scFv-h-CH2-CH3 chaîne unique, anti-ERBB2 domaine extracellulaire 4 (ECD4), humanisée (1'-481") [scFv V-kappa-VH anti-ERBB2 ECD4 (1'-248') [V-KAPPA humanisé (*Homo sapiens* IGKV1-39\*01 (86.3%) -IGKJ1\*01 (100%)) CDR-IMGT [6.3.9] (28-33.51-53.90-98) (1'-108') -20-mer pentakis(diglycyl-seryl-glycyl) linker (109"-128") -VH humanisé (*Homo sapiens* IGHV3-66\*01 (81.6%) -(IGHD) -IGHJ4\*01 (100%)) CDR-IMGT [8.8.13] (154-161.179-186.225-237) (129"-248")] -dialanyl linker (249"-250") -

*Homo sapiens* IGHG1\*01 h-CH2-CH3, G1m1 (251"-481") [charnière 1-15 C5>S (255) (251- 265), CH2 (266-375), CH3 T6>V (385), D12 (391), L14 (393), T22>L (401), K79>L (427), T81>W (429) (376-480), CHS K2>del (481)]; dimère (229-261":232- 264")-bisdisulfure, produit dans des cellules ovariennes de hamster chinois (CHO), glycoforme alfa; conjugué, sur 2 à 3 cystéinyl en moyenne, à un **sulfonamide contenant un dérivé de l'auristatine**, via un linker clivable 1-maléimido-3,6,9-trioxadodécan-12-oyl-valyl-**citrullyle**

immunoglobulina G1-kappa, anti-[*Homo sapiens* ERBB2 (receptor 2 del factor de crecimiento epidérmico, receptor tirosina-proteína kinasa erbB-2, EGFR2, HER2, HER-2, p185c-erbB2, NEU, CD340)], anticuerpo monoclonal humanizado, biparatópico (dirigiendo dos epítomos diferentes no superpuestos sobre ERBB2, sobre los dominios extracelulares 2 (ECD2) y 4 (ECD4)), conjugado con un derivado de **auristatina**;

cadena pesada gamma1 anti-ERBB2 dominio extracelular 2 (ECD2), humanizada (1-449) [VH humanizado (*Homo sapiens* IGHV3-66\*01 (78.8%) - (IGHD) -IGHJ4\*01 (100%)) CDR-IMGT [8.8.12] (27-34.52-59.98-109) (1-120) - *Homo sapiens* IGHG1\*01 G1m17,1 (CH1 K120 (217) (121-218), bisagra 1-15 (219-233), CH2 (234- 343), CH3 T6>V (353), L7>Y (354), D12 (359), L14 (361), F85.1>A (408), Y86>V (410) (344-448), CHS K2>del (449)) (121-449)], (223-215')-disulfuro con la cadena ligera kappa, anti ERBB2 ECD2, humanizada (1'-215') [V-KAPPA humanizado (*Homo sapiens* IGKV1-16\*01 (84.2%) -IGKJ1\*01 (100%)) CDR-IMGT [6.3.9] (28-33.51-53.90-98) (1'-108') - *Homo sapiens* IGKC\*01 (100%) Km3 A45.1 (154), V101 (192) (109'-215')]; IG scFv-h-CH2-CH3 cadena única, anti-ERBB2 dominio extracelular 4 (ECD4), humanizada (1"-481") [scFv V-kappa-VH anti-ERBB2 ECD4 (1'-248') [V-KAPPA humanizado (*Homo sapiens* IGKV1-39\*01 (86.3%) - IGKJ1\*01 (100%)) CDR-IMGT [6.3.9] (28-33.51-53.90-98) (1'-108') -20-mer pentakis(diglicil-seril-glicil) linker (109"- 128") -VH humanizado (*Homo sapiens* IGHV3-66\*01 (81.6%) - (IGHD) - IGHJ4\*01 (100%)) CDR-IMGT [8.8.13] (154-161.179-186.225-237) (129"-248")] -dialanil linker (249"-250") -*Homo sapiens* IGHG1\*01 h-CH2-CH3, G1m1 (251"-481") [bisagra 1-15 C5>S (255) (251-265), CH2 (266-375), CH3 T6>V (385), D12 (391), L14 (393), T22>L (401), K79>L (427), T81>W (429) (376-480), CHS K2>del (481)]]; dímero (229-261":232- 264")-bisdisulfuro, producido en las células ováricas de hámster chino (CHO), forma glicosilada alfa; conjugado, sobre 2 a 3 restos cisteinilo en término medio, con un **sulfonamido que contiene un derivado de auristatina**, mediante un conector escindible 1-maleimido-3,6,9-trioxadodécan-12-oil-valil-**citrullilo**

## ANNEX 1

**PROCEDURE FOR THE SELECTION OF RECOMMENDED INTERNATIONAL NONPROPRIETARY NAMES FOR PHARMACEUTICAL SUBSTANCES<sup>1</sup>**

The following procedure shall be followed by the World Health Organization (hereinafter also referred to as "WHO") in the selection of recommended international nonproprietary names for pharmaceutical substances, in accordance with resolution WHA3.11 of the World Health Assembly, and in the substitution of such names.

*Article 1* - Proposals for recommended international nonproprietary names and proposals for substitution of such names shall be submitted to WHO on the form provided therefore. The consideration of such proposals shall be subject to the payment of an administrative fee designed only to cover the corresponding costs of the Secretariat of WHO ("the Secretariat"). The amount of this fee shall be determined by the Secretariat and may, from time to time, be adjusted.

*Article 2* - Such proposals shall be submitted by the Secretariat to the members of the Expert Advisory Panel on the International Pharmacopoeia and Pharmaceutical Preparations designated for this purpose, such designated members hereinafter referred to as "the INN Expert Group", for consideration in accordance with the "General principles for guidance in devising International Nonproprietary Names for Pharmaceutical Substances", annexed to this procedure<sup>2</sup>. The name used by the person discovering or first developing and marketing a pharmaceutical substance shall be accepted, unless there are compelling reasons to the contrary.

*Article 3* - Subsequent to the examination provided for in article 2, the Secretariat shall give notice that a proposed international nonproprietary name is being considered.

a) Such notice shall be given by publication in *WHO Drug Information*<sup>3</sup> and by letter to Member States and to national and regional pharmacopoeia commissions or other bodies designated by Member States.

i) Notice shall also be sent to the person who submitted the proposal ("the original applicant") and other persons known to be concerned with a name under consideration.

b) Such notice shall:

i) set forth the name under consideration;

ii) identify the person who submitted the proposal for naming the substance, if so requested by such person;

iii) identify the substance for which a name is being considered;

iv) set forth the time within which comments and objections will be received and the person and place to whom they should be directed;

v) state the authority under which WHO is acting and refer to these rules of procedure.

c) In forwarding the notice, the Secretariat shall request that Member States take such steps as are necessary to prevent the acquisition of proprietary rights in the proposed name during the period it is under consideration by WHO.

*Article 4* - Comments on the proposed name may be forwarded by any person to WHO within four months of the date of publication, under article 3, of the name in *WHO Drug Information*.

---

<sup>1</sup> See Annex 1 in WHO Technical Report Series, No. 581, 1975. The original text was adopted by the Executive Board in resolution EB15.R7 and amended in resolutions EB43.R9 and EB115.R4.

<sup>2</sup> See Annex 2.

<sup>3</sup> Before 1987, lists of international nonproprietary names were published in the *Chronicle of the World Health Organization*.

*Article 5* - A formal objection to a proposed name may be filed by any interested person within four months of the date of publication, under article 3, of the name in *WHO Drug Information*.

Such objection shall:

- i) identify the person objecting;
- ii) state his or her interest in the name;
- iii) set forth the reasons for his or her objection to the name proposed.

*Article 6* - Where there is a formal objection under article 5, WHO may either reconsider the proposed name or use its good offices to attempt to obtain withdrawal of the objection. Without prejudice to the consideration by WHO of a substitute name or names, a name shall not be selected by WHO as a recommended international nonproprietary name while there exists a formal objection thereto filed under article 5 which has not been withdrawn.

*Article 7* - Where no objection has been filed under article 5, or all objections previously filed have been withdrawn, the Secretariat shall give notice in accordance with subsection (a) of article 3 that the name has been selected by WHO as a recommended international nonproprietary name.

*Article 8* - In forwarding a recommended international nonproprietary name to Member States under article 7, the Secretariat shall:

- a) request that it be recognized as the nonproprietary name for the substance; and
- b) request that Member States take such steps as are necessary to prevent the acquisition of proprietary rights in the name and to prohibit registration of the name as a trademark or trade name.

*Article 9*

a) In the extraordinary circumstance that a previously recommended international nonproprietary name gives rise to errors in medication, prescription or distribution, or a demonstrable risk thereof, because of similarity with another name in pharmaceutical and/or prescription practices, and it appears that such errors or potential errors cannot readily be resolved through other interventions than a possible substitution of a previously recommended international nonproprietary name, or in the event that a previously recommended international nonproprietary name differs substantially from the nonproprietary name approved in a significant number of Member States, or in other such extraordinary circumstances that justify a substitution of a recommended international nonproprietary name, proposals to that effect may be filed by any interested person. Such proposals shall be submitted on the form provided therefore and shall:

- i) identify the person making the proposal;
- ii) state his or her interest in the proposed substitution; and
- iii) set forth the reasons for the proposal; and
- iv) describe, and provide documentary evidence regarding the other interventions undertaken in an effort to resolve the situation, and the reasons why these other interventions were inadequate.

Such proposals may include a proposal for a new substitute international nonproprietary name, devised in accordance with the General principles, which takes into account the pharmaceutical substance for which the new substitute international nonproprietary name is being proposed.

The Secretariat shall forward a copy of the proposal, for consideration in accordance with the procedure described in subsection (b) below, to the INN Expert Group and the original applicant or its successor (if different from the person bringing the proposal for substitution and provided that the original applicant or its successor is known or can be found through diligent effort, including contacts with industry associations).

In addition, the Secretariat shall request comments on the proposal from:

- i) Member States and national and regional pharmacopoeia commissions or other bodies designated by Member States (by including a notice to that effect in the letter referred to in article 3(a), and
- ii) any other persons known to be concerned by the proposed substitution.

The request for comments shall:

- i) state the recommended international nonproprietary name that is being proposed for substitution (and the proposed substitute name, if provided);
- ii) identify the person who submitted the proposal for substitution (if so requested by such person);
- iii) identify the substance to which the proposed substitution relates and reasons put forward for substitution;
- iv) set forth the time within which comments will be received and the person and place to whom they should be directed; and
- v) state the authority under which WHO is acting and refer to these rules of procedure.

Comments on the proposed substitution may be forwarded by any person to WHO within four months of the date of the request for comments.

b) After the time period for comments referred to above has elapsed, the Secretariat shall forward any comments received to the INN Expert Group, the original applicant or its successor and the person bringing the proposal for substitution. If, after consideration of the proposal for substitution and the comments received, the INN Expert Group, the person bringing the proposal for substitution and the original applicant or its successor all agree that there is a need to substitute the previously recommended international nonproprietary name, the Secretariat shall submit the proposal for substitution to the INN Expert Group for further processing. Notwithstanding the foregoing, the original applicant or its successor shall not be entitled to withhold agreement to a proposal for substitution in the event the original applicant or its successor has no demonstrable continuing interest in the recommended international nonproprietary name proposed for substitution.

In the event that a proposal for substitution shall be submitted to the INN Expert Group for further processing, the INN Expert Group will select a new international nonproprietary name in accordance with the General principles referred to in article 2 and the procedure set forth in articles 3 to 8 inclusive. The notices to be given by the Secretariat under article 3 and article 7, respectively, including to the original applicant or its successor (if not the same as the person proposing the substitution, and provided that the original applicant or its successor is known or can be found through diligent effort, including contacts with industry associations), shall in such event indicate that the new name is a substitute for a previously recommended international nonproprietary name and that Member States may wish to make transitional arrangements in order to accommodate existing products that use the previously recommended international nonproprietary name on their label in accordance with national legislation.

If, after consideration of the proposal for substitution and the comments received in accordance with the procedure described above, the INN Expert Group, the original applicant or its successor and the person bringing the proposal for substitution do not agree that there are compelling reasons for substitution of a previously recommended international nonproprietary name, this name shall be retained (provided always that the original applicant or its successor shall not be entitled to withhold agreement to a proposal for substitution in the event that the original applicant or its successor has no demonstrable continuing interest in the recommended international nonproprietary name proposed to be substituted). In such an event, the Secretariat shall advise the person having proposed the substitution, as well as the original applicant or its



successor (if not the same as the person proposing the substitution, and provided that the original applicant or its successor is known or can be found through diligent effort, including contacts with industry associations), Member States, national and regional pharmacopoeia commissions, other bodies designated by Member States, and any other persons known to be concerned by the proposed substitution that, despite a proposal for substitution, it has been decided to retain the previously recommended international nonproprietary name (with a description of the reason(s) why the proposal for substitution was not considered sufficiently compelling).

## ANNEX 2

### GENERAL PRINCIPLES FOR GUIDANCE IN DEVISING INTERNATIONAL NONPROPRIETARY NAMES FOR PHARMACEUTICAL SUBSTANCES<sup>1</sup>

1. International Nonproprietary Names (INN) should be distinctive in sound and spelling. They should not be inconveniently long and should not be liable to confusion with names in common use.

2. The INN for a substance belonging to a group of pharmacologically related substances should, where appropriate, show this relationship. Names that are likely to convey to a patient an anatomical, physiological, pathological or therapeutic suggestion should be avoided.

*These primary principles are to be implemented by using the following secondary principles:*

3. In devising the INN of the first substance in a new pharmacological group, consideration should be given to the possibility of devising suitable INN for related substances, belonging to the new group.

4. In devising INN for acids, one-word names are preferred; their salts should be named without modifying the acid name, e.g. "oxacillin" and "oxacillin sodium", "ibufenac" and "ibufenac sodium".

5. INN for substances which are used as salts should in general apply to the active base or the active acid. Names for different salts or esters of the same active substance should differ only in respect of the name of the inactive acid or the inactive base.

For quaternary ammonium substances, the cation and anion should be named appropriately as separate components of a quaternary substance and not in the amine-salt style.

6. The use of an isolated letter or number should be avoided; hyphenated construction is also undesirable.

7. To facilitate the translation and pronunciation of INN, "f" should be used instead of "ph", "t" instead of "th", "e" instead of "ae" or "oe", and "i" instead of "y"; the use of the letters "h" and "k" should be avoided.

8. Provided that the names suggested are in accordance with these principles, names proposed by the person discovering or first developing and marketing a pharmaceutical preparation, or names already officially in use in any country, should receive preferential consideration.

9. Group relationship in INN (see General principle 2) should if possible be shown by using a common stem. The following list contains examples of stems for groups of substances, particularly for new groups. There are many other stems in active use.<sup>2</sup> Where a stem is shown without any hyphens it may be used anywhere in the name.

---

<sup>1</sup> In its Twentieth report (WHO Technical Report Series, No. 581, 1975), the WHO Expert committee on Nonproprietary Names for Pharmaceutical Substances reviewed the general principles for devising, and the procedures for selecting, INN in the light of developments in pharmaceutical compounds in recent years. The most significant change has been the extension to the naming of synthetic chemical substances of the practice previously used for substances originating in or derived from natural products. This practice involves the use of a characteristic "stem" indicative of a common property of the members of a group. The reason for, and the implications of, the change are fully discussed.

The guiding principles were updated during the 13<sup>th</sup> consultation on nonproprietary names for pharmaceutical substances (Geneva, 27-29 April 1983) (PHARM S/NOM 928 13 May 1983, revised 18 August 1983).

<sup>2</sup> A more extensive listing of stems is contained in the working document WHO/EMP/RHT/TSN/2018.1 which is regularly updated and can be requested from the INN Programme, WHO, Geneva.



<b>Latin</b>	<b>English</b>	
-acum	-ac	anti-inflammatory agents, ibufenac derivatives
-adolum	-adol }	analgesics
-adol-	-adol-}	
-astum	-ast	antiasthmatic, antiallergic substances not acting primarily as antihistaminics
-astinum	-astine	antihistaminics
-azepamum	-azepam	diazepam derivatives
bol	bol	steroids, anabolic
-cain-	-cain-	class I antiarrhythmics, procainamide and lidocaine derivatives
-cainum	-caine	local anaesthetics
cef-	cef-	antibiotics, cephalosporanic acid derivatives
-cillinum	-cillin	antibiotics, 6-aminopenicillanic acid derivatives
-conazolom	-conazole	systemic antifungal agents, miconazole derivatives
cort	cort	corticosteroids, except prednisolone derivatives
-coxibum	-coxib	selective cyclo-oxygenase inhibitors
-entanum	-entan	endothelin receptor antagonists
gab	gab	gabamimetic agents
gado-	gado-	diagnostic agents, gadolinium derivatives
-gatrnam	-gatrnam	thrombin inhibitors, antithrombotic agents
gest	gest	steroids, progestogens
gli	gli	antihyperglycaemics
io-	io-	iodine-containing contrast media
-metacinum	-metacin	anti-inflammatory, indometacin derivatives
-mycinum	-mycin	antibiotics, produced by <i>Streptomyces</i> strains
-nidazolom	-nidazole	antiprotozoal substances, metronidazole derivatives
-ololum	-olol	β-adrenoreceptor antagonists
-oxacinum	-oxacin	antibacterial agents, nalidixic acid derivatives
-platinum	-platin	antineoplastic agents, platinum derivatives
-poetinum	-poetin	erythropoietin type blood factors
-pril(at)um	-pril(at)	angiotensin-converting enzyme inhibitors
-profenum	-profen	anti-inflammatory substances, ibuprofen derivatives
prost	prost	prostaglandins
-relinum	-relin	pituitary hormone release-stimulating peptides
-sartanum	-sartan	angiotensin II receptor antagonists, antihypertensive (non-peptidic)
-vaptanum	-vaptan	vasopressin receptor antagonists
vin-	vin- }	vinca-type alkaloids
-vin-	-vin-}	

## ANNEXE 1

## PROCEDURE A SUIVRE EN VUE DU CHOIX DE DENOMINATIONS COMMUNES INTERNATIONALES RECOMMANDEES POUR LES SUBSTANCES PHARMACEUTIQUES<sup>1</sup>

L'Organisation mondiale de la Santé (également désignée ci-après sous l'appellation « OMS ») observe la procédure exposée ci-dessous pour l'attribution de dénominations communes internationales recommandées pour les substances pharmaceutiques, conformément à la résolution WHA3.11 de l'Assemblée mondiale de la Santé, et pour le remplacement de telles dénominations.

*Article 1* - Les propositions de dénominations communes internationales recommandées et les propositions de remplacement de telles dénominations sont soumises à l'OMS sur la formule prévue à cet effet. L'examen de telles propositions est soumis au paiement d'une taxe administrative destinée uniquement à couvrir les coûts correspondants assumés par le Secrétariat de l'OMS (« le Secrétariat »). Le montant de cette taxe est déterminé par le Secrétariat et peut être modifié de temps à autre.

<sup>1</sup> Voir annexe 1 dans OMS, Série de Rapports techniques, N° 581, 1975. Le texte original a été adopté par le Conseil exécutif dans sa résolution EB15.R7 et amendé dans ses résolutions EB43.R9 et EB115.R4.

**Article 2** - Ces propositions sont soumises par le Secrétariat aux experts désignés à cette fin parmi les personnalités inscrites au Tableau d'experts de la Pharmacopée internationale et des Préparations pharmaceutiques, ci-après désignés sous l'appellation « le Groupe d'experts des DCI » ; elles sont examinées par les experts conformément aux « Directives générales pour la formation de dénominations communes internationales pour les substances pharmaceutiques » reproduites ci-après<sup>1</sup>. La dénomination acceptée est la dénomination employée par la personne qui découvre ou qui, la première, fabrique et lance sur le marché une substance pharmaceutique, à moins que des raisons majeures n'obligent à s'écarter de cette règle.

**Article 3** - Après l'examen prévu à l'article 2, le Secrétariat notifie qu'un projet de dénomination commune internationale est à l'étude.

a) Cette notification est faite par une insertion dans *WHO Drug Information*<sup>2</sup> et par l'envoi d'une lettre aux Etats Membres et aux commissions nationales et régionales de pharmacopée ou autres organismes désignés par les Etats Membres.

i) Notification est également faite à la personne qui a soumis la proposition (« le demandeur initial ») et à d'autres personnes portant à la dénomination mise à l'étude un intérêt notoire.

b) Cette notification contient les indications suivantes :

i) dénomination mise à l'étude;

ii) nom de l'auteur de la proposition tendant à attribuer une dénomination à la substance, si cette personne le demande ;

iii) définition de la substance dont la dénomination est mise à l'étude ;

iv) délai pendant lequel seront reçues les observations et les objections à l'égard de cette dénomination ; nom et adresse de la personne habilitée à recevoir ces observations et objections ;

v) mention des pouvoirs en vertu desquels agit l'OMS et référence au présent règlement.

c) En envoyant cette notification, le Secrétariat demande aux Etats Membres de prendre les mesures nécessaires pour prévenir l'acquisition de droits de propriété sur la dénomination proposée pendant la période au cours de laquelle cette dénomination est mise à l'étude par l'OMS.

**Article 4** - Des observations sur la dénomination proposée peuvent être adressées à l'OMS par toute personne, dans les quatre mois qui suivent la date de publication de la dénomination dans *WHO Drug Information* (voir l'article 3).

**Article 5** - Toute personne intéressée peut formuler une objection formelle contre la dénomination proposée dans les quatre mois qui suivent la date de publication de la dénomination dans *WHO Drug Information* (voir l'article 3).

Cette objection doit s'accompagner des indications suivantes :

i) nom de l'auteur de l'objection ;

ii) intérêt qu'il ou elle porte à la dénomination en cause ;

iii) raisons motivant l'objection contre la dénomination proposée.

**Article 6** - Lorsqu'une objection formelle est formulée en vertu de l'article 5, l'OMS peut soit soumettre la dénomination proposée à un nouvel examen, soit intervenir pour tenter d'obtenir le retrait de l'objection. Sans préjudice de l'examen par l'OMS d'une ou de plusieurs appellations de

<sup>1</sup> Voir annexe 2.

<sup>2</sup> Avant 1987, les listes de dénominations communes internationales étaient publiées dans la *Chronique de l'Organisation mondiale de la Santé*.

remplacement, l'OMS n'adopte pas d'appellation comme dénomination commune internationale recommandée tant qu'une objection formelle présentée conformément à l'article 5 n'est pas levée.

*Article 7* - Lorsqu'il n'est formulé aucune objection en vertu de l'article 5, ou que toutes les objections présentées ont été levées, le Secrétariat fait une notification conformément aux dispositions du paragraphe a) de l'article 3, en indiquant que la dénomination a été choisie par l'OMS en tant que dénomination commune internationale recommandée.

*Article 8* - En communiquant aux Etats Membres, conformément à l'article 7, une dénomination commune internationale recommandée, le Secrétariat :

- a) demande que cette dénomination soit reconnue comme dénomination commune de la substance considérée ; et
- b) demande aux Etats Membres de prendre les mesures nécessaires pour prévenir l'acquisition de droits de propriété sur cette dénomination et interdire le dépôt de cette dénomination comme marque ou appellation commerciale.

*Article 9* -

a) Dans le cas exceptionnel où une dénomination commune internationale déjà recommandée donne lieu à des erreurs de médication, de prescription ou de distribution ou en comporte un risque démontrable, en raison d'une similitude avec une autre appellation dans la pratique pharmaceutique et/ou de prescription, et où il apparaît que ces erreurs ou ces risques d'erreur ne peuvent être facilement évités par d'autres interventions que le remplacement éventuel d'une dénomination commune internationale déjà recommandée, ou dans le cas où une dénomination commune internationale déjà recommandée diffère sensiblement de la dénomination commune approuvée dans un nombre important d'Etats Membres, ou dans d'autres circonstances exceptionnelles qui justifient le remplacement d'une dénomination commune internationale recommandée, toute personne intéressée peut formuler une proposition dans ce sens. Cette proposition est présentée sur la formule prévue à cet effet et doit s'accompagner des indications suivantes :

- i) nom de l'auteur de la proposition ;
- ii) intérêt qu'il ou elle porte au remplacement proposé ;
- iii) raisons motivant la proposition ; et
- iv) description, faits à l'appui, des autres interventions entreprises pour tenter de régler le problème et exposé des raisons pour lesquelles ces interventions ont échoué.

Les propositions peuvent comprendre une proposition de nouvelle dénomination commune internationale de remplacement, établie conformément aux Directives générales, compte tenu de la substance pharmaceutique pour laquelle la nouvelle dénomination commune internationale de remplacement est proposée.

Le Secrétariat transmet une copie de la proposition pour examen, conformément à la procédure exposée plus loin au paragraphe b), au Groupe d'experts des DCI et au demandeur initial ou à son successeur (s'il s'agit d'une personne différente de celle qui a formulé la proposition de remplacement et pour autant que le demandeur initial ou son successeur soit connu ou puisse être retrouvé moyennant des efforts diligents, notamment des contacts avec les associations industrielles).

De plus, le Secrétariat demande aux entités et personnes ci-après de formuler des observations sur la proposition :

- i) les Etats Membres et les commissions nationales et régionales de pharmacopée ou d'autres organismes désignés par les Etats Membres (en insérant une note à cet effet dans la lettre mentionnée à l'article 3.a), et
- ii) toutes autres personnes portant au remplacement proposé un intérêt notoire.

La demande d'observations contient les indications suivantes :

i) dénomination commune internationale recommandée pour laquelle un remplacement est proposé (et la dénomination de remplacement proposée, si elle est fournie) ;

ii) nom de l'auteur de la proposition de remplacement (si cette personne le demande) ;

iii) définition de la substance faisant l'objet du remplacement proposé et raisons avancées pour le remplacement ;

iv) délai pendant lequel seront reçus les commentaires et nom et adresse de la personne habilitée à recevoir ces commentaires ; et

v) mention des pouvoirs en vertu desquels agit l'OMS et référence au présent règlement.

Des observations sur la proposition de remplacement peuvent être communiquées par toute personne à l'OMS dans les quatre mois qui suivent la date de la demande d'observations.

b) Une fois échu le délai prévu ci-dessus pour la communication d'observations, le Secrétariat transmet les observations reçues au Groupe d'experts des DCI, au demandeur initial ou à son successeur et à l'auteur de la proposition de remplacement. Si, après avoir examiné la proposition de remplacement et les observations reçues, le Groupe d'experts des DCI, l'auteur de la proposition de remplacement et le demandeur initial ou son successeur reconnaissent tous qu'il est nécessaire de remplacer la dénomination commune internationale déjà recommandée, le Secrétariat soumet la proposition de remplacement au Groupe d'experts des DCI pour qu'il y donne suite.

Nonobstant ce qui précède, le demandeur initial ou son successeur n'est pas habilité à refuser son accord à une proposition de remplacement au cas où il ne peut être démontré qu'il porte un intérêt durable à la dénomination commune internationale recommandée qu'il est proposé de remplacer.

Dans le cas où une proposition de remplacement est soumise au Groupe d'experts des DCI pour qu'il y donne suite, le Groupe choisit une nouvelle dénomination commune internationale conformément aux Directives générales mentionnées à l'article 2 et selon la procédure décrite dans les articles 3 à 8 inclus. La notification faite par le Secrétariat en vertu de l'article 3 et de l'article 7, respectivement, y compris au demandeur initial ou à son successeur (si ce n'est pas la même personne que celle qui a proposé le remplacement et pour autant que le demandeur initial ou son successeur soit connu ou puisse être retrouvé moyennant des efforts diligents, notamment des contacts avec les associations industrielles), doit dans un tel cas indiquer que la nouvelle dénomination remplace une dénomination commune internationale déjà recommandée et que les Etats Membres peuvent souhaiter prendre des mesures transitoires pour les produits existants qui utilisent la dénomination commune internationale déjà recommandée sur leur étiquette conformément à la législation nationale.

Si, après examen de la proposition de remplacement et des observations communiquées conformément à la procédure exposée plus haut, le Groupe d'experts des DCI, le demandeur initial ou son successeur et l'auteur de la proposition de remplacement ne s'accordent pas sur le fait qu'il y a des raisons impératives de remplacer une dénomination commune internationale déjà recommandée, cette dernière est conservée (étant entendu toujours que le demandeur initial ou son successeur n'est pas habilité à refuser son accord à une proposition de remplacement au cas où il ne peut être démontré qu'il porte un intérêt durable à la dénomination commune internationale recommandée qu'il est proposé de remplacer). Dans un tel cas, le Secrétariat informe l'auteur de la proposition de remplacement, ainsi que le demandeur initial ou son successeur (s'il s'agit d'une personne différente de celle qui a formulé la proposition de remplacement et pour autant que le demandeur initial ou son successeur soit connu ou puisse être retrouvé moyennant des efforts diligents, notamment des contacts avec les associations industrielles), les Etats Membres, les commissions nationales et régionales de pharmacopée, les autres organismes désignés par les Etats Membres et toutes autres personnes portant un intérêt notoire au remplacement proposé que, malgré une proposition de remplacement, il a été décidé de conserver la dénomination commune internationale déjà recommandée (avec une brève description de la ou des raisons pour lesquelles la proposition de remplacement n'a pas été jugée suffisamment impérative).

## ANNEXE 2

**DIRECTIVES GENERALES POUR LA FORMATION DE  
DENOMINATIONS COMMUNES INTERNATIONALES APPLICABLES  
AUX SUBSTANCES PHARMACEUTIQUES<sup>1</sup>**

1. Les dénominations communes internationales (DCI) devront se distinguer les unes des autres par leur consonance et leur orthographe. Elles ne devront pas être d'une longueur excessive, ni prêter à confusion avec des appellations déjà couramment employées.

2. La DCI de chaque substance devra, si possible, indiquer sa parenté pharmacologique. Les dénominations susceptibles d'évoquer pour les malades des considérations anatomiques, physiologiques, pathologiques ou thérapeutiques devront être évitées dans la mesure du possible.

*Outre ces deux principes fondamentaux, on respectera les principes secondaires suivants :*

3. Lorsqu'on formera la DCI de la première substance d'un nouveau groupe pharmacologique, on tiendra compte de la possibilité de former ultérieurement d'autres DCI appropriées pour les substances apparentées du même groupe.

4. Pour former des DCI des acides, on utilisera de préférence un seul mot. Leurs sels devront être désignés par un terme qui ne modifie pas le nom de l'acide d'origine : par exemple «oxacilline» et «oxacilline sodique», «ibufénac» et «ibufénac sodique».

5. Les DCI pour les substances utilisées sous forme de sels devront en général s'appliquer à la base active (ou à l'acide actif). Les dénominations pour différents sels ou esters d'une même substance active ne différeront que par le nom de l'acide inactif (ou de la base inactif). En ce qui concerne les substances à base d'ammonium quaternaire, la dénomination s'appliquera de façon appropriée au cation et à l'anion en tant qu'éléments distincts d'une substance quaternaire. On évitera de choisir une désignation évoquant un sel aminé.

6. On évitera d'ajouter une lettre ou un chiffre isolé ; en outre, on renoncera de préférence au trait d'union.

7. Pour simplifier la traduction et la prononciation des DCI, la lettre « f » sera utilisée à la place de « ph », « t » à la place de « th », « e » à la place de « ae » ou « oe », et « i » à la place de « y » ; l'usage des lettres « h » et « k » sera aussi évité.

8. On retiendra de préférence, pour autant qu'elles respectent les principes énoncés ici, les dénominations proposées par les personnes qui ont découvert ou qui, les premières, ont fabriqué et lancé sur le marché les préparations pharmaceutiques considérées, ou les dénominations déjà officiellement adoptées par un pays.

9. La parenté entre substances d'un même groupe (voir Directive générale 2) sera si possible indiquée dans les DCI par l'emploi de segments-clés communs. La liste ci-après contient des exemples de segments-clés pour des groupes de substances, surtout pour des groupes récents. Il y a beaucoup d'autres segments-clés en utilisation active.<sup>2</sup> Les segments-clés indiqués sans trait d'union pourront être insérés n'importe où dans une dénomination.

---

<sup>1</sup> Dans son vingtième rapport (OMS, Série de Rapports techniques, N° 581, 1975), le Comité OMS d'experts des Dénominations communes pour les Substances pharmaceutiques a examiné les directives générales pour la formation des dénominations communes internationales et la procédure à suivre en vue de leur choix, compte tenu de l'évolution du secteur pharmaceutique au cours des dernières années. La modification la plus importante a été l'extension aux substances de synthèse de la pratique normalement suivie pour désigner les substances tirées ou dérivées de produits naturels. Cette pratique consiste à employer des syllabes communes ou groupes de syllabes communes (segments-clés) qui sont caractéristiques et indiquent une propriété commune aux membres du groupe de substances pour lequel ces segments-clés ont été retenus. Les raisons et les conséquences de cette modification ont fait l'objet de discussions approfondies.

Les directives ont été mises à jour lors de la treizième consultation sur les dénominations communes pour les substances pharmaceutiques (Genève, 27-29 avril 1983) (PHARM S/NOM 928, 13 mai 1983, révision en date du 18 août 1983).

<sup>2</sup> Une liste plus complète de segments-clés est contenue dans le document de travail WHO/EMP/RHT/TSN/2018.1 qui est régulièrement mis à jour et qui peut être demandé auprès du programme des DCI, OMS, Genève

Latin	Français	
-acum	-ac	substances anti-inflammatoires du groupe de l'ibufénac analgésiques
-adolum	-adol	
-adol-	-adol-	
-astum	-ast	antiasthmatiques, antiallergiques n'agissant pas principalement en tant qu'antihistaminiques
-astinum	-astine	antihistaminiques
-azepamum	-azépam	substances du groupe du diazépam
bol	bol	stéroïdes anabolisants
-caïn-	-caïn-	antiarythmiques de classe I, dérivés du procaïnamide et de la lidocaïne
-caïnum	-caïne	anesthésiques locaux
cef-	céf-	antibiotiques, dérivés de l'acide céphalosporanique
-cillinum	-cilline	antibiotiques, dérivés de l'acide 6-aminopénicillanique
-conazolium	-conazole	agents antifongiques systémiques du groupe du miconazole
cort	cort	corticostéroïdes, autres que les dérivés de la prednisolone
-coxibum	-coxib	inhibiteurs sélectifs de la cyclo-oxygénase
-entanum	-entan	antagonistes du récepteur de l'endothéline
gab	gab	gabamimétiques
gado-	gado-	agents diagnostiques, dérivés du gadolinium
-gatranum	-gatran	antithrombines, antithrombotiques
gest	gest	stéroïdes progestogènes
gli	gli	antihyperglycémiants
io-	io-	produits de contraste iodés
-metacinum	-métacine	substances anti-inflammatoires du groupe de l'indométacine
-mycinum	-mycine	antibiotiques produits par des souches de <i>Streptomyces</i>
-nidazolium	-nidazole	substances antiprotozoaires du groupe du métronidazole
-ololum	-olol	antagonistes des récepteurs β-adrénrgiques
-oxacinum	-oxacine	substances antibactériennes du groupe de l'acide nalidixique
-platinum	-platine	antinéoplasiques, dérivés du platine
-poetinum	-poétine	facteurs sanguins de type érythropoïétine
-pril(at)um	-pril(ate)	inhibiteurs de l'enzyme de conversion de l'angiotensine
-profenum	-profène	substances anti-inflammatoires du groupe de l'ibuprofène
prost	prost	prostaglandines
-relinum	-réline	peptides stimulant la libération d'hormones hypophysaires
-sartanum	-sartan	antagonistes d'un récepteur de l'angiotensine II, antihypertenseurs (non peptidiques)
-vaptanum	-vaptan	antagonistes du récepteur de la vasopressine
vin-	vin-	alcaloïdes du type vinca
-vin-	-vin-	

## ANEXO 1

**PROCEDIMIENTO DE SELECCIÓN DE DENOMINACIONES  
COMUNES INTERNACIONALES RECOMENDADAS PARA  
SUSTANCIAS FARMACÉUTICAS<sup>1</sup>**

La Organización Mundial de la Salud (OMS) seguirá el procedimiento que se expone a continuación tanto para seleccionar denominaciones comunes internacionales recomendadas para las sustancias farmacéuticas, de conformidad con lo dispuesto en la resolución WHA3.11, como para sustituir esas denominaciones.

*Artículo 1* - Las propuestas de denominaciones comunes internacionales recomendadas y las propuestas de sustitución de esas denominaciones se presentarán a la OMS en los formularios que se proporcionen a estos efectos. El estudio de estas propuestas estará sujeto al pago de una tasa destinada a sufragar los costos de administración que ello suponga para la Secretaría de la OMS («la Secretaría»). La Secretaría establecerá la cuantía de esa tasa y podrá ajustarla periódicamente.

*Artículo 2* - Estas propuestas serán sometidas por la Secretaría a los miembros del Cuadro de Expertos en Farmacopea Internacional y Preparaciones Farmacéuticas encargados de su estudio, en adelante designados como «el Grupo de Expertos en DCI», para que las examinen de conformidad con los «Principios generales de orientación para formar denominaciones comunes internacionales para sustancias farmacéuticas», anexos a este procedimiento.<sup>2</sup> A menos que haya poderosas razones en contra, la denominación aceptada será la empleada por la persona que haya descubierto o fabricado y comercializado por primera vez esa sustancia farmacéutica.

*Artículo 3* - Tras el examen al que se refiere el artículo 2, la Secretaría notificará que está en estudio un proyecto de denominación internacional.

a) Esa notificación se hará mediante una publicación en *Información Farmacéutica OMS*<sup>3</sup> y el envío de una carta a los Estados Miembros y a las comisiones nacionales y regionales de las farmacopeas u otros organismos designados por los Estados Miembros.

i) La notificación será enviada también a la persona que haya presentado la propuesta («el solicitante inicial») y a otras personas que tengan un interés especial en una denominación objeto de estudio.

b) En esa notificación se incluirán los siguientes datos:

i) la denominación sometida a estudio;

ii) la identidad de la persona que ha presentado la propuesta de denominación de la sustancia, si lo pide esa persona;

iii) la identidad de la sustancia cuya denominación está en estudio;

iv) el plazo fijado para recibir observaciones y objeciones, así como el nombre y la dirección de la persona a quien deban dirigirse; y

v) los poderes conferidos para el caso a la OMS y una referencia al presente procedimiento.

---

<sup>1</sup> Véase el anexo 1 en OMS, Serie de Informes Técnicos, N° 581, 1975. El texto vigente fue adoptado por el Consejo Ejecutivo en su resolución EB15.R7 y modificado en las resoluciones EB43.R9 y EB115.R4..

<sup>2</sup> Véase el anexo 2.

<sup>3</sup> Hasta 1987 las listas de DCI se publicaban en la *Crónica de la Organización Mundial de la Salud*.

c) Al enviar esa notificación, la Secretaría solicitará de los Estados Miembros la adopción de todas las medidas necesarias para impedir la adquisición de derechos de patente sobre la denominación propuesta, durante el periodo en que la OMS la tenga en estudio.

*Artículo 4* - Toda persona puede formular a la OMS observaciones sobre la denominación propuesta dentro de los cuatro meses siguientes a su publicación en *Información Farmacéutica OMS*, conforme a lo dispuesto en el artículo 3.

*Artículo 5* - Toda persona interesada puede presentar una objeción formal a una denominación propuesta dentro de los cuatro meses siguientes a su publicación en *Información Farmacéutica OMS*, conforme a lo dispuesto en el artículo 3.

Esa objeción deberá acompañarse de los siguientes datos:

- i) la identidad de la persona que formula la objeción;
- ii) las causas que motivan su interés por la denominación; y
- iii) las causas que motivan su objeción a la denominación propuesta.

*Artículo 6* - Cuando se haya presentado una objeción formal en la forma prevista en el artículo 5, la OMS podrá reconsiderar el nombre propuesto o utilizar sus buenos oficios para intentar lograr que se retire la objeción. La OMS no seleccionará como denominación común internacional una denominación a la que se haya hecho una objeción formal, presentada según lo previsto en el artículo 5, que no haya sido retirada, todo ello sin perjuicio de que la Organización examine otra denominación o denominaciones sustitutivas.

*Artículo 7* - Cuando no se haya formulado ninguna objeción en la forma prevista en el artículo 5, o cuando todas las objeciones presentadas hayan sido retiradas, la Secretaría notificará, conforme a lo dispuesto en el párrafo a) del artículo 3, que la denominación ha sido seleccionada por la OMS como denominación común internacional recomendada.

*Artículo 8* - Al comunicar a los Estados Miembros una denominación común internacional, conforme a lo previsto en el artículo 7, la Secretaría:

a) solicitará que esta denominación sea reconocida como denominación común para la sustancia de que se trate; y

b) solicitará a los Estados Miembros que adopten todas las medidas necesarias para impedir la adquisición de derechos de patente sobre la denominación, y prohíban que sea registrada como marca de fábrica o como nombre comercial.

*Artículo 9*

a) En el caso excepcional de que, debido a su semejanza con otra denominación utilizada en las prácticas farmacéuticas y/o de prescripción, una denominación común internacional recomendada anteriormente ocasione errores de medicación, prescripción o distribución, o suponga un riesgo manifiesto de que esto ocurra, y parezca que tales errores o potenciales errores no sean fácilmente subsanables con otras medidas que no sean la posible sustitución de esa denominación común internacional recomendada anteriormente; en el caso de que una denominación común internacional recomendada anteriormente difiera considerablemente de la denominación común aprobada en un número importante de Estados Miembros, o en otras circunstancias excepcionales que justifiquen el cambio de una denominación común internacional recomendada, cualquier persona interesada puede presentar propuestas en este sentido. Esas propuestas se presentarán en los formularios que se proporcionen a estos efectos e incluirán los siguientes datos:

- i) la identidad de la persona que presenta la propuesta;
- ii) las causas que motivan su interés en la sustitución propuesta;
- iii) las causas que motivan la propuesta; y



iv) una descripción, acompañada de pruebas documentales, de las otras medidas que se hayan adoptado con el fin de resolver la situación y de los motivos por los cuales dichas medidas no han sido suficientes.

Entre esas propuestas podrá figurar una relativa a una nueva denominación común internacional sustitutiva, formulada con arreglo a los Principios generales y que tenga en cuenta la sustancia farmacéutica para la que se proponga la nueva denominación común internacional sustitutiva.

La Secretaría enviará al Grupo de Expertos en DCI y al solicitante inicial o a su sucesor (en el caso de que sea una persona diferente de la que ha presentado la propuesta de sustitución y siempre que el solicitante inicial o su sucesor sean conocidos o puedan ser encontrados mediante esfuerzos diligentes, como el contacto con las asociaciones industriales) una copia de la propuesta, para que sea examinada de conformidad con el procedimiento descrito en el párrafo *b) infra*.

Además, la Secretaría solicitará observaciones sobre la propuesta:

i) a los Estados Miembros y a las comisiones nacionales y regionales de las farmacopeas u otros organismos designados por los Estados Miembros (ello se hará incluyendo una notificación a tal efecto en la carta a la que se refiere el párrafo a) del artículo 3), y

ii) a cualquier persona que tenga un interés especial en la sustitución propuesta.

Al solicitar que se formulen estas observaciones se facilitarán los siguientes datos:

i) la denominación común internacional recomendada que se propone sustituir (y la denominación sustitutiva propuesta, si se ha facilitado);

ii) la identidad de la persona que ha presentado la propuesta de sustitución (si lo pide esa persona);

iii) la identidad de la sustancia a la que se refiere la sustitución propuesta y las razones para presentar la propuesta de sustitución;

iv) el plazo fijado para recibir observaciones, así como el nombre y la dirección de la persona a quien deban dirigirse; y

v) los poderes conferidos para el caso a la OMS y una referencia al presente procedimiento.

Toda persona puede formular a la OMS observaciones sobre la sustitución propuesta dentro de los cuatro meses siguientes a la fecha en que se realizó la solicitud de observaciones.

b) Una vez agotado el mencionado plazo para la formulación de observaciones, la Secretaría enviará todos los comentarios recibidos al Grupo de Expertos en DCI, al solicitante inicial o a su sucesor, y a la persona que haya presentado la propuesta de sustitución. Si después de examinar la propuesta de sustitución y las observaciones recibidas, el Grupo de Expertos en DCI, la persona que haya presentado la propuesta de sustitución y el solicitante inicial, o su sucesor, están de acuerdo en la necesidad de sustituir la denominación común internacional recomendada anteriormente, la Secretaría remitirá la propuesta de sustitución al Grupo de Expertos en DCI para que la tramite.

No obstante lo anterior, el solicitante inicial o su sucesor no tendrán derecho a impedir el acuerdo sobre una propuesta de sustitución en el caso de que hayan dejado de tener un interés demostrable en la denominación común internacional cuya sustitución se propone.

En caso de que la propuesta de sustitución sea presentada al Grupo de Expertos en DCI para que la tramite, este grupo seleccionará una nueva denominación común internacional de conformidad con los Principios generales a los que se refiere el artículo 2 y al procedimiento establecido en los artículos 3 a 8 inclusive. En ese caso, en las notificaciones que la Secretaría ha de enviar con arreglo a los artículos 3 y 7, respectivamente, incluida la notificación al solicitante

inicial o a su sucesor (en el caso de que no sea la misma persona que propuso la sustitución y siempre que el solicitante inicial o su sucesor sean conocidos o puedan ser encontrados mediante esfuerzos diligentes, como el contacto con las asociaciones industriales), se indicará que la nueva denominación sustituye a una denominación común internacional recomendada anteriormente y que los Estados Miembros podrán, si lo estiman oportuno, adoptar disposiciones transitorias aplicables a los productos existentes en cuya etiqueta se utilice, con arreglo a la legislación nacional, la denominación común internacional recomendada anteriormente que se haya sustituido.

En caso de que, después de haber estudiado la propuesta de sustitución y los comentarios recibidos de conformidad con el procedimiento descrito anteriormente, el Grupo de Expertos en DCI, el solicitante inicial o su sucesor y la persona que haya presentado la propuesta de sustitución no lleguen a un acuerdo sobre la existencia de razones poderosas para sustituir una denominación común internacional recomendada anteriormente, esta denominación se mantendrá (siempre en el entendimiento de que el solicitante inicial o su sucesor no tendrán derecho a impedir el acuerdo sobre una propuesta de sustitución en el caso de que hayan dejado de tener un interés demostrable en la denominación común internacional cuya sustitución se propone). En ese caso, la Secretaría comunicará a la persona que haya propuesto la sustitución, así como al solicitante inicial o a su sucesor (en el caso de que no sea la misma persona que propuso la sustitución y siempre que el solicitante inicial o su sucesor sean conocidos o puedan ser encontrados mediante esfuerzos diligentes, como el contacto con las asociaciones industriales), a los Estados Miembros, a las comisiones nacionales y regionales de las farmacopeas o a otros organismos designados por los Estados Miembros y a cualquier otra persona que tenga interés en la sustitución propuesta, que, pese a la presentación de una propuesta de sustitución, se ha decidido mantener la denominación común internacional recomendada anteriormente (con una descripción de la o las razones por las que se ha considerado que la propuesta de sustitución no estaba respaldada por razones suficientemente poderosas).

## ANEXO 2

### PRINCIPIOS GENERALES DE ORIENTACIÓN PARA FORMAR DENOMINACIONES COMUNES INTERNACIONALES PARA SUSTANCIAS FARMACÉUTICAS<sup>1</sup>

1. Las denominaciones comunes internacionales (DCI) deberán diferenciarse tanto fonética como ortográficamente. No deberán ser incómodamente largas, ni dar lugar a confusión con denominaciones de uso común.

2. La DCI de una sustancia que pertenezca a un grupo de sustancias farmacológicamente emparentadas deberá mostrar apropiadamente este parentesco. Deberán evitarse las denominaciones que puedan tener connotaciones anatómicas, fisiológicas, patológicas o terapéuticas para el paciente.

*Estos principios primarios se pondrán en práctica utilizando los siguientes principios secundarios:*

3. Al idear la DCI de la primera sustancia de un nuevo grupo farmacológico, deberá tenerse en cuenta la posibilidad de poder formar DCI convenientes para las sustancias emparentadas que se agreguen al nuevo grupo.

4. Al idear DCI para ácidos, se preferirán las de una sola palabra; sus sales deberán denominarse sin modificar el nombre del ácido: p. ej. «oxacilina» y «oxacilina sódica», «ibufenaco» y «ibufenaco sódico».

---

<sup>1</sup> En su 20º informe (OMS, Serie de Informes Técnicos, Nº 581, 1975), el Comité de Expertos de la OMS en Denominaciones Comunes para las Sustancias Farmacéuticas revisó los Principios generales para formar denominaciones comunes internacionales (DCI), y su procedimiento de selección, a la luz de las novedades registradas en los últimos años en materia de compuestos farmacéuticos. El cambio más importante había consistido en hacer extensivo a la denominación de sustancias químicas sintéticas el método utilizado hasta entonces para las sustancias originadas en productos naturales o derivadas de éstos. Dicho método conlleva la utilización de una «partícula» característica que indica una propiedad común a los miembros de un grupo. En el citado informe se examinan en detalle las razones y consecuencias de este cambio.

Los Principios generales de orientación se actualizaron durante la 13ª consulta sobre denominaciones comunes para sustancias farmacéuticas (Ginebra, 27 a 29 de abril de 1983) (PHARM S/NOM 928, 13 de mayo de 1983, revisado el 18 de agosto de 1983).

5. Las DCI para las sustancias que se usan en forma de sal deberán en general aplicarse a la base activa o al ácido activo. Las denominaciones para diferentes sales o ésteres de la misma sustancia activa solamente deberán diferir en el nombre del ácido o de la base inactivos. En los compuestos de amonio cuaternario, el catión y el anión deberán denominarse adecuadamente por separado, como componentes independientes de una sustancia cuaternaria y no como sales de una amina.

6. Deberá evitarse el empleo de letras o números aislados; también es indeseable el empleo de guiones.

7. Para facilitar la traducción y la pronunciación, se emplearán de preferencia las letras «f» en lugar de «ph», «t» en lugar de «th», «e» en lugar de «ae» u «oe», e «i» en lugar de «y»; se deberá evitar el empleo de las letras «h» y «k».

8. Siempre que las denominaciones propuestas estén de acuerdo con estos principios, recibirán una consideración preferente las denominaciones propuestas por la persona que haya descubierto las sustancias, o que fabrique y comercialice por primera vez una sustancia farmacéutica, así como las denominaciones ya adoptadas oficialmente en cualquier país.

9. El parentesco entre sustancias del mismo grupo se pondrá de manifiesto en las DCI (véase el Principio 2) utilizando una partícula común. En la lista que figura a continuación se indican ejemplos de partículas para grupos de sustancias, en particular para grupos nuevos. Existen muchas otras partículas que se usan habitualmente.<sup>1</sup> Cuando una partícula aparece sin guión alguno, puede utilizarse en cualquier lugar de la palabra.

Latin	Español	
- <i>acum</i>	- <i>aco</i>	antiinflamatorios derivados del ibufenaco
- <i>adolum</i>	- <i>adol</i> )	analgésicos
- <i>adol-</i>	- <i>adol-</i> )	
- <i>astum</i>	- <i>ast</i>	antiasmáticos, sustancias antialérgicas cuya acción principal no es la antihistamínica
- <i>astinum</i>	- <i>astina</i>	antihistamínicos
- <i>azepamum</i>	- <i>azepam</i>	derivados del diazepam
<i>bol</i>	<i>bol</i>	esteroides anabolizantes
- <i>cain-</i>	- <i>caína-</i>	antiarrítmicos de clase I, derivados de procainamida y lidocaína
- <i>cainum</i>	- <i>caína-</i>	anestésicos locales
- <i>cef-</i>	- <i>cef-</i>	antibióticos, derivados del ácido cefalosporánico
- <i>cillinum</i>	- <i>cilina</i>	antibióticos derivados del ácido 6-aminopenicilánico
- <i>conazolium</i>	- <i>conazol</i>	antifúngicos sistémicos derivados del miconazol
<i>cort</i>	<i>cort</i>	corticosteroides, excepto derivados de prednisolona
- <i>coxibum</i>	- <i>coxib</i>	inhibidores selectivos de ciclooxigenasa
- <i>entanum</i>	- <i>entán</i>	antagonistas del receptor de endotelina
<i>gab</i>	<i>gab</i>	gabamiméticos
<i>gado-</i>	<i>gado-</i>	agentes para diagnóstico derivados de gadolinio
- <i>gartranum</i>	- <i>gatrán</i>	inhibidores de la trombina antitrombóticos
<i>gest</i>	<i>gest</i>	esteroides progestágenos
<i>gli</i>	<i>gli</i>	hipoglucemiantes, antihiperglucémicos
<i>io-</i>	<i>io-</i>	medios de contraste iodados
- <i>metacinum</i>	- <i>metacina</i>	antiinflamatorios derivados de indometacina
- <i>mycinum</i>	- <i>micina</i>	antibióticos producidos por cepas de <i>Streptomyces</i>
- <i>nidazolium</i>	- <i>nidazol</i>	antiprotozoarios derivados de metronidazol
- <i>ololum</i>	- <i>olol</i>	antagonistas de receptores $\beta$ -adrenérgicos

<sup>1</sup> En el documento de trabajo WHO/EMP/RHT/TSN/2018.1, que se actualiza periódicamente y puede solicitarse al Programa sobre Denominaciones Comunes Internacionales, OMS, Ginebra, figura una lista más amplia de partículas.

-oxacinum	-oxacino	antibacterianos derivados del ácido nalidíxico
-platinum	-platino	antineoplásicos derivados del platino
-poetinum	-poetina	factores sanguíneos similares a la eritropoyetina
-pril(at)um	-pril(at)	inhibidores de la enzima convertora de laangiotensina
-profenum	-profeno	antiinflamatorios derivados del ibuprofeno
prost	prost	prostaglandinas
-relinum	-relina	péptidos estimulantes de la liberación de hormonas hipofisarias
-sartanum	-sartán	antihipertensivos (no peptídicos) antagonistas del
-vaptanum	-vaptán	antagonistas del receptor de vasopresina
vin-	vin- )	alcaloides de la vinca
-vin-	-vin- )	